# IMAGEN CORPORAL EN ESTUDIANTES UNIVERSITARIOS. UN MODELO DE ECUACIONES ESTRUCTURALES

Tesis Doctoral elaborado por

Yolanda, DE ABREU DA SILVA

Como requisito parcial para optar al título de Doctora en Psicología

Profesor Asesor:

Luisa, ANGELUCCI BASTIDAS

Caracas, JULIO 2022

# ACTA DE CALIFICACIÓN

UNIVERSIDAD CATÓLICA ANDRÉS BELLO
Urb. Montalbán - La Vega - Apartado 20332
Telf.: (0212) 407-61-21/ 44-76/ 42-82 Fax:
Estudios de Postgrado
Rif. J-00012255-6

## ACTA DE EVALUACIÓN DE PRESENTACIÓN Y DEFENSA DE TESIS DOCTORAL
## DOCTORADO EN PSICOLOGÍA

Nosotros, Doctores LUISA ANGELUCCI BASTIDAS (tutor), GUILLERMO YABER OLTRA y ELEONORA VIVAS, designados por el Consejo de los Estudios de Postgrado a los diecinueve días del mes de julio del año dos mil veintidós, para conocer y evaluar en nuestra condición de jurado de la Tesis Doctoral " Imagen corporal en estudiantes universitarios. Un modelo de ecuaciones estructurales. ", presentado por la Lic. De Abreu Da Silva, Yolanda, C.I. N°. 10627095, para optar al título de Doctora en Psicología.

Declaramos que:

Hemos leído el ejemplar de la Tesis Doctoral que nos fue entregado con anterioridad por la Dirección General de los Estudios de Postgrado.

Después de haber estudiado dicho trabajo, presenciamos la exposición del mismo, a los once días del mes de agosto del año dos mil veintidós, en la sede de los Estudios de Postgrado de la Universidad Católica Andrés Bello, donde la Lic. De Abreu Da Silva, Yolanda, expuso y defendió el contenido de la tesis en referencia.

Hechas por nuestra parte, las preguntas y aclaratorias correspondientes y, una vez terminada la exposición y el ciclo de preguntas, hemos considerado formalizar el siguiente veredicto:

**APROBADO**

Hemos acordado calificar la presentación y defensa de la Tesis Doctoral con diecinueve (19) puntos.

En fe de lo cual, nosotros los miembros del jurado designado, firmamos la presente acta en Caracas, a los once días del mes de agosto del año dos mil veintidós.

Luisa Angelucci Bastidas
C.I.: 6293922

UNIVERSIDAD CATÓLICA ANDRÉS BELLO
DIRECCIÓN DE PROGRAMA HUMANIDADES Y EDUCACIÓN
MONTALBAN

Guillermo Yaber Oltra
C.I.: 3973711

Eleonora Vivas
C.I.: 629106

## Resumen

El objetivo de la investigación fue verificar, cómo la imagen corporal es influenciada por las estrategias de afrontamiento de aceptación racional positiva de la imagen corporal, la autoobjetivación, los ideales corporales internalizados, la percepción de aceptación del cuerpo por otros y el sexo, evaluándose, a su vez, las posibles relaciones causales entre estas variables. La muestra se conformó por 515 estudiantes de pregrado (295 mujeres, 220 hombres) con edades comprendidas entre los 18 y 40 años ($M$ = 30.92, $DE$ = 3.42) e IMC entre 13.42 y 35.86 ($M$ = 22.86, $DE$ = 4.02). Los datos se analizaron utilizando modelos de ecuaciones estructurales, probando modelos alternativos. Los resultados indicaron un bajo ajuste del modelo planteado inicialmente al considerar los valores de los principales indicadores de bondad de ajuste. Ante esto, se planteó un modelo alternativo mediante un análisis factorial exploratorio de cada uno de los instrumentos de medición de las variables de estudio. A partir de la modificación de los indicadores de los constructos, se obtuvo un ligero aumento en los valores de bondad de ajuste. En el modelo propuesto se observó que una mayor percepción de aceptación corporal por otros y ser mujer, se asoció con una mayor satisfacción corporal, sensación de salud, valoración de la competencia física y un estilo de vida saludable. Una mayor percepción de aceptación corporal por otros se asoció con una mayor probabilidad de emplear estrategias de afrontamiento de aceptación racional positiva. Una mayor percepción de aceptación corporal por otros y menor internalización de los ideales corporales, se asoció con una menor autoobjetivación. Y ser mujer se asoció con mayor internalización de los ideales corporales. La percepción de la aceptación del cuerpo por otros resultó ser el mejor predictor de la imagen corporal. Los resultados obtenidos constituyen un aporte teórico para la comprensión de la imagen corporal como constructo multidimensional y su posible aporte para la elaboración de programas de abordaje psicosocial destinados a optimizar la imagen corporal positiva en estudiantes universitarios.

*Palabras claves*: Imagen corporal, aceptación corporal, ideales corporales, autoobjetivación, estudiantes universitarios.

## Índice de Contenido

Resumen……..... i
Índice de Contenido…… ii
Índice de figuras…….. iv
Introducción…… 1
Imagen Corporal…….. 6
Estrategias de afrontamiento de aceptación racional positiva……. 17
Percepción de aceptación corporal por otros…….. 20
Ideales corporales internalizados…… 24
Autoobjetivación corporal…….. 30
Método……... 37
Problema de investigación…….. 37
Hipótesis……. 37
Hipótesis General…… 37
Hipótesis Específicas…….. 37
Variables de estudio…… 38
Variable Exógena…… 38
Sexo……. 38
Variables Endógenas……... 39
Percepción de aceptación corporal por otros……... 39
Ideales corporales internalizados……. 39
Autoobjetivación corporal……... 39
Estrategias de afrontamiento de aceptación racional positiva……. 40
Imagen corporal……... 40
Variables controladas…….. 42
Tipo de Investigación…….. 42
Diseño de Investigación……... 42
Diseño Muestral……... 49
Instrumentos……..... 49
Procedimiento ……..……..……..... 73

Consideraciones éticas ……... 73
Análisis de resultados ……..……..……... 74
Análisis preliminares..……..……..……..... 74
Estadísticos Descriptivos……. 74
Imagen Corporal (IC)……..……..... 75
Estrategias de afrontamiento de aceptación racional positiva (EAA) ..……..... 78
Autoobjetivación (AO)..……. 79
Ideal corporal internalizado (ICI)..……. 80
Percepción de aceptación del cuerpo por otros (PAO).…….……..... 81
Modelo de ecuaciones estructurales...……..……..... 83
Análisis factorial exploratorio……..... 87
Imagen corporal (IC) ……..... 87
Autoobjetivación (AO)……..... 91
Estrategias de afrontamiento de aceptación racional positiva (EAA)……..... 94
Ideal corporal internalizado (ICI)……..... 95
Percepción de aceptación del cuerpo por otros (PAO)…..……..... 97
Análisis descriptivo de las nuevas dimensiones……..... 98
Imagen corporal (IC)……... 98
Estrategias de afrontamiento de aceptación racional positiva (EAA)……. 99
Autoobjetivación (AO)……..... 101
Ideal corporal internalizado (ICI)…….……..... 102
Percepción de aceptación del cuerpo por otros (PAO)……..... 103
Modelo alternativo. Modelo B…… 105
Discusión……. 116
Conclusiones……... 139
Limitaciones y recomendaciones…….. 142
Referencias……....……. 145
Anexos……. 171

## Índice de figuras

Figura 1. Diagrama estructural. Modelo A…….. 38
Figura 2. Diagrama de caja de las dimensiones de la imagen corporal……... 77
Figura 3.Diagrama de caja de las estrategias de afrontamiento de aceptación racional positiva …… 78
Figura 4. Diagrama de caja de las dimensiones de autoobjetivación ……. 80
Figura 5. Diagrama de caja de las dimensiones de ideales corporales…….. 81
Figura 6. Diagrama de caja de percepción de aceptación por otros…… 82
Figura 7. Modelo A resultante……...…….. 86
Figura 8. Diagrama de caja de los indicadores de la imagen corporal…… 99
Figura 9. Diagrama de caja de los indicadores de las estrategias de aceptación racional positiva……...…… 100
Figura 10. Diagrama de caja de los indicadores de autoobjetivación…...……..…… 102
Figura 11. Diagrama de caja de los indicadores del ideal corporal internalizado……... 103
Figura 12. Diagrama de caja de los indicadores de la percepción de aceptación del cuerpo por otros……... 104
Figura 13. Modelo estructural B …..……... 106
Figura 14. Modelo estructural B resultante..……... 107
Figura 15. Modelo estructural C ...……...……... 111
Figura 16. Modelo estructural C resultante..……... 112
Figura 17. Modelo estructural D……..……... 114
Figura 18. Modelo estructural D resultante..……... 114

*A Camila, Nicolás y Samuel.*

## Agradecimientos

Ante todo, agradezco a la Universidad Católica Andrés Bello por brindarme la oportunidad de formar parte del postgrado.

A todos los profesores de las materias asignadas por brindar sus conocimientos.

A la Profesora Luisa Angelucci por su gran apoyo, colaboración y paciencia. Gracias por darme luz en los momentos más oscuros.

A los participantes de la muestra por su colaboración y paciencia al responder la encuesta.

A los evaluadores de los instrumentos de recolección de datos por su valoración y sugerencias.

A la Profesora María Graciela por su apoyo emocional y las risas que me ha brindado.

Al estudiante beca trabajo Carlos, el editor de índices y anexos de último momento.

A mi familia, mi eterno soporte y sentido de vida. Son mi motor.

## Introducción

La imagen corporal es un constructo muldimensional conformado por la evaluación o los sentimientos hacia el cuerpo y la orientación representada por la atención dirigida a las distintas áreas corporales (apariencia, competencia, integridad) y las conductas dirigidas a mantenerlas o mejorarlas (Cash y Pruzinsky, 2002; Cash, 2000).

Así, la concepción de la imagen corporal como propiedad fija ha pasado a estar conformada por una relación dinámica entre el individuo, el cuerpo y el entorno social (Calogero y Tylka, 2010) en función de procesos cognitivos del aprendizaje social, la mediación cognitiva de las emociones y los comportamientos (Cash et al., 2005).

El desarrollo sociocultural como factores distales (los ideales corporales, las relaciones interpersonales y la socialización) conforman las actitudes hacia la imagen corporal, las cuales se asocian con las evaluaciones y con la importancia psicológica otorgada a la apariencia junto con los correspondientes esfuerzos para gestionarla y regular las emociones-evaluaciones de la imagen corporal. En tanto, los eventos situacionales como factores proximales son aquellos que desencadenan y mantienen las experiencias asociadas a la imagen corporal, tales como diálogos personales, pensamientos y emociones que luego generan acciones de autorregulación (Cash et al., 2004).

La imagen corporal como constructo multidimensional abarca aspectos tanto positivos como negativos (Cash, 2002; Wood-Barcalow et al., 2010), los cuales pueden cambiar por el impacto de las experiencias y de las variables socioculturales.

En la literatura especializada se plantean dos perspectivas en la investigación de la imagen corporal, el enfoque negativo y el enfoque positivo. El enfoque negativo enfatiza únicamente las características negativas (magnificación de los defectos, comparaciones sociales sesgadas, atribuciones causales relacionadas con la apariencia), los cuales pueden generar respuestas disfóricas, tales como ansiedad, vergüenza o culpa (Cash et al., 2005), depresión (Stice y Bearman, 2001; Wiederman y Pryor, 2000), trastornos de los hábitos de la alimentación (Smith y Davenport, 2012) y disminución de la autoestima (Davison y McCabe, 2006).

No obstante, la atención empírica también se ha dirigido al estudio de la imagen corporal desde un enfoque positivo (apreciación y aceptación corporal, percepción de

aceptación del cuerpo por otros, estrategias de afrontamiento de aceptación racional positiva), ofreciendo recursos para optimizar la salud y el bienestar en la población de interés (Tylka y Wood-Barcalow, 2015; Webb et al., 2015), equilibrando la investigación y los esfuerzos clínicos para optimizar su comprensión (Webb et al., 2015), lo cual puede ofrecer una visión integral de la misma en un proceso de influencia y regulación recíproca entre el individuo (pensamientos, sentimientos, conductas) y el medio ambiente (pares, familia, medios de comunicación, cultura) (Cook-Cottone, 2015; Wood-Barcalow et al., 2010), jugando un papel protector, el cual se asocia de forma directa y positiva con el bienestar, el autocuidado y comportamientos saludables (Frisén y Holmqvist, 2010; Wood-Barcalow et al., 2010).

La evaluación de la imagen corporal positiva conforma una medición complementaria de la imagen corporal negativa (Avalos et al., 2005; Cash et al., 2004) con la finalidad de proporcionar una comprensión integral de la imagen corporal como un constructo complejo, multidimensional y protector de la salud, lo cual puede ofrecer recursos para optimizar la salud y el bienestar de la sociedad (Cook-Cottone, 2015).

Más allá de las características físicas (forma, peso o altura), la imagen corporal abarca otros factores transmitidos mediante la socialización que conllevan al ajuste de diversos roles y valores (Frederick et al., 2007; Ricciardelly et al., 2010), por ende, se pueden reflejar diferencias según el sexo, dado que establece cómo deben verse y ser mirados los cuerpos para cumplir con las expectativas sociales de ser hombre o mujer (Calogero y Tylka, 2010).

De esta forma, la imagen corporal transmitida por la cultura genera una imagen ideal esperada para los hombres (musculoso) y otra para las mujeres (delgado), lo cual puede conllevar a una imagen corporal deficiente o limitada en comparación a los ideales corporales (Calogero y Tylka, 2010). La aceptación de estos estándares corporales como propios o su internalización se relaciona con una evaluación negativa del propio cuerpo (Bessenoff, 2006), dado que generalmente son inalcanzables para el individuo, constituyendo un factor de riesgo para comportamientos poco saludables asociados con la alteración de la imagen corporal (Dye, 2016).

Otro factor importante que afecta la imagen corporal, es la objetivación del cuerpo o la forma cómo es visto y tratado (Calogero y Tylka, 2010). Una consecuencia de esto es la autoobjetivación, la cual se define como la tendencia a percibirse y describirse a sí mismo según sus atributos físicos, es decir, cómo se ven, en lugar de cómo se sienten (Aubrey, 2010), otorgando mayor importancia a la apariencia por encima de otras características importantes de la persona (Vangeel et al., 2018).

Bajo el marco del modelo multidimensional de la objetivación (Moradi y Huang, 2008; Vandenbosch y Eggermont, 2012; Vandenbosch y Eggermont, 2016) y la conciencia corporal objetivada (Mckinley y Hyde, 1996), se propone el estudio de la internalización de los ideales como elemento importante en el modelo propuesto como proceso que la incluye como primer paso de la autoobjetivación.

Además, considerando la imagen corporal como un constructo multidimensional e integral, se propone su estudio desde un enfoque positivo con el aporte de la percepción de aceptación del cuerpo por otros y de las estrategias de a afrontamiento de aceptación racional positiva como factores protectores que promocionan una imagen corporal positiva en un proceso de regulación recíproca entre los sistemas internos del individuo (sentimientos, pensamientos, conductas) y los sistemas externos o del medio ambiente (pares, amigos, parejas, familia, sociedad), en una transacción dinámica entre el individuo, el cuerpo y el entorno social, ante las posibles amenazas o desafíos impuestos durante la socialización. Todo ello, en una población estudiantil universitaria tanto mujeres como hombres, dada la disparidad de estudios relacionados con el área.

Por ende, dadas las complejas interacciones entre las influencias genéticas, biológicas, interpersonales y culturales, algunas personas luchan por mantener una autorregulación sana, ya que algunos factores externos, tales como la exposición de los ideales corporales irreales por parte de algunos medios de comunicación social y redes sociales pueden generar una alteración en la imagen corporal o su objetivación, convirtiendo el cuerpo en algo para controlar, cambiar o alinear a los ideales corporales. No obstante, se puede lograr un equilibrio entre los aspectos internos y externos a través de conductas de autocuidado recíprocas con la aceptación y el respeto corporal que implican un bienestar físico y psicológico (Cook-Cottone, 2015). En la medida que las personas se

cuidan, aumentan los sentimientos y pensamientos positivos hacia sí mismos (Tylka y Homan, 2015) y, cuanto más pensamientos y emociones positivos tenga un individuo hacia sí mismo, mayor será la probabilidad de cuidarse (Tylka, 2012). De allí, la importancia del estudio de la imagen corporal desde los distintos enfoques empíricos existentes con la finalidad de proporcionar una comprensión integral de la imagen corporal como un constructo complejo, multidimensional y protector de la salud.

Este estudio se enmarca en el área de la psicología de la salud, correspondiente a la trigésima octava división de la Asociación Americana de la Psicología (APA), la cual se dirige al avance de las contribuciones de la psicología para la comprensión de la salud y de la enfermedad mediante la investigación básica apoyando el desarrollo de la integración de la información biomédica de la salud y la enfermedad con el conocimiento psicológico actualizado (APA, 2020).

La imagen corporal se encuentra implicada en una serie de conductas de salud y de enfermedad. Por ejemplo, una imagen corporal negativa se relaciona con la ansiedad (Cash, 2005; Monro y Huon, 2005), depresión (Stice y Bearman, 2001; Wiederman y Pryor, 2000), alteración de las conductas de alimentación (Cafri et al., 2005; Karazsia y Crowther, 2010; Johnson y Wardle, 2005; Smith y Davenport, 2012; Stice y Bearman, 2001; Wiederman y Pryor, 2000), vergüenza o culpa (Cash, 2005), disminución del autoestima (Davison y McCabe, 2006), mayor probabilidad de elegir una cirugía estética (Askegaard et al. 2002) y, mayor empleo de productos que garanticen la pérdida de peso (Cogan y Ernsberger, 2002).

En tanto, una imagen corporal positiva, facilita el cuidado y la apreciación del cuerpo, el disfrute, el desafío, compromiso con el deporte, el orgullo corporal (Andrew et al., 2014; Augustus-Horvath y Tylka, 2011; Avalos y Tylka, 2006; Frisén y Holmqvist, 2010; McHugh et al., 2014; Tiggemann et al., 2014), apreciación funcional del cuerpo (August-Horvath y Tylka, 2011) y conductas de autocuidado como ejercicio placentero, comer intuitivamente y de forma saludable, control médico regular o autodetección preventivo, evitación de comportamientos dañinos para el cuerpo, como fumar (Tylka, 2018; Wood-Barcalow et al., 2010), todo ello dirigido a la optimización de la salud (Tylka y Wood-Barcalow, 2015; Webb et al., 2015) y el equilibrio de la investigación y de los

esfuerzos clínicos para una mayor comprensión de la imagen corporal (Webb et al, 2015), cuya información podría ser útil para la elaboración de programas de abordaje psicosocial de la imagen corporal.

Asimismo, la imagen corporal constructo multidimensional comprende las actitudes, percepciones y experiencias asociadas al cuerpo abarcando, abarcando los pensamientos, sentimientos y conductas relacionadas con la salud y la enfermedad, además de la apariencia física y las competencias del cuerpo (Cash, 2018). Así, se ratifica su relación con la Psicología de la Salud.

De esta forma, se presenta un modelo integral de la imagen corporal como constructo multidimensional que incorpora actitudes disposicionales (pensamientos, sentimientos y conductas) que se pueden articular mediante la interrelación de distintos factores potencialmente negativos y positivos para entender cómo se desarrolla una imagen corporal positiva a partir de la regulación o equilibrio de ambos factores.

En definitiva, bajo la concepción de la imagen corporal como un constructo multidimensional donde distintos factores participan en su conformación y además multicausado, el objetivo de la presente investigación fue estudiar cómo el sexo, la percepción de aceptación del cuerpo por parte de otros, la internalización de los ideales corporales, la autoobjetivación y las estrategias de afrontamiento de aceptación racional positiva, influyen en la imagen corporal en estudiantes universitarios y cómo se influyen entre sí dichas variables, mediante ecuaciones estructurales.

# Marco Teórico

## Imagen Corporal

Raich (2004) describe la definición de la imagen corporal a partir de algunos autores relevantes en la literatura. De esta forma, señala como la definición más clásica la planteada por Schilder (1990) como la representación mental del cuerpo que cada quién construye de sí mismo; la de Rosen (2004) como la forma en que uno se percibe, imagina, siente y actúa respecto a su cuerpo, por ende, contempla aspectos perceptivos, subjetivos y conductuales; y, la concepción de Thompson en 1990 como un constructo conformado por tres componentes: a) Un componente perceptual: definido como la exactitud con que se percibe el tamaño corporal de distintas áreas corporales o del cuerpo en su totalidad; b) Un componente cognitivo-afectivo: actitudes, sentimientos y valoraciones asociados al cuerpo, específicamente, el tamaño corporal, peso, partes del cuerpo o cualquier otro aspecto de la apariencia física (satisfacción, preocupación, ansiedad, entre otros); y c) Un componente conductual: conductas generadas por la percepción y sentimientos asociados al cuerpo (exhibicionismo, evitación de situaciones que exponen el cuerpo a los demás, entre otros).

La imagen corporal es un constructo multidimensional que abarca las actitudes, las percepciones y las experiencias propias asociadas al propio cuerpo. No solo incluye la apariencia física, sino que abarca las competencias del cuerpo y su integridad física o biológica (salud-enfermedad) (Cash, 2018). Así, los elementos afectivos son los sentimientos hacia el cuerpo; los elementos cognitivos, se refieren a las creencias y la atención hacia el cuerpo; y los elementos conductuales, son las acciones abiertas de uno mismo en relación con el cuerpo (Cash, 2015).

Desde esta concepción, la imagen corporal como constructo multidimensional está constituida por la evaluación y la orientación cognitiva-conductual (Cash, 2018). La evaluación se refiere a los sentimientos asociados a los aspectos distintos del cuerpo, mientras que la orientación representa el grado de atención dirigida a las distintas áreas corporales y cómo activamente la persona mantiene o mejora la apariencia del cuerpo (Cash, 2000).

En consistencia con la definición de la imagen corporal, se fundamenta en diez dimensiones (Cash, 2000): a) Evaluación de la apariencia: Sentimientos hacia el atractivo

físico o la falta del mismo y, la satisfacción o insatisfacción con la apariencia o con lo observado del propio cuerpo; b) Orientación de la apariencia: Grado de inversión en la apariencia; c) Evaluación del estado físico: Sensación de estar físicamente acto o no apto, o competente o no físicamente; d) Orientación del estado físico: Grado de inversión para estar en buena forma física o atléticamente competente; e) Evaluación de la salud: Sentimientos hacia la salud física o hacia la ausencia de enfermedad; f) Orientación de la salud: Grado de inversión en un estilo de vida físicamente saludable; g) Orientación de la enfermedad: Grado de reactividad a estar enfermo o a enfermarse; h) Satisfacción de las áreas corporales, se refiere a la satisfacción con aspectos diferenciados o específicos del cuerpo; i) Preocupación por el peso, representa la ansiedad hacia la grasa corporal, el conocimiento o vigilancia del peso corporal y la dieta o la restricción alimentaria; y, j) Auto clasificación del peso, que corresponde a cómo una persona percibe y etiqueta su peso.

De esta forma, los adelantos en el estudio del constructo han permitido un cambio en la perspectiva de la imagen corporal, de ser una propiedad fija a una relación dinámica entre el individuo, el cuerpo y el entorno social (Calogero y Tylka, 2010).

Entre los factores que pueden afectar esta relación se encuentra el sexo. El sexo es crítico en la construcción de cómo deben verse y ser mirados los cuerpos de las personas para cumplir con las expectativas sociales de lo que significa ser mujer u hombre. Efectivamente, la imagen corporal se encuentra conformada tanto por formas, tamaños y atributos como por estresores sociales que pueden llevar a una evaluación y posible modificación corporal con la finalidad de adaptarse a los roles sociales prescriptivos (Calogero y Tylka, 2010). Por ende, el sexo puede afectar considerablemente la imagen corporal basada en la atención dirigida hacia el cuerpo de la mujer y del hombre en las distintas culturas (Thompson et al., 1999 citados en Calogero y Tylka, 2010) reflejadas en las diferencias experimentadas por ambos (Frederick et al., 2007; Ricciardelly et al., 2010).

Otro factor importante que afecta la imagen corporal, es la objetivación del cuerpo, la cual consiste en mirar/ver y tratar al ser humano como un cuerpo fundamentado en las autopercepciones como consecuencia de las relaciones interpersonales (Calogero y Tylka, 2010).

Slater y Tiggemann (2010), encontraron que las adolescentes reportaron niveles más altos de vigilancia y vergüenza corporal (componentes de la objetivación corporal) y ansiedad asociada a la apariencia que los adolescentes. Estos hallazgos sugieren que la adolescencia se caracteriza por la autoconciencia y el desarrollo de la identidad para ambos sexos, siendo más vulnerables las adolescentes (mujeres) al percibir sus cuerpos críticamente bajo las presiones sociales con la finalidad de cumplir las expectativas de los respectivos roles sociales asociados al género (Calogero y Tylka, 2010).

Asimismo, el papel de los medios de comunicación como fuente de información, cumple un papel importante en la socialización de los individuos en la objetivación de sus cuerpos y en la gestión de la apariencia para igualar las expectativas sociales (Calogero y Tylka, 2010).

Por su parte, Tiggeman y Miller (2010), encontraron que la exposición a internet en mujeres se relacionó con la internalización ideal delgada, insatisfacción con el peso e impulso por la delgadez. Respecto a los hombres, los ideales culturalmente normativos son un cuerpo tonificado y musculoso (Ricciardelli et al., 2010).

Asimismo, las redes sociales se consolidan como factor importante que incide en la imagen corporal. En este sentido, Tiggemann y Zaccardo (2018) afirman que las redes sociales han establecido una nueva forma en que las personas se presentan ante los demás, principalmente con imágenes que reflejan una apariencia delgada y tonificada. Se ha encontrado que la exposición a este tipo de publicación influye en la preocupación por la imagen corporal (Fardouly y Vartanian, 2016) y en la satisfacción corporal (Tiggemann y Barbato, 2018). Según Fardouly et al. (2017), las comparaciones de la apariencia realizadas mediante las redes sociales pueden ser más dañinas que las realizadas en persona, dado que se presenta una mayor discrepancia entre la apariencia natural y la apariencia creada en las redes sociales.

El uso de las redes sociales se ha vuelto omnipresente en la cotidianidad de las personas, especialmente en los jóvenes (Easton et al., 2018). Una tendencia en las redes sociales, es la publicación y el seguimiento de las publicaciones de “fitspirations” o inspiración física que defiende el estado físico, la salud y la dieta (Bryony et al., 2020;

Easton et al., 2018) para mejorar la salud física, el atractivo y el estilo de vida a través de imágenes y mensajes (Griffiths y Stefanovski, 2019).

La exposición a publicaciones que promocionan el ejercicio para la pérdida de peso se ha relacionado con insatisfacción corporal (Tiggemann y Zaccardo, 2015; Tiggemann y Barbato, 2018; Bryony et al., 2020), promoción de estándares de la apariencia y mensajes de culpa o preocupación respecto al peso, la dieta y la forma del cuerpo (Boepple y Thompson, 2016), cosificación del cuerpo (Carrotte et al., 2017). Por otro lado, las publicaciones con imágenes y subtítulos positivos de aceptación del cuerpo se relacionan con la satisfacción corporal (Cohen et al., 2019; Bryony et al., 2020).

De acuerdo a Easton et al. (2018), el seguimiento de estas publicaciones en las redes sociales puede ofrecer a los jóvenes conocimiento y motivación para una vida saludable, no obstante, también se ha evidenciado efectos negativos en la salud física y psicológica. Esto sugiere que el seguimiento de las publicaciones de fitspirations pueden tener efectos tanto negativos como positivos.

Según lo mencionado, la imagen corporal se construye desde distintas intersecciones provenientes de los medios sociales y de las diferencias de género en el proceso de socialización, además de otras variables interpersonales e intrapersonales, tales como la edad, la raza, la orientación sexual y el ambiente familiar (Calogero y Tylka, 2010).

La imagen corporal se concibe en función de procesos cognitivos del aprendizaje social en una transacción dinámica entre los factores predisponentes del desarrollo cultural (ideales, relaciones interpersonales, sociedad) y los factores proximales mediadores (cogniciones, emociones, conductas) que conforman la experiencia de la imagen corporal (Cash, 2002; Cash et al., 2005; Webb et al., 2015).

Las influencias históricas son eventos pasados que predisponen los sentimientos y pensamientos sobre la imagen corporal producto de la socialización cultural que pueden afectar el desarrollo de la imagen corporal, tales como los valores y estándares de la apariencia, las experiencias en las interacciones y la comunicación con los demás, las características físicas y las dimensiones de la personalidad. A través de estos factores socioculturales, se generan las actitudes asociadas a la imagen corporal que incluyen las

fases de evaluación y de inversión. La fase evaluativa se refiere a las valoraciones y creencias positivas o negativas sobre el cuerpo (por ejemplo, satisfacción o insatisfacción corporal), en tanto, la fase de inversión en la imagen corporal, se refiere a la importancia psicológica de la propia apariencia, incluyendo su notoriedad o saliencia atencional y cognitiva (autoesquemas) y los esfuerzos para gestionar la apariencia y regular las evaluaciones y las emociones asociadas a la imagen corporal (Cash et al., 2002).

Por otro lado, los factores proximales involucran sucesos que desencadenan y mantienen experiencias de la imagen corporal, las cuales incluyen los auto diálogos y las inferencias emocionales sobre la situación precipitante y la persona. Los sucesos situacionales afectan la autoevaluación corporal al desencadenar procesos de esquemas de apariencia influyendo en cómo se procesa la información sobre sí mismo (Cash et al., 2002).

Los autoesquemas son generalizaciones cognitivas sobre sí mismo como resultado de la experiencia pasada que organizan el procesamiento de la información relacionada con la experiencia social de cada individuo (Markus, 1977 citado en Cash et al., 2005). Respecto a la apariencia, los autoesquemas incitan experiencias afectivas cuando son señaladas por eventos situacionales o contextuales, que luego generan acciones de autorregulación, por ejemplo, aquellas personas con esquemas positivos de la apariencia le dan mayor importancia en cómo se ven y estarán más en sintonía ante estímulos asociados con la apariencia (Cash et al., 2004).

Cash (2005) plantea que las personas con actitudes y esquemas negativos de la imagen corporal tienen procesos de pensamiento distorsionados o disfuncionales asociados a su apariencia (magnificación y sobre generalización de los defectos, exceso de atribuciones causales relacionadas con la apariencia ante eventos negativos y comparaciones sociales sesgadas), los cuales pueden generar ansiedad, vergüenza o culpa. A su vez, conllevan al uso de estrategias de afrontamiento para manejar el estrés de las experiencias asociadas a la imagen corporal.

Según Smith y Davenport (2012), en la actualidad la atención empírica se ha dirigido hacia las percepciones de las mujeres hacia su propio peso y apariencia corporal. Se ha reportado una asociación de la imagen corporal negativa con mayor prevalencia de

depresión (Stice y Bearman, 2001;Wiederman y Pryor, 2000), ansiedad (Monro y Huon, 2005), trastornos alimentarios (Johnson y Wardle, 2005; Smith y Davenport, 2012; Stice y Bearman, 2001; Wiederman y Pryor, 2000), disminución del autoestima (Davison y McCabe, 2006), mayor probabilidad de elegir una cirugía estética (Askegaard et al. 2002) y, mayor empleo de productos que garanticen la pérdida de peso (Cogan y Ernsberger, 2002).

No obstante, recientemente ha incrementado el estudio de la imagen corporal desde un enfoque positivo, aportando una perspectiva integral de la imagen corporal ofreciendo recursos para optimizar la salud y el bienestar en poblaciones de interés (Tylka y Wood-Barcalow, 2015; Webb et al., 2015), y equilibrar la investigación y los esfuerzos clínicos para una mayor comprensión de la imagen corporal (Webb et al, 2015).

En este sentido, la naturaleza integral de la imagen corporal positiva se entiende como una sintonización en un proceso de influencia y regulación recíproca entre los sistemas internos o del individuo (pensamientos, sentimientos, conductas) y los sistemas externos o del medio ambiente (pares, amigos, familia, comunidad, cultura) (Cook-Cottone, 2015; Wood-Barcalow, Tylka y Augustus-Horvart, 2010). Los pensamientos positivos del propio cuerpo facilitan el cuidado y la apreciación del cuerpo, el disfrute, el desafío, compromiso con el deporte, el orgullo corporal (Frisén y Holmqvist, 2010; McHugh et al., 2014; Tiggemann et al., 2014) y el cuidado personal como decisiones para promover su salud (ejercicio placentero, comer intuitivamente y de forma saludable, control médico regular o autodetección preventivo, evitación de comportamientos dañinos para su cuerpo, como fumar (Tylka, 2018).

La autorregulación sana ocurre cuando un individuo es capaz de mantener las necesidades de los aspectos internos de uno mismo (fisiológicos, emocionales, cognitivos), mientras se involucra efectivamente en el contexto de la familia, la comunidad y la cultura (Cook-Cottone, 2015).

Debido a las interacciones complejas entre las influencias genéticas, biológicas, interpersonales y culturales, algunas personas luchan por mantener una autorregulación sana, ya que algunos factores externos tales como las presiones (familiares, pares, medios sociales) y la exposición de los ideales corporales por parte de los medios de comunicación

social pueden generar una alteración en la imagen corporal o su objetivación, donde el cuerpo se convierte en algo para controlar o cambiar para ajustarse a los ideales corporales. No obstante, mediante un proceso de sintonización se puede lograr un equilibrio entre los aspectos internos y externos a través de conductas de autocuidado recíprocas con la apreciación, el compromiso y el respeto corporal que implican un bienestar físico y psicológico (Cook-Cottone, 2015). En la medida que las personas se cuidan, aumentan los sentimientos y pensamientos positivos hacia sí mismos y, cuanto más pensamientos y emociones positivos tenga un individuo hacia sí mismo, mayor será la probabilidad de cuidarse (Tylka, 2012; Tylka, 2018).

Los comportamientos de autocuidado que promueven la salud dirigidos a una imagen corporal positiva implican atender las necesidades del cuerpo, las cuales pueden contrastar con la elección de las conductas basada en los estándares externos poco realistas (Wood-Barcalow et al., 2010). En este sentido, Wood-Barcalow et al. (2010), hallaron que las mujeres universitarias reportaron que una imagen corporal positiva consistía en participar en comportamientos de cuidado personal, ejercicio moderado, comer intuitivamente (cuando sienten hambre y detenerse cuando se sienten llenas), consumir alimentos balanceados con la finalidad de mantener un estilo de vida saludable.

Además, incluye construir y mantener relaciones positivas (Cook-Cottone, 2015). Aquellas personas que tienen una imagen corporal positiva aseguran y mantienen relaciones con individuos que no tienen una versión idealizada del cuerpo como importante y aceptan incondicionalmente sus cuerpos y los cuerpos de los demás (Tylka, 2012; Wood-Barcalow et al., 2010). Esta idea es apoyada por un estudio en mujeres universitarias donde identificaron la aceptación de familiares, amigos y parejas como un elemento central para la formación y el mantenimiento de una imagen corporal positiva (Wood-Barcalow et al., 2010).

Asimismo, mantener una imagen corporal positiva se asocia con la capacidad de filtrar mensajes de otros y de los medios como forma de protección para la imagen corporal. Es decir, las personas con una imagen corporal positiva tienen un filtro cognitivo que analiza la información para determinar si es aceptada o rechazada. Conjuntamente, la información evaluada como negativa o dañina es rechazada (comentarios relacionados con

el peso; imágenes fotográficas o idealizadas de belleza, feminidad y masculinidad) (Cook-Cottone, 2015; Tylka, 2012; Wood-Barcalow et al., 2010).

De acuerdo a Wood-Barcalow et al. (2010), las mujeres universitarias con una imagen corporal positiva percibieron las imágenes de los medios sociales como poco realistas y construidas por otras personas (aerógrafos, maquilladores, entrenadores personales y estilistas). No obstante, la investigación futura debe incluir a los hombres, ya que hay una gran preponderancia de los estudios existentes se ha realizado con participantes mujeres (Cook-Cottone, 2015).

De esta forma, las combinaciones de variables adaptativas dirigidas al crecimiento psicológico positivo o relaciones recíprocas ascendentes (Garland et al., 2010) promocionan emociones positivas que amplían las cogniciones, el afrontamiento positivo o proactivo, los recursos personales (resiliencia, atención plena, cercanía social), la salud física, la confianza interpersonal y la apreciación del propio cuerpo (Fredrickson, 2001). En contraposición, las relaciones recíprocas descendentes, tales como las preocupaciones por el peso o la forma ideal y la vigilancia corporal pueden conllevar a síntomas de ansiedad y depresión (Fitzsimmons y Bardone-Cone, 2011).

Wood-Barcalow et al. (2010), proponen una definición de la imagen corporal positiva como el amor y el respeto por el propio cuerpo que conlleva a la aceptación, admiración y apreciación de la belleza única del mismo, incluyendo aquellos aspectos no consistentes con las imágenes idealizadas e interpretan la información que reciben de modo que proteja su cuerpo mediante la internalización de lo positivo y desechando o replanteando lo negativo de la misma.

Por su parte, Tylka y Wood-Barcalow (2015) plantean que la imagen corporal positiva es un constructo distinto a la imagen corporal negativa, ya que es multidimensional, integral, flexible, moldeable y protector de la salud.

En este sentido, los autores señalan que el constructo de la imagen corporal positiva no está en el mismo continuo ni representa niveles bajos o ausencia del mismo. Asimismo, es un constructo multidimensional que abarca la apreciación corporal, la funcionalidad corporal, la aceptación del cuerpo, los comportamiento adaptativos de la apariencia y su inversión en el autocuidado o preventivas (visitas al médico, ejercicios físicos dirigidos al

disfrute y el desafío más allá de controlar el tamaño o la forma del cuerpo), la positividad interna que se relaciona con los sentimientos positivos (por ejemplo, la confianza corporal), la apreciación de una amplia gama de apariencias extraíbles de características internas (la confianza, la personalidad o de las características físicas propias) y la filtración de información para proteger el cuerpo rechazando la información que podría afectarla negativamente (críticas relacionadas con el peso o la forma corporal).

Además, es integral donde las diversas características mencionadas se explican en conjunto y no de forma independiente. Simultáneamente, las experiencias internas (la positividad interna y el filtro protector) están interrelacionadas con los comportamientos externos (relaciones interpersonales, medios de comunicación y cultura) en un proceso recíproco de influencia mutua y de regulación. Así, los pensamientos, el afecto, las percepciones y los comportamientos relacionados con el cuerpo también están interconectados (Tylka y Wood-Barcalow, 2015).

Por otro lado, la imagen corporal positiva es flexible, lo cual implica una disposición a aceptar y experimentar percepciones, sensaciones, sentimientos, pensamientos y creencias sobre el cuerpo de una manera intencional sin modificar su intensidad, frecuencia o forma, mientras se instaura una acción efectiva en otras áreas de la vida. Asimismo, puede ser moldeado o recuperado durante y después de amenazas percibidas mediante un proceso recíproco que involucra cogniciones, afectos, percepciones y comportamientos intencionales (Tylka y Wood-Barcalow, 2015).

Por último, la imagen corporal positiva es un factor protector de la salud tanto física como psicológica ya que se asocia de forma directa y positiva con el bienestar, el autocuidado, la participación en comportamientos saludables (meditación, alimentación intuitiva, ejercicio regular), la satisfacción con la vida y el afecto positivo, la satisfacción sexual, conductas preventivas (tales como protección de la piel y autoexamen de los senos), y, relacionándose de forma inversa con la ansiedad, la depresión y comportamientos de dieta poco saludables (Tylka y Wood-Barcalow, 2015).

Halliwell (2013) afirma que la imagen corporal positiva incorpora una forma de procesamiento cognitivo protector ante los mensajes/influencias socioculturales sobre la apariencia evitando su impacto potencialmente perjudicial. De acuerdo con esta afirmación,

existe evidencia de que la apreciación del cuerpo está asociada con bajos niveles de exposición o uso de los medios de comunicación enfocados en la apariencia (Swami et al., 2008). Asimismo, se relaciona con una evaluación crítica de los ideales corporales de los medios sociales (Holmqvist y Frisén, 2012), con una atención selectiva de los mensajes positivos de la apariencia y una minimización de la importancia de los mensajes negativos (Wood-Barcalow et al., 2010) o activación de la importancia de otros aspectos de la persona (Halliwell, 2015).

En línea con lo mencionado, Halliwell (2013; 2015) plantea que los altos niveles de apreciación y aceptación corporal pueden cambiar la forma en que se procesan las imágenes de los modelos idealizados, brindando protección de la internalización del ideal delgado irreal ante la exposición a imágenes transmitidas por los medios sociales.

Asimismo, una imagen corporal positiva no implica únicamente satisfacción de la apariencia dado que se amplía a otras dimensiones, tales como la funcionalidad del cuerpo, la apreciación corporal, el orgullo corporal (no como vanidad, ni narcisismo) o percepción de aceptación corporal por otros, protegiendo la imagen corporal a las amenazas (desconexión de uno mismo, déficit de cuidado, entre otros) (Webb et al., 2015).

Según Tylka (2018), la imagen corporal positiva implica una interpretación e internalización de la información sobre el cuerpo según tres procesos (reciprocidad, filtro protector y fluidez) que ayudan a las personas a mantener su imagen corporal positiva a pesar de los efectos transitorios de distintas fuentes ambientales.

En este sentido, la reciprocidad se relaciona con el amor incondicional y la aceptación corporal de otros importantes como proceso recíproco alentando las relaciones con personas que promueven y mantienen la imagen corporal positiva, son proactivos en las redes sociales alentando a otros amar y respetar su cuerpo y, minimizan su exposición a los medios que apoyan una definición limitada de belleza.

En referencia al filtro protector, las personas con una imagen corporal positiva “filtran” la información para protegerse de los comentarios de los demás hacia su cuerpo y los mensajes o presiones de los medios sobre la apariencia; es decir, rechazan la información negativa y reconocen las cualidades de su cuerpo en contraposición de los ideales corporales irreales de los medios (Tylka, 2018).

De acuerdo a Wood-Barcalow et al. (2010), el filtro protector se enfoca en los aspectos positivos y contrarrestando los posibles efectos negativos a través de pensamientos positivos, creencias racionales y percepciones realistas generadas a partir de las diversas fuentes, moldeando su inversión corporal de forma funcional o de cuidado personal no obsesivo.

Igualmente, se acepta que el filtro protector no es infalible, por ende, algunas mensajes e imágenes de los medios y los comentarios de los demás hacia la apariencia, pueden pasar por el filtro protector y ser internalizada, lo cual implica que la satisfacción corporal y la inversión corporal o importancia del cuerpo en la autoimagen generen fluctuaciones en la imagen corporal; es decir, cuando se internaliza la información negativa, su inversión o atención en su cuerpo aumenta y cambia la evaluación del cuerpo de positiva a negativa, entendiendo estas fluctuaciones como "días de mala imagen corporal". No obstante, esto puede ser provisional dado que, al notar el impacto negativo en el bienestar, se enfocan menos en sus cuerpos, manteniendo la inversión de su cuerpo a un nivel saludable enfocado en las necesidades del mismo, y la evaluación del cuerpo vuelve a ser positiva (Tylka, 2018).

En línea con lo mencionado, Melnyk et al. (2004) señalan que la imagen corporal es consistente a lo largo del tiempo, no obstante, también es flexible por el impacto de los estados experienciales y las variables contextuales.

De esta forma, la evaluación de la imagen corporal positiva constituye una medición complementaria de la imagen corporal negativa (Avalos et al., 2005; Cash et al., 2004) con la finalidad de proporcionar una comprensión integral de la imagen corporal como un constructo complejo, multidimensional y protector de la salud, lo cual tiene el potencial de ofrecer recursos para optimizar la salud y el bienestar (Cook-Cottone et al., 2013).

Se evidencia que la conceptualización de la imagen corporal positiva como ausencia de una imagen corporal negativa o la imagen corporal negativa como ausencia de una imagen corporal positiva, subestima la complejidad de este constructo, tal como menciona Wood-Barcalow et al. (2010).

En este sentido, se presentan ambas perspectivas de la imagen corporal, por un lado, el efecto de la internalización de los ideales corporales y de la autoobjetivación y, por otro

lado, el efecto de la percepción de aceptación corporal de otros y las estrategias de afrontamiento de aceptación racional positiva con la finalidad de presentar una visión integral de la imagen corporal como proceso. De esta forma, se propone el estudio de cómo las estrategias de afrontamiento de aceptación racional positiva, la percepción de aceptación corporal por otros, los ideales corporales internalizados, la autoobjetivación y el sexo, afectan la imagen corporal.

**Estrategias de afrontamiento de Aceptación Racional Positiva**

El afrontamiento se define como la puesta en práctica de un conjunto de esfuerzos cognitivos y conductuales permanentemente cambiantes desarrollados para manejar las demandas (externas y/o internas) evaluadas como excedentes de los recursos del sujeto (Lazarus y Folkman, 1986).

En el ámbito de una amenaza o desafío potencial en la imagen corporal, las personas emplean estrategias de afrontamiento para adaptarse o hacer frente a los pensamientos, sentimientos y situaciones estresantes (Cash et al., 2005).

La experiencia de la imagen corporal se desarrolla mediante transacciones dinámicas entre los factores predisponentes del desarrollo sociocultural (ideales corporales, las relaciones interpersonales y la socialización) que conforman las actitudes hacia la imagen corporal, y los factores situacionales o desencadenantes (amenazas o desafíos a la imagen corporal), los cuales se encuentran mediados por un proceso cognitivo-conductual para hacer frente a una situación amenazante o desafiante relacionada a la imagen corporal que incluye las respuestas de afrontamiento (Cash et al., 2005; Webb et al., 2015).

Así, las actitudes hacia la imagen corporal se relacionan con las evaluaciones y con la importancia psicológica otorgada a la apariencia junto con los correspondientes esfuerzos para gestionarla y regular las emociones-evaluaciones de la imagen corporal (Cash, 2005).

En este sentido, ante situaciones desencadenantes (tales como recibir burlas por el peso o la forma, recibir presiones para su alteración, comparar los ideales corporales, experimentar cambios de peso corporal en una dirección no deseada, ver anuncios que incluyan modelos femeninos delgados o masculinos musculosos), se activa un procesamiento de cogniciones y emociones asociadas con la apariencia. Cuando los pensamientos y sentimientos de la imagen corporal se experimentan como desafiantes o

estresantes, las personas emplean estrategias de afrontamiento para hacer frente a esta situación (Cash et al., 2005; Webb et al., 2014).

De acuerdo a Cash (2005), las estrategias de afrontamiento son: evitación, corrección/arreglo de la apariencia y aceptación racional positiva de la apariencia.

Las estrategias de afrontamiento de evitación conforman los intentos o esfuerzos de escapar o evitar situaciones estresantes relacionadas a la imagen corporal. Las estrategias de afrontamiento de arreglo/corrección o fijación de la apariencia se dirigen a alterar la apariencia al cubrir o corregir algún defecto percibido en la apariencia. Y las estrategias de afrontamiento de aceptación racional positiva que implican estrategias enfocadas en el diálogo interno positivo de aceptación de la apariencia y del evento desafiante y, en la participación de conductas de autocuidado positivo. Bajo esta concepción, el autor construyó el Body Image Coping Strategies Inventory (BICSI) conformado por tres subdimensiones correspondientes a cada una de las estrategias.

En el estudio realizado por Cash et al. (2005) con la finalidad de validar el instrumento BICSI en una muestra de 603 estudiantes universitarios (468 mujeres) encontraron que en los hombres, el empleo de las estrategias de afrontamiento de evitación y de arreglo de la apariencia correlacionaron positivamente con la insatisfacción corporal, con la disforia de la imagen corporal (emociones negativas de la imagen corporal en distintos contextos) y la prominencia de la autoevaluación; en tanto, correlacionaron de forma negativa con la autoestima. En referencia a las estrategias de afrontamiento de aceptación racional positiva, correlacionaron de forma negativa y significativa con la disforia de la imagen corporal y con la inversión disfuncional en la apariencia. Estas estrategias no se asociaron con la autoestima. Ninguna de las estrategias se asoció con el IMC.

En referencia a las correlaciones entre las estrategias de afrontamiento, las estrategias de afrontamiento de aceptación racional positiva correlacionaron de forma moderada y negativa con las otras estrategias. En tanto, las estrategias de evitación correlacionaron de forma moderada y positiva con las estrategias de arreglo de la apariencia.

Respecto a las mujeres, las estrategias de afrontamiento de evitación y de arreglo/corrección de la apariencia correlacionaron de forma positiva y significativa con la insatisfacción corporal, con la autoevaluación corporal y el IMC; en tanto, correlacionaron de forma negativa y significativa con la calidad de vida relacionada con la imagen corporal y la autoestima. Respecto a las estrategias de afrontamiento de aceptación racional positiva, correlacionaron de forma positiva y significativa con la calidad de vida relacionada con la imagen corporal, y de forma negativa, con las discrepancias ideales de la imagen corporal, la disforia corporal, la autoevaluación corporal, la autoestima y el IMC.

En referencia a las correlaciones entre las estrategias de afrontamiento en la muestra de mujeres, se encontró que las estrategias de afrontamiento de evitación se asociaron positivamente de forma moderada con las estrategias de arreglo de la apariencia, en tanto se asociaron negativamente de forma modesta con las estrategias de aceptación racional positiva de la apariencia. No se hallaron correlaciones significativas entre las estrategias de aceptación racional positiva de la apariencia y de arreglo de la apariencia.

En relación a las diferencias por sexo, las mujeres reportaron mayor empleo de las tres estrategias siendo la mayor diferencia en el empleo de las estrategias de afrontamiento de arreglo/corrección de la apariencia. Lo mencionado se puede explicar ya que las mujeres experimentan mayores amenazas a la imagen corporal y están más socializadas con la alteración o cambio corporal en la búsqueda de ideales culturales (McKinlye, 2002).

Cash et al. (2005), desde la perspectiva de la imagen corporal positiva, proponen la aceptación racional positiva, ya que implica pensamientos y conductas adaptativas, tales como el autocuidado y el diálogo interno positivo, que expresan la aceptación y regulación de las amenazas relacionadas con la imagen corporal. Particularmente, las personas con una alta aceptación racional positiva, recuerdan sus buenas cualidades y se dicen a sí mismas que la situación pasará o no es tan importante (Cash et al., 2005).

De acuerdo a Swami et al. (2022), las estrategias de afrontamiento de aceptación racional positiva se definen como una regulación del afecto adaptativo expresado en un diálogo interno positivo cuando la persona se expone a los desafíos de la imagen corporal como presión por cambiar la apariencia, recibir burlas, exposición a imágenes asociadas a

la imagen corporal poco realistas o compararse con otros atractivos, funcionando como filtro protector.

Estudios preliminares han reportado que la estrategia de aceptación racional positiva se asocia de forma positiva con el bienestar psicológico (Choma et al., 2009), con la apreciación corporal (Swami, et al. 2022) y con el funcionamiento psicológico positivo (Cash et al., 2005); de forma negativa con la autoobjetivación (Choma et al., 2009). Además, es una variable moderadora entre las preocupaciones sobre la imagen corporal y los síntomas de depresión (Hrabosky et al., 2009; Hughes y Gullone, 2011).

Debido al papel moderador de las estrategias de afrontamiento de aceptación racional positivo ante las amenazas a la imagen corporal y su asociación con distintos índices de bienestar, se proponen como una importante medida de la imagen corporal positiva (Webb et al., 2015).

De esta forma, se plantea estudiar el empleo de las estrategias de afrontamiento de aceptación racional positiva por parte de los estudiantes universitarios ante las potenciales amenazas o desafíos de la imagen corporal, lo cual representa un acercamiento al constructo desde el punto de vista positivo como protector de la imagen corporal. Otra variable protectora asociada a esta visión positiva de la imagen corporal, es la percepción de la aceptación corporal por otros.

**Percepción de aceptación corporal por otros**

El grado de percepción de aceptación por parte de otros resulta importante en la concepción positiva de la imagen corporal (Swami et al., 2020). Entre los factores que promueven y mantienen una imagen corporal positiva se encuentra la aceptación incondicional por parte de otros (Tylka, 2018).

La percepción de la aceptación corporal por otros se define como el nivel en que un individuo percibe la aceptación de su apariencia por otros importantes (amigos, parejas, familiares), los medios de comunicación y la sociedad. De esta forma, si las personas perciben que sus cuerpos son aceptados, valorados y respetados incondicionalmente por otros importantes, prestan mayor atención a cómo sienten y funcionan sus cuerpos, por ende, estarán menos preocupados por cumplir las expectativas de los demás o de cambiar su apariencia (Avalos y Tylka, 2006; Swami et al., 2020; Swami et al., 2021; Tylka y

Wood-Barcalow, 2015; Webb et al., 2015). Bajo esta conjetura, Avalos y Tylka (2006) desarrollaron la escala Body Acceptance by Others Scale (BAOS) con la finalidad de medir este constructo.

Se ha reportado que puntajes altos en el Body Acceptance by Others Scale BAOS correlacionan de forma inversa con la presión asociada a la delgadez (Avalos y Tylka, 2006), con el IMC (August-Horvath y Tylka, 2011), con la autoobjetivación (Augustus-Horvath y Tylka, 2011; Avalos y Tylka, 2006) y la comparación social (Andrew et al., 2014; Augustus-Horvath y Tylka, 2011; Avalos y Tylka, 2006); en tanto, correlaciona de forma positiva con la apreciación corporal (August-Horvath y Tylka, 2011; Avalos y Tylka, 2006), con la apreciación funcional del cuerpo (August-Horvath y Tylka, 2011) y con la orientación interna del cuerpo (Avalos y Tylka, 2006).

Así, las personas con una imagen corporal positiva perciben que la familia, amigos y pareja aceptan su cuerpo sin criticar y se sienten valoradas por sus auténticas cualidades (personalidad, sentido del humor, intelecto). Su entorno se caracteriza por la aceptación de su cuerpo a través de acciones (por ejemplo, reciben amor en lugar de palabras tales como "tienes una buena forma"); y sus temas de conversación, incluyendo sus redes sociales, no se centran en el peso o forma de su cuerpo y, cuando se menciona la apariencia, se realiza en aspectos intercambiables como el peinado o la ropa (Tylka, 2018).

Las personas con una imagen corporal positiva sienten amor y respeto por su cuerpo, a pesar de no estar completamente satisfechos con todos los aspectos del mismo, lo aceptan como único y se recuerdan a sí mismos que son reales y que las imperfecciones son parte del ser humano descartando los ideales corporales culturales (curvilíneo delgado para las mujeres y mesomórfico para los hombres) y rechazan la información negativa sobre sí mismos mientras aceptan la información más positiva. Asimismo, creen que la belleza de la persona se relaciona con la positividad interna (afecto y pensamientos que le ayudan a irradiar felicidad y confianza) y con comportamientos, tales como estar bien arreglado y no una apariencia particular, apoyando variedad de pesos y formas como hermosas, aprecian distintos estilos de vestir, tonos de piel y peinados (Tylka, 2018).

De esta forma, se plantea que la percepción de aceptación del cuerpo por otros promueve una imagen corporal positiva ya que facilita la resistencia a la autoobjetivación

fomentando la apreciación de cómo se siente y no cómo se ve (Avalos y Tylka, 2006). Lo cual se evidenció en un estudio realizado por Tylka y Homan (2015) en 405 estudiantes universitarios (258 mujeres, 148 hombres) con edades comprendidas entre los 18 y 47 años (M=19.62, DE=2.87) con IMC promedio de 22.59, hallaron que aquellos participantes que perciben aceptación de sus cuerpos por otros de forma incondicional, tienen mayor probabilidad de participar en actividades físicas o ejercicios por razones funcionales (bienestar, salud, disfrute) y no solo por razones de apariencia (perder peso, tono muscular), lo cual se relacionó con una mayor apreciación del cuerpo.

Los autores argumentan que el ejercicio funcional tiene una función protectora, en tanto el ejercicio para la apariencia representa un riesgo, dado que el ejercicio que enfatiza la apariencia y la pérdida de peso, se relaciona con mayor autoobjetivación ya que se internaliza la perspectiva del cuerpo como un observador, es decir, cómo se ven. En cambio, hacer ejercicio por salud, placer, desafío o alivio de la tensión, permite concentrarse en la actividad e involucra una apreciación de cómo se siente y funcionan sus cuerpos como resultado del ejercicio. Por lo tanto, una mayor percepción de aceptación del cuerpo por otros se asocia con mayor énfasis en las razones funcionales para el ejercicio, por ende, la percepción de aceptación del cuerpo por otros se traduce en una mayor apreciación del cuerpo a través del ejercicio motivado por la salud, el disfrute, reducción del estrés u otra razón funcional (Tylka y Homan, 2015).

Por otra parte, generalmente, la imagen corporal positiva es transmitida a través de mensajes y conversaciones basados en la aceptación de amigos, parejas y familiares (Tylka y Wood-Barcalow, 2015).

No obstante, la imagen corporal positiva no siempre se beneficia por los cumplidos de los demás (Tylka y Wood-Barcalow, 2015). En este sentido, Calogero et al. (2009), encontraron en su estudio que la frecuencia de cumplidos basadas en la apariencia recibidos por las mujeres, tales como “usted es bonita” o “tiene un cuerpo bonito” se relacionó con mayor vigilancia e insatisfacción corporal. De igual forma, no recibir elogios puede generar preocupación (Tylka y Wood-Barcalow, 2015).

Legault y Sago (2022), comprobaron los mensajes positivos sobre el cuerpo que son beneficiosos son aquellos que apoyan la autonomía (respalda los sentimientos, conductas,

pensamientos o valores propios) y la aceptación (sentirse amado y aceptado de forma incondicional), generan sentimientos de empoderamiento corporal y aceptación de los demás, en contraposición de los mensajes de control de la positividad (reprimen sentimientos de autonomía) y los mensajes que denotan idealización corporal. Por ende, según los autores, resulta crucial reforzar los mensajes de apoyo a la autonomía y de la aceptación del cuerpo por parte de los demás para la promoción de la salud y el bienestar.

De esta forma, el recibir y filtrar mensajes es un proceso complejo que puede ser favorable o perjudicial dependiendo de la interacción de distintas variables, tales como frecuencia, personalidad del destinatario, el impacto percibido o cláusula que refuerza los estándares impuestos por la sociedad (por ejemplo, "has perdido peso, te ves genial"), la cual se asocia la pérdida de peso con una apariencia mejorada, reforzando la internalización ideal delgada (Tylka y Wood-Barcalow, 2015) y el tipo de mensaje positivo (Legault y Sago, 2022).

Estudios cualitativos han expuesto que las personas con imagen corporal positiva perciben una aceptación de sus cuerpos por parte de otros significativos (Tylka et al., 2015), lo cual ha sido confirmado por estudios cuantitativos.

Se ha comprobado que tanto los niños como lo adolescentes que viven en un contexto donde sus cuerpos son aceptados por otros significantes, desarrollan y mantienen una imagen corporal positiva (Frisén y Holmqvist, 2010; Wood-Barcalow et al., 2010). Estos resultados son consistentes con los hallados en estudios realizados por (Wood-Barcalow et al., 2010) en una muestra de mujeres universitarias y, por Kroon et al. (2010) en estudiantes universitarios de ambos sexos.

El estigma asociado a las diversas formas o pesos corporales pueden disminuir las percepciones de aceptación del cuerpo por parte de los otros, lo cual podría perjudicar la apreciación y autoaceptación corporal (Augustus-Horvath y Tylka, 2011; Tylka et al., 2014). Asimismo, las presiones de otros significativos a ser delgado predicen en las mujeres un aumento del monitoreo corporal habitual (indicador de autoobjetivación) y una disminución en el énfasis de la funcionalidad corporal (Tylka y Hill, 2004).

Avalos y Tylka (2006) proponen que la percepción de aceptación del cuerpo por otros predice la capacidad de un individuo para resistirse a adoptar la mirada del cuerpo

como un observador externo (lo cual fomenta la objetivación) conllevando a sentimientos positivos hacia el propio cuerpo a través de la apreciación y la aceptación corporal. Por ende, se podría conjeturar que la percepción de aceptación corporal por otros significantes respecto a la forma o peso podría relacionarse negativamente con el monitoreo del cuerpo o la vigilancia corporal.

De igual forma, Tylka y Hill (2004) indican que la percepción de presión por la delgadez de otras personas significativas o de los medios de comunicación genera insatisfacción corporal. Por ende, afirman que la aceptación corporal percibida por otros predice la apreciación y la aceptación corporal, lo cual ha sido confirmado por Urvelyte y Perminas (2021).

En este sentido, se ha comprobado que la supremacía de la apariencia es influida tanto por los medios sociales como por las personas que rodean al individuo (Arroyo et al., 2012; Lee y Lee, 2021). En este sentido, el modelo de influencia tripartita plantea que la presión de los medios de comunicación, la familia y los amigos, junto con la internalización de los ideales corporales afectan la imagen corporal. Asimismo, se plantea la inclusión de la autoobjetivación como proceso que incluye la internalización de los ideales corporales (Lee y Lee, 2021; You et al., 2018).

Por otro lado, se plantea que la promoción de la salud relacionado con la satisfacción corporal y la actividad física a través de los medios de comunicación y, el apoyo de las personas importantes, pueden desviar la atención excesiva en la apariencia idealizada con la finalidad de promover una imagen corporal positiva (Lee y Lee, 2021).

Los hallazgos empíricos sugieren la importancia, por un lado, de la evaluación de la apreciación y de la aceptación corporal desde una perspectiva positiva como factor protector y, por el otro lado, el estudio de la influencia potencial de los ideales corporales internalizados y de la autoobjetivación en la explicación de la imagen corporal como constructo multidimensional y multicausado.

**Ideales corporales internalizados**

La internalización de los ideales corporales se refiere a la aceptación personal o el acuerdo abierto de los ideales socioculturales relacionados con la apariencia (Bessenoff, 2006; Schaefer et al., 2015; Thompson y Stice, 2001). Se ha demostrado que la

internalización de los ideales, generalmente inalcanzables, es un factor de riesgo para el desarrollo de la imagen corporal negativa y para los comportamientos poco saludables asociados con la alteración de la imagen corporal (Dye, 2016).

Las teorías sobre la influencia sociocultural plantean que las representaciones de los ideales corporales poco realistas pueden generar insatisfacción corporal, especialmente cuando se internaliza los ideales como un estándar personal (Watson et al., 2019).

Desde la perspectiva sociocultural, Tiggemann (2011) propone un marco para el estudio de la imagen corporal, la cual plantea la existencia de ideales de belleza en una cultura particular, transmitidos por diversos canales socioculturales y que se internalizan en los individuos, condicionando la satisfacción o la insatisfacción con la apariencia en la medida que los individuos cumplan o no con esa prescripción ideal.

El género forma expectativas construidas culturalmente según el sexo, moldeando los cuerpos y las correspondientes experiencias psicológicas de distintas maneras, tales como los mitos sobre el cuerpo transmitidos por los medios sociales, las modas corporales mediante diferentes agentes sociales y, las funciones biológicas y sociales de los cuerpos que definen su valor en la sociedad (Calogero y Thompson, 2010).

En el caso de las mujeres, los estándares de belleza enfatizan la delgadez transmitidos por los medios de comunicación, la familia y los amigos o compañeros. Este ideal, a pesar de ser difícil de alcanzar para la mayoría de las mujeres por medios saludables, es aceptado e incorporado por la mujer como punto de referencia para juzgarse a sí misma (internalización), resultando en una insatisfacción corporal, lo cual puede conllevar a realizar dietas o cualquier otro tipo de conductas dañinas para la salud que, en última instancia, podría resultar en trastornos de la alimentación (Tiggemann, 2011).

En el caso de los hombres, el ideal corporal transmitido socioculturalmente es un cuerpo mesomórfico, musculoso, con hombros anchos, parte superior bien desarrollada y abdomen plano pero musculoso, también resulta difícil de alcanzar para la mayoría de los hombres por medios saludables, no obstante, lo internalizan conllevando a la insatisfacción corporal y a una búsqueda de musculatura poco saludable mediante el ejercicio compulsivo y el consumo de suplementos o esteroides (Tiggemann, 2011).

De esta forma, los mitos, las modas y las funciones sociales transmitidas mediante la cultura, genera una imagen corporal ideal con formas, tamaños y atributos esperados para mujeres y hombres. La expectativa y aceptación de estos ideales, conllevan a una representación deficiente de los cuerpos naturales de las personas, al compararlo con los estándares los físicos delgados para las mujeres y musculosos para los hombres, los cuales pueden ser inalcanzables sin recurrir a alguna forma de alteración quirúrgica (Tylka y Calogero, 2010).

Además, se ha comprobado que la exposición a los estándares físicos ideales mediante los medios sociales se relaciona con la preocupación por el peso y los trastornos alimentarios (Posavac et al., 1998; Stice y Shaw, 1994; Tiggemann, 2011; Tylka y Calogero, 2010). No obstante, según Bessenoff (2006), se han reportado resultados contradictorios, lo cual ha llevado a indagar el por qué algunas personas son más susceptibles que otras ante estos efectos. Se han estudiado algunas variables moderadoras, tales como, la internalización de los ideales y la insatisfacción corporal (Groesz et al., 2002).

Algunos metaanálisis confirman que la exposición a cuerpos delgados idealizados en los medios sociales tiene un efecto negativo sobre la satisfacción corporal y la internalización del ideal delgado entre las adolescentes y las mujeres jóvenes adultas (Halliwell, 2013).

De acuerdo a Watson et al. (2019), la investigación empírica ha demostrado que las imágenes de los medios de comunicación que transmiten ideales corporales poco realistas promocionan una relación polémica con el cuerpo, tanto en los hombres como en las mujeres.

En este contexto, un estudio realizado por Rounsefell et al. (2019) basado en una búsqueda sistemática de seis bases de datos, encontraron que 26 estudios cuantitativos en adultos jóvenes (18-30 años), donde identificaron que la participación en las redes sociales o la exposición a contenido con imágenes corporales, se asoció con mayor insatisfacción corporal y con la restricción de alimentos. Asimismo, reportaron cuatro estudios cualitativos que identificaron cinco temas relacionados con las redes sociales: fomenta la comparación entre los usuarios, la comparación incrementa sentimientos negativos sobre el

cuerpo, modifican su apariencia con la finalidad de alcanzar una imagen corporal percibida y, son conscientes del impacto del uso de las redes sociales en la imagen corporal, no obstante, la utilizan como validación externa de la apariencia.

En los años setenta, el ideal corporal femenino transmitido por los medios de comunicación se caracterizaba por una delgadez extrema que representaba el ideal corporal basado en la delgadez (Dittmar et al., 2009; Watson et al., 2019), no obstante, en la actualidad este ideal corporal ha cambiado hacia el atlético o musculoso/tonificado, es decir, un ideal corporal conformado por el atlético/musculoso/tonificado y el ideal corporal delgado (Watson et al., 2019).

Algunos estudios sugieren que la exposición de los ideales musculosos predice una imagen negativa en mujeres cuando la imagen enfatiza la delgadez (Benton y Karazsia, 2015; Homan et al., 2012). En este sentido, Benton y Karazsia (2015), encontraron que las imágenes de mujeres atléticas que enfatizan tanto la delgadez como la musculatura afectan negativamente la satisfacción corporal, pero no ante la exposición a imágenes que destacaron solo un cuerpo musculoso o atlético.

Por su parte, el ideal corporal musculoso en los hombres se ha intensificado en la actualidad, expresado en insatisfacción corporal y mayor deseo de aumentar la masa muscular manifestada en conductas, tales como uso de esteroides anabólicos, dietas restrictivas y entrenamiento o ejercicio forzoso (Daniel y Bridges, 2010). En este sentido, se ha reportado que la presión por la muscularidad en hombres predice la internalización del ideal corporal musculosa y la comparación de la apariencia con los demás (Schaefer et al., 2021).

Los estudios empíricos sugieren que la exposición de los cuerpos idealizados predice la insatisfacción corporal. De esta forma, estudiar los ideales corporales internalizados, tanto delgado como musculoso, podría arrojar información importante respecto a la influencia de la exposición de los ideales corporales (Watson et al., 2019).

Los estudios empíricos que han investigado la presión social, se han concentrado en mujeres y en las consecuencias de buscar el ideal de belleza femenina, ya que corresponden al mayor blanco o “target” de los medios de comunicación. No obstante, la evidencia

demuestra que los hombres también sienten presión cultural para alcanzar estándares de belleza socialmente aceptados (Tylka, 2011).

En este sentido, los hombres propensos a internalizar el ideal musculoso/atlético reportan mayor insatisfacción corporal, lo cual se asocia a cambios conductuales, tales como el aumento de la musculatura y alteración de los hábitos alimenticios para disminuir la grasa corporal, lo cual respalda que la presencia de grasa corporal es también una preocupación importante para los hombres (Cafri et al., 2005; Karazsia y Crowther, 2010; Tylka et al., 2005; Tylka, 2011).

Por su parte, Daniel y Bridges (2010) plantean que los hombres igualmente son afectados por los ideales corporales transmitidos por los medios de comunicación, por ende, es probable que internalicen esos ideales y se sientan sexualmente objetivados, obviando otras características importantes, tales como la personalidad, lo que resultaría en la autoobjetivación, tal como sucede en las mujeres.

Una perspectiva útil para el estudio del impacto de la exposición de los ideales corporales en la imagen corporal, es la teoría de la comparación social de Festinger (Watson et al., 2019), la cual establece que los seres humanos tienen una tendencia a evaluarse a sí mismas, comparándose con otros que se cree son similares para determinar los niveles propios de habilidades y éxitos (Festinger, 1954 citado en Bessenoff, 2006).

Según la teoría de la comparación de Festinger, existen dos tipos de comparación social: la comparación social descendente y la ascendente. La comparación social descendente es la comparación con otros que se perciben menos afortunados en un área y, que generalmente, mejora la autoestima. En tanto, la comparación ascendente es la comparación con otros que se perciben socialmente mejor y pueden conducir a una disminución en la autoestima (Bessenof, 2006; Myers y Crowther, 2009; Watson et al., 2019).

Si bien la teoría de la comparación social originalmente planteó que la comparación social se realiza con otros similares, la investigación ha manifestado que las personas realizan también comparaciones basadas en la apariencia con otros diferentes para evaluar sus propios cuerpos, por ejemplo, imágenes poco realistas de los ideales corporales. Además, a pesar de que la teoría plantea que las personas no continuarán comparándose,

especialmente de forma ascendente si resultan desfavorables para la propia imagen, algunas personas realizan con frecuencia comparaciones sociales incluso cuando tienen consecuencias perjudiciales (Myers y Crowther, 2009; Strahan et al., 2006; Watson et al., 2019).

En este sentido, cuando las comparaciones sociales ascendentes basadas en la apariencia resultan desfavorables puede conllevar a la insatisfacción corporal y a pensamientos negativos, tales como las preocupaciones por el peso corporal, las cuales se asocian con la vigilancia corporal (Bessenoff, 2006; Myers y Crowther, 2009).

Un aspecto importante relacionado con los ideales corporales son las conversaciones corporales negativas o charla gorda *("fat talk").* Según Britton et al. (2006), es un medio para el diálogo en donde las personas expresan su insatisfacción corporal. Estas conversaciones que consisten en hablar negativamente de la forma y tamaño del cuerpo, enfatizan los ideales corporales internalizados (Walker et al., 2015).

De acuerdo a Walker et al. (2015), la conversación corporal en línea y la comparación de la apariencia con otras personas en las redes sociales, se relacionan con preocupaciones de la imagen corporal que podrían conllevar a conductas de riesgo para la salud (desorden en la conducta de alimentación).

Un metaanálisis realizado por Myers y Crowther (2009) indicó que las preocupaciones sobre la imagen corporal difieren entre mujeres y hombres; mientras que en las mujeres desean un cuerpo delgado pero curvilíneo, los hombres desean un cuerpo musculoso. Estos ideales divergentes pueden tener implicaciones en los aspectos específicos de la apariencia que son más importantes según el género.

De acuerdo a Tiggemann (2011), aun cuando la perspectiva sociocultural se ha aplicado con mayor amplitud en área de la forma o peso corporal, también aplica a otras características como el color de la piel, el tamaño de los senos o cualquier otro atributo sobre el cual el individuo pueda sentirse insatisfecho o deficiente. Dicho esto, podría afirmarse su aplicación a las distintas áreas corporales, tal como plantea Cash en su concepción de imagen corporal y su evaluación mediante el instrumento multidimensional de la imagen corporal.

Según lo mencionado, la internalización de los ideales corporales constituye un riesgo importante para el desarrollo de una imagen corporal negativa que pudiera conllevar a comportamientos poco saludables (trastornos de la conducta alimentaria, exceso de ejercicios físicos, consumo de suplementos, uso de la cirugía, entre otros), de allí la importancia del estudio de los ideales corporales internalizados en estudiantes universitarios y su efecto en la imagen corporal.

Una variable relacionada con los ideales corporales internalizados es la autoobjetivación, entendida como un proceso multidimensional compuesto de distintos componentes.

**Autoobjetivación Corporal**

De acuerdo a Calogero (2012), "objetivar es convertir y tratar algo que no es un objeto como un objeto que puede ser usado, manipulado, controlado y conocido por sus propiedades" (p.574).

Entre las principales consecuencias psicológicas que se derivan de la objetivación es la autoobjetivación (Calogero, 2012), la cual se define como la tendencia a percibirse, describirse y tratarse a sí mismo según sus atributos o características físicas centradas en cómo se ven sus cuerpos, en lugar de centrarse en cómo se sienten o lo que pueden hacer con sus cuerpos (Aubrey, 2010; Calogero, 2012; Kahalon et al., 2018). Es adoptar o interiorizar una perspectiva sobre sí mismo en tercera persona como observadora, viéndose como un objeto (Calogero, 2012; Moya-Garófano et al., 2017).

Fredrickson y Roberts (1997) señalan que las personas que se autoobjetivan tratan a sus cuerpos como objetos, otorgando mayor relevancia a su apariencia, restando importancia a otros aspectos de sí mismos, tales como las emociones y la personalidad. Según Smolak y Murnen (2010), la autoobjetivación es una respuesta a las presiones socioculturales que promociona la apariencia como aspecto determinante del valor de una persona, minimizando la importancia de otros aspectos.

La autoobjetivación puede activarse o magnificarse por contextos sociales particulares (relaciones interpersonales, cultura, medios de comunicación) (Aubrey, 2010). La autoobjetivación implica una vigilancia constante o crónica de la apariencia que representa la manifestación conductual del constructo (Calogero, 2012), la cual es necesaria

para garantizar que se cumple con los estándares socioculturales del cuerpo (McKinley y Hyde, 1996).

Precisamente, la vigilancia corporal representa la experiencia de ver el cuerpo desde una perspectiva de un observador, como un monitoreo constante del cuerpo con pensamientos en términos de cómo se ven en lugar de cómo se sienten, lo que resulta en mayor autoobjetivación. Asimismo, la vergüenza corporal es el resultado de las discrepancias observadas cuando se compara el propio cuerpo con los ideales corporales impuestos por la sociedad. En conjunto, la autoobjetivación, la vigilancia corporal y la vergüenza corporal comprenden la tríada de la teoría de la objetivación (Daniel y Bridges, 2010).

Por su parte, Calogero (2012) señala que además de la vigilancia corporal, el aumento de la autoconciencia y el control de la apariencia, la vergüenza corporal, la ansiedad asociada a la apariencia, la concentración o "flujo" mental reducida y disminución de la conciencia de los estados corporales internos (saciedad, hambre, fatiga, emociones) y la insatisfacción corporal constituyen consecuencias psicológicas de la autoobjetivación.

Vangeel et al. (2018), Moradi y Huang (2008), Vandenbosch y Eggermont (2012; 2016), desarrollaron un modelo de la autoobjetivación entendiéndola como un proceso multidimensional conformado por distintos componentes interrelacionados con un orden definido, estableciendo como primer paso la internalización de los ideales de la apariencia, lo cual afecta la valoración de la apariencia física por encima de la competencia y la vigilancia corporal o el monitoreo repetido de la apariencia.

La internalización de los ideales de la apariencia sucede cuando las personas perciben los ideales presentados en los medios sociales como normas que deben seguir (Thompson y Stice, 2001; Pritchard, 2001). En tanto, la valoración de la apariencia física como algo más importante que las competencias y, la vigilancia corporal como la atención exagerada a la apariencia, involucran la adopción de la perspectiva de un observador hacia el propio cuerpo (Frederick y Roberts, 1997).

De acuerdo a Vangeel et al. (2018), a pesar de que la autoobjetivación se concibe como un proceso multidimensionalidad, no se han estudiado todas las relaciones potenciales entre ellos. En este sentido, realizaron una investigación longitudinal en una

muestra de 400 participantes con edades comprendidas entre los 12 y 20 años (54.5% mujeres) con la finalidad de estudiar las relaciones entre los tres componentes de la autoobjetivación en un período de seis años, desde la adolescencia hasta la edad adulta. Hallaron que un aumento en la internalización durante la adolescencia predijo un aumento posterior en la valoración de la apariencia sobre la competencia y la vigilancia corporal cinco años después, cuando los encuestados habían alcanzado la edad adulta. No se encontraron diferencias significativas según el sexo. Este hallazgo coloca en evidencia la asociación entre la internalización y la autoobjetivación y, su desarrollo a largo plazo.

Por su parte, Mckinley y Hyde (1996), denominaron conciencia del cuerpo cosificado o conciencia corporal objetivada a la experiencia de ver al cuerpo como objeto y los pensamientos asociados. La teoría de la objetivación desarrollada por Fredrickson y Roberts y, la conciencia corporal objetivada propuesta por McKinley y Hyde, postulan que la socialización de los roles de género y la objetivación sexual construyen los cuerpos como objetos para ser vistos por otros. Estas experiencias conllevan a la internalización de los estándares culturales de belleza y la autoobjetivación o a ver sus propios cuerpos como observadores externos (Moradi y Varnes, 2017).

McKinley y Hyde (1996) describieron tres manifestaciones clave de la conciencia corporal objetivada: la vigilancia corporal o el monitoreo permanente del cuerpo desde la perspectiva de un observador, comparando con el estándar cultural internalizado; la vergüenza corporal por no alcanzar los estándares culturales de belleza internalizados; y, las creencias de control de la apariencia u opiniones de la propia responsabilidad de cómo se ve el cuerpo y que se puede alcanzar los estándares culturales con suficiente esfuerzo. Estos autores teorizaron que la vigilancia corporal, la vergüenza corporal y las creencias de control surgen de la objetivación cultural de las mujeres. Bajo esta noción, los autores elaboraron Objectified Body Consciousnees Scales (OBCS) con la finalidad de medir el constructo.

Los puntajes altos en el OBCS se han relacionado positivamente con puntajes altos de objetivación sexual, de internalización de los estándares culturales de belleza y de sintomatología depresiva en mujeres (Grabe et al., 2007; Moradi et al., 2005; Parent y Moradi, 2015).

La teoría de la objetivación y la teoría de la conciencia corporal objetivada convergen en estas conceptualizaciones de la vigilancia corporal y la vergüenza corporal, aunque las creencias de control son una construcción caracterizada solo en el segundo marco (Moradi y Varnes, 2017).

Moradi y Varnes (2017), afirman que varios estudios respaldan las relaciones entre la internalización de los ideales corporales, la vigilancia corporal, la vergüenza corporal y sus consecuencias para las mujeres, tales como, la sintomatología depresiva. No obstante, los resultados con las creencias de control de la apariencia no han sido consistentes en relación a indicadores de la autoobjetivación.

El cuerpo femenino tiene una larga trayectoria en la autoobjetivación desde los medios sociales y los encuentros interpersonales, y esta objetivación se encuentra asociado con una disminución de bienestar (Moya-Garófano et al., 2017), disminución de la autoestima (Moya-Garófano et al., 2017), mayor impulso por la delgadez (Register et al., 2015) y disminución en las relaciones interpersonales (Saguy et al., 2010).

No obstante, en los últimos años se ha observado un rápido desarrollo de la objetivación del cuerpo masculino, colocándolos de igual forma que las mujeres bajo presiones para ajustarse a un cuerpo basado en su sexo. La autoobjetivación se relaciona con algunas conductas de riesgo para la salud (depresión, disfunción sexual, trastornos de la alimentación, menor autoestima, capacidad cognitiva reducida, mayor prevalencia de tabaquismo, disminución del rendimiento físico), por ende, su estudio en la población masculina requiere de su atención (Calogero, 2012).

De acuerdo a estudios realizados en hombres, se ha comprobado que se sienten objetivados por las mujeres, pero no responden tan negativamente como las mujeres. No obstante, esto no quiere decir que los hombres autoobjetivados no reporten consecuencias negativas, ya que algunos estudios han hallado que los hombres objetivados informan también vergüenza corporal y desórdenes de la alimentación, por ende, se requiere de su atención ya que, en un contexto cultural hipersexualizado, los hombres también pueden experimentar de forma importante la objetivación de sus cuerpos (Calogero, 2012). Igualmente, Daniel y Bridges (2010) afirman que la objetivación no es únicamente un fenómeno femenino, tal como lo concibieron Fredrickson y Roberts.

Las experiencias interpersonales de ser autoobjetivados, la vigilancia y la vergüenza corporal, predicen mayor consideración a someterse a la cirugía estética en mujeres con la finalidad de modificar y controlar su apariencia física (Calogero et al., 2010). Además, la vigilancia corporal predice la preocupación por el peso o por la forma corporal en mujeres universitarias (Fitzsimmons y Bardone-Cone, 2011). Asimismo, en mujeres universitarias la vigilancia corporal y la vergüenza corporal predicen trastornos de la alimentación, temor a engordar y menor autoestima; en tanto, las creencias de control se relacionan con mayor práctica del ejercicio físico para controlar el peso, y con mayor frecuencia de conductas dirigidas al control de la apariencia, tales como el uso de maquillaje o de ropa para aparentar estar delgada (Moya-Garófano et al., 2017).

De acuerdo a Barry et al. (2016), las redes sociales son una plataforma para la autoobjetivación, dado que la exposición a las mismas, amplifican la atención y la crítica hacia el propio cuerpo mediante el examen de la autoimagen y la comparación entre pares.

Estudios recientes destacan el efecto de las redes sociales en la autoobjetivación. Rounsefell et al. (2019) señalan que involucrarse en comportamiento de autoobjetivación en las redes sociales como la exposición a algunas imágenes inspiradoras de fitness (“fitspiration”) o publicar imágenes y esperar comentarios respecto a su apariencia, conllevan a manifestaciones negativas a largo plazo propias de la autoobjetivación, tales como vergüenza y vigilancia corporal, así como ansiedad por la apariencia e internalización de los ideales corporales, los cuales conllevan al desarrollo de la insatisfacción corporal.

En este sentido, Feltman y Szymanski (2017), encontraron en estudiantes universitarios (edad M=18.5, DE= 0.85) que el uso de Instagram se asoció positivamente con la autoobjetivación y la vigilancia corporal; además hallaron que los estándares corporales internalizados median la asociación entre el uso de la plataforma con la autoobjetivación y la vigilancia corporal, lo cual destaca el papel de los ideales corporales internalizados como elemento importante en la autoobjetivación.

Fardouly et al. (2018) en 146 mujeres con un rango de edad entre los 18 y 25 años, encontraron que la visualización de imágenes de fitspirations en Instagram correlacionó positivamente con la autoobjetivación, la cual estuvo mediada por la internalización del ideal de belleza.

En relación con la plataforma de Facebook, Hanna et al. (2017) en 1104 estudiantes universitarios (690 mujeres, 414 hombres), con edades comprendidas entre los 17 y 24 años (*M* = 19.11; *M* = 19.43, mujeres y hombres, respectivamente), hallaron que el tiempo invertido en su uso, se asoció positivamente con la autoobjetivación y la vigilancia corporal, lo cual se relacionó negativamente con la satisfacción corporal. Manago et al. (2015) en 467 estudiantes universitarios (467 mujeres y 348 hombres) encontraron que, tanto los hombres como las mujeres, la mayor participación en Facebook se asoció con mayor autoobjetivación o conciencia corporal objetivada. Por su parte, Cohen et al. (2017), en su estudio con mujeres con edades comprendidas entre los 18 y 29 años, encontraron que la exposición de la apariencia en Facebook correlacionó positivamente con la internalización ideal delgada y con la vigilancia corporal.

Otro aspecto relacionado con el uso de las redes sociales que afecta la imagen corporal, es el comportamiento relacionado con los selfies como una autoexpresión orientada a la apariencia. Así, Niu et al. (2019), hallaron que la publicación de selfies en las redes sociales correlacionó positivamente con la autoobjetivación en 886 estudiantes universitarias mujeres con edades comprendidas entre los 18 y 23 años. Asimismo, Butkowski et al. (2019), encontraron que la inversión en la retroalimentación de selfies se asoció positivamente con la vigilancia corporal y negativamente con la satisfacción corporal en 117 mujeres con edades entre los 18 y 30 años.

Por otro lado, se evidencia la relación del efecto de las publicaciones relacionadas con el entrenamiento físico o fitness. Arroyo et al. (2016), hallaron en un estudio con 488 participantes (323 mujeres) con una edad promedio de 20.51 (*DS*=1.43) que la publicación de acondicionamiento físico de los amigos se asoció negativamente con la satisfacción corporal.

La exposición frecuente a las publicaciones de fitness de los amigos como fotos o actualizaciones de estado sobre ejercicios y las imágenes o citas de inspiración fitness predicen las conversaciones corporales negativas en línea, lo cual se asoció negativamente con la satisfacción corporal en 488 participantes (323 mujeres) con una edad promedio de 20.51 (*DS* = 1.43) (Arroyo et al., 2016).

De esta forma, se entiende que la autoobjetivación afecta negativamente la imagen corporal y, que además su efecto se encuentra relacionado con la internalización de los ideales corporales.

En congruencia con el modelo multidimensional de la objetivación propuesto por los investigadores (Moradi y Huang, 2008; Vandenbosch y Eggermont, 2012; Vandenbosch y Eggermont, 2016) y, bajo la propuesta de Mckinley y Hyde (1996) de la conciencia corporal objetivada que surge de la objetivación cultural conformada por tres componentes (vigilancia, vergüenza y creencias de control de la apariencia), se propone el estudio de la internalización de los ideales como elemento importante en el modelo propuesto como proceso que la incluye como primer paso de la autoobjetivación, la cual afecta la valoración de la apariencia y la vigilancia corporal, específicamente en la conciencia corporal objetivada.

Asimismo, en consideración de la imagen corporal como un constructo multidimensional e integral, se propone el estudio de la imagen corporal desde un enfoque positivo con el aporte de la variables de percepción de aceptación del cuerpo por otros y de las estrategias de afrontamiento de aceptación racional positiva como factores protectores que promocionan una imagen corporal positiva en un proceso de influencia y regulación recíproca entre los sistemas internos o del individuo (sentimientos, pensamientos, correlatos fisiológicos) y los sistemas externos o del medio ambiente (amigos, familia, cultura), en una transacción dinámica entre el individuo, el cuerpo y el entorno social ante las posibles amenazas o desafíos impuestos durante la socialización.

En definitiva, bajo la concepción de la imagen corporal como un constructo multidimensional y complejo, el objetivo de la investigación se dirigió a comprobar, mediante ecuaciones estructurales, cómo la imagen corporal es influenciada por las estrategias de afrontamiento de aceptación racional positiva, la autoobjetivación, los ideales corporales internalizados, la percepción de aceptación del cuerpo por otros y el sexo, evaluándose, a su vez, las posibles relaciones causales entre estas variables.

# Método

## Problema de investigación

¿Cómo el sexo, la percepción de aceptación del cuerpo por otros, los ideales corporales internalizados, la autoobjetivación y las estrategias de afrontamiento de aceptación racional positiva, influyen en la imagen corporal en estudiantes universitarios y, cómo se relacionan entre sí dichas variables?

## Hipótesis

### *Hipótesis General*

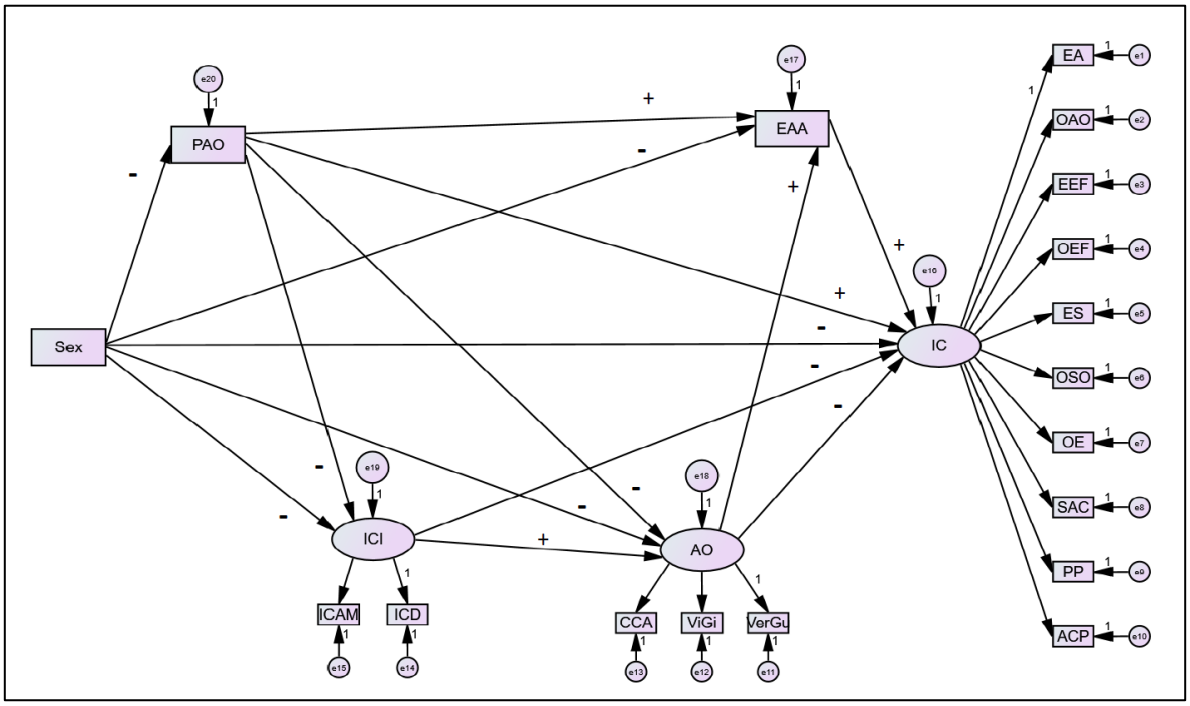
El sexo, la percepción de aceptación del cuerpo por otros, los ideales corporales internalizados, la autoobjetivación corporal y las estrategias de afrontamiento de aceptación racional positiva, influyen de forma directa o indirecta en la imagen corporal en estudiantes universitarios.

### *Hipótesis Específicas*

A continuación, se presenta el modelo teórico a prueba en la presente investigación mediante el diagrama estructural, donde se postulan las posibles relaciones de cómo el sexo, la percepción de aceptación del cuerpo por otros, los ideales corporales internalizados, la autoobjetivación corporal y las estrategias de afrontamiento de aceptación racional positiva influyen en la imagen corporal y, cómo se relacionan entre sí dichas variables.

**Figura 1**

Diagrama estructural. Modelo A




*Nota*. Sex=Sexo; PAO= Percepción de Aceptación del Cuerpo por Otros; ICI= Ideal Corporal Internalizado; ICD= Ideal Corporal Delgado; ICIM= Ideal Corporal Atlético-Musculoso; AO= Autoobjetivación; VerGu=Vergüenza; ViGi=Vigilancia; CCA=Creencias de Control sobre la Apariencia; EAA=Estrategias de Afrontamiento de Aceptación; IC=Imagen Corporal; EA=Evaluación de la Apariencia; OAO=Orientación a la Apariencia; EEF=Evaluación del Estado Físico; OEF=Orientación al Estado Físico; ES=Evaluación de la Salud; OSO=Orientación Salud; OE=Orientación a la Enfermedad; SAC=Satisfacción de las Áreas Corporales; PP=Preocupación por el Peso; ACP=Autoclasificación del peso.

## Variables de estudio

### Variable Exógena

#### *Sexo*

Definición Constitutiva

Es el conjunto de características físicas, biológicas, anatómicas y fisiológicas de los seres humanos, que los definen como hombre o mujer (Madrigal, 2013).

Definición Operacional

Identificación del participante según el sexo en el formato de datos sociodemográficos, computado mujer como cero (0) y hombre como uno (1).

## Variables Endógenas

### *Percepción de Aceptación Corporal por Otros*

Definición Constitutiva

Grado de percepción de aceptación de la apariencia personal por otros importantes (amigos, familiares), los medios de comunicación y la sociedad (Avalos y Tylka, 2006).

Definición Operacional

Puntaje obtenido en la escala *Body Acceptance by Others Scale* (*BAOS*; Avalos y Tylka 2006) mediante el promedio de los puntajes obtenidos en los 10 ítems que los conforman. La escala de respuesta es de tipo Likert de 5 puntos que va desde 1 (nunca) hasta 5 (siempre) en un rango comprendido entre 1 y 5. Un mayor puntaje sugiere una mayor aceptación percibida por otros respecto a la forma y el peso del propio cuerpo.

### *Ideales corporales internalizados*

Definición Constitutiva

Nivel de aceptación o acuerdo abierto respecto a los estándares socioculturales de la apariencia delgado/con baja grasa corporal y el atlético/musculoso (Schaefer et al., 2015).

Definición Operacional

Puntaje promedio obtenido en cada una de las subescalas de internalización del *Sociocultural Attitudes Towards Appearance Questionnaire-4* (*SATAQ-4*; Schaefer et al., 2015): internalización del cuerpo ideal delgado (4 ítems) y la internalización del cuerpo musculoso/atlético (5 ítems) mediante el promedio de los puntajes obtenidos en cada subescala en un rango que fluctúa entre 1 y 5, donde mayor puntaje indica mayor internalización del ideal corporal ideal delgado o musculoso respectivamente.

### *Autoobjetivación Corporal*

Definición Constitutiva

Conciencia corporal objetivada caracterizada por el monitoreo constante del cuerpo en comparación con los estándares culturales, la vergüenza por no alcanzarlos y las creencias de la propia responsabilidad de cómo se ve el cuerpo (McKinley y Hyde, 1996).

Definición Operacional

Puntaje promedio obtenido en cada una de las subescalas del *Objetified Body Consciousness Scale* (*OBCS*; McKinley y Hyde, 1996; versión en español de Moya-Garófano et al., 2017): vigilancia corporal (8 ítems), vergüenza corporal (8 ítems) y creencias de control de la apariencia (8 ítems). La escala de respuesta es tipo Likert del 1 (totalmente en desacuerdo) al 7 (totalmente de acuerdo). Los puntajes fluctúan entre 1 y 7 donde puntajes altos apuntan a mayor vigilancia corporal, vergüenza corporal y creencias de control de la apariencia, respectivamente.

***Estrategias de Afrontamiento de Aceptación Racional Positiva***

Definición Constitutiva

Conjunto de esfuerzos cognitivos y conductuales desarrollados para adaptarse o hacer frente a los pensamientos, sentimientos y situaciones estresantes o desafiantes asociados a la imagen corporal enfocadas en la aceptación del evento desafiante y en la participación de conductas de autocuidado positivo y el diálogo interno racional sobre la propia apariencia (Cash et al., 2005).

Definición Operacional

Puntaje obtenido en la subescala de estrategias de afrontamiento de aceptación racional positiva del *Body Image Coping Strategies Inventory* (*BICSI*; Cash, 1999; Cash et al., 2005) conformado por 11 ítems. La escala de respuesta está conformada por 4 puntos (1= no se parece nada a mí hasta 4 = muy parecido a mí). El puntaje se obtiene mediante el promedio de los puntajes obtenidos y fluctúan entre 1 y 4, donde puntajes altos indican mayor probabilidad de emplear las estrategias de afrontamiento de aceptación racional positiva.

***Imagen Corporal***

Definición Constitutiva

Disposición actitudinal (sentimientos, pensamientos, acciones) hacia la imagen corporal caracterizada por la evaluación y la orientación cognitiva-conductual hacia la apariencia física, las competencias corporales y su integridad física o biológica (salud-enfermedad) (Cash, 2000; Cash, 2015).

Definición Operacional

Puntaje promedio obtenido en cada una de las subescalas del *Multidimensional Body-Self Relations Questionnaire* (*MBSRQ*; Cash, 1990, 2017, 2018; Cash et al., 1985, 1986) conformado por 10 dimensiones con un total de 69 ítems: evaluación de la apariencia (7 ítems), orientación de la apariencia (12 ítems), evaluación del estado físico (3 ítems), orientación al estado físico (13 ítems), evaluación de la salud (6 ítems), orientación a la salud (8 ítems), orientación a la enfermedad (5 ítems), satisfacción por las áreas corporales (9 ítems), preocupación por el sobrepeso (4 ítems) y auto clasificación del peso corporal (2 ítems). Este instrumento cuenta con varias escalas de respuesta. Cada ítem se puntúa en una escala de 5 puntos y evalúa el grado de acuerdo o desacuerdo (ítems 1-57) (1 = "Totalmente en desacuerdo" a 5 = "Totalmente de acuerdo"); la frecuencia (ítem 58) (de 1 = “Nunca" a 5 = "Muy a menudo"); la satisfacción con áreas corporales (ítems 61-69) (1= “Muy insatisfecho” a 5 = “Muy satisfecho”); y, la auto clasificación del peso (ítems 59 y 60) (1 = “Muy por debajo del peso normal” a 5 = “obeso/a”. El puntaje en cada dimensión se obtiene por el promedio de las puntuaciones obtenidas en cada una de ellas. Cada dimensión arroja un puntaje mínimo de 1 y un puntaje máximo de 5. Un mayor puntaje sugiere mayor disposición actitudinal hacia cada una de las subescalas constituyentes. Así, en la evaluación de la apariencia, alto puntaje refleja sentimientos positivos o satisfacción con la apariencia; en la orientación de la apariencia, alto puntaje sugiere mayor importancia en cómo se ven y mayor participación en acciones para verse bien; en la evaluación del estado físico, puntaje alto expresa sentirse físicamente en forma o atléticamente activo y competente; en la orientación del estado físico, alto puntaje sugiere mayor importancia en estar en buena forma física o atléticamente competente y mayor participación en actividades/ejercicios para mantener o mejorar su condición físico; en la evaluación de la salud, alto puntaje indica sentirse de buena salud física y con baja vulnerabilidad ante la enfermedad; en orientación de la salud, un puntaje alto refleja mayor importancia en la salud física y mayor participación en conductas para una vida saludable; en orientación de la enfermedad, alto puntaje sugiere mayor atención a los síntomas corporales asociados a la enfermedad y mayor propensión a buscar atención médica; satisfacción de áreas corporales, alto puntaje refleja satisfacción con áreas corporales específicas (cara, cabello, parte superior del cuerpo, parte media del cuerpo, parte superior del cuerpo, tono muscular, peso,

altura, aspecto general); preocupación por el sobrepeso, un puntaje alto revela ansiedad por el aumento de peso y control excesivo por el peso y dietas de adelgazamiento o de restricción alimentaria; y, la auto clasificación del peso, un alto puntaje indica mayor percepción del peso corporal.

**Variables controladas**

Estudiantes universitarios (Técnica de control: Homogeneización): Participaron estudiantes de pregrado de universidades e institutos universitarios de Venezuela con edades comprendidas entre los 18 y 40 años.

Instrucciones y orden de aplicación de los instrumentos de recolección de datos (Técnica de control: Estandarización). Se llevaron a cabo las mismas instrucciones y el mismo orden en la aplicación de cada uno de los instrumentos de recolección de datos a utilizar en la presente investigación.

**Tipo de Investigación**

El tipo de investigación en cuanto al grado de control corresponde a un estudio ex post facto, de corte no experimental. Es una investigación no experimental, dado que se realizó un estudio empírico y sistemático sin control directo de las variables estudiadas, ya que son inherentemente no manipulables o sus manifestaciones ya han ocurrido, con la finalidad de realizar inferencias sobre las relaciones entre las variables estudiadas, sin intervención directa por parte del investigador (Kerlinger y Lee, 2002).

**Diseño de Investigación**

Corresponde a un estudio ex post facto con diseño prospectivo con más de un eslabón causal dado que es un estudio dirigido al contraste de las relaciones causales con variables no manipuladas, donde se estudia el efecto de un conjunto de variables independientes dentro de una misma muestra en, por lo menos, dos eslabones causales (directas e indirectas) (León y Montero, 1997; Montero y León, 2002; 2005).

El diseño es de corte transversal, ya que se evalúan a los participantes en un solo momento y se dirige a establecer relaciones causales basado en un modelo estructural (Kerlinger y Lee, 2002).

El modelo de ecuaciones estructurales es un método estadístico que evalúa las relaciones entre varias variables de forma simultánea y es considerada una familia de técnicas estadísticas relacionadas ya que examina las propiedades de medición para cada variable junto con las interrelaciones entre las variables (Collier, 2020). En este sentido, Ruiz et al. (2010), señalan que "son una familia de modelos estadísticos que permiten estimar el efecto y las relaciones entre múltiples variables".

Es considerada una combinación entre las técnicas de análisis factorial y análisis de regresión múltiple, por ende, incluye dos modelos, un modelo de medida y un modelo estructural. El modelo de medida, específica las reglas de correspondencia teórica entre las variables medidas o indicadores y las variables latentes o constructos, es decir, cómo son operacionalizados los constructos por un conjunto de variables medidas. Por su parte, el modelo estructural, específica las relaciones estructurales entre los constructos o cómo se afectan entre sí (Hair et al., 2019).

En términos empíricos, la relación estructural está representado por la estimación del parámetro estructural o estimación de ruta, por ende, es denominado también como modelo causal dado que se infiere que las relaciones cumplen las condiciones necesarias para la causalidad o evidencias de la misma, a saber: covariación entre las variables a partir de las rutas estimadas significativas como evidencia, secuencia temporal a partir de la teoría como guía para argumentar la secuencia de efectos de un constructo a otro y soporte teórico fundamental en el modelo de ecuaciones estructurales, dado que cumple con las funciones de especificar las relaciones que definen el modelo, de establecer la causalidad cuando se utilizan datos transversales y de aportar estrategias de modelado (modelado confirmatorio, modelado alternativo y desarrollo de modelos) (Hair et al., 2019).

Respecto a las estrategias de modelado, en la presente investigación se utilizó un enfoque de modelos alternativos ya que se propuso más de un modelo teórico y se probaron con la finalidad de comprobar cuál obtiene un mejor ajuste; asimismo, se utilizó un enfoque de desarrollo de un modelo a partir de la valoración de las relaciones significativas obtenidas en el modelo con mejor ajuste de los modelo alternativos, otorgando prioridad a la prueba de la teoría ante el buen ajuste del modelo (Hair et al., 2019).

Por ende, se afirma la derivación de la causalidad a partir del análisis de ecuaciones estructurales a través del control estadístico y de la selección de efectos entre constructos guiada por la teoría. Todo ello bajo el marco de la lógica del modelo de ecuaciones estructurales que afirma la posibilidad de obtener medidas de covariación esperadas entre las variables a partir de los efectos causales especificados en el modelo, de modo que, si el modelo causal propuesto es correcto, las medidas de covariación esperadas y las observadas serían semejantes, es decir, los datos estimados por el modelo concuerdan con los datos observados evaluados por los índices de ajuste; y en caso contrario, de no corroborarse el ajuste del modelo, se puede descartar la hipótesis causal propuesta. De esta forma, se trata de poner a prueba modelos hipóteticos mediante el contraste empírico de relaciones causales en datos no experimentales (Medrano y Muñoz-Navarro, 2017).

Se considera la teoría debe como guía para la conceptualización de un modelo y para la comprensión de las relaciones entre las variables de estudio. En este sentido, se afirma que un modelo de ecuaciones estructurales adopta un enfoque confirmatorio, ya que un modelo conceptual se determina a priori y, luego de recoger los datos se analiza para probar qué tan bien se ajusta el modelo a los datos con la finalidad de confirmar las hipótesis de cómo los constructos se influyen entre sí (Collier, 2020).

De esta forma, se busca probar un modelo teórico evaluando qué tan bien se ajusta a los datos observados, el cual se determina por la similitud resultante entre la matriz de covarianza observada entre las variables observadas y una matriz de covarianza estimada generada a partir de las ecuaciones que representan al modelo teórico propuesto (Hair et al. 2019). Así, el ajuste del modelo se puede expresar por una conjetura principal que enuncia que si el modelo es correcto y se conociera los parámetros del modelo estructural, la matriz de covarianzas poblacional se podría reproducir a partir de la combinación de los parámetros del modelo (Ruiz et al., 2010).

En términos de procedimiento, el modelo de ecuaciones estructurales abarca dos grandes pasos, donde primero se realiza la evaluación del modelo de medida y luego la evaluación del modelo estructural; así, un modelo estructural completo abarca un modelo de medida y un modelo estructural (Hair et al., 2019). En palabras de Collier (2020), en el

modelo estructural completo, los constructos y sus indicadores se modelan junto con las relaciones entre los constructos.

Así, se siguen las siguientes etapas del modelo de ecuaciones estructurales (Hair et al., 2019): definición de los contructos, especificación del modelo, diseño de estudio, estimación del modelo y evaluación de la validez del modelo.

Como inicio, se definen los constructos a partir de la teoría como base para la selección y el diseño de los elementos indicadores de los constructos. En la siguiente etapa, se desarrolla y se especifican los modelos de medida y estructural, es decir, se representan las relaciones que sugieren cómo las variables medidas representan a un constructo (operacionalización de los constructos por las variables medidas) y la representación de las relaciones entre los constructos (cómo se afectan entre sí), respectivamente (Hair et al., 2019).

En la especificación del modelo estructural, se distinguen los constructos en exógenas (predictoras) y endógenas (predichas); asimismo, como en la mayoría de los modelos de ecuaciones estructurales, hay más de un constructo endógeno, que a su vez predice a otra, en tal caso, más de una variable endógena funciona como predictor y como predicha o consecuente. Conjuntamente se especifican los errores, tanto de medición como de predicción. Esta etapa consiste básicamente en la representación conceptual de las relaciones a través de la interfaz gráfica del programa estadístico resultando un diagrama estructural, de ruta o causal (Hair et al., 2019).

Seguidamente, se diseña el estudio para la generación de los resultados. Previamente se evalúan los princiaples supuestos para el análisis según Collier (2020): nivel de medida continua para las variables dependientes, tamaño de la muestra adecuado, suposición de relaciones lineales entre las variables, distribución multivariante normal y ausencia de multicolinealidad.

Se especifican los parámetros fijos (parámetro restringido o fijado a algún valor) y parámetros libres (parámetros a estimar por el programa de ecuaciones estructurales para representar la magnitud de las relaciones tanto entre los constructos como entre los constructos y sus indicadores) del modelo (Hair et al., 2019).

Los modelos diseñados se consideran recursivos dado que las rutas entre los constructos proceden unicamente del constructo predictor (antecedente) al constructo predicho o dependiente (consecuente), es decir, ningún constructo tiene relaciones bidireccionales (Hair et al., 2019).

Desde la perspectiva del modelo de medida, se considera como un modelo reflexivo, ya que se asume que los constructos causan las variables medidas y que el error de la medición es producto de la incapacidad del constructo en explicar completamente las variables medidas, por ende, las flechas van desde los constructos hacia las variables medidas o indicadores y las flechas del error van hacia las variables medidas. Debido a esto, se supone que todos los indicadores son causados por el mismo constructo, por lo tanto, se espera que estén altamente correlacionados entre sí, por ende, las cargas factoriales bajas pueden eliminarse sin cambiar el significado del constructo, dejando los indicadores más representativos. Así, las escalas o subescalas de medida deben mostrar validez de constructo y se deben especificar, por lo menos, tres variables o indicadores por factor con la finalidad de evitar las dificultades de identificación (Hair et al., 2019).

En este sentido, siguiendo las indicaciones de Hair et al. (2019) con la finalidad de evitar problemas de identificación matemática o falta de convergencia que conllevan a que el modelo no converga o genere resultados sin sentido, se deben evitar constructos con menos de tres indicadores; por ende, en el caso dos indicadores, se puede aplicar la regla de los dos indicadores que consiste en identificar agregando restricciones, especificando que ambos tienen la misma carga factorial (generalmente 1) y configurando como libre la varianza de error. Este procedimiento se puede aplicar a los constructos con más de dos indicadores cuando arrojen resultados ilógicos, como varianzas de error negativa o estimaciones de parámetros muy altos (cargas factoriales o regresiones), lo cual se conoce como equivalencia tau.

Consecutivamente, se identifica el modelo que consiste en verificar si existe información suficiente para identificar (calcular) una solución al conjunto de ecuaciones estructurales propuesto a través del modelo de ecuaciones estructurales basado en la covarianza (Hair et al., 2019).

Dado que el modelo de ecuaciones estructurales se basa en la estimación de las covarianzas a partir de las relaciones especificadas, cada parámetro a estimar debe ser derivable de la matriz de covarianza estimada. De esta forma, para establecer si el modelo está identificado, se debe considerar los grados de libertad que se obtiene con la resta del número de parámetros a ser estimado del número de elementos conocidos de la matriz de covarianza. Según el número de grados de libertad el modelo se clasifica en subidentificado ($gl < 0$), identificado ($gl = 0$) y sobreidentificado ($gl > 0$), siendo este último el tipo de modelo idóneo de ser estimado y contrastado (Medrano y Muñoz-Navarro, 2017).

Luego, la estimación del modelo que consiste en obtener los valores del los parámetros especificados a partir de las varianza y covarianzas muestrales (Hair et al., 2019). Se emplea como método de estimación el método de máxima similitud ya que se considera un método robusto según los autores. Como programa estadístico se emplea el *AMOS* versión 23.

La validez del modelo de medida se evalúa a partir de la examinación de los valores de los índices de ajuste y de alguna evidencia de validez de constructo (Hair et al., 2019). Respecto a la validez de constructo, los autores indican que todas las cargas factoriales deben ser estadísticamente significativas e iguales o mayores a 0.5 (idealmente valores mayores a 0.7) como confirmación de que los indicadores están fuertemente relacionados con sus constructos, evidenciando validez de constructo. De esta manera, cargas estandarizadas bajas de una variable/indicador pueden considerarse candidatas de eliminación del modelo. No obstante, en la presente investigación se tomaran cargas factoriales iguales o mayores a 0.30 como valor menos restrictivo, en consonancia a Lloret-Segura et al. (2014), quienes afirman que las medidas en Psicología, los ítems no son indicadores perfectos del constructo que miden.

Por otro lado, también se consideran las correlaciones múltiples al cuadrado (medida o grado en que la varianza de una variable medida es explicada por un constructo) como evidencia de confiabilidad del indicador.

La validez del modelo estructural se evalúa primero, en función de que tan bien la matriz de covarianza observada se ajusta a la covarianza estimada y, luego, se evalúan las relaciones de dependencia hipóteticas. En ambos casos, la evaluación de los índices de

ajuste son los mismos. En este sentido, la bondad del ajuste indica que tan bien el modelo especificado reproduce la matriz de covarianza entre las variables indicadoras o la precisión de la teoría propuesta.

De acuerdo a Hair et al. (2019) para la evaluación de la bondad del ajuste se deben emplear, como mínimo, un índice absoluto, un índice incremental y un índice de parsimonia. Como estadísticos de ajuste absoluto se emplean, el chi-cuadrado (significación > 0.05), el chi-cuadrado normado (< 3) y el índice de bondad de ajuste (*GFI* > 0.90); como índice comparativo, el índice de bondad de ajuste comparativo (*CFI* > 0.90); y, como ajuste de parsimonia con la finalidad de evaluar los modelos competitivos (considerando su inclinación por los modelos más simples o con menor cantidad de parámetros estimados), en este caso, se utiliza el índice de ajuste parsimonioso normado (*PNFI* cercanos a uno como evidencia de mejor ajuste). Asimismo, se evalúa el índice de la raíz cuadrada media del error de aproximación (*RMSEA* > 0.08) como evidencia de mal ajuste del modelo.

También se realiza una inspección de los residuos (diferencias entre los términos de covarianza observadas y los términos de covarianza estimada). En caso de resultar valores absolutos mayores de 4 puede considerarse la eliminación de uno de los elementos (Hair et al., 2019).

De esta forma, se analizan los distintos índices de ajuste considerando las dificultades o limitaciones a que podrían conllevar como respuesta a modelos complejos. Asimismo, se asumen la sugerencia de contar con varios modelos alternativos o competitivos con la finalidad, no solo de aceptar o rechazar un modelo basado en los índices, sino de evaluar y respaldar un modelo teórico superior (Hair et al., 2019).

Las relaciones propuestas o parámetros individuales representados por cada ruta se consideran válidas cuando son estadísticamente significativas al 5% y con la dirección propuesta; así, se examinan considerando las magnitudes y las direcciones de la estimación de los parámetros, es decir, se determina el grado en que el modelo estimado respalda cada relación especificada. Como criterio, se espera que las magnitudes sean mayor de cero, si las hipótesis son positivas y, menores de cero, si las hipótesis son negativas (Hair et al., 2019).

## Diseño Muestral

La población correspondió a estudiantes universitarios de pregrado pertenecientes a universidades o institutos universitarios de Venezuela. Participaron 515 estudiantes de pregrado (295 mujeres, 220 hombres) con edades comprendidas entre los 18 y 40 años (*M* = 20.92, *DE* = 3.42) e IMC entre 13.42 y 35.86 (*M* = 22.86, *DE* = 4.02). Respecto a las universidades, el 71.8% correspondió a estudiantes de la Universidad Católica Andrés Bello (65.4% Sede Montalbán, 6.4% Guayana), el 13.2% a estudiantes de la Universidad Bicentenaria de Aragua, el 5.2% a la Universidad Central de Venezuela, el 2.9% a la Universidad Santa María, el 1.7% a la Universidad de Carabobo y el 5.2% a diversas Universidades de Venezuela (Universidad Simón Bolívar, Universidad Nacional Experimental Francisco de Miranda, Universidad Centro Occidental Lisandro Alvarado, Universidad de los Andes, Universidad Nacional Abierta, entre otras) (ver anexo 1).

Los participantes se seleccionaron mediante muestreo no probabilístico de tipo propositivo dado que hay intenciones deliberadas por seleccionar sujetos con características particulares que caracterizan a un grupo (Kerlinger y Lee, 2002). La participación de los sujetos fue anónima, confidencial y voluntaria.

## Instrumentos

### *Multidimensional Body-Self Relations Questionnaire (MBSRQ;* Brown et al., 1990; Cash, 2017, 2018; versión validada en la presente investigación de la versión de Botella et al., 2009).

Este instrumento mide la imagen corporal desde una perspectiva actitudinal (afectivo, cognitivo y conductual) y está constituido por diez subescalas: Evaluación de la apariencia (7 ítems: 5, 11, 21, 30, 39, 42 y 48), orientación a la apariencia (12 ítems: 1, 2, 12, 13, 22, 23*, 31, 32*, 40*, 41, 49*, 50), evaluación del estado físico (3 ítems: 24, 33, 51), orientación al estado físico (13 ítems: 3, 4, 6, 14, 15, 16, 25*, 26, 34*, 35, 43, 44 y 53), evaluación de la salud (6 ítems: 7, 17*, 27, 36*, 45* y 54), orientación a la salud (8 ítems: 8, 9, 18, 19, 28*, 29, 38 y 52), orientación a la enfermedad (5 ítems: 37*, 46, 47*, 55, 56), satisfacción por las áreas corporales (9 ítems: 61, 62, 63, 64, 65, 66, 67, 68 y 69), preocupación por el peso (4 ítems: 10, 20, 57 y 58) y auto clasificación del peso corporal (2 ítems: 59 y 60). Comprende varias escalas de respuesta. Cada ítem se puntúa en una escala

de 5 puntos y evalúa el acuerdo (ítems 1-57) (1="Totalmente en desacuerdo" a 5= "Totalmente de acuerdo"), la frecuencia (ítem 58) (de 1: "Nunca" a 5: "Muy a menudo") o la satisfacción (ítems 61-69) (1= “Muy insatisfecho” a 5: “Muy satisfecho”) Para los ítems relacionados con la auto clasificación del peso (ítems 59 y 60), se califica de 1: “Muy por debajo del peso normal” a 5: “obeso/a”. El puntaje en cada dimensión se obtiene por el promedio de las puntuaciones obtenidas en cada una de ellas con inversión de los ítems con asterisco. Los puntajes fluctúan entre 1 y 5 puntos en cada dimensión. Un alto puntaje sugiere mayor disposición actitudinal hacia el propio físico en cada una de las subescalas (* ítems con escala de respuesta inversa) (ver anexo 2).

El MBRSQ es un instrumento diseñado para evaluar la imagen corporal como un constructo multidimensional. Inicialmente se concibió como un cuestionario (BSRQ) conformado por 294 ítems con una escala de respuesta tipo Likert de cinco puntos (1 = totalmente en desacuerdo a 5 = totalmente de acuerdo) conformada por tres dimensiones: evaluación (cognitiva y afectiva de la apariencia); orientación (cogniciones que manifiestan el grado de atención en el cuerpo) y el comportamiento (acciones dirigidas al mantenimiento o mejora de la apariencia del cuerpo). A partir de una prueba piloto en estudiantes universitarios, se eliminaron varios ítems quedando 140 con nueve subescalas. Luego de sucesivos estudios psicométricos, las subescalas se conformaron por seis ítems cada uno, excepto una con 12 ítems denominada orientación a la apariencia (importancia o inversión psicológica de la apariencia); el resto de las escalas se denominaron: evaluación de la apariencia (sentimientos de atractivo físico o falta de atractivo), evaluación de la aptitud física (sentimientos de ser físicamente aptos o no aptos); orientación al fitness (nivel de inversión para estar en buena forma física o atléticamente competente); evaluación de la salud (evaluación de la salud o ausencia de enfermedad); orientación de la salud (nivel de inversión en un estilo de vida saludable) (Cash, 2015).

En 1985, Cash, Winstead y Janda realizaron una encuesta con una muestra aleatoria conformada por 2066 participantes con edades comprendidas entre los 15 y 74 años, lo cual proporcionó información relevante sobre la validez de su estructura. En 1990, Brown, Cash y Mikulka, realizaron un análisis factorial de estos datos obteniendo información que apoyó la estructura conceptual de la imagen corporal tanto en hombres como en mujeres (evaluación y orientación en las tres áreas: apariencia, aptitud y salud). Asimismo, el

estudio arrojó una subescala separada de la subescala de salud, pero orientada a la enfermedad, denominada orientación a la enfermedad (estado de alerta o reactividad a enfermarse) (Cash, 2000, 2015).

A partir de estudios posteriores, Cash amplió el cuestionario BSRQ de 54 ítems y 7 escalas incluyendo tres subescalas, renombrando el instrumento a multidimensional (MBSRQ) con un total de 10 escalas. Las tres escalas añadidas son: escala de satisfacción de áreas corporales (satisfacción o insatisfacción con algunas áreas corporales específicas y apariencia general, evaluada a partir de una escala tipo Likert de 5 puntos 1= muy insatisfecho a 5 = muy satisfecho); preocupación por el peso (evalúa la ansiedad por engordar, vigilancia del peso y restricción de la ingesta alimentaria a partir de dietas, evaluada mediante dos escalas de respuesta, la primera corresponde a la escala Likert que evalúa el desacuerdo o acuerdo; y un ítem con una escala tipo Likert que examina la frecuencia de las dietas, donde 1 = nunca hasta 5 = muy a menudo); y la subescala de autoclasificación del peso (percepción y autoclasificación del peso en una escala de cinco puntos 1= muy por debajo del peso normal hasta 5 = obeso/a, donde el punto 3 = normal) (Cash, 2015).

Existe una versión reducida del instrumento que evalúa la imagen corporal relacionada con la apariencia MBSRQ-AS constituida por 34 ítems en 5 subescalas: evaluación de la apariencia, orientación de la apariencia, satisfacción áreas corporales, preocupación por el peso y autoclasificación del peso (Cash, 2000, 2015).

Asimismo, el MBSRQ de 69 ítems puede reducirse en términos de puntajes obtenidos o subescalas, uniendo las subescalas de evaluación del estado físico y evaluación en la salud en una subescala de evaluación estado físico y salud a partir del promedio de los ítems que lo conforman. También, se pueden combinar las subescalas de orientación del estado físico y orientación de la salud en una escala de orientación del estado físico y salud obtenida por el cálculo del promedio de los ítems (Cash, 2000).

Las subescalas MBSRQ han demostrado una consistencia y estabilidad interna aceptable, y una evidencia de validez de constructo adecuada en muestras de hombres y mujeres (Cash, 2018). Según Cash (2000), el estudio psicométrico realizado por Brown et al. en 1985 en una muestra de 2066 participantes en las primeras 7 subescalas arrojaron los

siguientes resultados: Evaluación de la apariencia ($\alpha$ = 0.88 en hombres y $\alpha$ = 0.88 en mujeres), orientación a la apariencia ($\alpha$ = 0.88; $\alpha$ = 0.85), evaluación del estado físico (α = 0.77; α = 0.77), orientación al estado físico (α = 0.91; α = 0.90), evaluación de la salud (α = 0.80; α = 0.83), orientación a la salud (α = 0.78; $\alpha$ = 0.78), orientación a la enfermedad ($\alpha$ = 0.78; α = 0.75). Un estudio psicométrico del resto de las subescalas (integradas al instrumento luego) realizado por los autores en 1990 en una muestra conformada por 335 hombres y 804 mujeres derivaron los siguientes coeficientes: satisfacción por las áreas corporales (α = 0.77; α = 0.73), preocupación por el peso (α = 0.73; α = 0.76), auto clasificación del peso corporal (α = 0.70; α = 0.89).

Asimismo, se han reportado evidencias de validez convergente y discriminante. Además, tanto el MBSRQ como el MBRSQ-AS se han traducido a diferentes idiomas (español, francés, alemán, griego, polaco, portugués) (Cash, 2015).

Botella et al. (2009), realizaron un estudio con la finalidad de validar la versión española del MBSRQ en una muestra de 261 participantes conformados por 131 estudiantes universitarios (98 mujeres y 33 hombres; edades comprendidas entre 21 y 42 años, *M* = 23.6 y *DE* = 2.9) y 130 pacientes que se sometieron a una cirugía estética (124 mujeres y 6 hombres con edades de 18 y 70 años de edad con *M* = 40.3 y *DE* = 10.2). Se excluyeron aquellos casos con alguna alteración relacionada con la imagen corporal (trastorno alimentario, dimorfobia, deformaciones físicas o minusvalía).

El estudio psicométrico consistió en la traducción y adaptación lingüística del instrumento, el análisis factorial exploratorio y la consistencia interna de la estructural factorial obtenida. A partir del análisis factorial exploratorio con el método de los componentes principales con rotación varimax, obtuvieron que los ítems se agruparon en cuatro factores que explican el 43.46 % de la varianza de los datos: factor uno denominado importancia subjetiva de la corporalidad (30 ítems: 1, 3, 4, 8, 10, 13, 14, -15, -18, 21, 24, -25, 27, 29, -34, -38, 39, -43, 46, -49, 50, 52, 55, 56, -63, -64, -65, -66, -67, -69) que explica un 24.81 % de la varianza; factor dos llamado conductas orientadas a mantener la forma física (7 ítems: -6, -16, 26, -33, 35, 44, 53) que explica un 10.33 % de la varianza; factor tres o atractivo físico autoevaluado (4 ítems: 5, 11, 30, 42) un 5.1%; y, el factor cuatro denominado cuidado del aspecto físico (4 ítems: 12, 20, 22, 41, 51) que explica un 3.24 %

de la varianza de los datos. El resto de los ítems no cargaron de forma significativa en alguno de los factores (2, 7, 9, 17, 19, 23, 28, 31, 32, 36, 37, 40, 45, 47, 48, 54, 57, 58, 62, 68); además, los ítems 59 y 60 no cargaron en ninguno de los factores obtenidos, cargando 47 ítems. Respecto a los índices de consistencia interna, obtuvieron los siguientes valores: $\alpha$ = 0.94, $\alpha$ = 0.81, $\alpha$ = 0.71 y $\alpha$ = 0.36 para cada uno de los factores. Debido al bajo valor obtenido en el último factor, decidieron eliminar el ítem 42 (no me gusta mi físico) a partir del análisis de las intercorrelaciones de los cuatro ítems que lo conforman, el cual correlaciona de forma negativa con el resto de los ítems (los autores afirman que esta anomalía responde a la redacción negativa del mismo). De esta forma, el factor quedó compuesto de tres ítems con un $\alpha$ = 0.82). Asimismo, los autores realizaron una comparación de las diferencias en las medias de las puntuaciones de ambos grupos del cuestionario revisado y depurado en su estructura factorial mediante la prueba *t* de Student, obteniendo diferencias significativas en todos los factores excepto el factor dos (conductas orientadas a mantener la forma física). Respecto a las diferencias entre grupos (estudiantes-pacientes sometidos a cirugía) se hallaron diferencias en todos los factores, menos en el factor de conductas orientadas a mantener la forma física que, según los autores, se explica dado que este factor se relaciona con la forma física expresada como ejercicio y deporte, no como importancia o cuidado estético, por ende, la insatisfacción con el atractivo estético que conlleva a la decisión de someterse a una cirugía estética no se asocia necesariamente con la ausencia de conductas dirigidas a mantener la forma física, como por ejemplo, una persona que está insatisfecha por las arrugas y se somete a un procedimiento quirúrgico para atenuarlas puede practicar habitualmente algún deporte o asistir a un gimnasio para mantener la forma física.

Blanco et al. (2017), realizaron un estudio con la finalidad de confirmar la estructura factorial del MBRSQ obtenida por Botella et al. (2009) en 1539 estudiantes mexicanos (820 mujeres, 719 hombres) con una edad promedio de 20.56 (*DE* = 1.88) a partir de análisis factoriales exploratorios y confirmatorios. Los resultados obtenidos mostraron una estructura adecuada y factible de dos factores (coherente en los análisis factoriales exploratorios como confirmatorios), importancia subjetiva de la apariencia física (4, 8, 23, 28, 41, 43, 44 y 45) e importancia subjetiva de la forma física (5, 13, 20, 26, 31 y 37) con índices adecuados de confiabilidad ($\alpha$ > 0.85), pero sin coincidir con el modelo propuesto

por Botella et al. (2009), lo cual es atribuido, según los autores, por las diferencias sociales y culturales de los participantes.

Otro estudio realizado por Velázquez et al. (2014) en estudiantes 232 universitarios hombres (*M* = 20.59, *DE* = 2.65) con la finalidad de estudiar las propiedades psicométricas de la versión original del instrumento. Luego de la traducción en español de los ítems, realizaron una prueba piloto con 15 participantes con la finalidad de evaluar aquellos difíciles de comprender, modificando dos ítems (ítem 16 "No hago cosas que me mantengan en buena forma física" y el ítem 36 "De un día a otro, no sé cómo sentiré mi cuerpo", que fueron modificados de la siguiente manera: ítem 16 "Me incomoda hacer cosas que me mantengan en buena forma física" y el ítem 36 "De un día a otro, no sé cómo me sentiré físicamente"), quedando de esta forma la versión definitiva con 69 ítems con la modificación en la redacción de los dos ítems mencionados. El análisis de confiabilidad obtenido fue, en el test ($\alpha$ = 0.88) y en el retest ($\alpha$ = 0.86). La correlación test-retest fue de *r* = 0.85. Se obtuvieron diez factores que explicaron el 64.48 % de la varianza total, agrupando 61 ítems de 69 ítems (eliminando los ítems 12, 13, 23, 28, 33 y 51). Los factores obtenidos son: factor uno u orientación del estado físico (18 ítems: 3, 4, 6, 9, 14, 15, 16, 18, 24, 25, 26, 34, 35, 43, 44, 52, 53 y 54; se eliminó ítem 33 por la baja relación conceptual con el factor y por el aumento del coeficiente de consistencia interna; $\alpha$ = 0.93); factor dos o satisfacción de las áreas corporales (9 ítems: 61, 62, 63, 64, 65, 66, 67, 68 y 69; $\alpha$ = 0.93); factor tres u orientación de la apariencia (7 ítems: 1, 2, 22, 32, 41, 49, 50; $\alpha$ = 0.76); factor cuatro o evaluación de la apariencia (4 ítems: 11, 30, 42, 48; se eliminó ítem 40 dado que al eliminarlo se alcanzó un $\alpha$ = 0.83 de un $\alpha$ = 0.36); factor cinco o preocupación y autoclasificación del peso (4 ítems: 57, 58, 59 y 60; $\alpha$ = 0. 73); factor seis o evaluación del estado físico (4 ítems: 8, 20, 31 y 55; $\alpha$ = 0.64); factor siete o evaluación del atractivo físico (3 ítems: 5, 21, 39; se eliminó el ítem 10 ya que no se encontraba relacionado conceptualmente con los otros ítems del factor aumentando la consistencia interna de 0.15 a 0.58); factor ocho o evaluación de la salud (4 ítems: 17, 27, 36 y 45; $\alpha$ = 0.60); factor nueve u orientación de la salud (4 ítems: 7, 19, 29 y 38; $\alpha$= 0.55); factor 10 u orientación de la enfermedad (4 ítems: 37, 46, 47 y 56; $\alpha$= 0.56). De acuerdo con los autores, en comparación a la versión original se mantienen ocho de diez factores, obteniendo dos factores adicionales: el factor preocupación y autoclasificación del peso que contiene ítems

de dos factores del instrumento original (preocupación por el peso y autoclasificación del peso) y el factor de evaluación del atractivo físico que se asocia con considerarse o ser considerado por otros como atractivo físicamente, ítems que corresponden al factor de evaluación de la apariencia según versión original. Conjuntamente, el factor de evaluación del estado físico, el cual se relaciona con aspectos de la apariencia y de la salud abarcando ítems de varios factores de la versión original (orientación de la salud, preocupación por el peso, orientación de la apariencia y orientación de la enfermedad).

Por su parte, Cruzat-Mandich et al. (2017) realizaron una investigación en Chile con la finalidad de evaluar la estructura factorial y la confiabilidad del instrumento original en 451 participantes, 254 mujeres y 197 hombres (90 estudiantes adolescentes; 361 estudiantes universitarios con edades comprendidas entre los 15 y 25 años ($M$ = 19.57; $DE$ = 2.57)). La versión en español corresponde a la versión traducida por Bottella et al. (2009). A partir de un análisis factorial exploratorio con el método de extracción de ejes principales con el empleo de tres criterios para la estimación de los factores (criterio de Kaiser, gráfico de sedimentación y análisis paralelo) y el uso del AEP aplicando rotación oblicua promax para la organización de los ítems en la estructura obtenida obtuvieron una solución factorial de siete factores con 66 de los ítems 69 de la versión original (ítems 23, 51, 68 eliminados por presentar cargas factoriales < 0.30). Los factores obtenidos corresponden a: factor uno u orientación y evaluación de la actividad física (16 ítems: 3, 4, 6, 14, 15, 16, 24, 25, 26, 33, 34, 35, 43, 44, 53, 54; $\alpha$ = 0.92); factor dos o evaluación de la apariencia (15 ítems: 5, 11, 21, 30, 39, 42, 48, 61, 62, 63, 64, 65, 66, 67, 69; $\alpha$ = 0.91); factor tres o preocupación por el peso (4 ítems: 57, 58, 59 y 60; $\alpha$ = 0.70); factor cuatro u orientación de la apariencia (13 ítems: 1, 2, 10, 12, 13, 20, 22, 31, 32, 40, 41, 49 y 50; $\alpha$ = 0.84); factor cinco u orientación de la salud (8 ítems: 7, 8, 9, 18, 19, 29, 52 y 55; $\alpha$ = 0.74); factor seis o evaluación de la enfermedad (4 ítems: 17, 27, 36 y 45; $\alpha$ = 0.70); factor siete u orientación a la enfermedad (6 ítems: 28, 37, 38, 46, 47 y 56; $\alpha$ = 0.70). De acuerdo con los autores, la solución de siete factores es consistente con la versión original. De esta manera, afirman que la estructura factorial obtenida, identifica que las dimensiones actitudinales de evaluación y orientación propuestas por los autores de la versión original del instrumento, se presentó para la apariencia y la enfermedad, en tanto para la actividad física o salud, solo se presentó la dimensión actitudinal de orientación, lo cual sugiere, según Cruzat-Mandich et al. (2017),

que la población chilena tiende a no discriminar entre los aspectos conductuales y cognitivos en estos factores. Otra diferencia mencionada por los autores, se refiere a la inclusión de la satisfacción de las áreas corporales en el factor de evaluación de la apariencia. Además, el factor de preocupación por el peso y la autoclasificación emergieron en el mismo factor, donde el ítem 10 y 20 pertenecientes a este factor según la versión original, cargaron en el factor de orientación de la apariencia.

Por último, una investigación realizada por Brytek-Matera y Rogoza (2015) en 341 mujeres polacas (estudiantes universitarias, personal administrativo de la universidad y profesoras universitarios) con un rango de edad entre los 18 y 35 años edad (*M* = 23,09; *DE* = 3,14) obtuvieron una solución estructural de ocho factores que explican el 52.57 % de la varianza de los datos conformados por 67 ítems (no mencionan qué ítems se eliminaron). El factor uno corresponde a la evaluación de la apariencia o satisfacción de las áreas corporales con 16 ítems, el resto de los factores se mantiene similar a la versión original con coeficientes de confiabilidad a partir del estadístico de McDonalds osciló entre 0.66 y 0.91. El ajuste general del modelo fue adecuado (*RMSEA* = 0.04; *CFI* = 0.91) obtenido a partir de un análisis de modelos estructurales, ya que los resultados obtenidos a partir del análisis factorial exploratorio fue insatisfactorio (*RMSEA* = 0.06; *CFI* = 0.79).

En la presente investigación se utiliza la estructura factorial original del instrumento conformada por 10 factores dados las evidencias de las propiedades psicométricas reportadas por sus autores. Con la finalidad de evaluar la validez de contenido, se sometió a juicio de expertos conformado por tres psicólogos (ver anexo 3) la versión en español de Botella et al. (2009). Se evaluó el instrumento según los siguientes criterios: conformidad o acuerdo con las instrucciones, conformidad o acuerdo con las escalas de respuesta, pertinencia de los ítems respecto a la dimensión, adecuación del dialecto y adecuación de la redacción. Se realizaron las modificaciones sugeridas por los evaluadores en la redacción de algunos ítems y en las instrucciones del instrumento (ver anexo 4). En anexos el instrumento definitivo empleado en la investigación (ver anexo 5).

Se obtuvieron los coeficientes de alfa de Cronbach como evidencia de consistencia interna y las correlaciones ítems-total corregida como índice de discriminación (ver anexo 6). A continuación, los valores obtenidos por factor.

Evaluación de la apariencia (EA). Se obtuvo una consistencia interna de α = 0.918. Por su parte, las correlaciones ítem-total son superiores a 0.30 en un rango comprendido entre 0.65 a 0.84.

Orientación de la apariencia (OA). Arrojó un α = 0.786. Se obtuvieron valores de los índices de discriminación por encima de 0.30 en un rango comprendido entre 0.35 al 0.62, a excepción de los ítem 23* y 40* con valores iguales a 0.07 y 0.21, respectivamente.

Evaluación del estado físico (EEF). Se obtuvo un α = 0.708. Respecto al análisis de los ítems, las correlaciones de cada ítem con el puntaje total están comprendidas entre 0.43 y 0.63, todos superiores a 0.30.

Orientación del estado físico (OEF). Este factor arrojó un α = 0.897. Respecto a los índices de discriminación, los valores se encuentran por encima de 0.30 en un rango que va desde 0.51 hasta 0.82, excepto el ítem 25* (0.076) y el ítem 34* (0.027).

Evaluación salud (ES). Se obtuvo una consistencia interna de α = 0.622. Por su parte, las correlaciones ítem-total son superiores a 0.30 (0.34 - 0.43) excepto los ítems 7 y 36* que arrojaron valores de 0.25 y 0.28, respectivamente.

Orientación salud (OS). Se obtuvo un α = 0.739. Respecto al análisis de los ítems, las correlaciones de cada ítem con el puntaje total están comprendidas entre 0.41 y 0.66, todos superiores a 0.30, excepto el ítem 28* (0.132).

Orientación enfermedad (OE). Arrojó un α = 0.58. Respecto al análisis de los ítems, las correlaciones de cada ítem con el puntaje total están comprendidas entre 0.239 y 0.492, con dos ítems superiores a 0.30 (ítems 46 y 56).

Satisfacción de las áreas corporales (SAC). Este factor arrojó un α = 0.864. Respecto a los índices de discriminación, los valores se encuentran por encima de 0.30 en un rango que va desde 0.39 hasta 0.81.

Preocupación por el peso corporal (PP). Se obtuvo un α = 0.706. Los valores de los índices de discriminación se encuentran por encima de 0.30 en un rango que va desde 0.36 hasta 0.57.

Autoclasificación del peso corporal (ACP). Se obtuvo un α = 0.807. Respecto al análisis de los ítems, la correlación de cada ítem con el puntaje total es de 0.68 para los dos ítems que constituyen este factor.

***Body Image Coping Strategies Inventory (BICSI;* Cash, 1999; Cash et al., 2005; validada en la presente investigación de la versión en español de Ruiz y Sánchez, 2019).**

Es un instrumento que evalúa cómo los individuos afrontan cognitiva y conductualmente las circunstancias que amenazan o desafían la imagen corporal. Está constituido por 29 ítems en tres subescalas: Estrategias de fijación/arreglo de la apariencia (10 ítems: 1, 3, 6, 9, 11, 14, 17, 20, 23, 28) que incluyen los intentos dirigidos a alterar la apariencia al camuflar, esconder o corregir las imperfecciones percibidas; las estrategias de aceptación racional positiva (11 ítems: 2, 4, 8, 13, 15, 19, 22, 24, 25, 27, 29); implican estrategias de aceptación tanto de los eventos estresantes y desafiantes como de los pensamientos y sentimientos asociados y el manejo con conductas de autocuidado positivo o un diálogo interno racional positivo; y, las estrategias de evitación (8 ítems: 5, 7, 10, 12, 16, 18, 21, 26) son los intentos para evitar o escapar de situaciones o experiencias asociadas a la imagen corporal. La escala de respuesta está conformada por 4 puntos (1 = Definitivamente NO como yo hasta 4 = Definitivamente como yo) (ver anexo 7). Los puntajes fluctúan entre 0 y 4 en cada una de las subescalas a partir del promedio de los puntajes obtenidos, donde puntuaciones altas indican mayor probabilidad de emplear las estrategias de afrontamiento específicos.

En un estudio realizado por Cash en 1997, elaboró el cuestionario de la imagen corporal (Body Image Coping Questionnaire, BICQ), con la finalidad de evaluar cómo los individuos manejan los factores estresantes relacionados con la imagen corporal. El análisis factorial arrojó una solución de tres factores internamente consistentes como estrategias de afrontamiento (evitación, fijación de la apariencia y aceptación racional positiva) (Cash et al., 2005). En un estudio posterior, Cash et al. (2005), modificaron el instrumento con la finalidad de refinar los ítems y de mejorar las instrucciones y la escala de respuesta, la cual fue denominada como se conoce en la actualidad Body Image Coping Strategies Inventory (BICSI).

Con la finalidad de validar el instrumento y examinar su estructura factorial, Cash et al. (2005), analizaron los datos en una muestra de 603 estudiantes universitarios (468 mujeres, 135 hombres) con edades comprendidas entre los 18 y 29 años, hallando una estructura dimensional de tres factores con los siguientes coeficientes de consistencia interna o alfa de Cronbach: Estrategias de fijación/arreglo de la apariencia ($\alpha = 0.91$ en hombres y $\alpha = 0.90$ en mujeres), estrategias de aceptación racional positiva ($\alpha = 0.85$ en hombres y $\alpha = 0.80$ en mujeres) y, estrategias de evitación ($\alpha = 0.74$ en hombres y $\alpha = 0.72$ en mujeres).

En la presente investigación solo se empleará la subescala de afrontamiento de aceptación racional positiva. De esta forma, se realizó una validación de contenido por juicio de expertos de tres psicólogos (ver anexo 3) de la versión en español de Ruiz y Sánchez (2019). Se evaluó el instrumento a partir de los criterios de acuerdo o conformidad con las instrucciones, acuerdo o conformidad con la escala de respuesta, congruencia ítem-dimensión, adecuación del dialecto y adecuación de la redacción.

Se llevaron a cabo las modificaciones referidas por los evaluadores en las instrucciones, en la escala de respuesta y en dos ítems (ver anexo 4). En anexo el instrumento definitivo empleado en la presente investigación (ver anexo 8).

Se obtuvo un alfa de Cronbach de 0.838 como evidencia de consistencia interna de la escala. En referencia a los índices de discriminación, los valores están comprendidos entre sobre 0.44 y 0.62, todos por encima de 0.30 (ver anexo 9).

***Body Acceptance by Others Scale (BAOS;* Avalos y Tylka 2006; versión validada en la presente investigación).**

Este instrumento evalúa el grado en que los participantes perciben que sus cuerpos son aceptados por fuentes externas (amigos, familiares, parejas, sociedad y medios de comunicación). Consta de 10 ítems con una escala de respuesta tipo Likert de 5 puntos que va desde 1 (nunca) hasta 5 (siempre) (ver anexo 10). Para su corrección se promedian los puntajes obtenidos. Los puntajes fluctúan entre 1 y 5. Los puntajes altos reflejan una mayor aceptación percibida por parte de otros en referencia a la forma y el peso del propio cuerpo.

Avalos y Tylka (2006) desarrollaron el BAOS con la finalidad de ofrecer un instrumento que evaluara tipos específicos de aceptación o fuentes de aceptación

(familiares, amigos, parejas, medios de comunicación, sociedad) respecto a la forma y peso del cuerpo. De esta forma, partieron del instrumento de Perceived Sociocultural Pressures Scale (PSPS, Stice et al. 1996) que evalúa la presión por la delgadez en mujeres de parte de sus seres queridos (familiares, amigos, pareja) y los medios de comunicación, con la modificación de algunos ítems, como por ejemplo, "he sentido la presión por bajar de ___ para bajar de peso" por "he sentido aceptación de la forma de mi cuerpo y/o peso de ___"; respecto a los medios de comunicación, se evalúa el grado en que los participantes reciben mensajes de que la forma y peso de su cuerpo están bien, en contraposición de los mensajes para un cuerpo delgado.

Los autores realizaron dos estudios sobre la relación entre la percepción de aceptación con la apreciación corporal y la alimentación intuitiva. En el primer estudio, conformada por 181 mujeres universitarias con edades comprendidas entre los 17 y los 55 años ($M$ = 20.24, $DS$ = 5.17), los puntajes arrojaron evidencia de consistencia interna del BAOS ($\alpha$ = 0.91), de confiabilidad test-retest de 3 semanas ($r$ = 0.85) y validez de constructo con una relación negativa con la presión por la delgadez ($r$ = 0.69). En el segundo estudio conformado por 416 mujeres con un rango de edad comprendido entre los 17 y los 60 años ($M$ = 19.92, $DS$ = 5.67) se obtuvo una consistencia interna de 0.87.

Algunos estudios han reportado evidencias de consistencia interna del instrumento con valores que van desde 0.88 hasta 0.94 como sugerencia de apoyo a un modelo unidimensional del instrumento (Swami et al., 2019; Meneses et al., 2019; Oh et al., 2012; Tylka et al., 2015).

No obstante, según Swami et al. (2020) la consistencia interna por sí sola no es una evidencia de un modelo adecuado del instrumento. Además, afirman que el modelo unidimensional propuesto por Avalos y Tylka presenta una estructura factorial inestable. Con la finalidad de estudiar la dimensionalidad del instrumento, sometieron los datos de 1148 adultos (716 mujeres, 432 hombres) del Reino Unido con edades comprendidas entre los 18 y 81 años ($M$ = 34.87, $DS$ = 12.08) a un análisis factorial exploratorio y un análisis factorial confirmatorio del instrumento según el sexo. En el análisis factorial exploratorio, se retuvieron dos factores que explicaron el 62.1% de la varianza común con índices de ajuste para este modelo de $\chi^2$ (26) = 695.67, $p$ < 0.001, $CFI$ = 0.760, $RMSEA$ = 0.265 (CI

90% = 0.249, 0.283), *SRMR* = 0.07. Dado que se eliminaron lo ítems 7 y 8 por presentar cargas cruzadas, el segundo factor quedó con sólo dos ítems, el cual fue descartado del modelo quedando el instrumento reducido a un factor con seis ítems con coeficiente de consistencia interna de $\omega$ = 0.88 en la muestra de mujeres. En la muestra conformada por hombres, el análisis factorial exploratorio indicó la extracción de un factor que explicaba el 54.4% de la varianza común con índices de ajuste de $\chi^2$ (35) = 541.69, $p$< 0.001, *CFI* = 0.684, *RMSEA* = 0.261 (IC 90 % = 0.242, 0.281), *SRMR* = 0.11, con una consistencia interna adecuada de $\omega$ = 0.92 (IC 95 % = 0.90, 0.94).

En referencia al análisis factorial confirmatorio en la segunda mitad de la muestra, se examinó, en primer lugar, el modelo unidimensional original (10 ítems) con un ajuste muy pobre a los datos con valores de los índices de ajuste de *SB* $\chi^2$ (35) = 1148.400, SB$\chi^2$ normado = 32.81, *RMSEA* robusto = 0.288 (IC 90% = 0.274, 0.302), *SRMR* = 0.122, *CFI* robusto = 0.596. Acudieron a los índices de modificación para mejorar el ajuste, sin embargo, no lograron mejorar el ajuste. Reportaron una consistencia interna adecuada, $\omega$ = 0,90 (IC 95 % = 0.88, 0.91).

En segundo lugar, examinaron el modelo unidimensional de 6 factores obteniendo indicaron un ajuste deficiente del modelo: SB$\chi^2$ (9) = 338.686, SB$\chi^2$ normado = 38.63, *RMSEA* robusto = 0.353 (IC 90 % = 0.321, 0.385), *SRMR* = 0.096, *CFI* robusto = 0.683. Consultaron los índices de modificar para mejorarlo, no obstante, no lograron mejorar el ajuste. La consistencia interna obtenida fue adecuada, $\omega$ = 0.87 (IC 95% = 0.84, 0.89). Los autores concluyen que los resultados sugieren la existencia de dificultades con la estructura factorial del instrumento en adultos del Reino Unido posiblemente relacionado con la validez de contenido, por ende, sugieren revisar los ítems que lo conforman con la finalidad de identificar un instrumento ortogonalmente multidimensional.

En el presente estudio se realizó una validación de contenido por juicio de expertos de la versión original del instrumento a partir de la evaluación de tres psicólogos (ver anexo 3). Se evaluaron las instrucciones (acuerdo con la traducción y adecuación de las instrucciones); la escala de respuesta (acuerdo con la traducción y conformidad con la escala); ítems (acuerdo traducción y pertinencia). Se realizaron las modificaciones según la evaluación de los expertos. En anexos el instrumento definitivo utilizado (ver anexo 11).

Se obtuvo un alfa de Cronbach de 0.866. Respecto a los índices de discriminación, los valores se encuentran sobre 0.30 en un rango que va desde 0.53 hasta 0.63 (ver anexo 12).

***Objetified Body Consciousness Scale (OBCS;* McKinley y Hyde, 1996; validación en Venezuela de la versión en español de Moya-Garófano et al. 2017).**

Este instrumento mide la conciencia del cuerpo objetivado o cosificado. Está conformado por 24 ítems en tres subescalas: vigilancia corporal (1*, 3*, 7*, 9*, 14, 16, 18* y 20*), vergüenza corporal (2, 5, 8, 11, 13*, 15*, 17 y 22) y creencias de control de la apariencia (4*, 6*, 10, 12*, 19*, 21*, 23 y 24*). La escala de respuesta es tipo Likert del 1 (totalmente en desacuerdo) al 7 (totalmente de acuerdo) ver anexo 13). Para su corrección se puede tomar el puntaje promedio general como el puntaje promedio obtenido en la cada una de las subescalas. Los puntajes fluctúan entre 1 y 7 para la escala total, donde mayor puntaje sugiere mayor conciencia del cuerpo cosificado. Respecto a las subescalas, los puntajes fluctúan entre 1 y 7 donde puntajes altos apuntan a mayor vigilancia corporal, vergüenza corporal y creencias de control de la apariencia (*ítems que se deben recodificar).

McKinley y Hyde (1996) realizaron tres estudios para el desarrollo y validación del instrumento para medir la vigilancia corporal (ver el cuerpo como observador externo), vergüenza corporal (sentimiento de vergüenza cuando el cuerpo no se ajusta a los estándares culturales) y creencias de control de la apariencia (creencia sobre la responsabilidad sobre cómo se ven sus cuerpos y sobre el control de su apariencia).

En el primer estudio, se evaluó el instrumento con un número de ítems de 60 ítems (16 vigilancia, 37 vergüenza y 16 creencias de control) con una escala de respuesta de 6 puntos (1 = muy desacuerdo, 6 = muy acuerdo; con una opción de NA = no aplica) en una muestra de 121 mujeres estudiantes de pregrado con una edad promedio de 20 años (*DE* = 3.61; *rango* de 17 a 39 años). A partir del análisis factorial, obtuvieron tres dimensiones (vigilancia, vergüenza y creencias de control) con ocho ítems cada uno para un total de 24 ítems con coeficientes de confiabilidad de $\alpha = 0.89$, $\alpha = 0.75$ y $\alpha = 0.72$ respectivamente. En referencia a la validez de las escalas, se obtuvo que tanto la vigilancia como la vergüenza correlacionó de forma negativa con la estima corporal correlaciones negativas, en tanto, la correlación entre la estima corporal y las creencias de control no resultaron

significativas. La vergüenza y la vigilancia obtuvieron una alta correlación positiva, mientras que la escala de creencias de control alcanzó una correlación positiva y moderada con la vigilancia y una baja correlación positiva con la vergüenza corporal. No se obtuvieron correlaciones significativas entre las tres escalas. Para probar la validez de constructo, la escala de creencias de control bajo el supuesto de que la conciencia corporal depende de la creencia subyacente de que la apariencia puede controlarse, los autores realizaron un ANOVA dividiendo las mujeres en dos grupos (restricción alimentaria-sin restricción alimentaria), se obtuvo que las mujeres con restricción creían con mayor firmeza que podían controlar su apariencia corporal ($M$ = 4.03, $SD$ = 0.74) que las mujeres sin restricciones alimentarias ($M$ = 3.70, $SD$ = 0.50), $F$ (1,119) = 6.38, $p < 0.02$) con un tamaño del efecto moderado ($d$ = 0.49). Para validar la escala de vigilancia, específicamente validez convergente, se estudió las correlaciones con las escalas de autoconciencia, obteniendo una fuerte correlación positiva con la autoconciencia pública ($r$ = 0.73, $p < 0.001$), pero no tuvo una correlación significativa con la otra escala del instrumento (autoconciencia privada).

El segundo estudio se realizó con la finalidad de realizar un análisis confirmatorio de las escalas en mujeres estudiantes de pregrado (113 participantes con edades comprendidas entre los 17 y 22 años; $M$ = 18.41, $DE$ = 0,72) y mujeres madres de las estudiantes universitarias (126 participantes con edades comprendidas entre los 38 y 58 años de edad; $M$ = 46.32, $DE$ = 4.13). La escala de respuesta se modificó a 7 puntos (1 = muy desacuerdo y 7 = muy de acuerdo; con un punto intermedio (3 = ni en descuerdo ni de acuerdo), permaneció la opción NA. Para determinar la bondad de ajuste de la estructura de tres factores del instrumento se compararon tres modelos con cada una de las muestras (3 factores, 2 factores: vigilancia y vergüenza y un factor). Para la muestra conformada por estudiantes, el modelo de tres factores no resultó significativo ($\chi^2$ = 63.03), por ende, representó un buen ajuste ($GFI$ = 0.92, $AGFI$ = 0.87); en tanto, el modelo de un factor y de dos factores resultaron significativos ($\chi^2$ = 187.88, $p < 0.001$; $\chi^2$ = 119.42, $p < 0.001$). Respecto a la otra muestra, los tres modelos resultaron significativos $\chi^2$ = 68.91, $p < 0.05$; $\chi^2$ = 130.78, $p < 0.001$; $\chi^2$ = 258.27, $p < 0.001$) para el modelo de tres factores, dos factores y un factor respectivamente. Dado que este índice es muy sensible al tamaño de la muestra, los autores probaron las diferencias entre el chi-cuadrado del modelo de tres factores con los otros modelos, resultando significativo para la diferencia de los tres factores-dos

factores y la diferencia de los tres factores-un factor [$\chi^2$ (2, N = 126) = 56.39, $p < 0.001$); $\chi^2$ (3, N = 126) = 124.85, $p < 0.001$, respectivamente]. Los autores concluyen que el modelo de tres factores presenta un mejor ajuste, representando los tres constructos propuestos. En referencia a la confiabilidad, se hallaron consistencias internas de la escala de vigilancia (α = 0.79, α = 0.76), la escala de vergüenza (α = 0.84, α = 0.70) y la escala de creencias de control (α = 0.68, α = 0.76) para las muestras de estudiantes y de madres, respectivamente. Respecto a la validez, la vigilancia tuvo una correlación negativa moderada con estima corporal en las estudiantes universitarias, en tanto en la muestra conformada por madres o mujeres de la mediana edad, la relación no fue significativa. La vergüenza correlacionó de forma negativa con la estima corporal en ambas muestras. Las creencias de control presentaron correlaciones positivas significativas con la estima corporal en las dos muestras. Se obtuvo una alta correlación positiva entre vigilancia y vergüenza en ambas muestras. Para determinar la validez de constructo la escala de creencias de control se realizó un ANOVA dividiendo las mujeres en dos grupos (restricción alimentaria-sin restricción alimentaria), no mostró diferencias en los dos grupos [$F$ (l, 275) = 1.76 y $F$ (1, 150) = 34, respectivamente]. Respecto a la validez de convergencia, la dimensión de creencias de control correlacionó de forma significativa con el control del peso y la frecuencia del ejercicio y de las restricciones de la alimentación en las estudiantes universitarias. Debido que estas muestras no son independientes, los autores examinaron las correlaciones de los grupos en cada una de las escalas, obteniendo correlaciones significativas entre la vigilancia y la estima corporal, pero no para la vergüenza corporal ni las creencias de control.

El tercer estudio en una muestra de mujeres estudiantes de pregrado (103 participantes, con edades comprendidas entre los 18 y 21 años de edad ($M$ = 18.75, $DE$ = 0.74). Se obtuvieron medidas del instrumento en dos momentos distintos con dos semanas de diferencia como evidencia de confiabilidad test-retest, obteniendo las correlaciones para la escala de vigilancia ($r$ = 0.79, $p < 0.001$), de vergüenza corporal ($r$ = 0.79, $p < 0.001$) y creencias de control de la apariencia ($r$ = 0.73, $p < 0.001$). En referencia a la validez convergente, la escala de vigilancia tuvo una alta correlación positiva con la escala de conciencia del cuerpo público ($r$ = 0.46, $p < 0.001$) y una correlación negativa con la estima corporal ($r$ = -0.26, $p < 0.001$) resultando la vigilancia corporal el mejor predictor de la

estima corporal. La escala de vigilancia no correlacionó de forma significativa con la conciencia del cuerpo privado ni con la competencia corporal. Ninguna de las escalas del instrumento correlacionó con la conciencia del cuerpo privado, en tanto, las tres se relacionaron con la conciencia corporal pública. Los autores argumentan que esto representa evidencia de que la conciencia corporal objetivada se refiere a cómo uno se ve respecto a los demás, en lugar de ser consciente de los propios sentimientos y pensamientos. Además, la competencia corporal correlacionó negativamente con la vergüenza corporal y positivamente con las creencias de control. Conjuntamente, las tres escalas correlacionaron de forma positiva con la escala de miedo a engordar, lo cual confirma que ese temor está fuertemente relacionado con la conciencia corporal objetivada.

Por su parte, Moya-Garófano et al. (2017), realizaron una investigación con la finalidad de examinar las propiedades psicométricas de una versión española del instrumento en dos muestras de estudiantes universitarias. En el primer estudio, se exploró la estructura interna del instrumento y la relación entre los factores en una muestra de 218 mujeres universitarias con edades comprendidas entre los 17 y 31 años de edad ($M$ = 20.04; $DE$ = 2.17). Al igual que la versión original, el instrumento estuvo conformado por 24 ítems con tres escalas con ocho ítems cada una (vigilancia corporal, vergüenza corporal y creencias de control) con una escala de respuesta de 7 puntos (1 = totalmente desacuerdo a 7 = totalmente desacuerdo) junto con la opción de NA. Según el índice de discriminación a partir del análisis de los valores de correlación ítem-total corregida obteniendo valores adecuados para los factores de vigilancia y vergüenza (oscilan entre 0.30 y 0.71); no obstante, en el factor de creencias de control se obtuvo un valor de 0.14 (ítem 4), para el resto de los ítems los valores oscilan entre 0.25 y 0.55. Asimismo, a partir de los estadísticos descriptivos se evidenció una adecuada variabilidad de las respuestas con desviaciones típicas mayores a uno. Los coeficientes de consistencia interna de las escalas fueron de $\alpha$ = 0.73, $\alpha$ = 0.84 y $\alpha$ = 0.66 para los factores de vigilancia, vergüenza y creencias de control, respectivamente, los cuales son similares a los valores reportados por McKinley y Hyde. Respecto a la correlación entre los factores, se halló únicamente una correlación positiva entre vigilancia y vergüenza corporal, similar a lo encontrado en los estudios de McKinley y Hyde. En referencia al análisis factorial exploratorio con rotación varimax arrojó una solución de tres factores que explican el 34.32% de la varianza (17.67%

vergüenza, 9.68% creencias de control y 6.97% vigilancia). Tanto los resultados del análisis paralelo como los índices de ajuste (*RMSEA* = 0.06 y *SRMR* = 0.05), señalaron una solución de tres factores conformado por los ítems de la versión original. Los autores reportan una carga factorial baja del ítem 4 en su factor de correspondencia (0.18). En referencia a la relación de las escalas del instrumento y otras variables, hallaron correlaciones positivas de vigilancia y vergüenza con la variable de automonitoreo orientado hacia los demás (pero no con creencias de control). Los autores afirman que esta relación apunta a aspectos relacionados con la preocupación de la persona por ajustarse a lo que cree que los demás esperan de ella. Asimismo, encontraron relaciones negativas de la escala de vergüenza con la autoestima.

En el segundo estudio, los autores realizaron un análisis confirmatorio de la estructura interna del instrumento en una muestra de 201 mujeres estudiantes con edades comprendidas entre los 18 y los 30 años (*M* = 19.45, *DE* = 2.16). Se sometieron a prueba tres modelos: tres factores (vigilancia, vergüenza, creencias de control), dos factores (vergüenza-vigilancia como un factor y creencias de control como otro factor) y un factor (unifactorial). El modelo de tres factores resultó con mejor ajuste según los índices de ajuste (*RMSEA* y *SRMR* por debajo de 0.08; y *CFI* y *TLI* por encima de 0.90). En referencia los indicadores de consistencia interna, encontraron los valores $\alpha$ = 0.73, $\alpha$ = 0.84 y $\alpha$ = 0.66 para la vigilancia, vergüenza y creencias de control de la apariencia, respectivamente. Respecto a la relación entre los factores, vigilancia y vergüenza corporal correlacionaron de forma positiva; no se hallaron correlaciones significativas con el factor de creencias de control de la apariencia. Los autores afirman que las escalas de vigilancia y vergüenza manifiestan puntajes independientes de las puntuaciones de las creencias de control.

Moya-Garófano et al. (2017) concluyen que la versión española presenta propiedades psicométricas apropiadas, mostrando los ítems una adecuada variabilidad y discriminación. Señalan que el ítem 4 presenta valores inadecuados (tanto de discriminación como de saturación factorial) y que algunas cargas factoriales de algunos ítems están por debajo de 0.30 en su factor de pertenencia. No obstante, decidieron conservar la estructura factorial de tres factores coherente con la propuesta teórica original considerando que los coeficientes de consistencia interna son adecuados.

Los estudios asociados a la estructura factorial del OBCS no han sido concluyentes. Por ejemplo, el estudio psicométrico realizado por Moradi y Varnes (2017) encontró un ajuste marginal al modelo de los tres factores del OBCS. En su estudio en una muestra de 368 mujeres universitarias con edades comprendidas entre los 18 y 35 años (*M* = 20.33, *SD* = 2.52) evaluaron el modelo de tres factores propuesto por McKinley y Hyde, obteniendo un bajo ajuste a los datos [$\chi^2$ (249, N = 368) = 630.64, $p < 0.001$; *CFI* = 0.85; *SRMR* = 0.07; *RMSEA* = 0.07, IC del 90% (0.06, 0.07)]. Además, encontraron que el factor de creencias de control de la apariencia presentó algunas inconsistencias respecto a la versión original del instrumento (ítems con cargas factoriales muy bajas, correlaciones negativas con vigilancia y vergüenza corporal), por ende, procedieron al análisis factorial de dos factores (vigilancia y vergüenza corporal, excluyendo creencias de control). Reportaron que el modelo de dos factores arrojó un ajuste aceptable [$\chi^2$ (103, N = 368) = 280.43, $p < 0.001$; *CFI* = 0.91; *SRMR* = 0.06, *RMSEA* = 0.07; IC del 90% (0.06, 0.08)]. A partir de estos resultados, probaron distintos modelos alternativos hasta alcanzar un ajuste aceptable del modelo de dos factores, eliminando los ítems 8, 13 y 17 (vergüenza corporal) y los ítems 7 y 20 (vigilancia corporal) [$\chi^2$ (87, N = 368) = 163.27, $p < 0.001$; *CFI* = 0.96; *SRMR* = 0.05; *RMSEA* = 0.05, IC del 90% (0.04, 0.06)].

Un estudio realizado en Venezuela por Guerrero y Ramírez (2021) en 436 mujeres estudiantes universitarias con edades comprendidas entre los 18 y 25 años (*M* = 20.86, *DE* = 2.04), hallaron una estructura factorial de cinco factores que explican el 51,63% (vergüenza corporal, vigilancia corporal, creencias de indeterminación genética, creencias de control sobre la apariencia).

Para la presente investigación se utilizó la versión original del instrumento versión en español de Moya-Garófano et al. (2017). Se realizó una validación de contenido por juicio de expertos con la colaboración de tres psicólogos (ver anexo 3). Se evaluó el instrumento según los siguientes criterios: acuerdo con las instrucciones, acuerdo con la escala de respuesta, congruencia ítems-dimensión, adecuación del dialecto, adecuación de la redacción; se realizaron las modificaciones según las sugerencias de los evaluadores (ver anexo 4). En anexos el instrumento definitivo empleado en la investigación (ver anexo 14).

Se obtuvieron los coeficientes de alfa de Cronbach como evidencia de consistencia interna y las correlaciones ítems-total corregida como índice de discriminación (ver anexo 15). A continuación, los valores obtenidos por factor.

Vergüenza corporal (Verg). Para esta dimensión se obtuvo un $\alpha$ = 0.767. Respecto al análisis de los ítems, la correlación de cada ítem con el puntaje total está comprendidas entre 0.53 y 0.67, todos superiores a 0.30, excepto los ítems 15* (0.047) y 13 (0.220).

Vigilancia corporal (Vigi). Se obtuvo un $\alpha$ = 0.607. Respecto al análisis de los ítems, la correlación de cada ítem con el puntaje total se encuentra en un rango que va desde 0.33 hasta 0.46 todos superiores a 0.30, a excepción de los ítems 14 (0.108), 7* (0.26) y 16 (0.155).

Creencias de control de la apariencia (CCA). Este factor arrojó un $\alpha$ = 0.726. Respecto a los índices de discriminación, los valores se encuentran sobre 0.30 en un rango que va desde 0.35 hasta 0.62, excepto los ítems 10 (0.18) y 23 (0.26).

***Sociocultural Attitudes Towards Appearance Questionnaire-4(SATAQ-4;*** **Shaefer et al., 2015; versión en español de Llorente et al., 2015)**

Este instrumento evalúa la internalización de los ideales de la apariencia y las principales presiones relacionadas con la apariencia. Está conformado por 22 ítems en cinco subescalas: internalización del ideal corporal delgado (ítems: 3, 4, 5, 8, 9), internalización del ideal musculoso (1, 2, 6, 7, 10), presiones de la familia (11, 12, 13, 14), presiones de los pares (15, 16, 17, 18) y presiones de los medios de comunicación (19, 20, 21, 22). La escala de respuesta es una escala tipo Likert de 5 puntos (1= totalmente desacuerdo a 5 = totalmente desacuerdo). El rango fluctúa entre 1 y 25 para las subescalas de internalización y, 1 y 20 para las escalas de presiones sociales, donde mayor puntaje indica mayor aceptación de los estándares socioculturales de la apariencia delgado o musculoso (internalización) y, mayor percepción de presión social por parte de los familiares, pares, o medios de comunicación para alcanzar los ideales corporales (presión familia/pares/medios de comunicación) (ver anexo 16).

El SATAQ se diseñó en 1995 con la finalidad de evaluar los factores socioculturales en el desarrollo de las alteraciones de la imagen corporal a partir de la evidencia empírica

de las presiones socioculturales y de la internalización de los ideales de la apariencia (Shaefer et al., 2015).

El SATAQ se ha ido modificando con los avances en las investigaciones (Shaefer et al., 2015). Desde la publicación del SATAQ por Heinberg et al. en 1995, por ejemplo, el SATAQ-R por Cusumano y Thompson en 1997, incluyó la separación de los factores de la internalización y la conciencia corporal o reconocimiento de las normas de la apariencia social como opuesto de la internalización de los estándares corporales (Thompson et al., 2004).

En un estudio realizado por Thompson et al. (2004), se desarrolló y se validó el instrumento con la finalidad de incluir la presión de los medios y de la internalización de nuevos ideales corporales en las mujeres transmitidos por los medios como el atletismo y el deporte o fitness, en vez de enfocarse en la influencia de las revistas y de anuncios de moda femenina (Thompson et al., 2004). Para ello realizaron dos estudios.

El primer estudio constituido por 175 mujeres estudiantes con edades comprendidas entre los 17 y 25 años, arrojó una solución factorial de cuatro factores constituido por 30 ítems (información de los medios, $\alpha = 0.96$; presiones de los medios, $\alpha = 0.92$; internalización general $\alpha = 0.96$, internacionalización atleta-deportista $\alpha = 0.96$) con la eliminación del factor conciencia por ítems con cargas factoriales cruzadas o menores a 0.40. El segundo estudio en una muestra constituida por 195 mujeres universitarias con un rango de edad de 18 a 22 años, replicando la estructura factorial del primer estudio con valores de alfa de 0.94, 0.94, 0.89 y 0.92, respectivamente.

Por su parte, Shaefer et al. (2015) realizaron tres estudios para la revisión del SATAQ-3 con el objetivo de incluir elementos importantes relacionados con las presiones de la familia, medios y pares, evaluación específica de la internalización del ideal de delgadez y musculoso, y evaluar la confiabilidad del instrumento tanto en hombres como en mujeres. A partir de las modificaciones, el instrumento se denominó SATAQ-4.

El primer estudio realizado en cuatro muestras independientes de mujeres (distintas regiones geográficas de los Estados Unidos) se realizaron análisis exploratorios y confirmatorios. La primera muestra conformada por 859 mujeres estudiantes de pregrado (sureste de Estados Unidos) con edades comprendidas entre los 19 y 30 años se obtuvo una

solución factorial de cinco factores constituidos por 22 ítems: internalización delgada, internalización musculosa-atlética, presión familia, presión pares y presión medios, que demostró un adecuado ajuste del modelo según el AFC ($\chi 2 = 489.41$, $p < 0.001$, *CFI* = 0.96, *RMSEA* = 0.06, *SRMR* = 0.04). La estructura factorial se confirmó en las otras tres muestras independientes (440 mujeres costa ste, 304 mujeres costa Oeste, 349 mujeres Norte medio) con valores adecuados de los índices de ajuste al modelo. Los valores de alfa de Cronbach se encuentran por encima de 0.82 para todas las muestras estudiadas. Respecto a la validez de convergencia, las puntuaciones de las subescalas presentaron correlaciones significativas y negativas con la satisfacción corporal y la autoestima corporal excepto la subescala de internalización muscular-atlética.

En el segundo estudio con la finalidad de validar el instrumento en una muestra no estadounidense conformada por 362 mujeres (314 estudiantes de pregrado) provenientes de distintos países (Italia, Inglaterra, Australia) con un rango de edad comprendida entre los 17 y 30 años, se obtuvo la misma solución factorial con valores de consistencia interna mayores a 0.83 y como evidencia de validez convergente del instrumento, se hallaron asociaciones significativas y negativas de las subescalas del SATAQ-4 con la satisfacción corporal y la autoestima, a excepción de la subescala de internalización muscular-atlética, al igual que el primer estudio.

En el tercer estudio en una muestra de 271 hombres universitarios en los Estados Unidos con un rango de edad entre los 18 y 27 años de edad, la solución de cinco factores se replicó en gran medida pero con evidencia de una estructura factorial específica para los hombres a partir del análisis factorial exploratorio donde dos ítems de la subescala de internalización del ideal delgado que presentaron cargas cruzadas con la subescala de internalización del ideal muscular/atlético (ítems 8 y 9), lo que pudiera atribuirse, según los autores, a que los ideales de la apariencia para los hombres enfatizan tanto la musculatura como la delgadez. Respecto a la consistencia interna, los valores de alfa de Cronbach se encuentran son superiores a 0.75. Además, como evidencia de validez convergente, las puntuaciones de las subescalas del SATAQ presentaron asociaciones negativas pequeñas a medianas con los puntajes de satisfacción corporal y autoestima.

Respecto a los países hispanohablantes, el instrumento se ha validado en España, Colombia y Venezuela. En España, por Llorente et al. (2015) en 260 mujeres estudiantes universitarias con edades comprendidas entre 17 y 37 años de edad, obteniendo los siguientes valores de Alfa de Cronbach para cada una de las subescalas: internalización del ideal corporal delgado ($\alpha$ = 0.90), internalización del ideal corporal musculoso ($\alpha$ = 0.89), presiones de la familia ($\alpha$ = 0.88), presiones de los pares ($\alpha$ = 0.94) y presiones de los medios ($\alpha$ = 0.97). A partir del análisis factorial exploratorio, se encontró una solución factorial de cinco factores que apoya la versión original de Shaefer et al. En el análisis factorial confirmatorio, hallaron valores de los índices de ajuste adecuados excepto el *RMSEA* que se justifica, según los autores por el tamaño de la muestra (*RMSEA* = 0.088; *SRMR* = 0.068, *TLI* = 0.973, CFI = 0.976). Respecto a la validez concurrente, hallaron que las puntuaciones de las subescalas del SATAQ-4 presentaron una alta correlación con la insatisfacción corporal ($r$ = 0.72). Asimismo, se encontró que las subescalas de internalización de los ideales delgado y musculoso-atlético y, presiones de los medios predijeron la insatisfacción corporal.

En Colombia, Villegas et al. (2021), realizaron una validación del instrumento en una muestra de 214 participantes (138 mujeres, 76 hombres) con un promedio de edad de 25.13 años (*DE* = 7.66) con resultados que apoyan la estructura de cinco factores de Shaefer et al. y la de Llorente et al. Además, eliminaron del ítem ocho (“Quiero que mi cuerpo parezca muy magro o con muy poca grasa”) a partir de la prueba piloto quienes reportaron que el ítem cuatro (“Quiero que mi cuerpo parezca que tiene poca grasa”) cubría los aspectos de peso y delgadez.

Por su parte en Venezuela, Guerrero y Ramírez (2021), también hallaron una estructura factorial de cinco factores coherente a la versión original de Shaefer et al. en una muestra conformada por 436 estudiantes mujeres de pregrado de distintas universidades venezolanas en un rango de edad comprendido entre los 18 y 25 años.

Las subescalas de internalización de los ideales corporales (Scale Internalization of Sociocultural Body Ideals Scale-ISBIS) se han utilizado en algunas investigaciones previas en diferentes muestras. Daniel y Bridges (2010) en hombres a partir del SATAQ-1 (Heinberg et al., 1995) y Sicilia et al. (2019) en adolescentes a partir del SATAQ-4R

(Schaefer et al., 2017). La primera versión del instrumento contiene una dimensión de la internalización ideal de la apariencia (general), mientras que la cuarta versión revisada contiene tres dimensiones de los ideales internalizados (delgado, musculoso y atractivo general). Considerando que la presente investigación pretende estudiar la internalización de los ideales corporales (delgado y musculoso) se utilizará la cuarta versión del instrumento. Además, tomando en cuenta las evidencias psicométricas reportadas en los estudios realizados en la población hispanohablante.

En el presente estudio se realizó una validación de contenido por juicio de expertos con la colaboración de tres psicólogos (ver anexo 3) de la versión en español de Llorente et al. 2015. Se evaluó el instrumento a partir de los siguientes criterios: acuerdo con las instrucciones, acuerdo con la escala de respuesta, congruencia ítems-dimensión, adecuación del dialecto y adecuación de la redacción. Se realizaron las modificaciones según las sugerencias realizadas por los evaluadores (ver anexo 4). Se eliminó el ítem 8 “Quiero que mi cuerpo parezca muy magro (con muy poca grasa corporal)” para reducir la redundancia dado la similitud con el ítem 4 “Quiero que mi cuerpo parezca que tiene poca grasa”. Resultado semejante a la validación realizada por Villegas et al. (2021) en Colombia. En anexo 17, la versión del instrumento empleado.

Se obtuvieron los coeficientes de Alfa de Cronbach como evidencia de consistencia interna y las correlaciones ítems-total corregida como índice de discriminación (ver anexo 18). A continuación, los valores obtenidos por factor.

Internalización ideal corporal delgado (ICD). Para esta dimensión se obtuvo un $\alpha = 0.896$. Respecto al análisis de los ítems, las correlaciones de cada ítem con el puntaje total están comprendidas entre 0.74 y 0.82, todos superiores a 0.30.

Internalización ideal musculoso-atlético (ICMA). Este factor arrojó un $\alpha = 0.87$. Respecto a los índices de discriminación, los valores se encuentran sobre 0.30 en un rango que va desde 0.613 hasta 0.77.

***Datos de identificación***

Instrumento ad hoc con la finalidad de recoger los datos sociodemográficos: edad, sexo, peso, altura y universidad venezolana. No se incluyeron todos los datos en los

modelos de ecuaciones estructurales, no obstante, se consideraron para caracterizar la muestra de estudio.

**Procedimiento**

Con la finalidad de alcanzar el objetivo planteado en la presente investigación, se llevaron a cabo distintas actividades divididas en tres fases:

Fase Preliminar. Consistió en la validación de contenido de los instrumentos de recolección por juicio de expertos realizado por psicólogos relacionados con el área de salud y de la psicometría (ver anexo 3). Esta fase se conformó de las siguientes actividades: elaboración de los formatos digitales para la validación, contacto con los expertos, modificaciones de los instrumentos a partir de la evaluación.

Fase de Aplicación. Aplicación en línea de los instrumentos mediante (*Google Forms*) a la población de interés (estudiantes de pregrado). El instrumento se administró desde el 01/12/2020 hasta el 31/01/2021.

Fase de Análisis e Interpretación de los datos. Se realizaron los siguientes análisis: análisis exploratorio de los datos, análisis psicométrico de los instrumentos de recolección de datos, análisis de los descriptivos, análisis de los supuestos para el modelado de ecuaciones estructurales, análisis de modelo de ecuaciones estructurales, interpretación de los datos basados en la teoría y hallazgos empíricos relevantes obtenidos en el presente estudio. Se utilizaron los siguientes programas estadísticos: *SPSS* 25 (análisis descriptivos); *JASP* 16.0 (confiabilidad, análisis factorial exploratorio) y *AMOS* 23 (modelo de ecuaciones estructurales).

**Consideraciones éticas**

En la presente investigación se llevaron a cabo los siguientes lineamientos éticos descritos por la American Psychological Association (2010): protección de la confidencialidad de los datos, presentación de los resultados de forma fidedigna, presentación de los datos de forma clara y completa (compartir datos para su verificación o revisión), responsabilidad en el crédito y citas de autores de trabajos previos.

Además, en referencia al Código de Ética del Psicólogo en Venezuela, se siguieron los siguientes lineamientos: supervisión de un profesional científicamente calificado

(tutoría), objetivos claramente científicos condicionado al consentimiento voluntario de las participantes (tanto en la aceptación a participar como en la continuación en el transcurso de la investigación), ofrecimiento de información clara y concisa acerca de la naturaleza y objetivos de la investigación.

Conjuntamente, se cumplieron los siguientes criterios normativos del Código de Ética de la investigación emitido por el Consejo de Desarrollo Científico, Humanístico y Tecnológico de la UCAB (2017): desarrollo de la actividad científica con la finalidad de innovar y generar conocimiento basado en el beneficio de la sociedad bajo el marco del respeto de la dignidad humana; respeto de las normas de estilo y de las referencias de otros investigadores u organizaciones; elaboración del proceso de la investigación de forma transparente conforme al orden académico correspondiente al Doctorado de Psicología, publicación completa de los hallazgos de la investigación según el objetivo de investigación planteado bajo un riguroso proceso metodológico y análisis crítico.

## Análisis de resultados

### Análisis preliminares

Se obtuvo las respuestas a los instrumentos de recolección de datos de 515 participantes. Se realizaron los análisis exploratorios de los datos para evaluar la normalidad a partir de los valores de la asimetría y la curtosis. Como prueba de normalidad univariante se utilizó el criterio propuesto por Pérez y Medrano (2010) quienes indican los valores de los índices de asimetría y curtosis dentro del intervalo [-1.5, 1.5] como variaciones leves de la normal. Respecto a este criterio, todos los factores o dimensiones presentaron valores de asimetría y curtosis dentro del rango descrito, lo cual sugiere leves desviaciones de la normal según el criterio de los autores. No se emplearon las pruebas de contraste de bondad de ajuste (Kolmogorov-Smirnov o Shapiro-Wilk) dada su sensibilidad a pequeñas desviaciones de la normalidad en muestras grandes (Pérez y Medrano, 2010).

### Estadísticos Descriptivos

Seguidamente se señalan los estadísticos descriptivos con la finalidad de evaluar el comportamiento de las variables y de sus respectivos factores. Se consideraron los siguientes estadísticos: media aritmética, desviación estándar, coeficiente de variación, asimetría, curtosis, puntuación mínima y puntuación máxima (ver anexo 19).

***Imagen Corporal (IC)***

Evaluación de la apariencia (EA). Los resultados señalan que la muestra presenta como puntaje mínimo 1 y un máximo de 5 (rango posible 1-5), con una media de 3.36 [IC 95% (3.28-3.45)] (*DE* = 1.035), ligeramente heterógenea (*CV* = 30.8%) con una asimetría negativa (*As* = -0.36) platicúrtica (*K* = -0.77), indicando que hay una tendencia hacia los puntajes moderados altos (ver figura 2), lo que sugiere que los participantes presentan valores moderados altos de sentimientos de atractivo y de satisfacción con su apariencia.

Orientación de la apariencia (OA*).* En un rango posible de 1 a 5, los estudiantes presentan un puntaje mínimo de 1.42 y un puntaje máximo de 5 con una media de 3.61 [IC 95% (3.55-3.67)] (*DE* = 0.68), con una distribución homogénea (*CV* = 18.9%), con una asimetría negativa (*As* = -0.469) mesocúrtica (*K* = 0.036) señalando que los puntajes en esta dimensión se concentran en los valores medios altos (ver figura 2), lo que propone que los estudiantes muestran un moderado a alto grado de importancia o de atención a su apariencia y se esfuerzan por mejorar o controlar su aspecto. Asimismo, se aprecian tres puntajes extremos por debajo del límite inferior que indican bajo nivel de importancia o de interés de la apariencia.

Evaluación del estado físico (EEF). La muestra presenta, de un rango posible de 1 a 5, un puntaje mínimo de 1 y un puntaje máximo de 5, con un promedio de 3.23 [IC 95% (3.14-3.32)] (*DE* = 1.047), ligeramente heterogénea (*CV* = 32.4%), con una baja asimetría negativa (*As* = -0.219) y platicúrtica (*K* = -0.743), lo cual indica que los puntajes de esta dimensión se presentan en los valores medios (ver figura 2), es decir, los estudiantes expresan una moderada sensación de estar físicamente en forma o competentes deportivamente.

Orientación del estado físico (OEF). En un rango posible de 1 a 5, se obtuvo un puntaje mínimo de 1 y máximo de 5, con una media de 3.10 [IC 95% (3.02-3.18)] (*DE* = 0.92), ligeramente heterogénea (*CV* = 29.7%), de manera simétrica (*As* = 0.001) con una tendencia platicúrtica (*K* = -0.889), indicando que los puntajes tienden hacia los valores medios (ver figura 2), señalando que la muestra valora de forma moderada la aptitud física participando de forma activa en actividades para mantener o mejorar su forma física.

Evaluación salud (ES). Los puntajes obtenidos en esta dimensión de la imagen corporal muestran una media de 3.55 [IC 95% (3.49-3.62)], (*DE* = 0.768) con un puntaje mínimo de 1.33 y un máximo de 5, con una ligera asimetría negativa (*As* = -0.189) con tendencia a platicúrtica (*K* = -0.276), con una distribución homogénea (*CV* = 21.6%), indicando que los puntajes se encuentran en los valores medios (ver figura 2), lo que sugiere que los estudiantes presentan una sensación moderada de salud física o de resistencia a la enfermedad.

Orientación salud (OS). Los estudiantes presentan, de un rango posible de 1 a 5, un puntaje mínimo de 1.13 y un puntaje máximo de 5, con un promedio de 3.22 [IC 95% (3.15-3.28)] (*DE* = 0.75), con una distribución homogénea (*CV* = 23.4%), con una asimetría negativa baja (*As* = -0.128) platicúrtica (*K* = -0.383) (ver figura 2), sugiriendo que los participantes muestran un grado medio de importancia e inversión en un estilo de vida saludable. Conjuntamente, se observa un caso extremo en el límite inferior que señala bajo grado de importancia en un estilo de vida saludable.

Orientación enfermedad (OE). Los estudiantes presentaron puntajes mínimo y máximo acorde al rango posible de respuesta (1-5) y un promedio de 3.20 [IC 95% (3.13-3.27)] (*DE* = 0.775), de forma homogénea (*CV* = 24.2%), de manera simétrica (*As* = 0.032) y una tendencia mesocúrtica (*K* = -0.171), lo que señala que los puntajes se encuentran en los puntos medios (ver figura 2) sugiriendo que la muestra presenta un moderado estado de alerta o de reactividad a enfermarse.

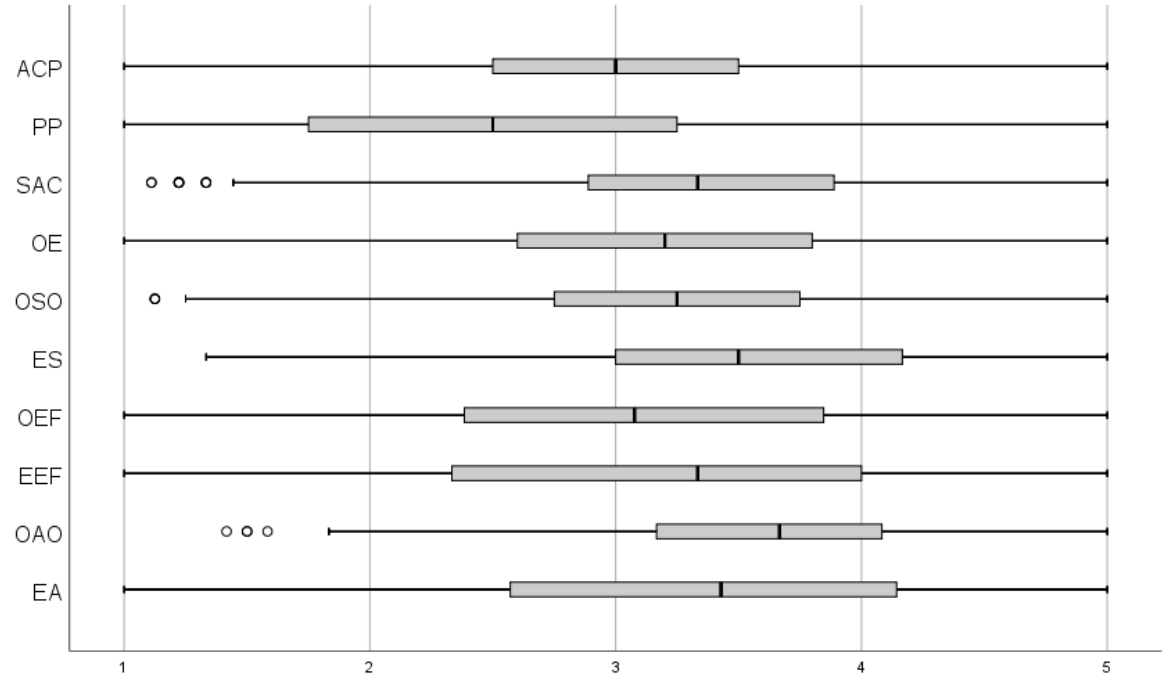
Satisfacción de las áreas corporales (SAC). En un rango posible de 1 a 5, se obtuvo un puntaje mínimo de 1.11 y máximo de 5, con una media de 3.35 [IC 95% (3.27-3.42)] (*DE* = 0.85), con una distribución homogénea (*CV* = 25.5%), con una ligera asimetría negativa (*As* = -0.236) con una tendencia platicúrtica (*K* = -0.332) (ver figura 2), indicando que los puntajes se encuentran en los valores moderados, lo cual sugiere que los estudiantes manifiestan niveles moderados de satisfacción con las áreas corporales (cara, cabello, parte inferior del cuerpo, parte media del cuerpo, parte superior del cuerpo, tono muscular, peso, altura y aspecto general). Asimismo, tres casos reportaron estar insatisfechos con las áreas corporales que indican baja satisfacción de las áreas corporales.

Preocupación por el peso corporal (PP). Los puntajes obtenidos en esta dimensión muestran una media de 2.63 [IC 95% (2.54-2.72)], (*DE* = 1.04), con una distribución heterogénea (*CV* = 39.5%), con un puntaje mínimo de 1 y un máximo de 5, con una asimetría positiva (*As* = 0.302) platicúrtica (*K* = -0.757) (ver figura 2), señalando que los puntajes se encuentran en los valores medios bajos, lo que indica que los estudiantes muestran niveles medios bajos de preocupación por el peso (bajo monitoreo del peso, poca ansiedad por el peso y baja restricción alimentaria o dieta).

Autoclasificación del peso corporal (ACP). La muestra obtuvo una media de 3.02 [IC 95% (2.96-3.08)] (*DE* = 0.679) con puntajes mínimo y máximo acorde al rango posible de respuesta (1-5), en una distribución homogénea (*CV* = 22.5%), con una asimetría negativa (*As* = -0.338) y leptocúrtica (*K* = 0.730) (ver figura 2), lo que señala que los puntajes se localizan en los puntajes medios altos, sugiriendo que los estudiantes se clasifican con peso normal. Conjuntamente, se observan casos extremos en el límite inferior (tres casos) y en el límite superior (dos casos) que señalan una autoclasificación muy por debajo del peso normal u obeso, respectivamente.

**Figura 2**

Diagrama de caja de las dimensiones de la imagen corporal

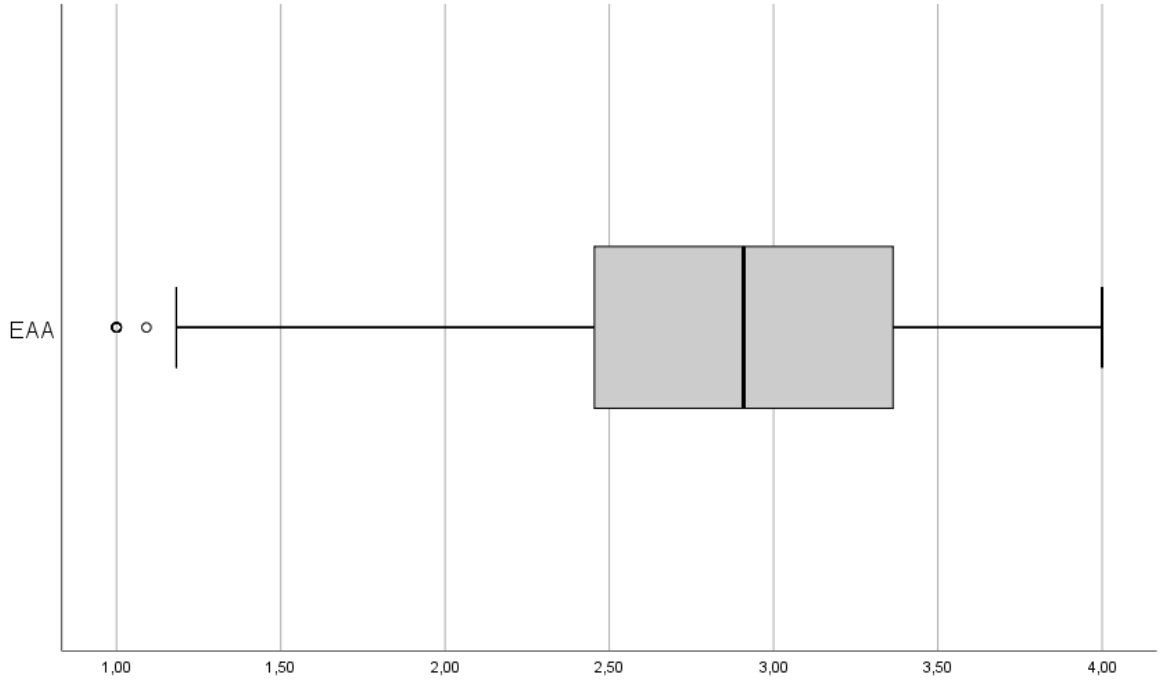


***Estrategias de afrontamiento de aceptación racional positiva (EAA)***

En un rango posible de 1 a 4, se obtuvo un puntaje mínimo de 1 y máximo de 4, con una media de 2.87 [IC 95% (2.81-2.92)] (*DE* = 0.65), con una distribución homogénea (*CV* = 22.7%), con una asimetría negativa (*As* = -0.396) con una tendencia mesocúrtica (*K* = -0.171) (ver figura 3), indicando que los valores se encuentran en los niveles moderados alto, lo cual sugiere que los estudiantes indican una moderada alta probabilidad de empleo de estrategias de afrontamiento racional positiva enfocadas en la aceptación del evento desafiante y de conductas de autocuidado, las cuales denotan aceptación de los desafíos o críticas hacia su cuerpo con auto diálogo que reflejan desinterés hacia las mismas, de comprender por qué se sienten desafiados ante las críticas y de aceptar que la situación pasará y de convicción de sentirse mejor luego de un tiempo. Asimismo, se presentaron tres casos extremos ubicados en el límite inferior que señalan una baja probabilidad de empleo de estas estrategias de afrontamiento.

**Figura 3**

Diagrama de caja de las estrategias de afrontamiento de aceptación racional positiva



***Autoobjetivación***

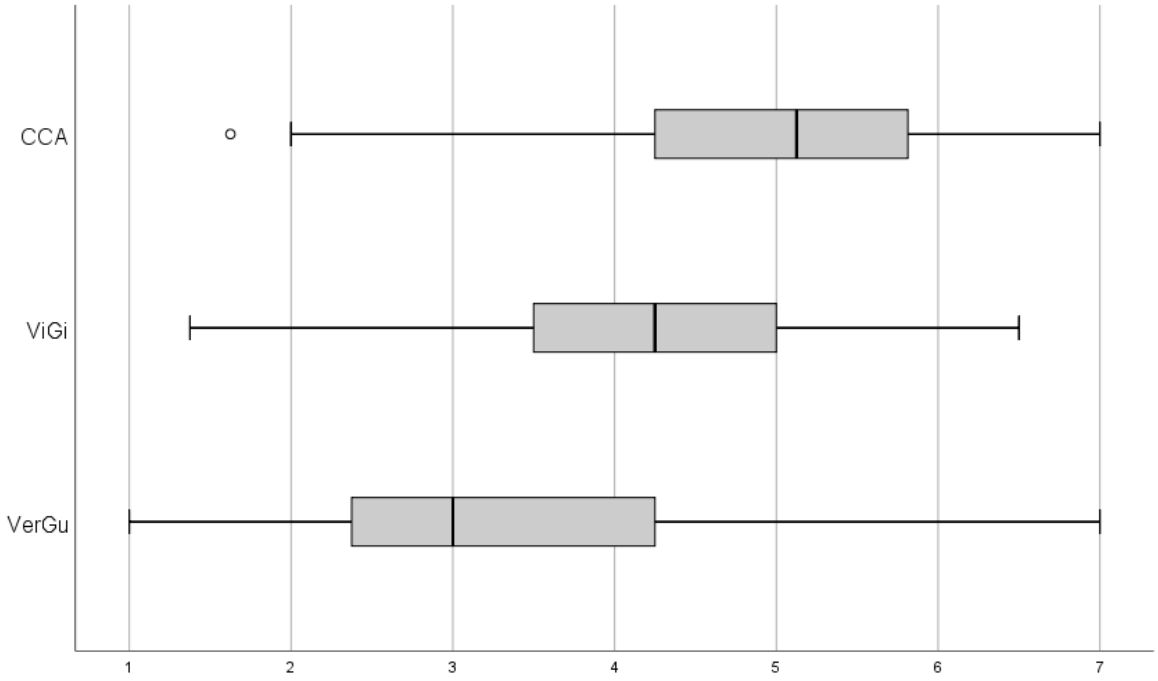
Vergüenza corporal (Verg). Los estudiantes presentaron puntajes mínimo y máximo acorde al rango posible de respuesta (1-7) y un promedio de 3.29 [IC 95% (3.18-3.40)] (*DE* = 1.26), de forma heterogénea (*CV* = 38.5%), con una asimetría positiva (*As* = 0.458) y platicúrtica (*K* = -0.508) (ver figura 4), lo que indica que los estudiantes muestran niveles moderadamente bajos de sentimientos de vergüenza respecto a su peso, talla, de cómo le sienta la ropa y por no lograr alcanzar una mejor apariencia.

Vigilancia corporal (Vig). En un rango posible de 1 a 7, los estudiantes presentan un puntaje mínimo de 1.38 y un puntaje máximo de 6.50 con una media de 4.20 [IC 95% (4.11-4.29)] (*DE* = 1.024), de forma homogénea (*CV* = 24.4%), con una asimetría baja negativa (*As* = -0.149) platicúrtica (*K* = -0.496) (ver figura 4), señalando que los participantes presentan valores moderados de monitoreo corporal que refleja interés de cómo se ven, de compararse con los demás o de importancia de cómo lo ven los demás.

Creencias de control de la apariencia (CCA). La muestra obtuvo una media de 5.02 [IC 95% (4.92-5.13)] (*DE* = 1.10) de forma homogénea (*CV* = 21.9%), con un puntaje mínimo de 1.63 y máximo de 7 de un rango posible 1-7, con una asimetría negativa (*As* = -0.339) y platicúrtica (*K* = -0.433) (ver figura 4), lo que sugiere que los participantes presentan valores moderados altos de creencias sobre el control de la apariencia, es decir, creencia de que con suficiente esfuerzo pueden lograr el peso y la apariencia deseada. Conjuntamente, se observa un caso extremo en el límite inferior que indica baja creencia de control sobre la apariencia.

**Figura 4**

Diagrama de caja de las dimensiones de autoobjetivación



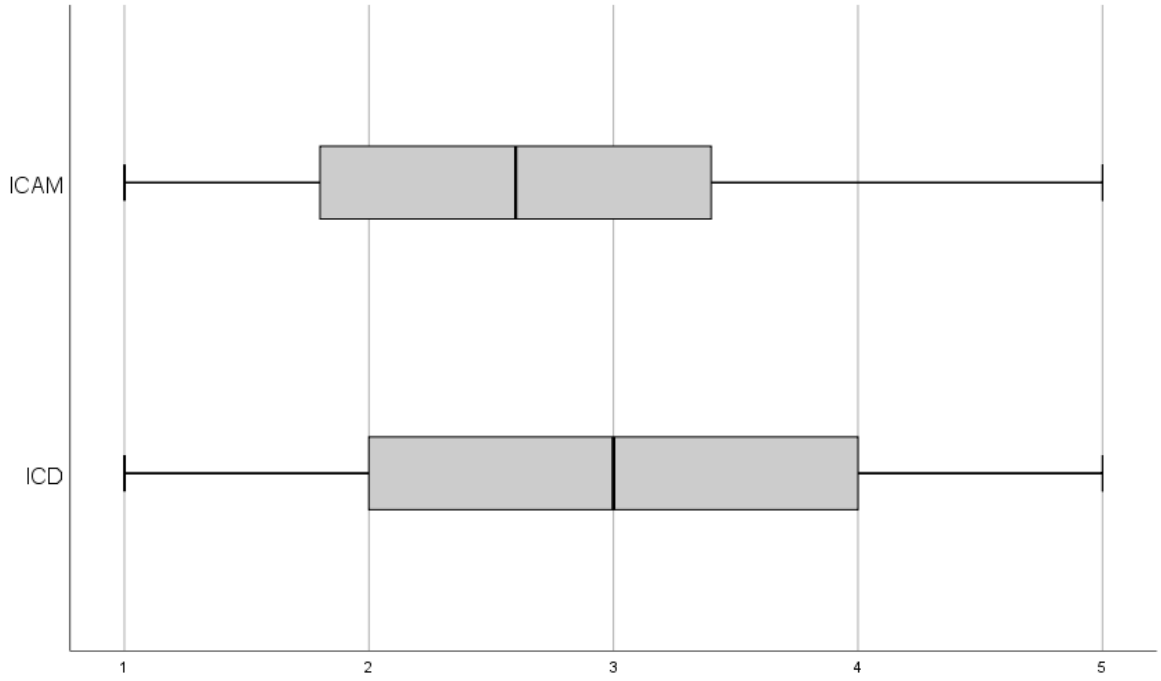

***Ideal corporal internalizado (ICI)***

Ideal Corporal Delgado (ICD). En un rango posible de 1 a 5, se obtuvo un puntaje mínimo de 1 y máximo de 5, con una media de 2.89 [IC 95% (2.78-2.99)] (*DE* = 1.24) de forma heterogénea (*CV* = 42.9%), con una ligera asimetría positiva (*As* = 0.101) y platicúrtica (*K* = -1.102) (ver figura 5), lo que sugiere que los participantes reportan niveles de moderados de internalización del ideal corporal delgado, es decir, presentan niveles de moderados bajos de pensamientos y de intención de tener, querer o parecer delgado o con poca grasa corporal.

Ideal Corporal Atlético-Musculoso (ICAM). La muestra presenta, de un rango posible de 1 a 5, un puntaje mínimo de 1 y un puntaje máximo de 5, con un promedio de 2.59 [IC 95% (2.50-2.68)] (*DE* = 1.06) de forma heterogénea (*CV* = 40.7%), con una asimetría positiva (*As* = 0.305) y altamente platicúrtica (*K* = -0.821) (ver figura 5), lo que indica que los estudiantes presentan valores de moderados bajos de internalización del ideal corporal musculoso-atlético, es decir, presentan niveles medio bajos de pensamientos y de intención de tener, querer o parecer atlético o musculoso.

**Figura 5**

Diagrama de caja de las dimensiones de los ideales corporales idealizados

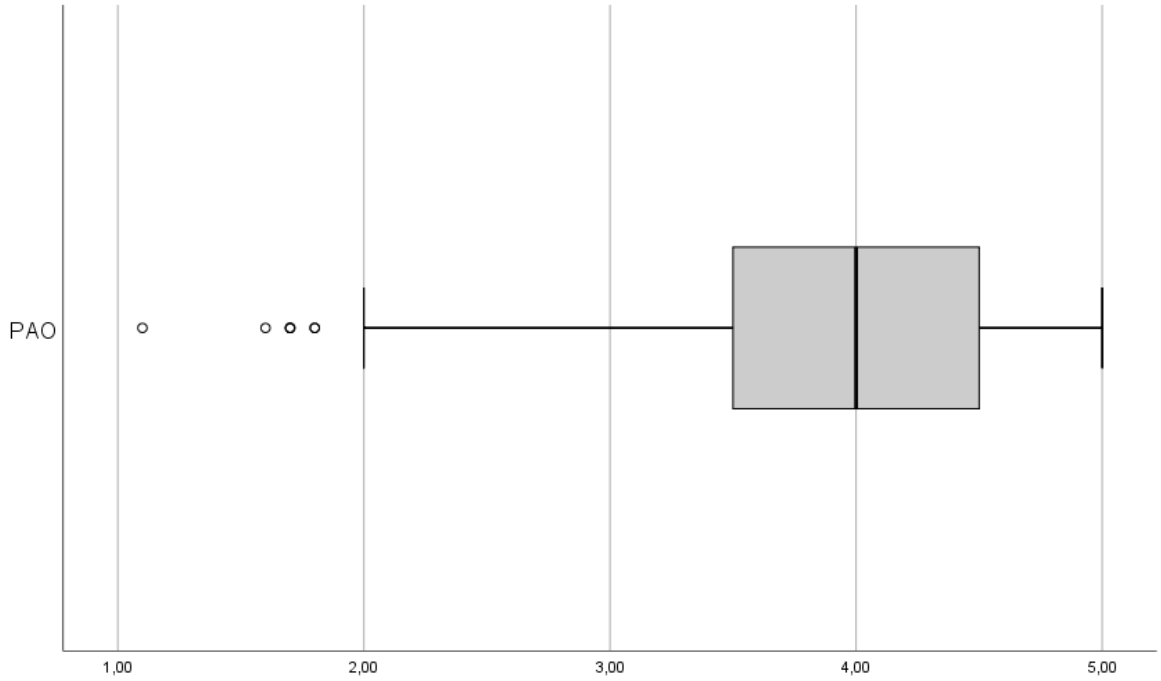



***Percepción de aceptación del cuerpo por otros (PAO)***

Los estudiantes presentan, de un rango posible de 1 a 5, un puntaje mínimo de 1.70 y un puntaje máximo de 5, con un promedio de 3.92 [IC 95% (3.85-3.98)] (*DE* = 0.76) de forma homogénea (*CV* = 19.4%), con una asimetría negativa (*As* = -0.659) con tendencia mesocúrtica (*K* = -0.135) (ver figura 6), lo cual sugiere que los estudiantes muestran una percepción alta de que los familiares, amigos, pareja, medios de comunicación (TV, cine), redes sociales y sociedad aceptan la forma y el peso de su cuerpo. Se evidenciaron cuatro casos extremos en el límite inferior que indican una baja percepción de aceptación del cuerpo por otros.

**Figura 6**

Diagrama de caja de percepción de aceptación del cuerpo por otros




En resumen, la muestra se caracteriza por presentar moderados altos de sentimientos de atractivo y de satisfacción moderada con su apariencia y con las áreas corporales (cara, cabello, parte inferior del cuerpo, parte media del cuerpo, parte superior del cuerpo, tono muscular, peso, altura) con un medio alto grado de atención a su apariencia y se esfuerzan por mejorarla. Así mismo, expresan una moderada sensación y valoración de estar físicamente en forma y participan en actividades para mantener o mejorar su forma física. Además, muestran niveles bajos de preocupación por el peso y se clasifican con un peso normal. Reportan una sensación moderada de salud física y de interés en un estilo de vida saludable con un moderado estado de alerta a enfermarse. Conjuntamente, presentan niveles moderados bajos de pensamientos y de intención de tener, querer o parecer delgado o con poca grasa corporal y, de niveles bajos de pensamientos y de intención de tener, querer o parecer atlético o musculoso. Expresan niveles moderados bajos de sentimientos de vergüenza ante cómo le queda la ropa o por no lograr una mejor apariencia con un moderado monitoreo corporal que denota importancia de cómo se ven y cómo lo ven los demás, con un nivel medio alto de creencias de que con suficiente esfuerzo pueden lograr el

peso y la apariencia deseada. Asimismo, muestran una percepción alta de que los familiares, amigos, pareja, medios de comunicación (TV, cine), redes sociales y sociedad, aceptan la forma y el peso de su cuerpo. Manifiestan una moderada probabilidad de empleo de estrategias de afrontamiento racional positiva enfocadas en la aceptación del evento desafiante o críticas hacia su cuerpo y de auto diálogo de cuidado ante las mismas.

**Modelo de ecuaciones estructurales**

Para la verificación del modelo propuesto se llevó a cabo un modelo de ecuaciones estructurales. De acuerdo a Collier (2020), entre los supuestos de este modelo se encuentran: variables endógenas con un nivel de medida intervalo o razón, tamaño grande de la muestra, relaciones lineales entre las variables, distribución multivariante normal y ausencia de multicolinealidad. Dado que se cumplen con las dos primeras y se asume relaciones lineales entre las variables, se procedió a comprobar la normalidad multivariante y la multicolinealidad.

Respecto a la normalidad multivariante, esencial para el modelo de ecuaciones estructurales, se siguió el criterio propuesto por Byrne (2010) y Collier (2020) de un coeficiente normalizado de Mardia menor a cinco, como una distribución multivariante normal. Según el análisis de la normalidad multivariada, se obtuvo un coeficiente de 10.471 (ver anexo 20), lo cual se considera una desviación importante a la normalidad de la distribución multivariante. Por ende, se prosiguió a determinar los casos atípicos a partir de la inspección de los coeficientes de distancia de Mahalanobis al cuadrado. De esta forma, se eliminaron 13 casos, obteniendo un valor del coeficiente normalizado de Mardia de 4.38 (ver anexo 20) acorde al valor descrito como umbral para aceptar una distribución multivariada normal. De esta forma, el conjunto de datos analizados corresponde a las respuestas de 502 estudiantes.

En referencia a la multicolinealidad, la matriz de correlaciones de los factores (ver anexo 21) muestran valores menores a 0.80, lo cual indica ausencia de multicolinealidad (Hair et al., 2000).

En relación al tamaño de la muestra, destaca mencionar, que según Collier (2020), aunque debe basarse en la complejidad del modelo en lugar de la muestra mínima necesaria

para llevar a cabo el análisis, se podría considerar como tamaño crítico de 200 casos para la obtención de resultados estables con poder suficiente para probar un modelo.

Ahora bien, con el objetivo de verificar el modelo planteado (modelo A), se estimó su ajuste mediante ecuaciones estructurales empleando el programa estadístico de Modelo de Ecuaciones Estructurales (MEE) o *Structural Equation Modeling* (*SEM*) de *AMOS* a partir del método de estimación de máxima verosimilitud. Definidos los constructos implicados en la investigación, se llevó a cabo la especificación del modelo o representación de las relaciones conceptuales; asimismo, se especificaron los parámetros, los errores de medida y de predicción a través de la interfaz gráfica del programa estadístico. Seguidamente se identificó el modelo con la finalidad de verificar si existe información para calcular una solución al conjunto de ecuaciones estructurales propuesto.

Para la validez del modelo de medida, se evaluaron las cargas factoriales estandarizadas, las cuales deben ser todas estadísticamente significativas y con valores superiores a 0.3 y las correlaciones múltiples al cuadrado como evidencia de confiabilidad del indicador. Respecto a la validez del modelo estructural, se evalúa el ajuste del modelo a los datos a partir de los índices de ajuste, seguidamente se evaluaron las relaciones de dependencia hipotética. La validez del modelo, tanto de medida como estructural, se realizó a partir del modelo analizado según los valores de los índices de ajuste, es decir, el que presente mejor ajuste según los valores de los estadísticos de ajuste siguiendo los criterios de Hair et al. (2019).

En primera instancia, se identificó el modelo como requisito del programa estadístico, resultando un modelo sobre identificado ($gl = 124 > 0$) y recursivo (ver anexo 22). Se ejecuta el programa y se obtienen los resultados (ver figura 7).

Según los índices de ajuste, se obtuvo un muy bajo ajuste de los datos al modelo original [$\chi^2$ (125, N = 502) = 2206.1, $p < 0.000$; $\chi^2/gl = 17.649$; *GFI* = 0.653; *CFI* = 0.464; *PNFI* = 0.371; *RMSEA* = 0.182; IC del 90% (0.176, 0.189)]. Siguiendo lo indicado por Hair et al. (2019), la validez del modelo, tanto de medida como estructural, se realiza a partir del modelo que presente mejor ajuste según los valores de los índices de ajuste mencionados. No obstante, a pesar de obtener un muy bajo ajuste, se describirá de forma resumida, el

análisis tanto del modelo de medida como estructural, enfatizando en este último, las relaciones directas con la variable principal de estudio.

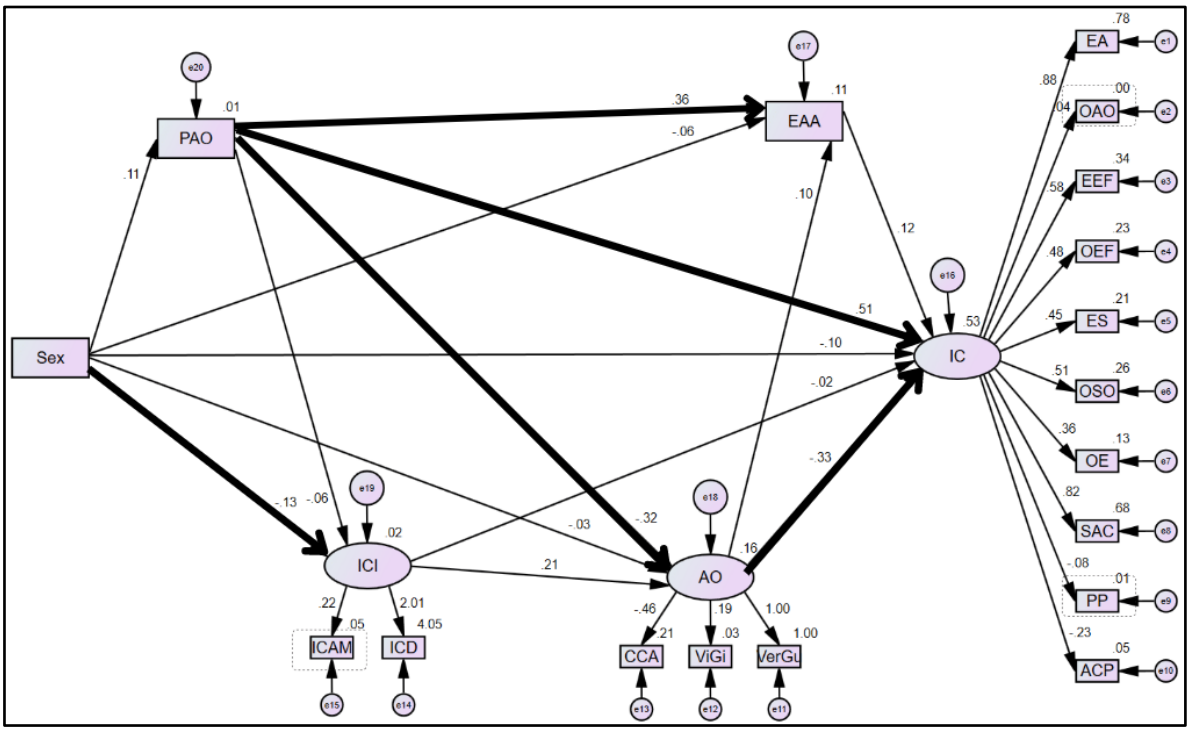
Respecto el modelo de medida, en primer lugar, el constructo de imagen corporal (IC), las cargas factoriales resultaron significativas al 5% (excepto los indicadores de orientación de la apariencia y preocupación por el peso), explicando el 78% de la evaluación de la apariencia, el 68% de la satisfacción de las áreas corporales, el 34% de la evaluación del estado físico, el 26% de la orientación de la salud, el 23% de la orientación del estado físico, el 21% de la evaluación de la salud, el 13% de la orientación de la enfermedad y el 5% de la autoclasificación del peso corporal. En relación al constructo de la autoobjetivación (AO), resultaron significativas todos los indicadores, explicando el 100% de la vergüenza, el 21% de creencias de control de la apariencia y el 3% de la vigilancia. Por último, el constructo de ideal corporal internalizado (ICI), resultó significativo el indicador de ideal corporal internalizado delgado, siendo este valor mayor a uno, señalando que el ideal corporal internalizado delgado explica más del 100% de este indicador lo cual, según Collier (2020), es frecuente en los constructos con dos indicadores.

En referencia al modelo de relaciones, la imagen corporal resultó predicha por la percepción de aceptación corporal por otros (PAO) con un valor de 0.506, y la autoobjetivación (AO) con un valor de - 0.327, lo cual sugiere que los estudiantes con mayor percepción de aceptación corporal por otros y menor autoobjetivación, presentan una disposición actitudinal hacia la imagen corporal caracterizada por una satisfacción corporal, valoración de competencia física, importancia e inversión en un estilo de vida saludable, participación en actividades para mantener o mejorar su forma física, sensación de salud, estado de alerta ante la enfermedad y una autoclasificación normal del peso corporal.

Respecto a los efectos indirectos, la percepción de aceptación corporal por otros influye en la imagen corporal a través de la autoobjetivación.

**Figura 7**

Modelo A resultante




*Nota*. Sex=Sexo; PAO= Percepción de Aceptación del Cuerpo por Otros; ICI= Ideal Corporal Internalizado; ICD= Ideal Corporal Delgado; ICIM= Ideal Corporal Atlético-Musculoso; AO= Autoobjetivación; VerGu=Vergüenza; ViGi=Vigilancia; CCA=Creencias de Control sobre la Apariencia; EAA=Estrategias de Afrontamiento de Aceptación; IC=Imagen Corporal; EA=Evaluación de la Apariencia; OAO=Orientación de la Apariencia; EEF=Evaluación del Estado Físico; OEF=Orientación al Estado Físico; ES=Evaluación de la Salud; OSO=Orientación Salud; OE=Orientación de la Enfermedad; SAC=Satisfacción de las Áreas Corporales; PP=Preocupación por el Peso; ACP=Autoclasificación del peso.
Flechas=relaciones significativas. Líneas punteadas=indicadores no significativos.

Considerando el bajo ajuste en el marco de las estrategias de modelado, se empleó un enfoque de modelos alternativos, específicamente, proponer más de un modelo con la finalidad de comprobar cuál obtiene un mejor ajuste y, a partir del allí, evaluar la validez del modelo de medida y estructural de modelo con mejor ajuste. En este sentido, se plantean modelos alternativos a partir de un estudio factorial exploratorio de cada una de las variables latentes de la investigación, para luego evaluar su validez (medida y de relaciones) y, a partir de allí, interpretar las relaciones halladas a través de los cálculos realizados.

**Análisis factorial exploratorio**

Previo a los análisis factoriales correspondientes, se realizaron los análisis con la finalidad de cumplir con los supuestos propuestos por Martínez Arias (1999): normalidad y multicolinealidad de las puntuaciones.

La normalidad se estimó a partir de los índices de asimetría y curtosis. Considerando los valores dentro del rango entre – 1.5 y + 1.5 como indicación de variaciones leves a la normalidad y adecuados para el AFE (Pérez y Medrano, 2010). Se eligió este criterio en lugar de los estadísticos Shapiro-Wilks y Kolgomorov-Smirnov, dado que, según Pérez y Medrano (2010), son altamente sensibles a pequeñas desviaciones de la normalidad en muestras de gran tamaño.

A partir de los cálculos pertinentes (ver anexo 23), se observan que los índices de asimetría y curtosis se encuentran entre el rango de -1.5 y +1.5, cumpliendo con los criterios propuestos por los autores para una AFE. Excepto en el ítem 1 del instrumento BAOS el cual presenta una *As* = -1.6 y una *k* = 2.52. Se decidió no realizar alguna transformación de los datos, dado que según Medrano y Sánchez (2013) valores de asimetría superiores a 3 y curtosis mayores a 10 sugieren la transformación.

En referencia a la multicolinealidad, a partir de la matriz de correlaciones (ver anexo 24) se puede apreciar que las correlaciones están por debajo de 0.80. La confiabilidad se estimó a partir del coeficiente de alfa de Cronbach y la capacidad de discriminación a partir de la correlación corregida de cada uno de los ítems con el total del instrumento.

***Imagen corporal (IC)***

En referencia al instrumento del constructo de imagen corporal (*Multidimensional Body-Self Relations Questionnaire (MBSRQ;* Brown, Cash y Mikulka, 1985; 1990; Cash, 2017, 2018; validada en la presente investigación), el coeficiente de alfa de Cronbach fue de 0.93 y considerando como índice de discriminación, la correlación ítem total, el rango va desde 0.30 hasta 0.68 a excepción de los ítems (1, 2, 10, 12, 13, 17, 23, 25, 27, 28, 32, 34, 36, 37, 45, 47, 49, 57, 58*, 59*, 60*, 62, 68; * ítems con signo negativo esperados según el significado semántico del constructo); no obstante, se decidió no eliminarlos ya que no aumenta de forma importante la consistencia interna (ver anexo 25).

Con la finalidad de comprobar si es pertinente desde el punto de vista estadístico realizar el análisis factorial con los datos y la muestra utilizada se estimaron a partir del cálculo del estadístico de adecuación de la muestra de Kaiser-Meyer-Olkin (KMO) y de la prueba de esfericidad de Bartlett. Respecto al primer estadístico, *KMO* = 0.92; en tanto la prueba de esfericidad de Bartlett, ($\chi^2$ = 19968,22; *gl* = 2346 $p < 0.001$), resultando valores adecuados para proseguir con el análisis factorial (ver anexo 25).

En el análisis factorial exploratorio (AEF) se emplearon cinco criterios para la estimación de los factores (teoría, criterio de Kaiser, porcentaje de la varianza explicada, gráfico de sedimentación y análisis paralelo) y, el uso del análisis exploratorio paralelo aplicando rotación ortogonal varimax para la organización de los ítems en la estructura obtenida con cargas > 0.40.

De esta forma, se obtuvo una primera solución constituida por ocho factores (ver anexo 25) con autovalores mayores a 1.941, con una varianza explicada del 48.8%. Asimismo, se observa en el gráfico de sedimentación los ocho factores, los cuales corresponden a valores superiores a los datos simulados. No obstante, en el factor ocho cargaron solo dos ítems, con otros tres ítems con cargas cruzadas.

Así, coherente con el gráfico de sedimentación se consigue una solución de cuatro factores con autovalores mayores a 3.17 y una varianza explicada de 39%. Con cargas factoriales mayores a 0.30 se obtienen algunas cargas cruzadas y un ítem no coherente semánticamente en el factor 3. Se aumenta el criterio de las cargas factoriales a 0.40. Se obtiene una estructura factorial conformada por ítems coherentes con los factores correspondientes. Los valores de bondad de ajuste correspondientes son Chi-cuadrado normado ($\chi 2/gl$ = 3.06) y *RMSEA* = 0.064 [IC 90% (0.062-0.066)] (ver anexo 25). Se considera un ajuste adecuado cuando el chi-cuadrado es menor a 4 y el *RMSEA* menor a 0.08 (Brown, 2015).

De esta manera se elige la solución de cuatro factores, la cual se encuentra conformada por los siguientes factores: Orientación y evaluación del estado físico y de la salud (20 ítems: 3, 4, 6, 7, 8, 9, 14, 15, 16, 18, 24, 26, 33, 35, 43, 44, 52, 53, 54, 55); Satisfacción con la apariencia (17 ítems: 5, 11, 21, 30, 39, 40, 42, 48, 51, 61, 62, 63, 64, 65, 66, 67, 69; Orientación de la apariencia (8 ítems: 1, 2, 12, 13, 22, 22, 41, 50); Preocupación

y autoclasificación del peso (5 ítems:10, 57, 58, 59, 60). El ítem 50 cargó en dos factores con valores muy cercanos, se colocó en el factor 3 por su contenido semántico. Se eliminaron 19 ítems (17, 19, 20, 23, 25, 27, 28, 29, 32, 34, 36, 37, 38, 45, 46, 47, 49, 56, 68).

En comparación al instrumento original, de diez factores se reduce a cuatro factores, donde en el primer factor, se condensan los factores de orientación del estado físico (3, 4, 6, 14, 15, 16, 26, 35, 43, 44, 53) y evaluación del estado físico (24, 33) en un solo factor, con la adición de ítems de los factores de orientación de la salud (8, 9, 18, 52), evaluación de la salud (7) y orientación de la enfermedad (55), todos con coherencia semántica constituyendo un constructo que abarca la valoración de la aptitud física, la importancia de un estilo de vida saludable y, control y monitoreo de la salud. Tal como mencionan Cruzat-Mandich et al. (2017), la fusión en un solo factor sugiere la no discriminación entre los aspectos conductuales y cognitivos implícitos en los dos factores.

En referencia al segundo factor, se unen los factores de evaluación de la apariencia (5, 11, 21, 30, 39, 42, 48), satisfacción de las áreas corporales (61, 62, 63, 64, 65, 66, 67, 69), los cuales agrupan sentimientos de atractivo y de satisfacción con la apariencia. Conjuntamente, se encuentran un ítem de la orientación de la apariencia (40) y un ítem de orientación del estado físico (50), que denotan de igual manera satisfacción con la propia apariencia, valorando como se mueve (de forma armónica y coordinada) y una falta de importancia en lo que piensen los demás de la apariencia. Tal como reportaron Cruzat-Mandich et al. (2017) y Velázquez et al. (2014) emergieron los ítems correspondientes del factor de evaluación de la apariencia y satisfacción de las áreas corporales según la versión original, lo cual engloba, según el contenido semántico de los ítems, sentimientos de atractivo y satisfacción por el cuerpo tanto de forma general como de las áreas corporales específicas. Tal como reportaron estudios previos (ver sección de instrumentos), el ítem 68 (grado de satisfacción con la altura) se eliminó por el bajo valor de la carga factorial. Esto podría obedecer el desinterés por parte de la muestra respecto a la altura, el cual, a su vez, es un factor de la apariencia que no se puede modificar en términos de acciones (ejercicios, dieta balanceada o estilo debida saludable), tal como sucede con el resto de los elementos evaluados (cara, cabello, parte inferior del cuerpo, parte media del cuerpo, parte superior del cuerpo, tono muscular y peso).

Respecto al tercer factor, orientación de la apariencia (1, 2, 12, 13, 22, 31, 41, 50), similar a la versión original con la excepción de que se eliminaron tres ítems y el ítem 40 que cargó en el factor dos. El factor cuatro o preocupación y autoclasificación por el peso, unifica la preocupación por el peso y restricción alimentaria y, la autoclasificación por el peso que incluye una valoración del peso desde muy por debajo del peso normal hasta la obesidad. Tal como reportaron Cruzat-Mandich et al. (2017) y Velázquez et al. (2014) en sus estudios (ver sección instrumentos) la preocupación por el peso y la autoclasificación del peso emergieron en un solo factor.

De esta forma, el constructo de imagen corporal mantiene la visión integral de Cash (2015) como disposición actitudinal (sentimientos, pensamientos, acciones) caracterizada por la evaluación y orientación cognitivo-conductual hacia la apariencia física, las competencias corporales y la salud, tal como lo concibieron los autores originales del instrumento para la medición de este constructo.

Se obtuvieron los coeficientes de alfa de Cronbach como evidencia de consistencia interna y las correlaciones ítems-total corregida como índice de discriminación (ver anexo 26). A continuación, los análisis para cada factor.

Orientación y evaluación del estado físico y de la salud (OEEFS) resultó un $\alpha = 0.946$ [IC 95% (0.939-0.952)], el cual se considera un valor adecuado según Pérez y Tornimberi (2008). Respecto al análisis de los ítems, la correlación de cada ítem con el puntaje total están comprendidas entre 0.49 y 0.81, lo cual sugiere una adecuada capacidad discriminativa (Pérez y Tornimberi, 2008).

Satisfacción apariencia (SA) arrojó un $\alpha = 0.926$ [IC 95% (0.939-0.952)] considerado como un valor adecuado. Asimismo, se obtuvieron valores de los índices de discriminación (correlaciones ítem-total) por encima de 0.30 en un rango comprendido entre 0.39 al 0.84, lo cual indica una adecuada capacidad discriminativa.

Orientación de la apariencia (OA) se obtuvo una consistencia interna de $\alpha = 0.843$ [IC 95% (0.82-0.862)]. Por su parte, las correlaciones ítem-total son superiores a 0.30 (0.49-0.67). Considerados valores adecuados tanto de consistencia interna como de capacidad discriminativa.

Preocupación y autoclasificación del peso (PAP). Este factor arrojó un $\alpha$ = 0.748 [IC 95% (0.714-0.777)]. Respecto a los índices de discriminación, los valores se encuentran por encima de 0.30 (0.49-0.57).

***Autoobjetivación (AO)***

Respecto al instrumento del constructo de la autoobjetivación (*Objetified Body Consciousness Scale (OBCS*; McKinley y Hyde, 1996; validada en la presente investigación), el coeficiente de consistencia interna utilizado fue el Alfa de Cronbach. Se obtuvo un α = 0.841 [IC 95% (0.82-0.859)]. De acuerdo a Hair et al. (2000), el valor debe ser mayor a 0.70, por ende, se cumple el criterio de confiabilidad. Además, se analizaron las correlaciones ítem-total y el alfa de Cronbach si se elimina el ítem. Respeto al primer análisis, se puede observar, las correlaciones entre el total y el ítem oscilan entre 0.047 (ítem 23) y 0.58 (ítem 17) (ver anexo 27). Según Hair et al. (2000), los coeficientes han de ser mayores a 0.4. Respecto al segundo análisis, se puede apreciar que la eliminación de alguno de los 24 ítems que conforman la escala no disminuye ni aumenta de forma importante la confiabilidad, por lo que no se consideró la eliminación de los ítems.

En referencia al KMO, el índice obtenido fue de 0.853 Según el análisis obtenido la estimación de la chi-cuadrado a partir de la prueba de esfericidad de Bartlett fue de 4142,012 (gl = 276, p< .001), rechazando la hipótesis nula, lo cual señala que la matriz de datos es válida para seguir con el análisis factorial (ver anexo 27). De acuerdo a los resultados obtenidos se puede afirmar que la muestra y los datos son pertinentes desde el punto de vista estadístico para el análisis factorial.

Para el estudio de la estructura factorial del instrumento se llevó a cabo un análisis factorial exploratorio utilizando cinco criterios para la estimación de los factores (teoría, criterio de Kaiser, porcentaje de la varianza explicada, gráfico de sedimentación y análisis paralelo) y el uso del análisis exploratorio paralelo aplicando rotación ortogonal varimax para la organización de los ítems en la estructura obtenida con cargas > 0.40.

De esta forma, se obtuvo una estructura factorial conformada por cuatro factores que explican el 42% de la varianza total con autovalores mayores a 1.5 (ver anexo 27). Considerando cargas mayores a 0.30, se observan algunas cargas cruzadas, por ende, se aumenta el criterio a 0.40, cargando un ítem no coherente en uno de los factores (ítem 4 en

el factor 2). Se prosigue con la solución manual de tres factores con cargas factoriales a 0.40, con autovalores mayores a 1.78 y una varianza explicada del 37.3%. De esta manera, se obtiene una estructura factorial coherente semánticamente con valores de bondad de ajuste correspondientes son Chi-cuadrado normado ($\chi^2/gl$ = 4.43) y *RMSEA* = 0.083 [IC 90% (0.077-0.088)] (ver anexo 27). De acuerdo a los criterios propuestos por Brown (2015), los valores se encuentran ligeramente por encima, por ende, se podría considerar valores de ajuste adecuados.

La estructura factorial se conforma por los siguientes tres factores: vergüenza (9 ítems: 2, 5, 8, 11, 12, 14, 16, 17, 22); vigilancia (7 ítems: 1*, 3*, 7*, 9*, 15*, 18*, 20*); y creencias de control de la apariencia (4*, 10, 19*, 21*, 23, 24*). Los ítems de los factores de vigilancia y de creencias de control de la apariencia se codificaron de manera inversa con la finalidad de mantener la coherencia con el constructo autoobjetivación según los autores del instrumento original. El ítem 21 cargó en dos factores con cargas factoriales semejantes (factor 1 y factor 3), se colocó al factor 3 dado su contenido semántico y coherencia con la versión original del instrumento. Se eliminaron dos ítems (6, 13).

La medida del constructo de autoobjetivación, se conforma por una estructura factorial similar al instrumento original, compuesto por tres factores con las mismas denominaciones (vergüenza corporal, vigilancia corporal, creencias de control de la apariencia), no obstante, algunos ítems se distribuyeron de distinta manera, además de los ítems eliminados (6, 13). En este sentido, vergüenza corporal, queda constituida por los mismos ítems, excepto el ítem 13 (eliminado) y el ítem 15 que cargó en el factor de vigilancia corporal; además, se añaden los ítems 14, 16 (pertenecientes al indicador de vigilancia corporal según versión original) y el ítem 12 (perteneciente al indicador de creencias de control de la apariencia), lo cual sugiere que pensar en la apariencia varias veces al día, preocuparse frecuentemente por si la ropa le queda bien y no tener control sobre la apariencia es motivo de vergüenza para la muestra estudiada.

Respecto al factor o indicador de vigilancia corporal, es similar al factor de la versión original, con la excepción de los ítems 14 y 16 que cargaron en el factor de vergüenza corporal, tal como se mencionó; asimismo, cargó el ítem 15 que corresponde originalmente al factor de vergüenza corporal sugiriendo que el no realizar ejercicio que se

debería no implica una acción incorrecta, lo cual denota algún tipo de monitoreo o comparación con los demás. Además, todos los ítems cargaron con signo positivo, contrario a lo esperado según la versión original. Esto se puede explicar por lo mencionado por McKinley y Hyde (1996) quienes afirman que la vigilancia corporal, en algunos casos, puede representar una manera de empoderamiento frente a las comparaciones con los estándares culturales de la apariencia o de relevancia de los propios sentimientos y pensamientos hacia su propio cuerpo y de lo que pueda hacer en contraposición de la importancia del aspecto y de su comparación con los demás. Asimismo, podría entenderse como una prevalencia de monitoreo del cuerpo por razones de cómo se siente, contrario a cómo se ve (cónsono con la autoobjetivación). De esta forma, el factor se entiende como ausencia de vigilancia corporal en términos de la autobjetivación (cómo se ve) y de comparación de la propia apariencia con los demás, por ende, con la finalidad de mantener coherencia con la definición de autoobjetivación y con la versión original del instrumento, la cual constituye el Modelo A (modelo a comparar), se invierten todos los ítems, de modo que corresponda a la vigilancia corporal desde la perspectiva de la autoobjetivación.

En referencia al tercer factor, creencias de control de la apariencia, se compone de los mismos ítems, con excepción del ítem 6 (eliminado) y el ítem 12 que cargó en el primer factor. Además, los ítems cargaron de forma inversa en comparación a la versión original, denotando de esta manera ausencia de creencia de control de la apariencia. No obstante, se invirtieron los ítems en concordancia con la versión original.

Vergüenza corporal obtuvo un Alfa de Cronbach de $\alpha$ = 0.882 [IC 95% (0.865-0.896)]. Respecto al análisis de los ítems, las correlaciones de cada ítem con el puntaje total están comprendidas entre 0.54 y 0.71, todos superiores a 0.30, lo cual sugiere una adecuada capacidad discriminativa (Pérez y Tornimberi, 2008) (ver anexo 28).

Vigilancia corporal arrojó un $\alpha$ = 0.70 [IC 95% (0.66-0.74)], De acuerdo a Hair et al. (2000), el valor debe ser mayor a 0.70, por ende, se considera el valor obtenido como aceptable dado su aproximación al valor del criterio planteado por el autor. Asimismo, se obtuvieron valores de los índices de discriminación (correlaciones ítem-total) por encima de 0.30 en un rango comprendido entre 0.34 al 0.47 (ver anexo 28).

En Creencias de control de la apariencia se obtuvo una consistencia interna de $\alpha = 0.67$ [IC 95% (0.619-0.708)], ligeramente por debajo del criterio planteado por Hair et al. (2000) para una confiabilidad adecuada. Por su parte, las correlaciones ítem-total son superiores a 0.30 (0.344-0.683) cumpliendo el criterio planteado por (Pérez y Tornimberi, 2008) (ver anexo 28).

***Estrategias de afrontamiento de aceptación racional positiva (EAA)***

En relación al constructo de estrategias de afrontamiento de aceptación racional (*Body Image Coping Strategies Inventory* (*BICSI;* Cash, 1999; Cash, Santos y Fleming 2005; validada en la presente investigación), se obtuvo un $\alpha = 0.835$. Además, se analizaron las correlaciones ítem-total corregido y el alfa de Cronbach si se elimina el ítem (ver anexo 29). Respeto al primer análisis, se puede observar, las correlaciones entre el total y el ítem oscilan entre 0.440 y 0.55. Respecto al segundo análisis, se puede apreciar que la eliminación de alguno de los ítems que conforman la escala no aumenta de forma importante la confiabilidad, por lo que no se consideró la eliminación de los ítems.

En referencia al KMO, el índice obtenido fue de 0.845. Según el análisis obtenido la estimación de la chi-cuadrado a partir de la prueba de esfericidad de Bartlett fue de 1683.050 ($gl = 55$, $p < 0.001$), rechazando la hipótesis nula, lo cual señala que la matriz de datos es válida para seguir con el análisis factorial (ver anexo 29). De acuerdo a los resultados obtenidos se puede afirmar que la muestra y los datos son pertinentes desde el punto de vista estadístico para el análisis factorial.

Para el estudio de la estructura factorial exploratorio del instrumento se emplearon cinco criterios para la estimación de los factores (teoría, criterio de Kaiser, porcentaje de la varianza explicada, gráfico de sedimentación y análisis paralelo) y, el uso del análisis exploratorio paralelo aplicando rotación oblicua promax (considerando la correlación entre los factores) para la organización de los ítems en la estructura obtenida con cargas > 0.40 (ver anexo 29).

De esta forma, se obtuvo una estructura factorial conformada por dos factores que explican el 41% de la varianza total con autovalores mayores a 1.26. Considerando una carga factorial mayor a 0.30, en el factor uno cargaron los ítems 1, 2, 3 y 8; en el factor dos cargaron los ítems 4, 5, 6, 7, 9, 10 y 11. Respecto al gráfico de sedimentación mediante el

análisis paralelo, sugiere una extracción de tres factores, no obstante, no se consideró esta solución en vista de que en un factor cargan solo dos ítems, a pesar de que los valores en *RMSEA* = 0.055, IC del 90% (0.038, 0.072), $\chi^2/gl$ = 2.58 que representan valores adecuados como índices de ajuste, en contraposición de los valores con la solución de dos factores [$\chi^2/gl$ = 5.60; *RMSEA* = 0.096, IC del 90% (0.083, 0.109)]. Según propuesta original del instrumento, la estructura factorial es unidimensional, no obstante, muestran peores índices de ajuste [$\chi^2/gl$ = 10.84; *RMSEA* = 0.140, IC del 90% (0.129, 0.152)].

El instrumento quedó conformado por dos factores: estrategias de afrontamiento de aceptación de autocuidado (7 ítems: 4, 5, 6, 7, 9, 10 y 11) y estrategias de afrontamiento de aceptación del evento desafiante (4 ítems: 1, 2, 3 y 8). En comparación con el instrumento original, el cual es unidimensional, este está constituido por dos factores.

Estrategias de afrontamiento de aceptación de autocuidado (EAAA) arrojó un $\alpha$ = 0.782 [IC 95% (0.751-0.81)] siendo un valor adecuado de confiabilidad según Hair et al. (2000). Asimismo, se obtuvieron valores de los índices de discriminación (correlaciones ítem-total) por encima de 0.30 en un rango comprendido entre 0.44 al 0.58 (ver anexo 30).

Estrategias de afrontamiento de aceptación del evento desafiante (EAED). Se obtuvo un $\alpha$ = 0.786 [IC 95% (0.751-0.81)], por encima del criterio planteado por Hair et al. (2000). Respecto a los índices de discriminación, los valores se encuentran por encima de 0.30 con un rango comprendido entre 0.44 y 0.68 (ver anexo 30).

***Ideal corporal internalizado (ICI)***

Referente al constructo de ideal corporal internalizado medido a partir del Sociocultural Attitudes Towards Appearance Questionnaire-4 (SATAQ-4; Shaefer et al., 2015; validado en la presente investigación), se obtuvo un $\alpha$ = 0.88 [IC 95% (0.863-0.896)]. Además, se analizaron las correlaciones item-total corregido y el alfa de de Cronbach si se elimina el ítem. Respeto al primer análisis, se puede observar que las correlaciones entre el total y el ítem oscilan entre 0.419 y 0.758 (ver anexo 31).

En referencia al KMO, el índice obtenido fue de 0.833 correspondiendo a una interrelación satisfactoria entre los ítems. Según el análisis obtenido la estimación de la chi-cuadrado a partir de la prueba de esfericidad de Bartlett fue de 2811,240 ($gl$ = 36, $p$ < 0.001), rechazando la hipótesis nula, lo cual señala que la matriz de datos es válida para

seguir con el análisis factorial (ver anexo 31). De acuerdo a los resultados obtenidos se puede afirmar que la muestra y los datos son pertinentes desde el punto de vista estadístico para el análisis factorial.

Para el estudio de la estructura factorial del instrumento se llevó a cabo un análisis factorial exploratorio empleando cinco criterios para la estimación de los factores (teoría, criterio de Kaiser, porcentaje de la varianza explicada, gráfico de sedimentación y análisis paralelo) y, el uso del análisis exploratorio paralelo aplicando rotación oblicua promax (dada la correlación entre los factores) para la organización de los ítems en la estructura obtenida con cargas mayores a 0.40.

De esta forma, se obtuvo una solución de dos factores con autovalores mayores a 2.88 y una varianza explicada del 64.3%. El gráfico de sedimentación con análisis paralelo también sugiere una estructura de dos factores.

De esta forma, la estructura factorial quedó conformada por dos factores: ideal corporal delgado (4 ítems: 3, 4, 5, 9) y el Ideal corporal musculoso-atlético (6 ítems: 1, 2, 6, 7, 10). En comparación con la versión original, la estructura factorial es similar excepto por el ítem 8 que se eliminó a partir de las sugerencias de la validación por juicio de expertos (ver sección de instrumentos).

En ideal corporal delgado (ICD) se obtuvo un $\alpha$ = 0.896 [IC 95% (0.88-0.91)], superior al criterio planteado por Hair et al. (2000). Respecto a los índices de discriminación, los valores se encuentran por encimá de 0.30 con un rango comprendido entre 0.733 y 0.816 (ver anexo 32).

Ideal corporal musculoso-atlético (ICMA) arrojó un $\alpha$ = 0.873 [IC 95% (0.853-0.889)]. l valor obtenido como adecuado. Asimismo, se obtuvieron valores de los índices de discriminación (correlaciones ítem-total corregida) superiores a 0.30 en un rango comprendido entre 0.605 al 0.77 (ver anexo 32).

***Percepción de aceptación del cuerpo por otros (PAO)***

Por último, el constructo de percepción de aceptación del cuerpo por otros a partir del *Body Acceptance by Others Scale* (*BAOS;* Avalos y Tylka 2006; validada en la presente investigación), arrojó un $\alpha$ = 0.865. Además, se analizaron las correlaciones item-total

corregido y el alfa de de Cronbach si se elimina el ítem. Respeto al primer análisis, se puede observar, las correlaciones entre el total y el ítem oscilan entre 0.53 y 0.63 (ver anexo 33).

En referencia al KMO, el índice obtenido fue de 0.75 correspondiendo a una interrelación satisfactoria entre los ítems. Según el análisis obtenido la estimación de la chi-cuadrado a partir de la prueba de esfericidad de Bartlett fue de 3273,633 ($gl$ = 45, $p$ < 0.001), rechazando la hipótesis nula, lo cual señala que la matriz de datos es válida para seguir con el análisis factorial (ver anexo 33). De acuerdo a los resultados obtenidos se puede afirmar que la muestra y los datos son pertinentes desde el punto de vista estadístico para el análisis factorial.

Para el estudio de la estructura factorial del instrumento se usaron cuatro criterios para la estimación de los factores (criterio de Kaiser, porcentaje de la varianza explicada, gráfico de sedimentación y análisis paralelo) y, el uso del análisis exploratorio paralelo aplicando rotación oblicua promax (dada la correlación entre los factores) para la organización de los ítems en la estructura obtenida con cargas mayores a 0.40.

De esta forma, se obtuvo una solución de dos factores con autovalores mayores a 2.38 y una varianza explicada del 56.7%. El gráfico de sedimentación con análisis paralelo sugiere también una solución de dos factores.

Así, la estructura factorial quedó conformada por dos factores: percepción de aceptación de familiares, amigos y pareja (6 ítems: 1, 2, 3, 4, 5 y 6) y percepción de aceptación de los medios de comunicación, redes sociales y sociedad (4 ítems: 7, 8, 9 y 10). En comparación a la estructura factorial del instrumento original, la misma está conformada por un factor (unidimensional). Se decidió considerar la solución de dos factores dado que evalúa de forma separada la percepción de aceptación de los medios de comunicación, redes sociales y sociedad y, la percepción de aceptación corporal de familiares, amigos y parejas, información que se omite si se toma la estructura unidimensional.

Percepción de aceptación de familiares, amigos y pareja arrojó un $\alpha$ = 0.862 [IC 95% (0.842-0.88)]. Se considera el valor obtenido como adecuado. Asimismo, se obtuvieron valores de los índices de discriminación (correlaciones ítem-total) por encima de 0.30 en un rango comprendido entre 0.64 al 0.69 (ver anexo 34).

Percepción de aceptación de los medios de comunicación, redes sociales y sociedad. Se obtuvo un α = 0.853 [IC 95% (0.832-0.873)], por encima del criterio planteado por Hair et al. (2000). Respecto a los índices de discriminación, los valores son superiores de 0.30 con un rango comprendido entre 0.565 y 0.758 (ver anexo 34).

**Análisis descriptivo de las nuevas dimensiones**

A continuación, los estadísticos descriptivos para cada uno de los indicadores de los constructos del Modelo estructural B (ver anexo 35).

***Imagen corporal (IC)***

Orientación y evaluación del estado físico y de la salud (OEEFS). En un rango posible de 1 a 5, se obtuvo un puntaje mínimo de 1.10 y máximo de 5, con una media de 3.24 [IC 95% (3.16-3.32)] (*DE* = 0.92) de forma homogénea (*CV* = 28.5%), con una simetría (*As* = -0.055) y platicúrtica (*K* = -0.799), indicando que los puntajes tienden hacia los valores medios superiores en un amplio intervalo (ver figura 8), señalando que la muestra valora de forma moderada la aptitud física participando activamente en actividades para mantener o mejorar su forma física, una moderada sensación de estar físicamente en forma, un grado moderado de importancia e inversión en un estilo de vida saludable y monitoreo de la salud.

Satisfacción con la apariencia (SA). Los resultados señalan que la muestra presenta como puntaje mínimo 1.18 y un máximo de 5 (rango posible 1-5), con una media de 3.34 [IC 95% (3.26-3.41)] (*DE* = 0.86), con una distribución homogénea (*CV* = 25.7%), con una asimetría negativa (*As* = -0.32) y platicúrtica (*K* = -0.564), indicando que hay una tendencia hacia los puntajes moderados altos (ver figura 8), lo que sugiere que los participantes presentan valores moderados de sentimientos de atractivo y de satisfacción con su apariencia tanto general como específica (cara, cabello, parte inferior del cuerpo, parte media del cuerpo, parte superior del cuerpo, tono muscular, peso).

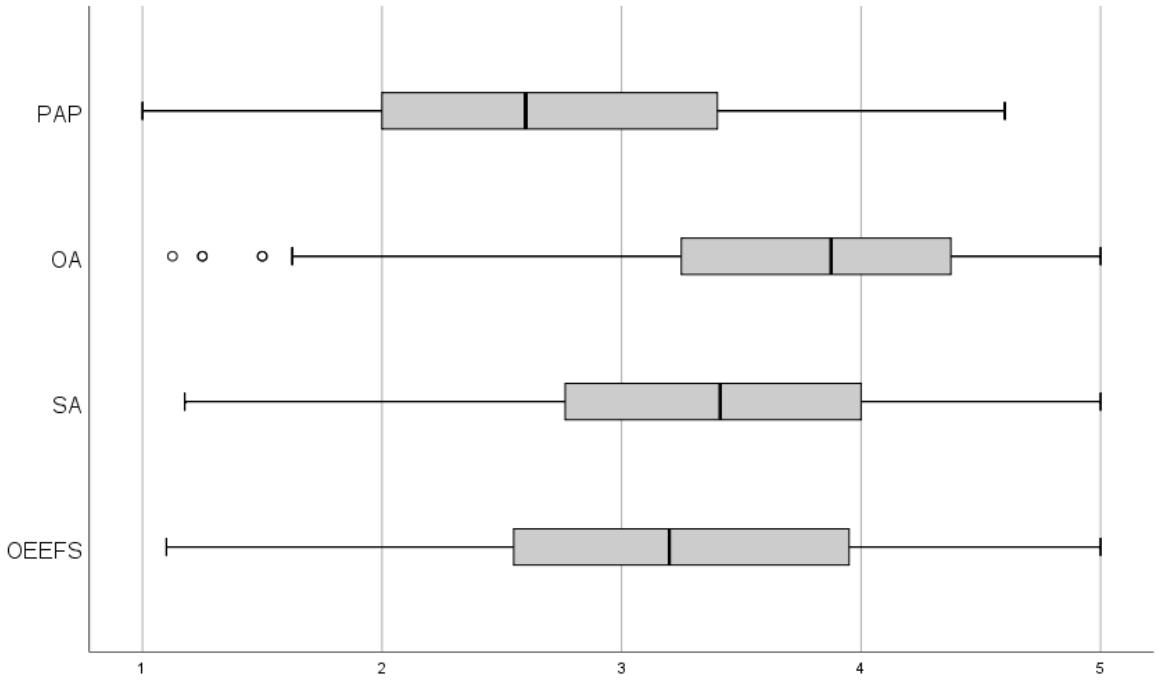
Orientación de la apariencia (OA). En un rango posible de 1 a 5, los estudiantes presentan un puntaje mínimo de 1.13 y un puntaje máximo de 5 con una media de 3.78 [IC 95% (3.71-3.85)] (*DE* = 0.83) homogénea (*CV* = 21.9%), con una asimetría negativa (*As* = -0.649) mesocúrtica (*K* = -0.080) señalando que los puntajes en esta dimensión se concentran en los valores medios altos (ver figura 8), lo que propone que los estudiantes muestran un moderado a alto grado de importancia o de atención a su apariencia y se

esfuerzan por mejorar o controlar su aspecto. Asimismo, se aprecian tres puntajes extremos por debajo del límite inferior que indican bajo nivel de importancia o de interés de la apariencia.

Preocupación y autoclasificación del peso (PAP). Los puntajes obtenidos en esta dimensión muestran una media de 2.67 [IC 95% (2.59-2.74)], (*DE* = 0.84), de forma heterogénea (*CV* = 31.3%), con un puntaje mínimo de 1 y un máximo de 4.6, con una asimetría positiva (*As* = 0.258) con una tendencia platicúrtica (*K* = -0.786) (ver figura 8), señalando que los puntajes se encuentran en los valores medio bajos con amplitud del intervalo, lo que indica que los estudiantes muestran niveles moderados de preocupación por el peso (monitoreo del peso, poca ansiedad por el peso y baja restricción alimentaria o dieta) y se autoclasifican con peso normal.

**Figura 8**

Diagrama de caja de los indicadores de la imagen corporal




***Estrategias de afrontamiento de aceptación racional positiva (EAA)***

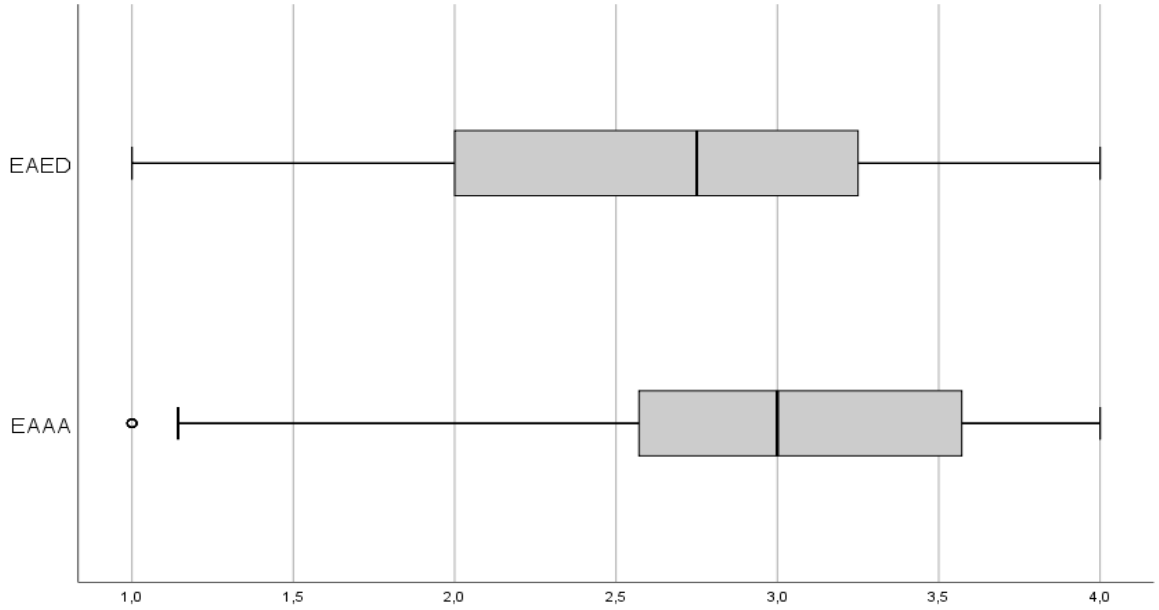
Estrategias de afrontamiento de aceptación de autocuidado (EAAA). Los resultados señalan que la muestra presenta como puntaje mínimo 1 y un máximo de 4 (rango posible 1-4), con una media de 2.96 [IC 95% (2.90-3.02)] (*DE* = 0.67), con una distribución homogénea (*CV*

= 22.7%), con una asimetría negativa (*As* = -0.625) mesocúrtica (*K* = 0.029), indicando que hay una tendencia hacia los puntajes moderados altos en un reducido intervalo de valores (ver figura 9), lo cual sugiere que los estudiantes indican alta probabilidad de empleo de las estrategias de afrontamiento de aceptación de autocuidado, las cuales denotan aceptación de su apariencia y de sus cualidades y, de aceptación a las críticas caracterizada por desinterés hacia las mismas, de ser paciente consigo mismo, de entender la situación y de realizar algo para sentirse bien como persona. Asimismo, se evidencia la presencia de caso extremo que expresa una baja probabilidad de emplear esta estrategia de afrontamiento de aceptación.

Estrategias de afrontamiento de aceptación del evento desafiante (EAED). En un rango posible de 1 a 4, se obtuvo un puntaje mínimo de 1 y máximo de 4, con una media de 2.73 [IC 95% (2.66-2.80)] (*DE* = 0.84), con una distribución ligeramente heterogénea (*CV* = 30.8%), con una asimetría negativa (*As* = - 0.331) platicúrtica (*K* = -0.693) (ver figura 9), indicando que los valores se encuentran en los niveles moderados en un amplio intervalo de valores, lo cual sugiere que los estudiantes indican una moderada probabilidad de empleo de estrategias de afrontamiento racional positiva, las cuales denotan aceptación de los desafíos o críticas hacia su cuerpo con auto diálogo que reflejan aceptación de que la situación pasará y de convicción de sentirse mejor luego de un tiempo.

**Figura 9**

Diagrama de caja de los indicadores de las estrategias de aceptación racional positiva



***Autoobjetivación (AO)***

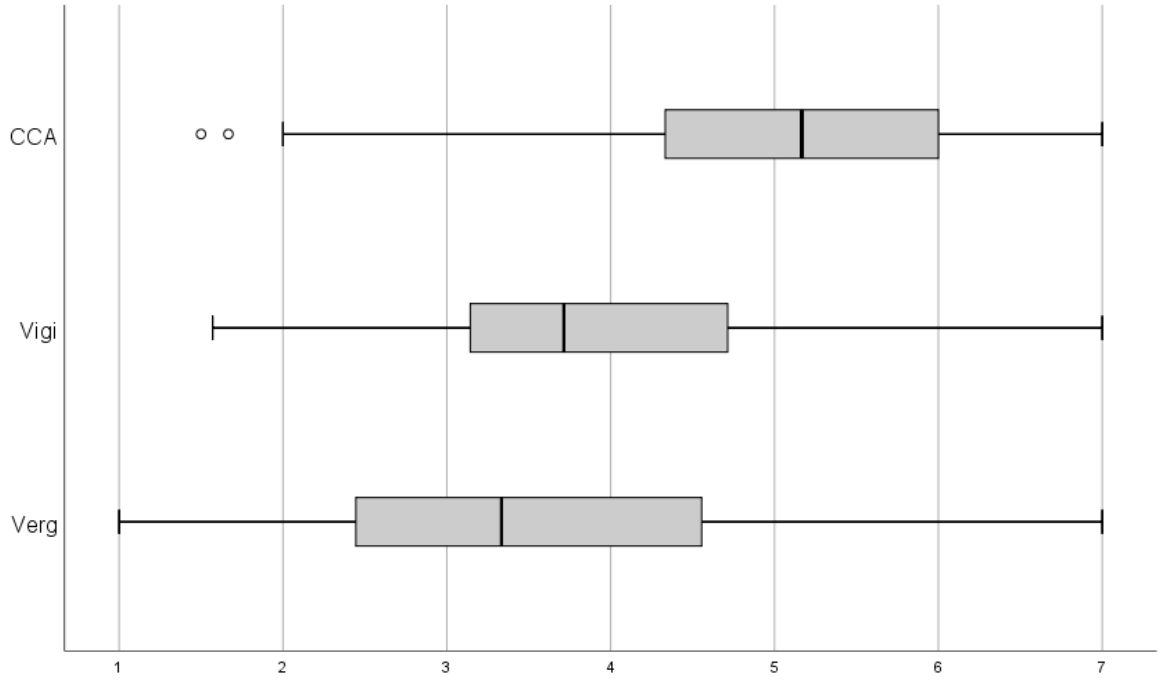
Vergüenza corporal (Verg). Los estudiantes presentan un puntaje mínimo de 1 y un puntaje máximo de 7 cónsono con el rango de puntaje posible, con una media de 3.54 [IC 95% (3.41-3.67)] (*DE* = 1.47), con una distribución heterogénea (*CV* = 41.9%), con una asimetría positiva (*As* = 0.389) platicúrtica (*K* = -0.663) (ver figura 10), señalando que los participantes presentan valores moderadamente bajos de sentimientos de vergüenza respecto a su peso, talla, de cómo le sienta la ropa y por no lograr una mejor apariencia.

Vigilancia corporal (Vigi). En un rango posible de 1 a 7, los estudiantes presentan un puntaje mínimo de 1.57 y un puntaje máximo de 7 con una media de 3.89 [IC 95% (3.79-3.99)] (*DE* = 1.19) ligeramente heterogénea *CV* = 30.5%), con una asimetría positiva (*As* = 0.429) con una tendencia platicúrtica (*K* = -0.221) (ver figura 10), señalando que los participantes presentan valores moderadamente bajos de monitoreo corporal que refleja bajo interés de cómo se ven, de compararse con los demás o de importancia de cómo lo ven los demás.

Creencias de control de la apariencia (CCA). La muestra obtuvo una media de 5.14 [IC 95% (5.04-5.24)] (*DE* = 1.13) con un puntaje mínimo de 1.50 y máximo de 7 de un rango posible 1-7, con una distribución homogénea (*CV* = 21.9%), con una asimetría negativa (*As* = -0.402) y una tendencia platicúrtica (*K* = -0.400) (ver figura 10), lo que sugiere que los participantes presentan valores altos de creencias sobre el control de la apariencia, es decir, creencia de que con suficiente esfuerzo pueden lograr el peso y la apariencia deseada. Conjuntamente, se observan dos casos extremos en el límite inferior que indican baja creencia de control sobre la apariencia.

**Figura 10**

Diagrama de caja de los indicadores de autoobjetivación



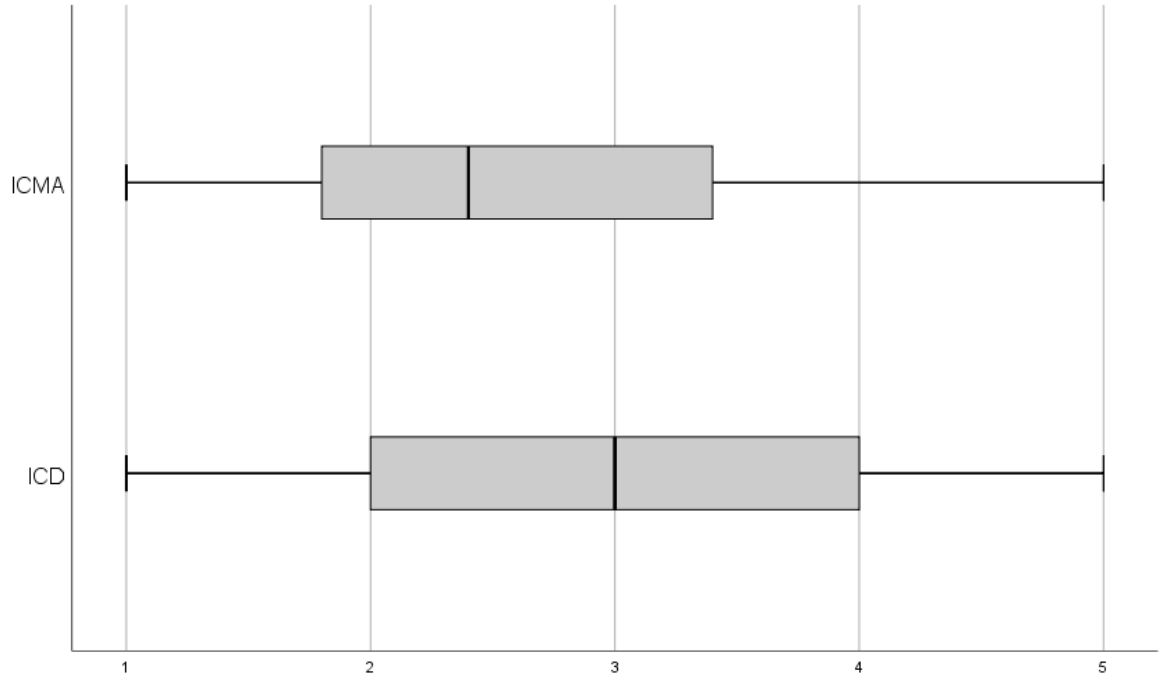

***Ideal corporal internalizado (ICI)***

Ideal Corporal Delgado (ICD). La muestra presenta, de un rango posible de 1 a 5, un puntaje mínimo de 1 y un puntaje máximo de 5, con un promedio de 2.89 [IC 95% (2.78-2.99)] (*DE* = 1.24) de forma heterogénea (*CV* = 42.8%), con una leve asimetría positiva (*As* = 0.102) y platicúrtica (*K* = -1.101) (ver figura 11), lo que sugiere que los participantes reportan niveles moderados de internalización del ideal corporal delgado, es decir, presentan niveles de medios de pensamientos y de intención de tener, querer o parecer delgado o con poca grasa corporal.

Ideal Corporal Musculoso-Atlético (ICMA). En un rango posible de 1 a 5, se obtuvo un puntaje mínimo de 1 y máximo de 5, con una media de 2.57 [IC 95% (2.48-2.66)] (*DE* = 1.04) de forma heterogénea (*CV* = 40.6%), con una asimetría positiva (*As* = 0.324) y platicúrtica (*K* = -0.776) (ver figura 11), lo que indica que los estudiantes presentan valores moderados bajos de internalización del ideal corporal musculoso-atlético, es decir, presentan niveles medio bajos de pensamientos y de intención de tener, querer o parecer atlético o musculoso.

**Figura 11**

Diagrama de caja de los indicadores del ideal corporal internalizado



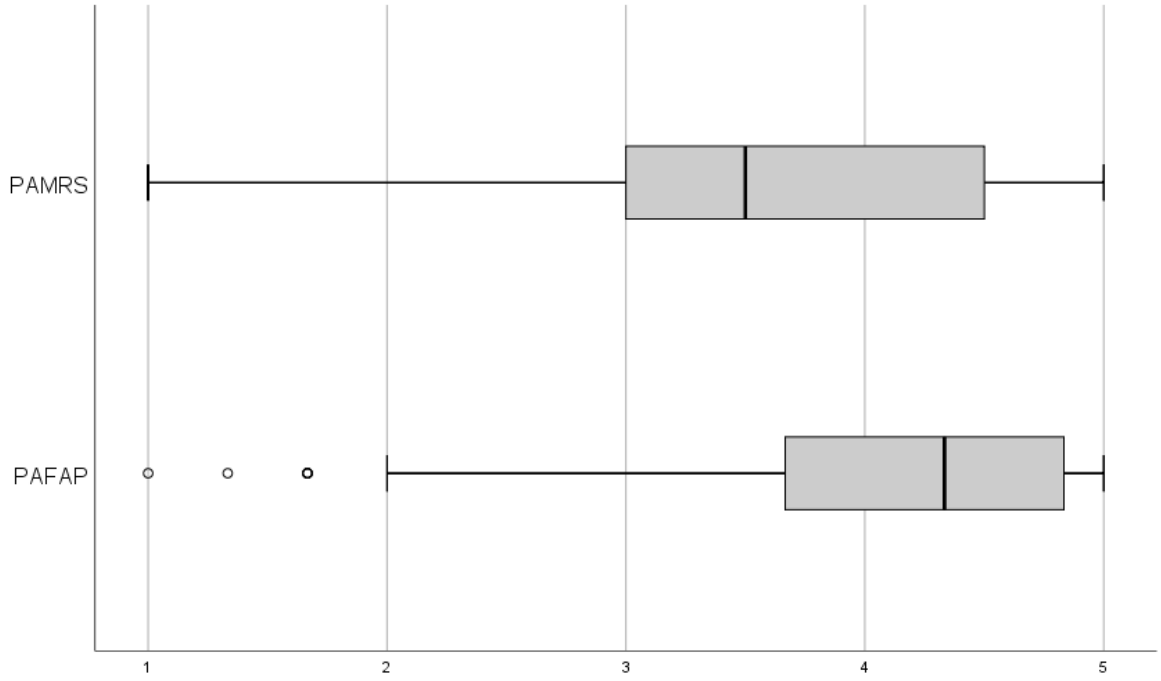

***Percepción de aceptación del cuerpo por otros (PAO)***

Percepción de aceptación de familiares, amigos y pareja. En esta dimensión la muestra presentó un puntaje mínimo de 1 y máximo de 5 (rango posible 1-5), una media de 4.13 [IC 95% (4.07-4.21)], (*DE* = 0.81) de forma homogénea (*CV* = 19.5%), con una alta asimetría negativa (*As* = - 1.024) leptocúrtica (*K* = 0.616) (ver figura 12), lo que indica que los estudiantes muestran una alta percepción de que los familiares, amigos y pareja aceptan la forma y el peso de su cuerpo.

Percepción de aceptación de los medios de comunicación, redes sociales y sociedad. En esta dimensión de percepción de aceptación de la apariencia por otros, la muestra presentó un puntaje mínimo de 1 y máximo de 5 (rango posible 1-5), una media de 3.62 [IC 95% (3.53-3.71)], (*DE* = 0.99) de forma homogénea (*CV* = 27.4%), con una asimetría negativa (*As* = - 0.285) platicúrtica(*K* = -0.74) (ver figura 12), lo que indica que los estudiantes muestran una percepción moderadamente alta de que los medios de comunicación (TV, cine), redes sociales y sociedad transmiten el mensaje de que su forma y el peso de su cuerpo están bien y es aceptado por ellos.

**Figura 12**

Diagrama de caja de los indicadores de la percepción de aceptación del cuerpo por otros




En líneas generales, la muestra se caracteriza por presentar una moderada satisfacción con su apariencia tanto general como específica (cara, cabello, parte inferior del cuerpo, parte media del cuerpo, parte superior del cuerpo, tono muscular y peso) y sentimientos de atractivo físico, con un alto grado de importancia o de interés en la apariencia y de esfuerzo para mejorarla. Además, una moderada valoración por la aptitud física, participan activamente en actividades para mantener o mejorar su forma física, una moderada sensación de estar físicamente en forma, un grado moderado de importancia e inversión en un estilo de vida saludable y monitoreo de la salud. Asimismo, una baja a moderada preocupación por el peso y una autoclasificación del peso normal o algo por debajo del peso normal. Conjuntamente, presentan niveles moderados de pensamientos y de intención de querer o parecer delgado o con poca grasa corporal y, a su vez, moderados bajos de querer o parecer un cuerpo atlético o musculoso. Expresan niveles moderadamente bajos de sentimientos de vergüenza respecto a su peso, talla, de cómo le queda la ropa o por no lograr una mejor apariencia, con un moderado monitoreo corporal que denota importancia de cómo se ven y cómo lo ven los demás y, de compararse con los demás, con

un nivel alto de creencias de que con suficiente esfuerzo pueden lograr el peso y la apariencia deseada. Asimismo, manifiestan una alta percepción de aceptación de la forma y peso de su cuerpo por parte de los familiares, amigos, pareja, medios de comunicación, redes sociales y sociedad, siendo ligeramente más alta la percepción por parte de familiares, amigos y pareja. Y presentan una moderada probabilidad de emplear estrategias de afrontamiento racional positiva que denotan aceptación de su apariencia y cualidades, y aceptación de que la situación pasará con la convicción de que sentirá mejor luego de recibir críticas o comentarios negativos hacia su cuerpo.

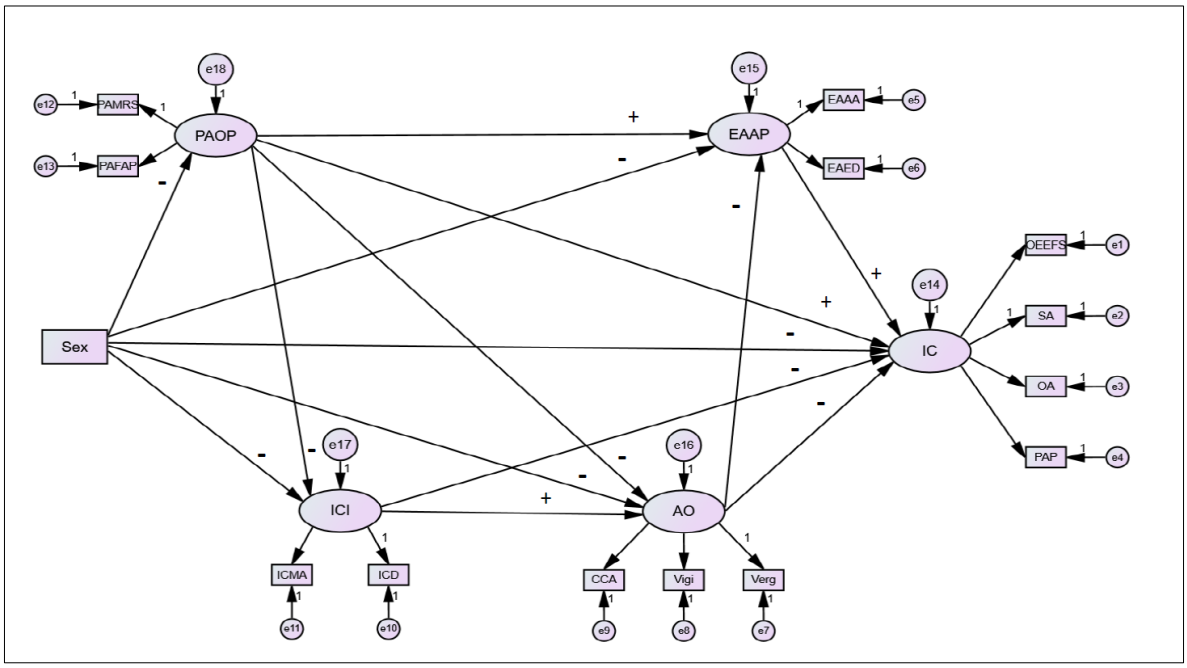
**Modelo alternativo. Modelo B**

Previo al análisis del segundo modelo, se comprobó la normalidad multivariada de los datos a partir de la inspección de los coeficientes de distancia de Mahalanobis al cuadrado, alcanzando un coeficiente normalizado de Mardia de 4.14 (ver anexo 36), valor adecuado para aceptar a una distribución multivariada normal según Byrne (2010) y Collier (2020). En referencia a la multicolinealidad, la matriz de correlaciones de los factores (ver anexo 37) muestran valores < 0.80, lo cual indica ausencia de multicolinealidad.

Con la finalidad de comprobar el segundo modelo (Modelo B) (ver figura 13), a partir del análisis factorial exploratorio, se precisaron los constructos, se representaron las relaciones conceptuales, se especificaron los parámetros, los errores de medida y de predicción mediante el interfaz gráfico del programa estadístico.

**Figura 13**

Modelo estructural B

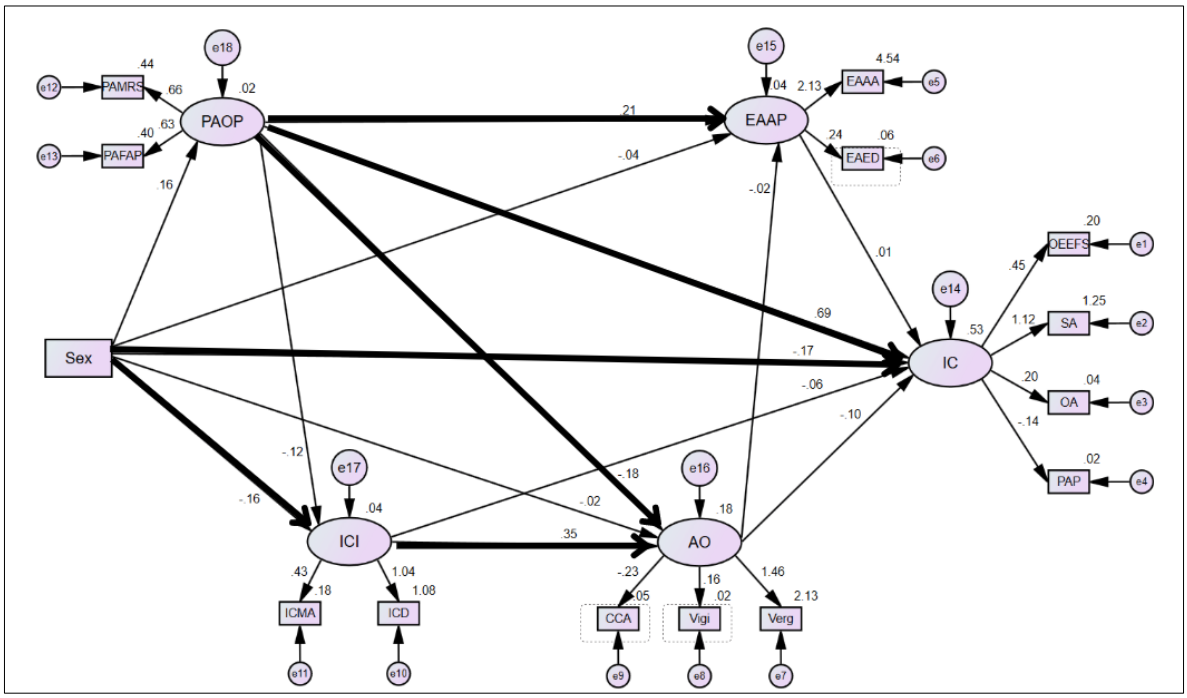



*Nota*. Sex=Sexo; PAOP= Percepción de Aceptación del Cuerpo por Otros propuesto; ICI= Ideal Corporal Internalizado; ICD= Ideal Corporal Delgado; ICMA= Ideal Corporal Atlético-Musculoso; AO= Autoobjetivación; Verg=Vergüenza; Vigi=Vigilancia; CCA=Creencias de Control sobre la Apariencia; EAAP=Estrategias de Afrontamiento de Aceptación propuesto; EAAA=Estrategias de afrontamiento de aceptación de autocuidado; EAED=Estrategias de afrontamiento de aceptación del evento desafiante; IC=Imagen Corporal; OEEFS=Orientación y Evaluación del Estado Físico y de la Salud; SA= Satisfacción corporal; OA=Orientación de la Apariencia; PAP=Preocupación y Autoclasificación del por el Peso.

A continuación, se identificó el modelo para comprobar si existe información para calcular una solución de las ecuaciones estructurales propuesta, resultando un modelo sobre identificado (gl = 64 > 0) y recursivo (ver anexo 38). A continuación, el modelo estructural resultante.

**Figura 14**

Modelo estructural B resultante




*Nota*. Sex=Sexo; PAO= Percepción de Aceptación del Cuerpo por Otros; ICI= Ideal Corporal Internalizado; ICD= Ideal Corporal Delgado; ICMA= Ideal Corporal Atlético-Musculoso; AO= Autoobjetivación; Verg=Vergüenza; Vigi=Vigilancia; CCA=Creencias de Control sobre la Apariencia; EAAP=Estrategias de Afrontamiento de Aceptación; EAAA=Estrategias de afrontamiento de aceptación de autocuidado; EAED=Estrategias de afrontamiento de aceptación del evento desafiante; IC=Imagen Corporal; OEEFS=Orientación y Evaluación del Estado Físico y de la Salud; SA=Satisfacción corporal; OA=Orientación de la Apariencia; PAP=Preocupación y Autoclasificación del por el Peso.
Flechas=relaciones significativas. Líneas punteadas=indicadores no significativos.

Respecto a la evaluación del modelo de medida, se reportan errores de medida de los constructos de imagen corporal en su indicador de satisfacción de la apariencia (SA), estrategias de afrontamiento de aceptación racional positiva, en el indicador de estrategias de afrontamiento de aceptación de autocuidado (EAAA), en el constructo de autoobjetivación, en el indicador de vergüenza (Verg) y, por último, en el constructo de imagen corporal internalizada, en el indicador de ideal corporal delgado (ICD) (ver anexo 38). De acuerdo a Collier (2020), esto indica que los constructos correspondientes están explicando más del 100% de la varianza del indicador. Para su solución, sugiere eliminar el indicador o utilizar el método de estimación de mínimos cuadrados generalizados. Se aplicó este método, no obstante, altera la dirección de una de las relaciones propuestas (PAO-ICI), por ende, se descarta esta opción. Asimismo, se decidió no aplicar la equivalencia tau, tal

como sugieren Hair et al. (2019), dado que abultan de forma importante los valores de las cargas factoriales de los indicadores de los constructos.

En el indicador de satisfacción de la apariencia del constructo de imagen corporal, se elige restringir la métrica del peso de la regresión a uno (1), en vez del indicador de evaluación y orientación del estado físico y de la salud que, según el programa estadístico AMOS, se le asigna como valor preestablecido como factor uno, de igual forma se procedió con el indicador del constructo de percepción del cuerpo por otros y la percepción de aceptación del cuerpo por los medios sociales, redes sociales y sociedad (PAMRS), los resultados se mantienen sin alterarse, por ende, resulta indistinto la aplicación manual de la métrica predefinida de uno (1) a estos indicadores.

Continuando con la evaluación del modelo de medida, en el constructo de imagen corporal, las cargas factoriales de todos los indicadores resultaron significativas al 5%, en un rango que va desde 0.14 hasta 1.12, explicando el 2% de la preocupación y autoclasificación del peso corporal, el 4% de la orientación de la apariencia, el 20% de la orientación y evaluación del estado físico y de la salud y, más del 100% de la satisfacción de la apariencia. El constructo de estrategias de afrontamiento de aceptación explica más del 100% de las estrategias de afrontamiento de aceptación de autocuidado; el indicador de estrategias de afrontamiento de aceptación del evento desafiante no resultó significativo. En el constructo de autoobjetivación solo resultó significativo el indicador de vergüenza corporal, explicando más del 100% de la varianza de este indicador. El factor de ideal corporal internalizado, explica el 18% del ideal corporal musculoso atlético y más del 100% del ideal corporal delgado. Por último, en el constructo de percepción de aceptación del cuerpo por otros, las cargas factoriales de los dos indicadores resultaron significativos, explicando el 44% de la percepción de aceptación del cuerpo por parte de los medios sociales, las redes sociales y la sociedad y el 40% de la percepción de aceptación del cuerpo por parte de familiares, amigos y pareja.

Tal como el modelo A, el factor de imagen corporal explica en su mayoría los indicadores relacionados con la satisfacción de la apariencia que abarca satisfacción corporal y evaluación de la apariencia del Modelo A, expresada en sentimientos de atractivo y satisfacción de la apariencia, tanto general como de las áreas corporales

específicas; seguido por el indicador de orientación y evaluación del estado físico y de la salud, que aborda los indicadores de evaluación del estado físico, orientación de la salud y orientación del estado físico, según el Modelo A.

En referencia al modelo de relaciones, la imagen corporal resultó predicha con una significancia de 0,05 por el sexo (-0.171) y la percepción de aceptación del cuerpo por otros (0.692), lo cual indica que, el ser mujer y una mayor percepción de aceptación del cuerpo por otros, se relaciona con una disposición actitudinal hacia la imagen corporal caracterizada por una satisfacción corporal, valoración de la competencia deportiva, importancia e inversión en un estilo de vida saludable, participación en actividades para mantener o mejorar su forma física, monitoreo de la salud, una baja preocupación por el peso y una autoclasificación normal del peso corporal. Al igual que el Modelo A, la imagen corporal es predicha por la percepción de aceptación del cuerpo por otros.

Por otro lado, las estrategias de afrontamiento de aceptación racional positiva resultaron predichas por la percepción de aceptación del cuerpo por otros (0.21), lo que propone que los estudiantes con alta percepción de aceptación por los familiares, amigos pareja, medios de comunicación, redes sociales y la sociedad, presentan mayor probabilidad de emplear estrategias de afrontamiento racional positiva dirigidas a la aceptación de su apariencia y cualidades y, de aceptación de que la situación pasará luego de recibir críticas hacia su cuerpo.

En referencia a la autoobjetivación, resultó predicha por la percepción de aceptación del cuerpo por otros (-0.179) y la internalización de los ideales corporales (0.353), lo que indica que los estudiantes con una alta percepción de aceptación del cuerpo por otros y con una baja internalización de los ideales corporales delgado y atlético, presentarán menor nivel de vergüenza respecto a su cuerpo.

Por su parte, el ideal corporal internalizado, resultó predicha por el sexo (-0.159), de modo que las mujeres presentan mayor internalización de los ideales corporales delgado y musculoso en comparación con los hombres.

Respecto a los efectos indirectos, el sexo influye en la autoobjetivación a través de la internalización de los ideales corporales.

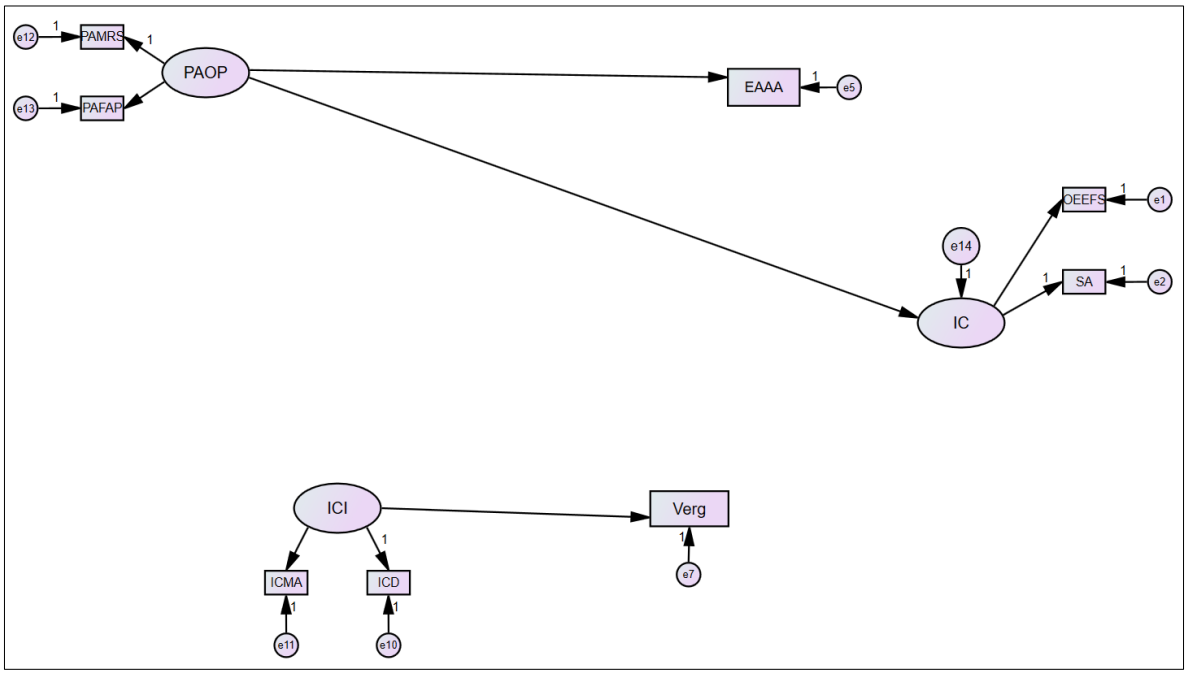
Según los índices de ajuste, se obtuvo un muy bajo ajuste de los datos al modelo [$\chi^2$ (64, N = 502) = 1221.169, $p < 0.000$; $\chi^2/gl$ = 19.081; *GFI* = 0.758; *CFI* = 0.535; *PNFI* = 0.371; *RMSEA* = 0.19; IC del 90% (0.181, 0.199)]. En comparación al Modelo A, presenta una ligera diferencia en algunos índices de bondad de ajuste; no obstante, el ajuste del modelo a los datos observados sigue siendo muy bajo, por ende, se plantea otro modelo alternativo con la finalidad de comprobar un mejor ajuste, en términos de valores más elevados según los criterios de evaluación de la bondad de ajuste.

Por consecuencia se creó un modelo C eliminando algunos aspectos. Según la evaluación del modelo de medida, se eliminaron los indicadores no significativos al 5%, en este sentido, se descartaron los indicadores vigilancia (Vigi) y creencias de control de la apariencia (CCA) del constructo de autoobjetivación (AO) y, estrategias de afrontamiento de aceptación del evento desafiante (EAED) del constructo de estrategias de afrontamiento de aceptación racional positiva (EAAP). Asimismo, se eliminaron los indicadores de la imagen corporal (IC) de orientación de la apariencia (OA) y, preocupación y autoclasificación del peso (PAP), dado los bajos valores de las cargas factoriales (0.20 y -0.14, respectivamente).

Referente al modelo de relaciones, se eliminaron las relaciones no significativas al 5%. En este sentido, se eliminan las relaciones estructurales (Sex-PAO, PAO-ICI, Sex-AO, AO-EAA, Sex-EAA, AO-EAA, ICI-IC, AO-IC, EA-IC). Asimismo, se procede a eliminar las relaciones estructurales menores a 0.20 (Sex-ICI, Sex-IC) (ver figura 15).

**Figura 15**

Modelo estructural C

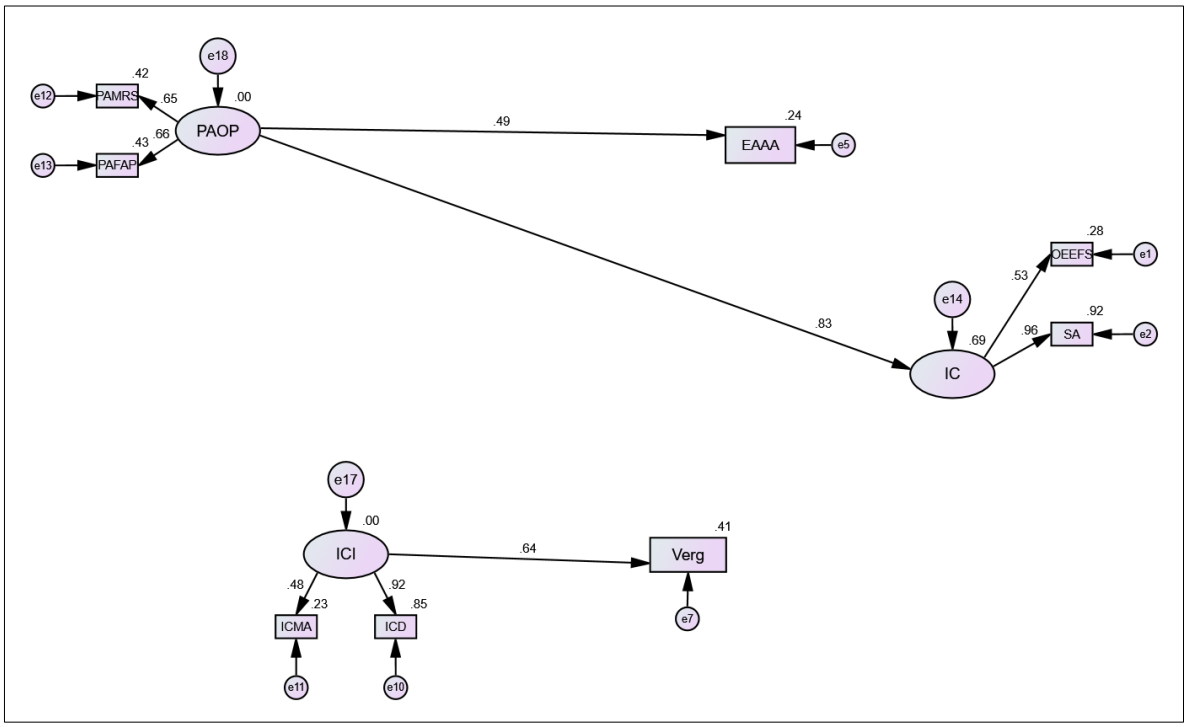



*Nota*. PAOP= Percepción de Aceptación del Cuerpo por Otros; ICI= Ideal Corporal Internalizado; ICD= Ideal Corporal Delgado; ICMA= Ideal Corporal Atlético-Musculoso; Verg=Vergüenza; EAAA=Estrategias de afrontamiento de aceptación de autocuidado; IC=Imagen Corporal; OEEFS=Orientación y Evaluación del Estado Físico y de la Salud; SA= Satisfacción corporal.

Se identificó el modelo para comprobar si existe información para calcular la solución de las ecuaciones estructurales propuesta, resultando un modelo sobre identificado ($gl = 19 > 0$) y recursivo (ver anexo 39). A continuación, el modelo estructural resultante (figura 16).

**Figura 16**

Modelo estructural C resultante




*Nota*. PAO= Percepción de Aceptación del Cuerpo por Otros; ICI= Ideal Corporal Internalizado; ICD= Ideal Corporal Delgado; ICMA= Ideal Corporal Atlético-Musculoso; Verg=Vergüenza; EAAA=Estrategias de afrontamiento de aceptación de autocuidado; IC=Imagen Corporal; OEEFS=Orientación y Evaluación del Estado Físico y de la Salud; SA= Satisfacción corporal.

Iniciando con la evaluación del modelo de medida, todas las cargas factoriales resultaron significativas al 5% con valores superiores a 0.48. La imagen corporal (IC) explica un 92% de la satisfacción con la apariencia (SA) y el 28% de la orientación y evaluación del estado físico y de la salud (OEEFS). Por su parte, la percepción de aceptación del cuerpo por otros (PAO) explica el 43% de la percepción de la percepción de aceptación del cuerpo por parte de familiares, amigos y pareja (PAFAP) y explica el 42% de la percepción de aceptación de los medios de comunicación, redes sociales y sociedad (PAMRS). En tanto, el ideal corporal internalizado (ICI), explica el 85% del ideal corporal delgado (ICD) y el 23% del ideal corporal musculoso-atlético (ICMA).

En referencia al modelo de relaciones, la imagen corporal resulta predicha por la percepción de aceptación del cuerpo por otros (0.83), lo cual indica que los estudiantes con mayor percepción de aceptación por parte de otros, se asocia con mayor satisfacción con la apariencia, mayor valoración e inversión en la competencia física, mayor apreciación por la

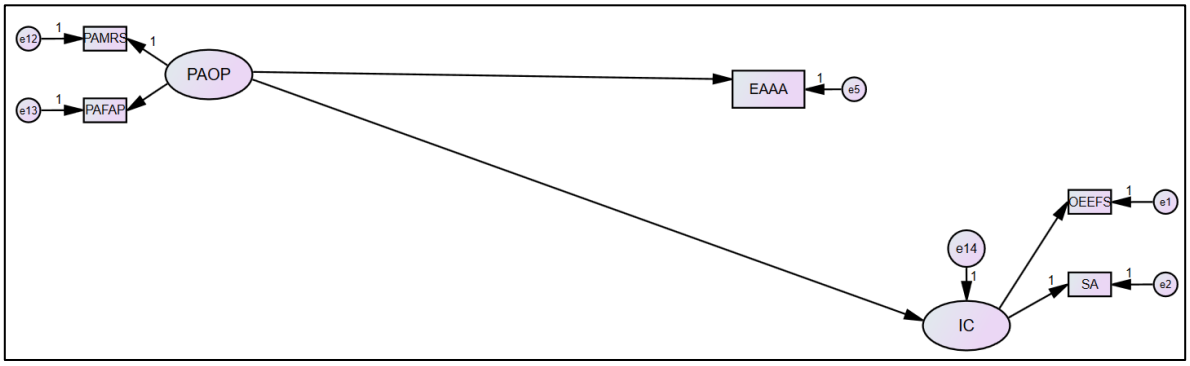
salud y un estilo de vida saludable. Al igual que los modelos que le preceden, en este modelo la imagen corporal resulta predicha por la percepción de aceptación del cuerpo por otros, explicando en este caso un 69% de la varianza de la misma. Asimismo, la percepción de aceptación corporal por otro predice las estrategias de afrontamiento de aceptación y de autocuidado (0.49), lo cual sugiere que los estudiantes con una alta percepción de aceptación del cuerpo por otros, presentan mayor probabilidad de emplear estrategias de afrontamiento de aceptación y de autocuidado. Por otro lado, la vergüenza corporal es predicha por la internalización de los ideales corporales (0.64) indicando que los participantes con alta internalización de los ideales corporales delgado y musculoso presentan mayores niveles de vergüenza.

Según los índices de ajuste, aún se obtuvo muy bajo ajuste de los datos al modelo [$\chi^2$ (19, N = 502) = 337.065, $p < 0.000$; $\chi^2/gl$ = 17.740; *GFI* = 0.878; *CFI* = 0.74; *PNFI* = 0.496; *RMSEA* = 0.183; IC del 90% (0.166, 0.2)]. En comparación a los modelos anteriores, se observa una ligera mejoría en los índices de bondad de ajuste, no obstante, el índice *RMSEA*, denominado como índice de mal ajuste según Hair et al. (2019), se mantiene alto.

En vista de esto, se procede a poner a prueba un último modelo alternativo (ver figura 17). En este sentido, se propone un modelo a partir de la eliminación del constructo de ideal corporal internalizado (ICI) y de la variable vergüenza (Verg) dado que no explican la variable principal de estudio, la imagen corporal. Conjuntamente, se evalúan los valores de error de medida, los cuales son superiores a uno, tanto en la variable ideal corporal internalizado (ICI) como en vergüenza corporal (Verg) (1.30 y 1.28, respectivamente). Adicionalmente, tal como sugiere Hair et al. (2019), se consideran los residuales estandarizados entre pares de variables. En este sentido, se observan valores absolutos mayores a 4 (ver anexo 38) los cuales corresponde a los pares Verg-PAFAP, ICMA-OEEFS; Verg-SA, los cuales evidencia un patrón consistente con la variable de vergüenza corporal, por ende, se puede considerar como un candidato de eliminación. De esta forma, al eliminarse la variable de vergüenza, tiene poco sentido mantener el constructo de ideal corporal internalizado. A continuación, el modelo alternativo.

**Figura 17**

Modelo estructural D

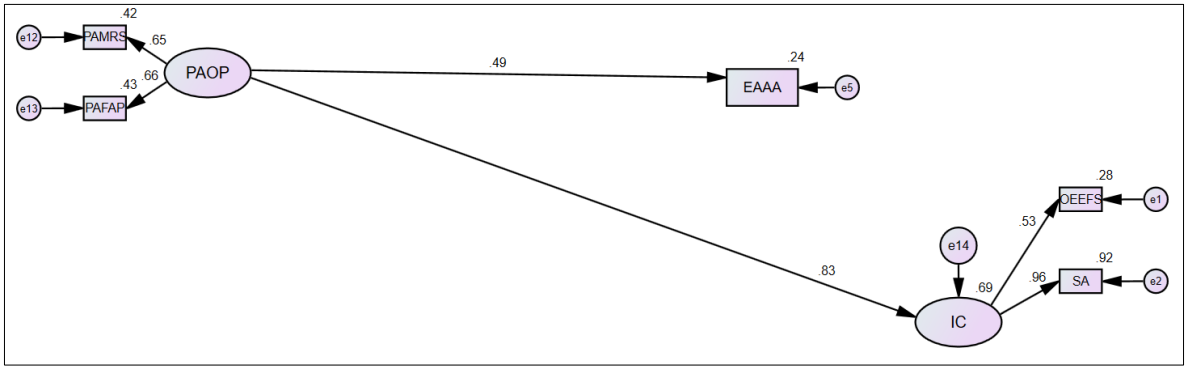



*Nota*. PAOP= Percepción de Aceptación del Cuerpo por Otros; EAAA=Estrategias de afrontamiento de aceptación de autocuidado; IC=Imagen Corporal; OEEFS=Orientación y Evaluación del Estado Físico y de la Salud; SA= Satisfacción corporal.

Se identificó el modelo para comprobar si existe información para calcular la solución de las ecuaciones estructurales propuesta, resultando un modelo sobre identificado ($gl = 4 > 0$) y recursivo (ver anexo 40). Cabe destacar que este modelo arrojó un valor del coeficiente normalizado de Mardia de 5.172, lo cual supera el valor propuesto por Byrne (2010) y Collier (2020) como valor adecuado para la aceptación de una distribución multivariada normal, no obstante, dado que se encuentra ligeramente por encima del valor recomendado se prosigue con el análisis. A continuación, el modelo resultante (figura 18).

**Figura 18**

Modelo estructural D resultante




*Nota.* PAO= Percepción de Aceptación del Cuerpo por Otros; EAAA=Estrategias de Afrontamiento de Aceptación de Autocuidado; IC=Imagen Corporal; OEEFS=Orientación y Evaluación del Estado Físico y de la Salud; SA= Satisfacción Apariencia.

Respecto a la evaluación del modelo de medida y el modelo de relaciones, los resultados no difieren del modelo anterior, por ende, se evalúa en primera instancia los índices de ajuste y, luego el análisis de las relaciones propuestas.

Respecto a los índices de ajuste, iniciando con los índices de ajuste absoluto, el Chi-cuadrado, $\chi^2$ (4, N = 502) = 4.430, $p$ < 0.351 (significativo al 5%), el Chi-cuadrado normado $\chi^2/gl$ = 1.107 (menor a 3) y el índice de bondad de ajuste *GFI* = 0.996 (mayor a 0.95), los cuales evidencian un buen ajuste. Siguiendo con el índice de bondad comparativo *CFI* = 0.999 (mayor a 0.95), arrojando un valor mayor en comparación a los modelos precedentes. Por último, el índice de ajuste parsimonioso normado *PNFI* = 0.397, el cual no difiere sustancialmente de los modelos anteriores, siendo mayor en el Modelo C. En referencia al índice de mal ajuste, arroja un valor lejano a uno (*RMSEA* = 0.015), sugiriendo un adecuado ajuste del modelo.

En referencia a las relaciones propuestas, la relación entre la percepción de aceptación del cuerpo por otros con la imagen corporal corresponde a un valor de 0.83, lo cual respalda la relación especificada en el modelo original, evidenciando que los estudiantes que presentan mayor percepción de aceptación del cuerpo por parte de los familiares, amigos, pareja, medios de comunicación, redes sociales y sociedad, presentan una disposición actitudinal hacia la imagen corporal expresada por sentimientos de atractivo y de satisfacción con su apariencia tanto general como de las áreas corporales (cara, cabello, parte inferior del cuerpo, parte media del cuerpo, parte superior del cuerpo, tono muscular, peso). De esta forma la percepción de aceptación corporal de otros explica el 69% de la varianza de la imagen corporal.

Asimismo, se apoyó la relación entre la percepción de aceptación del cuerpo por otros y las estrategias de afrontamiento de aceptación racional positiva (0.49) sugiriendo que los estudiantes con una alta percepción de aceptación del cuerpo por otros, emplean con mayor probabilidad estrategias de afrontamiento de aceptación y autocuidado representado, por una parte, por la aceptación de su apariencia y, por otra, por la aceptación de las críticas hacia su cuerpo y el autocuidado, caracterizado por el desinterés hacia las mismas, el entendimiento de la situación, ser paciente consigo mismo y de realizar algo para sentirse bien como persona destacando otras cualidades, además de la apariencia.

De esta manera, este último modelo por los índices de ajuste, resulta ser el más indicado para explicar imagen corporal.

## Discusión

El objetivo de la presente investigación se dirigió a comprobar, mediante ecuaciones estructurales, cómo la imagen corporal es influenciada por las estrategias de afrontamiento de aceptación racional positiva de la imagen corporal, la autoobjetivación, los ideales corporales internalizados, la percepción de aceptación del cuerpo por otros y el sexo, evaluándose, a su vez, las posibles relaciones causales entre estas variables.

Cabe resaltar que dado que la recolección de los datos se realizó durante el confinamiento por COVID-19, la discusión se realizará básicamente bajo este contexto. El confinamiento por la pandemia por coronavirus COVID-19 afectó a la población en general, específicamente a los estudiantes, quienes tuvieron que adaptarse no solo a los cambios del entorno de aprendizaje por los cierres de las instituciones (He et al., 2021) sino también a los cambios de rutinas y estilo de vida asociados al distanciamiento físico por las restricciones como medida de control para evitar el contagio de la enfermedad (Ammar et al., 2020; López-Valenciano, 2021), lo que incidió en el bienestar de esta población (Ammar et al., 2020; Reyes-Molina, 2022).

En el ámbito de la imagen corporal, el estrés y la ansiedad generaron cambios en la imagen corporal ocasionados por las alteraciones de rutinas (hábitos de sueño y de alimentación, actividad física), conllevando a mayor preocupación por el peso y mayor riesgo a emplear estrategias de afrontamiento desadaptativos (Rodgers et al., 2020; Swami et al., 2021).

En este sentido, al evaluar el comportamiento de la imagen corporal a través de las cuatro dimensiones de orientación y evaluación del estado físico y de la salud, satisfacción de la apariencia, orientación de la apariencia y preocupación por el peso general, se observó en la primera dimensión, que los estudiantes reportan una moderada valoración de la capacidad física, con sensación de estar físicamente en forma, participan en actividades para mantener o mejorar su forma física, un grado moderado de importancia e inversión de un estilo de vida saludable y un grado moderado de valoración, monitoreo y sensación de la salud.

Según algunos estudios, la actividad física durante el confinamiento por COVID-19, aumentó en comparación a la situación previa a la pandemia (Ammar et al., 2020; Reyes-Molina, 2022; Van Luchene y Delens, 2021). La valoración y la participación en actividades físicas podrían obedecer a la amplia difusión de los medios de comunicación masiva sobre la relevancia de mantenerse activos a pesar de las restricciones impuestas por el confinamiento, aunado a la flexibilidad en los horarios académicos de los estudiantes (Reyes-Molina et al., 2022).

Asimismo, los estudiantes reportaron niveles moderados de valoración, monitoreo y sensación de salud, lo cual puede explicarse por su relación con la valoración del estado físico y la participación en actividades físicas. Se ha reportado que la actividad física se relaciona con el bienestar subjetivo en estudiantes universitarios (Diener et al., 2017) incluyendo el contexto de la pandemia, contribuyendo a la autoeficacia y al desarrollo de una imagen corporal positiva en estudiantes universitarios (Lesser y Nienhuis, 2020; Reyes-Molina, et al., 2022; Shang et al., 2021).

Relacionado con lo anterior, un estudio previo demostró que la práctica del ejercicio y la autoeficacia influyó en el consumo de alimentos saludables y en los hábitos dietéticos en estudiantes universitarios durante el confinamiento (Reyes-Molina et al., 2022). De esta manera, se pudiera explicar la valoración y la inversión en un estilo de vida saludable reportado por los estudiantes en la presente investigación. Asimismo, las personas que aprecian sus cuerpos tienden a participar en conductas que promueven la salud (Halliwell, 2015), por ende, la valoración de la aptitud física pudiera explicar la percepción de salud debido a la apreciación de la funcionalidad del cuerpo como la aptitud física.

Respecto a la segunda dimensión de la imagen corporal, satisfacción de la apariencia, los estudiantes reportaron un nivel moderado de sentimientos de atractivo y de satisfacción con la apariencia, tanto de forma general como específica (cara, cabello, parte inferior del cuerpo, parte media del cuerpo, parte superior del cuerpo, tono muscular, peso). Algunas investigaciones reportan como efecto positivo de la pandemia relacionado con la imagen corporal, mayor tiempo para el cuidado personal (McCombie et al., 2020) lo que pudiera resultar en mayor sentimiento de atractivo y de satisfacción del cuerpo.

Este resultado contradice lo encontrado por Swami et al. (2021), quienes hallaron que los eventos estresantes relacionados con el COVID-19 se asociaron con insatisfacción corporal tanto en hombres como en mujeres. Los autores afirman que el estrés y la ansiedad relacionada con la COVID-19 pudieron disminuir los recursos de afrontamiento para manejar las amenazas a la imagen corporal, como la exposición a los ideales corporales, preocupación por el peso y disminución de la actividad física.

Conjuntamente, los estudiantes de la presente investigación reportaron interés y valoración por la aptitud física y por un estilo de vida saludable, lo cual pudiera incidir en una mayor satisfacción corporal, tanto general como específica. Se ha documentado que la valoración de la funcionalidad (centrado en lo que el cuerpo puede hacer, en este caso la aptitud física) se relaciona de forma positiva con la satisfacción corporal (Augustus-Horvath y Tylka, 2011; Tylka y Homan, 2015).

En relación a la tercera dimensión, orientación de la apariencia, los estudiantes manifestaron un alto grado de importancia o de interés en la apariencia y de esfuerzo para mejorarla.

Según Baceviciene y Jankauskine (2021), la orientación y la evaluación de la apariencia en estudiantes universitarios aumentaron durante la pandemia en comparación a la situación previa, lo cual podría asociarse al mayor tiempo dedicado a navegar en internet, especialmente en las redes sociales.

El aumento de la frecuencia del uso, por un lado, de las redes sociales y de las videollamadas para interactuar con los seres queridos o compañeros de clase y, por otro, de las videoconferencias (por ejemplo, *Zoom, FaceTime*) para fines académicos durante el confinamiento, pudiera explicar el grado de inversión y de interés en la apariencia por parte los estudiantes.

De acuerdo a Gullo y Walker (2021), el aumento del uso de las videoconferencias durante el confinamiento como herramienta académica, de trabajo o de socialización ha conllevado a una mayor orientación hacia la apariencia, lo cual asentó la difusión de una serie de artículos por medios populares de cómo lucir lo mejor posible durante una videoconferencia.

Asumiendo la concepción de la imagen corporal positiva, las personas que valoran la importancia de un estilo de vida saludable y la funcionalidad del cuerpo y de la salud contribuyen al desarrollo de una imagen corporal positiva (Augustus-Horvath y Tylka, 2011; Lesser y Nienhuis, 2020; Reyes-Molina, et al., 2022; Shang et al., 2021; Tylka y Homan, 2015), lo cual se relaciona tanto con pensamientos y sentimientos positivos que irradian confianza como con conductas de estar bien arreglado, no necesariamente con una apariencia particular sino apoyando la variedad de formas, pesos, tonos de piel, peinados o estilos de vida (Tylka, 2018), moldeando su inversión corporal de forma funcional o de cuidado personal no obsesivo (Wood-Barcalow et al., 2010), lo cual podría traducirse en sentimientos de satisfacción corporal que a su vez se relacionen con conductas dirigidas a mejorar la apariencia como una forma de cuidado personal.

En referencia a la cuarta dimensión de la imagen corporal, los estudiantes manifestaron una moderada preocupación por el peso y una autoclasificación del peso normal.

La moderada preocupación por el peso se puede asociar a los cambios acaecidos en la dinámica académica por el confinamiento por la COVID-19 que pudiera incidir en la preocupación por el aumento del peso en los estudiantes, como pasar mayor tiempo sentados para escuchar clases online o estudiar, en lugar de desplazarse por la universidad, lo cual implica un mayor gasto energético (Ferrara et al., 2022; Keel et al., 2020).

Asimismo, la ansiedad, el aislamiento y la frustración durante el confinamiento pudo contribuir a la tendencia a verse de forma menos positiva (MaGinty et al., 2020), lo cual puede traducirse en una mayor probabilidad de ver el cuerpo más pesado, aún si el peso no ha cambiado significativamente (Keel et al., 2020).

Las preocupaciones por el peso pudieran acentuarse por las frecuentes advertencias de mayor probabilidad de gravedad y de muerte por COVID-19 para aquellas personas con obesidad (Keel et al., 2020). Esta conjetura es respaldada por Haddad et al. (2020) quienes hallaron que las personas que presentaron mayor temor al COVID-19 reportaron mayor preocupación por el peso.

La percepción de un peso normal podría explicarse, por la participación en actividades físicas, la valoración por la forma física y el estilo de vida saludable reportado

por los estudiantes. Estudios previos sugieren que el ejercicio físico conduce a elecciones nutricionales más saludables en los estudiantes universitarios (Amatori et al., 2020). Algunos estudios reportan cambios favorables en los hábitos alimentarios durante el confinamiento, tales como ingesta de comida casera, mayor consumo de productos frescos, tener más tiempo para preparar lo que comen y mayor atención a la salud (Ammar et al., 2020; Bracale y Vaccaro, 2020; Neira et al., 2021; Palmer, et al., 2021), lo cual podría explicar, junto con la valoración y la participación en actividades físicas y de un estilo de vida saludable reportado, una percepción del peso normal. De igual forma, considerando el IMC de la muestra como evidencia más objetiva, el promedio obtenido está considerado como peso normal o saludable, según la Organización Mundial de la Salud (2022).

En referencia a la variable de percepción de aceptación del cuerpo por otros, los estudiantes reportaron una alta percepción de aceptación del cuerpo por parte de los familiares, amigos, pareja, redes sociales, medios de comunicación y sociedad.

Tomando en cuenta lo reportado por los estudiantes respecto a la imagen corporal, es posible afirmar que tienen una percepción positiva de su cuerpo. Según Cook-Cottone (2015), las personas que tienen una imagen corporal positiva mantienen y construyen relaciones con personas que aceptan sus cuerpos de forma incondicional y que no tienen una versión idealizada del cuerpo (Tylka, 2012; Wood-Barcalow et al., 2010), en un proceso de interacción basado en la retroalimentación positiva o de reciprocidad que mantiene una imagen corporal positiva (Tylka, 2018).

Cuando las personas perciben que los demás aceptan sus cuerpos de forma incondicional tienen mayor probabilidad de participar en actividades físicas por razones funcionales, lo cual, a su vez, se relaciona con mayor apreciación y aceptación del cuerpo (Tylka y Homan, 2015). Asimismo, promueve la autoaceptación del cuerpo indistintamente de la forma o peso, respetando sus cuerpos, valorando cómo se sienten en lugar de cómo se ven, permitiendo el desafío o rechazo de los ideales corporales poco realistas (Augustus Horvath y Tylka, 2011; Avalos y Tylka, 2006; Tylka y Homan, 2015).

Algunos estudios reportaron como resultados positivos de la pandemia, mayor tiempo para estar con la familia, conectarse con amigos y seres queridos (Sandín et al., 2020; Termorshuizen et al., 2020). Según un estudio realizado por (Bowling et al., 2021), el

tiempo con la pareja durante la pandemia conllevó a una imagen corporal positiva basada en la retroalimentación positiva.

Otro de los efectos de la pandemia fue el cambio en los valores personales, tales como mayor apreciación de lo que se tiene y por las relaciones personales (Sandín et al., 2021), lo cual pudiera conllevar a una mayor aceptación y apreciación del cuerpo basado en la salud y la funcionalidad (cómo se siente) que, en ambiente de familia, amigos y pareja, se retroalimenta de forma positiva, siguiendo el modelo Tylka (2018), expresado en un alta percepción de aceptación del cuerpo por las personas significativas.

Por otra parte, durante el confinamiento por COVID-19 se presentó mayor uso de las redes sociales (Gobin et al., 2021). Algunos estudios reportan efectos positivos en la imagen corporal, expresados en aceptación y apreciación corporal a partir de campañas mediáticas con imágenes realistas con distintos tipos de cuerpo y contenido que enfatizan la aceptación del cuerpo (Cohen et al., 2019; Ogden et al., 2020; Rodgers et al., 2021; Thøgersen-Ntoumani et al., 2022).

Respecto a las estrategias de afrontamiento, los estudiantes reportaron una moderada probabilidad de emplear estrategias de afrontamiento de aceptación racional positiva que denotan aceptación de su apariencia y de sus cualidades y, de aceptación a las críticas caracterizada por desinterés hacia las mismas, de ser paciente consigo mismo, de entender la situación y de realizar algo para sentirse bien como persona, lo cual es respaldado por un estudio en estudiantes universitarios realizado por Arabaci et al. (2021) quienes reportaron, además, de una aceptación corporal, valoración de la actividad física y sensación de salud.

De acuerdo a Swami et al. (2022), estas estrategias enfatizan el cuidado personal, el diálogo interno y la aceptación de las propias experiencias y se asocia positivamente con la apreciación. En esta misma línea, Webb et al. (2014) afirman que las estrategias de afrontamiento de aceptación racional positiva y la apreciación corporal constituyen un mismo constructo de la imagen corporal positiva. Como tal, es posible entender que las personas con una apreciación corporal expresada en la valoración de la funcionalidad del cuerpo y de la aptitud física, sensación de salud y con satisfacción corporal, tal como reportó la muestra, acepten su apariencia y recuerden sus cualidades o experiencias

positivas relacionadas con sus cuerpos como filtro protector ante las críticas u otras amenazas ante su imagen corporal que generan pensamientos para entender la situación de forma racional y sentirse bien como persona.

Por otro lado, las estrategias de afrontamiento se relacionan con la flexibilidad de la imagen corporal que se refiere a la capacidad para aceptar las experiencias del momento presente de su cuerpo sin juzgar (Sandoz et al., 2018). Según Rogers et al. (2018), el constructo de flexibilidad de la imagen corporal se desarrolló a partir del constructo de las estrategias de afrontamiento de aceptación racional positiva.

En línea con lo anterior, un estudio realizado por Starick et al. (2021) con la finalidad de evaluar las estrategias de afrontamiento relacionadas con la imagen corporal durante el COVID-19 en estudiantes universitarios, la cual estaba constituida por una dimensión denominada afrontamiento adaptativo que trata sobre afirmaciones como "he experimentado un mayor deseo por cuidar mi cuerpo para mantenerlo saludable durante la pandemia"; de esta forma, hallaron que las personas que puntuaban más alto en esta dimensión, valoraron la situación generada por la pandemia como una oportunidad de apreciación corporal y una mayor flexibilidad de la imagen corporal, quienes además, obtuvieron puntajes altos en actividad física, conductas de autocuidado, hábitos alimentarios y salud mental.

De lo anterior, se puede deducir que aquellas personas que manifiestan una valoración funcional expresada en aptitud física, apreciación y valoración de la salud, valoración de un estilo de vida saludable y satisfacción corporal, expresen alta probabilidad de emplear estrategias de afrontamiento de aceptación racional positiva que expresan la aceptación de su cuerpo, aceptación de sus cualidades, aceptación de las críticas o de las propias experiencias asociadas a su cuerpo sin juzgarlo, de entender la situación y de cuidado personal como filtro protector ante las hacia las amenazas hacia la imagen, expresado en estrategias de afrontamiento de aceptación racional positiva y apreciación corporal como constructo de la imagen corporal positiva como afirman Webb et al. (2014) que fundamenta la flexibilidad de la imagen corporal (Rogers et al., 2018).

Tal como indican Swami et al. (2021), también es posible que aquellas personas que emplean las estrategias de afrontamiento de aceptación racional positiva, se enfoquen en

otras cualidades no relacionadas con la apariencia, como gratitud y apreciación por la salud física como estrategia de afrontamiento. Esto pudo tener mayor relevancia en momento de crisis de salud, tal como el acaecido durante el confinamiento por la pandemia, en donde las personas presentaron mayor valoración y cuidado de la salud, tal como reportaron Starick et al. (2021).

Concerniente a los ideales corporales internalizados, los estudiantes reportaron niveles moderados de pensamientos e intención de parecer o querer un cuerpo delgado o con poca grasa corporal, así como niveles bajos a moderados de pensamientos e intención de parecer o querer un cuerpo musculoso-atlético.

Los estudiantes reportaron una preocupación por el peso que, tal como se mencionó, pudiera relacionarse con el contexto de la pandemia y el cambio en la dinámica académica de los estudiantes universitarios. Conjuntamente, durante el confinamiento se presentó una alta propagación por los medios de comunicación sobre la importancia de manterse activos para evitar el sedentarismo (Reyes-Molina et al., 2022), lo cual pudiera incidir en los pensamientos o intenciones de querer un cuerpo delgado-tonificado, con cierta relevancia hacia el delgado, tal vez, por la preocupación relacionada con el aumento del peso. Esta idea es apoyada por Layman et al. (2021) quienes afirman que la internalización del ideal corporal se asocia con una mayor preocupación por el peso.

Tomando en cuenta lo reportado por la muestra a saber, nivel moderado de la valoración física, sensación de estar en forma, participación en actividades para mantener la forma física, valoración de un estilo de vida saludable, monitoreo y sensación de la salud y niveles moderados de sentimientos de atractivo y de satisfacción corporal, es posible especular que los pensamientos de querer o tener un cuerpo delgado-tonificado se encuentran alineados hacia un estilo de vida saludable, relevancia de la funcionalidad corporal expresado en un ideal corporal saludable y no en un ideal corporal irreal que requiera de alteraciones importantes en el cuerpo.

Asimismo, reportaron una alta percepción de aceptación del cuerpo por parte de otros, lo cual se asocia con la apreciación y mayor intención de actividad física (Tylka y Homan, 2015), promoviendo la valoración de cómo se sienten y el rechazo de los ideales corporales poco realistas (Augustus-Horvath y Tylka, 2011; Avalos y Tylka, 2006; Tylka y

Homan, 2015). Por otro lado, la percepción de aceptación del cuerpo por parte de los medios y redes sociales, conlleva a suponer la elección de aquellos que promueven un estilo de vida saludable, tales como, las transmitidas por las campañas mediáticas enfocadas en la funcionalidad del cuerpo que enfatizan la capacidad del cuerpo (Abbott y Barber, 2010; Wasylkiw y Butler, 2014), las cuales se popularizaron durante el confinamiento por la COVID-19.

Asimismo, lo reportado por la muestra se encuentra en correspondencia con la concepción de imagen corporal positiva según distintos autores (Halliwell, 2015; Lesser & Nienhuis, 2020; Reyes-Molina, et al., 2022; Shang et al., 2021; Tylka, 2018), lo cual implica una interpretación y una internalización de la información sobre el cuerpo que ayuda a mantener una imagen corporal positiva fundamentada en el amor y respeto del propio cuerpo, tienen una percepción de aceptación del cuerpo por otros, minimizan la exposición a los medios que apoyan una definición restringida e irreal del cuerpo y evalúan de forma crítica los ideales corporales enfatizando los mensajes positivos (Tylka, 2018; Abbott y Barber, 2010; Wasylkiw y Butler, 2014).

Lo anterior permite vislumbrar el efecto positivo de los medios y de las redes sociales. Además, tal como sugieren Layman et al. (2021), no todos los ideales corporales tienen un efecto negativo. De aquí, sería importante realizar estudios dirigidos a la evaluación de los posibles efectos positivos de algunas campañas mediáticas difundidas por los medios y redes sociales y, del ideal corporal delgado-atlético fundamentado en alcanzar o mantener un estilo de vida saludable.

En lo que respecta a la autoobjetivación, los estudiantes manifestaron moderados bajos sentimientos de vergüenza respecto a su peso, talla, de cómo le queda la ropa o por no lograr una mejor apariencia; con un moderado monitoreo corporal y de comparación con los demás; con un nivel medio alto de creencias de que pueden lograr la apariencia y el peso deseado.

Dado que los estudiantes manifestaron una valoración de la aptitud física que denota cierta autoeficacia y apreciación de la funcionalidad o de lo que pueden hacer con su cuerpo, resulta sencillo deducir un alto nivel de creencias en poder lograr una apariencia y peso deseado. De acuerdo a McKinley y Hyde (1996), las creencias de control de la

apariencia se asocian de forma positiva con la competencia corporal y la estima corporal. Según Moya-Garófano et al. (2017), las creencias de control de la apariencia manifiestan puntajes independientes de las puntuaciones de vergüenza y la vigilancia corporal. Por su parte, un estudio realizado durante el confinamiento por la COVID-19 por Guerrero y Ramírez (2021) en Venezuela en mujeres universitarias, se encontró que las creencias de control de la apariencia se asociaron de foma negativa con la ansiedad, la depresión y la disfunción social. Esto evidencia aspectos positivos relacionados con las creencias de control de la apariencia, lo cual apoya lo mencionado por Moya-Garófano et al. (2017) como variable independiente de la vergüenza y la vigilancia corporal. Asimismo, una inspección de algunos ítems de la subescala correspondiente (por ejemplo, el ítem 10: "Pienso que una persona puede tener la apariencia que ella quiera si está dispuesta a trabajar en ello"; el ítem 4*: "Creo que una persona debería conformarse con el físico que tiene de nacimiento") permite apreciar cierto empoderamiento respecto al control de la apariencia basado en los propios sentimientos hacia su propio cuerpo. De esta forma, se podría considerar los aspectos positivos de las creencias de control de la apariencia para futuras investigaciones.

En referencia a los niveles moderados de vigilancia corporal y moderados bajos de vergüenza corporal, podría coincidir con lo reportado por Pfund et al. (2020), quienes hallaron niveles altos de autoobjetivación (y de baja satisfacción corporal y facial) en estudiantes universitarios ante el aumento del uso de las videollamadas durante el confinamiento, tanto por razones de socialización o académicas. Los autores indican que el uso de estas plataformas permitió a las personas mirar sus rostros durante la interacción, colocándose desde la perspectiva de un observador, y de monitoreo constante, lo cual evidencia de autoobjetivación. Esto podría explicar, los niveles moderados bajos de vergüenza y de vigilancia por parte de los estudiantes.

Asimismo, la vigilancia corporal podría relacionarse con la preocupación por el peso generado por los cambios ocasionados por el confinamiento. Estudios previos afirman que la preocupación por el peso se relacionó con una mayor evaluación corporal para el control del peso durante el confinamiento (Cooper et al., 2022; Rodgers et al., 2020; Swami et al., 2020).

Curiosamente, estos autores destacaron que los participantes que utilizaron mayor tiempo interactuando con sus familiares a través de estas plataformas, reportaron mayor satisfacción facial y corporal, lo cual evidencia la particularidad del tipo de interacción y su efecto en la imagen corporal, lo cual pudiera considerarse en próximas investigaciones. Tal vez, interactuar con los familiares en videollamadas no implicó preocupación por la apariencia, lo cual pudiera relacionarse con la percepción de que el cuerpo es aceptado incondicionalmente por sus familiares, por ende, no presentan sentimientos de vergüenza ni de inspección constante de la apariencia.

En referencia al modelo estructural, la imagen corporal resultó predicha por el sexo y la percepción de aceptación del cuerpo por otros, lo cual indica que, el ser mujer y una mayor percepción de aceptación del cuerpo por parte de otros, se relaciona con una disposición actitudinal hacia la imagen corporal caracterizada por una satisfacción corporal y sentimientos de atractivo, valoración de la competencia deportiva, importancia e inversión en un estilo de vida saludable, participación en actividades para mantener o mejorar su forma física, valoración, monitoreo y sensación de salud, una baja preocupación por el peso y una autoclasificación del peso corporal normal.

La percepción de aceptación del cuerpo por parte de los demás ocurre cuando una persona cree que su cuerpo es aceptado por amigos, familiares, pareja, redes sociales, medios de comunicación y la sociedad (Avalos y Tylka, 2006). Las mujeres que perciben que sus cuerpos son aceptados por los demás tienen menor preocupación por su apariencia, y están más enfocadas en cómo se sienten y funcionan sus cuerpos (Layman et al., 2021).

Algunas investigaciones reportan como resultados positivos de la pandemia el tener mayor tiempo para conectarse con amigos, seres queridos y la comunidad (Termorshuizen et al., 2020). Específicamente con la pareja, Bowling et al. (2021) encontraron que los comentarios de aceptación incondicioncioal de la forma y el peso del cuerpo por parte de la pareja fomentó una imagen corporal positiva. Esto es respaldado por Ashkinazi et al. (2022) quienes hallaron que recibir comentarios positivos relacionados con la apariencia se asoció con una mayor satisfacción con la imagen corporal.

Durante el confinamiento por la COVID-19 se presentó un aumento en el uso de las redes sociales dado el mayor tiempo libre en casa y el aislamiento físico (Gobin et al., 2021).

Respecto a los medios de comunicación y las redes sociales como fuente de aceptación corporal, se ha documentado que los medios de comunicación y las redes sociales influyen de forma negativa en la imagen corporal debido a la propagación de imágenes idealizadas de la apariencia (Rodgers et al., 2021; Saiphoo y Vahedi, 2019). No obstante, algunos estudios revelan el efecto positivo de las redes sociales en la imagen corporal. Por ejemplo, algunos sugieren que las mujeres expuestas a imágenes realistas que contienen diversos tipos de cuerpos (pesos, formas, razas) y positividad como imágenes de mujeres con subtítulos que enfatizan la aceptación del cuerpo (Cohen et al., 2019; Ogden et al., 2020; Rodgers et al., 2021; Thøgersen-Ntoumani et al., 2022), reportan una imagen corporal positiva expresada en una mayor satisfacción y apreciación corporal (Mulgrew et al., 2019; Rodgers et al., 2021; Thøgersen-Ntoumani et al., 2022).

Respecto al efecto positivo de las redes sociales, Davies et al. (2020) hallaron que las publicaciones relacionadas con mensajes o subtítulos que fomentan la autoaceptación de la apariencia o destacan la naturaleza poco realista del contenido de las imágenes se relacionaron con mayor estima corporal en mujeres, sugiriendo que este tipo de mensaje que acompañan las imágenes que promueve la aceptación puede tener un valor protector en la imagen corporal de las mujeres.

La existencia de campañas mediáticas en las redes sociales que promocionan una imagen corporal positiva en mujeres basado en la funcionalidad del cuerpo que enfatizan la capacidad del cuerpo y cómo se siente el cuerpo, han logrado aumentar los niveles de actividad física y la apreciación corporal (Thøgersen-Ntoumani et al., 2022). Estudios previos han señalado que centrarse en la funcionalidad corporal en lugar de la apariencia se asocia con menor preocupación de la estima corporal (Abbott y Barber, 2010; Wasylkiw y Butler, 2014). Asimismo, se afirma que estas campañas buscan la motivación autónoma e intrínseca en las mujeres mediante la difusión de historias de mujeres que disfrutan la actividad física (Thøgersen-Ntoumani et al., 2022).

Relacionado con lo anterior, se han presentado diversas campañas o movimientos para promover una imagen corporal positiva y combatir la internalización de los ideales corporales poco realistas y la autoobjetivación tales como “Body Positive”, “Real Beauty”, los cuales presentan modelos de mujeres de distintos tamaños, formas y colores de piel (Bissell y Rask, 2010; Millard, 2009; Lee y Lee, 2021).

De esta manera, se puede deducir que la promoción en las redes sociales de imágenes que promueven en mujeres cuerpos de diversas formas, pesos y piel, con contenido que destaca la aceptación del cuerpo, reportan una imagen corporal positiva expresada en una mayor satisfacción y apreciación corporal.

Los hallazgos respecto al sexo, contradicen lo hallado por algunos estudios realizados en contexto de confinamiento que señalan que las mujeres reportan menor satisfacción corporal, mayor preocupación por el peso y por la apariencia (Haddad et al., 2020; McKenzie et al., 2021; Pierce et al., 2020). Como ya se mencionó, las campañas mediáticas que promocionan la aceptación corporal, la apreciación corporal y la actividad física fundamentadas en el bienestar en mujeres, pudiera marcar la diferencia en la percepción de aceptación del cuerpo por parte de los hombres.

Además, algunos estudios reportaron que los hombres eran menos activos físicamente que las mujeres y con una baja percepción de salud durante el confinamiento, lo cual pudiera explicarse por el cierre de los gimnasios y la suspensión de deportes organizados, los cuales pudieran incidir en mayor magnitud en los hombres en comparación a las mujeres (Gestosdottir et al., 2021). También pudiera explicarse como efecto del estrés ocasionado por el confinamiento por COVID-19 que pudiera influir en una actividad física reducida en los hombres, tal como lo reportaron Haddad et al. (2020).

Respecto a las estrategias de afrontamiento de aceptación racional positiva, estas resultaron predichas por la percepción de aceptación del cuerpo por otros, lo que propone que los estudiantes con alta percepción de aceptación del cuerpo por los familiares, amigos, pareja, medios de comunicación, redes sociales y la sociedad, presentan mayor probabilidad de emplear estrategias de afrontamiento de aceptación racional positiva dirigidas a la aceptación de su apariencia y cualidades, de aceptación de que la situación pasará luego de recibir críticas hacia su cuerpo o de rechazo ante las amenazas a su imagen corporal.

La percepción de aceptación corporal por otros predijo el empleo de las estrategias de afrontamiento de aceptación racional positiva, lo que sugiere que la aceptación incondicional de la familia, amigos, pareja, redes sociales, medios de comunicación y sociedad promueve el desarrollo de una mayor aceptación, respeto y cuidado del propio cuerpo, así como un rechazo de las amenazas a la imagen corporal (Swami, 2022).

Por otro lado, las estrategias de afrontamiento de aceptación racional positiva, no resultaron predichas por la vergüenza corporal. De acuerdo a Bailey et al. (2014), las estrategias de afrontamiento racional positiva no se asocian con la autoobjetivación en aquellas personas que presentan valores bajos de vergüenza y de vigilancia corporal, dado que al no estar autoobjetivados, no consideran el empleo de estas estrategias para afrontar alguna amenaza ante la imagen corporal, ante el cual emplean las estrategias de afrontamiento de evitación y de fijación de la apariencia. En este sentido, encontraron asociaciones positivas con la autoobjetivación, lo cual coincide con los resutados obtenidos por Choma et al. (2009). Para futuras investigaciones, se podría considerar incluir las tres estrategias de afrontamiento propuestas por Cash et al., (2005) con la finalidad de develar esta conjetura.

En referencia a la autoobjetivación, resultó predicha por la percepción de aceptación del cuerpo por otros y la internalización de los ideales corporales, lo que indica que los estudiantes con una alta percepción de aceptación del cuerpo por otros y baja internalización de los ideales corporales delgado y atlético, presentan menor nivel de vergüenza respecto a su cuerpo.

La autoobjetivación se define como la tendencia a percibirse, describirse y tratarse a sí mismo según sus características físicas centradas en cómo se ven sus cuerpos, en lugar de centrarse en cómo se sienten o lo que pueden hacer con sus cuerpos (Aubrey, 2010; Calogero, 2012; Kahalon et al., 2018).

Se plantea que la percepción de aceptación del cuerpo por otros promueve una imagen corporal positiva ya que facilita la resistencia a la autoobjetivación fomentando la apreciación de cómo se siente y lo que puede hacer con el cuerpo (y no cómo se ve) (Avalos y Tylka, 2006). De esta forma, si las personas perciben que sus cuerpos son aceptados, valorados y respetados incondicionalmente por otros importantes, prestan mayor

atención a cómo sienten y funcionan sus cuerpos, por ende, estarán menos preocupados por cumplir las expectativas de los demás o de cambiar su apariencia (Avalos y Tylka, 2006; Swami et al., 2020; Swami et al., 2021; Tylka y Wood-Barcalow, 2015; Webb et al., 2015).

Lo mencionado se evidenció en un estudio realizado por Tylka y Homan (2015) quienes hallaron que aquellos participantes que perciben aceptación de sus cuerpos por otros de forma incondicional, tienen mayor probabilidad de participar en actividades físicas o ejercicios por razones funcionales (bienestar, salud, disfrute) y no solo por razones de apariencia (perder peso, tono muscular), lo cual se relacionó con una mayor apreciación del cuerpo y, una menor verguenza corporal (cómo se ve) o mayor orientación corporal interna (cómo se siente).

Respecto a la funcionalidad corporal, Tylka y Homan (2015) argumentan que tiene una función protectora, dado que se relaciona con hacer ejercicio por salud, placer, desafío o alivio de la tensión, permite concentrarse en la actividad e involucra una apreciación de cómo se siente y funcionan sus cuerpos como resultado del ejercicio. En tanto el ejercicio que enfatiza la apariencia representa un riesgo, dado que enfatiza la apariencia y la pérdida de peso, lo cual se asocia con mayor autoobjetivación.

Por lo tanto, una mayor percepción de aceptación del cuerpo por otros se asocia con mayor énfasis en las razones funcionales para el ejercicio, expresado en una mayor apreciación del cuerpo a través del ejercicio motivado por la salud, el disfrute, reducción del estrés u otra razón funcional (Tylka y Homan, 2015).

Percibir que el cuerpo es incondicionalmente aceptado por otros, en lugar de objetivado, ayuda a las personas a apreciar sus cuerpos. Investigaciones previas han sugerido que la percepción de aceptación de cuerpo por otros promociona la participación de actividades físicas dirigidas al disfrute y a la valoración de la funcionalidad corporal, en lugar de motivar el ejercicio para alterar la apariencia. En este sentido, la autoobjetivación se ha asociado de forma positiva con los motivos de hacer ejercicios para la modificación de la apariencia y, de forma negativa, con los motivos para la actividad física dirigido a la salud (Tylka y Homan, 2015).

En la misma línea, Prichard y Tiggemann (2008) afirman que realizar ejercicios en ambientes que enfatizan la apariencia y la pérdida de peso mediante el uso de espejos o de

materiales que promocionan los ideales corporales como los gimnasios, se relaciona con una mayor autoobjetivación (internalización de la perspectiva del cuerpo como un observador externo). Los autores plantean que realizar ejercicios por motivos de salud, permite a las personas enfocarse en la actividad en lugar de pensamientos negativos respecto a su cuerpo.

Respecto al contexto en donde se realizan los ejercicios, Bailey et al. (2014) indican que algunos entornos son de gran amenaza para la imagen corporal, como los gimnasios ya que son situaciones que facilitan la comparación con los cuerpos de otros y el constante monitoreo a través de los espejos de las instalaciones.

El cierre de los gimnasios o de entornos similares durante el confinamiento conllevó a las personas a realizar actividades físicas en lugares menos objetivantes, lo cual podría explicar los bajos niveles de autoobjetivación. Asimismo, la promoción de los medios de comunicación de realizar ejercicios en ambientes abiertos y en contacto con la naturaleza pudiera conllevar a mayor bienestar, implicando mayor atención a cómo se sienten.

Berry et al. (2020) indican que las cualidades restauradoras de los entornos naturales permiten el uso de estrategias de afrontamiento de la imagen corporal que, según Swami et al. (2021), promocionan procesos cognitivos saludables que permite el desarrollo de valoraciones más racionales de las amenazas a la imagen corporal.

Los entornos naturales también ayudan a desviar la atención de una visión estética del cuerpo hacia una valoración de la funcionalidad y de las competencias del cuerpo, promoviendo conductas de autocuidado que abarcan la apreciación y el amor por el propio cuerpo (Hennigan, 2010; Swami et al., 2021). Por ende, es posible que la exposición a entornos naturales facilite el empleo de las estategias de afrontamiento de aceptación racional positiva (Swami et al., 2020). De hecho, uno de los efectos positivos del confinamiento por COVID-19 fue la valoración de las actividades al aire libre (Sandín et al., 2020).

De esta forma, dado que los estudiantes reportaron una valoración y participación de la actividad física y de la salud, se podría especular que la razón de realizar ejercicios obedece más a motivos de salud o de valoración de la funcionalidad y de la capacidad física que a la alteración de la apariencia, lo cual permitiría enfocarse en el disfrute de la

actividad y no en pensamientos negativos hacia el cuerpo, resultado del monitoreo constante del cuerpo o sentimientos de vergüenza propios de la autoobjetivación.

Como contraparte de la percepción de la aceptación del cuerpo por otros, se encuentra la percepción de las presiones socioculturales para cambiar o alterar el cuerpo. Según Smolak y Murnen (2010), la autoobjetivación es una respuesta a las presiones socioculturales que promocionan la apariencia como aspecto determinante del valor de una persona, minimizando la importancia de otros aspectos. Tylka y Hill (2004) indican que la percepción de presión de otras personas significativas o de los medios de comunicación para cambiar el cuerpo genera insatisfacción corporal, lo cual se asocia con la vergüenza corporal. Por ende, afirman que la aceptación corporal percibida por otros predice la apreciación y la aceptación corporal contrarestando la vergüenza y la vigilancia corporal, lo cual ha sido confirmado por Urvelyte y Perminas (2021).

El estigma asociado a las diversas formas o pesos corporales pueden disminuir las percepciones de aceptación del cuerpo por parte de los otros, lo cual podría perjudicar la apreciación y la autoaceptación corporal (Augustus-Horvath y Tylka, 2011; Tylka et al., 2014). Asimismo, las presiones de otros significativos a cumplir con los ideales corporales predicen en las mujeres un aumento del monitoreo corporal habitual (indicador de autoobjetivación) y una disminución en el énfasis de la funcionalidad corporal (Tylka y Hill, 2004).

De acuerdo a Lee y Lee (2021), los estudiantes universitarios son susceptibles a las presiones de los amigos. Investigaciones previas señalan que la presión de los amigos o pares se asocia con la internalización de los ideales corporales y la autoobjetivación (Lee y Lee, 2021; Trekels y Eggermont, 2017). De allí, se deduce que una percepción de aceptación incondicional del cuerpo por otros, en este caso de los amigos, se pueda traducir en una menor internalización de los ideales corporales irreales y de autoobjetivación.

En la misma línea, algunos autores concuerdan en que la familia puede actuar como factor protector con la transmisión de normas, hábitos o actitudes de los padres sobre el peso y la alimentación influyendo positivamente en la percepción de la imagen corporal (Losada y Bidau, 2017; Escandón-Nagel et al., 2021).

En este sentido, una investigación realizada por Lee y Lee (2021), encontraron que conversaciones con los padres sobre una apariencia saludable se asoció negativamente con las medidas de autoobjetivación (vergüenza y vigilancia corporal) y de internalización de los ideales corporales en estudiantes universitarios, lo que revela la importancia de la influencia de los padres en la apreciación y aceptación del cuerpo, lo cual pudo cobrar mayor relevancia en vista del mayor tiempo con los padres, familiares o seres queridos durante el confinamiento por la pandemia.

Por su parte, Rivero et al. (2022), encontraron que los mensajes negativos hacia la imagen corporal por parte de la familia (padres, hermanos) se asociaron con la vergüenza corporal en estudiantes latinas, destacando la relevancia del papel de la familia, en este caso de rechazo (o no aceptación incondicional del cuerpo), en el desarrollo de la imagen corporal.

La percepción de aceptación del cuerpo por otros se encuentra relacionada positivamente con la orientación interna del cuerpo como una tendencia a centrarse en cómo se siente o funciona el propio cuerpo en lugar de cómo se ve ante los demás, lo cual sugiere que las personas que perciben que su cuerpo es aceptado, son menos propensos a enfocarse en cómo otros ven su cuerpo protegiendo de la internalización de los ideales y de la autoobjetivación (Augustus-Horvath y Tylka, 2011), lo cual se evidencia con un bajo nivel de vergüenza corporal por no alcanzar los ideales corporales irreales.

Adicionalmente, una mayor aceptación corporal percibida se asocia con una menor internalización de los ideales corporal (Layman et al., 2021). La internalización de los ideales implica adoptar las normas de las influencias sociales respecto a los ideales corporales, por ende, se entiende como una consecuencia de las presiones socioculturales de la apariencia. En este sentido, se logra entender el porqué la percepción de aceptación del cuerpo por los demás como contrario al efecto de las presiones por ajustarse a un ideal corporal, se traduzca en una menor internalización de los ideales corporales irreales.

La internalización de los ideales corporales, corresponde el primer paso de la autoobjetivación, lo cual afecta la valoración de la apariencia física por encima de la competencia y la vigilancia corporal o el monitoreo repetido de la apariencia (Vangeel et al., 2018; Moradi y Huang, 2008; Vandenbosch y Eggermont, 2012, 2016), lo cual fue

respaldo en un estudio realizado por Vangeel et al. (2018), quienes hallaron la internalización durante la adolescencia predijo una mayor valoración de la apariencia sobre la competencia y la vigilancia corporal cinco años después, evidenciando la asociación entre la internalización y la autoobjetivación y su desarrollo a largo plazo.

La asociación entre la internalización de los ideales corporales y la autobjetivación ha sido respaldada en estudios anteriores (Grabe et al., 2007; Moradi et al., 2005; Moradi y Varnes, 2017; Parent y Moradi, 2015; Smolak y Murne, 2010; Vangeel et al., 2018; Lee y Lee, 2022).

La difusión en los medios de imágenes sexualizadas y objetivadas conllevan a la autoobjetivación (Fredrickson y Roberts 1997; Moradi y Huang, 2008). Estudios recientes destacan el efecto negativo de las redes sociales en la autoobjetivación. Rounsefell et al. (2019) señalan que involucrarse en comportamiento de autoobjetivación en las redes sociales como la exposición a algunas imágenes inspiradoras de fitness o publicar imágenes y esperar comentarios respecto a su apariencia, conllevan a manifestaciones negativas a largo plazo, como internalización de los ideales corporales que conllevan a la autoobjetivación, tales como la vergüenza corporal.

En este sentido, Feltman y Szymanski (2017), encontraron en estudiantes universitarios que el uso de Instagram centrado en contenido de la apariencia se asoció positivamente con la autoobjetivación; además, hallaron que los estándares corporales internalizados median la asociación entre el uso de la plataforma con la objetivación y la vigilancia corporal, lo cual destaca el papel de los ideales corporales internalizados como elemento importante en la autoobjetivación. Fardouly et al. (2018) encontraron que la visualización de imágenes de fitspirations en Instagram correlacionó positivamente con la autoobjetivación, la cual estuvo mediada por la internalización del ideal de belleza.

En cuanto al ideal corporal internalizado, la misma resultó predicha por el sexo, de modo que las mujeres presentan mayor internalización de los ideales corporales delgado y musculoso, lo cual coincide con lo hallado por Schaefer et al. (2015) quienes afiman que las mujeres enfatizan tanto la musculatura como la delgadez.

La internalización de los ideales corporales se refiere a la adopción de los ideales corporales (delgado, atlético o tonificado) difundidos por la sociedad como normas y

objetivo personal a alcanzar (Layman et al., 2021). Recientemente, ha surgido un nuevo ideal corporal representado por un cuerpo delgado-tonificado difundido por Instagram (*Fitspiration*) que utiliza las imágenes para inspirar la actividad física (Tiggemann & Zaccardo, 2015).

El uso de las redes sociales se ha vuelto omnipresente en la cotidianidad de las personas, especialmente en los jóvenes (Easton et al., 2018). Una tendencia en las redes sociales, es la publicación y el seguimiento de las publicaciones de "*fitspirations*" o inspiración física que defiende el estado físico, la salud y la dieta (Bryony et al., 2020; Easton et al., 2018) para mejorar la salud física, el atractivo y el estilo de vida a través de imágenes y mensajes (Griffiths y Stefanovski, 2019).

La exposición a publicaciones que promocionan el ejercicio para la pérdida de peso se ha relacionado con insatisfacción corporal (Tiggemann y Zaccardo, 2015; Tiggemann y Barbato, 2018; Bryony et al., 2020), promoción de estándares de la apariencia y mensajes de culpa o preocupación respecto al peso, la dieta y la forma del cuerpo (Boepple y Thompson, 2016) y cosificación del cuerpo (Carrotte et al., 2017).

Por otro lado, las publicaciones con imágenes y subtítulos positivos de aceptación del cuerpo se relacionan con la satisfacción corporal (Cohen et al., 2019; Bryony et al., 2020). De acuerdo a Easton et al. (2018), el seguimiento de estas publicaciones en las redes sociales puede ofrecer a los jóvenes conocimiento y motivación para una vida saludable, no obstante, también se han evidenciado efectos negativos en la salud física y psicológica, lo cual sugiere que el seguimiento de las publicaciones de *fitspirations* pueden tener efectos tanto negativos como positivos.

Se sugiere que la internalización atlética está relacionada con objetivos de imagen corporal centradas en la salud y por motivos individuales más que por presiones socioculturales. En línea con lo mencionado, el estudio realizado en Venezuela por Guerrero y Ramírez (2021) durante el confinamiento por la COVID-19, hallaron que la internalización del ideal atlético se asoció negativamente con la ansiedad.

Por otro lado, se plantea que la internalización del ideal corporal delgado se asocia con una mayor preocupación por el peso. De hecho, algunos autores plantean que no todos

los ideales corporales pueden ser dañinos o promover una imagen corporal negativa (Layman et al., 2021).

Swami et al. (2021) encontraron que la ansiedad y el estrés por la COVID-19 se asoció con un mayor impulso por la delgadez e insatisfacción corporal. Los autores afirman que las mujeres pueden presentar mayor preocupación por el peso, por ende, mayor impulso por la delgadez. Esto contradice en parte lo encontrado en la presente investigación, dado que los estudiantes reportaron niveles moderados de satisfacción corporal, valoración de la actividad física, valoración del estilo de vida y de la salud, siendo mayor en las mujeres que en los hombres. Por ende, se podría especular que el ideal delgado-tonificado en mujeres se fundamenta en la funcionalidad corporal y cuidado de la salud basado en un estilo de vida saludable.

Por otro lado, los estudiantes reportaron niveles moderados de preocupación por el peso (menor en mujeres), lo cual pudiera deberse a la situación generada por el confinamiento como los cambios en las rutinas académicas (Ferrara et al., 2022) agravadas por la asociación de la gravedad de la enfermedad con la obesidad (Keel et al., 2020), lo cual pudiera de alguna manera incidir en el interés del ideal delgado-tonificado.

Siendo las redes sociales una de las herramientas más usadas durante el confinamiento por COVID-19, se puede admitir el carácter visual de las plataformas de mayor difusión. Por ende, obligar o llamar a las mujeres a resistir vehemente las influencias de la apariencia podría minimizar algunas de los objetivos positivos de algunas campañas mediáticas fundamentadas en el cuidado de la salud mediante el ejercicio funcional, lo cual como se ha mencionado, se relaciona con la apreciación corporal, la aptitud física y el bienestar (Layman et al., 2021). Se considera para investigaciones futuras, el estudio del efecto diferencial de los ideales corporales en la imagen corporal y los posibles efectos positivos en la imagen corporal.

Estos hallazgos respaldan la literatura que señala que la preocupación por un cuerpo delgado es menor en los hombres que en el caso de las mujeres (Fernández et al., 2012; Neumark- Sztainer y Eisenberg, 2014; Smilak y Murnen, 2008), tal vez como menciona Tylka (2011), las mujeres son el mayor "*target*" de los medios de comunicación.

Por su parte, Swami et al. (2021) encontraron que la ansiedad y el estrés por la COVID-19 se asoció con mayor impulso hacia la musculatura y mayor insatisfacción con la musculatura en los hombres, posiblemente por las condiciones del confinamiento que pudieron limitar sus actividades físicas como el deporte o entrenamiento de fuerza o el acceso a los gimnasios que pudieran disminuir la percepción del tamaño de la musculatura.

Por último, la percepción de aceptación del cuerpo por otros no resultó predicha por el sexo. Una explicación plausible se puede relacionar con el instrumento de medida. Según Swami et al. (2020), el instrumento presenta una inestabilidad de la estructura factorial según el sexo (6 ítems en muestra de mujeres y 10 ítems para los hombres), lo cual pudiera obedecer a que algunos ítems captan de forma distinta el constructo según el sexo. Por ejemplo, centrarse solo en la forma y peso podría ser menos relevante para los hombres, para quienes la musculatura podría ser más relevante (Swami et al. 2021). Esto podría considerarse para futuras investigaciones.

Otra explicación posible sería la existencia de algunos factores psicosociales como el género y la orientación sexual, las cuales no se consideraron en el presente estudio, lo cual pudo resultar excluyente para algunos participantes, que pudieran sentirse no identificados. Consonante a esto, el instrumento que mide la percepción de aceptación del cuerpo por otros, considera la percepción de aceptación de la forma y el peso del cuerpo, lo cual, por un lado, resulta limitado en términos de cómo las personas perciben la aceptación de sus cuerpos y del constructo propio de la imagen corporal, tal como menciona Tylka (2018) como constructo holista, o Cash (2018) como constructo multidimensional constituido por la valoración y orientación cognitivo-conductual (sentimientos, penmientos, conductas) de la apariencia física (general y específica), las competencias del cuerpo y la integridad física. Por otro lado, no incluye la percepción de otros atributos que abarquen la diversidad según el sexo y género, tales como, forma de vestirse, arreglarse el cabello, caminar, lo cual pudiera considerarse como revisión del instrumento para futuras investigaciones.

De esta forma, se evidencia que una proporción importante de las relaciones planteadas se cumplieron, pero no en su totalidad, lo cual demuestra la complejidad de la imagen corporal como un constructo complejo y multicausado. Además, la situación de

confinamiento por la pandemia pudiera incidir en las variables de estudio, por ende, resulta recomendable replicar el estudio en una situación distinta a la situación de confinamiento y comparar los resultados.

De acuerdo a los resultados obtenidos, se pudo observar que la percepción de aceptación del cuerpo por otros, fue el mejor predictor de la imagen corporal. Lo cual sostiene que la aceptación del cuerpo por parte de los demás contribuye a la imagen corporal positiva de los estudiantes expresada en satisfacción corporal y sentimientos de atractivo, valoración de la competencia deportiva, importancia e inversión en un estilo de vida saludable, participación en actividades para mantener o mejorar su forma física, valoración, monitoreo y sensación de salud.

Estos resultados consolida el modelo holista o integral propuesto por Tylka (2018) y respaldado por Tylka y Wood-Barcalow (2015) que plantea que la reciprocidad del amor incondicional y la aceptación corporal de los demás alienta las relaciones con personas que promueven y mantienen una imagen corporal minimizan la exposición a medios que apoyan ideales corporales irreales y limitados, genera percepciones realistas generada de las distintas fuentes, moldeando la inversión corporal de forma funcional, lo cual promociona apreciación, respeto y amor por sus cuerpos a pesar de los efectos transitorios del ambiente.

Respecto a esto último, Melnyk et al. (2004) argumentan que la imagen corporal es consistente a lo largo del tiempo, pero es flexible por los estados experienciales y las variables contextuales.

De esta forma, se podría entender la consistencia de la variable de percepción de aceptación corporal de otros en la predicción de la imagen corporal, de lo cual es posible suponer que dada su estabilidad a pesar de los efectos transitorios del ambiente y de las variables contextuales asociados al confinamiento por la COVID-19, la aceptación incondicional del cuerpo por otros se mantiene promoviendo la imagen corporal positiva y contrarestando los efectos negativos que pudieron ser fluctuantes (ideales corporales, autoobjetivación, estrategias de afrontamiento) dadas las circunstancias del confinamiento por la pandemia y de allí, no explicaran la imagen corporal en el presente estudio.

Respecto a las estrategias de afrontamiento de aceptación racional positiva, resultaron predichas por la percepción de aceptación del cuerpo por otros, pero no predijo

la imagen corporal. Respecto a lo primero, se podría explicar por el modelo integral de la imagen corporal de Tylka (2018) como resultado de la autorregulación de aceptación y respecto corporal. Respecto a lo segundo, cuando el cuerpo es aceptado incondicionalmente por los demás promociona la participación de actividades físicas dirigidas al disfrute, desafío, valoración de la funcionalidad y salud (Tylka y Homan, 2015), lo cual se pudo intensificar por la promoción de mantenerse activo durante el confinamiento por la pandemia y conformar una estrategia de afrontamiento adaptativa a la circunstancia específica de pandemia por la COVID-19, lo cual fue apoyado por Starik et al. (2021).

Así, se comprueba que la conceptualización de una imagen corporal desde la perspectiva positiva no implica únicamente satisfacción de la apariencia, sino también sentimientos de atractivo, valoración de la funcionalidad, importancia e inversión de un estilo de vida saludable y valoración de la salud. Tampoco se limita simplemente a la ausencia de una imagen corporal negativa, sino como un proceso de equilibrio o de autoregulación entre los aspectos externos (familiares, amigos, pareja, medios de comunicación, redes sociales) y de los aspectos internos, como los pensamientos o sentimientos positivos de sí mismo y de las conductas dirigidas a su cuidado integral, lo que se traduce en el constructo propuesto por Cash, en una valoración e inversión cognitiva conductual de la imagen corporal como constructo multidimensional.

## Conclusiones

La muestra se caracteriza por presentar moderados sentimientos de atractivo, satisfacción moderada con su apariencia y con las áreas corporales (cara, cabello, parte inferior del cuerpo, parte media del cuerpo, parte superior del cuerpo, tono muscular, peso, altura) con un alto grado de atención a su apariencia y se esfuerzan por mejorarla. Así mismo, expresan una moderada sensación y valoración de estar físicamente en forma y participan en actividades para mantener o mejorar su forma física, valoración del estilo de vida, valoración y monitoreo de la salud. Además, muestran niveles moderados de preocupación por el peso y se clasifican con un peso normal.

Conjuntamente, presentan niveles moderados de pensamientos y de intención de tener, querer o parecer delgado o con poca grasa corporal y, de niveles moderados bajos de pensamientos y de intención de tener, querer o parecer atlético o musculoso.

Expresan niveles medio bajo de sentimientos de vergüenza ante cómo le queda la ropa o por no lograr una mejor apariencia, con un moderado monitoreo corporal que denota importancia de cómo se ven y cómo lo ven los demás, con un nivel medio alto de creencias de que con suficiente esfuerzo pueden lograr el peso y la apariencia deseada.

Muestran una percepción alta de que los familiares, amigos, pareja, medios de comunicación (TV, cine), redes sociales y sociedad, aceptan la forma y el peso de su cuerpo.

Manifiestan una moderada probabilidad de empleo de estrategias de afrontamiento racional positiva enfocadas en la aceptación del evento desafiante o críticas hacia su cuerpo y de auto diálogo de cuidado.

Considerando los valores de bondad de ajuste de los modelos de ecuaciones estructurales, el modelo estructural propuesto presenta un bajo ajuste a los datos. No obstante, más allá de los valores estadísticos, los resultados obtenidos obedecen a planteamientos teóricos que los fundamenta, por ende, se puede considerar una aproximación explicativa de la imagen corporal como una variable compleja y multidimensional. De igual forma, acatando la rigurosidad estadística, se propone un último modelo con valores de bondad de ajuste adecuados para la explicación de la imagen corporal en estudiantes universitarios, lo cual podría considerarse, no solo como modelo para futuras investigaciones sino como información relevante para el diseño de programas de abordaje psicológico dirigidos a optimizar una imagen corporal positiva en estudiantes universitarios. En este sentido, se presentan a continuación, las conclusiones de la presente investigación.

Tomando en cuenta los indicadores de bondad de ajuste del modelo, la única variable que predice la imagen corporal es la percepción de aceptación del cuerpo por otros, de modo que a mayor percepción de aceptación del cuerpo por la familia familiares, amigos, pareja, medios de comunicación, redes sociales y sociedad, manifiestan una disposición actitudinal hacia la imagen corporal expresada por sentimientos de atractivo y de satisfacción con su apariencia tanto general como de las áreas corporales (cara, cabello, parte inferior del cuerpo, parte media del cuerpo, parte superior del cuerpo, tono muscular, peso), valoración de la apariencia, sensación y valoración de estar físicamente en forma y

participación en actividades para mantener o mejorar su forma física, valoración y monitoreo de la salud y valoración del estilo de vida.

Asimismo, en este modelo de adecuado ajuste, la variable de imagen corporal explica la satisfacción con la apariencia y, la orientación y evaluación del estado físico y de la salud. Por su parte, la percepción de aceptación del cuerpo por otros explica la percepción de aceptación del cuerpo por parte de familiares, amigos y pareja y, la percepción de aceptación de los medios de comunicación, redes sociales y sociedad.

Sin embargo, al considerar las relaciones significativas encontradas en el modelo alternativo propuesto (Modelo B) vale la pena mencionar:

La imagen corporal resultó predicha por el sexo y la percepción de aceptación del cuerpo por otros, lo cual indica que, el ser mujer y una mayor percepción de aceptación del cuerpo por parte de otros, se relaciona con una disposición actitudinal hacia la imagen corporal caracterizada por una satisfacción corporal y sentimiento de atractivo, valoración de la competencia deportiva, importancia e inversión en un estilo de vida saludable, participación en actividades para mantener o mejorar su forma física, valoración, monitoreo y sensación de salud, una baja preocupación por el peso y baja autoclasificación del peso corporal.

Las estrategias de afrontamiento de aceptación racional positiva, resultaron predichas por la percepción de aceptación del cuerpo por otros, lo que propone que los estudiantes con alta percepción de aceptación por los familiares, amigos, pareja, medios de comunicación, redes sociales y la sociedad, presentan mayor probabilidad de emplear estrategias de afrontamiento racional positiva dirigidas a la aceptación de su apariencia y cualidades, de aceptación de que la situación pasará luego de recibir críticas hacia su cuerpo o de rechazo ante las amenazas a su imagen corporal.

La autoobjetivación, resultó predicha por la percepción de aceptación del cuerpo por otros y la internalización de los ideales corporales, lo que indica que los estudiantes con una alta percepción de aceptación del cuerpo por otros y baja internalización de los ideales corporales delgado y atlético, presentarán menor nivel de vergüenza respecto a su cuerpo, menor monitoreo corporal y comparación con los demás y, mayor nivel de creencias de que pueden lograr el peso y la apariencia deseada.

El ideal corporal internalizado resultó predicho por el sexo, de modo que las mujeres presentan mayor internalización de los ideales corporales delgado y musculoso.

La percepción de aceptación del cuerpo por otros, fue el mejor predictor de la imagen corporal, lo cual sostiene que la aceptación del cuerpo por parte de los demás contribuye a la imagen corporal positiva de los estudiantes expresada en satisfacción corporal y sentimientos de atractivo, valoración de la competencia deportiva, importancia e inversión en un estilo de vida saludable, participación en actividades para mantener o mejorar su forma física, valoración, monitoreo y sensación de salud.

Los resultados respaldan el modelo holista o integral propuesto por Tylka (2018) y confirman a la imagen corporal como un constructo multidimensional, tal como lo indica Cash (2005).

Además, los hallazgos podrían ser útiles para futuras investigaciones y para el diseño de programas de abordaje psicosocial dirigidos a la promoción la imagen corporal positiva. Asimismo, podría orientar a las universidades en el establecimiento de estrategias específicas de prevención y campañas de sensibilización relacionados con la imagen corporal.

## Limitaciones y recomendaciones

Respecto a la validez de las medidas obtenidas, las medidas auto informadas podrían llevar a subestimar o sobreestimar las medidas de las variables de estudio, por lo que se recomienda realizar estudios observacionales o antropométricas relacionados con la imagen corporal.

Dado que la encuesta se realizó en línea y difundida por las redes sociales, es probable que la muestra esté sesgada hacia los participantes con acceso a internet y activos en las redes sociales.

Relacionado con lo anterior, la recolección de datos se realizó durante semanas intercaladas de régimen flexible y radical (con algunas semanas continuas de flexibilidad por época decembrina), lo cual podría incidir en las variables medidas, dado los cambios circunstanciales del contexto, los resultados podrían variar según el grado de restricción.

Debido al muestreo propositivo, existe la posibilidad de un sesgo de selección, representado en este caso, por estudiantes de pregrado de la UCAB, por ende, esta muestra no puede considerarse representativa de los estudiantes de pregrado de las universidades en Venezuela. Además, dado que la recolección de los datos se realizó durante el confinamiento por la pandemia por COVID-19, la generalización de los resultados se encuentra limitada.

Otro problema metodológico se presentó con el análisis de los datos y la cantidad de variables incluidas en el modelo, lo cual pudiera incidir en los valores de ajuste del modelo a los datos debido a la complejidad del mismo, dado que los programas estadísticos para el análisis de los modelos de ecuaciones estructurales tienden a favorecer modelos más simples.

Se sugiere replicar el modelo considerando otras relaciones, como las covarianzas entre las variables fundamentadas a partir de una revisión de la literatura existente. Como, por ejemplo, las relaciones entre la internalización de los ideales corporales y la autoobjetivación, la autobjetivación y las estrategias de afrontamiento de aceptación racional positiva, la percepción de aceptación corporal por otros y las estrategias de afrontamiento de aceptación racional positiva.

No se evaluó la existencia de trastornos de alimentación. La evidencia empírica sugiere la existencia los riesgos de padecer alguna alteración en las conductas de alimentación o de su empeoramiento durante el confinamiento por la COVID-19 (Fernández-Aranda et al., 2020; McKenzie et al., 2021; Palmer et al., 2021) lo cual pudiera complementar algunas respuestas relacionadas con la imagen corporal.

Además, se consideran las siguientes recomendaciones:

Evaluar la invariancia de los instrumentos de investigación según el sexo.

Incluir la variable género como variable de estudio para mayor conocimiento sobre la imagen corporal en los distintos grupos.

Evaluar el efecto diferencial de las tres estrategias de afrontamiento de la imagen corporal propuestas por Cash et al. (2005).

Estudiar los posibles efectos positivos de las creencias de control de la apariencia en la imagen corporal.

Estudiar el efecto diferencial de los ideales corporales (delgado y muscular-atlético) en la imagen corporal. Y plantear los posibles efectos positivos en la imagen corporal.

Realizar estudios dirigidos a la evaluación de los posibles efectos positivos de algunas campañas mediáticas difundidas por los medios de comunicación y las redes sociales. Asimismo, el potencial efecto positivo de la publicación y seguimiento de las cuentas "*fitspiration*s" de las redes sociales en la imagen corporal.

Estudiar el efecto diferencial de las fuentes que promueven la aceptación corporal (familiares, amigos, compañeros, pareja, medios de comunicación, redes sociales).

Realizar estudios psicométricos de los instrumentos de recolección de datos en condiciones distintos al confinamiento, tal como el acaecido por la pandemia por la COVID-19.

## Referencias

Amatori, S., Donati Zeppa, S., Preti, A., Gervasi, M., Gobbi, E., Ferrini, F., Rocchi, F., Baldari, C., Perroni, F., Piccoli, G., Stocchi, V Sestili, P. & Sisti, D. (2020). Dietary habits and psychological states during COVID-19 home isolation in Italian college students: the role of physical exercise. *Nutrients*, *12*(12), 3660. http://dx.doi.org/10.3390/nu12123660

American Psychiatric Association. (2020, Agosto). *Society for Health Psychology*. https://www.apa.org/about/division/div38

Ammar, A., Brach, M., Trabelsi, K., Chtourou, H., Boukhris, O., Masmoudi, L., & ECLB-COVID19 Consortium. (2020). Effects of COVID-19 home confinement on eating behaviour and physical activity: results of the ECLB-COVID19 international online survey. *Nutrients*, *12*(6). http://dx.doi.org/10.3390/nu12061583

Ammar, A., Chtourou, H., Boukhris, O., Trabelsi, K., Masmoudi, L., Brach, M., et al. (2020b). COVID-19 home confinement negatively impacts social participation and life satisfaction: a worldwide multicenter study. *Int. J. Environ. Res. Public Health*, *17*(6237). https://doi.org/10.3390/ijerph17176237

Andrew, R., Tiggemann, M., & Clark, L. (2014). An extension of the acceptance model of intuitive eating in adolescent girls: A role for social comparison? *Journal of Eating Disorders*, *2*(1), O40. http://dx.doi.org/10.1186/2050-2974-2-S1-O40

Arabaci, L. B., Buyukbayram Arslan, A., Dagli, D. A., & Tas, G. (2021). The relationship between university students' childhood traumas and their body image coping strategies as well as eating attitudes. *Archives of psychiatric nursing*, *35*(1), 66–72. https://doi.org/10.1016/j.apnu.2020.09.017

Arroyo, A., & Brunner, S. (2016). Negative body talk as an outcome of friends' fitness posts on social networking sites: body surveillance and social comparison as potential moderators, *Journal of Applied Communication Research*, *44*(3), 216-235. https://doi.org/10.1080/00909882.2016.1192293

Arroyo, A.; Segrin, C.; Harwood, J. (2014). Appearance-related communication mediates the link between self-objectification and health and well-being outcomes. *Human Communication Research*, 40(4), 463–482. https://doi.org/10.1111/hcre.12036

Ashkinazi, M., Wagner, S. A., Cunningham, K., & Mattson, R. E. (2022). Body image satisfaction and body-related partner commentary link to marital quality through sexual frequency and satisfaction: A path model. *Couple and Family Psychology: Research and Practice.* https://doi.org/10.1037/cfp0000216

Askegaard, S., Gertsen, M. C., & Langer, R. (2002). The body consumed: Reflexivity and cosmetic surgery. *Psychology and Marketing*, *19*, 793–812. https://doi.org/10.1002/mar.10038

Aubrey, J. (2010). Looking good versus feeling good: An investigation of media frames of health advice and their effects on women's body-related self-perceptions. *Sex Roles, 63,* 50-63. http://dx.doi.org/10.1007/s11199-010-9768-4

Augustus-Horvath, C. & Tylka, T. (2011). The acceptance model of intuitive eating: A comparison of women in emerging adulthood, early adulthood, and middle adulthood. *Journal of Counseling Psychology, 58,* 110–125. http://dx.doi.org/10.1037/a0022129

Augustus-Horvath, C. (2008). A test and extension of an acceptance model of intuitive eating with younger and older women dissertation (Doctoral thesis). Graduate School of the Ohio State University. United State.

Avalos, L. & Tylka, T. (2006). Exploring a model of intuitive eating with college women. *Journal of Counseling Psychology, 53,* 486–497. http://dx.doi.org/10.1037/0022-1067.53.4.486

Avalos, L., Tylka, T. & Wood-Barcalow, N. (2005). The Body Appreciation Scale: Development and psychometric evaluation. *Body* Image, 2, 285–297. http://dx.doi.org/10.1016/j.bodyim.2005.06.002

Baceviciene, M. & Jankauskiene, R. (2021). Changes in sociocultural attitudes towards appearance, body image, eating attitudes and behaviours, physical activity, and

quality of life in students before and during COVID-19 lockdown. *Appetite, 166*. https://doi.org/10.1016/j.appet.2021.105452.

Barnes, M., Abhyankar, P., Dimova, E., & Best, C. (2020). Associations between body dissatisfaction and self-reported anxiety and depression in otherwise healthy men: A systematic review and meta-analysis. PloS one, 15(2), e0229268. https://doi.org/10.1371/journal.pone.0229268

Bastos, I., de Melo, L., Ventura, J., Pereira, M., de Carvalho, R. & Silva, A. (2020) Body image perception and satisfaction in university students. *Revista Brasileira de Cineantropometria & Desempenho Humano, 22*(e70423). https://doi.org/10.1590/1980-0037.2020v22e70423.

Benton, C., & Karazsia, B. (2015). The effect of thin and muscular images on women's body satisfaction. *Body Image, 13*, 22–27. http://dx.doi.org/10.1016/j.bodyim.2014.11.001

Bessenoff, G. (2006). Can the media affect us? Social comparison, self-discrepancy, and the thin ideal. *Psychology of Women Quarterly, 30*(2), 239–251. https://doi.org/10.1111/j.1471-6402.2006.00292.x

Berry, M., Repke, M., Metcalf, A., & Jordan, K. (2020). Promoting healthy decision-making via natural environment exposure: Initial evidence and future directions. *Frontiers in Psychology, 11*(1682). https://doi.org/10.3389/fpsyg.2020.01682

Bissell, K., & Rask, A. (2010). Real women on Real Beauty: Self-discrepancy, internalization of the thin ideal, and perceptions of attractiveness and thinness in Dove's campaign for Real Beauty. *International Journal of Advertising, 29*, 643–668. https://doi.org/10.2501/S0265048710201385

Boepple, L., & Thompson, J. K. (2016). A content analytic comparison of fitspiration and thinspiration websites. *International Journal of Eating Disorders, 49*, 98–101. http://dx.doi.org/10.1002/eat.22403

Botella, L., Ribas, E., y Ruiz, Jesús. (2009). Evaluación Psicométrica de la Imagen Corporal: Validación de la versión española del multidimensional body self

relations questionnaire (MBSRQ). *Revista Argentina de Clínica Psicológica, 25*(3),253-264. ISSN: 0327-6716.

Bowling, J., Basinger, E., & Montanaro, E. A. (2021). "Making Peace" with Bodies and Sexual Selves: Changes during COVID-19 among Adults in the United States. *International Journal of Environmental Research and Public Health*, *18*(21), 11063. MDPI AG. Retrieved from http://dx.doi.org/10.3390/ijerph182111063

Bracale, R., & Vaccaro, C. (2020). Changes in food choice following restrictive measures due to Covid-19. *Nutrition, Metabolism, and Cardiovascular Diseases, 30*, 1423-1426, https://doi.org/10.1016/j.numecd.2020.05.027

Britton, L. E., Martz, D. M., Bazzini, D. G., Curtin, L. A., & Leashomb, A. (2006). Fat talk and self-presentation of body image: Is there a social norm for women to self-degrade? *Body image, 3*(3), 247–254. https://doi.org/10.1016/j.bodyim.2006.05.006

Bryony, D., Turner, M. & Udell, J. (2020). Add a comment … how fitspiration and body positive captions attached to social media images influence the mood and body esteem of young female Instagram users. *Body Image, 33*, 101-105. https://doi.org/10.1016/j.bodyim.2020.02.009.

Butkowski, C. P., Dixon, T. L., & Weeks, K. (2019). Body Surveillance on Instagram: Examining the Role of Selfie Feedback Investment in Young Adult Women's Body Image Concerns. *Sex Roles, 81*(5-6), 385-397. https://doi.org/10.1007/s11199-018-0993-6

Byrne, B. (2011). *Structural Equation Modeling with Mplus Basic Concepts, Applications, and Programming*. New York: Routledge

Cafri, G., Thompson, J., Ricciardelli, L., McCabe, M., Smolak, L., & Yesalis, C. (2005). Pursuit of the muscular ideal: Physical and psychological consequences and putative risk factors. *Clinical Psychology Review, 25*(2), 215–239. https://doi.org/10.1016/j.cpr.2004.09.003

Calogero, R. & Tylka, T. (2010). Fiction, Fashion, and Function: An Introduction to the Special Issue on Gendered Body Image, Part I. *Sex Roles, 63*, 1–5 https://doi.org/10.1007/s11199-010-9821-3

Calogero, R. (2012). Objectification Theory, Self-Objectification, and Body Image. En Cash, T. (Ed.). *Encyclopedia of Body Image and Human Appearance*, 2. San Diego: Academic Press. pp. 574–580.

Calogero, R., & Thompson, J. (2010). Gender and body image. En Chrisler, J. & McCreary, D. (Eds.), *Handbook of gender research in psychology* (pp. 153–184). New York: Springer

Calogero, R., Davis, W. & Thompson, J. (2005). The Role of Self-Objectification in the Experience of Women with Eating Disorders. *Sex Roles 52*, 43–50 (2005). https://doi.org/10.1007/s11199-005-1192-9

Calogero, R., Herbozo, S. & Thompson, J. (2009). Complimentary weightism: The potential costs of appearance-related commentary for women's self-objectification. *Psychology of Women Quarterly, 33*, 120–132. http://dx.doi.org/10.1111/j.1471-6402.2008.01479.x

Calogero, R., Pina, A., Park, L. & Rahemtulla, Z. (2010). Objectification theory predicts college women's attitudes toward cosmetic surgery. *Sex Roles: A Journal of Research, 63*(1-2), 32–41. https://doi.org/10.1007/s11199-010-9759-5

Carrotte, E. R., Prichard, I., & Lim, M. S. C. (2017). "Fitspiration" on social media: A content analysis of gendered images. *Journal of Medical Internet Research, 19*(3) http://dx.doi.org/10.2196/jmir.6368

Cash, T. & Szymanski, M. (1995). The development and validation of the Body-Image Ideals Questionnaire. *Journal of Personality Assessment, 64(3),* 466– 77.

Cash, T. (2000). The Multidimensional Body-Self Relations Questionnaire user's manual Available from the author (3th revision). www.body-images.com

Cash, T. (2002). Cognitive-behavioral perspectives on body image. En Cash, T., Pruzinsky, T. (Ed.). *Body image: a handbook of theory, research, and clinical practice*, 38-46. New York Guilford.

Cash, T. (2015). Multidimensional Body–Self Relations Questionnaire (MBSRQ). En Wade, T. (ed). *Encyclopedia of Feeding and Eating Disorders*. Springer. Singapore. https://doi.org/10.1007/978-981-287-087-2_3-1

Cash, T., Jakatdar, T., & Williams, E. (2004). Body Image Quality of Life Inventory: Further validation with college men and women. *Body Image, 1*(3), 279–287.http://dx.doi.org/10.1016/S1740-1445(03)00023-8

Cash, T., Melnyk, S., & Hrabosky, J. (2004). The assessment of body-image investment: an extensive revision of the appearance schemas inventory. *The International Journal of Eating Disorders, 35*, 305–316. http://dx.doi.org/10.1002/eat.10264

Cash, T., Santos, M., & Williams, E. (2005). Coping with body-image threats and challenges: validation of the Body Image Coping Strategies Inventory. *Journal of Psychosomatic Research, 58*, 191-199. https://doi.org/10.1016/j.jpsychores.2004.07.008

Choma, B., Shove, C., Busseri, M., Sadava, S., & Hosker, A. (2009). Assessing the role of body image coping strategies as mediators or moderators of the links between self-objectification, body shame, and well-being. *Sex Roles, 61*, 699–713. http://dx.doi.org/10.1007/s11199-009-9666-9

Consejo de Desarrollo Científico, Humanístico y Tecnológico (2017). *Código de ética de la investigación de la UCAB.* Universidad Católica Andrés Bello.

Cogan, J., & Ernsberger, P. (2002). Dieting, weight, and health: Reconceptualizing research and policy. *Journal of Social Issues, 55*(2), 187–205. https://doi.org/10.1111/0022-4537.00112

Cohen, R., Fardouly, J., Newton-John, T., & Slater, A. (2019). #BoPo on Instagram: An experimental investigation of the effects of viewing body positive content on young women's mood and body image. *New Media & Society, 21*, 1546–1564. http://dx.doi.org/10.1177/1461444819826530

Cohen, R., Newton-John, T., & Slater, A. (2017). The relationship between Facebook and Instagram appearance-focused activities and body image concerns in young women. *Body image, 23*, 183–187. https://doi.org/10.1016/j.bodyim.2017.10.002

Collier, E. (2020). *Applied Structural Equation Modeling Using AMOS*. New York. Routledge

Cook-Cottone, C. (2013). Dosage as a critical variable in yoga research. International, *Journal of Yoga Therapy*, *23*, 11–12. http://www.iayt.org/?page=AboutIJYT

Cook-Cottone, C. (2015). Incorporating positive body image into the treatment of eating disorders: A model for attunement and mindful self-care. *Body Image, 14*, 158–167. https://doi.org/10.1016/j.bodyim.2015.03.004

Dakanalis, A., Timko, A., Serino, S., Riva, G., Clerici, M., & Carrà, G. (2016). Prospective psychosocial predictors of onset and cessation of eating pathology amongst college women. *European Eating Disorders Review, 24*, 251–256. https://doi.org/10.1002/erv.2433

Dallman M. F. (2010). Stress-induced obesity and the emotional nervous system. *Trends in endocrinology and metabolism*, *21*(3), 159–165. https://doi.org/10.1016/j.tem.2009.10.004

Daniel, S., & Bridges, S. (2010). The drive for muscularity in men: Media influences and objectification theory. *Body Image*, *7*(1), 32-38. https://doi.org/10.1016/j.bodyim.2009.08.003

Davies, B., Turner, M. & Udell, J. (2020). Add a comment … how fitspiration and body positive captions attached to social media images influence the mood and body esteem of young female Instagram users, *Body Image, 33*, 101-105. https://doi.org/10.1016/j.bodyim.2020.02.009.

Davison, T. E., & McCabe, M. P. (2006). Adolescent body image and psychosocial functioning. *Journal of Social Psychology*, *146*(1), 15–30. https://doi.org/10.3200/SOCP.146.1.15-30

Diener, E., Pressman, S. D., Hunter, J., Delgadillo-Chase, D. (2017). If, why, and When Subjective Well-Being Influences Health, and Future Needed Research. *Applied Psychology: Health and Well-Being*, *9*(2), 133–167. https://doi.org/10.1111/aphw.12090

Dittmar, H., Halliwell, E., & Stirling, E. (2009). Understanding the impact of thin media models on women's body-focused affect: The roles of thin-ideal internalization and weight related self-discrepancy activation in experimental exposure effects. *Journal*

*of Social and Clinical Psychology, 28*, 43–72. http://dx.doi.org/10.1521/jscp.2009.28.1.43

Dye, H. (2016). Does Internalizing Society and Media Messages Cause Body Dissatisfaction, in Turn Causing Disordered Eating? *Journal of Evidence-Informed Social Work, 13*(2), 217-227. https://doi.org/10.1080/23761407.2015.1024572

Easton, S., Morton, K., Tappy, Z., Francis, D., & Dennison, L. (2018). Young People's Experiences of Viewing the Fitspiration Social Media Trend: Qualitative Study. *Journal of Medical Internet Research, 20*(6). https://doi.org/10.2196/jmir.9156

Escandón-Nagel, N., Garrido-Rubilar, G., Hernández-Oyarce, F., & Muñoz-Pérez, C. (2021). Impulso por la delgadez y musculatura en mujeres, un estudio transcultural: Comparación entre Chile y España. *Revista chilena de nutrición, 48* (5), 669-677. https://dx.doi.org/10.4067/S0717-75182021000500669

Fardouly, J., & Vartanian, L. R. (2016). Social media and body image concerns: Current research and future directions. *Science Direct, 9*, 1–5. http://dx.doi.org/ 10.1016/j.copsyc.2015.09.005

Fardouly, J., Pinkus, R. T., & Vartanian, L. R. (2017). The impact of appearance comparisons made through social media, traditional media, and in person in women's everyday lives. *Body Image, 20*, 31–39. http://dx.doi.org/10.1016/j. bodyim.2016.11.002

Fardouly, J., Willburger, B. K., & Vartanian, L. R. (2018). Instagram use and young women's body image concerns and self-objectification: Testing mediational pathways. *New Media & Society, 20*(4), 1380–1395. https://doi.org/10.1177/1461444817694499

Feltman, C. E., & Szymanski, D. M. (2017). Instagram use and self-objectification: The roles of internalization, comparison, appearance commentary, and feminism. *Sex Roles: A Journal of Research, 78*(5-6), 311–324. https://doi.org/10.1007/s11199-017-0796-1

Fernandez, S., & Pritchard, M. (2012). Relationships between self-esteem, media influence and drive for thinness. Eating behaviors, 13(4), 321-325. https://doi.org/10.1016/j.eatbeh.2012.05.004

Ferrara, M., Langiano, E., Falese, L., Diotaiuti, P., Cortis, C., & De Vito, E. (2022). Changes in Physical Activity Levels and Eating Behaviours during the COVID-19 Pandemic: Sociodemographic Analysis in University Students. *International Journal of Environmental Research and Public Health*, *19*(9). http://dx.doi.org/10.3390/ijerph19095550

Fitzsimmons, E., & Bardone-Cone, A. (2011). Downward spirals of body surveillance and weight/shape concern among African American and Caucasian college women. *Body Image, 8*, 216–223. http://dx.doi.org/10.1016/j.bodyim.2011.04.003

Frederick, D., Forbes, G., Grigorian, K., & Jarcho, J. M. (2007). The UCLA Body Project I: Gender and ethnic differences in self-objectification and body satisfaction among 2, 206 undergraduates. *Sex Roles, 57*, 317–327. https://doi.org/10.1007/s11199-007-9251-z.

Fredrickson, B., & Roberts, T. (1997). Objectification theory: Toward understanding women's lived experiences and mental health risks. *Psychology of Women Quarterly, 21*, 173–206. http://dx.doi.org/10.1111/j.1471-6402.1997.tb00108.x

Frisén, A., & Holmqvist, K. (2010). What characterizes early adolescents with a positive body image? A qualitative investigation of Swedish girls and boys. *Body Image, 7*, 205–212. http://dx.doi.org/10.1016/j.bodyim.2010.04.001

Garland, E., Fredrickson, B., Kring, A., Johnson, D., Meyer, P. & Penn, D. (2010). Upward spirals of positive emotions counter downward spirals of negativity: Insights from the broaden-and-build theory and affective neuroscience on the treatment of emotional dysfunctions and deficits in psychopathology. Clinical *Psychology Review, 30*, 849–864. http://dx.doi.org/10.1016/j.cpr.2010.03.002

Gilbert, P., Clarke, M., Hempel, S., Miles, J. N., & Irons, C. (2004). Criticizing and reassuring oneself: An exploration of forms, styles and reasons in female

students. *The British journal of clinical psychology*, *43*(Pt 1), 31–50. https://doi.org/10.1348/014466504772812959

Gobin, K. C., Mills, J. S., & McComb, S. E. (2021). The Effects of the COVID-19 Pandemic Lockdown on Eating, Body Image, and Social Media Habits Among Women With and Without Symptoms of Orthorexia Nervosa. *Frontiers in psychology*, *12*, 716998. https://doi.org/10.3389/fpsyg.2021.716998

Grabe, S., Hyde, J., & Lindberg, S. (2007). Body objectification and depression in adolescents: The role of gender, shame, and rumination. *Psychology of Women Quarterly*, 31, 164–175. http://dx.doi.org/10.1111/j.1471-6402.2007.00350.x.

Griffiths, S., & Stefanovski, A. (2019). Thinspiration and fitspiration in everyday life: An experience sampling study. *Body Image, 30*, 135–144. http://dx.doi.org/10.1016/j.bodyim.2019.07.002

Groesz, L., Levine, M., & Murnen, S. (2002). The effect of experimental presentation of thin media images on body satisfaction: A meta-analytic review. *International Journal of Eating Disorders, 31*(1), 1–16. http://dx.doi:10.1002/eat.10005

Guerrero, A., Ramírez, S. (2021). Influencia del uso de las redes sociales, la internalización de los estándares de belleza y la autocosificación en la salud psicológica de mujeres jóvenes [Trabajo de investigación como requisito parcial para obtener el título de Licenciado en Psicología]. Universidad Católica Andrés Bello.

Guglietta, L. y Delgado, C. (2010). Validez de constructo de un modelo de admisión a postgrado. Un análisis de ruta. *Revista Galego-Portuguesa de Psicoloxia e Educación 18(*1), 1138-1663.

Gullo, N. & Walker, C. (2021). Increased videoconferencing after COVID-19 stay-at-home orders increased depression and anxiety but did not impact appearance satisfaction or binge eating. *Computers in Human Behavior Reports, 3*(100080). https://doi.org/10.1016/j.chbr.2021.100080.

Haddad, C., Zakhour, M., Bou Kheir, M., Haddad, R., Al Hachach, M., Sacre, H., & Salameh, P. (2020). Association between eating behavior and

quarantine/confinement stressors during the coronavirus disease 2019 outbreak. *Journal of eating disorders, 8*(40). https://doi.org/10.1186/s40337-020-00317-0

Hair, J., Anderson, R., Tatham, R. y Black, W. (2000). *Análisis multivariante*. Madrid: Prentice Hall.

Hair, J., Black, W., Babin, B., & Anderson, R. (2019). *Multivariate data analysis*. United Kingdon: Cengage

Halliwell, E. (2013). The impact of thin idealized media images on body satisfaction: Does body appreciation protect women from negative effects? *Body Image, 10*(4), 509–514. http://dx.doi.org/10.1016/j.bodyim.2013.07.004

Halliwell, E. (2015). Future directions for positive body image research. *Body Image, 14*, 177-189. https://doi.org/10.1016/j.bodyim.2015.03.0Holmqvist, K., & Frisén, A. (2012). "I bet they aren't that perfect in reality:" Appearance ideals viewed from the perspective of adolescents with a positive body image. *Body Image, 9*, 388–395. http://dx.doi.org/10.1016/j.bodyim.2012.03.007

Hanna, E. Ward, M., Seabrook, R., Jerald, M., Reed, L., Giaccardi, S., & Lippman, J. (2017). Contributions of Social Comparison and Self-Objectification in Mediating Associations Between Facebook Use and Emergent Adults' Psychological Well-Being. *Cyberpsychology, Behavior, and Social Networking, 20*(3), 172-179. http://doi.org/10.1089/cyber.2016.0247

He, L., Yang, N., Xu, L., Ping, F., Li, W., Sun, Q., Li, Y., Zhu, H., & Zhang, H. (2021). Synchronous distance education vs traditional education for health science students: A systematic review and meta-analysis. *Medical Education, 55*(3), https://doi.org/10.1111/medu.14364

Hennigan, K. (2010). Therapeutic potential of time in nature: Implication for body image in women. *Ecopsychology, 2*, 135–140.

Homan, K. (2016). Factor structure and psychometric properties of a state version of the Body Appreciation Scale-2. *Body Image, 19*, 204-207. https://doi.org/10.1016/j.bodyim.2016.10.004.

Homan, K., McHugh, E., Wells, D., Watson, C., & King, C. (2012). The effect of viewing ultra-fit images on college women's body dissatisfaction. *Body Image, 9,* 50–56. http://dx.doi.org/10.1016/j.bodyim.2011.07.006

Hrabosky, J., Cash, T., Veale, D., Neziroglu, F. Soll, E., Garner, M., Strachan-Kinser, B., Bakke, B., Clauss, L., & Phillips, K. (2009). Multidimensional body image comparisons among patients with eating disorders, body dysmorphic disorder, and clinical controls: A multisite study. *Body Image, 6,* 155-163, http://dx.doi.org/10.1016/j.bodyim.2009.03.001

Hughes, E., & Gullone, E. (2011). Emotion regulation moderates relationships between body image concerns and psychological symptomatology. *Body Image, 8,* 224–231. http://dx.doi.org/10.1016/j.bodyim.2011.04.001

Jia, P., Zhang, L., Yu, W., Yu, B., Liu, M., Zhang, D., & Yang, S. (2021). Impact of COVID-19 lockdown on activity patterns and weight status among youths in China: the COVID-19 Impact on Lifestyle Change Survey (COINLICS). *International journal of obesity, 45*(3), 695–699. https://doi.org/10.1038/s41366-020-00710-4

Johnson, F., & Wardle, J. (2005). Dietary restraint, body dissatisfaction, and psychological distress: A prospective analysis. *Journal of Abnormal Psychology, 114*(1), 119–125. https://doi.org/10.1037/0021-843X.114.1.119

Kahalon R., Shnabel. N. y Becker J. (2018). Experimental Studies on State Self-Objectification: A Review and an Integrative Process Model. *Frontier Psychology, 9,* 1- 27. https://doi.org/10.3389/fpsyg.2018.01268

Karazsia, B., y Crowther, J. (2010). Sociocultural and psychological links to men's e*ngagement in risky body change behaviors. Sex Roles: A Journal of Research, 63*(9-10), 747–756. https://doi.org/10.1007/s11199-010-9802-6

Keel, P., Gomez, M., Harris, L., Kennedy, G., Ribeiro, J., & Joiner, T. (2020). Gaining "The Quarantine 15:" Perceived versus observed weight changes in college students in the wake of COVID-19. *International Journal Eating Disorders, 53,* 1801– 1808. https://doi.org/10.1002/eat.23375

Kelly, R., Mitchell, K., Gow, R., Trace, S., Lydecker, J., Bair, C., & Mazzeo, S. (2012). An evaluation of the reliability and construct validity of eating disorder measures in white and black women. *Psychological Assessment, 24*(3), 608–617. https://doi.org/10.1037/a0026457

Kerlinger, F. y Lee, H. (2002). *Investigación del comportamiento*. México DF: McGraw-Hill.

Khan, M. A., & Moverley Smith, J. E. (2020). "Covibesity," a new pandemic. Obesity medicine, 19, 100282. https://doi.org/10.1016/j.obmed.2020.100282

Kling, J., Kwakkenbos, L., Diedrichs, P., Rumsey, N., Frisén, A., Brandão, M., Silva, A., Dooley, B., Rodgers, R., & Fitzgerald, A. (2019). Systematic review of body image measures. *Body image, 30*, 170–211. https://doi.org/10.1016/j.bodyim.2019.06.006

Kroon Van Diest, A., & Tylka, T. (2010). The caregiver eating messages scale: Development and psychometric investigation. *Body Image, 7*, 317–326. http://dx.doi.org/10.1016/j.bodyim.2010.06.002

Layman, H., Keirns, N., & Hawkins, M. (2021). Internalization of body image as a potential mediator of the relationship between body acceptance by others and intuitive eating. *Journal of American College Health*, 1-7. https://doi.org/10.1080/07448481.2021.1947832

Lazarus, R. y Folkman, S. (1986). *Estrés y procesos cognitivos*. Barcelona: Ediciones Martínez Roca.

Lee, E., & Lee, G. (2021). Perceived Exposure and Acceptance Model of Appearance-Related Health Campaigns: Roles of Parents' Healthy-Appearance Talk, Self-Objectification, and Interpersonal Conversations. *Sustainability*, *13*(6), 3445. http://dx.doi.org/10.3390/su13063445

Legault, L & Sago, A. (2022). When body positivity falls flat: Divergent effects of body acceptance messages that support vs. undermine basic psychological needs. *Body Image, 41*, 225-238. https://doi.org/10.1016/j.bodyim.2022.02.013.

León, O. y Montero, I. (1997). *Diseño de investigaciones. Introducción a la lógica de la investigación en Psicología y Educación*. Madrid: McGraw-Hill.

Llorente, E., Gleaves, D., Warren, C., Pérez-de-Eulate, L., & Rakhkovskaya, L. (2015). Translation and validation of a Spanish version of the sociocultural attitudes towards appearance questionnaire-4 (SATAQ-4). *International Journal of Eating, 48*(2), 170-175. https://doi.org/10.1002/eat.22263

Lloret-Segura, Susana, Ferreres-Traver, Adoración, Hernández-Baeza, Ana, & Tomás-Marco, Inés. (2014). El Análisis Factorial Exploratorio de los Ítems: una guía práctica, revisada y actualizada. Anales de Psicología, 30(3), 1151-1169. https://dx.doi.org/10.6018/analesps.30.3.199361

López-Valenciano, A., Suárez-Iglesias, D., Sanchez-Lastra, M. A., Ayán, C. (2021). Impact of COVID-19 Pandemic on University Students' Physical Activity Levels: An Early Systematic Review. *Frontiers in Psychology, 11*(624567). https://doi.org/10.3389/fpsyg.2020.624567

Losada, A. V., & Bidau, C. (2017). Familia y trastornos de la conducta alimentaria. *Revista De Psicología*, *16*, 30–49. https://doi.org/10.24215/2422572Xe004

MacKenzie, R., Duffy, F., Newman, E., Prieto Bravo, C., Huseyin Ates, H., & Sharpe, H. (2021). Changes in body image, eating and exercise during the COVID-19 lockdown: A UK survey. *Appetite, 159*. https://doi.org/10.1016/j.appet.2020.105062.

Madrigal, A. (2013). *Desenterrar el pasado. Introducción al patrimonio arqueológico*. Ministerio de Educación, Cultura y Deporte-Área de Educación. España.

Manago, A., Ward, L., Lemm, K., Reed, L., Seabrook, R. (2015). Facebook Involvement, Objectified Body Consciousness, Body Shame, and Sexual Assertiveness in College Women and Men. *Sex Roles **72,*** 1–14. https://doi.org/10.1007/s11199-014-0441-1

Martin Ginis, K., McEwan, D., Josse, A., & Phillips, S. M. (2012). Body image changein obese and overweight women enrolled in a weight-loss intervention: Theimportance of perceived versus actual physical changes. *Body Image, 9*, 311–317.http://dx.doi.org/10.1016/j.bodyim.2012.04.002

McHugh, T., Coppola, A. & Sabiston, C. (2014). "I'm thankful for being Native and my body is part of that": The body pride experiences of young Aboriginal women in Canada. *Body Image, 11,* 318–327. http://dx.doi.org/10.1016/j.bodyim.2014.05.004

McKinley, N. (2002). Feminist perspectives and objectified body consciousness. En Cash, T., Pruzinsky, T. (Ed.). *Body image: a handbook of theory, research, and clinical practice,* 55-62. New York Guilford.

McKinley, N., & Hyde, J. (1996). The Objectified Body Consciousness Scale: Development and validation. *Psychology of Women Quarterly, 20*(2), 181–215. https://doi.org/10.1111/j.1471-6402.1996.tb00467.x

Melnyk, S. E., Cash, T. F., & Janda, L. H. (2004). Body image ups and downs: Prediction of intra-individual level and variability of women's daily body image experiences. *Body Image, 1*(3), 225-235. https://doi.org/10.1016/j.bodyim.2004.03.003

Meneses, L., Torres, S., Miller, K. & Barbosa, M. (2019). Extending the use of the Body Appreciation Scale -2 in older adults: A Portuguese validation study. *Body Image, 29,* 74-81. https://doi.org/10.1016/j.bodyim.2019.02.011.

Millard, J. (2009). Performing beauty: Dove's 'Real Beauty' campaign. *Symbolic Interaction, 32*(2), 146–168. https://doi.org/10.1525/si.2009.32.2.146

Monro, F. & Huon, G. (2005). Media-portrayed idealized images, body shame, and appearance anxiety. *International Journal of Eating Disorders, 38,* 85–90. doi

Montero, I. y León, O. (2005). Sistema de clasificación del método en los informes de investigación en Psicología. *International Journal of Clinical and Health Psychology, 5*(1), 115-127.

Moradi, B., & Huang, Y. (2008). Objectification Theory and Psychology of Women: A Decade of Advances and Future Directions. *Psychology of Women Quarterly, 32*(4), 377-398. https://doi.org/10.1111/j.1471-6402.2008.00452.x

Moradi, B., & Varnes, J. (2017). Structure of the Objectified Body Consciousness Scale: Reevaluated 20 Years later. *Sex Roles,* 1-13. https://doi.org/10.1007/s11199-016-0731-x

Moradi, B., Dirks, D., & Matteson, A. (2005). Roles of sexual objectification experiences and internalization of standards of beauty in eating disorder symptomatology: A test and extension of objectification theory. *Journal of Counseling Psychology, 52*, 420–428. http://dx.doi.org/10.1037/0022-0167.52.3.420.

Moya-Garófano, A., Megías, J., Rodríguez-Bailón, R. & Moya, M. (2017): Spanish version of the Objectified Body Consciousness Scale (OBCS): results from twosamples of female university students / Versión española de la Objectified Body Consciousness Scale (OBCS): resultados correspondientes a dos muestras de estudiantes universitarias, *Revista de Psicología Social*, 1–15. https://doi.org/10.1080/02134748.2017.1292700

Myers, T., & Crowther, J. (2009). Social comparison as a predictor of body dissatisfaction: A meta-analytic review. *Journal of Abnormal Psychology, 118*(4), 683–698. https://doi.org/10.1037/a0016763

Neff, K. D. (2003). The development and validation of a scale to measure self-compassion. *Self and Identity, 2*, 223–250. https://doi.org/10.1080/15298860390209035

Neira, R., Godinho, F., Rincón, et al. (2021). Consequences of the covid-19 syndemic for nutritional health: A systematic review. *Nutrients, 13*(4), 1-13, https://doi.org/10.3390/nu13041168

Neumark-Sztainer, D., & Eisenberg, M. E. (2014). Body image concerns, muscle-enhancing behaviors, and eating disorders in males. JAMA, 312(20), 2156-2157. https://doi.org/10.1001/jama.2014.5138

Niu, G., Sun, L., Liu, Q., Chai, H., Sun, X., & Zhou, Z. (2019). Selfie-Posting and Young Adult Women's Restrained Eating: The Role of Commentary on Appearance and Self- Objectification. *Sex Roles, 82*, 232-240. https://doi.org/10.1007/s11199-019-01045-9

Odgers, C., & Jensen, M. (2020). Adolescent mental health in the digital age: Facts, fears, and future directions. *Journal of Child and Adolescent Psychiatry, 61,* 336–348. https://doi.org/10.1111/jcpp.13190.

Oh, K., Wiseman, M., Hendrickson, J., Phillips, J., & Hayden, E. (2012). Testing the Acceptance Model of Intuitive Eating with College Women Athletes. *Psychology of Women Quarterly, 36*(1), 88–98. https://doi.org/10.1177/0361684311433282

Organización Mundial de la Salud (11 de julio del 2022). Obesidad y sobrepeso. https://www.who.int/es/news-room/fact-sheets/detail/obesity-and-overweight

Palmer, K., Bschaden, A., & Stroebele-Benschop, N. (2021). Changes in lifestyle, diet, and body weight during the first COVID 19 'lockdown' in a student sample. *Appetite, 167*, 105638. https://doi.org/10.1016/j.appet.2021.105638

Parent, M., & Moradi, B. (2015). Self-objectification and condom use self-efficacy in women university students. *Archives of Sexual Behavior*, 44, 971–981. http://dx.doi.org/10.1007/s10508-014-0384-1.

Pérez, E. y Medrano, L. (2010). Análisis factorial exploratorioBases conceptuales y metodológicas. *Revista Argentina de Ciencias del Comportamiento (RACC), 2*(1). www.psyche.unc.edu.ar/racc

Pérez, E., Medrano, L. A., & Sanchez Rosas, J. (2013). El Path Analysis: conceptos básicos y ejemplos de aplicación. *Revista Argentina De Ciencias Del Comportamiento, 5*(1), 52–66. https://doi.org/10.32348/1852.4206.v5.n1.5160

Posavac, H., Posavac, S. y Posavac, E. (1998). Exposición a imágenes mediáticas del atractivo femenino y la preocupación por el peso corporal entre las mujeres jóvenes. *Sex Roles 38*(3), 187-201.https://doi.org/10.1023/A:1018729015490

Pritchard, A. (2001). Tourism and representation: A scale for measuring gendered portrayals. *Leisure Studies 20*, 79-94. https://doi.org/10.1080/02614360110068651

Raich, R. (2001). *Imagen corporal. Conocer y valorar el propio cuerpo*. Madrid: Ediciones Pirámide.

Raich, R. (2004). Una perspectiva desde la psicología de la salud de la imagen corporal. *Avances en Psicología Latinoamericana, 22*, 15-27.

Register, J., Katrevich, A., Aruguete, M., & Edman, J. (2015). Effects of self-objectification on self-reported eating pathology and depression. *The American*

*Journal of Psychology, 128*(1), 107-113. https://doi.org/10.5406/amerjpsyc.128.1.0107

Reyes-Molina, D., Nazar, G., Cigarrosa, I., Zapata-Lamana, R., Aguilar-Farias, N., Parra-Rizo, M., Albornoz-Guerrero, J. (2022). Comportamiento de la actividad física durante la pandemia de COVID-19 y su asociación con el bienestar subjetivo y la salud mental en estudiantes universitarios de Chile. *Terapia Psicológica, 40*(1). http://dx.doi.org/10.4067/s0718-48082022000100023

Ricciardelli, R., Clow, K. A., & White, P. (2010). Investigating hegemonic masculinity: Portrayals of masculinity in men's lifestyle magazines. *Sex Roles, 63*(1), 67-78.https://doi.org/10.1007/s11199-010-9764-8

Rivero, A., Killoren, S., Kline, G., & Campione-Barr, N. (2022). Negative messages from parents and sisters and Latina college students' body image shame. *Body Image, 42*, 98-109. https://doi.org/10.1016/j.bodyim.2022.05.011.

Rodgers, R. F., Lombardo, C., Cerolini, S., Franko, D. L., Omori, M., Fuller-Tyszkiewicz, M., Linardon, J., Courtet, P., & Guillaume, S. (2020). The impact of the COVID-19 pandemic on eating disorder risk and symptoms. The International journal of eating disorders, 53(7), 1166–1170. https://doi.org/10.1002/eat.23318

Rodgers, R., Paxton, S., & Wertheim, S. (2021). #Take idealized bodies out of the picture: A scoping review of social media content aiming to protect and promote positive body image, *Body Image*, *38*, 10-36. https://doi.org/10.1016/j.bodyim.2021.03.009.

Rodríguez-Marín, J., Pastor, M. y López-Roig, S. (1993). Afrontamiento, apoyo social, calidad de vida y enfermedad. *Psycothema, 5* (1), 349-372.

Rogers, C. B., Webb, J. B., & Jafari, N. (2018). A systematic review of the roles of body image flexibility as correlate, moderator, mediator, and in intervention science (2011–2018). *Body image*, *27*, 43-60. https://doi.org/10.1016/j.bodyim.2018.08.003.

Sabiston, C., Pila, E., Vani, M., & Thogersen-Ntoumani, C. (2019). Body image, physical activity, and sport: A scoping review. Psychology of Sport and Exercise, 42, 48-57. https://doi.org/10.1016/j.psychsport.2018.12.010

Saguy, T., Quinn, D., Dovidio, J. & Pratto, F. (2010). Interacting like a body: objectification can lead women to narrow their presence in social interactions. *Psychology Science, 21*(2), 178–182. https://doi.org/10.1177/0956797609357751

Saiphoo, A. N., & Vahedi, Z. (2019). A meta-analytic review of the relationship between social media use and body image disturbance. Computers in Human Behavior, 101, 259–275. https://doi.org/10.1016/j.chb.2019.07.028

Sandín, B., Valiente, R., García-Escalera, J., y Chorot, P. (2020). Impacto psicológico de la pandemia de COVID-19: Efectos negativos y positivos en población española asociados al periodo de confinamiento nacional. Journal of Psychopathology and Clinical Psychology / *Revista de Psicopatología y Psicología Clínica*, *25*(1), 1-22. https://doi.org/10.5944/rppc.27569

Sandoz, E., Wilson, K., Merwin, R., & Kellum, K. (2013). Assessment of body image flexibility: The Body-Image Acceptance and Action Questionnaire. Journal of Contextual Behavioral Science, 2, 39–48. https://doi.org/10.1016/j.jcbs.2013.03.002

Schaefer, L., Burke, N., Thompson, J., Dedrick, R., Heinberg, L., Calogero, R., Bardone-Cone, A., Higgins, M., Frederick, D., Kelly, M., Anderson, D., Schaumberg, K., Nerini, A., Stefanile, C., Dittmar, H., Clark, E., Adams, Z., Macwana, S., Klump, K. L., Vercellone, A., & Swami, V. (2015). Development and validation of the Sociocultural Attitudes Towards Appearance Questionnaire-4 (SATAQ-4). *Psychological Assessment*, *27*(1), 54–67. https://doi.org/10.1037/a0037917

Schaefer, L., Harriger, J., Heinberg, J., Soderberg, T., yThompson, J. (2016). Development and validation of the sociocultural attitudes towards appearance questionnaire-4-revised (SATAQ-4R). *International Journal of Eating Disorders, 50*(2), 104–117. http://dx.doi.org/10.1002/eat.22590

Schaefer, L., Rodgers, R., Thompson, J. & Griffiths, S. (2021). A test of the tripartite influence model of disordered eating among men, *Body Image, 36*, 172-179, https://doi.org/10.1016/j.bodyim.2020.11.009.

Shang, Y., Xie, H., & Yang, S. (2021). The Relationship Between Physical Exercise and Subjective Well-Being in College Students: The Mediating Effect of Body Image

and Self-Esteem. *Frontiers in Psychology, 12*, 658935. https://doi.org/10.3389/fpsyg.2021.658935

Sicilia, A., Granero-Gallegos, A., Alcaraz-Ibáñez, M., Griffiths, M., Sánchez-Gallardo, I. & Medina-Casaubón, J. (2019). The Development of the Internalization of Sociocultural Body Ideals Scale Using Items From the Sociocultural Attitudes Towards Appearance Questionnaire: Validity, Reliability, and Measurement Invariance Testing. *International Journal of Mental Health and Addiction*. https://doi.org/10.1007/s11469-019-00145-7

Slater, A., & Tiggemann, M. (2010). Body image and disordered eating in adolescent girls and boys: A test of objectification theory. *Sex Roles: A Journal of Research, 63*(1-2), 42–49. https://doi.org/10.1007/s11199-010-9794-2

Smith, A. & Davenport, B. (2012). An Evaluation of Body Image Assessments in Hispanic College Women: The Multidimensional Body- Self Relations Questionnaire and the Appearance Schemas Inventory–Revised. *American Counseling Association, 15*(3), 198-214. https://doi.org/10.1002/j.2161-1882.2012.00016.x

Smolak, L., & Murnen, S. (2010). The sexualization of girls and women as a primary antecedent of self-objectification. In Calogero, R., Tantleff-Dunn, S. & Thompson, J. (Eds.). *Self-objectification in women. Causes, consequences, and counteractions* (53–75). American Psychological Association.

Smolak, L., & Murnen, S. K. (2008). Drive for leanness: Assessment and relationship to gender, gender role and objectification. Body Image, 5(3), 251-260. https://doi.org/10.1016/j.bodyim.2008.03.004

Starick, E., Montemarano, V., & Cassin, S. E. (2021). Coping during COVID-19: The Impact of Cognitive Appraisal on Problem Orientation, Coping Behaviors, Body Image, and Perceptions of Eating Behaviors and Physical Activity during the Pandemic. *International Journal of Environmental Research and Public Health, 18*(21), 11305. MDPI AG. http://dx.doi.org/10.3390/ijerph182111305

Stice, E., & Bearman, S. K. (2001). Body image and eating disturbances prospectively predict increases in depressive symptoms in adolescent girls: A growth curve

analysis. *Developmental Psychology, 37*, 597–607. https://doi.org/10.1037//0012-1649.37.5.597

Stice, E., Ng, J., & Shaw, H. (2010). Risk factors and prodromal eating pathology. *Journal Child Psychology Psychiatry, 51*(4), 518- 525. https://doi.org/10.1111/j.1469-7610.2010.02212.x

Stieger, S., Lewetz, D., & Swami, V. (2021). Emotional well-being under conditions of lockdown: An experience sampling study in Austria during the COVID-19 pandemic. *Journal of Happiness Studies, 22*, 2703–2720. https://doi.org/10.1007/s10902-020-00337-2

Strahan, E., Wilson, A., Cressman, K., & Buote, V. M. (2006). Comparing to perfection: How cultural norms for appearance affect social comparisons and self-image. *Body Image, 3*, 211–227. http://dx.doi.org/10.1016/j.bodyim.2006.07.004

Swami, V., Hadji-Michael, M., & Furnham, A. (2008). Personality and individual difference correlates of positive body image. *Body Image, 5*(3), 322–325. https://doi.org/10.1016/j.bodyim.2008.03.007

Swami, V., Horne, G. & Furnham, A. (2021). COVID-19-related stress and anxiety are associated with negative body image in adults from the United Kingdom. *Personality and Individual Differences, 170*(110426). https://doi.org/10.1016/j.paid.2020.110426.

Swami, V., Laughton, R., Grover, S., & Furnham, A. (2019). Asexuality is inversely associated with positive body image in British adults. *Heliyon 5*(9). https://doi.org/10.1016/j.heliyon.2019.e02452.

Swami, V., Robinson, C. & and Furnham, A. (2022). Positive Rational Acceptance of Body Image Threats Mediates the Association Between Nature Exposure and Body Appreciation**.** *Ecopsychology*, *14*(2) 118-125.http://doi.org/10.1089/eco.2021.0029

Swami, V., Todd, J., Barron, D., Yan, K., Stieger, S., Syahirah, H. & Tylka, T. (2021). The Body Acceptance by Others Scale-2 (BAOS-2): Psychometric properties of a Bahasa Malaysia (Malay) translation and an assessment of invariance across

Malaysia, the United Kingdom, and the United States. *Body Image*, 38, 346-357. https://doi.org/10.1016/j.bodyim.2021.05.009.

Swami, V., Todd, J., Stieger, S., & Tylka, T. (2020). The Body Acceptance by Others Scale: An assessment of its factorial validity in adults from the United Kingdom. *Body Image*, 35, 71-74. https://doi.org/10.1016/j.bodyim.2020.08.006

Thøgersen-Ntoumani, C., Litster, R., Del Casale, T., & Stenling, A. (2022). Is a female physical empowerment campaign effective in improving positive body image, motivation for physical activity, and physical activity behavior in young female adults? A two-study experimental test of "This Girl Can". Body Image, 42, 150-159. https://doi.org/10.1016/j.bodyim.2022.06.001.

Thompson, J., & Schaefer, L. (2019). Thomas F. Cash: A multidimensional innovator in the measurement of body image; some lessons learned and some lessons for the future of the field. *Body Image, 31*, 198-203. http://dx.doi.org/10.1016/j.bodyim.2019.08.006

Thompson, J., & Stice, E. (2001). Thin ideal internalization: Mounting evidence for a new risk factor for body-image disturbance and eating pathology. *Current Directions in Psychological Science, 10*, 181–183. http://dx.doi.org/10.1111/1467-8721.00144

Tiggemann, M. (2011). Positive body image considerations across diverse social identities and special populations. En Daniels, M., Gillen, M, & Markey, H. (Eds). *Body positive: Understanding and improving body image in science and practice*. Cambridge University Press.

Tiggemann, M. (2015). Considerations of positive body image across various social identities and special populations. *Body Imag*e, 14. http://dx.doi.org/10.1016/j.bodyim.2015.03.002

Tiggemann, M. (2019). Relationships that cultivate positive body image through body acceptance. In T. L. Tylka & N. Piran (Eds.). *Handbook of positive body image and embodiment: Constructs, protective factors, and interventions* (pp.214–222). Oxford University Press.

Tiggemann, M., & Barbato, I. (2018). You “look great!” The effect of viewing appearance-related Instagram comments on women’s body image. *Body Image, 27*, 61–66. http://dx.doi.org/10.1016/j.bodyim.2018.08.009

Tiggemann, M., & Miller, J. (2010). The Internet and adolescent girls’ weight satisfaction and drive for thinness. *Sex Roles: A Journal of Research, 63*(1-2), 79–90. https://doi.org/10.1007/s11199-010-9789-z

Tiggemann, M., & Zaccardo, M. (2015). “Exercise to be fit, not skinny”: The effect of fitspiration imagery on women’s body image. Body Image, 15, 61–67. http://dx.doi.org/10.1016/j.bodyim.2015.06.003

Tiggemann, M., & Zaccardo, M. (2018). ‘Strong is the new skinny’: A content analysis of #fitspiration images on Instagram. *Journal of Health Psychology, 23*, 1003–1011. http://dx.doi.org/10.1177/1359105316639436

Tiggemann, M., Coutts, E., & Clark, L. (2014). Belly dance as an embodying activity? A test of the embodiment model of positive body image. *Sex Roles, 71*, 197–207. http://dx.doi.org/10.1007/s11199-014-0408-2

Trekels, J., & Eggermont, S. (2017). Beauty is good: The appearance culture, the internalization of appearance ideals, and dysfunctional appearance beliefs among tweens. *Human Communication Research, 43*(2), 173-192. https://doi.org/10.1111/hcre.12100

Tylka, T. & Calogero, R. (2010). Fiction, Fashion, and Function Revisited: An Introduction to the Special Issue on Gendered Body Image, Part II. *Sex Roles 63*, 601–608 (2010) http://dx.doi.org/10.1007/s11199-010-9888-x

Tylka, T. & Sabik, N. (2010). Integrating social comparison theory and self-esteem within objectification theory to predict women’s disordered eating. *Sex Roles, 63*(1):18-31. https://doi.org/10.1007/s11199-010-9785-3.

Tylka, T. & Wood-Barcalow, N. (2015). What is and what is not positive body image? Conceptual foundations and construct definition. *Body Image, 14*, 118-129. https://doi.org/10.1016/j.bodyim.2015.04.001

Tylka, T. (2011). Refinement of the tripartite influence model for men: Dual body image path ways to body change behaviors. *Body Image, 8*(3), 199-207. https://doi.org/10.1016/j.bodyim.2011.04.008

Tylka, T. (2012). Positive psychology perspectives on body image. In Cash (Ed.). *Encyclopedia of body image and human appearance* (657–663). Elsevier Academic Press.

Tylka, T. L. (2011). Refinement of the tripartite influence model for men: Dual body image pathways to body change behaviors. *Body Image, 8*(3), 199–207. https://doi.org/10.1016/j.bodyim.2011.04.008

Tylka, T. L. (2018). Overview of the field of positive body image. In E. A. Daniels, M. M. Gillen & C. H. Markey (Eds.), *Body positive: Understanding and improving body image in science and practice* (pp. 6–33). Cambridge University Press.

Tylka, T., & Hill, M. (2004). Objectification theory as it relates to disordered eating among college women. *Sex Roles, 51*, 719-730. https://doi.org/10.1007/s11199-004-0721-2

Tylka, T., & Homan, K. (2015). Exercise motives and positive body image in physically active college women and men: Exploring an expanded acceptance model of intuitive eating. *Body Image*, 15, 90–97. https://doi.org/10.1016/j.bodyim.2015.07.003

Tylka, T., & Homan, K. (2015). Exercise motives and positive body image in physically active college women and men: Exploring an expanded acceptance model of intuitive eating. *Body Image,15,* 90-97. https://doi.org/10.1016/j.bodyim.2015.07.003.

Tylka, T., Bergeron, D., & Schwartz, J. (2005). Development and psychometric evaluation of the Male Body Attitudes Scale (MBAS). *Body Image, 2*(2), 161–175. http://dx.doi:10.1016/j.bodyim.2005.03.001.

Urvelyte E. & Perminas A. (2021). Positive Body Image of Female Students: A Predictive Study of the Integrative Body Image Model. *European Scientific Journal, ESJ, 17*(24), 1. https://doi.org/10.19044/esj.2021.v17n24p1

Vall-Roqué, H., Andrés, A., Saldaña, C. (2021). The impact of COVID-19 lockdown on social network sites uses, body image disturbances and self-esteem among adolescent and young women. *Progress in Neuro-Psychopharmacology and Biological Psychiatry*, 110 (110293). https://doi.org/10.1016/j.pnpbp.2021.110293.

Van Luchene, P., & Delens, C. (2021). The Influence of Social Support Specific to Physical Activity on Physical Activity Among College and University Students: A Systematic Review. *Journal of Physical Activity and Health, 18*(6), 737–747. https://doi.org/10.1123/jpah.2020-0713

Vandenbosch, L., & Eggermont, S. (2012). Understanding sexual objectification: A comprehensive approach toward media exposure and girls' internalization of beauty ideals, self-objectification, and body surveillance. *Journal of Communication, 62*, 869–887. http://dx.doi.org/10.1111/j.1460-2466.2012.01667.x

Vandenbosch, L., & Eggermont, S. (2016). The interrelated roles of mass media and social media in adolescents' development of an objectified self-concept: A longitudinal study. *Communication Research, 43*, 1116–1140. http://dx.doi.org/10.1177/0093650215600488

Vangeel, L., Vandesnbosch, L., & Eggermont, S. (2018). The multidimensional self-objectification process from adolescence to emerging adulthood. *Body Image 26*, 60–69. https://doi.org/10.1016/j.bodyim.2018.05.005

Wang, M., Pbert, L., & Lemon, S. (2014). Influence of family, friend and coworker social support and social undermining on weight gain prevention among adults. *Obesity*, *22*(9), 1973–1980. https://doi.org/10.1002/oby.20814

Watson, A., Murnen, S. & College, K. (2019). Gender differences in responses to thin, athletic, and hyper-muscular idealized bodies. *Body Image, 30*, 1-9. https://doi.org/10.1016/j.bodyim.2019.03.010

Webb, J., Butler-Ajibade, P., & Robinson, S. (2014). Considering an affect regulation framework for examining the association between body dissatisfaction and positive body image in Black older adolescent females: Does body mass index matter? *Body Image, 11*(4), 426–437. http://dx.doi.org/10.1016/j.bodyim.2014.07.002

Webb, J., Wood-Barcalow, N., & Tylka, T. (2015). Assessing positive body image: Contemporary approaches and future directions. *Body Image, 14*, 130-145. http://dx.doi.org/10.1016/j.bodyim.2015.03.010

Wiederman, M., & Pryor, T. (2000). Body dissatisfaction, bulimia, and depression among women: The mediating role of drive for thinness. *International Journal of Eating Disorders, 27*(1), 90–95. https://doi.org/10.1002/(SICI)1098-108X(200001)27:1%3C90::AID-EAT10%3E3.0.CO;2-0

Wood-Barcalow, N., Tylka, T., & Augustus-Horvath, C. (2010). "But I like my body": Positive body image characteristics and a holistic model for young-adult women. *Body Image, 7*, 106–116. http://dx.doi.org/10.1016/j.bodyim.2010.01.001

You, S., Shin, K., & Kim, E. K. (2018). The effects of sociocultural pressures and exercise frequency on the body esteem of adolescent girls in Korea. *Journal of Child and Family Studies, 27*(1), 26-33. https://doi.org/10.1007/s10826-017-0866-6

# Anexos

***Anexo 1.*** Características de la muestra

**Sexo**

| | | Frecuencia | Porcentaje | Porcentaje válido | Porcentaje acumulado |
|---|---|---|---|---|---|
| Válido | Mujer | 295 | 57,3 | 57,3 | 57,3 |
| | Hombre | 220 | 42,7 | 42,7 | 100,0 |
| | Total | 515 | 100,0 | 100,0 | |

*Edad*

| | Casos | | | | | |
|---|---|---|---|---|---|---|
| | Válido | | Perdidos | | Total | |
| | N | Porcentaje | N | Porcentaje | N | Porcentaje |
| Edad | 515 | 100,0% | 0 | 0,0% | 515 | 100,0% |

| | | | Estadístico | Desv. Error |
|---|---|---|---|---|
| Edad | Media | | 20,92 | ,151 |
| | 95% de intervalo de confianza para la media | Límite inferior | 20,62 | |
| | | Límite superior | 21,21 | |
| | Media recortada al 5% | | 20,48 | |
| | Mediana | | 20,00 | |
| | Varianza | | 11,713 | |
| | Desv. Desviación | | 3,422 | |
| | Mínimo | | 18 | |
| | Máximo | | 40 | |
| | Rango | | 22 | |
| | Rango intercuartil | | 3 | |
| | Asimetría | | 2,814 | ,108 |
| | Curtosis | | 11,417 | ,215 |

*IMC*

| | Casos | | | | | |
|---|---|---|---|---|---|---|
| | Válido | | Perdidos | | Total | |
| | N | Porcentaje | N | Porcentaje | N | Porcentaje |
| IMC | 484 | 94,0% | 31 | 6,0% | 515 | 100,0% |

| | | | Estadístico | Desv. Error |
|---|---|---|---|---|
| IMC | Media | | 22,8603 | ,18265 |
| | 95% de intervalo de confianza para la media | Límite inferior | 22,5014 | |
| | | Límite superior | 23,2192 | |
| | Media recortada al 5% | | 22,6747 | |
| | Mediana | | 22,2869 | |
| | Varianza | | 16,147 | |
| | Desv. Desviación | | 4,01829 | |
| | Mínimo | | 13,42 | |
| | Máximo | | 35,86 | |
| | Rango | | 22,43 | |
| | Rango intercuartil | | 5,02 | |

| | | | |
|---|---|---|---|
| | Asimetría | ,693 | ,111 |
| | Curtosis | ,387 | ,222 |

*Universidad*

**Estadísticos**

Universidad

| | | |
|---|---|---|
| N | Válido | 515 |
| | Perdidos | 0 |

**Universidad**

| | | Frecuencia | Porcentaje | Porcentaje válido | Porcentaje acumulado |
|---|---|---|---|---|---|
| Válido | Colegio Universitario Jean Piaget | 1 | ,2 | ,2 | ,2 |
| | Instituto de Diseño de Caracas | 1 | ,2 | ,2 | ,4 |
| | Instituto Universitario de Tecnología de Administración Industrial | 1 | ,2 | ,2 | ,6 |
| | Instituto Universitario de Tecnología Industrial Rodolfo Loero Arismendi | 1 | ,2 | ,2 | ,8 |
| | UCAB | 1 | ,2 | ,2 | 1,0 |
| | UCAB Guayana | 33 | 6,4 | 6,4 | 7,4 |
| | UCAB Montalban | 336 | 65,2 | 65,2 | 72,6 |
| | Universidad Bicentenaria de Aragua | 68 | 13,2 | 13,2 | 85,8 |
| | Universidad Católica Santa Rosa | 2 | ,4 | ,4 | 86,2 |
| | Universidad Central de Venezuela | 27 | 5,2 | 5,2 | 91,5 |
| | Universidad Centroccidental Lisandro Alvarado | 1 | ,2 | ,2 | 91,7 |
| | Universidad de Carabobo | 9 | 1,7 | 1,7 | 93,4 |
| | Universidad de los Andes | 2 | ,4 | ,4 | 93,8 |
| | Universidad José Cecilio del Valle | 1 | ,2 | ,2 | 94,0 |
| | Universidad José María Vargas | 1 | ,2 | ,2 | 94,2 |
| | Universidad Metropolitana | 1 | ,2 | ,2 | 94,4 |
| | Universidad Monteávila | 1 | ,2 | ,2 | 94,6 |
| | Universidad Nacional Abierta | 1 | ,2 | ,2 | 94,8 |
| | Universidad Nacional Experimental de la Gran Caracas | 1 | ,2 | ,2 | 95,0 |
| | Universidad Nacional Experimental de las Telecomunicaciones e Informatica | 1 | ,2 | ,2 | 95,1 |
| | Universidad Nacional Experimental Francisco de Miranda | 5 | 1,0 | 1,0 | 96,1 |
| | Universidad Nacional Experimental para el Transporte | 1 | ,2 | ,2 | 96,3 |
| | Universidad Pedagógica Experimental Libertador | 1 | ,2 | ,2 | 96,5 |
| | Universidad Santa María | 15 | 2,9 | 2,9 | 99,4 |
| | Universidad Simón Bolívar | 3 | ,6 | ,6 | 100,0 |
| | Total | 515 | 100,0 | 100,0 | |

Anexo 2. ***Multidimensional Body-Self Relations Questionnaire*** **(MBSRQ; Brown, Cash y Mikulka, 1990; Cash, 2017, 2018;** ***Versión en español*****; Botella, Ribas y Benito, 2009).**

*Instrucciones*

A continuación, encontrará una serie de preguntes acerca de cómo la gente piensa, siente o se comporta. Indique por favor su grado de acuerdo con cada afirmación con respecto a Ud. No hay respuestas verdaderas o falsas. Dé la respuesta que más se ajuste a usted mismo. Use la escala que encontrará al principio del cuestionario para puntuar las afirmaciones. Anote el número en la casilla que se encuentra a la izquierda de cada afirmación. Por favor sea lo más sincero posible. Gracias. Escala de respuesta (1=totalmente en desacuerdo a 5=totalmente de acuerdo).

**EVALUACIÓN**

***Evaluación de la apariencia (7 ítems)***
5. Mi cuerpo es sexualmente atractivo
11. Me gusta mi aspecto tal y cómo es
21. Casi todo el mundo me considera guapo/a
30. Me gusta el aspecto de mi cuerpo sin ropa
39. Me gusta cómo me sienta la ropa
42. No me gusta mi físico
48. No soy físicamente atractivo/a

***Evaluación del estado físico (3 ítems)***
24. Adquiero fácilmente nuevas habilidades físicas
33. No soy bueno en deportes o juegos
51. Me muevo de forma armónica y coordinada

***Evaluación de la Salud (6 ítems)***
7. Controlo mi salud
17. Tengo altibajos inesperados de salud
27. Raramente estoy enfermo
36. De un día a otro no sé cómo se sentirá mi cuerpo
45. A menudo me siento vulnerable a la enfermedad
54. Soy una persona físicamente sana

**ORIENTACIÓN**

***Orientación a la apariencia*** **(12 ítems)**
1. Antes de estar en público siempre compruebo mi aspecto
2. Procuro comprar ropa que me haga mejorar mi aspecto
12. Compruebo mi aspecto en un espejo siempre que puedo
13. Antes de salir invierto mucho tiempo en arreglarme
22. Es importante para mí que mi aspecto sea siempre bueno
23. Uso pocos productos de belleza
31. Soy muy consciente de si no voy bien arreglado/a
32. Me pongo lo que tengo a mano sin fijarme en cómo me sienta
40. No me importa lo que piense la gente de mi apariencia
41. Presto especial atención al cuidado de mi pelo
49. Nunca pienso en mi aspecto
50. Siempre trato de mejorar mi aspecto físico

***Orientación al estado físico (13 ítems)***
3. Podría superar la mayoría de pruebas de estar en buena forma física
4. Para mí es importante tener mucha fuerza
6. No hago ejercicio regularmente
14. Tengo una buena capacidad de resistencia física

15. Participar en deportes no es importante para mí
16. No hago cosas que me mantengan en forma
25. Estar en forma no es una prioridad en mi vida
26. Hago cosas que aumenten mi fuerza física
34. Raramente pienso en mis aptitudes deportivas
35. Me esfuerzo en mejorar mi resistencia física
43. No le doy importancia a mejorar mis habilidades en actividades físicas
44. Trato de estar físicamente activo
53. Hago deporte regularmente a lo largo del año

***Orientación a la salud (8 ítems)***

8. Sé mucho sobre las cosas que afectan a mi salud física
9. He adoptado deliberadamente un estilo de vida saludable
18. Tener buena salud es una de las cosas más importantes para mí
19. No hago nada que pueda ser dañino para mi salud
28. Doy por supuesto que estoy sano (no me preocupo innecesariamente)
29. A menudo leo libros y revistas de salud
38. No me preocupo de llevar una dieta equilibrada
52. Sé mucho sobre cómo estar bien físicamente

***Orientación a la enfermedad (5 ítems)***

37. Si me encuentro mal, no presto mucha atención a los síntomas
46. Presto atención a cualquier signo que indique que puedo estar enfermo
47. Si me encuentro mal por un resfriado o gripe, lo ignoro y trato de seguir igual
55. Soy muy consciente de pequeños cambios en mi salud
56. Al primer signo de enfermedad voy al médico

***Satisfacción de las áreas corporales (9 ítems)***

Use una escala del 1 al 5 para mostrar el grado de satisfacción o insatisfacción con cada una de las partes del cuerpo que aparecen a continuación (1. Muy insatisfecho/a; 2. Bastante insatisfecho/a; 3. Punto medio; 4. Bastante satisfecho/a; 5. Muy satisfecho/a)

61. Cara
62. Pelo
63. Parte inferior del cuerpo (nalgas, muslos, piernas, pies)
64. Parte media del cuerpo (abdomen y estómago)
65. Parte superior del cuerpo (pecho, hombros, brazos)
66. Tono muscular
67. Peso
68. Altura
69. Aspecto general

***Preocupación por el peso corporal (4 ítems)***

10. Me preocupo constantemente de poder llegar a estar gordo/a
20. Soy muy consciente de cambios en mi peso, aunque sean pequeños
57. Estoy a dieta para perder peso

A continuación, marque el número con el que esté más de acuerdo

58. He tratado de perder peso con ayuno o con “dietas milagro”
    1. Nunca
    2. Raramente
    3. A veces
    4. A menudo
    5. Muy a menudo

***Auto clasificación del peso corporal (2 ítems)***

A continuación, marque el número con el que esté más de acuerdo

59. Pienso que estoy
    1. Muy por debajo del peso normal
    2. Algo por debajo del peso normal
    3. Normal
    4. Con sobrepeso
    5. Obeso/a

60. Al mirarme, la mayor parte de la gente piensa que estoy
    1. Muy por debajo del peso normal
    2. Algo por debajo del peso normal
    3. Normal
    4. Con sobrepeso
    5. Obeso/a

***Anexo 3.*** *Datos evaluadores de la validación por juicio de expertos*

| Nombre(s) y apellidos | Título(s) obtenido(s) | Ocupación y años de experiencia en el área | Instrumento evaluado |
|---|---|---|---|
| Eugenia Csoban | Doctorado en Psicología | Docente-Investigador, 25 años de experiencia | OBCS, BICSI-PRA, ISBIS |
| Purificación Prieto Rodríguez | Licenciada en Psicología, Magister Scientiarum en Psicología (Mención Análisis Conductual) | Psicóloga en libre ejercicio, Docente Universitaria | OBCS, BICSI-PRA, ISBIS |
| Yolanda Cañoto | Doctora en Psicología | Profesor investigador, 30 años de experiencia | OBCS, BICSI-PRA, ISBIS |
| Zoraide Lugli | Magister en Psicología | Psicólogo clínico. Profesor universitario por más de 15 años | MBSRQ, BAOS |
| Eleonora Vivas Peñalver | Lic. en Psicología; M.Phil en Psicología; Ph D en Psicología. | Docente - 47 años | MBSRQ, BAOS |
| Gustavo Adolfo La Fontaine Garcia | Licenciado en Psicología | Docente. 9 años | MBSRQ, BAOS |

***Anexo 4.*** *Modificaciones en los instrumentos de recolección de datos a partir de la validación de contenido*

*Objetified Body Consciousness Scale* (OBCS; McKinley y Hyde, 1996; versión en español de Moya-Garófano et al. 2017)

| *Instrucciones* | |
|---|---|
| Versión original | Versión adaptada |
| A continuación, indica el grado en que estás de acuerdo con cada una de las afirmaciones.<br><br>Marca N/A solamente en el caso de que la afirmación no sea aplicable a ti. Si no estás de acuerdo con la afirmación, entonces marca en desacuerdo, pero no N/A. Por ejemplo, si la afirmación dice "Cuando estoy contento/a, me dan ganas de cantar", y a ti no te dan ganas de cantar cuando estás contento/a, entonces deberías marcar una de las opciones de desacuerdo. Sólo marcarías N/A si nunca hubieras estado contento/a | Indique el grado en que está de acuerdo con cada una de las afirmaciones |
| *Escala de respuesta* | |
| (1-7) (1=Totalmente desacuerdo hasta 7=totalmente desacuerdo) con opción N/A=No aplica | (1=totalmente en desacuerdo hasta 7=totalmente de acuerdo) |
| *Ítems* | |
| 2. Cuando no puedo controlar mi peso, siento que algo va mal en mí | 2. Cuando no puedo controlar mi peso, siento que algo malo me pasa |
| 5. Me siento avergonzada de mí misma cuando no me esfuerzo por tener la mejor apariencia posible | 5. Me siento avergonzado/a de mí mismo/a cuando no me esfuerzo por tener la mejor apariencia posible |
| 12. Realmente no pienso que tenga mucho control sobre mi apariencia corporal | 12. Realmente pienso que no tengo mucho control sobre mi apariencia corporal |
| 20.Me preocupo más de lo que puedo hacer con mi cuerpo que del aspecto que tiene | 20. Me preocupo más por lo que puedo hacer con mi cuerpo que del aspecto que tiene |
| 22. Me siento avergonzada cuando no tengo la talla de ropa que debería | 22. Me siento avergonzado/a cuando no tengo la talla de ropa que debería |

| Body Acceptance by Others Scale (BAOS; Avalos y Tylka 2006) | |
|---|---|
| *Instrucciones* | |
| *Versión original* | *Versión adaptada* |
| For each item, please circle the response that best captures your own experience | Para cada afirmación, indique la opción que mejor se ajuste a su propia experiencia |
| *Escala de respuesta* | |
| (1-5) (Never-Rarely-Sometimes-Often-Always) | (1 = Nunca hasta 5= Siempre) |
| *Ítems* | |
| 1. I have felt acceptance from my friends regarding my body shape and/or weight/He sentido aceptación de mis amigos con respecto a la forma y/o peso de mi cuerpo | 1.He sentido que mis amigos aceptan la forma o peso de mi cuerpo |
| 2. My friends have sent me the message that my body shape and weight are fine/Mis amigos me han transmitido el mensaje que refleja que la forma y el peso de mi cuerpo están bien | 2.Mis amigos me dan a entender que la forma o el peso de mi cuerpo están bien |
| 3. I've felt acceptance from my family regarding my body shape and/or weight/He sentido aceptación de mi familia con respecto a la forma y/o peso de mi cuerpo | 3.He sentido que mi familia acepta la forma o peso de mi cuerpo |
| 4. My family has sent me the message that my body shape and weight are fine/Mi familia me ha transmitido el mensaje que refleja que la forma y el peso de mi cuerpo están bien. | 4.Mi familia me da a entender que la forma o el peso de mi cuerpo están bien |
| 5. I've felt acceptance from people I've dated regarding my body shape and/or weight/He sentido aceptación de mi(s) pareja(s) con respecto a la forma y/o peso de mi cuerpo. | 5.He sentido que mi pareja o las personas con las que he tenido una relación aceptan la forma o peso de mi cuerpo |
| 6. People I've dated have sent me the message that my body shape and weight are fine/Mi(s) pareja(s) me ha(n) transmitido el mensaje que refleja que la forma y el peso de mi cuerpo están bien. | 6.Mi pareja o las personas con las que he tenido una relación me dan a entender que la forma y el peso de mi cuerpo están bien |
| 7. I've felt acceptance from the media (e.g., TV, magazines) regarding my body shape and/or weight/He sentido aceptación de los medios de comunicación (por ejemplo, televisión, revistas) con respecto a la forma y/o peso de mi cuerpo. | 7.He sentido que los medios de comunicación (TV, cine) o las redes sociales (Instagram, Facebook) aceptan la forma o el peso del cuerpo similar al mío |
| 8. I feel that the media have sent me the message that my body shape and weight are fine/Siento que los medios de comunicación me han | 8.Siento que los medios de comunicación (TV, cine) o las |

| | |
|---|---|
| transmitido el mensaje que refleja que la forma y el peso de mi cuerpo están bien. | redes sociales (Instagram, Facebook) transmiten el mensaje de que la forma y el peso de mi cuerpo están bien |
| 9. I've felt acceptance from society (e.g., school, social settings) regarding my body shape and/or weight/He sentido aceptación de la sociedad (por ejemplo, escuela, entornos sociales) con respecto a la forma y/o peso de mi cuerpo. | 9.Me siento aceptado por la sociedad (universidad, entornos sociales) con respecto a la forma o peso de mi cuerpo |
| 10. I feel that society has sent me the message that my body shape and weight are fine/Siento que la sociedad me ha transmitido el mensaje que refleja que la forma y el peso de mi cuerpo están bien. | 10.Siento que la sociedad transmite el mensaje de que la forma y el peso de mi cuerpo están bien |
| Body Image Coping Strategies Inventory- Positive Rational Acceptance (BICSI-PRA; Cash, 1999; Cash, Santos y Fleming 2005; versión en español de Ruiz y Sánchez, 2019) | |
| *Instrucciones* | |
| La imagen corporal se refiere a cómo pensamos, sentimos y actuamos según nuestra apariencia física. En el curso de la vida cotidiana, hay situaciones o eventos que pueden afectar negativamente nuestra imagen corporal, ya que amenazan o desafían nuestra capacidad para sentirnos bien con nuestra apariencia. Las personas suelen actuar de forma distinta para hacer frente o lidiar con estas amenazas o desafíos. A continuación, se presentan una serie de enunciados que representan formas en que se puede hacer frente ante amenazas o desafíos a la imagen corporal. Para cada enunciado, piense que tan característico o parecido de cómo usted probablemente afrontaría la situación que represente una amenaza o desafío a los pensamientos o sentimiento de su imagen corporal. Usando la escala de respuesta (desde 1=Definitivamente NO como yo a 4=Definitivamente como yo), indique que tan característico cada forma de afrontamiento describe lo que usted hace o haría ante la situación descrita. No hay respuestas correctas ni incorrectas. No importa cuán útiles o inútiles sean las formas de afrontar la situación. No responda en función de cómo desearía sino como habitualmente usted lo haría. Sólo sea honesto. | Ante cada afirmación, indica cómo afrontas las críticas a tu cuerpo (o comentarios negativos hacia tu cuerpo). |
| *Escala de respuesta* | |
| (1-4) 1=definitivamente no como yo hasta 4=definitivamente como yo | (1-4) 1=No se parece a mí en nada hasta 4= Muy parecido a mí |

| *Ítems* | |
|---|---|
| 10. Reacciono siendo muy paciente conmigo mismo | 10. Reacciono siendo muy paciente conmigo |
| 6. Intento entender por qué me siento desafiado o amenazado por la situación | 6. Intento entender por qué me siento desafiado/a o amenazado/a por la situación |
| *Internalization of Sociocultural Body Ideals Scale – ISBIS (Dimensión del Sociocultural Attitudes Towards Appearance Questionnaire-4/SATAQ-4 (Shaefer et al., 2015; versión en español de Llorente et al., 2015)* | |
| *Instrucciones* | |
| Versión original (idioma inglés)<br><br>Please read each of the following items carefully and indicate the number that best reflects your agreement with the statement<br><br>Traducción al idioma español:<br><br>Por favor, lea cuidadosamente cada uno de siguientes ítems e indique el número que mejor refleje su acuerdo con la afirmación | Indique el número que mejor refleje su acuerdo con la afirmación |
| *Ítem* | |
| 8. Quiero que mi cuerpo parezca muy magro (con muy poca grasa corporal) | Ítem eliminado.<br><br>Ítem semejante al ítem 4: "Quiero que mi cuerpo parezca que tiene poca grasa". |
| *Multidimensional Body-Self Relations Questionnaire (MBSRQ; Brown, Cash & Mikulka, 1990; Cash, 2017, 2018; Versión en español; Botella, Ribas y Benito, 2009)* | |
| Instrucciones | |
| *A seguir, las instrucciones propuestas por los autores de la versión en español*<br><br>A continuación, encontrará una serie de preguntes acerca de cómo la gente piensa, siente o se comporta.<br><br>Indique por favor su grado de acuerdo con cada afirmación con respecto a Vd. No hay respuestas verdaderas o falsas. Dé la respuesta que más se ajuste a usted mismo. Use la escala que encontrará al principio del cuestionario para puntuar las afirmaciones. Anote el número en la casilla que se encuentra a la izquierda de cada afirmación. Por favor sea lo más sincero posible. Gracias.<br><br>*A continuación, las instrucciones con algunas modificaciones para la* | A continuación, encontrará una serie de enunciados acerca de cómo piensan, sienten o se comportan las personas respecto a su cuerpo (inicio instrumento). |

| *versión en línea del instrumento* | |
|---|---|
| A continuación, encontrará una serie de preguntas acerca de cómo la gente piensa, siente o se comporta.<br><br>Indique su grado de acuerdo con cada afirmación con respecto a usted. No hay respuestas verdaderas o falsas. Dé la respuesta que más se ajuste a usted mismo. Use la escala que se encuentra a la derecha de CADA AFIRMACIÓN para puntuar las afirmaciones. Por favor, sea lo más sincero posible. Gracias. | Indique su grado de acuerdo o desacuerdo con los enunciados en función de cuánto se ajustan a usted (Ítems 1-57) |
| A continuación, marque el número con el que esté más de acuerdo (ítems 58-59) | |
| Use una escala del 1 al 5 para mostrar el grado de satisfacción con cada una de las partes del cuerpo que aparecen a continuación (ítems 61-69) | Indique el grado que mejor se ajuste a usted (ítems 58-59) |
| | Indique el grado de insatisfacción o satisfacción con cada una de las partes del cuerpo (ítems 61-69) |

| *Ítems* | |
|---|---|
| 3. Podría superar la mayoría de pruebas de estar en buena forma física | 3. Podría superar la mayoría de las pruebas de resistencia estar en buena forma física |
| 6. No hago ejercicio regularmente | 6.Hago ejercicio regularmente |
| 14. Tengo una buena capacidad de resistencia física | 14. Tengo una buena resistencia física |
| 15. Participar en deportes no es importante para mí | 15. Participar en deportes es importante para mí |
| 16. No hago cosas que me mantengan en forma | 16. Hago actividades que me mantengan en forma |
| 21. Casi todo el mundo me considera guapo/a | 21. Casi todo el mundo me considera atractivo/a |
| 22. Es importante para mí que mi aspecto sea siempre bueno | 22. Es importante para mí tener siempre un buen aspecto |

| | |
|---|---|
| 24. Adquiero fácilmente nuevas habilidades físicas | 24. Aprendo fácilmente nuevas habilidades físicas |
| 28. Doy por supuesto que estoy sano (no me preocupo innecesariamente) | 28. Doy por supuesto que estoy sano/a (no me preocupo innecesariamente) |
| 29. A menudo leo libros y revistas de salud | 29.A menudo leo libros, revistas o páginas web de salud |
| 31. Soy muy consciente de si no voy bien arreglado/a | 31. Soy muy consciente si no estoy bien arreglado/a |
| 32. Me pongo lo que tengo a mano sin fijarme en cómo me sienta | 32. Me pongo lo que tengo a mano sin importar cómo me queda |
| 33. No soy bueno en deportes o juegos | 33. Soy bueno/a en deportes o actividades físicas |
| 36. De un día a otro no sé cómo se sentirá mi cuerpo | 36. De un día a otro no sé cómo voy a sentirme físicamente |
| 38. No me preocupo de llevar una dieta equilibrada | 38. Me preocupo de llevar una dieta equilibrada |
| 39. Me gusta cómo me sienta la ropa | 39. Me gusta cómo me queda la ropa |
| 41. Presto especial atención al cuidado de mi pelo | 41. Presto especial atención al cuidado de mi cabello |
| 42. No me gusta mi físico | 42. Me gusta mi físico |
| 43. No le doy importancia a mejorar mis habilidades en actividades físicas | 43. Me importa mejorar mis habilidades en actividades físicas |
| 62. Pelo | 62. Cabello |

***Anexo 5.*** Multidimensional Body-Self Relations Questionnaire *(MBSRQ; Brown, Cash y Mikulka, 1990; Cash, 2017, 2018; Botella et al., 2009; versión validada en la presente investigación).*

*Instrucciones:* Indique su grado de acuerdo o desacuerdo con los enunciados en función de cuánto se ajustan a usted (desde 1=Totalmente en desacuerdo hasta 5=totalmente de acuerdo).

[1.Antes de estar en público siempre compruebo mi aspecto]
[2.Procuro comprar ropa que me haga mejorar mi aspecto]
[3.Podría superar la mayoría de las pruebas de resistencia de estar en buena forma física]
[4.Para mí es importante tener mucha fuerza física]
[5.Mi cuerpo es sexualmente atractivo]
[6.Hago ejercicio regularmente]
[7.Controlo mi salud]
[8.Sé mucho sobre las cosas que afectan a mi salud física]
[9.He adoptado deliberadamente un estilo de vida saludable]
[10.Me preocupo constantemente de poder llegar a estar gordo/a]
[11.Me gusta mi aspecto tal y cómo es]
[12.Compruebo mi aspecto en un espejo siempre que puedo]
[13.Antes de salir invierto mucho tiempo en arreglarme]
[14.Tengo una buena resistencia física]
[15.Participar en deportes es importante para mí]
[16.Hago actividades que me mantengan en forma]
[17.Tengo altibajos inesperados de salud]
[18.Tener buena salud es una de las cosas más importantes para mí]
[19.No hago nada que pueda ser dañino para mi salud]
[20.Soy muy consciente de cambios en mi peso aunque sean pequeños]
[21.Casi todo el mundo me considera atractivo/a]
[22.Es importante para mí tener siempre un buen aspecto]
[23.Uso pocos productos de belleza]
[24.Aprendo fácilmente nuevas habilidades físicas]
[25.Estar en forma no es una prioridad en mi vida]
[26.Hago actividades que aumenten mi fuerza física]
[27.Raramente estoy enfermo/a]
[28.Doy por supuesto que estoy sano/a (no me preocupo innecesariamente)]
[29.A menudo leo libros, revistas o páginas web de salud]
[30.Me gusta el aspecto de mi cuerpo sin ropa]
[31.Soy muy consciente si no estoy bien arreglado/a]
[32.Me pongo lo que tengo a mano sin importar cómo me queda]
[33.Soy bueno/a en deportes o actividades físicas]
[34.Raramente pienso en mis aptitudes deportivas]
[35.Me esfuerzo en mejorar mi resistencia física]
[36.De un día a otro no sé cómo voy a sentirme físicamente]
[37.Si me siento mal, no presto mucha atención a los síntomas]
[38.Me preocupo por tener una dieta equilibrada]
[39.Me gusta cómo me queda la ropa]
[40.No me importa lo que piense la gente de mi apariencia]
[41.Presto especial atención al cuidado de mi cabello]
[42.Me gusta mi físico]
[43.Me importa mejorar mis habilidades en actividades físicas]
[44.Trato de estar físicamente activo/a]
[45.A menudo me siento vulnerable a la enfermedad]
[46.Presto atención a cualquier signo que indique que puedo estar enfermo]
[47.Si me encuentro mal por un resfriado o gripe, lo ignoro y trato de seguir igual]

[48.Soy físicamente atractivo/a]
[49.Nunca pienso en mi aspecto]
[50.Siempre trato de mejorar mi aspecto físico]
[51.Me muevo de forma armónica y coordinada]
[52.Sé mucho sobre cómo estar bien físicamente]
[53.Hago deporte regularmente a lo largo del año]
[54.Soy una persona físicamente sana]
[55.Soy muy consciente de pequeños cambios en mi salud]
[56.Al primer signo de enfermedad voy al médico]
[57.Estoy a dieta para perder peso]
[58.He tratado de perder peso con ayuno o con "dietas milagro" ]
[59.Pienso que estoy:]
[60.Al mirarme, la mayor parte de la gente piensa que estoy:]
[61.Cara]
[62.Cabello]
[63.Parte inferior del cuerpo (nalgas, muslos, piernas, pies)]
[64.Parte media del cuerpo (abdomen y estómago)]
[65.Parte superior del cuerpo (pecho, hombros, brazos)]
[66.Tono muscular]
[67.Peso]
[68.Altura]
[69.Aspecto general]

***Anexo 6.*** Alfa de Cronbach y las correlaciones ítems-total del MBSRQ

*Confiabilidad MBSRQ factor EA*

Estadísticas de confiabilidad de la escala frecuente

| Estimar | Cronbach's α |
|---|---|
| Estimación por punto | 0.918 |
| IC del 95% límite inferior | 0.906 |
| IC del 95% límite superior | 0.928 |

Estadísticas de confiabilidad de ítems individuales frecuentes

| | si se elimina el ítem | |
|---|---|---|
| Ítem | Cronbach's α | Correlación del elemento con el resto |
| MBRSQ5 | 0.910 | 0.703 |
| MBRSQ11 | 0.909 | 0.705 |
| MBRSQ21 | 0.914 | 0.657 |
| MBRSQ30 | 0.900 | 0.794 |
| MBRSQ39 | 0.910 | 0.694 |
| MBRSQ42 | 0.896 | 0.836 |
| MBRSQ48 | 0.896 | 0.837 |

*Confiabilidad MBSRQ factor OA*

Estadísticas de confiabilidad de la escala frecuente

| Estimar | Cronbach's α |
|---|---|
| Estimación por punto | 0.786 |
| IC del 95% límite inferior | 0.758 |
| IC del 95% límite superior | 0.812 |

Estadísticas de confiabilidad de ítems individuales frecuentes

| | si se elimina el ítem | |
|---|---|---|
| Ítem | Cronbach's α | Correlación del elemento con el resto |
| MBRSQ1 | 0.756 | 0.595 |
| MBRSQ2 | 0.761 | 0.554 |
| MBRSQ12 | 0.755 | 0.580 |
| MBRSQ13 | 0.750 | 0.620 |
| MBRSQ22 | 0.755 | 0.611 |
| MBRSQ23 | 0.811 | 0.073 |
| MBRSQ31 | 0.773 | 0.412 |
| MBRSQ32 | 0.779 | 0.351 |
| MBRSQ40 | 0.795 | 0.208 |
| MBRSQ41 | 0.772 | 0.424 |
| MBRSQ49 | 0.774 | 0.397 |
| MBRSQ50 | 0.768 | 0.462 |

*Nota.* Los siguientes ítems fueron escalados en forma inversa: MBRSQ23, MBRSQ32, MBRSQ40, MBRSQ49.

*Confiabilidad MBSRQ factor EEF*

Estadísticas de confiabilidad de la escala frecuente

| Estimar | Cronbach's α |
|---|---|
| Estimación por punto | 0.708 |
| IC del 95% límite inferior | 0.661 |
| IC del 95% límite superior | 0.749 |

Estadísticas de confiabilidad de ítems individuales frecuentes

| | si se elimina el ítem | |
|---|---|---|
| Ítem | Cronbach's α | Correlación del elemento con el resto |
| MBRSQ24 | 0.488 | 0.628 |
| MBRSQ33 | 0.606 | 0.537 |
| MBRSQ51 | 0.731 | 0.425 |

*Nota.* Fallaron los estadísticos del elemento Omega eliminado con CFA.

*Confiabilidad MBSRQ factor OEF*

Estadísticas de confiabilidad de la escala frecuente

| Estimar | Cronbach's α |
|---|---|
| Estimación por punto | 0.897 |
| IC del 95% límite inferior | 0.884 |
| IC del 95% límite superior | 0.909 |

Estadísticas de confiabilidad de ítems individuales frecuentes

| | si se elimina el ítem | |
|---|---|---|
| Ítem | Cronbach's α | Correlación del elemento con el resto |
| MBRSQ3 | 0.892 | 0.552 |
| MBRSQ4 | 0.893 | 0.513 |
| MBRSQ6 | 0.882 | 0.748 |
| MBRSQ14 | 0.885 | 0.691 |
| MBRSQ15 | 0.887 | 0.653 |
| MBRSQ16 | 0.878 | 0.823 |
| MBRSQ25 | 0.912 | 0.076 |
| MBRSQ26 | 0.882 | 0.754 |
| MBRSQ34 | 0.914 | 0.027 |
| MBRSQ35 | 0.880 | 0.791 |
| MBRSQ43 | 0.884 | 0.710 |
| MBRSQ44 | 0.882 | 0.756 |
| MBRSQ53 | 0.883 | 0.731 |

*Nota.* Los siguientes ítems fueron escalados en forma inversa: MBRSQ25, MBRSQ34.

*Confiabilidad factor ES*

Estadísticas de confiabilidad de la escala frecuente

| Estimar | Cronbach's α |
|---|---|
| Estimación por punto | 0.622 |
| IC del 95% límite inferior | 0.568 |

Estadísticas de confiabilidad de la escala frecuente

| Estimar | Cronbach's α |
|---|---|
| IC del 95% límite superior | 0.671 |

Estadísticas de confiabilidad de ítems individuales frecuentes

| Ítem | si se elimina el ítem Cronbach's α | Correlación del elemento con el resto |
|---|---|---|
| MBRSQ7 | 0.616 | 0.248 |
| MBRSQ17 | 0.545 | 0.431 |
| MBRSQ27 | 0.564 | 0.387 |
| MBRSQ36 | 0.607 | 0.283 |
| MBRSQ45 | 0.548 | 0.429 |
| MBRSQ54 | 0.582 | 0.346 |

*Nota.* Los siguientes ítems fueron escalados en forma inversa: MBRSQ17, MBRSQ36, MBRSQ45.

*Confiabilidad MBSRQ factor OS*

Estadísticas de confiabilidad de la escala frecuente

| Estimar | Cronbach's α |
|---|---|
| Estimación por punto | 0.739 |
| IC del 95% límite inferior | 0.705 |
| IC del 95% límite superior | 0.770 |

*Nota.* El siguiente ítem se correlacionó negativamente con la escala: MBRSQ28.

Estadísticas de confiabilidad de ítems individuales frecuentes

| Ítem | si se elimina el ítem Cronbach's α | Correlación del elemento con el resto |
|---|---|---|
| MBRSQ8 | 0.691 | 0.549 |
| MBRSQ9 | 0.665 | 0.658 |
| MBRSQ18 | 0.706 | 0.479 |
| MBRSQ19 | 0.718 | 0.405 |
| MBRSQ28 | 0.813 | -0.132 |
| MBRSQ29 | 0.709 | 0.452 |
| MBRSQ38 | 0.680 | 0.595 |
| MBRSQ52 | 0.683 | 0.581 |

*Nota.* El siguiente ítem fue escalado en forma inversa: MBRSQ28.

*Confiabilidad MBSRQ factor OE*

Estadísticas de confiabilidad de la escala frecuente

| Estimar | Cronbach's α |
|---|---|
| Estimación por punto | 0.575 |
| IC del 95% límite inferior | 0.513 |
| IC del 95% límite superior | 0.631 |

Estadísticas de confiabilidad de ítems individuales frecuentes

| Ítem | si se elimina el ítem Cronbach's α | Correlación del elemento con el resto |
|---|---|---|
| MBRSQ37 | 0.550 | 0.279 |
| MBRSQ46 | 0.426 | 0.492 |
| MBRSQ47 | 0.574 | 0.239 |
| MBRSQ55 | 0.557 | 0.261 |
| MBRSQ56 | 0.474 | 0.413 |

*Nota.* Los siguientes ítems fueron escalados en forma inversa: MBRSQ37, MBRSQ47.

*Confiabilidad MBSRQ factor SAC*

Estadísticas de confiabilidad de la escala frecuente

| Estimar | Cronbach's α |
|---|---|
| Estimación por punto | 0.864 |
| IC del 95% límite inferior | 0.845 |
| IC del 95% límite superior | 0.881 |

Estadísticas de confiabilidad de ítems individuales frecuentes

| Ítem | si se elimina el ítem Cronbach's α | Correlación del elemento con el resto |
|---|---|---|
| MBRSQ61 | 0.854 | 0.546 |
| MBRSQ62 | 0.862 | 0.449 |
| MBRSQ63 | 0.845 | 0.635 |
| MBRSQ64 | 0.848 | 0.605 |
| MBRSQ65 | 0.839 | 0.699 |
| MBRSQ66 | 0.848 | 0.610 |
| MBRSQ67 | 0.845 | 0.639 |
| MBRSQ68 | 0.869 | 0.385 |
| MBRSQ69 | 0.832 | 0.808 |

*Confiabilidad MBSRQ factor PP*

Estadísticas de confiabilidad de la escala frecuente

| Estimar | Cronbach's α |
|---|---|
| Estimación por punto | 0.706 |
| IC del 95% límite inferior | 0.662 |
| IC del 95% límite superior | 0.745 |

Estadísticas de confiabilidad de ítems individuales frecuentes

| Ítem | si se elimina el ítem Cronbach's α | Correlación del elemento con el resto |
|---|---|---|
| MBRSQ10 | 0.592 | 0.567 |
| MBRSQ20 | 0.722 | 0.361 |
| MBRSQ57 | 0.607 | 0.548 |

Estadísticas de confiabilidad de ítems individuales frecuentes

| Ítem | si se elimina el ítem<br>Cronbach's α | Correlación del elemento con el resto |
|---|---|---|
| MBRSQ58 | 0.637 | 0.512 |

*Confiabilidad MBSRQ factor ACP*

Estadísticas de confiabilidad de la escala frecuente

| Estimar | Cronbach's α |
|---|---|
| Estimación por punto | 0.807 |
| IC del 95% límite inferior | 0.771 |
| IC del 95% límite superior | 0.838 |

Estadísticas de confiabilidad de ítems individuales frecuentes

| Ítem | Correlación del elemento con el resto |
|---|---|
| MBRSQ59 | 0.679 |
| MBRSQ60 | 0.679 |

***Anexo 7.*** *Body Image Coping Strategies Inventory (BICSI; Cash, 1999; Cash et al., 2005).*

*Instrucciones*: La imagen corporal se refiere a cómo pensamos, sentimos y actuamos según nuestra apariencia física. En el curso de la vida cotidiana, hay situaciones y sucesos que pueden afectar negativamente nuestra imagen corporal. Estas situaciones y sucesos se denominan amenazas o desafíos a la imagen corporal ya que pueden amenazar o desafiar nuestra capacidad de tener sentimientos, pensamientos y comportamientos positivos respecto nuestra imagen corporal. Las personas suelen actuar de forma distinta para hacer frente o lidiar estas amenazas o desafíos. A continuación, se presentan una serie de enunciados que representan formas en que se puede hacer frente ante las amenazas o desafíos a la imagen corporal. Para cada enunciado, piense que tan característico o parecido de cómo usted probablemente afrontaría la situación o evento que represente una amenaza o desafío a los pensamientos o sentimiento de su imagen corporal. Usando la escala de respuesta (desde 0=Nada parecido a 3=Muy parecido), indique que tan característico cada forma de afrontamiento describe lo que usted hace o haría ante la situación descrita. No hay respuestas incorrectas, sólo se le pide sinceridad en la respuesta.

***Arreglo de la apariencia***

20. Hago algo para tratar de parecer más atractiva(o)
1. Paso mucho tiempo tratando de arreglar lo que no me gusta de mi apariencia
11. Pienso en lo que debería hacer para cambiar mi apariencia
6. Comparo mi apariencia con las personas físicamente atractivas
3. Hago un esfuerzo especial para esconder o encubrir lo problemático de mi apariencia
14. Hago un esfuerzo especial para lucir lo mejor posible
9. Pienso en cómo podría mejorar lo que es problemático en mi apariencia
28. Fantaseo con verme diferente
23. Paso mucho tiempo frente al espejo
17. Busco tranquilidad sobre mi apariencia en otras personas

***Aceptación Racional Positiva***

24. Me recuerdo que me sentiré mejor luego de un tiempo
19. Me digo que probablemente estoy exagerando ante la situación
2. Me digo que la situación pasará
8. Me digo que probablemente mi apariencia es mejor de lo que creo
22. Me recuerdo de mis buenas cualidades
25. Intento entender por qué la situación me desafía o amenaza
4. Me digo que hay cosas más importantes que mi apariencia

27. Me digo que solo estoy siendo irracional sobre estas cosas
13. Me digo que la situación no es tan importante
15. Reacciono siendo muy paciente conmigo misma(o)
29. Hago algo que podría hacerme sentir bien conmigo misma(o) como persona

***Evitación***

18. No intento hacer frente o lidiar con la situación
10. Intento ignorar la situación y mis sentimientos
7. Reacciono comiendo en exceso
26. Intento desconectar mis pensamientos y sentimientos
5. Me retiro e interactúo menos con los demás
21. Evito mirarme al espejo
12. Como algo que me ayude a lidiar con la situación
16. Me digo que no puedo hacer nada por esa situación

***Anexo 8.*** *Body Image Coping Strategies Inventory (BICSI; Cash, 1999; Cash, Santos y Fleming 2005; Ruiz y Sánchez, 2019; versión validada en la presente investigación).*

*Instrucciones*: Ante cada afirmación, indica cómo afrontas las críticas a tu cuerpo (o comentarios negativos hacia tu cuerpo)

[1.Me recuerdo que me sentiré mejor luego de un tiempo]

[2.Me digo que probablemente estoy exagerando ante la situación]

[3.Me digo que la situación pasará]

[4.Me digo que probablemente mi apariencia es mejor de lo que creo]

[5.Me recuerdo mis cualidades buenas]

[6.Intento entender por qué me siento desafiado/a o amenazado/a por la situación]

[7.Me digo que hay cosas más importantes que mi apariencia]

[8.Me digo que estoy siendo irracional sobre estas cosas]

[9.Me digo que la situación no es tan importante]

[10.Reacciono siendo muy paciente conmigo]

[11.Hago algo que podría hacerme sentir bien como persona]

***Anexo 9.*** Alfa de Cronbach y las correlaciones ítems-total del BICSI-PRA

*Confiabilidad BICSI-PRA*

Estadísticas de confiabilidad de la escala frecuente

| Estimar | Cronbach's α |
|---|---|
| Estimación por punto | 0.838 |
| IC del 95% límite inferior | 0.816 |
| IC del 95% límite superior | 0.858 |

Estadísticas de confiabilidad de ítems individuales frecuentes

| | si se elimina el ítem | |
|---|---|---|
| Ítem | Cronbach's α | Correlación del elemento con el resto |
| BICSI.PRA1 | 0.821 | 0.558 |
| BICSI.PRA2 | 0.824 | 0.524 |
| BICSI.PRA3 | 0.816 | 0.617 |
| BICSI.PRA4 | 0.823 | 0.540 |
| BICSI.PRA5 | 0.827 | 0.494 |
| BICSI.PRA6 | 0.827 | 0.489 |
| BICSI.PRA7 | 0.826 | 0.500 |
| BICSI.PRA8 | 0.829 | 0.471 |
| BICSI.PRA9 | 0.825 | 0.515 |
| BICSI.PRA10 | 0.831 | 0.440 |
| BICSI.PRA11 | 0.825 | 0.512 |

***Anexo 10.*** *Body Acceptance by Others Scale (BAOS; Avalos y Tylka 2006)*

Instructions. For each item, please circle the response that best captures your own experience (1-5) (Never-Rarely-Sometimes-Often-Always)

1. I have felt acceptance from my friends regarding my body shape and/or weight.
2. My friends have sent me the message that my body shape and weight are fine.
3. I've felt acceptance from my family regarding my body shape and/or weight.
4. My family has sent me the message that my body shape and weight are fine.
5. I've felt acceptance from people I've dated regarding my body shape and/or weight.
6. People I've dated have sent me the message that my body shape and weight are fine.
7. I've felt acceptance from the media (e.g., TV, magazines) regarding my body shape and/or weight.
8. I feel that the media have sent me the message that my body shape and weight are fine.
9. I've felt acceptance from society (e.g., school, church, social settings) regarding my body shape and/or weight.
10. I feel that society has sent me the message that my body shape and weight are fine.

***Anexo 11.*** *Body Acceptance by Others Scale (BAOS; Avalos y Tylka 2006; Versión validada en la presente investigación)*

*Instrucciones*: Para cada afirmación, indique la opción que mejor se ajuste a su propia experiencia (1 = nunca hasta 5= siempre)

[1.He sentido que mis amigos aceptan la forma o peso de mi cuerpo]

[2.Mis amigos me dan a entender que la forma o el peso de mi cuerpo están bien]

[3.He sentido que mi familia acepta la forma o peso de mi cuerpo]

[4.Mi familia me da a entender que la forma o el peso de mi cuerpo están bien]

[5.He sentido que mi pareja o las personas con las que he tenido una relación aceptan la forma o peso de mi cuerpo]

[6.Mi pareja o las personas con las que he tenido una relación me dan a entender que la forma y el peso de mi cuerpo están bien]

[7.He sentido que los medios de comunicación (TV, cine) o las redes sociales (Instagram, Facebook) aceptan la forma o el peso del cuerpo similar al m

[8.Siento que los medios de comunicación o las redes sociales transmiten el mensaje de que la forma y el peso de mi cuerpo están bien]

[9.Me siento aceptado por la sociedad (universidad, entornos sociales) con respecto a la forma o peso de mi cuerpo]

[10.Siento que la sociedad transmite el mensaje de que la forma y el peso de mi cuerpo están bien]

***Anexo 12.*** Alfa de Cronbach y las correlaciones ítems-total del BAOS

*Confiabilidad BAOS*

Estadísticas de confiabilidad de la escala frecuente

| Estimar | Cronbach's α |
|---|---|
| Estimación por punto | 0.866 |
| IC del 95% límite inferior | 0.848 |
| IC del 95% límite superior | 0.883 |

Estadísticas de confiabilidad de ítems individuales frecuentes

| | si se elimina el ítem | |
|---|---|---|
| Ítem | Cronbach's α | Correlación del elemento con el resto |
| BAOS1 | 0.855 | 0.586 |
| BAOS2 | 0.853 | 0.599 |
| BAOS3 | 0.854 | 0.574 |
| BAOS4 | 0.850 | 0.628 |
| BAOS5 | 0.855 | 0.572 |
| BAOS6 | 0.852 | 0.604 |
| BAOS7 | 0.855 | 0.567 |
| BAOS8 | 0.859 | 0.534 |
| BAOS9 | 0.851 | 0.627 |
| BAOS10 | 0.855 | 0.572 |

***Anexo 13.*** *Objectified Body Consciousness Scale (OBCS; McKinley y Hyde, 1996; versión en español de Moya-Garófano et al. 2017)*

Instrucciones**:** A continuación, te pedimos que marques con una 'X' el número que se corresponda con el grado en que estás de acuerdo con cada una de las afirmaciones de las siguientes páginas. Marca NA solamente en el caso de que la afirmación no sea aplicable a ti. Si no estás de acuerdo con la afirmación, entonces marca en desacuerdo, pero no NA.

Por ejemplo, si la afirmación dice "Cuando estoy contenta, me dan ganas de cantar", y a ti no te dan ganas de cantar cuando estás contenta, entonces deberías marcar una de las opciones de desacuerdo. Sólo marcarías NA si nunca hubieras estado contenta. (NOTA: la escala se ha de presentar con un formato de respuesta de 1 = "totalmente en desacuerdo" a 7 = "totalmente de acuerdo", siendo 4 el punto medio ("ni de acuerdo ni en desacuerdo") e incorporando también la opción NA).

***Vigilancia corporal***

1. Raramente pienso en mi aspecto *
3. Pienso que es más importante que mi ropa sea cómoda, que el hecho de que me quede bien*
7. Me preocupa más cómo me siento físicamente que el aspecto que tengo*
9. Raramente comparo mi aspecto con el de otras personas*
14. Pienso en mi aspecto muchas veces a lo largo del día
16. A menudo me preocupo por si la ropa que llevo me sienta bien
18. Raramente me preocupo de cómo me ven otras personas*
20. Me preocupo más de lo que puedo hacer con mi cuerpo que del aspecto que tiene*

**Ítems marcados con asterisco necesitan ser recodificados.*

***Vergüenza corporal***

2. Cuando no puedo controlar mi peso, siento que algo va mal en mí
5. Me siento avergonzado/a de mí misma cuando no me esfuerzo por tener la mejor apariencia posible
8. Me siento mal cuando mi aspecto no es tan bueno como podría ser
11. Me daría vergüenza que la gente supiera cuánto peso
13. Incluso cuando no puedo controlar mi peso, pienso que soy una persona valiosa*
15. Nunca pienso que estoy haciéndolo mal, aunque no haga todo el ejercicio que debiera*
17. Cuando no hago suficiente ejercicio, me cuestiono si soy una persona suficientemente valiosa
22. Me siento avergonzado/a cuando no tengo la talla de ropa que debería

**Ítems marcados con asterisco necesitan ser recodificados.*

***Creencias de control de la apariencia***

4. Creo que una persona debería conformarse con el físico que tiene de nacimiento*

6. Mantenerse en forma depende en gran medida de la constitución física que se tenga*

10. Pienso que una persona puede tener la apariencia que ella quiera si está dispuesta a trabajar en ello

12. Realmente no pienso que tenga mucho control sobre mi apariencia corporal*

19. Pienso que lo que determina fundamentalmente el peso de una persona son sus genes*

21. No importa lo mucho que me esfuerce por cambiar mi peso, probablemente siempre va a seguir igual*

23. Cuando me lo propongo firmemente, puedo conseguir el peso que debería tener

24. Tu forma física depende principalmente de los genes que tenga~~s~~*

**Ítems marcados con asterisco necesitan ser recodificados.*

***Anexo 14.*** *Objectified Body Consciousness Scale (OBCS; McKinley y Hyde, 1996; Moya-Garófano et al. 2017; versión validada en la presente investigación).*

*Instrucciones*: indique el grado en que está de acuerdo con cada una de las afirmaciones (1=totalmente en desacuerdo hasta 7=totalmente de acuerdo).

[1.Raramente pienso en mi aspecto]

[2.Cuando no puedo controlar mi peso, siento que algo malo me pasa]

[3.Pienso que es más importante que mi ropa sea cómoda, que el hecho de que me quede bien]

[4.Creo que una persona debería conformarse con el físico que tiene de nacimiento]

[5.Me siento avergonzado/a de mí mismo/a cuando no me esfuerzo por tener la mejor apariencia posible]

[6.Mantenerse en forma depende en gran medida de la constitución física que se tenga]

[7.Me preocupa más cómo me siento físicamente que el aspecto que tengo]

[8.Me siento mal cuando mi aspecto no es tan bueno como podría ser]

[9.Raramente comparo mi aspecto con el de otras personas]

[10.Pienso que una persona puede tener la apariencia que ella quiera si está dispuesta a trabajar en ello]

[11.Me daría vergüenza que la gente supiera cuánto peso]

[12.Realmente pienso que no tengo mucho control sobre mi apariencia corporal]

[13.Incluso cuando no puedo controlar mi peso, pienso que soy una persona valiosa]

[14.Pienso en mi aspecto muchas veces a lo largo del día]

[15.Nunca pienso que estoy haciéndolo mal aunque no haga todo el ejercicio que debiera]

[16.A menudo me preocupo por si la ropa que llevo me queda bien]

[17.Cuando no hago suficiente ejercicio, me cuestiono si soy una persona suficientemente valiosa]

[18.Raramente me preocupo de cómo me ven otras personas]

[19.Pienso que lo que determina fundamentalmente el peso de una persona son sus genes]

[20.Me preocupo más por lo que puedo hacer con mi cuerpo que del aspecto que tiene]

[21.No importa lo mucho que me esfuerce por cambiar mi peso, probablemente siempre va a seguir igual]

[22.Me siento avergonzado/a cuando no tengo la talla de ropa que debería]

[23.Cuando me lo propongo firmemente, puedo conseguir el peso que debería tener]

[24.Pienso que la forma física de una persona depende principalmente de sus genes]

***Anexo 15.*** Alfa de Cronbach y las correlaciones ítems-total del OBCS

*Confiabilidad OBCS factor Verg*

Estadísticas de confiabilidad de la escala frecuente

| Estimar | Cronbach's α |
|---|---|
| Estimación por punto | 0.767 |
| IC del 95% límite inferior | 0.737 |
| IC del 95% límite superior | 0.795 |

*Nota.* El siguiente ítem se correlacionó negativamente con la escala: OBCS15.

Estadísticas de confiabilidad de ítems individuales frecuentes

| | si se elimina el ítem | |
|---|---|---|
| Ítem | Cronbach's α | Correlación del elemento con el resto |
| OBCS2 | 0.731 | 0.528 |
| OBCS5 | 0.720 | 0.593 |
| OBCS8 | 0.722 | 0.586 |
| OBCS11 | 0.710 | 0.633 |
| OBCS13 | 0.778 | 0.220 |
| OBCS15 | 0.823 | -0.047 |
| OBCS17 | 0.720 | 0.595 |
| OBCS22 | 0.702 | 0.674 |

*Nota.* Los siguientes ítems fueron escalados en forma inversa: OBCS13, OBCS15.

*Confiabilidad OBCS factor Vigi*

Estadísticas de confiabilidad de la escala frecuente

| Estimar | Cronbach's α |
|---|---|
| Estimación por punto | 0.607 |
| IC del 95% límite inferior | 0.552 |
| IC del 95% límite superior | 0.656 |

*Nota.* El siguiente ítem se correlacionó negativamente con la escala: OBCS14.

Estadísticas de confiabilidad de ítems individuales frecuentes

| | si se elimina el ítem | |
|---|---|---|
| Ítem | Cronbach's α | Correlación del elemento con el resto |
| OBCS1 | 0.568 | 0.326 |
| OBCS3 | 0.529 | 0.457 |
| OBCS7 | 0.587 | 0.260 |
| OBCS9 | 0.540 | 0.414 |
| OBCS14 | 0.633 | 0.108 |
| OBCS16 | 0.615 | 0.155 |
| OBCS18 | 0.556 | 0.365 |
| OBCS20 | 0.552 | 0.388 |

*Nota.* Los siguientes ítems fueron escalados en forma inversa: OBCS1, OBCS3, OBCS7, OBCS9, OBCS18, OBCS20.

*Confiabilidad OBCS factor CCA*

Estadísticas de confiabilidad de la escala frecuente

| Estimar | Cronbach's α |
|---|---|
| Estimación por punto | 0.726 |
| IC del 95% límite inferior | 0.689 |
| IC del 95% límite superior | 0.759 |

Estadísticas de confiabilidad de ítems individuales frecuentes

| Ítem | si se elimina el ítem Cronbach's α | Correlación del elemento con el resto |
|---|---|---|
| OBCS4 | 0.711 | 0.354 |
| OBCS6 | 0.699 | 0.411 |
| OBCS10 | 0.736 | 0.180 |
| OBCS12 | 0.696 | 0.427 |
| OBCS19 | 0.655 | 0.623 |
| OBCS21 | 0.669 | 0.543 |
| OBCS23 | 0.726 | 0.262 |
| OBCS24 | 0.676 | 0.516 |

*Nota.* Los siguientes ítems fueron escalados en forma inversa: OBCS4, OBCS6, OBCS12, OBCS19, OBCS21, OBCS24.

***Anexo 16.*** Sociocultural Attitudes Towards Appearance Questionnaire-4 *(SATAQ-4; Shaefer et al., 2015; versión en español de Llorente et al., 2015).*

Antes de rellenar este cuestionario, lea cuidadosamente las siguientes instrucciones:
Nos gustaría saber cómo te has sentido en las últimas semanas. Por favor, lee cada pregunta y rodea con un círculo el número de la derecha que más se aproxime a tu opinión o tu situación. Tómate el tiempo que necesites para responder. Por favor, responde TODAS las preguntas. (Completamente en desacuerdo 1; Muy en desacuerdo 2; Ni de acuerdo ni en desacuerdo 3; Muy de acuerdo 4; Completamente de acuerdo 5)

1. Es importante para mí parecer atlético/a.
2. Pienso mucho en parecer musculoso/a.
3. Quiero que mi cuerpo parezca muy delgado.
4. Quiero que mi cuerpo parezca que tiene poca grasa.
5. Pienso mucho en parecer delgado/a.
6. Paso mucho tiempo haciendo cosas para parecer más atlético/a.
7. Pienso mucho en parecer atlético/a.
8. Quiero que mi cuerpo parezca muy magro (con muy poca grasa corporal).
9. Pienso mucho en tener muy poca grasa corporal
10. Paso mucho tiempo haciendo cosas para parecer más musculoso/a.
11. Siento presión de los miembros de mi familia para parecer más delgado/a
12. Siento presión de los miembros de mi familia para mejorar mi apariencia
13. Los miembros de mi familia me animan a reducir mi nivel de grasa corporal
14. Los miembros de mi familia me animan a ponerme en mejor forma
15. Mis compañeros/as me animan a adelgazar
16. Siento presión de mis compañeros/as para mejorar mi apariencia
17. Siento presión de mis compañeros/as para parecer en mejor forma
18. Siento presión de mis compañeros/as para reducir mi nivel de grasa corporal
19. Siento presión de los medios para parecer en mejor forma
20. Siento presión de los medios para parecer más delgado/a
21. Siento presión de los medios para mejorar mi apariencia
22. Siento presión de los medios para reducir mi nivel de grasa corporal

***Anexo 17.*** Sociocultural Attitudes Towards Appearance Questionnaire-4 *(SATAQ-4; Shaefer et al., 2015; Llorente et al., 2015; versión validada en la presente investigación del (Subscale Internalization of Sociocultural Body Ideals Scale-ISBIS).*

Instrucciones: Indique el número que mejor refleje su acuerdo con la afirmación (desde 1=Totalmente en desacuerdo hasta 5=Totalmente de acuerdo).

[1. Es importante para mí parecer atlético/a]

[2. Pienso mucho en parecer musculoso/a]

[3. Quiero que mi cuerpo parezca muy delgado]

[4. Quiero que mi cuerpo parezca que tiene poca grasa]

[5. Pienso mucho en parecer delgado/a]

[6. Paso mucho tiempo haciendo cosas para parecer más atlético/a]

[7. Pienso mucho en parecer atlético/a]

[9. Pienso mucho en tener muy poca grasa corporal]

[10. Paso mucho tiempo haciendo cosas para parecer más musculoso/a]

***Anexo 18.*** Alfa de Cronbach y las correlaciones ítems-total del ISBIS

*Confiabilidad ISBIS factor ICD*

Estadísticas de confiabilidad de la escala frecuente

| Estimar | Cronbach's α |
|---|---|
| Estimación por punto | 0.896 |
| IC del 95% límite inferior | 0.880 |
| IC del 95% límite superior | 0.910 |

Estadísticas de confiabilidad de ítems individuales frecuentes

| | si se elimina el ítem | |
|---|---|---|
| Ítem | Cronbach's α | Correlación del elemento con el resto |
| ISBIS3 | 0.876 | 0.741 |
| ISBIS4 | 0.862 | 0.779 |
| ISBIS5 | 0.847 | 0.819 |
| ISBIS9 | 0.877 | 0.737 |

*Confiabilidad ISBIS factor ICMA*

Estadísticas de confiabilidad de la escala frecuente

| Estimar | Cronbach's α |
|---|---|
| Estimación por punto | 0.873 |
| IC del 95% límite inferior | 0.855 |
| IC del 95% límite superior | 0.890 |

Estadísticas de confiabilidad de ítems individuales frecuentes

| | si se elimina el ítem | |
|---|---|---|
| Ítem | Cronbach's α | Correlación del elemento con el resto |
| ISBIS1 | 0.847 | 0.699 |
| ISBIS2 | 0.867 | 0.613 |
| ISBIS6 | 0.842 | 0.720 |
| ISBIS7 | 0.828 | 0.774 |
| ISBIS10 | 0.846 | 0.702 |

***Anexo 19.*** Análisis descriptivo de las variables de estudio (Modelo A)

**Sexo**

| | | Frecuencia | Porcentaje | Porcentaje válido | Porcentaje acumulado |
|---|---|---|---|---|---|
| Válido | Mujer | 295 | 57,3 | 57,3 | 57,3 |
| | Hombre | 220 | 42,7 | 42,7 | 100,0 |
| | Total | 515 | 100,0 | 100,0 | |

**Descriptivos**

| | | | Estadístico | Desv. Error |
|---|---|---|---|---|
| EA | Media | | 3,3642 | ,04560 |
| | 95% de intervalo de confianza para la media | Límite inferior | 3,2746 | |
| | | Límite superior | 3,4538 | |
| | Media recortada al 5% | | 3,3931 | |
| | Mediana | | 3,4286 | |
| | Varianza | | 1,071 | |
| | Desv. Desviación | | 1,03488 | |
| | Mínimo | | 1,00 | |
| | Máximo | | 5,00 | |
| | Rango | | 4,00 | |
| | Rango intercuartil | | 1,57 | |
| | Asimetría | | -,360 | ,108 |
| | Curtosis | | -,770 | ,215 |
| OAO | Media | | 3,6057 | ,02997 |
| | 95% de intervalo de confianza para la media | Límite inferior | 3,5468 | |
| | | Límite superior | 3,6645 | |
| | Media recortada al 5% | | 3,6269 | |
| | Mediana | | 3,6667 | |
| | Varianza | | ,462 | |
| | Desv. Desviación | | ,68004 | |
| | Mínimo | | 1,42 | |
| | Máximo | | 5,00 | |
| | Rango | | 3,58 | |
| | Rango intercuartil | | ,92 | |
| | Asimetría | | -,469 | ,108 |
| | Curtosis | | ,036 | ,215 |
| EEF | Media | | 3,2304 | ,04614 |
| | 95% de intervalo de | Límite inferior | 3,1398 | |

| | | | | |
|---|---|---|---|---|
| | confianza para la media | Límite superior | 3,3211 | |
| | Media recortada al 5% | | 3,2483 | |
| | Mediana | | 3,3333 | |
| | Varianza | | 1,096 | |
| | Desv. Desviación | | 1,04709 | |
| | Mínimo | | 1,00 | |
| | Máximo | | 5,00 | |
| | Rango | | 4,00 | |
| | Rango intercuartil | | 1,67 | |
| | Asimetría | | -,219 | ,108 |
| | Curtosis | | -,743 | ,215 |
| OEF | Media | | 3,0957 | ,04057 |
| | 95% de intervalo de | Límite inferior | 3,0160 | |
| | confianza para la media | Límite superior | 3,1754 | |
| | Media recortada al 5% | | 3,0972 | |
| | Mediana | | 3,0769 | |
| | Varianza | | ,848 | |
| | Desv. Desviación | | ,92067 | |
| | Mínimo | | 1,00 | |
| | Máximo | | 5,00 | |
| | Rango | | 4,00 | |
| | Rango intercuartil | | 1,46 | |
| | Asimetría | | ,001 | ,108 |
| | Curtosis | | -,889 | ,215 |
| ES | Media | | 3,5537 | ,03384 |
| | 95% de intervalo de | Límite inferior | 3,4872 | |
| | confianza para la media | Límite superior | 3,6202 | |
| | Media recortada al 5% | | 3,5684 | |
| | Mediana | | 3,5000 | |
| | Varianza | | ,590 | |
| | Desv. Desviación | | ,76794 | |
| | Mínimo | | 1,33 | |
| | Máximo | | 5,00 | |
| | Rango | | 3,67 | |
| | Rango intercuartil | | 1,17 | |
| | Asimetría | | -,189 | ,108 |
| | Curtosis | | -,276 | ,215 |
| OSO | Media | | 3,2189 | ,03324 |

| | | | | |
|---|---|---|---|---|
| | 95% de intervalo de confianza para la media | Límite inferior | 3,1536 | |
| | | Límite superior | 3,2842 | |
| | Media recortada al 5% | | 3,2284 | |
| | Mediana | | 3,2500 | |
| | Varianza | | ,569 | |
| | Desv. Desviación | | ,75437 | |
| | Mínimo | | 1,13 | |
| | Máximo | | 5,00 | |
| | Rango | | 3,88 | |
| | Rango intercuartil | | 1,00 | |
| | Asimetría | | -,128 | ,108 |
| | Curtosis | | -,383 | ,215 |
| OE | Media | | 3,2016 | ,03415 |
| | 95% de intervalo de confianza para la media | Límite inferior | 3,1345 | |
| | | Límite superior | 3,2686 | |
| | Media recortada al 5% | | 3,2053 | |
| | Mediana | | 3,2000 | |
| | Varianza | | ,600 | |
| | Desv. Desviación | | ,77490 | |
| | Mínimo | | 1,00 | |
| | Máximo | | 5,00 | |
| | Rango | | 4,00 | |
| | Rango intercuartil | | 1,20 | |
| | Asimetría | | ,032 | ,108 |
| | Curtosis | | -,171 | ,215 |
| SAC | Media | | 3,3476 | ,03763 |
| | 95% de intervalo de confianza para la media | Límite inferior | 3,2736 | |
| | | Límite superior | 3,4215 | |
| | Media recortada al 5% | | 3,3652 | |
| | Mediana | | 3,3333 | |
| | Varianza | | ,729 | |
| | Desv. Desviación | | ,85393 | |
| | Mínimo | | 1,11 | |
| | Máximo | | 5,00 | |
| | Rango | | 3,89 | |
| | Rango intercuartil | | 1,00 | |
| | Asimetría | | -,236 | ,108 |
| | Curtosis | | -,332 | ,215 |

| | | | | |
|---|---|---|---|---|
| PP | Media | | 2,6248 | ,04567 |
| | 95% de intervalo de confianza para la media | Límite inferior | 2,5350 | |
| | | Límite superior | 2,7145 | |
| | Media recortada al 5% | | 2,5968 | |
| | Mediana | | 2,5000 | |
| | Varianza | | 1,074 | |
| | Desv. Desviación | | 1,03647 | |
| | Mínimo | | 1,00 | |
| | Máximo | | 5,00 | |
| | Rango | | 4,00 | |
| | Rango intercuartil | | 1,50 | |
| | Asimetría | | ,302 | ,108 |
| | Curtosis | | -,757 | ,215 |
| ACP | Media | | 3,0194 | ,02991 |
| | 95% de intervalo de confianza para la media | Límite inferior | 2,9607 | |
| | | Límite superior | 3,0782 | |
| | Media recortada al 5% | | 3,0421 | |
| | Mediana | | 3,0000 | |
| | Varianza | | ,461 | |
| | Desv. Desviación | | ,67876 | |
| | Mínimo | | 1,00 | |
| | Máximo | | 5,00 | |
| | Rango | | 4,00 | |
| | Rango intercuartil | | 1,00 | |
| | Asimetría | | -,338 | ,108 |
| | Curtosis | | ,730 | ,215 |
| VerGu | Media | | 3,2864 | ,05572 |
| | 95% de intervalo de confianza para la media | Límite inferior | 3,1769 | |
| | | Límite superior | 3,3959 | |
| | Media recortada al 5% | | 3,2489 | |
| | Mediana | | 3,0000 | |
| | Varianza | | 1,599 | |
| | Desv. Desviación | | 1,26441 | |
| | Mínimo | | 1,00 | |
| | Máximo | | 7,00 | |
| | Rango | | 6,00 | |
| | Rango intercuartil | | 1,88 | |
| | Asimetría | | ,458 | ,108 |

| | | | | |
|---|---|---|---|---|
| | Curtosis | | -,508 | ,215 |
| ViGi | Media | | 4,1961 | ,04514 |
| | 95% de intervalo de confianza para la media | Límite inferior | 4,1074 | |
| | | Límite superior | 4,2848 | |
| | Media recortada al 5% | | 4,2075 | |
| | Mediana | | 4,2500 | |
| | Varianza | | 1,049 | |
| | Desv. Desviación | | 1,02436 | |
| | Mínimo | | 1,38 | |
| | Máximo | | 6,50 | |
| | Rango | | 5,13 | |
| | Rango intercuartil | | 1,50 | |
| | Asimetría | | -,149 | ,108 |
| | Curtosis | | -,496 | ,215 |
| CCA | Media | | 5,0175 | ,04847 |
| | 95% de intervalo de confianza para la media | Límite inferior | 4,9223 | |
| | | Límite superior | 5,1127 | |
| | Media recortada al 5% | | 5,0446 | |
| | Mediana | | 5,1250 | |
| | Varianza | | 1,210 | |
| | Desv. Desviación | | 1,09989 | |
| | Mínimo | | 1,63 | |
| | Máximo | | 7,00 | |
| | Rango | | 5,38 | |
| | Rango intercuartil | | 1,63 | |
| | Asimetría | | -,339 | ,108 |
| | Curtosis | | -,433 | ,215 |
| ICD | Media | | 2,8864 | ,05451 |
| | 95% de intervalo de confianza para la media | Límite inferior | 2,7793 | |
| | | Límite superior | 2,9935 | |
| | Media recortada al 5% | | 2,8738 | |
| | Mediana | | 3,0000 | |
| | Varianza | | 1,530 | |
| | Desv. Desviación | | 1,23698 | |
| | Mínimo | | 1,00 | |
| | Máximo | | 5,00 | |
| | Rango | | 4,00 | |
| | Rango intercuartil | | 2,00 | |

| | | | | |
|---|---|---|---|---|
| | Asimetría | | ,101 | ,108 |
| | Curtosis | | -1,102 | ,215 |
| ICAM | Media | | 2,5911 | ,04649 |
| | 95% de intervalo de confianza para la media | Límite inferior | 2,4997 | |
| | | Límite superior | 2,6824 | |
| | Media recortada al 5% | | 2,5604 | |
| | Mediana | | 2,6000 | |
| | Varianza | | 1,113 | |
| | Desv. Desviación | | 1,05506 | |
| | Mínimo | | 1,00 | |
| | Máximo | | 5,00 | |
| | Rango | | 4,00 | |
| | Rango intercuartil | | 1,60 | |
| | Asimetría | | ,305 | ,108 |
| | Curtosis | | -,821 | ,215 |
| EAA | Media | | 2,8657 | ,02866 |
| | 95% de intervalo de confianza para la media | Límite inferior | 2,8094 | |
| | | Límite superior | 2,9220 | |
| | Media recortada al 5% | | 2,8864 | |
| | Mediana | | 2,9091 | |
| | Varianza | | ,423 | |
| | Desv. Desviación | | ,65034 | |
| | Mínimo | | 1,00 | |
| | Máximo | | 4,00 | |
| | Rango | | 3,00 | |
| | Rango intercuartil | | ,91 | |
| | Asimetría | | -,396 | ,108 |
| | Curtosis | | -,171 | ,215 |
| PAO | Media | | 3,9157 | ,03355 |
| | 95% de intervalo de confianza para la media | Límite inferior | 3,8498 | |
| | | Límite superior | 3,9816 | |
| | Media recortada al 5% | | 3,9559 | |
| | Mediana | | 4,0000 | |
| | Varianza | | ,580 | |
| | Desv. Desviación | | ,76140 | |
| | Mínimo | | 1,10 | |
| | Máximo | | 5,00 | |
| | Rango | | 3,90 | |

| | | |
|---|---|---|
| Rango intercuartil | 1,00 | |
| Asimetría | -,659 | ,108 |
| Curtosis | ,135 | ,215 |

**Estadísticos Descriptivos**

| | EA | OAO | EEF | OEF | ES | OSO | OE | SAC | PP | ACP |
|---|---|---|---|---|---|---|---|---|---|---|
| Válido | 515 | 515 | 515 | 515 | 515 | 515 | 515 | 515 | 515 | 515 |
| Ausente | 0 | 0 | 0 | 0 | 0 | 0 | 0 | 0 | 0 | 0 |
| Media | 3.364 | 3.606 | 3.23 | 3.096 | 3.554 | 3.219 | 3.202 | 3.348 | 2.625 | 3.019 |
| Desviación Típica | 1.035 | 0.68 | 1.047 | 0.921 | 0.768 | 0.754 | 0.775 | 0.854 | 1.036 | 0.679 |
| Coeficiente de variación | 0.308 | 0.189 | 0.324 | 0.297 | 0.216 | 0.234 | 0.242 | 0.255 | 0.395 | 0.225 |

**Estadísticos Descriptivos AO**

| | VerGu | ViGi | CCA |
|---|---|---|---|
| Válido | 515 | 515 | 515 |
| Ausente | 0 | 0 | 0 |
| Media | 3.286 | 4.196 | 5.017 |
| DS | 1.264 | 1.024 | 1.1 |
| CV | 0.385 | 0.244 | 0.219 |

**Estadísticos Descriptivos EA, PAO**

| | EAA | PAO |
|---|---|---|
| Válido | 515 | 515 |
| Ausente | 0 | 0 |
| Media | 2.866 | 3.916 |
| DS | 0.650 | 0.761 |
| CV | 0.227 | 0.194 |

**Estadísticos Descriptivos ICI**

| | ICID1 | ICIAM |
|---|---|---|
| Válido | 515 | 515 |
| Ausente | 0 | 0 |
| Media | 2.886 | 2.591 |
| DS | 1.237 | 1.055 |
| CV | 0.429 | 0.407 |

***Anexo 20.*** Análisis de normalidad

Assessment of normality (Group number 1)

| Variable | min | max | skew | c.r. | kurtosis | c.r. |
|---|---|---|---|---|---|---|
| Sex | 1.000 | 2.000 | .294 | 2.728 | -1.913 | -8.863 |
| PAO | 1.100 | 5.000 | -.657 | -6.084 | .122 | .564 |
| EAA | 1.000 | 4.000 | -.395 | -3.660 | -.181 | -.837 |
| ACP | 1.000 | 5.000 | -.337 | -3.118 | .712 | 3.297 |
| ICIAM | 1.000 | 5.000 | .304 | 2.817 | -.824 | -3.819 |
| ICID | 1.000 | 5.000 | .100 | .930 | -1.103 | -5.110 |
| CCA | 1.625 | 7.000 | -.338 | -3.133 | -.441 | -2.041 |
| ViGi | 1.375 | 6.500 | -.148 | -1.372 | -.503 | -2.328 |
| VerGu | 1.000 | 7.000 | .457 | 4.233 | -.515 | -2.386 |
| PP | 1.000 | 5.000 | .301 | 2.787 | -.761 | -3.527 |
| SAC | 1.111 | 5.000 | -.235 | -2.178 | -.340 | -1.576 |
| OE | 1.000 | 5.000 | .032 | .295 | -.181 | -.837 |
| OSO | 1.125 | 5.000 | -.127 | -1.180 | -.391 | -1.809 |
| ES | 1.333 | 5.000 | -.188 | -1.745 | -.285 | -1.319 |
| OEF | 1.000 | 5.000 | .001 | .011 | -.892 | -4.133 |
| EEF | 1.000 | 5.000 | -.218 | -2.019 | -.748 | -3.464 |
| OAO | 1.417 | 5.000 | -.468 | -4.335 | .024 | .112 |
| EA | 1.000 | 5.000 | -.359 | -3.326 | -.775 | -3.588 |
| Multivariate | | | | | 24.762 | 10.471 |

Observations farthest from the centroid (Mahalanobis distance) (Group number 1)

| Observation number | Mahalanobis d-squared | p1 | p2 |
|---|---|---|---|
| 441 | 67.147 | .000 | .000 |
| 71 | 48.287 | .000 | .002 |
| 415 | 45.933 | .000 | .001 |
| 110 | 45.382 | .000 | .000 |
| 18 | 45.322 | .000 | .000 |
| 339 | 44.416 | .001 | .000 |
| 142 | 43.498 | .001 | .000 |
| 2 | 42.367 | .001 | .000 |
| 124 | 42.057 | .001 | .000 |
| 313 | 42.040 | .001 | .000 |
| 67 | 41.786 | .001 | .000 |
| 445 | 41.496 | .001 | .000 |
| 201 | 40.099 | .002 | .000 |
| 393 | 37.588 | .004 | .000 |
| 327 | 35.845 | .007 | .000 |
| 382 | 35.741 | .008 | .000 |
| 478 | 34.846 | .010 | .000 |
| 111 | 34.839 | .010 | .000 |
| 112 | 34.717 | .010 | .000 |
| 377 | 34.161 | .012 | .000 |
| 464 | 33.826 | .013 | .000 |

| Observation number | Mahalanobis d-squared | p1 | p2 |
|---|---|---|---|
| 69 | 33.389 | .015 | .000 |
| 290 | 32.850 | .017 | .000 |
| 293 | 32.656 | .018 | .000 |
| 498 | 32.491 | .019 | .000 |
| 452 | 31.528 | .025 | .001 |
| 206 | 30.937 | .029 | .003 |
| 140 | 30.524 | .033 | .007 |
| 266 | 30.421 | .034 | .005 |
| 253 | 30.391 | .034 | .003 |
| 22 | 30.277 | .035 | .003 |
| 15 | 30.250 | .035 | .002 |
| 16 | 30.063 | .037 | .002 |
| 148 | 29.744 | .040 | .003 |
| 160 | 29.623 | .041 | .003 |
| 325 | 29.312 | .045 | .006 |
| 21 | 29.143 | .047 | .007 |
| 486 | 28.914 | .049 | .010 |
| 488 | 28.914 | .049 | .006 |
| 64 | 27.928 | .063 | .106 |
| 12 | 27.789 | .065 | .113 |
| 135 | 27.766 | .066 | .090 |
| 114 | 27.739 | .066 | .071 |
| 481 | 27.658 | .067 | .066 |
| 75 | 27.630 | .068 | .052 |
| 376 | 27.576 | .069 | .044 |
| 199 | 27.465 | .071 | .045 |
| 95 | 27.210 | .075 | .074 |
| 405 | 27.164 | .076 | .063 |
| 180 | 27.080 | .078 | .061 |
| 30 | 26.955 | .080 | .067 |
| 317 | 26.692 | .085 | .112 |
| 416 | 26.583 | .087 | .119 |
| 106 | 26.503 | .089 | .116 |
| 104 | 26.427 | .090 | .113 |
| 168 | 26.393 | .091 | .097 |
| 334 | 26.389 | .091 | .075 |
| 122 | 26.349 | .092 | .065 |
| 225 | 26.313 | .093 | .055 |
| 344 | 26.164 | .096 | .070 |
| 107 | 26.060 | .098 | .076 |
| 164 | 25.915 | .102 | .094 |
| 216 | 25.680 | .107 | .151 |
| 70 | 25.335 | .116 | .297 |
| 137 | 25.234 | .119 | .316 |
| 381 | 25.192 | .120 | .297 |
| 408 | 25.192 | .120 | .253 |
| 90 | 25.181 | .120 | .218 |
| 477 | 25.137 | .121 | .204 |

| Observation number | Mahalanobis d-squared | p1 | p2 |
|---|---|---|---|
| 349 | 24.991 | .125 | .248 |
| 173 | 24.958 | .126 | .228 |
| 412 | 24.936 | .127 | .202 |
| 510 | 24.839 | .129 | .219 |
| 68 | 24.729 | .133 | .246 |
| 35 | 24.706 | .133 | .220 |
| 213 | 24.704 | .133 | .186 |
| 388 | 24.672 | .134 | .170 |
| 221 | 24.656 | .135 | .147 |
| 492 | 24.596 | .136 | .146 |
| 174 | 24.449 | .141 | .188 |
| 511 | 24.356 | .144 | .206 |
| 152 | 24.176 | .149 | .282 |
| 513 | 24.137 | .151 | .268 |
| 255 | 24.074 | .153 | .271 |
| 129 | 23.959 | .156 | .311 |
| 267 | 23.947 | .157 | .278 |
| 82 | 23.904 | .158 | .269 |
| 139 | 23.789 | .162 | .311 |
| 324 | 23.763 | .163 | .289 |
| 250 | 23.742 | .164 | .265 |
| 340 | 23.726 | .164 | .238 |
| 341 | 23.726 | .164 | .204 |
| 277 | 23.657 | .167 | .212 |
| 105 | 23.630 | .168 | .196 |
| 332 | 23.627 | .168 | .167 |
| 57 | 23.600 | .169 | .153 |
| 439 | 23.596 | .169 | .130 |
| 13 | 23.560 | .170 | .122 |
| 302 | 23.500 | .172 | .126 |
| 323 | 23.500 | .172 | .104 |

*Resultados del análisis de normalidad luego de eliminar datos atípicos*

| Variable | min | max | skew | c.r. | kurtosis | c.r. |
|---|---|---|---|---|---|---|
| Sex | 1.000 | 2.000 | .298 | 2.726 | -1.911 | -8.741 |
| PAO | 1.700 | 5.000 | -.592 | -5.414 | -.126 | -.575 |
| EAA | 1.000 | 4.000 | -.395 | -3.614 | -.149 | -.681 |
| ICIAM | 1.000 | 5.000 | .323 | 2.957 | -.780 | -3.568 |
| ICIDO | 1.000 | 5.000 | .102 | .934 | -1.102 | -5.038 |
| CCAO | 1.625 | 7.000 | -.362 | -3.314 | -.407 | -1.862 |
| ViGi | 1.375 | 6.500 | -.143 | -1.307 | -.474 | -2.167 |
| VerGu | 1.000 | 7.000 | .454 | 4.150 | -.494 | -2.260 |
| ACP | 1.000 | 5.000 | -.340 | -3.108 | .629 | 2.877 |
| PP | 1.000 | 5.000 | .303 | 2.769 | -.771 | -3.525 |
| SAC | 1.111 | 5.000 | -.172 | -1.576 | -.377 | -1.723 |
| OE | 1.000 | 5.000 | .063 | .578 | -.173 | -.792 |

| Variable | min | max | skew | c.r. | kurtosis | c.r. |
|---|---|---|---|---|---|---|
| OSO | 1.125 | 5.000 | -.128 | -1.175 | -.411 | -1.879 |
| ES | 1.333 | 5.000 | -.183 | -1.675 | -.278 | -1.271 |
| OEF | 1.000 | 5.000 | .013 | .122 | -.879 | -4.022 |
| EEF | 1.000 | 5.000 | -.196 | -1.794 | -.752 | -3.438 |
| OAO | 1.417 | 5.000 | -.484 | -4.425 | .022 | .100 |
| EA | 1.000 | 5.000 | -.333 | -3.046 | -.788 | -3.605 |
| Multivariate | | | | | 10.490 | 4.380 |

***Anexo 21.*** Correlaciones entre las variables de estudio

**Correlaciones**

| | | EA | OAO | EEF | OEF | ES | OSO | OE | SAC | PP | ACP | VerG | ViGi | CCA | ICD | ICAM | EAA | PAO |
|---|---|---|---|---|---|---|---|---|---|---|---|---|---|---|---|---|---|---|
| EA | Correlación de Pearson | 1 | 0.046 | ,507** | ,382** | ,365** | ,426** | ,278** | ,695** | -0.048 | -,208** | -,426** | -,299** | ,178** | -,119** | ,128** | ,298** | ,587** |
| | Sig. (bilateral) | | 0.294 | 0.000 | 0.000 | 0.000 | 0.000 | 0.000 | 0.000 | 0.278 | 0.000 | 0.000 | 0.000 | 0.000 | 0.007 | 0.004 | 0.000 | 0.000 |
| | N | 515 | 515 | 515 | 515 | 515 | 515 | 515 | 515 | 515 | 515 | 515 | 515 | 515 | 515 | 515 | 515 | 515 |
| OAO | Correlación de Pearson | 0.046 | 1 | ,089* | ,164** | -,133** | ,249** | ,187** | -0.006 | ,374** | -0.007 | ,304** | ,492** | -0.065 | ,334** | ,178** | 0.065 | -0.035 |
| | Sig. (bilateral) | 0.294 | | 0.044 | 0.000 | 0.002 | 0.000 | 0.000 | 0.891 | 0.000 | 0.873 | 0.000 | 0.000 | 0.140 | 0.000 | 0.000 | 0.139 | 0.430 |
| | N | 515 | 515 | 515 | 515 | 515 | 515 | 515 | 515 | 515 | 515 | 515 | 515 | 515 | 515 | 515 | 515 | 515 |
| EEF | Correlación de Pearson | ,507** | ,089* | 1 | ,714** | ,285** | ,496** | ,161** | ,378** | ,092* | -,151** | -,186** | -,141** | ,140** | 0.009 | ,347** | ,099* | ,345** |
| | Sig. (bilateral) | 0.000 | 0.044 | | 0.000 | 0.000 | 0.000 | 0.000 | 0.000 | 0.036 | 0.001 | 0.000 | 0.001 | 0.001 | 0.839 | 0.000 | 0.024 | 0.000 |
| | N | 515 | 515 | 515 | 515 | 515 | 515 | 515 | 515 | 515 | 515 | 515 | 515 | 515 | 515 | 515 | 515 | 515 |
| OEF | Correlación de Pearson | ,382** | ,164** | ,714** | 1 | ,268** | ,616** | ,224** | ,272** | ,171** | -0.075 | -0.046 | -,106* | ,164** | ,097* | ,569** | ,088* | ,264** |
| | Sig. (bilateral) | 0.000 | 0.000 | 0.000 | | 0.000 | 0.000 | 0.000 | 0.000 | 0.000 | 0.089 | 0.299 | 0.016 | 0.000 | 0.028 | 0.000 | 0.047 | 0.000 |
| | N | 515 | 515 | 515 | 515 | 515 | 515 | 515 | 515 | 515 | 515 | 515 | 515 | 515 | 515 | 515 | 515 | 515 |
| ES | Correlación de Pearson | ,365** | -,133** | ,285** | ,268** | 1 | ,196** | ,157** | ,371** | -,267** | -0.084 | -,475** | -,139** | ,348** | -,245** | -0.010 | -0.031 | ,295** |
| | Sig. (bilateral) | 0.000 | 0.002 | 0.000 | 0.000 | | 0.000 | 0.000 | 0.000 | 0.000 | 0.056 | 0.000 | 0.002 | 0.000 | 0.000 | 0.816 | 0.481 | 0.000 |
| | N | 515 | 515 | 515 | 515 | 515 | 515 | 515 | 515 | 515 | 515 | 515 | 515 | 515 | 515 | 515 | 515 | 515 |
| OSO | Correlación de Pearson | ,426** | ,249** | ,496** | ,616** | ,196** | 1 | ,442** | ,312** | ,313** | -,104* | -0.034 | -,091* | ,150** | ,171** | ,349** | ,228** | ,238** |
| | Sig. (bilateral) | 0.000 | 0.000 | 0.000 | 0.000 | 0.000 | | 0.000 | 0.000 | 0.000 | 0.018 | 0.439 | 0.038 | 0.001 | 0.000 | 0.000 | 0.000 | 0.000 |
| | N | 515 | 515 | 515 | 515 | 515 | 515 | 515 | 515 | 515 | 515 | 515 | 515 | 515 | 515 | 515 | 515 | 515 |
| OE | Correlación de Pearson | ,278** | ,187** | ,161** | ,224** | ,157** | ,442** | 1 | ,251** | ,093* | -0.079 | -,173** | -0.036 | ,170** | -0.080 | -0.009 | ,216** | ,119** |
| | Sig. (bilateral) | 0.000 | 0.000 | 0.000 | 0.000 | 0.000 | 0.000 | | 0.000 | 0.034 | 0.074 | 0.000 | 0.410 | 0.000 | 0.068 | 0.840 | 0.000 | 0.007 |

| | | | | | | | | | | | | | | | | | | |
|---|---|---|---|---|---|---|---|---|---|---|---|---|---|---|---|---|---|---|
| | N | 515 | 515 | 515 | 515 | 515 | 515 | 515 | 515 | 515 | 515 | 515 | 515 | 515 | 515 | 515 | 515 | 515 |
| SAC | Correlación de Pearson | ,695** | -0.006 | ,378** | ,272** | ,371** | ,312** | ,251** | 1 | -,125** | -,130** | -,424** | -,194** | ,231** | -,186** | -0.014 | ,165** | ,517** |
| | Sig. (bilateral) | 0.000 | 0.891 | 0.000 | 0.000 | 0.000 | 0.000 | 0.000 | | 0.005 | 0.003 | 0.000 | 0.000 | 0.000 | 0.000 | 0.758 | 0.000 | 0.000 |
| | N | 515 | 515 | 515 | 515 | 515 | 515 | 515 | 515 | 515 | 515 | 515 | 515 | 515 | 515 | 515 | 515 | 515 |
| PP | Correlación de Pearson | -0.048 | ,374** | ,092* | ,171** | -,267** | ,313** | ,093* | -,125** | 1 | ,403** | ,543** | ,167** | -,149** | ,654** | ,285** | ,106* | -,099* |
| | Sig. (bilateral) | 0.278 | 0.000 | 0.036 | 0.000 | 0.000 | 0.000 | 0.034 | 0.005 | | 0.000 | 0.000 | 0.000 | 0.001 | 0.000 | 0.000 | 0.016 | 0.025 |
| | N | 515 | 515 | 515 | 515 | 515 | 515 | 515 | 515 | 515 | 515 | 515 | 515 | 515 | 515 | 515 | 515 | 515 |
| ACP | Correlación de Pearson | -,208** | -0.007 | -,151** | -0.075 | -0.084 | -,104* | -0.079 | -,130** | ,403** | 1 | ,224** | 0.079 | 0.064 | ,302** | -0.039 | 0.014 | -,188** |
| | Sig. (bilateral) | 0.000 | 0.873 | 0.001 | 0.089 | 0.056 | 0.018 | 0.074 | 0.003 | 0.000 | | 0.000 | 0.073 | 0.148 | 0.000 | 0.375 | 0.752 | 0.000 |
| | N | 515 | 515 | 515 | 515 | 515 | 515 | 515 | 515 | 515 | 515 | 515 | 515 | 515 | 515 | 515 | 515 | 515 |
| Ver Gu | Correlación de Pearson | -,426** | ,304** | -,186** | -0.046 | -,475** | -0.034 | -,173** | -,424** | ,543** | ,224** | 1 | ,181** | -,459** | ,517** | ,246** | -0.032 | -,344** |
| | Sig. (bilateral) | 0.000 | 0.000 | 0.000 | 0.299 | 0.000 | 0.439 | 0.000 | 0.000 | 0.000 | 0.000 | | 0.000 | 0.000 | 0.000 | 0.000 | 0.474 | 0.000 |
| | N | 515 | 515 | 515 | 515 | 515 | 515 | 515 | 515 | 515 | 515 | 515 | 515 | 515 | 515 | 515 | 515 | 515 |
| ViGi | Correlación de Pearson | -,299** | ,492** | -,141** | -,106* | -,139** | -,091* | -0.036 | -,194** | ,167** | 0.079 | ,181** | 1 | ,090* | ,151** | -0.036 | -,191** | -,279** |
| | Sig. (bilateral) | 0.000 | 0.000 | 0.001 | 0.016 | 0.002 | 0.038 | 0.410 | 0.000 | 0.000 | 0.073 | 0.000 | | 0.042 | 0.001 | 0.417 | 0.000 | 0.000 |
| | N | 515 | 515 | 515 | 515 | 515 | 515 | 515 | 515 | 515 | 515 | 515 | 515 | 515 | 515 | 515 | 515 | 515 |
| CCA | Correlación de Pearson | ,178** | -0.065 | ,140** | ,164** | ,348** | ,150** | ,170** | ,231** | -,149** | 0.064 | -,459** | ,090* | 1 | -,178** | -,134** | -,108* | ,150** |
| | Sig. (bilateral) | 0.000 | 0.140 | 0.001 | 0.000 | 0.000 | 0.001 | 0.000 | 0.000 | 0.001 | 0.148 | 0.000 | 0.042 | | 0.000 | 0.002 | 0.014 | 0.001 |
| | N | 515 | 515 | 515 | 515 | 515 | 515 | 515 | 515 | 515 | 515 | 515 | 515 | 515 | 515 | 515 | 515 | 515 |
| ICD | Correlación de Pearson | -,119** | ,334** | 0.009 | ,097* | -,245** | ,171** | -0.080 | -,186** | ,654** | ,302** | ,517** | ,151** | -,178** | 1 | ,437** | 0.047 | -,101* |
| | Sig. (bilateral) | 0.007 | 0.000 | 0.839 | 0.028 | 0.000 | 0.000 | 0.068 | 0.000 | 0.000 | 0.000 | 0.000 | 0.001 | 0.000 | | 0.000 | 0.288 | 0.021 |
| | N | 515 | 515 | 515 | 515 | 515 | 515 | 515 | 515 | 515 | 515 | 515 | 515 | 515 | 515 | 515 | 515 | 515 |
| ICAM | Correlación de Pearson | ,128** | ,178** | ,347** | ,569** | -0.010 | ,349** | -0.009 | -0.014 | ,285** | -0.039 | ,246** | -0.036 | -,134** | ,437** | 1 | 0.075 | ,110* |

| | | | | | | | | | | | | | | | | | | |
|---|---|---|---|---|---|---|---|---|---|---|---|---|---|---|---|---|---|---|
| | Sig. (bilateral) | 0.004 | 0.000 | 0.000 | 0.000 | 0.816 | 0.000 | 0.840 | 0.758 | 0.000 | 0.375 | 0.000 | 0.417 | 0.002 | 0.000 | | 0.088 | 0.013 |
| | N | 515 | 515 | 515 | 515 | 515 | 515 | 515 | 515 | 515 | 515 | 515 | 515 | 515 | 515 | 515 | 515 | 515 |
| EAA | Correlación de Pearson | ,298** | 0.065 | ,099* | ,088* | -0.031 | ,228** | ,216** | ,165** | ,106* | 0.014 | -0.032 | -,191** | -,108* | 0.047 | 0.075 | 1 | ,313** |
| | Sig. (bilateral) | 0.000 | 0.139 | 0.024 | 0.047 | 0.481 | 0.000 | 0.000 | 0.000 | 0.016 | 0.752 | 0.474 | 0.000 | 0.014 | 0.288 | 0.088 | | 0.000 |
| | N | 515 | 515 | 515 | 515 | 515 | 515 | 515 | 515 | 515 | 515 | 515 | 515 | 515 | 515 | 515 | 515 | 515 |
| PAO | Correlación de Pearson | ,587** | -0.035 | ,345** | ,264** | ,295** | ,238** | ,119** | ,517** | -,099* | -,188** | -,344** | -,279** | ,150** | -,101* | ,110* | ,313** | 1 |
| | Sig. (bilateral) | 0.000 | 0.430 | 0.000 | 0.000 | 0.000 | 0.000 | 0.007 | 0.000 | 0.025 | 0.000 | 0.000 | 0.000 | 0.001 | 0.021 | 0.013 | 0.000 | |
| | N | 515 | 515 | 515 | 515 | 515 | 515 | 515 | 515 | 515 | 515 | 515 | 515 | 515 | 515 | 515 | 515 | 515 |

**. La correlación es significativa en el nivel 0,01 (bilateral).

*. La correlación es significativa en el nivel 0,05 (bilateral).

***Anexo 22.*** Modelo de ecuaciones estructurales (Modelo A)

**Notes for Group (Group number 1)**

The model is recursive.
Sample size = 502

**Variable Summary (Group number 1)**

**Your model contains the following variables (Group number 1)**

Observed, endogenous variables
EA
OAO
EEF
OEF
ES
OSO
OE
SAC
PP
ACP
VerGu
ViGi
CCAO
ICIDO
ICIAM
EAA
PAO
Observed, exogenous variables
Sex
Unobserved, endogenous variables
IC
AO
ICI
Unobserved, exogenous variables
e1
e2
e3
e4
e5
e6
e7
e8
e9
e10
e11
e12
e13
e14
e15
e17
e18

e19
e20
e16

**Variable counts (Group number 1)**

| | |
|---|---|
| Number of variables in your model: | 41 |
| Number of observed variables: | 18 |
| Number of unobserved variables: | 23 |
| Number of exogenous variables: | 21 |
| Number of endogenous variables: | 20 |

**Parameter Summary (Group number 1)**

| | Weights | Covariances | Variances | Means | Intercepts | Total |
|---|---|---|---|---|---|---|
| Fixed | 23 | 0 | 0 | 0 | 0 | 23 |
| Labeled | 0 | 0 | 0 | 0 | 0 | 0 |
| Unlabeled | 26 | 0 | 21 | 0 | 0 | 47 |
| Total | 49 | 0 | 21 | 0 | 0 | 70 |

**Assessment of normality (Group number 1)**

| Variable | min | max | skew | c.r. | kurtosis | c.r. |
|---|---|---|---|---|---|---|
| Sex | 1.000 | 2.000 | .298 | 2.726 | -1.911 | -8.741 |
| PAO | 1.700 | 5.000 | -.592 | -5.414 | -.126 | -.575 |
| EAA | 1.000 | 4.000 | -.395 | -3.614 | -.149 | -.681 |
| ICIAM | 1.000 | 5.000 | .323 | 2.957 | -.780 | -3.568 |
| ICIDO | 1.000 | 5.000 | .102 | .934 | -1.102 | -5.038 |
| CCAO | 1.625 | 7.000 | -.362 | -3.314 | -.407 | -1.862 |
| ViGi | 1.375 | 6.500 | -.143 | -1.307 | -.474 | -2.167 |
| VerGu | 1.000 | 7.000 | .454 | 4.150 | -.494 | -2.260 |
| ACP | 1.000 | 5.000 | -.340 | -3.108 | .629 | 2.877 |
| PP | 1.000 | 5.000 | .303 | 2.769 | -.771 | -3.525 |
| SAC | 1.111 | 5.000 | -.172 | -1.576 | -.377 | -1.723 |
| OE | 1.000 | 5.000 | .063 | .578 | -.173 | -.792 |
| OSO | 1.125 | 5.000 | -.128 | -1.175 | -.411 | -1.879 |
| ES | 1.333 | 5.000 | -.183 | -1.675 | -.278 | -1.271 |
| OEF | 1.000 | 5.000 | .013 | .122 | -.879 | -4.022 |
| EEF | 1.000 | 5.000 | -.196 | -1.794 | -.752 | -3.438 |
| OAO | 1.417 | 5.000 | -.484 | -4.425 | .022 | .100 |
| EA | 1.000 | 5.000 | -.333 | -3.046 | -.788 | -3.605 |
| Multivariate | | | | | 10.490 | 4.380 |

**Notes for Model (Default model)**

**Computation of degrees of freedom (Default model)**

| | |
|---|---|
| Number of distinct sample moments: | 171 |
| Number of distinct parameters to be estimated: | 47 |

Degrees of freedom (171 - 47): 124

**Result (Default model)**

Minimum was achieved
Chi-square = 2184.200
Degrees of freedom = 124
Probability level = .000

**Estimates (Group number 1 - Default model)**

**Scalar Estimates (Group number 1 - Default model)**

**Maximum Likelihood Estimates**

**Regression Weights: (Group number 1 - Default model)**

| | | | Estimate | S.E. | C.R. | P | Label |
|---|---|---|---|---|---|---|---|
| PAO | <--- | Sex | .171 | .067 | 2.561 | .010 | par_13 |
| ICI | <--- | PAO | -.184 | .066 | -2.786 | .005 | par_19 |
| ICI | <--- | Sex | -.675 | .101 | -6.663 | *** | par_20 |
| AO | <--- | Sex | -.072 | .115 | -.622 | .534 | par_15 |
| AO | <--- | PAO | -.538 | .069 | -7.766 | *** | par_18 |
| AO | <--- | ICI | .103 | .076 | 1.358 | .174 | par_26 |
| EAA | <--- | Sex | -.084 | .055 | -1.531 | .126 | par_14 |
| EAA | <--- | PAO | .305 | .039 | 7.877 | *** | par_17 |
| EAA | <--- | AO | .053 | .024 | 2.237 | .025 | par_23 |
| IC | <--- | EAA | .172 | .053 | 3.258 | .001 | par_16 |
| IC | <--- | AO | -.239 | .039 | -6.068 | *** | par_21 |
| IC | <--- | ICI | -.006 | .008 | -.813 | .416 | par_22 |
| IC | <--- | PAO | .617 | .052 | 11.804 | *** | par_24 |
| IC | <--- | Sex | -.178 | .065 | -2.741 | .006 | par_25 |
| EA | <--- | IC | 1.000 | | | | |
| OAO | <--- | IC | .033 | .035 | .932 | .351 | par_1 |
| EEF | <--- | IC | .672 | .048 | 13.909 | *** | par_2 |
| OEF | <--- | IC | .481 | .044 | 10.890 | *** | par_3 |
| ES | <--- | IC | .380 | .037 | 10.260 | *** | par_4 |
| OSO | <--- | IC | .421 | .036 | 11.774 | *** | par_5 |
| OE | <--- | IC | .299 | .038 | 7.844 | *** | par_6 |
| SAC | <--- | IC | .742 | .034 | 22.128 | *** | par_7 |
| PP | <--- | IC | -.093 | .054 | -1.728 | .084 | par_8 |
| ACP | <--- | IC | -.166 | .034 | -4.894 | *** | par_9 |
| VerGu | <--- | AO | 1.000 | | | | |
| ViGi | <--- | AO | .153 | .039 | 3.926 | *** | par_10 |
| CCAO | <--- | AO | -.406 | .052 | -7.745 | *** | par_11 |
| ICIDO | <--- | ICI | 1.000 | | | | |
| ICIAM | <--- | ICI | .093 | .068 | 1.367 | .172 | par_12 |

**Standardized Regression Weights: (Group number 1 - Default model)**

| | | | Estimate |
|---|---|---|---|
| PAO | <--- | Sex | .114 |
| ICI | <--- | PAO | -.055 |
| ICI | <--- | Sex | -.135 |
| AO | <--- | Sex | -.028 |
| AO | <--- | PAO | -.322 |
| AO | <--- | ICI | .206 |
| EAA | <--- | Sex | -.065 |
| EAA | <--- | PAO | .355 |
| EAA | <--- | AO | .104 |
| IC | <--- | EAA | .121 |
| IC | <--- | AO | -.327 |
| IC | <--- | ICI | -.017 |
| IC | <--- | PAO | .506 |
| IC | <--- | Sex | -.097 |
| EA | <--- | IC | .885 |
| OAO | <--- | IC | .044 |
| EEF | <--- | IC | .585 |
| OEF | <--- | IC | .477 |
| ES | <--- | IC | .453 |
| OSO | <--- | IC | .510 |
| OE | <--- | IC | .356 |
| SAC | <--- | IC | .823 |
| PP | <--- | IC | -.081 |
| ACP | <--- | IC | -.228 |
| VerGu | <--- | AO | .998 |
| ViGi | <--- | AO | .187 |
| CCAO | <--- | AO | -.462 |
| ICIDO | <--- | ICI | 2.012 |
| ICIAM | <--- | ICI | .222 |

**Variances: (Group number 1 - Default model)**

| | Estimate | S.E. | C.R. | P | Label |
|---|---|---|---|---|---|
| Sex | .245 | .015 | 15.827 | *** | par_27 |
| e20 | .548 | .035 | 15.827 | *** | par_28 |
| e19 | 6.026 | 4.222 | 1.427 | .154 | par_29 |
| e18 | 1.301 | .176 | 7.385 | *** | par_30 |
| e17 | .364 | .023 | 15.824 | *** | par_31 |
| e16 | .392 | .038 | 10.405 | *** | par_32 |
| e1 | .229 | .026 | 8.729 | *** | par_33 |
| e2 | .463 | .029 | 15.824 | *** | par_34 |
| e3 | .716 | .048 | 14.834 | *** | par_35 |
| e4 | .648 | .042 | 15.268 | *** | par_36 |
| e5 | .460 | .030 | 15.338 | *** | par_37 |
| e6 | .416 | .027 | 15.159 | *** | par_38 |
| e7 | .508 | .033 | 15.554 | *** | par_39 |
| e8 | .217 | .019 | 11.536 | *** | par_40 |
| e9 | 1.070 | .068 | 15.815 | *** | par_41 |

| | Estimate | S.E. | C.R. | P | Label |
|---|---|---|---|---|---|
| e10 | .419 | .027 | 15.725 | *** | par_42 |
| e11 | .007 | .150 | .047 | .963 | par_43 |
| e12 | 1.009 | .064 | 15.801 | *** | par_44 |
| e13 | .942 | .064 | 14.619 | *** | par_45 |
| e14 | -4.643 | 4.234 | -1.097 | .273 | par_46 |
| e15 | 1.035 | .075 | 13.794 | *** | par_47 |

**Squared Multiple Correlations: (Group number 1 - Default model)**

| | Estimate |
|---|---|
| PAO | .013 |
| ICI | .023 |
| AO | .160 |
| EAA | .112 |
| IC | .526 |
| ICIAM | .049 |
| ICIDO | 4.047 |
| CCAO | .213 |
| ViGi | .035 |
| VerGu | .995 |
| ACP | .052 |
| PP | .007 |
| SAC | .677 |
| OE | .127 |
| OSO | .260 |
| ES | .205 |
| OEF | .228 |
| EEF | .342 |
| OAO | .002 |
| EA | .783 |

**Indirect Effects (Group number 1 - Default model)**

| | Sex | PAO | ICI | AO | EAA | IC |
|---|---|---|---|---|---|---|
| PAO | .000 | .000 | .000 | .000 | .000 | .000 |
| ICI | -.032 | .000 | .000 | .000 | .000 | .000 |
| AO | -.165 | -.019 | .000 | .000 | .000 | .000 |
| EAA | .040 | -.030 | .006 | .000 | .000 | .000 |
| IC | .159 | .181 | -.024 | .009 | .000 | .000 |
| ICIAM | -.066 | -.017 | .000 | .000 | .000 | .000 |
| ICIDO | -.707 | -.184 | .000 | .000 | .000 | .000 |
| CCAO | .096 | .226 | -.042 | .000 | .000 | .000 |
| ViGi | -.036 | -.085 | .016 | .000 | .000 | .000 |
| VerGu | -.237 | -.557 | .103 | .000 | .000 | .000 |
| ACP | .003 | -.133 | .005 | .038 | -.029 | .000 |
| PP | .002 | -.074 | .003 | .021 | -.016 | .000 |
| SAC | -.015 | .593 | -.022 | -.170 | .128 | .000 |
| OE | -.006 | .238 | -.009 | -.069 | .051 | .000 |

| | Sex | PAO | ICI | AO | EAA | IC |
|---|---|---|---|---|---|---|
| OSO | -.008 | .336 | -.013 | -.097 | .073 | .000 |
| ES | -.007 | .303 | -.011 | -.087 | .065 | .000 |
| OEF | -.009 | .384 | -.014 | -.110 | .083 | .000 |
| EEF | -.013 | .536 | -.020 | -.154 | .116 | .000 |
| OAO | -.001 | .026 | -.001 | -.008 | .006 | .000 |
| EA | -.020 | .799 | -.030 | -.230 | .172 | .000 |

**Standardized Indirect Effects (Group number 1 - Default model)**

| | Sex | PAO | ICI | AO | EAA | IC |
|---|---|---|---|---|---|---|
| PAO | .000 | .000 | .000 | .000 | .000 | .000 |
| ICI | -.006 | .000 | .000 | .000 | .000 | .000 |
| AO | -.066 | -.011 | .000 | .000 | .000 | .000 |
| EAA | .031 | -.035 | .021 | .000 | .000 | .000 |
| IC | .086 | .149 | -.065 | .013 | .000 | .000 |
| ICIAM | -.031 | -.012 | .000 | .000 | .000 | .000 |
| ICIDO | -.283 | -.111 | .000 | .000 | .000 | .000 |
| CCAO | .043 | .154 | -.095 | .000 | .000 | .000 |
| ViGi | -.018 | -.062 | .038 | .000 | .000 | .000 |
| VerGu | -.094 | -.332 | .206 | .000 | .000 | .000 |
| ACP | .002 | -.149 | .019 | .072 | -.028 | .000 |
| PP | .001 | -.053 | .007 | .026 | -.010 | .000 |
| SAC | -.009 | .539 | -.067 | -.259 | .100 | .000 |
| OE | -.004 | .233 | -.029 | -.112 | .043 | .000 |
| OSO | -.005 | .334 | -.042 | -.160 | .062 | .000 |
| ES | -.005 | .297 | -.037 | -.142 | .055 | .000 |
| OEF | -.005 | .313 | -.039 | -.150 | .058 | .000 |
| EEF | -.006 | .383 | -.048 | -.184 | .071 | .000 |
| OAO | .000 | .029 | -.004 | -.014 | .005 | .000 |
| EA | -.009 | .579 | -.072 | -.278 | .107 | .000 |

**Matrices (Group number 1 - Default model)**

**Residual Covariances (Group number 1 - Default model)**

| | Sex | PAO | EAA | ICIAM | ICIDO | CCAO | ViGi | VerGu | ACP | PP | SAC | OE | OSO | ES | OEF | EEF | OAO | EA |
|---|---|---|---|---|---|---|---|---|---|---|---|---|---|---|---|---|---|---|
| Sex | .000 | | | | | | | | | | | | | | | | | |
| PAO | .000 | .000 | | | | | | | | | | | | | | | | |
| EAA | .000 | .000 | .000 | | | | | | | | | | | | | | | |
| ICIAM | .166 | .118 | .079 | .000 | | | | | | | | | | | | | | |
| ICIDO | .070 | .049 | .032 | .000 | .000 | | | | | | | | | | | | | |
| CCAO | -.036 | -.014 | -.079 | -.141 | .046 | .000 | | | | | | | | | | | | |
| ViGi | -.085 | -.175 | -.133 | -.064 | .092 | .190 | .000 | | | | | | | | | | | |
| VerGu | .000 | .000 | .000 | .239 | .100 | .000 | .000 | .000 | | | | | | | | | | |
| ACP | -.028 | -.027 | .030 | -.014 | .211 | .085 | .051 | .109 | .000 | | | | | | | | | |
| PP | -.102 | -.028 | .086 | .317 | .830 | -.151 | .167 | .657 | .270 | .000 | | | | | | | | |
| SAC | -.026 | .004 | -.037 | .016 | -.012 | .060 | -.109 | -.091 | .018 | -.060 | .000 | | | | | | | |
| OE | -.037 | -.051 | .063 | -.014 | .005 | .075 | -.009 | -.006 | .008 | .099 | -.005 | .000 | | | | | | |
| OSO | -.007 | -.043 | .045 | .288 | .287 | .022 | -.040 | .206 | .017 | .286 | -.048 | .145 | .000 | | | | | |
| ES | .015 | .002 | -.081 | .001 | -.157 | .205 | -.075 | -.246 | .012 | -.176 | .005 | .006 | -.014 | .000 | | | | |
| OEF | .085 | -.031 | -.016 | .558 | .234 | .037 | -.064 | .226 | .030 | .215 | -.070 | .040 | .263 | .029 | .000 | | | |

| | Sex | PAO | EAA | ICIAM | ICIDO | CCAO | ViGi | VerGu | ACP | PP | SAC | OE | OSO | ES | OEF | EEF | OAO | EA |
|---|---|---|---|---|---|---|---|---|---|---|---|---|---|---|---|---|---|---|
| EEF | .022 | -.028 | -.036 | .396 | .186 | -.008 | -.098 | .143 | -.003 | .167 | -.057 | -.035 | .161 | .012 | .410 | .000 | | |
| OAO | -.070 | -.033 | .027 | .126 | .300 | -.054 | .353 | .280 | .005 | .274 | -.019 | .092 | .118 | -.077 | .089 | .045 | .000 | |
| EA | .001 | .022 | .040 | .161 | .096 | -.038 | -.240 | .020 | .002 | .040 | .023 | -.021 | -.012 | -.037 | -.047 | -.022 | .015 | .000 |

**Standardized Residual Covariances (Group number 1 - Default model)**

| | Sex | PAO | EAA | ICIAM | ICIDO | CCAO | ViGi | VerG | ACP | PP | SAC | OE | OSO | ES | OEF | EEF | OAO | EA |
|---|---|---|---|---|---|---|---|---|---|---|---|---|---|---|---|---|---|---|
| Sex | .000 | | | | | | | | | | | | | | | | | |
| PAO | .000 | .000 | | | | | | | | | | | | | | | | |
| EAA | .000 | .000 | .000 | | | | | | | | | | | | | | | |
| ICIAM | 7.217 | 3.390 | 2.632 | .000 | | | | | | | | | | | | | | |
| ICIDO | 2.459 | 1.188 | .897 | .000 | .000 | | | | | | | | | | | | | |
| CCAO | -1.471 | -.381 | -2.526 | -2.769 | .745 | .000 | | | | | | | | | | | | |
| ViGi | -3.741 | -5.128 | -4.562 | -1.344 | 1.626 | 3.787 | .000 | | | | | | | | | | | |
| VerGu | -.001 | .003 | -.003 | 4.110 | 1.322 | -.005 | -.007 | .000 | | | | | | | | | | |
| ACP | -1.910 | -1.214 | 1.568 | -.437 | 5.744 | 2.624 | 1.674 | 2.929 | .000 | | | | | | | | | |
| PP | -4.453 | -.797 | 2.882 | 6.562 | 14.507 | -2.980 | 3.516 | 11.360 | 8.744 | .000 | | | | | | | | |
| SAC | -1.430 | .122 | -1.549 | .416 | -.255 | 1.461 | -2.904 | -1.843 | .735 | -1.579 | .000 | | | | | | | |
| OE | -2.173 | -1.972 | 2.892 | -.383 | .117 | 2.018 | -.270 | -.135 | .335 | 2.802 | -.179 | .000 | | | | | | |
| OSO | -.427 | -1.626 | 2.064 | 8.239 | 6.894 | .600 | -1.152 | 4.787 | .747 | 8.217 | -1.602 | 5.579 | .000 | | | | | |
| ES | .920 | .079 | -3.670 | .024 | -3.709 | 5.484 | -2.145 | -5.655 | .508 | -4.991 | .177 | .235 | -.545 | .000 | | | | |
| OEF | 4.219 | -.965 | -.598 | 13.064 | 4.604 | .822 | -1.526 | 4.313 | 1.109 | 5.066 | -1.940 | 1.252 | 8.320 | .910 | .000 | | | |
| EEF | .951 | -.742 | -1.176 | 8.139 | 3.211 | -.156 | -2.050 | 2.360 | -.088 | 3.442 | -1.343 | -.958 | 4.404 | .320 | 9.251 | .000 | | |
| OAO | -4.674 | -1.461 | 1.378 | 3.986 | 8.001 | -1.636 | 11.341 | 7.385 | .247 | 8.686 | -.757 | 3.965 | 5.162 | -3.336 | 3.196 | 1.410 | .000 | |
| EA | .055 | .563 | 1.317 | 3.371 | 1.665 | -.751 | -5.106 | .327 | .078 | .847 | .489 | -.581 | -.326 | -.984 | -1.039 | -.416 | .464 | .000 |

**Factor Score Weights (Group number 1 - Default model)**

| | Sex | PAO | EAA | ICIAM | ICIDO | CCAO | ViGi | VerGu | ACP | PP | SAC | OE | OSO | ES | OEF | EEF | OAO | EA |
|---|---|---|---|---|---|---|---|---|---|---|---|---|---|---|---|---|---|---|
| ICI | 3.317 | -.599 | -.069 | -2.753 | 6.573 | .007 | -.002 | -2.316 | -.017 | -.004 | .148 | .026 | .044 | .036 | .032 | .041 | .003 | .189 |
| AO | .001 | -.001 | .002 | -.001 | .003 | -.003 | .001 | .991 | .000 | .000 | -.001 | .000 | .000 | .000 | .000 | .000 | .000 | -.002 |
| IC | -.045 | .139 | .038 | .004 | -.009 | .000 | .000 | -.050 | -.035 | -.008 | .299 | .051 | .088 | .072 | .065 | .082 | .006 | .382 |

**Notes for Group/Model (Group number 1 - Default model)**

**The following variances are negative. (Group number 1 - Default model)**

| |
|---|
| e14 |
| -4.643 |

This solution is not admissible.

**Minimization History (Default model)**

| Iteration | | Negative eigenvalues | Condition # | Smallest eigenvalue | Diameter | F | NTries | Ratio |
|---|---|---|---|---|---|---|---|---|
| 0 | e | 7 | | -.546 | 9999.000 | 4160.144 | 0 | 9999.000 |
| 1 | e | 5 | | -.133 | 1.649 | 3046.125 | 19 | .528 |
| 2 | e* | 0 | 973.996 | | 1.371 | 2427.834 | 5 | .714 |
| 3 | e | 0 | 858.149 | | .527 | 2310.932 | 4 | .000 |
| 4 | e | 0 | 1159.324 | | .402 | 2213.418 | 1 | 1.063 |
| 5 | e | 0 | 191.988 | | .480 | 2191.400 | 1 | 1.012 |
| 6 | e | 1 | | -.008 | .178 | 2185.545 | 1 | .923 |
| 7 | e | 0 | 1641.678 | | .152 | 2185.029 | 10 | .732 |
| 8 | e | 0 | 2392.530 | | .236 | 2184.803 | 1 | 1.260 |
| 9 | e | 0 | 5116.636 | | .197 | 2184.635 | 1 | 1.338 |
| 10 | e | 0 | 5031.112 | | .257 | 2184.533 | 1 | 1.102 |
| 11 | e | 0 | 18565.361 | | .154 | 2184.434 | 1 | 1.276 |
| 12 | e | 0 | 13425.615 | | .188 | 2184.388 | 2 | .000 |
| 13 | e | 0 | 23828.669 | | .189 | 2184.336 | 1 | 1.340 |
| 14 | e | 0 | 24766.714 | | .231 | 2184.302 | 1 | 1.180 |
| 15 | e | 0 | 68009.805 | | .153 | 2184.271 | 1 | 1.318 |
| 16 | e | 0 | 30324.425 | | .293 | 2184.263 | 1 | .410 |
| 17 | e | 0 | 273182.098 | | .088 | 2184.234 | 1 | 1.087 |
| 18 | e | 0 | 51723.798 | | .286 | 2184.234 | 2 | .000 |
| 19 | e | 0 | 556169.013 | | .071 | 2184.215 | 1 | 1.055 |
| 20 | e | 0 | 245436.794 | | .136 | 2184.211 | 3 | .000 |
| 21 | e | 0 | 227990.969 | | .174 | 2184.207 | 1 | 1.178 |
| 22 | e | 0 | 532917.625 | | .106 | 2184.204 | 1 | 1.302 |
| 23 | e | 0 | 284840.821 | | .183 | 2184.203 | 1 | .732 |
| 24 | e | 0 | 1309089.007 | | .056 | 2184.201 | 1 | 1.120 |
| 25 | e | 0 | 840770.157 | | .091 | 2184.200 | 2 | .000 |
| 26 | e | 0 | 1284792.708 | | .072 | 2184.200 | 1 | 1.275 |
| 27 | e | 0 | 1563402.365 | | .059 | 2184.200 | 1 | 1.213 |
| 28 | e | 0 | 2215936.551 | | .030 | 2184.200 | 1 | 1.172 |
| 29 | e | 0 | 2408575.306 | | .013 | 2184.200 | 1 | 1.076 |
| 30 | e | 0 | 2460283.429 | | .002 | 2184.200 | 1 | 1.012 |
| 31 | e | 0 | 2503499.628 | | .000 | 2184.200 | 1 | 1.000 |

**Model Fit Summary**

**CMIN**

| Model | NPAR | CMIN | DF | P | CMIN/DF |
|---|---|---|---|---|---|
| Default model | 47 | 2184.200 | 124 | .000 | 17.615 |
| Saturated model | 171 | .000 | 0 | | |
| Independence model | 18 | 4038.204 | 153 | .000 | 26.393 |

**RMR, GFI**

| Model | RMR | GFI | AGFI | PGFI |
|---|---|---|---|---|
| Default model | .149 | .653 | .522 | .474 |
| Saturated model | .000 | 1.000 | | |
| Independence model | .232 | .452 | .388 | .404 |

**Baseline Comparisons**

| Model | NFI Delta1 | RFI rho1 | IFI Delta2 | TLI rho2 | CFI |
|---|---|---|---|---|---|
| Default model | .459 | .333 | .474 | .346 | .470 |
| Saturated model | 1.000 | | 1.000 | | 1.000 |
| Independence model | .000 | .000 | .000 | .000 | .000 |

**Parsimony-Adjusted Measures**

| Model | PRATIO | PNFI | PCFI |
|---|---|---|---|
| Default model | .810 | .372 | .381 |
| Saturated model | .000 | .000 | .000 |
| Independence model | 1.000 | .000 | .000 |

**NCP**

| Model | NCP | LO 90 | HI 90 |
|---|---|---|---|
| Default model | 2060.200 | 1912.288 | 2215.482 |
| Saturated model | .000 | .000 | .000 |
| Independence model | 3885.204 | 3681.704 | 4095.985 |

**FMIN**

| Model | FMIN | F0 | LO 90 | HI 90 |
|---|---|---|---|---|
| Default model | 4.360 | 4.112 | 3.817 | 4.422 |
| Saturated model | .000 | .000 | .000 | .000 |
| Independence model | 8.060 | 7.755 | 7.349 | 8.176 |

**RMSEA**

| Model | RMSEA | LO 90 | HI 90 | PCLOSE |
|---|---|---|---|---|
| Default model | .182 | .175 | .189 | .000 |
| Independence model | .225 | .219 | .231 | .000 |

**AIC**

| Model | AIC | BCC | BIC | CAIC |
|---|---|---|---|---|
| Default model | 2278.200 | 2281.905 | 2476.474 | 2523.474 |
| Saturated model | 342.000 | 355.481 | 1063.381 | 1234.381 |
| Independence model | 4074.204 | 4075.623 | 4150.139 | 4168.139 |

**ECVI**

| Model | ECVI | LO 90 | HI 90 | MECVI |
|---|---|---|---|---|
| Default model | 4.547 | 4.252 | 4.857 | 4.555 |
| Saturated model | .683 | .683 | .683 | .710 |
| Independence model | 8.132 | 7.726 | 8.553 | 8.135 |

**HOELTER**

| Model | HOELTER .05 | HOELTER .01 |
|---|---|---|
| Default model | 35 | 38 |
| Independence model | 23 | 25 |

***Anexo 23.*** Análisis descriptivo de los ítems previo al análisis factorial exploratorio

***MBSRQ***

Descriptivos

| | | | Estadístico | Desv. Error |
|---|---|---|---|---|
| [1.Antes de estar en público siempre compruebo mi aspecto] | Media | | 4,18 | 0,051 |
| | 95% de intervalo de confianza para la media | Límite inferior | 4,08 | |
| | | Límite superior | 4,28 | |
| | Media recortada al 5% | | 4,31 | |
| | Mediana | | 5,00 | |
| | Varianza | | 1,293 | |
| | Desv. Desviación | | 1,137 | |
| | Mínimo | | 1 | |
| | Máximo | | 5 | |
| | Rango | | 4 | |
| | Rango intercuartil | | 1 | |
| | Asimetría | | -1,354 | 0,109 |
| | Curtosis | | 0,928 | 0,218 |
| [2.Procuro comprar ropa que me haga mejorar mi aspecto] | Media | | 4,14 | 0,047 |
| | 95% de intervalo de confianza para la media | Límite inferior | 4,04 | |
| | | Límite superior | 4,23 | |
| | Media recortada al 5% | | 4,24 | |
| | Mediana | | 4,00 | |
| | Varianza | | 1,087 | |
| | Desv. Desviación | | 1,043 | |
| | Mínimo | | 1 | |
| | Máximo | | 5 | |
| | Rango | | 4 | |
| | Rango intercuartil | | 1 | |
| | Asimetría | | -1,185 | 0,109 |
| | Curtosis | | 0,865 | 0,218 |
| [3.Podría superar la mayoría de las pruebas de resistencia de estar en buena forma física] | Media | | 3,52 | 0,057 |
| | 95% de intervalo de confianza para la media | Límite inferior | 3,41 | |
| | | Límite superior | 3,63 | |
| | Media recortada al 5% | | 3,58 | |
| | Mediana | | 4,00 | |
| | Varianza | | 1,635 | |
| | Desv. Desviación | | 1,279 | |

| | | | | |
|---|---|---|---|---|
| | Mínimo | | 1 | |
| | Máximo | | 5 | |
| | Rango | | 4 | |
| | Rango intercuartil | | 2 | |
| | Asimetría | | -0,463 | 0,109 |
| | Curtosis | | -0,825 | 0,218 |
| [4.Para mí es importante tener mucha fuerza física] | Media | | 3,19 | 0,058 |
| | 95% de intervalo de confianza para la media | Límite inferior | 3,07 | |
| | | Límite superior | 3,30 | |
| | Media recortada al 5% | | 3,21 | |
| | Mediana | | 3,00 | |
| | Varianza | | 1,688 | |
| | Desv. Desviación | | 1,299 | |
| | Mínimo | | 1 | |
| | Máximo | | 5 | |
| | Rango | | 4 | |
| | Rango intercuartil | | 2 | |
| | Asimetría | | -0,167 | 0,109 |
| | Curtosis | | -1,031 | 0,218 |
| [5.Mi cuerpo es sexualmente atractivo] | Media | | 3,45 | 0,057 |
| | 95% de intervalo de confianza para la media | Límite inferior | 3,34 | |
| | | Límite superior | 3,56 | |
| | Media recortada al 5% | | 3,50 | |
| | Mediana | | 4,00 | |
| | Varianza | | 1,637 | |
| | Desv. Desviación | | 1,280 | |
| | Mínimo | | 1 | |
| | Máximo | | 5 | |
| | Rango | | 4 | |
| | Rango intercuartil | | 2 | |
| | Asimetría | | -0,411 | 0,109 |
| | Curtosis | | -0,907 | 0,218 |
| [6.Hago ejercicio regularmente] | Media | | 2,91 | 0,063 |
| | 95% de intervalo de confianza para la media | Límite inferior | 2,79 | |
| | | Límite superior | 3,03 | |
| | Media recortada al 5% | | 2,90 | |
| | Mediana | | 3,00 | |
| | Varianza | | 2,014 | |

| | | | | |
|---|---|---|---|---|
| | Desv. Desviación | | 1,419 | |
| | Mínimo | | 1 | |
| | Máximo | | 5 | |
| | Rango | | 4 | |
| | Rango intercuartil | | 2 | |
| | Asimetría | | 0,108 | 0,109 |
| | Curtosis | | -1,267 | 0,218 |
| [7.Controlo mi salud] | Media | | 3,45 | 0,053 |
| | 95% de intervalo de confianza para la media | Límite inferior | 3,35 | |
| | | Límite superior | 3,56 | |
| | Media recortada al 5% | | 3,50 | |
| | Mediana | | 4,00 | |
| | Varianza | | 1,410 | |
| | Desv. Desviación | | 1,187 | |
| | Mínimo | | 1 | |
| | Máximo | | 5 | |
| | Rango | | 4 | |
| | Rango intercuartil | | 1 | |
| | Asimetría | | -0,407 | 0,109 |
| | Curtosis | | -0,681 | 0,218 |
| [8.Sé mucho sobre las cosas que afectan a mi salud física] | Media | | 3,73 | 0,053 |
| | 95% de intervalo de confianza para la media | Límite inferior | 3,63 | |
| | | Límite superior | 3,84 | |
| | Media recortada al 5% | | 3,81 | |
| | Mediana | | 4,00 | |
| | Varianza | | 1,390 | |
| | Desv. Desviación | | 1,179 | |
| | Mínimo | | 1 | |
| | Máximo | | 5 | |
| | Rango | | 4 | |
| | Rango intercuartil | | 2 | |
| | Asimetría | | -0,696 | 0,109 |
| | Curtosis | | -0,403 | 0,218 |
| [9.He adoptado deliberadamente un estilo de vida saludable] | Media | | 3,16 | 0,058 |
| | 95% de intervalo de confianza para la media | Límite inferior | 3,04 | |
| | | Límite superior | 3,27 | |
| | Media recortada al 5% | | 3,17 | |
| | Mediana | | 3,00 | |

| | | | | |
|---|---|---|---|---|
| | Varianza | | 1,684 | |
| | Desv. Desviación | | 1,298 | |
| | Mínimo | | 1 | |
| | Máximo | | 5 | |
| | Rango | | 4 | |
| | Rango intercuartil | | 2 | |
| | Asimetría | | -0,093 | 0,109 |
| | Curtosis | | -1,084 | 0,218 |
| [10.Me preocupo constantemente de poder llegar a estar gordo/a] | Media | | 3,22 | 0,069 |
| | 95% de intervalo de confianza para la media | Límite inferior | 3,08 | |
| | | Límite superior | 3,35 | |
| | Media recortada al 5% | | 3,24 | |
| | Mediana | | 3,00 | |
| | Varianza | | 2,374 | |
| | Desv. Desviación | | 1,541 | |
| | Mínimo | | 1 | |
| | Máximo | | 5 | |
| | Rango | | 4 | |
| | Rango intercuartil | | 3 | |
| | Asimetría | | -0,190 | 0,109 |
| | Curtosis | | -1,461 | 0,218 |
| [11.Me gusta mi aspecto tal y cómo es] | Media | | 3,38 | 0,056 |
| | 95% de intervalo de confianza para la media | Límite inferior | 3,27 | |
| | | Límite superior | 3,49 | |
| | Media recortada al 5% | | 3,42 | |
| | Mediana | | 3,50 | |
| | Varianza | | 1,569 | |
| | Desv. Desviación | | 1,252 | |
| | Mínimo | | 1 | |
| | Máximo | | 5 | |
| | Rango | | 4 | |
| | Rango intercuartil | | 2 | |
| | Asimetría | | -0,330 | 0,109 |
| | Curtosis | | -0,905 | 0,218 |
| [12.Compruebo mi aspecto en un espejo siempre que puedo] | Media | | 3,67 | 0,057 |
| | 95% de intervalo de confianza para la media | Límite inferior | 3,56 | |
| | | Límite superior | 3,78 | |
| | Media recortada al 5% | | 3,74 | |

| | | | | |
|---|---|---|---|---|
| | Mediana | | 4,00 | |
| | Varianza | | 1,631 | |
| | Desv. Desviación | | 1,277 | |
| | Mínimo | | 1 | |
| | Máximo | | 5 | |
| | Rango | | 4 | |
| | Rango intercuartil | | 2 | |
| | Asimetría | | -0,650 | 0,109 |
| | Curtosis | | -0,666 | 0,218 |
| [13.Antes de salir invierto mucho tiempo en arreglarme] | Media | | 3,30 | 0,059 |
| | 95% de intervalo de confianza para la media | Límite inferior | 3,19 | |
| | | Límite superior | 3,42 | |
| | Media recortada al 5% | | 3,34 | |
| | Mediana | | 3,00 | |
| | Varianza | | 1,752 | |
| | Desv. Desviación | | 1,324 | |
| | Mínimo | | 1 | |
| | Máximo | | 5 | |
| | Rango | | 4 | |
| | Rango intercuartil | | 3 | |
| | Asimetría | | -0,186 | 0,109 |
| | Curtosis | | -1,091 | 0,218 |
| [14.Tengo una buena resistencia física] | Media | | 3,14 | 0,058 |
| | 95% de intervalo de confianza para la media | Límite inferior | 3,03 | |
| | | Límite superior | 3,25 | |
| | Media recortada al 5% | | 3,15 | |
| | Mediana | | 3,00 | |
| | Varianza | | 1,685 | |
| | Desv. Desviación | | 1,298 | |
| | Mínimo | | 1 | |
| | Máximo | | 5 | |
| | Rango | | 4 | |
| | Rango intercuartil | | 2 | |
| | Asimetría | | -0,195 | 0,109 |
| | Curtosis | | -1,031 | 0,218 |
| [15.Participar en deportes es importante para mí] | Media | | 2,74 | 0,066 |
| | 95% de intervalo de confianza para la media | Límite inferior | 2,61 | |
| | | Límite superior | 2,87 | |

| | | | | |
|---|---|---|---|---|
| | Media recortada al 5% | | 2,71 | |
| | Mediana | | 3,00 | |
| | Varianza | | 2,192 | |
| | Desv. Desviación | | 1,481 | |
| | Mínimo | | 1 | |
| | Máximo | | 5 | |
| | Rango | | 4 | |
| | Rango intercuartil | | 3 | |
| | Asimetría | | 0,259 | 0,109 |
| | Curtosis | | -1,336 | 0,218 |
| [16.Hago actividades que me mantengan en forma] | Media | | 3,02 | 0,064 |
| | 95% de intervalo de confianza para la media | Límite inferior | 2,90 | |
| | | Límite superior | 3,15 | |
| | Media recortada al 5% | | 3,03 | |
| | Mediana | | 3,00 | |
| | Varianza | | 2,031 | |
| | Desv. Desviación | | 1,425 | |
| | Mínimo | | 1 | |
| | Máximo | | 5 | |
| | Rango | | 4 | |
| | Rango intercuartil | | 2 | |
| | Asimetría | | -0,005 | 0,109 |
| | Curtosis | | -1,329 | 0,218 |
| [17.Tengo altibajos inesperados de salud] | Media | | 2,40 | 0,061 |
| | 95% de intervalo de confianza para la media | Límite inferior | 2,28 | |
| | | Límite superior | 2,52 | |
| | Media recortada al 5% | | 2,34 | |
| | Mediana | | 2,00 | |
| | Varianza | | 1,882 | |
| | Desv. Desviación | | 1,372 | |
| | Mínimo | | 1 | |
| | Máximo | | 5 | |
| | Rango | | 4 | |
| | Rango intercuartil | | 2 | |
| | Asimetría | | 0,576 | 0,109 |
| | Curtosis | | -0,954 | 0,218 |
| [18.Tener buena salud es una de las cosas más | Media | | 4,07 | 0,049 |
| | 95% de intervalo de | Límite inferior | 3,98 | |

| | | | | |
|---|---|---|---|---|
| importantes para mí] | confianza para la media | Límite superior | 4,17 | |
| | Media recortada al 5% | | 4,17 | |
| | Mediana | | 4,00 | |
| | Varianza | | 1,188 | |
| | Desv. Desviación | | 1,090 | |
| | Mínimo | | 1 | |
| | Máximo | | 5 | |
| | Rango | | 4 | |
| | Rango intercuartil | | 2 | |
| | Asimetría | | -1,043 | 0,109 |
| | Curtosis | | 0,336 | 0,218 |
| [19.No hago nada que pueda ser dañino para mi salud] | Media | | 3,25 | 0,058 |
| | 95% de intervalo de confianza para la media | Límite inferior | 3,14 | |
| | | Límite superior | 3,37 | |
| | Media recortada al 5% | | 3,28 | |
| | Mediana | | 3,00 | |
| | Varianza | | 1,671 | |
| | Desv. Desviación | | 1,293 | |
| | Mínimo | | 1 | |
| | Máximo | | 5 | |
| | Rango | | 4 | |
| | Rango intercuartil | | 2 | |
| | Asimetría | | -0,132 | 0,109 |
| | Curtosis | | -1,055 | 0,218 |
| [20.Soy muy consciente de cambios en mi peso aunque sean pequeños] | Media | | 3,25 | 0,065 |
| | 95% de intervalo de confianza para la media | Límite inferior | 3,12 | |
| | | Límite superior | 3,38 | |
| | Media recortada al 5% | | 3,28 | |
| | Mediana | | 3,00 | |
| | Varianza | | 2,097 | |
| | Desv. Desviación | | 1,448 | |
| | Mínimo | | 1 | |
| | Máximo | | 5 | |
| | Rango | | 4 | |
| | Rango intercuartil | | 3 | |
| | Asimetría | | -0,246 | 0,109 |
| | Curtosis | | -1,264 | 0,218 |
| [21.Casi todo el | Media | | 3,10 | 0,055 |

| | | | | |
|---|---|---|---|---|
| mundo me considera atractivo/a] | 95% de intervalo de confianza para la media | Límite inferior | 2,99 | |
| | | Límite superior | 3,20 | |
| | Media recortada al 5% | | 3,11 | |
| | Mediana | | 3,00 | |
| | Varianza | | 1,508 | |
| | Desv. Desviación | | 1,228 | |
| | Mínimo | | 1 | |
| | Máximo | | 5 | |
| | Rango | | 4 | |
| | Rango intercuartil | | 2 | |
| | Asimetría | | -0,066 | 0,109 |
| | Curtosis | | -0,866 | 0,218 |
| [22.Es importante para mí tener siempre un buen aspecto] | Media | | 3,86 | 0,048 |
| | 95% de intervalo de confianza para la media | Límite inferior | 3,76 | |
| | | Límite superior | 3,95 | |
| | Media recortada al 5% | | 3,93 | |
| | Mediana | | 4,00 | |
| | Varianza | | 1,145 | |
| | Desv. Desviación | | 1,070 | |
| | Mínimo | | 1 | |
| | Máximo | | 5 | |
| | Rango | | 4 | |
| | Rango intercuartil | | 2 | |
| | Asimetría | | -0,722 | 0,109 |
| | Curtosis | | -0,159 | 0,218 |
| [23.Uso pocos productos de belleza] | Media | | 3,40 | 0,065 |
| | 95% de intervalo de confianza para la media | Límite inferior | 3,28 | |
| | | Límite superior | 3,53 | |
| | Media recortada al 5% | | 3,45 | |
| | Mediana | | 4,00 | |
| | Varianza | | 2,089 | |
| | Desv. Desviación | | 1,445 | |
| | Mínimo | | 1 | |
| | Máximo | | 5 | |
| | Rango | | 4 | |
| | Rango intercuartil | | 3 | |
| | Asimetría | | -0,360 | 0,109 |
| | Curtosis | | -1,258 | 0,218 |

| | | | | |
|---|---|---|---|---|
| [24.Aprendo fácilmente nuevas habilidades físicas] | Media | | 3,32 | 0,057 |
| | 95% de intervalo de confianza para la media | Límite inferior | 3,21 | |
| | | Límite superior | 3,44 | |
| | Media recortada al 5% | | 3,36 | |
| | Mediana | | 3,00 | |
| | Varianza | | 1,656 | |
| | Desv. Desviación | | 1,287 | |
| | Mínimo | | 1 | |
| | Máximo | | 5 | |
| | Rango | | 4 | |
| | Rango intercuartil | | 2 | |
| | Asimetría | | -0,303 | 0,109 |
| | Curtosis | | -0,928 | 0,218 |
| [25.Estar en forma no es una prioridad en mi vida] | Media | | 2,75 | 0,059 |
| | 95% de intervalo de confianza para la media | Límite inferior | 2,64 | |
| | | Límite superior | 2,87 | |
| | Media recortada al 5% | | 2,73 | |
| | Mediana | | 3,00 | |
| | Varianza | | 1,743 | |
| | Desv. Desviación | | 1,320 | |
| | Mínimo | | 1 | |
| | Máximo | | 5 | |
| | Rango | | 4 | |
| | Rango intercuartil | | 2 | |
| | Asimetría | | 0,279 | 0,109 |
| | Curtosis | | -1,040 | 0,218 |
| [26.Hago actividades que aumenten mi fuerza física] | Media | | 2,81 | 0,063 |
| | 95% de intervalo de confianza para la media | Límite inferior | 2,69 | |
| | | Límite superior | 2,93 | |
| | Media recortada al 5% | | 2,79 | |
| | Mediana | | 3,00 | |
| | Varianza | | 1,979 | |
| | Desv. Desviación | | 1,407 | |
| | Mínimo | | 1 | |
| | Máximo | | 5 | |
| | Rango | | 4 | |
| | Rango intercuartil | | 2 | |
| | Asimetría | | 0,200 | 0,109 |

| | | | | |
|---|---|---|---|---|
| | Curtosis | | -1,232 | 0,218 |
| [27.Raramente estoy enfermo/a] | Media | | 3,41 | 0,063 |
| | 95% de intervalo de confianza para la media | Límite inferior | 3,29 | |
| | | Límite superior | 3,53 | |
| | Media recortada al 5% | | 3,46 | |
| | Mediana | | 4,00 | |
| | Varianza | | 1,963 | |
| | Desv. Desviación | | 1,401 | |
| | Mínimo | | 1 | |
| | Máximo | | 5 | |
| | Rango | | 4 | |
| | Rango intercuartil | | 3 | |
| | Asimetría | | -0,377 | 0,109 |
| | Curtosis | | -1,176 | 0,218 |
| [28.Doy por supuesto que estoy sano/a (no me preocupo innecesariamente)] | Media | | 3,41 | 0,058 |
| | 95% de intervalo de confianza para la media | Límite inferior | 3,30 | |
| | | Límite superior | 3,53 | |
| | Media recortada al 5% | | 3,46 | |
| | Mediana | | 4,00 | |
| | Varianza | | 1,668 | |
| | Desv. Desviación | | 1,291 | |
| | Mínimo | | 1 | |
| | Máximo | | 5 | |
| | Rango | | 4 | |
| | Rango intercuartil | | 1 | |
| | Asimetría | | -0,411 | 0,109 |
| | Curtosis | | -0,899 | 0,218 |
| [29.A menudo leo libros, revistas o páginas web de salud] | Media | | 2,68 | 0,062 |
| | 95% de intervalo de confianza para la media | Límite inferior | 2,55 | |
| | | Límite superior | 2,80 | |
| | Media recortada al 5% | | 2,64 | |
| | Mediana | | 3,00 | |
| | Varianza | | 1,956 | |
| | Desv. Desviación | | 1,398 | |
| | Mínimo | | 1 | |
| | Máximo | | 5 | |
| | Rango | | 4 | |
| | Rango intercuartil | | 3 | |

| | | | | |
|---|---|---|---|---|
| | Asimetría | | 0,299 | 0,109 |
| | Curtosis | | -1,178 | 0,218 |
| [30.Me gusta el aspecto de mi cuerpo sin ropa] | Media | | 3,22 | 0,061 |
| | 95% de intervalo de confianza para la media | Límite inferior | 3,10 | |
| | | Límite superior | 3,33 | |
| | Media recortada al 5% | | 3,24 | |
| | Mediana | | 3,00 | |
| | Varianza | | 1,854 | |
| | Desv. Desviación | | 1,362 | |
| | Mínimo | | 1 | |
| | Máximo | | 5 | |
| | Rango | | 4 | |
| | Rango intercuartil | | 2 | |
| | Asimetría | | -0,275 | 0,109 |
| | Curtosis | | -1,116 | 0,218 |
| [31.Soy muy consciente si no estoy bien arreglado/a] | Media | | 3,92 | 0,053 |
| | 95% de intervalo de confianza para la media | Límite inferior | 3,81 | |
| | | Límite superior | 4,02 | |
| | Media recortada al 5% | | 4,02 | |
| | Mediana | | 4,00 | |
| | Varianza | | 1,414 | |
| | Desv. Desviación | | 1,189 | |
| | Mínimo | | 1 | |
| | Máximo | | 5 | |
| | Rango | | 4 | |
| | Rango intercuartil | | 2 | |
| | Asimetría | | -0,989 | 0,109 |
| | Curtosis | | 0,069 | 0,218 |
| [32.Me pongo lo que tengo a mano sin importar cómo me queda] | Media | | 2,45 | 0,057 |
| | 95% de intervalo de confianza para la media | Límite inferior | 2,34 | |
| | | Límite superior | 2,56 | |
| | Media recortada al 5% | | 2,39 | |
| | Mediana | | 2,00 | |
| | Varianza | | 1,625 | |
| | Desv. Desviación | | 1,275 | |
| | Mínimo | | 1 | |
| | Máximo | | 5 | |
| | Rango | | 4 | |

| | | | | |
|---|---|---|---|---|
| | Rango intercuartil | | 2 | |
| | Asimetría | | 0,516 | 0,109 |
| | Curtosis | | -0,798 | 0,218 |
| [33.Soy bueno/a en deportes o actividades físicas] | Media | | 2,89 | 0,063 |
| | 95% de intervalo de confianza para la media | Límite inferior | 2,77 | |
| | | Límite superior | 3,01 | |
| | Media recortada al 5% | | 2,88 | |
| | Mediana | | 3,00 | |
| | Varianza | | 1,982 | |
| | Desv. Desviación | | 1,408 | |
| | Mínimo | | 1 | |
| | Máximo | | 5 | |
| | Rango | | 4 | |
| | Rango intercuartil | | 2 | |
| | Asimetría | | 0,053 | 0,109 |
| | Curtosis | | -1,284 | 0,218 |
| [34.Raramente pienso en mis aptitudes deportivas] | Media | | 2,92 | 0,060 |
| | 95% de intervalo de confianza para la media | Límite inferior | 2,81 | |
| | | Límite superior | 3,04 | |
| | Media recortada al 5% | | 2,92 | |
| | Mediana | | 3,00 | |
| | Varianza | | 1,819 | |
| | Desv. Desviación | | 1,349 | |
| | Mínimo | | 1 | |
| | Máximo | | 5 | |
| | Rango | | 4 | |
| | Rango intercuartil | | 2 | |
| | Asimetría | | 0,045 | 0,109 |
| | Curtosis | | -1,171 | 0,218 |
| [35.Me esfuerzo en mejorar mi resistencia física] | Media | | 2,91 | 0,063 |
| | 95% de intervalo de confianza para la media | Límite inferior | 2,78 | |
| | | Límite superior | 3,03 | |
| | Media recortada al 5% | | 2,90 | |
| | Mediana | | 3,00 | |
| | Varianza | | 2,009 | |
| | Desv. Desviación | | 1,417 | |
| | Mínimo | | 1 | |
| | Máximo | | 5 | |

| | | | | |
|---|---|---|---|---|
| | Rango | | 4 | |
| | Rango intercuartil | | 2 | |
| | Asimetría | | 0,103 | 0,109 |
| | Curtosis | | -1,268 | 0,218 |
| [36.De un día a otro no sé cómo voy a sentirme físicamente] | Media | | 2,57 | 0,060 |
| | 95% de intervalo de confianza para la media | Límite inferior | 2,45 | |
| | | Límite superior | 2,69 | |
| | Media recortada al 5% | | 2,52 | |
| | Mediana | | 2,00 | |
| | Varianza | | 1,826 | |
| | Desv. Desviación | | 1,351 | |
| | Mínimo | | 1 | |
| | Máximo | | 5 | |
| | Rango | | 4 | |
| | Rango intercuartil | | 3 | |
| | Asimetría | | 0,383 | 0,109 |
| | Curtosis | | -1,053 | 0,218 |
| [37.Si me siento mal, no presto mucha atención a los síntomas] | Media | | 2,31 | 0,057 |
| | 95% de intervalo de confianza para la media | Límite inferior | 2,20 | |
| | | Límite superior | 2,42 | |
| | Media recortada al 5% | | 2,23 | |
| | Mediana | | 2,00 | |
| | Varianza | | 1,636 | |
| | Desv. Desviación | | 1,279 | |
| | Mínimo | | 1 | |
| | Máximo | | 5 | |
| | Rango | | 4 | |
| | Rango intercuartil | | 2 | |
| | Asimetría | | 0,685 | 0,109 |
| | Curtosis | | -0,596 | 0,218 |
| [38.Me preocupo por tener una dieta equilibrada] | Media | | 3,07 | 0,056 |
| | 95% de intervalo de confianza para la media | Límite inferior | 2,96 | |
| | | Límite superior | 3,18 | |
| | Media recortada al 5% | | 3,07 | |
| | Mediana | | 3,00 | |
| | Varianza | | 1,594 | |
| | Desv. Desviación | | 1,263 | |
| | Mínimo | | 1 | |

| | | | | |
|---|---|---|---|---|
| | Máximo | | 5 | |
| | Rango | | 4 | |
| | Rango intercuartil | | 2 | |
| | Asimetría | | -0,124 | 0,109 |
| | Curtosis | | -0,923 | 0,218 |
| [39.Me gusta cómo me queda la ropa] | Media | | 3,57 | 0,053 |
| | 95% de intervalo de confianza para la media | Límite inferior | 3,46 | |
| | | Límite superior | 3,67 | |
| | Media recortada al 5% | | 3,63 | |
| | Mediana | | 4,00 | |
| | Varianza | | 1,416 | |
| | Desv. Desviación | | 1,190 | |
| | Mínimo | | 1 | |
| | Máximo | | 5 | |
| | Rango | | 4 | |
| | Rango intercuartil | | 2 | |
| | Asimetría | | -0,531 | 0,109 |
| | Curtosis | | -0,588 | 0,218 |
| [40.No me importa lo que piense la gente de mi apariencia] | Media | | 3,07 | 0,060 |
| | 95% de intervalo de confianza para la media | Límite inferior | 2,95 | |
| | | Límite superior | 3,19 | |
| | Media recortada al 5% | | 3,08 | |
| | Mediana | | 3,00 | |
| | Varianza | | 1,807 | |
| | Desv. Desviación | | 1,344 | |
| | Mínimo | | 1 | |
| | Máximo | | 5 | |
| | Rango | | 4 | |
| | Rango intercuartil | | 2 | |
| | Asimetría | | -0,017 | 0,109 |
| | Curtosis | | -1,141 | 0,218 |
| [41.Presto especial atención al cuidado de mi cabello] | Media | | 3,69 | 0,059 |
| | 95% de intervalo de confianza para la media | Límite inferior | 3,58 | |
| | | Límite superior | 3,81 | |
| | Media recortada al 5% | | 3,77 | |
| | Mediana | | 4,00 | |
| | Varianza | | 1,734 | |
| | Desv. Desviación | | 1,317 | |

| | | | | |
|---|---|---|---|---|
| | Mínimo | | 1 | |
| | Máximo | | 5 | |
| | Rango | | 4 | |
| | Rango intercuartil | | 2 | |
| | Asimetría | | -0,716 | 0,109 |
| | Curtosis | | -0,635 | 0,218 |
| [42.Me gusta mi físico] | Media | | 3,49 | 0,056 |
| | 95% de intervalo de confianza para la media | Límite inferior | 3,38 | |
| | | Límite superior | 3,60 | |
| | Media recortada al 5% | | 3,54 | |
| | Mediana | | 4,00 | |
| | Varianza | | 1,584 | |
| | Desv. Desviación | | 1,258 | |
| | Mínimo | | 1 | |
| | Máximo | | 5 | |
| | Rango | | 4 | |
| | Rango intercuartil | | 2 | |
| | Asimetría | | -0,433 | 0,109 |
| | Curtosis | | -0,817 | 0,218 |
| [43.Me importa mejorar mis habilidades en actividades físicas] | Media | | 3,42 | 0,059 |
| | 95% de intervalo de confianza para la media | Límite inferior | 3,31 | |
| | | Límite superior | 3,54 | |
| | Media recortada al 5% | | 3,47 | |
| | Mediana | | 4,00 | |
| | Varianza | | 1,773 | |
| | Desv. Desviación | | 1,332 | |
| | Mínimo | | 1 | |
| | Máximo | | 5 | |
| | Rango | | 4 | |
| | Rango intercuartil | | 3 | |
| | Asimetría | | -0,395 | 0,109 |
| | Curtosis | | -0,987 | 0,218 |
| [44.Trato de estar físicamente activo/a] | Media | | 3,34 | 0,059 |
| | 95% de intervalo de confianza para la media | Límite inferior | 3,22 | |
| | | Límite superior | 3,45 | |
| | Media recortada al 5% | | 3,37 | |
| | Mediana | | 3,00 | |
| | Varianza | | 1,733 | |

| | | | | |
|---|---|---|---|---|
| | Desv. Desviación | | 1,316 | |
| | Mínimo | | 1 | |
| | Máximo | | 5 | |
| | Rango | | 4 | |
| | Rango intercuartil | | 3 | |
| | Asimetría | | -0,264 | 0,109 |
| | Curtosis | | -1,063 | 0,218 |
| [45.A menudo me siento vulnerable a la enfermedad] | Media | | 2,23 | 0,056 |
| | 95% de intervalo de confianza para la media | Límite inferior | 2,12 | |
| | | Límite superior | 2,34 | |
| | Media recortada al 5% | | 2,15 | |
| | Mediana | | 2,00 | |
| | Varianza | | 1,600 | |
| | Desv. Desviación | | 1,265 | |
| | Mínimo | | 1 | |
| | Máximo | | 5 | |
| | Rango | | 4 | |
| | Rango intercuartil | | 2 | |
| | Asimetría | | 0,754 | 0,109 |
| | Curtosis | | -0,481 | 0,218 |
| [46.Presto atención a cualquier signo que indique que puedo estar enfermo] | Media | | 3,34 | 0,056 |
| | 95% de intervalo de confianza para la media | Límite inferior | 3,23 | |
| | | Límite superior | 3,45 | |
| | Media recortada al 5% | | 3,38 | |
| | Mediana | | 3,50 | |
| | Varianza | | 1,582 | |
| | Desv. Desviación | | 1,258 | |
| | Mínimo | | 1 | |
| | Máximo | | 5 | |
| | Rango | | 4 | |
| | Rango intercuartil | | 2 | |
| | Asimetría | | -0,295 | 0,109 |
| | Curtosis | | -0,979 | 0,218 |
| [47.Si me encuentro mal por un resfriado o gripe, lo ignoro y trato de seguir igual] | Media | | 2,75 | 0,060 |
| | 95% de intervalo de confianza para la media | Límite inferior | 2,63 | |
| | | Límite superior | 2,86 | |
| | Media recortada al 5% | | 2,72 | |
| | Mediana | | 3,00 | |

| | | | | |
|---|---|---|---|---|
| | Varianza | | 1,779 | |
| | Desv. Desviación | | 1,334 | |
| | Mínimo | | 1 | |
| | Máximo | | 5 | |
| | Rango | | 4 | |
| | Rango intercuartil | | 2 | |
| | Asimetría | | 0,120 | 0,109 |
| | Curtosis | | -1,181 | 0,218 |
| [48.Soy físicamente atractivo/a] | Media | | 3,30 | 0,056 |
| | 95% de intervalo de confianza para la media | Límite inferior | 3,19 | |
| | | Límite superior | 3,41 | |
| | Media recortada al 5% | | 3,33 | |
| | Mediana | | 3,00 | |
| | Varianza | | 1,551 | |
| | Desv. Desviación | | 1,245 | |
| | Mínimo | | 1 | |
| | Máximo | | 5 | |
| | Rango | | 4 | |
| | Rango intercuartil | | 2 | |
| | Asimetría | | -0,251 | 0,109 |
| | Curtosis | | -0,856 | 0,218 |
| [49.Nunca pienso en mi aspecto] | Media | | 2,06 | 0,052 |
| | 95% de intervalo de confianza para la media | Límite inferior | 1,96 | |
| | | Límite superior | 2,16 | |
| | Media recortada al 5% | | 1,96 | |
| | Mediana | | 2,00 | |
| | Varianza | | 1,350 | |
| | Desv. Desviación | | 1,162 | |
| | Mínimo | | 1 | |
| | Máximo | | 5 | |
| | Rango | | 4 | |
| | Rango intercuartil | | 2 | |
| | Asimetría | | 0,972 | 0,109 |
| | Curtosis | | 0,151 | 0,218 |
| [50.Siempre trato de mejorar mi aspecto físico] | Media | | 3,49 | 0,055 |
| | 95% de intervalo de confianza para la media | Límite inferior | 3,38 | |
| | | Límite superior | 3,60 | |
| | Media recortada al 5% | | 3,54 | |

| | | | | |
|---|---|---|---|---|
| | Mediana | | 4,00 | |
| | Varianza | | 1,528 | |
| | Desv. Desviación | | 1,236 | |
| | Mínimo | | 1 | |
| | Máximo | | 5 | |
| | Rango | | 4 | |
| | Rango intercuartil | | 2 | |
| | Asimetría | | -0,450 | 0,109 |
| | Curtosis | | -0,752 | 0,218 |
| [51.Me muevo de forma armónica y coordinada] | Media | | 3,45 | 0,055 |
| | 95% de intervalo de confianza para la media | Límite inferior | 3,35 | |
| | | Límite superior | 3,56 | |
| | Media recortada al 5% | | 3,50 | |
| | Mediana | | 4,00 | |
| | Varianza | | 1,538 | |
| | Desv. Desviación | | 1,240 | |
| | Mínimo | | 1 | |
| | Máximo | | 5 | |
| | Rango | | 4 | |
| | Rango intercuartil | | 1 | |
| | Asimetría | | -0,409 | 0,109 |
| | Curtosis | | -0,758 | 0,218 |
| [52.Sé mucho sobre cómo estar bien físicamente] | Media | | 3,16 | 0,056 |
| | 95% de intervalo de confianza para la media | Límite inferior | 3,05 | |
| | | Límite superior | 3,27 | |
| | Media recortada al 5% | | 3,17 | |
| | Mediana | | 3,00 | |
| | Varianza | | 1,586 | |
| | Desv. Desviación | | 1,259 | |
| | Mínimo | | 1 | |
| | Máximo | | 5 | |
| | Rango | | 4 | |
| | Rango intercuartil | | 2 | |
| | Asimetría | | -0,161 | 0,109 |
| | Curtosis | | -0,967 | 0,218 |
| [53.Hago deporte regularmente a lo largo del año] | Media | | 2,82 | 0,064 |
| | 95% de intervalo de confianza para la media | Límite inferior | 2,70 | |
| | | Límite superior | 2,95 | |

| | | | | |
|---|---|---|---|---|
| | Media recortada al 5% | | 2,81 | |
| | Mediana | | 3,00 | |
| | Varianza | | 2,073 | |
| | Desv. Desviación | | 1,440 | |
| | Mínimo | | 1 | |
| | Máximo | | 5 | |
| | Rango | | 4 | |
| | Rango intercuartil | | 3 | |
| | Asimetría | | 0,148 | 0,109 |
| | Curtosis | | -1,310 | 0,218 |
| [54.Soy una persona físicamente sana] | Media | | 3,68 | 0,053 |
| | 95% de intervalo de confianza para la media | Límite inferior | 3,58 | |
| | | Límite superior | 3,79 | |
| | Media recortada al 5% | | 3,76 | |
| | Mediana | | 4,00 | |
| | Varianza | | 1,418 | |
| | Desv. Desviación | | 1,191 | |
| | Mínimo | | 1 | |
| | Máximo | | 5 | |
| | Rango | | 4 | |
| | Rango intercuartil | | 2 | |
| | Asimetría | | -0,572 | 0,109 |
| | Curtosis | | -0,591 | 0,218 |
| [55.Soy muy consciente de pequeños cambios en mi salud] | Media | | 3,49 | 0,054 |
| | 95% de intervalo de confianza para la media | Límite inferior | 3,39 | |
| | | Límite superior | 3,60 | |
| | Media recortada al 5% | | 3,55 | |
| | Mediana | | 4,00 | |
| | Varianza | | 1,440 | |
| | Desv. Desviación | | 1,200 | |
| | Mínimo | | 1 | |
| | Máximo | | 5 | |
| | Rango | | 4 | |
| | Rango intercuartil | | 1 | |
| | Asimetría | | -0,424 | 0,109 |
| | Curtosis | | -0,750 | 0,218 |
| [56.Al primer signo de enfermedad voy al | Media | | 2,18 | 0,056 |
| | 95% de intervalo de | Límite inferior | 2,07 | |

| | | | | |
|---|---|---|---|---|
| médico] | confianza para la media | Límite superior | 2,29 | |
| | Media recortada al 5% | | 2,09 | |
| | Mediana | | 2,00 | |
| | Varianza | | 1,570 | |
| | Desv. Desviación | | 1,253 | |
| | Mínimo | | 1 | |
| | Máximo | | 5 | |
| | Rango | | 4 | |
| | Rango intercuartil | | 2 | |
| | Asimetría | | 0,858 | 0,109 |
| | Curtosis | | -0,322 | 0,218 |
| [57.Estoy a dieta para perder peso] | Media | | 2,11 | 0,064 |
| | 95% de intervalo de confianza para la media | Límite inferior | 1,98 | |
| | | Límite superior | 2,23 | |
| | Media recortada al 5% | | 2,01 | |
| | Mediana | | 1,00 | |
| | Varianza | | 2,088 | |
| | Desv. Desviación | | 1,445 | |
| | Mínimo | | 1 | |
| | Máximo | | 5 | |
| | Rango | | 4 | |
| | Rango intercuartil | | 2 | |
| | Asimetría | | 0,947 | 0,109 |
| | Curtosis | | -0,597 | 0,218 |
| [58.He tratado de perder peso con ayuno o con “dietas milagro” ] | Media | | 1,95 | 0,055 |
| | 95% de intervalo de confianza para la media | Límite inferior | 1,84 | |
| | | Límite superior | 2,06 | |
| | Media recortada al 5% | | 1,83 | |
| | Mediana | | 1,00 | |
| | Varianza | | 1,494 | |
| | Desv. Desviación | | 1,222 | |
| | Mínimo | | 1 | |
| | Máximo | | 5 | |
| | Rango | | 4 | |
| | Rango intercuartil | | 2 | |
| | Asimetría | | 1,040 | 0,109 |
| | Curtosis | | -0,034 | 0,218 |
| [59.Pienso que | Media | | 3,11 | 0,034 |

| | | | | |
|---|---|---|---|---|
| estoy:] | 95% de intervalo de confianza para la media | Límite inferior | 3,04 | |
| | | Límite superior | 3,18 | |
| | Media recortada al 5% | | 3,13 | |
| | Mediana | | 3,00 | |
| | Varianza | | 0,573 | |
| | Desv. Desviación | | 0,757 | |
| | Mínimo | | 1 | |
| | Máximo | | 5 | |
| | Rango | | 4 | |
| | Rango intercuartil | | 1 | |
| | Asimetría | | -0,324 | 0,109 |
| | Curtosis | | 0,546 | 0,218 |
| [60.Al mirarme, la mayor parte de la gente piensa que estoy:] | Media | | 2,95 | 0,031 |
| | 95% de intervalo de confianza para la media | Límite inferior | 2,89 | |
| | | Límite superior | 3,01 | |
| | Media recortada al 5% | | 2,97 | |
| | Mediana | | 3,00 | |
| | Varianza | | 0,488 | |
| | Desv. Desviación | | 0,699 | |
| | Mínimo | | 1 | |
| | Máximo | | 5 | |
| | Rango | | 4 | |
| | Rango intercuartil | | 0 | |
| | Asimetría | | -0,387 | 0,109 |
| | Curtosis | | 0,848 | 0,218 |
| [61.Cara] | Media | | 3,70 | 0,051 |
| | 95% de intervalo de confianza para la media | Límite inferior | 3,60 | |
| | | Límite superior | 3,80 | |
| | Media recortada al 5% | | 3,78 | |
| | Mediana | | 4,00 | |
| | Varianza | | 1,295 | |
| | Desv. Desviación | | 1,138 | |
| | Mínimo | | 1 | |
| | Máximo | | 5 | |
| | Rango | | 4 | |
| | Rango intercuartil | | 2 | |
| | Asimetría | | -0,664 | 0,109 |
| | Curtosis | | -0,307 | 0,218 |

| | | | | |
|---|---|---|---|---|
| [62.Cabello] | Media | | 3,96 | 0,050 |
| | 95% de intervalo de confianza para la media | Límite inferior | 3,86 | |
| | | Límite superior | 4,05 | |
| | Media recortada al 5% | | 4,05 | |
| | Mediana | | 4,00 | |
| | Varianza | | 1,268 | |
| | Desv. Desviación | | 1,126 | |
| | Mínimo | | 1 | |
| | Máximo | | 5 | |
| | Rango | | 4 | |
| | Rango intercuartil | | 2 | |
| | Asimetría | | -0,933 | 0,109 |
| | Curtosis | | 0,025 | 0,218 |
| [63.Parte inferior del cuerpo (nalgas, muslos, piernas, pies)] | Media | | 3,43 | 0,058 |
| | 95% de intervalo de confianza para la media | Límite inferior | 3,31 | |
| | | Límite superior | 3,54 | |
| | Media recortada al 5% | | 3,47 | |
| | Mediana | | 4,00 | |
| | Varianza | | 1,690 | |
| | Desv. Desviación | | 1,300 | |
| | Mínimo | | 1 | |
| | Máximo | | 5 | |
| | Rango | | 4 | |
| | Rango intercuartil | | 2 | |
| | Asimetría | | -0,434 | 0,109 |
| | Curtosis | | -0,952 | 0,218 |
| [64.Parte media del cuerpo (abdomen y estómago)] | Media | | 2,94 | 0,058 |
| | 95% de intervalo de confianza para la media | Límite inferior | 2,83 | |
| | | Límite superior | 3,06 | |
| | Media recortada al 5% | | 2,94 | |
| | Mediana | | 3,00 | |
| | Varianza | | 1,671 | |
| | Desv. Desviación | | 1,293 | |
| | Mínimo | | 1 | |
| | Máximo | | 5 | |
| | Rango | | 4 | |
| | Rango intercuartil | | 2 | |
| | Asimetría | | -0,009 | 0,109 |

| | | | | |
|---|---|---|---|---|
| | Curtosis | | -1,080 | 0,218 |
| [65.Parte superior del cuerpo (pecho, hombros, brazos)] | Media | | 3,18 | 0,058 |
| | 95% de intervalo de confianza para la media | Límite inferior | 3,06 | |
| | | Límite superior | 3,29 | |
| | Media recortada al 5% | | 3,20 | |
| | Mediana | | 3,00 | |
| | Varianza | | 1,712 | |
| | Desv. Desviación | | 1,309 | |
| | Mínimo | | 1 | |
| | Máximo | | 5 | |
| | Rango | | 4 | |
| | Rango intercuartil | | 2 | |
| | Asimetría | | -0,163 | 0,109 |
| | Curtosis | | -1,117 | 0,218 |
| [66.Tono muscular] | Media | | 3,02 | 0,052 |
| | 95% de intervalo de confianza para la media | Límite inferior | 2,92 | |
| | | Límite superior | 3,12 | |
| | Media recortada al 5% | | 3,02 | |
| | Mediana | | 3,00 | |
| | Varianza | | 1,371 | |
| | Desv. Desviación | | 1,171 | |
| | Mínimo | | 1 | |
| | Máximo | | 5 | |
| | Rango | | 4 | |
| | Rango intercuartil | | 2 | |
| | Asimetría | | 0,048 | 0,109 |
| | Curtosis | | -0,801 | 0,218 |
| [67.Peso] | Media | | 2,89 | 0,058 |
| | 95% de intervalo de confianza para la media | Límite inferior | 2,78 | |
| | | Límite superior | 3,01 | |
| | Media recortada al 5% | | 2,88 | |
| | Mediana | | 3,00 | |
| | Varianza | | 1,687 | |
| | Desv. Desviación | | 1,299 | |
| | Mínimo | | 1 | |
| | Máximo | | 5 | |
| | Rango | | 4 | |
| | Rango intercuartil | | 2 | |

| | | | | |
|---|---|---|---|---|
| | Asimetría | | 0,093 | 0,109 |
| | Curtosis | | -1,088 | 0,218 |
| [68.Altura] | Media | | 3,68 | 0,054 |
| | 95% de intervalo de confianza para la media | Límite inferior | 3,57 | |
| | | Límite superior | 3,78 | |
| | Media recortada al 5% | | 3,75 | |
| | Mediana | | 4,00 | |
| | Varianza | | 1,457 | |
| | Desv. Desviación | | 1,207 | |
| | Mínimo | | 1 | |
| | Máximo | | 5 | |
| | Rango | | 4 | |
| | Rango intercuartil | | 2 | |
| | Asimetría | | -0,543 | 0,109 |
| | Curtosis | | -0,728 | 0,218 |
| [69.Aspecto general] | Media | | 3,62 | 0,045 |
| | 95% de intervalo de confianza para la media | Límite inferior | 3,53 | |
| | | Límite superior | 3,71 | |
| | Media recortada al 5% | | 3,66 | |
| | Mediana | | 4,00 | |
| | Varianza | | 1,039 | |
| | Desv. Desviación | | 1,019 | |
| | Mínimo | | 1 | |
| | Máximo | | 5 | |
| | Rango | | 4 | |
| | Rango intercuartil | | 1 | |
| | Asimetría | | -0,378 | 0,109 |
| | Curtosis | | -0,443 | 0,218 |

***OBCS***

Descriptivos

| | | | Estadístico | Desv. Error |
|---|---|---|---|---|
| [1.Raramente pienso en mi aspecto] | Media | | 3,12 | 0,091 |
| | 95% de intervalo de confianza para la media | Límite inferior | 2,94 | |
| | | Límite superior | 3,29 | |
| | Media recortada al 5% | | 3,02 | |
| | Mediana | | 2,00 | |

| | | | | |
|---|---|---|---|---|
| | Varianza | | 4,186 | |
| | Desv. Desviación | | 2,046 | |
| | Mínimo | | 1 | |
| | Máximo | | 7 | |
| | Rango | | 6 | |
| | Rango intercuartil | | 4 | |
| | Asimetría | | 0,660 | 0,109 |
| | Curtosis | | -0,865 | 0,218 |
| [2.Cuando no puedo controlar mi peso, siento que algo malo me pasa] | Media | | 3,50 | 0,096 |
| | 95% de intervalo de confianza para la media | Límite inferior | 3,31 | |
| | | Límite superior | 3,68 | |
| | Media recortada al 5% | | 3,44 | |
| | Mediana | | 3,00 | |
| | Varianza | | 4,622 | |
| | Desv. Desviación | | 2,150 | |
| | Mínimo | | 1 | |
| | Máximo | | 7 | |
| | Rango | | 6 | |
| | Rango intercuartil | | 4 | |
| | Asimetría | | 0,374 | 0,109 |
| | Curtosis | | -1,210 | 0,218 |
| [3.Pienso que es más importante que mi ropa sea cómoda, que el hecho de que me quede bien] | Media | | 4,17 | 0,086 |
| | 95% de intervalo de confianza para la media | Límite inferior | 4,00 | |
| | | Límite superior | 4,34 | |
| | Media recortada al 5% | | 4,19 | |
| | Mediana | | 4,00 | |
| | Varianza | | 3,712 | |
| | Desv. Desviación | | 1,927 | |
| | Mínimo | | 1 | |
| | Máximo | | 7 | |
| | Rango | | 6 | |
| | Rango intercuartil | | 3 | |
| | Asimetría | | 0,050 | 0,109 |
| | Curtosis | | -1,170 | 0,218 |
| [4.Creo que una persona debería conformarse con el físico que tiene de nacimiento] | Media | | 2,99 | 0,085 |
| | 95% de intervalo de confianza para la media | Límite inferior | 2,82 | |
| | | Límite superior | 3,16 | |
| | Media recortada al 5% | | 2,88 | |

| | | | | |
|---|---|---|---|---|
| | Mediana | | 3,00 | |
| | Varianza | | 3,645 | |
| | Desv. Desviación | | 1,909 | |
| | Mínimo | | 1 | |
| | Máximo | | 7 | |
| | Rango | | 6 | |
| | Rango intercuartil | | 3 | |
| | Asimetría | | 0,724 | 0,109 |
| | Curtosis | | -0,578 | 0,218 |
| [5.Me siento avergonzado/a de mí mismo/a cuando no me esfuerzo por tener la mejor apariencia posible] | Media | | 3,44 | 0,091 |
| | 95% de intervalo de confianza para la media | Límite inferior | 3,26 | |
| | | Límite superior | 3,62 | |
| | Media recortada al 5% | | 3,38 | |
| | Mediana | | 3,00 | |
| | Varianza | | 4,147 | |
| | Desv. Desviación | | 2,036 | |
| | Mínimo | | 1 | |
| | Máximo | | 7 | |
| | Rango | | 6 | |
| | Rango intercuartil | | 3 | |
| | Asimetría | | 0,324 | 0,109 |
| | Curtosis | | -1,195 | 0,218 |
| [6.Mantenerse en forma depende en gran medida de la constitución física que se tenga] | Media | | 3,64 | 0,086 |
| | 95% de intervalo de confianza para la media | Límite inferior | 3,47 | |
| | | Límite superior | 3,81 | |
| | Media recortada al 5% | | 3,60 | |
| | Mediana | | 3,00 | |
| | Varianza | | 3,708 | |
| | Desv. Desviación | | 1,925 | |
| | Mínimo | | 1 | |
| | Máximo | | 7 | |
| | Rango | | 6 | |
| | Rango intercuartil | | 3 | |
| | Asimetría | | 0,252 | 0,109 |
| | Curtosis | | -1,056 | 0,218 |
| [7.Me preocupa más cómo me siento físicamente que el aspecto que tengo] | Media | | 4,34 | 0,085 |
| | 95% de intervalo de confianza para la media | Límite inferior | 4,17 | |
| | | Límite superior | 4,51 | |

| | | | | |
|---|---|---|---|---|
| | Media recortada al 5% | | 4,38 | |
| | Mediana | | 4,00 | |
| | Varianza | | 3,610 | |
| | Desv. Desviación | | 1,900 | |
| | Mínimo | | 1 | |
| | Máximo | | 7 | |
| | Rango | | 6 | |
| | Rango intercuartil | | 3 | |
| | Asimetría | | -0,156 | 0,109 |
| | Curtosis | | -1,053 | 0,218 |
| [8.Me siento mal cuando mi aspecto no es tan bueno como podría ser] | Media | | 4,41 | 0,088 |
| | 95% de intervalo de confianza para la media | Límite inferior | 4,24 | |
| | | Límite superior | 4,58 | |
| | Media recortada al 5% | | 4,45 | |
| | Mediana | | 5,00 | |
| | Varianza | | 3,899 | |
| | Desv. Desviación | | 1,975 | |
| | Mínimo | | 1 | |
| | Máximo | | 7 | |
| | Rango | | 6 | |
| | Rango intercuartil | | 3 | |
| | Asimetría | | -0,240 | 0,109 |
| | Curtosis | | -1,178 | 0,218 |
| [9.Raramente comparo mi aspecto con el de otras personas] | Media | | 3,63 | 0,093 |
| | 95% de intervalo de confianza para la media | Límite inferior | 3,45 | |
| | | Límite superior | 3,82 | |
| | Media recortada al 5% | | 3,59 | |
| | Mediana | | 3,00 | |
| | Varianza | | 4,336 | |
| | Desv. Desviación | | 2,082 | |
| | Mínimo | | 1 | |
| | Máximo | | 7 | |
| | Rango | | 6 | |
| | Rango intercuartil | | 3 | |
| | Asimetría | | 0,275 | 0,109 |
| | Curtosis | | -1,254 | 0,218 |
| [10.Pienso que una persona puede tener la apariencia | Media | | 5,94 | 0,064 |
| | 95% de intervalo de | Límite inferior | 5,81 | |

| | | | | |
|---|---|---|---|---|
| que ella quiera si está dispuesta a trabajar en ello] | confianza para la media | Límite superior | 6,07 | |
| | Media recortada al 5% | | 6,10 | |
| | Mediana | | 7,00 | |
| | Varianza | | 2,068 | |
| | Desv. Desviación | | 1,438 | |
| | Mínimo | | 1 | |
| | Máximo | | 7 | |
| | Rango | | 6 | |
| | Rango intercuartil | | 2 | |
| | Asimetría | | -1,403 | 0,109 |
| | Curtosis | | 1,233 | 0,218 |
| [11.Me daría vergüenza que la gente supiera cuánto peso] | Media | | 2,72 | 0,098 |
| | 95% de intervalo de confianza para la media | Límite inferior | 2,53 | |
| | | Límite superior | 2,91 | |
| | Media recortada al 5% | | 2,58 | |
| | Mediana | | 1,00 | |
| | Varianza | | 4,804 | |
| | Desv. Desviación | | 2,192 | |
| | Mínimo | | 1 | |
| | Máximo | | 7 | |
| | Rango | | 6 | |
| | Rango intercuartil | | 3 | |
| | Asimetría | | 0,891 | 0,109 |
| | Curtosis | | -0,767 | 0,218 |
| [12.Realmente pienso que no tengo mucho control sobre mi apariencia corporal] | Media | | 3,07 | 0,088 |
| | 95% de intervalo de confianza para la media | Límite inferior | 2,90 | |
| | | Límite superior | 3,24 | |
| | Media recortada al 5% | | 2,97 | |
| | Mediana | | 3,00 | |
| | Varianza | | 3,879 | |
| | Desv. Desviación | | 1,970 | |
| | Mínimo | | 1 | |
| | Máximo | | 7 | |
| | Rango | | 6 | |
| | Rango intercuartil | | 4 | |
| | Asimetría | | 0,614 | 0,109 |
| | Curtosis | | -0,874 | 0,218 |
| [13.Incluso cuando | Media | | 5,68 | 0,076 |

| | | | | |
|---|---|---|---|---|
| no puedo controlar mi peso, pienso que soy una persona valiosa] | 95% de intervalo de confianza para la media | Límite inferior | 5,53 | |
| | | Límite superior | 5,82 | |
| | Media recortada al 5% | | 5,84 | |
| | Mediana | | 6,00 | |
| | Varianza | | 2,898 | |
| | Desv. Desviación | | 1,702 | |
| | Mínimo | | 1 | |
| | Máximo | | 7 | |
| | Rango | | 6 | |
| | Rango intercuartil | | 2 | |
| | Asimetría | | -1,166 | 0,109 |
| | Curtosis | | 0,340 | 0,218 |
| [14.Pienso en mi aspecto muchas veces a lo largo del día] | Media | | 4,02 | 0,093 |
| | 95% de intervalo de confianza para la media | Límite inferior | 3,84 | |
| | | Límite superior | 4,20 | |
| | Media recortada al 5% | | 4,02 | |
| | Mediana | | 4,00 | |
| | Varianza | | 4,349 | |
| | Desv. Desviación | | 2,085 | |
| | Mínimo | | 1 | |
| | Máximo | | 7 | |
| | Rango | | 6 | |
| | Rango intercuartil | | 4 | |
| | Asimetría | | 0,007 | 0,109 |
| | Curtosis | | -1,354 | 0,218 |
| [15.Nunca pienso que estoy haciéndolo mal aunque no haga todo el ejercicio que debiera] | Media | | 3,93 | 0,090 |
| | 95% de intervalo de confianza para la media | Límite inferior | 3,75 | |
| | | Límite superior | 4,11 | |
| | Media recortada al 5% | | 3,92 | |
| | Mediana | | 4,00 | |
| | Varianza | | 4,073 | |
| | Desv. Desviación | | 2,018 | |
| | Mínimo | | 1 | |
| | Máximo | | 7 | |
| | Rango | | 6 | |
| | Rango intercuartil | | 4 | |
| | Asimetría | | 0,069 | 0,109 |
| | Curtosis | | -1,247 | 0,218 |

| | | | | |
|---|---|---|---|---|
| [16.A menudo me preocupo por si la ropa que llevo me queda bien] | Media | | 4,84 | 0,083 |
| | 95% de intervalo de confianza para la media | Límite inferior | 4,68 | |
| | | Límite superior | 5,01 | |
| | Media recortada al 5% | | 4,94 | |
| | Mediana | | 5,00 | |
| | Varianza | | 3,481 | |
| | Desv. Desviación | | 1,866 | |
| | Mínimo | | 1 | |
| | Máximo | | 7 | |
| | Rango | | 6 | |
| | Rango intercuartil | | 3 | |
| | Asimetría | | -0,539 | 0,109 |
| | Curtosis | | -0,792 | 0,218 |
| [17.Cuando no hago suficiente ejercicio, me cuestiono si soy una persona suficientemente valiosa] | Media | | 2,63 | 0,088 |
| | 95% de intervalo de confianza para la media | Límite inferior | 2,46 | |
| | | Límite superior | 2,80 | |
| | Media recortada al 5% | | 2,48 | |
| | Mediana | | 2,00 | |
| | Varianza | | 3,890 | |
| | Desv. Desviación | | 1,972 | |
| | Mínimo | | 1 | |
| | Máximo | | 7 | |
| | Rango | | 6 | |
| | Rango intercuartil | | 3 | |
| | Asimetría | | 0,967 | 0,109 |
| | Curtosis | | -0,398 | 0,218 |
| [18.Raramente me preocupo de cómo me ven otras personas] | Media | | 3,84 | 0,091 |
| | 95% de intervalo de confianza para la media | Límite inferior | 3,66 | |
| | | Límite superior | 4,02 | |
| | Media recortada al 5% | | 3,82 | |
| | Mediana | | 4,00 | |
| | Varianza | | 4,126 | |
| | Desv. Desviación | | 2,031 | |
| | Mínimo | | 1 | |
| | Máximo | | 7 | |
| | Rango | | 6 | |
| | Rango intercuartil | | 4 | |
| | Asimetría | | 0,185 | 0,109 |

| | | | | |
|---|---|---|---|---|
| | Curtosis | | -1,243 | 0,218 |
| [19.Pienso que lo que determina fundamentalmente el peso de una persona son sus genes] | Media | | 3,19 | 0,083 |
| | 95% de intervalo de confianza para la media | Límite inferior | 3,02 | |
| | | Límite superior | 3,35 | |
| | Media recortada al 5% | | 3,10 | |
| | Mediana | | 3,00 | |
| | Varianza | | 3,442 | |
| | Desv. Desviación | | 1,855 | |
| | Mínimo | | 1 | |
| | Máximo | | 7 | |
| | Rango | | 6 | |
| | Rango intercuartil | | 2 | |
| | Asimetría | | 0,527 | 0,109 |
| | Curtosis | | -0,791 | 0,218 |
| [20.Me preocupo más por lo que puedo hacer con mi cuerpo que del aspecto que tiene] | Media | | 4,21 | 0,082 |
| | 95% de intervalo de confianza para la media | Límite inferior | 4,05 | |
| | | Límite superior | 4,37 | |
| | Media recortada al 5% | | 4,23 | |
| | Mediana | | 4,00 | |
| | Varianza | | 3,378 | |
| | Desv. Desviación | | 1,838 | |
| | Mínimo | | 1 | |
| | Máximo | | 7 | |
| | Rango | | 6 | |
| | Rango intercuartil | | 3 | |
| | Asimetría | | -0,077 | 0,109 |
| | Curtosis | | -1,005 | 0,218 |
| [21.No importa lo mucho que me esfuerce por cambiar mi peso, probablemente siempre va a seguir igual] | Media | | 2,95 | 0,095 |
| | 95% de intervalo de confianza para la media | Límite inferior | 2,77 | |
| | | Límite superior | 3,14 | |
| | Media recortada al 5% | | 2,84 | |
| | Mediana | | 2,00 | |
| | Varianza | | 4,487 | |
| | Desv. Desviación | | 2,118 | |
| | Mínimo | | 1 | |
| | Máximo | | 7 | |
| | Rango | | 6 | |
| | Rango intercuartil | | 4 | |

| | | | | |
|---|---|---|---|---|
| | Asimetría | | 0,689 | 0,109 |
| | Curtosis | | -0,981 | 0,218 |
| [22.Me siento avergonzado/a cuando no tengo la talla de ropa que debería] | Media | | 3,25 | 0,099 |
| | 95% de intervalo de confianza para la media | Límite inferior | 3,06 | |
| | | Límite superior | 3,44 | |
| | Media recortada al 5% | | 3,17 | |
| | Mediana | | 3,00 | |
| | Varianza | | 4,894 | |
| | Desv. Desviación | | 2,212 | |
| | Mínimo | | 1 | |
| | Máximo | | 7 | |
| | Rango | | 6 | |
| | Rango intercuartil | | 4 | |
| | Asimetría | | 0,458 | 0,109 |
| | Curtosis | | -1,320 | 0,218 |
| [23.Cuando me lo propongo firmemente, puedo conseguir el peso que debería tener] | Media | | 5,39 | 0,076 |
| | 95% de intervalo de confianza para la media | Límite inferior | 5,24 | |
| | | Límite superior | 5,54 | |
| | Media recortada al 5% | | 5,53 | |
| | Mediana | | 6,00 | |
| | Varianza | | 2,866 | |
| | Desv. Desviación | | 1,693 | |
| | Mínimo | | 1 | |
| | Máximo | | 7 | |
| | Rango | | 6 | |
| | Rango intercuartil | | 3 | |
| | Asimetría | | -0,855 | 0,109 |
| | Curtosis | | -0,172 | 0,218 |
| [24.Pienso que la forma física de una persona depende principalmente de sus genes] | Media | | 3,36 | 0,088 |
| | 95% de intervalo de confianza para la media | Límite inferior | 3,18 | |
| | | Límite superior | 3,53 | |
| | Media recortada al 5% | | 3,29 | |
| | Mediana | | 3,00 | |
| | Varianza | | 3,855 | |
| | Desv. Desviación | | 1,963 | |
| | Mínimo | | 1 | |
| | Máximo | | 7 | |
| | Rango | | 6 | |

| | | |
|---|---|---|
| Rango intercuartil | 3 | |
| Asimetría | 0,386 | 0,109 |
| Curtosis | -1,079 | 0,218 |

***BICSI***

Descriptivos

| | | | Estadístico | Desv. Error |
|---|---|---|---|---|
| [1.Me recuerdo que me sentiré mejor luego de un tiempo] | Media | | 2.75 | 0.050 |
| | 95% de intervalo de confianza para la media | Límite inferior | 2.65 | |
| | | Límite superior | 2.85 | |
| | Media recortada al 5% | | 2.78 | |
| | Mediana | | 3.00 | |
| | Varianza | | 1.262 | |
| | Desv. Desviación | | 1.123 | |
| | Mínimo | | 1 | |
| | Máximo | | 4 | |
| | Rango | | 3 | |
| | Rango intercuartil | | 2 | |
| | Asimetría | | -0.350 | 0.109 |
| | Curtosis | | -1.261 | 0.218 |
| [2.Me digo que probablemente estoy exagerando ante la situación] | Media | | 2.76 | 0.048 |
| | 95% de intervalo de confianza para la media | Límite inferior | 2.67 | |
| | | Límite superior | 2.86 | |
| | Media recortada al 5% | | 2.79 | |
| | Mediana | | 3.00 | |
| | Varianza | | 1.179 | |
| | Desv. Desviación | | 1.086 | |
| | Mínimo | | 1 | |
| | Máximo | | 4 | |
| | Rango | | 3 | |
| | Rango intercuartil | | 2 | |

| | | | | |
|---|---|---|---|---|
| | Asimetría | | -0.354 | 0.109 |
| | Curtosis | | -1.171 | 0.218 |
| [3.Me digo que la situación pasará] | Media | | 2.99 | 0.047 |
| | 95% de intervalo de confianza para la media | Límite inferior | 2.90 | |
| | | Límite superior | 3.08 | |
| | Media recortada al 5% | | 3.04 | |
| | Mediana | | 3.00 | |
| | Varianza | | 1.088 | |
| | Desv. Desviación | | 1.043 | |
| | Mínimo | | 1 | |
| | Máximo | | 4 | |
| | Rango | | 3 | |
| | Rango intercuartil | | 2 | |
| | Asimetría | | -0.690 | 0.109 |
| | Curtosis | | -0.742 | 0.218 |
| [4.Me digo que probablemente mi apariencia es mejor de lo que creo] | Media | | 2.87 | 0.048 |
| | 95% de intervalo de confianza para la media | Límite inferior | 2.77 | |
| | | Límite superior | 2.96 | |
| | Media recortada al 5% | | 2.91 | |
| | Mediana | | 3.00 | |
| | Varianza | | 1.174 | |
| | Desv. Desviación | | 1.083 | |
| | Mínimo | | 1 | |
| | Máximo | | 4 | |
| | Rango | | 3 | |
| | Rango intercuartil | | 2 | |
| | Asimetría | | -0.470 | 0.109 |
| | Curtosis | | -1.096 | 0.218 |
| [5.Me recuerdo mis cualidades buenas] | Media | | 3.25 | 0.044 |
| | 95% de intervalo de confianza para la | Límite inferior | 3.17 | |

| | | | | |
|---|---|---|---|---|
| | media | | | |
| | | Límite superior | 3.34 | |
| | Media recortada al 5% | | 3.34 | |
| | Mediana | | 4.00 | |
| | Varianza | | 0.976 | |
| | Desv. Desviación | | 0.988 | |
| | Mínimo | | 1 | |
| | Máximo | | 4 | |
| | Rango | | 3 | |
| | Rango intercuartil | | 1 | |
| | Asimetría | | -1.086 | 0.109 |
| | Curtosis | | -0.049 | 0.218 |
| [6.Intento entender por qué me siento desafiado/a o amenazado/a por la situación] | Media | | 2.87 | 0.048 |
| | 95% de intervalo de confianza para la media | Límite inferior | 2.78 | |
| | | Límite superior | 2.96 | |
| | Media recortada al 5% | | 2.91 | |
| | Mediana | | 3.00 | |
| | Varianza | | 1.135 | |
| | Desv. Desviación | | 1.065 | |
| | Mínimo | | 1 | |
| | Máximo | | 4 | |
| | Rango | | 3 | |
| | Rango intercuartil | | 2 | |
| | Asimetría | | -0.545 | 0.109 |
| | Curtosis | | -0.946 | 0.218 |
| [7.Me digo que hay cosas más importantes que mi apariencia] | Media | | 3.08 | 0.044 |
| | 95% de intervalo de confianza para la media | Límite inferior | 3.00 | |
| | | Límite superior | 3.17 | |
| | Media recortada al 5% | | 3.15 | |
| | Mediana | | 3.00 | |
| | Varianza | | 0.953 | |

| | | | | |
|---|---|---|---|---|
| | Desv. Desviación | | 0.976 | |
| | Mínimo | | 1 | |
| | Máximo | | 4 | |
| | Rango | | 3 | |
| | Rango intercuartil | | 2 | |
| | Asimetría | | -0.771 | 0.109 |
| | Curtosis | | -0.478 | 0.218 |
| [8.Me digo que estoy siendo irracional sobre estas cosas] | Media | | 2.41 | 0.047 |
| | 95% de intervalo de confianza para la media | Límite inferior | 2.32 | |
| | | Límite superior | 2.51 | |
| | Media recortada al 5% | | 2.40 | |
| | Mediana | | 2.00 | |
| | Varianza | | 1.109 | |
| | Desv. Desviación | | 1.053 | |
| | Mínimo | | 1 | |
| | Máximo | | 4 | |
| | Rango | | 3 | |
| | Rango intercuartil | | 1 | |
| | Asimetría | | 0.068 | 0.109 |
| | Curtosis | | -1.204 | 0.218 |
| [9.Me digo que la situación no es tan importante] | Media | | 2.67 | 0.047 |
| | 95% de intervalo de confianza para la media | Límite inferior | 2.58 | |
| | | Límite superior | 2.76 | |
| | Media recortada al 5% | | 2.69 | |
| | Mediana | | 3.00 | |
| | Varianza | | 1.088 | |
| | Desv. Desviación | | 1.043 | |
| | Mínimo | | 1 | |
| | Máximo | | 4 | |
| | Rango | | 3 | |
| | Rango intercuartil | | 2 | |
| | Asimetría | | -0.196 | 0.109 |
| | Curtosis | | -1.145 | 0.218 |

| | | | | |
|---|---|---|---|---|
| [10.Reacciono siendo muy paciente conmigo] | Media | | 2.87 | 0.045 |
| | 95% de intervalo de confianza para la media | Límite inferior | 2.78 | |
| | | Límite superior | 2.96 | |
| | Media recortada al 5% | | 2.91 | |
| | Mediana | | 3.00 | |
| | Varianza | | 1.033 | |
| | Desv. Desviación | | 1.016 | |
| | Mínimo | | 1 | |
| | Máximo | | 4 | |
| | Rango | | 3 | |
| | Rango intercuartil | | 2 | |
| | Asimetría | | -0.479 | 0.109 |
| | Curtosis | | -0.896 | 0.218 |
| [11.Hago algo que podría hacerme sentir bien como persona] | Media | | 3.13 | 0.044 |
| | 95% de intervalo de confianza para la media | Límite inferior | 3.05 | |
| | | Límite superior | 3.22 | |
| | Media recortada al 5% | | 3.20 | |
| | Mediana | | 3.00 | |
| | Varianza | | 0.970 | |
| | Desv. Desviación | | 0.985 | |
| | Mínimo | | 1 | |
| | Máximo | | 4 | |
| | Rango | | 3 | |
| | Rango intercuartil | | 1 | |
| | Asimetría | | -0.887 | 0.109 |
| | Curtosis | | -0.321 | 0.218 |

***ISBIS***

Descriptivos

| | | | Estadístico | Desv. Error |
|---|---|---|---|---|
| [1.Es importante para mí parecer | Media | | 3.14 | 0.054 |

| | | | | |
|---|---|---|---|---|
| atlético/a] | | | | |
| | 95% de intervalo de confianza para la media | Límite inferior | 3.03 | |
| | | Límite superior | 3.25 | |
| | Media recortada al 5% | | 3.15 | |
| | Mediana | | 3.00 | |
| | Varianza | | 1.489 | |
| | Desv. Desviación | | 1.220 | |
| | Mínimo | | 1 | |
| | Máximo | | 5 | |
| | Rango | | 4 | |
| | Rango intercuartil | | 2 | |
| | Asimetría | | -0.156 | 0.109 |
| | Curtosis | | -0.884 | 0.218 |
| [2.Pienso mucho en parecer musculoso/a] | Media | | 2.42 | 0.057 |
| | 95% de intervalo de confianza para la media | Límite inferior | 2.31 | |
| | | Límite superior | 2.53 | |
| | Media recortada al 5% | | 2.36 | |
| | Mediana | | 2.00 | |
| | Varianza | | 1.617 | |
| | Desv. Desviación | | 1.272 | |
| | Mínimo | | 1 | |
| | Máximo | | 5 | |
| | Rango | | 4 | |
| | Rango intercuartil | | 2 | |
| | Asimetría | | 0.495 | 0.109 |
| | Curtosis | | -0.842 | 0.218 |
| [3.Quiero que mi cuerpo parezca muy delgado] | Media | | 2.74 | 0.063 |
| | 95% de intervalo de confianza para la media | Límite inferior | 2.61 | |
| | | Límite superior | 2.86 | |
| | Media recortada al 5% | | 2.71 | |
| | Mediana | | 3.00 | |

| | | | | |
|---|---|---|---|---|
| | Varianza | | 2.006 | |
| | Desv. Desviación | | 1.416 | |
| | Mínimo | | 1 | |
| | Máximo | | 5 | |
| | Rango | | 4 | |
| | Rango intercuartil | | 3 | |
| | Asimetría | | 0.215 | 0.109 |
| | Curtosis | | -1.242 | 0.218 |
| [4.Quiero que mi cuerpo parezca que tiene poca grasa] | Media | | 3.19 | 0.062 |
| | 95% de intervalo de confianza para la media | Límite inferior | 3.07 | |
| | | Límite superior | 3.31 | |
| | Media recortada al 5% | | 3.21 | |
| | Mediana | | 3.00 | |
| | Varianza | | 1.901 | |
| | Desv. Desviación | | 1.379 | |
| | Mínimo | | 1 | |
| | Máximo | | 5 | |
| | Rango | | 4 | |
| | Rango intercuartil | | 2 | |
| | Asimetría | | -0.250 | 0.109 |
| | Curtosis | | -1.179 | 0.218 |
| [5.Pienso mucho en parecer delgado/a] | Media | | 2.85 | 0.064 |
| | 95% de intervalo de confianza para la media | Límite inferior | 2.72 | |
| | | Límite superior | 2.98 | |
| | Media recortada al 5% | | 2.83 | |
| | Mediana | | 3.00 | |
| | Varianza | | 2.087 | |
| | Desv. Desviación | | 1.445 | |
| | Mínimo | | 1 | |
| | Máximo | | 5 | |
| | Rango | | 4 | |
| | Rango intercuartil | | 3 | |
| | Asimetría | | 0.115 | 0.109 |
| | Curtosis | | -1.327 | 0.218 |

| | | | | |
|---|---|---|---|---|
| [6.Paso mucho tiempo haciendo cosas para parecer más atlético/a] | Media | | 2.41 | 0.058 |
| | 95% de intervalo de confianza para la media | Límite inferior | 2.30 | |
| | | Límite superior | 2.53 | |
| | Media recortada al 5% | | 2.34 | |
| | Mediana | | 2.00 | |
| | Varianza | | 1.716 | |
| | Desv. Desviación | | 1.310 | |
| | Mínimo | | 1 | |
| | Máximo | | 5 | |
| | Rango | | 4 | |
| | Rango intercuartil | | 2 | |
| | Asimetría | | 0.574 | 0.109 |
| | Curtosis | | -0.793 | 0.218 |
| [7. Pienso mucho en parecer atlético/a] | Media | | 2.70 | 0.062 |
| | 95% de intervalo de confianza para la media | Límite inferior | 2.58 | |
| | | Límite superior | 2.82 | |
| | Media recortada al 5% | | 2.66 | |
| | Mediana | | 3.00 | |
| | Varianza | | 1.900 | |
| | Desv. Desviación | | 1.378 | |
| | Mínimo | | 1 | |
| | Máximo | | 5 | |
| | Rango | | 4 | |
| | Rango intercuartil | | 3 | |
| | Asimetría | | 0.262 | 0.109 |
| | Curtosis | | -1.207 | 0.218 |
| [9.Pienso mucho en tener muy poca grasa corporal] | Media | | 2.76 | 0.064 |
| | 95% de intervalo de confianza para la media | Límite inferior | 2.64 | |

| | | | | |
|---|---|---|---|---|
| | | Límite superior | 2.89 | |
| | Media recortada al 5% | | 2.74 | |
| | Mediana | | 3.00 | |
| | Varianza | | 2.024 | |
| | Desv. Desviación | | 1.423 | |
| | Mínimo | | 1 | |
| | Máximo | | 5 | |
| | Rango | | 4 | |
| | Rango intercuartil | | 3 | |
| | Asimetría | | 0.216 | 0.109 |
| | Curtosis | | -1.291 | 0.218 |
| [10. Paso mucho tiempo haciendo cosas para parecer más musculoso/a] | Media | | 2.19 | 0.055 |
| | 95% de intervalo de confianza para la media | Límite inferior | 2.08 | |
| | | Límite superior | 2.30 | |
| | Media recortada al 5% | | 2.10 | |
| | Mediana | | 2.00 | |
| | Varianza | | 1.516 | |
| | Desv. Desviación | | 1.231 | |
| | Mínimo | | 1 | |
| | Máximo | | 5 | |
| | Rango | | 4 | |
| | Rango intercuartil | | 2 | |
| | Asimetría | | 0.778 | 0.109 |
| | Curtosis | | -0.375 | 0.218 |

***BAOS***

Descriptivos

| | | | Estadístico | Desv. Error |
|---|---|---|---|---|
| [1.He sentido que mis amigos aceptan la forma o peso de mi cuerpo] | Media | | 4.44 | 0.037 |
| | 95% de intervalo de confianza para la media | Límite inferior | 4.37 | |

| | | | | |
|---|---|---|---|---|
| | | Límite superior | 4.52 | |
| | Media recortada al 5% | | 4.54 | |
| | Mediana | | 5.00 | |
| | Varianza | | 0.702 | |
| | Desv. Desviación | | 0.838 | |
| | Mínimo | | 1 | |
| | Máximo | | 5 | |
| | Rango | | 4 | |
| | Rango intercuartil | | 1 | |
| | Asimetría | | -1.620 | 0.109 |
| | Curtosis | | 2.519 | 0.218 |
| [2.Mis amigos me dan a entender que la forma o el peso de mi cuerpo están bien] | Media | | 4.22 | 0.043 |
| | 95% de intervalo de confianza para la media | Límite inferior | 4.14 | |
| | | Límite superior | 4.31 | |
| | Media recortada al 5% | | 4.32 | |
| | Mediana | | 5.00 | |
| | Varianza | | 0.940 | |
| | Desv. Desviación | | 0.970 | |
| | Mínimo | | 1 | |
| | Máximo | | 5 | |
| | Rango | | 4 | |
| | Rango intercuartil | | 1 | |
| | Asimetría | | -1.237 | 0.109 |
| | Curtosis | | 0.996 | 0.218 |
| [3.He sentido que mi familia acepta la forma o peso de mi cuerpo] | Media | | 3.96 | 0.052 |
| | 95% de intervalo de confianza para la media | Límite inferior | 3.86 | |
| | | Límite superior | 4.06 | |
| | Media recortada al 5% | | 4.06 | |
| | Mediana | | 4.00 | |
| | Varianza | | 1.372 | |
| | Desv. Desviación | | 1.171 | |
| | Mínimo | | 1 | |
| | Máximo | | 5 | |
| | Rango | | 4 | |

| | | | | |
|---|---|---|---|---|
| | Rango intercuartil | | 2 | |
| | Asimetría | | -0.903 | 0.109 |
| | Curtosis | | -0.156 | 0.218 |
| [4.Mi familia me da a entender que la forma o el peso de mi cuerpo están bien] | Media | | 3.79 | 0.055 |
| | 95% de intervalo de confianza para la media | Límite inferior | 3.69 | |
| | | Límite superior | 3.90 | |
| | Media recortada al 5% | | 3.88 | |
| | Mediana | | 4.00 | |
| | Varianza | | 1.510 | |
| | Desv. Desviación | | 1.229 | |
| | Mínimo | | 1 | |
| | Máximo | | 5 | |
| | Rango | | 4 | |
| | Rango intercuartil | | 2 | |
| | Asimetría | | -0.701 | 0.109 |
| | Curtosis | | -0.618 | 0.218 |
| [5.He sentido que mi pareja o las personas con las que he tenido una relación aceptan la forma o peso de mi cuerpo] | Media | | 4.23 | 0.045 |
| | 95% de intervalo de confianza para la media | Límite inferior | 4.14 | |
| | | Límite superior | 4.32 | |
| | Media recortada al 5% | | 4.33 | |
| | Mediana | | 5.00 | |
| | Varianza | | 1.034 | |
| | Desv. Desviación | | 1.017 | |
| | Mínimo | | 1 | |
| | Máximo | | 5 | |
| | Rango | | 4 | |
| | Rango intercuartil | | 1 | |
| | Asimetría | | -1.255 | 0.109 |
| | Curtosis | | 0.943 | 0.218 |
| [6.Mi pareja o las personas con las que he tenido una relación me dan a entender | Media | | 4.18 | 0.046 |

| | | | | |
|---|---|---|---|---|
| que la forma y el peso de mi cuerpo están bien] | | | | |
| | 95% de intervalo de confianza para la media | Límite inferior | 4.09 | |
| | | Límite superior | 4.27 | |
| | Media recortada al 5% | | 4.29 | |
| | Mediana | | 5.00 | |
| | Varianza | | 1.068 | |
| | Desv. Desviación | | 1.034 | |
| | Mínimo | | 1 | |
| | Máximo | | 5 | |
| | Rango | | 4 | |
| | Rango intercuartil | | 1 | |
| | Asimetría | | -1.244 | 0.109 |
| | Curtosis | | 0.951 | 0.218 |
| [7.He sentido que los medios de comunicación (TV) o las redes sociales (Instagram, Facebook) aceptan la forma o el peso del cuerpo similar al m | Media | | 3.42 | 0.055 |
| | 95% de intervalo de confianza para la media | Límite inferior | 3.31 | |
| | | Límite superior | 3.53 | |
| | Media recortada al 5% | | 3.47 | |
| | Mediana | | 3.00 | |
| | Varianza | | 1.506 | |
| | Desv. Desviación | | 1.227 | |
| | Mínimo | | 1 | |
| | Máximo | | 5 | |
| | Rango | | 4 | |
| | Rango intercuartil | | 1 | |
| | Asimetría | | -0.284 | 0.109 |
| | Curtosis | | -0.869 | 0.218 |
| [8.Siento que los medios de comunicación o las redes sociales transmiten el mensaje de que la forma y el peso de mi cuerpo están | Media | | 3.35 | 0.057 |

| | | | | |
|---|---|---|---|---|
| bien] | | | | |
| | 95% de intervalo de confianza para la media | Límite inferior | 3.24 | |
| | | Límite superior | 3.46 | |
| | Media recortada al 5% | | 3.39 | |
| | Mediana | | 3.00 | |
| | Varianza | | 1.612 | |
| | Desv. Desviación | | 1.270 | |
| | Mínimo | | 1 | |
| | Máximo | | 5 | |
| | Rango | | 4 | |
| | Rango intercuartil | | 2 | |
| | Asimetría | | -0.208 | 0.109 |
| | Curtosis | | -1.015 | 0.218 |
| [9.Me siento aceptado por la sociedad (universidad, entornos sociales) con respecto a la forma o peso de mi cuerpo] | Media | | 4.16 | 0.044 |
| | 95% de intervalo de confianza para la media | Límite inferior | 4.07 | |
| | | Límite superior | 4.24 | |
| | Media recortada al 5% | | 4.25 | |
| | Mediana | | 4.00 | |
| | Varianza | | 0.963 | |
| | Desv. Desviación | | 0.981 | |
| | Mínimo | | 1 | |
| | Máximo | | 5 | |
| | Rango | | 4 | |
| | Rango intercuartil | | 1 | |
| | Asimetría | | -1.108 | 0.109 |
| | Curtosis | | 0.657 | 0.218 |
| [10.Siento que la sociedad transmite el mensaje de que la forma y el peso de mi cuerpo están bien] | Media | | 3.56 | 0.056 |
| | 95% de intervalo de confianza para la media | Límite inferior | 3.45 | |
| | | Límite superior | 3.67 | |

| | | | |
|---|---|---|---|
| | Media recortada al 5% | 3.62 | |
| | Mediana | 4.00 | |
| | Varianza | 1.600 | |
| | Desv. Desviación | 1.265 | |
| | Mínimo | 1 | |
| | Máximo | 5 | |
| | Rango | 4 | |
| | Rango intercuartil | 2 | |
| | Asimetría | -0.451 | 0.109 |
| | Curtosis | -0.881 | 0.218 |

***Anexo 24.*** Correlaciones entre los ítems de las variables de estudio previo al análisis factorial exploratorio

***MBSRQ***

Correlaciones

| | | [1] | [2] | [3] | [4] | [5] | [6] | [7] | [8] | [9] | [10] | [11] | [12] | [13] | [14] | [15] | [16] | [17] | [18] | [19] | [20] | [21] |
|---|---|---|---|---|---|---|---|---|---|---|---|---|---|---|---|---|---|---|---|---|---|---|
| [1] | Correlación de Pearson | 1 | ,560** | ,153** | ,158** | ,094* | 0,051 | 0,046 | 0,060 | 0,045 | ,268** | -0,047 | ,446** | ,484** | 0,043 | 0,041 | 0,079 | ,096* | 0,070 | ,091* | ,171** | 0,082 |
| | Sig. (bilateral) | | 0,000 | 0,001 | 0,000 | 0,035 | 0,256 | 0,301 | 0,183 | 0,318 | 0,000 | 0,288 | 0,000 | 0,000 | 0,342 | 0,363 | 0,078 | 0,032 | 0,117 | 0,041 | 0,000 | 0,066 |
| | N | 502 | 502 | 502 | 502 | 502 | 502 | 502 | 502 | 502 | 502 | 502 | 502 | 502 | 502 | 502 | 502 | 502 | 502 | 502 | 502 | 502 |
| [2] | Correlación de Pearson | ,560** | 1 | ,184** | ,201** | ,164** | ,140** | 0,086 | ,114* | ,110* | ,302** | -0,038 | ,407** | ,426** | 0,027 | 0,006 | ,125** | ,217** | ,118** | ,100* | ,201** | ,119** |
| | Sig. (bilateral) | 0,000 | | 0,000 | 0,000 | 0,000 | 0,002 | 0,055 | 0,011 | 0,014 | 0,000 | 0,401 | 0,000 | 0,000 | 0,542 | 0,894 | 0,005 | 0,000 | 0,008 | 0,025 | 0,000 | 0,007 |
| | N | 502 | 502 | 502 | 502 | 502 | 502 | 502 | 502 | 502 | 502 | 502 | 502 | 502 | 502 | 502 | 502 | 502 | 502 | 502 | 502 | 502 |
| [3] | Correlación de Pearson | ,153** | ,184** | 1 | ,443** | ,301** | ,463** | ,359** | ,332** | ,375** | ,106* | ,190** | 0,079 | ,118** | ,591** | ,379** | ,483** | 0,055 | ,290** | ,143** | ,211** | ,223** |
| | Sig. (bilateral) | 0,001 | 0,000 | | 0,000 | 0,000 | 0,000 | 0,000 | 0,000 | 0,000 | 0,018 | 0,000 | 0,075 | 0,008 | 0,000 | 0,000 | 0,000 | 0,218 | 0,000 | 0,001 | 0,000 | 0,000 |
| | N | 502 | 502 | 502 | 502 | 502 | 502 | 502 | 502 | 502 | 502 | 502 | 502 | 502 | 502 | 502 | 502 | 502 | 502 | 502 | 502 | 502 |
| [4] | Correlación de Pearson | ,158** | ,201** | ,443** | 1 | ,095* | ,311** | ,185** | ,299** | ,215** | ,160** | 0,048 | ,157** | ,093* | ,325** | ,425** | ,347** | ,097* | ,310** | 0,041 | ,172** | 0,041 |
| | Sig. (bilateral) | 0,000 | 0,000 | 0,000 | | 0,033 | 0,000 | 0,000 | 0,000 | 0,000 | 0,000 | 0,285 | 0,000 | 0,038 | 0,000 | 0,000 | 0,000 | 0,030 | 0,000 | 0,362 | 0,000 | 0,354 |
| | N | 502 | 502 | 502 | 502 | 502 | 502 | 502 | 502 | 502 | 502 | 502 | 502 | 502 | 502 | 502 | 502 | 502 | 502 | 502 | 502 | 502 |
| [5] | Correlación de Pearson | ,094* | ,164** | ,301** | ,095* | 1 | ,343** | ,399** | ,244** | ,353** | 0,086 | ,473** | ,204** | ,208** | ,311** | ,125** | ,303** | ,102* | ,246** | ,236** | ,160** | ,624** |
| | Sig. (bilateral) | 0,035 | 0,000 | 0,000 | 0,033 | | 0,000 | 0,000 | 0,000 | 0,000 | 0,054 | 0,000 | 0,000 | 0,000 | 0,000 | 0,005 | 0,000 | 0,022 | 0,000 | 0,000 | 0,000 | 0,000 |
| | N | 502 | 502 | 502 | 502 | 502 | 502 | 502 | 502 | 502 | 502 | 502 | 502 | 502 | 502 | 502 | 502 | 502 | 502 | 502 | 502 | 502 |
| [6] | Correlación de Pearson | 0,051 | ,140** | ,463** | ,311** | ,343** | 1 | ,595** | ,390** | ,580** | ,182** | ,248** | ,169** | ,174** | ,588** | ,437** | ,791** | 0,054 | ,288** | ,28 | | |
| | Sig. (bilateral) | 0,256 | 0,002 | 0,000 | 0,000 | 0,000 | | 0,000 | 0,000 | 0,000 | 0,000 | 0,000 | 0,000 | 0,000 | 0,000 | 0,000 | 0,000 | 0,223 | 0,000 | 0,0 | | |
| | N | 502 | 502 | 502 | 502 | 502 | 502 | 502 | 502 | 502 | 502 | 502 | 502 | 502 | 502 | 502 | 502 | 502 | 502 | 5 | | |
| [7] | Correlación de Pearson | 0,046 | 0,086 | ,359** | ,185** | ,399** | ,595** | 1 | ,566** | ,709** | ,102* | ,401** | ,138** | ,137** | ,445** | ,312** | ,514** | 0,003 | ,491** | ,4 | | |
| | Sig. (bilateral) | 0,301 | 0,055 | 0,000 | 0,000 | 0,000 | 0,000 | | 0,000 | 0,000 | 0,022 | 0,000 | 0,002 | 0,002 | 0,000 | 0,000 | 0,000 | 0,942 | 0,000 | 0,0 | | |
| | N | 502 | 502 | 502 | 502 | 502 | 502 | 502 | 502 | 502 | 502 | 502 | 502 | 502 | 502 | 502 | 502 | 502 | 502 | 5 | | |
| [8] | Correlación de Pearson | 0,060 | ,114* | ,332** | ,299** | ,244** | ,390** | ,566** | 1 | ,519** | ,208** | ,197** | ,183** | ,189** | ,375** | ,254** | ,392** | ,171** | ,450** | ,2 | | |
| | | [1] | [2] | [3] | [4] | [5] | [6] | [7] | [8] | [9] | [10] | [11] | [12] | [13] | [14] | [15] | [16] | [17] | [18] | [1 | | |
| | Sig. (bilateral) | 0,183 | 0,011 | 0,000 | 0,000 | 0,000 | 0,000 | 0,000 | | 0,000 | 0,000 | 0,000 | 0,000 | 0,000 | 0,000 | 0,000 | 0,000 | 0,000 | 0,000 | 0,0 | | |
| | N | 502 | 502 | 502 | 502 | 502 | 502 | 502 | 502 | 502 | 502 | 502 | 502 | 502 | 502 | 502 | 502 | 502 | 502 | 5 | | |
| [9] | Correlación de | 0,045 | ,110* | ,375** | ,215** | ,353** | ,580** | ,709** | ,519** | 1 | ,186** | ,335** | ,130** | ,091* | ,467** | ,314** | ,569** | ,094* | ,366** | ,4 | | |

| | | | | | | | | | | | | | | | | | | | | |
|---|---|---|---|---|---|---|---|---|---|---|---|---|---|---|---|---|---|---|---|---|
| | Pearson | | | | | | | | | | | | | | | | | | | |
| | Sig. (bilateral) | 0,318 | 0,014 | 0,000 | 0,000 | 0,000 | 0,000 | 0,000 | 0,000 | | 0,000 | 0,000 | 0,004 | 0,041 | 0,000 | 0,000 | 0,000 | 0,036 | 0,000 | 0,0 |
| | N | 502 | 502 | 502 | 502 | 502 | 502 | 502 | 502 | 502 | 502 | 502 | 502 | 502 | 502 | 502 | 502 | 502 | 502 | 5 |
| [10] | Correlación de Pearson | ,268** | ,302** | ,106* | ,160** | 0,086 | ,182** | ,102* | ,208** | ,186** | 1 | -,149** | ,359** | ,316** | 0,046 | 0,065 | ,163** | ,202** | 0,068 | 0,0 |
| | Sig. (bilateral) | 0,000 | 0,000 | 0,018 | 0,000 | 0,054 | 0,000 | 0,022 | 0,000 | 0,000 | | 0,001 | 0,000 | 0,000 | 0,307 | 0,146 | 0,000 | 0,000 | 0,128 | 0,1 |
| | N | 502 | 502 | 502 | 502 | 502 | 502 | 502 | 502 | 502 | 502 | 502 | 502 | 502 | 502 | 502 | 502 | 502 | 502 | 5 |
| [11] | Correlación de Pearson | -0,047 | -0,038 | ,190** | 0,048 | ,473** | ,248** | ,401** | ,197** | ,335** | -,149** | 1 | 0,027 | 0,003 | ,300** | ,206** | ,221** | -0,079 | ,294** | ,23 |
| | Sig. (bilateral) | 0,288 | 0,401 | 0,000 | 0,285 | 0,000 | 0,000 | 0,000 | 0,000 | 0,000 | 0,001 | | 0,549 | 0,941 | 0,000 | 0,000 | 0,000 | 0,077 | 0,000 | 0,0 |
| | N | 502 | 502 | 502 | 502 | 502 | 502 | 502 | 502 | 502 | 502 | 502 | 502 | 502 | 502 | 502 | 502 | 502 | 502 | 5 |
| [12] | Correlación de Pearson | ,446** | ,407** | 0,079 | ,157** | ,204** | ,169** | ,138** | ,183** | ,130** | ,359** | 0,027 | 1 | ,549** | ,115* | ,089* | ,152** | ,191** | 0,060 | ,0 |
| | Sig. (bilateral) | 0,000 | 0,000 | 0,075 | 0,000 | 0,000 | 0,000 | 0,002 | 0,000 | 0,004 | 0,000 | 0,549 | | 0,000 | 0,010 | 0,047 | 0,001 | 0,000 | 0,179 | 0,0 |
| | N | 502 | 502 | 502 | 502 | 502 | 502 | 502 | 502 | 502 | 502 | 502 | 502 | 502 | 502 | 502 | 502 | 502 | 502 | 5 |
| [13] | Correlación de Pearson | ,484** | ,426** | ,118** | ,093* | ,208** | ,174** | ,137** | ,189** | ,091* | ,316** | 0,003 | ,549** | 1 | ,116** | 0,041 | ,155** | ,225** | ,118** | ,13 |
| | Sig. (bilateral) | 0,000 | 0,000 | 0,008 | 0,038 | 0,000 | 0,000 | 0,002 | 0,000 | 0,041 | 0,000 | 0,941 | 0,000 | | 0,009 | 0,358 | 0,000 | 0,000 | 0,008 | 0,0 |
| | N | 502 | 502 | 502 | 502 | 502 | 502 | 502 | 502 | 502 | 502 | 502 | 502 | 502 | 502 | 502 | 502 | 502 | 502 | 5 |
| [14] | Correlación de Pearson | 0,043 | 0,027 | ,591** | ,325** | ,311** | ,588** | ,445** | ,375** | ,467** | 0,046 | ,300** | ,115* | ,116** | 1 | ,538** | ,628** | 0,039 | ,361** | ,22 |
| | Sig. (bilateral) | 0,342 | 0,542 | 0,000 | 0,000 | 0,000 | 0,000 | 0,000 | 0,000 | 0,000 | 0,307 | 0,000 | 0,010 | 0,009 | | 0,000 | 0,000 | 0,383 | 0,000 | 0,0 |
| | N | 502 | 502 | 502 | 502 | 502 | 502 | 502 | 502 | 502 | 502 | 502 | 502 | 502 | 502 | 502 | 502 | 502 | 502 | 5 |
| [15] | Correlación de Pearson | 0,041 | 0,006 | ,379** | ,425** | ,125** | ,437** | ,312** | ,254** | ,314** | 0,065 | ,206** | ,089* | 0,041 | ,538** | 1 | ,594** | 0,010 | ,323** | ,17 |
| | Sig. (bilateral) | 0,363 | 0,894 | 0,000 | 0,000 | 0,005 | 0,000 | 0,000 | 0,000 | 0,000 | 0,146 | 0,000 | 0,047 | 0,358 | 0,000 | | 0,000 | 0,821 | 0,000 | 0,0 |
| | N | 502 | 502 | 502 | 502 | 502 | 502 | 502 | 502 | 502 | 502 | 502 | 502 | 502 | 502 | 502 | 502 | 502 | 502 | 5 |
| [16] | Correlación de Pearson | 0,079 | ,125** | ,483** | ,347** | ,303** | ,791** | ,514** | ,392** | ,569** | ,163** | ,221** | ,152** | ,155** | ,628** | ,594** | 1 | ,126** | ,401** | ,32 |
| | Sig. (bilateral) | 0,078 | 0,005 | 0,000 | 0,000 | 0,000 | 0,000 | 0,000 | 0,000 | 0,000 | 0,000 | 0,000 | 0,001 | 0,000 | 0,000 | 0,000 | | 0,005 | 0,000 | 0,0 |
| | N | 502 | 502 | 502 | 502 | 502 | 502 | 502 | 502 | 502 | 502 | 502 | 502 | 502 | 502 | 502 | 502 | 502 | 502 | 5 |
| [17] | Correlación de Pearson | ,096* | ,217** | 0,055 | ,097* | ,102* | 0,054 | 0,003 | ,171** | ,094* | ,202** | -0,079 | ,191** | ,225** | 0,039 | 0,010 | ,126** | 1 | ,135** | 0,0 |
| | Sig. (bilateral) | 0,032 | 0,000 | 0,218 | 0,030 | 0,022 | 0,223 | 0,942 | 0,000 | 0,036 | 0,000 | 0,077 | 0,000 | 0,000 | 0,383 | 0,821 | 0,005 | | 0,002 | 0,1 |
| | N | 502 | 502 | 502 | 502 | 502 | 502 | 502 | 502 | 502 | 502 | 502 | 502 | 502 | 502 | 502 | 502 | 502 | 502 | 5 |
| [18] | Correlación de Pearson | 0,070 | ,118** | ,290** | ,310** | ,246** | ,288** | ,491** | ,450** | ,366** | 0,068 | ,294** | 0,060 | ,118** | ,361** | ,323** | ,401** | ,135** | 1 | ,36 |
| | | [1] | [2] | [3] | [4] | [5] | [6] | [7] | [8] | [9] | [10] | [11] | [12] | [13] | [14] | [15] | [16] | [17] | [18] | [1 |
| | Sig. (bilateral) | 0,117 | 0,008 | 0,000 | 0,000 | 0,000 | 0,000 | 0,000 | 0,000 | 0,000 | 0,128 | 0,000 | 0,179 | 0,008 | 0,000 | 0,000 | 0,000 | 0,002 | | 0,0 |
| | N | 502 | 502 | 502 | 502 | 502 | 502 | 502 | 502 | 502 | 502 | 502 | 502 | 502 | 502 | 502 | 502 | 502 | 502 | 5 |

| | | | | | | | | | | | | | | | | | | | | |
|---|---|---|---|---|---|---|---|---|---|---|---|---|---|---|---|---|---|---|---|---|
| [19] | Correlación de Pearson | ,091* | ,100* | ,143** | 0,041 | ,236** | ,286** | ,410** | ,219** | ,421** | 0,045 | ,235** | ,096* | ,130** | ,229** | ,171** | ,322** | 0,064 | ,362** | |
| | Sig. (bilateral) | 0,041 | 0,025 | 0,001 | 0,362 | 0,000 | 0,000 | 0,000 | 0,000 | 0,000 | 0,311 | 0,000 | 0,032 | 0,004 | 0,000 | 0,000 | 0,000 | 0,155 | 0,000 | |
| | N | 502 | 502 | 502 | 502 | 502 | 502 | 502 | 502 | 502 | 502 | 502 | 502 | 502 | 502 | 502 | 502 | 502 | 502 | 5 |
| [20] | Correlación de Pearson | ,171** | ,201** | ,211** | ,172** | ,160** | ,190** | ,201** | ,290** | ,149** | ,381** | 0,028 | ,259** | ,298** | ,231** | ,120** | ,192** | ,233** | ,173** | ,20 |
| | Sig. (bilateral) | 0,000 | 0,000 | 0,000 | 0,000 | 0,000 | 0,000 | 0,000 | 0,000 | 0,001 | 0,000 | 0,529 | 0,000 | 0,000 | 0,000 | 0,007 | 0,000 | 0,000 | 0,000 | 0,0 |
| | N | 502 | 502 | 502 | 502 | 502 | 502 | 502 | 502 | 502 | 502 | 502 | 502 | 502 | 502 | 502 | 502 | 502 | 502 | 5 |
| [21] | Correlación de Pearson | 0,082 | ,119** | ,223** | 0,041 | ,624** | ,300** | ,393** | ,211** | ,365** | 0,083 | ,407** | ,167** | ,209** | ,282** | ,123** | ,284** | 0,066 | ,208** | ,3 |
| | Sig. (bilateral) | 0,066 | 0,007 | 0,000 | 0,354 | 0,000 | 0,000 | 0,000 | 0,000 | 0,000 | 0,063 | 0,000 | 0,000 | 0,000 | 0,000 | 0,006 | 0,000 | 0,140 | 0,000 | 0,0 |
| | N | 502 | 502 | 502 | 502 | 502 | 502 | 502 | 502 | 502 | 502 | 502 | 502 | 502 | 502 | 502 | 502 | 502 | 502 | 5 |
| [22] | Correlación de Pearson | ,489** | ,431** | ,114* | ,200** | ,152** | ,131** | ,246** | ,291** | ,201** | ,294** | 0,081 | ,446** | ,507** | ,122** | ,130** | ,202** | ,141** | ,274** | ,2 |
| | Sig. (bilateral) | 0,000 | 0,000 | 0,010 | 0,000 | 0,001 | 0,003 | 0,000 | 0,000 | 0,000 | 0,000 | 0,071 | 0,000 | 0,000 | 0,006 | 0,003 | 0,000 | 0,001 | 0,000 | 0,0 |
| | N | 502 | 502 | 502 | 502 | 502 | 502 | 502 | 502 | 502 | 502 | 502 | 502 | 502 | 502 | 502 | 502 | 502 | 502 | 5 |
| [23] | Correlación de Pearson | 0,002 | -0,015 | 0,037 | 0,045 | -0,072 | -0,072 | 0,016 | 0,005 | 0,003 | 0,005 | ,099* | -,107* | -,089* | -0,001 | 0,030 | -0,068 | -0,078 | ,106* | 0,0 |
| | Sig. (bilateral) | 0,961 | 0,737 | 0,407 | 0,312 | 0,106 | 0,108 | 0,723 | 0,918 | 0,950 | 0,918 | 0,026 | 0,016 | 0,047 | 0,978 | 0,501 | 0,130 | 0,082 | 0,018 | 0,8 |
| | N | 502 | 502 | 502 | 502 | 502 | 502 | 502 | 502 | 502 | 502 | 502 | 502 | 502 | 502 | 502 | 502 | 502 | 502 | 5 |
| [24] | Correlación de Pearson | 0,029 | 0,063 | ,454** | ,390** | ,301** | ,476** | ,364** | ,352** | ,395** | ,152** | ,280** | ,118** | ,117** | ,545** | ,467** | ,519** | ,106* | ,389** | ,17 |
| | Sig. (bilateral) | 0,523 | 0,162 | 0,000 | 0,000 | 0,000 | 0,000 | 0,000 | 0,000 | 0,000 | 0,001 | 0,000 | 0,008 | 0,009 | 0,000 | 0,000 | 0,000 | 0,017 | 0,000 | 0,0 |
| | N | 502 | 502 | 502 | 502 | 502 | 502 | 502 | 502 | 502 | 502 | 502 | 502 | 502 | 502 | 502 | 502 | 502 | 502 | 5 |
| [25] | Correlación de Pearson | 0,067 | -0,039 | -0,046 | -,143** | ,116** | -0,036 | 0,034 | -0,024 | 0,018 | 0,081 | ,194** | 0,070 | ,141** | -0,012 | -0,041 | -0,047 | 0,027 | -0,045 | ,13 |
| | Sig. (bilateral) | 0,135 | 0,378 | 0,305 | 0,001 | 0,010 | 0,417 | 0,441 | 0,584 | 0,691 | 0,069 | 0,000 | 0,118 | 0,002 | 0,780 | 0,360 | 0,296 | 0,540 | 0,319 | 0,0 |
| | N | 502 | 502 | 502 | 502 | 502 | 502 | 502 | 502 | 502 | 502 | 502 | 502 | 502 | 502 | 502 | 502 | 502 | 502 | 5 |
| [26] | Correlación de Pearson | -0,035 | 0,075 | ,431** | ,492** | ,246** | ,675** | ,466** | ,349** | ,477** | ,106* | ,264** | 0,078 | 0,055 | ,557** | ,519** | ,708** | 0,025 | ,350** | ,21 |
| | Sig. (bilateral) | 0,438 | 0,094 | 0,000 | 0,000 | 0,000 | 0,000 | 0,000 | 0,000 | 0,000 | 0,018 | 0,000 | 0,081 | 0,221 | 0,000 | 0,000 | 0,000 | 0,569 | 0,000 | 0,0 |
| | N | 502 | 502 | 502 | 502 | 502 | 502 | 502 | 502 | 502 | 502 | 502 | 502 | 502 | 502 | 502 | 502 | 502 | 502 | 5 |
| [27] | Correlación de Pearson | -0,024 | -0,016 | ,180** | ,146** | ,100* | ,093* | ,240** | ,144** | ,148** | -0,040 | ,198** | -0,015 | -0,075 | ,181** | ,123** | ,103* | -,293** | ,254** | ,12 |
| | Sig. (bilateral) | 0,596 | 0,716 | 0,000 | 0,001 | 0,024 | 0,038 | 0,000 | 0,001 | 0,001 | 0,366 | 0,000 | 0,729 | 0,095 | 0,000 | 0,006 | 0,021 | 0,000 | 0,000 | 0,0 |
| | N | 502 | 502 | 502 | 502 | 502 | 502 | 502 | 502 | 502 | 502 | 502 | 502 | 502 | 502 | 502 | 502 | 502 | 502 | 5 |
| [28] | Correlación de Pearson | 0,038 | -0,003 | ,171** | 0,033 | ,162** | 0,044 | ,161** | 0,071 | 0,078 | -,106* | ,260** | 0,040 | -0,003 | ,162** | ,130** | 0,077 | -,195** | ,133** | ,16 |
| | | [1] | [2] | [3] | [4] | [5] | [6] | [7] | [8] | [9] | [10] | [11] | [12] | [13] | [14] | [15] | [16] | [17] | [18] | [1 |
| | Sig. (bilateral) | 0,397 | 0,946 | 0,000 | 0,462 | 0,000 | 0,323 | 0,000 | 0,111 | 0,079 | 0,017 | 0,000 | 0,365 | 0,944 | 0,000 | 0,004 | 0,085 | 0,000 | 0,003 | 0,0 |
| | N | 502 | 502 | 502 | 502 | 502 | 502 | 502 | 502 | 502 | 502 | 502 | 502 | 502 | 502 | 502 | 502 | 502 | 502 | 5 |

| | | | | | | | | | | | | | | | | | | | | |
|---|---|---|---|---|---|---|---|---|---|---|---|---|---|---|---|---|---|---|---|---|
| [29] | Correlación de Pearson | ,121** | ,120** | ,207** | ,191** | ,223** | ,318** | ,307** | ,293** | ,348** | ,149** | ,168** | ,170** | ,173** | ,266** | ,220** | ,334** | ,096* | ,254** | ,24 |
| | Sig. (bilateral) | 0,007 | 0,007 | 0,000 | 0,000 | 0,000 | 0,000 | 0,000 | 0,000 | 0,000 | 0,001 | 0,000 | 0,000 | 0,000 | 0,000 | 0,000 | 0,000 | 0,032 | 0,000 | 0,0 |
| | N | 502 | 502 | 502 | 502 | 502 | 502 | 502 | 502 | 502 | 502 | 502 | 502 | 502 | 502 | 502 | 502 | 502 | 502 | 5 |
| 30] | Correlación de Pearson | -0,052 | -0,043 | ,218** | 0,002 | ,596** | ,347** | ,485** | ,251** | ,409** | -,130** | ,661** | 0,016 | 0,086 | ,376** | ,211** | ,339** | -0,045 | ,314** | ,29 |
| | Sig. (bilateral) | 0,245 | 0,336 | 0,000 | 0,960 | 0,000 | 0,000 | 0,000 | 0,000 | 0,000 | 0,004 | 0,000 | 0,725 | 0,055 | 0,000 | 0,000 | 0,000 | 0,310 | 0,000 | 0,0 |
| | N | 502 | 502 | 502 | 502 | 502 | 502 | 502 | 502 | 502 | 502 | 502 | 502 | 502 | 502 | 502 | 502 | 502 | 502 | 5 |
| [31] | Correlación de Pearson | ,327** | ,310** | ,119** | ,164** | ,107* | ,132** | ,262** | ,293** | ,157** | ,173** | ,108* | ,317** | ,348** | ,196** | ,125** | ,160** | ,110* | ,299** | ,18 |
| | Sig. (bilateral) | 0,000 | 0,000 | 0,008 | 0,000 | 0,016 | 0,003 | 0,000 | 0,000 | 0,000 | 0,000 | 0,015 | 0,000 | 0,000 | 0,000 | 0,005 | 0,000 | 0,014 | 0,000 | 0,0 |
| | N | 502 | 502 | 502 | 502 | 502 | 502 | 502 | 502 | 502 | 502 | 502 | 502 | 502 | 502 | 502 | 502 | 502 | 502 | 5 |
| [32] | Correlación de Pearson | -,272** | -,235** | 0,073 | 0,025 | ,159** | ,089* | 0,078 | 0,021 | ,118** | -,118** | ,228** | -,233** | -,246** | ,127** | 0,062 | ,104* | 0,062 | 0,033 | 0,0 |
| | Sig. (bilateral) | 0,000 | 0,000 | 0,103 | 0,573 | 0,000 | 0,047 | 0,080 | 0,643 | 0,008 | 0,008 | 0,000 | 0,000 | 0,000 | 0,004 | 0,164 | 0,020 | 0,163 | 0,466 | 0, |
| | N | 502 | 502 | 502 | 502 | 502 | 502 | 502 | 502 | 502 | 502 | 502 | 502 | 502 | 502 | 502 | 502 | 502 | 502 | 5 |
| [33] | Correlación de Pearson | -0,020 | -0,044 | ,445** | ,398** | ,216** | ,420** | ,319** | ,260** | ,301** | 0,009 | ,270** | 0,031 | -0,030 | ,546** | ,674** | ,503** | -0,082 | ,269** | ,15 |
| | Sig. (bilateral) | 0,653 | 0,322 | 0,000 | 0,000 | 0,000 | 0,000 | 0,000 | 0,000 | 0,000 | 0,838 | 0,000 | 0,490 | 0,497 | 0,000 | 0,000 | 0,000 | 0,068 | 0,000 | 0,0 |
| | N | 502 | 502 | 502 | 502 | 502 | 502 | 502 | 502 | 502 | 502 | 502 | 502 | 502 | 502 | 502 | 502 | 502 | 502 | 5 |
| [34] | Correlación de Pearson | -0,007 | 0,027 | 0,002 | 0,016 | -0,067 | -0,047 | 0,001 | 0,078 | -0,046 | -0,007 | 0,035 | 0,053 | -0,003 | 0,000 | -0,057 | -0,086 | -0,012 | 0,072 | -0, |
| | Sig. (bilateral) | 0,880 | 0,544 | 0,965 | 0,721 | 0,134 | 0,290 | 0,974 | 0,082 | 0,307 | 0,868 | 0,439 | 0,239 | 0,950 | 0,994 | 0,204 | 0,053 | 0,796 | 0,109 | 0,9 |
| | N | 502 | 502 | 502 | 502 | 502 | 502 | 502 | 502 | 502 | 502 | 502 | 502 | 502 | 502 | 502 | 502 | 502 | 502 | 5 |
| [35] | Correlación de Pearson | -0,004 | 0,080 | ,445** | ,457** | ,246** | ,693** | ,503** | ,389** | ,512** | ,173** | ,243** | ,093* | 0,086 | ,598** | ,559** | ,714** | 0,027 | ,402** | ,24 |
| | Sig. (bilateral) | 0,921 | 0,073 | 0,000 | 0,000 | 0,000 | 0,000 | 0,000 | 0,000 | 0,000 | 0,000 | 0,000 | 0,037 | 0,053 | 0,000 | 0,000 | 0,000 | 0,552 | 0,000 | 0,0 |
| | N | 502 | 502 | 502 | 502 | 502 | 502 | 502 | 502 | 502 | 502 | 502 | 502 | 502 | 502 | 502 | 502 | 502 | 502 | 5 |
| [36] | Correlación de Pearson | ,194** | ,184** | 0,055 | ,142** | -0,033 | 0,086 | 0,005 | 0,081 | 0,035 | ,297** | -,160** | ,225** | ,229** | ,120** | 0,087 | ,106* | ,347** | 0,024 | -0, |
| | Sig. (bilateral) | 0,000 | 0,000 | 0,216 | 0,001 | 0,458 | 0,054 | 0,919 | 0,071 | 0,437 | 0,000 | 0,000 | 0,000 | 0,000 | 0,007 | 0,052 | 0,018 | 0,000 | 0,596 | 0,9 |
| | N | 502 | 502 | 502 | 502 | 502 | 502 | 502 | 502 | 502 | 502 | 502 | 502 | 502 | 502 | 502 | 502 | 502 | 502 | 5 |
| [37] | Correlación de Pearson | ,091* | 0,063 | ,127** | ,097* | -0,026 | 0,008 | -0,036 | -0,003 | -0,030 | ,118** | -0,015 | ,134** | ,113* | ,115* | 0,019 | 0,002 | ,175** | -,089* | -,0 |
| | Sig. (bilateral) | 0,042 | 0,161 | 0,004 | 0,029 | 0,563 | 0,864 | 0,418 | 0,944 | 0,497 | 0,008 | 0,744 | 0,003 | 0,011 | 0,010 | 0,665 | 0,956 | 0,000 | 0,046 | 0,0 |
| | N | 502 | 502 | 502 | 502 | 502 | 502 | 502 | 502 | 502 | 502 | 502 | 502 | 502 | 502 | 502 | 502 | 502 | 502 | 5 |
| [38] | Correlación de Pearson | 0,047 | ,142** | ,224** | ,128** | ,283** | ,430** | ,487** | ,389** | ,609** | ,255** | ,170** | ,129** | ,152** | ,279** | ,169** | ,411** | ,144** | ,339** | ,34 |
| | | [1] | [2] | [3] | [4] | [5] | [6] | [7] | [8] | [9] | [10] | [11] | [12] | [13] | [14] | [15] | [16] | [17] | [18] | [1 |
| | Sig. (bilateral) | 0,289 | 0,001 | 0,000 | 0,004 | 0,000 | 0,000 | 0,000 | 0,000 | 0,000 | 0,000 | 0,000 | 0,004 | 0,001 | 0,000 | 0,000 | 0,000 | 0,001 | 0,000 | 0,0 |
| | N | 502 | 502 | 502 | 502 | 502 | 502 | 502 | 502 | 502 | 502 | 502 | 502 | 502 | 502 | 502 | 502 | 502 | 502 | 5 |

| | | | | | | | | | | | | | | | | | | | | |
|---|---|---|---|---|---|---|---|---|---|---|---|---|---|---|---|---|---|---|---|---|
| [39] | Correlación de Pearson | -0,006 | -0,009 | ,184** | 0,074 | ,458** | ,277** | ,444** | ,317** | ,369** | -0,079 | ,630** | ,098* | 0,070 | ,327** | ,202** | ,306** | -0,053 | ,383** | ,26 |
| | Sig. (bilateral) | 0,897 | 0,844 | 0,000 | 0,097 | 0,000 | 0,000 | 0,000 | 0,000 | 0,000 | 0,077 | 0,000 | 0,027 | 0,119 | 0,000 | 0,000 | 0,000 | 0,237 | 0,000 | 0,0 |
| | N | 502 | 502 | 502 | 502 | 502 | 502 | 502 | 502 | 502 | 502 | 502 | 502 | 502 | 502 | 502 | 502 | 502 | 502 | 5 |
| [40] | Correlación de Pearson | -,251** | -,175** | ,163** | 0,043 | ,278** | ,172** | ,266** | ,134** | ,203** | -,163** | ,429** | -,138** | -,136** | ,268** | ,224** | ,195** | 0,001 | ,278** | ,13 |
| | Sig. (bilateral) | 0,000 | 0,000 | 0,000 | 0,340 | 0,000 | 0,000 | 0,000 | 0,003 | 0,000 | 0,000 | 0,000 | 0,002 | 0,002 | 0,000 | 0,000 | 0,000 | 0,990 | 0,000 | 0,0 |
| | N | 502 | 502 | 502 | 502 | 502 | 502 | 502 | 502 | 502 | 502 | 502 | 502 | 502 | 502 | 502 | 502 | 502 | 502 | 5 |
| [41] | Correlación de Pearson | ,298** | ,296** | 0,026 | 0,032 | ,101* | ,105* | ,224** | ,243** | ,170** | ,182** | ,113* | ,280** | ,409** | ,148** | ,099* | ,192** | ,138** | ,339** | ,20 |
| | Sig. (bilateral) | 0,000 | 0,000 | 0,564 | 0,473 | 0,024 | 0,019 | 0,000 | 0,000 | 0,000 | 0,000 | 0,012 | 0,000 | 0,000 | 0,001 | 0,026 | 0,000 | 0,002 | 0,000 | 0,0 |
| | N | 502 | 502 | 502 | 502 | 502 | 502 | 502 | 502 | 502 | 502 | 502 | 502 | 502 | 502 | 502 | 502 | 502 | 502 | 5 |
| [42] | Correlación de Pearson | -0,025 | 0,020 | ,213** | 0,023 | ,585** | ,317** | ,419** | ,226** | ,337** | -,129** | ,716** | 0,042 | ,096* | ,363** | ,209** | ,320** | -0,043 | ,331** | ,26 |
| | Sig. (bilateral) | 0,580 | 0,660 | 0,000 | 0,608 | 0,000 | 0,000 | 0,000 | 0,000 | 0,000 | 0,004 | 0,000 | 0,350 | 0,032 | 0,000 | 0,000 | 0,000 | 0,336 | 0,000 | 0,0 |
| | N | 502 | 502 | 502 | 502 | 502 | 502 | 502 | 502 | 502 | 502 | 502 | 502 | 502 | 502 | 502 | 502 | 502 | 502 | 5 |
| [43] | Correlación de Pearson | 0,047 | ,133** | ,430** | ,507** | ,219** | ,524** | ,383** | ,401** | ,387** | ,135** | ,230** | ,106* | ,095* | ,503** | ,523** | ,609** | ,132** | ,471** | ,20 |
| | Sig. (bilateral) | 0,289 | 0,003 | 0,000 | 0,000 | 0,000 | 0,000 | 0,000 | 0,000 | 0,000 | 0,002 | 0,000 | 0,018 | 0,034 | 0,000 | 0,000 | 0,000 | 0,003 | 0,000 | 0,0 |
| | N | 502 | 502 | 502 | 502 | 502 | 502 | 502 | 502 | 502 | 502 | 502 | 502 | 502 | 502 | 502 | 502 | 502 | 502 | 5 |
| [44] | Correlación de Pearson | 0,078 | ,154** | ,426** | ,396** | ,270** | ,679** | ,506** | ,380** | ,483** | ,181** | ,256** | ,178** | ,128** | ,581** | ,493** | ,720** | ,111* | ,425** | ,24 |
| | Sig. (bilateral) | 0,080 | 0,001 | 0,000 | 0,000 | 0,000 | 0,000 | 0,000 | 0,000 | 0,000 | 0,000 | 0,000 | 0,000 | 0,004 | 0,000 | 0,000 | 0,000 | 0,013 | 0,000 | 0,0 |
| | N | 502 | 502 | 502 | 502 | 502 | 502 | 502 | 502 | 502 | 502 | 502 | 502 | 502 | 502 | 502 | 502 | 502 | 502 | 5 |
| [45] | Correlación de Pearson | ,143** | ,186** | 0,035 | ,130** | ,089* | 0,027 | -0,013 | 0,065 | 0,046 | ,240** | -0,037 | ,200** | ,210** | 0,018 | 0,005 | 0,072 | ,532** | ,089* | 0,0 |
| | Sig. (bilateral) | 0,001 | 0,000 | 0,433 | 0,003 | 0,046 | 0,543 | 0,769 | 0,149 | 0,304 | 0,000 | 0,413 | 0,000 | 0,000 | 0,690 | 0,918 | 0,106 | 0,000 | 0,046 | 0,1 |
| | N | 502 | 502 | 502 | 502 | 502 | 502 | 502 | 502 | 502 | 502 | 502 | 502 | 502 | 502 | 502 | 502 | 502 | 502 | 5 |
| [46] | Correlación de Pearson | ,153** | ,175** | ,127** | ,184** | ,099* | ,215** | ,319** | ,308** | ,266** | ,124** | ,172** | ,127** | ,184** | ,248** | ,188** | ,252** | ,164** | ,409** | ,22 |
| | Sig. (bilateral) | 0,001 | 0,000 | 0,004 | 0,000 | 0,026 | 0,000 | 0,000 | 0,000 | 0,000 | 0,005 | 0,000 | 0,004 | 0,000 | 0,000 | 0,000 | 0,000 | 0,000 | 0,000 | 0,0 |
| | N | 502 | 502 | 502 | 502 | 502 | 502 | 502 | 502 | 502 | 502 | 502 | 502 | 502 | 502 | 502 | 502 | 502 | 502 | 5 |
| [47] | Correlación de Pearson | -0,065 | 0,006 | ,116** | 0,070 | -0,006 | 0,041 | 0,041 | 0,059 | 0,009 | 0,084 | 0,001 | 0,056 | -0,022 | ,150** | ,106* | 0,060 | ,116** | -0,016 | -0, |
| | Sig. (bilateral) | 0,149 | 0,889 | 0,009 | 0,118 | 0,888 | 0,364 | 0,354 | 0,184 | 0,839 | 0,059 | 0,975 | 0,212 | 0,627 | 0,001 | 0,018 | 0,180 | 0,009 | 0,717 | 0,0 |
| | N | 502 | 502 | 502 | 502 | 502 | 502 | 502 | 502 | 502 | 502 | 502 | 502 | 502 | 502 | 502 | 502 | 502 | 502 | 5 |
| [48] | Correlación de Pearson | 0,017 | ,102* | ,265** | 0,083 | ,730** | ,380** | ,460** | ,272** | ,402** | 0,062 | ,576** | ,165** | ,226** | ,368** | ,209** | ,360** | 0,045 | ,319** | ,29 |
| | | [1] | [2] | [3] | [4] | [5] | [6] | [7] | [8] | [9] | [10] | [11] | [12] | [13] | [14] | [15] | [16] | [17] | [18] | [1 |
| | Sig. (bilateral) | 0,703 | 0,022 | 0,000 | 0,063 | 0,000 | 0,000 | 0,000 | 0,000 | 0,000 | 0,167 | 0,000 | 0,000 | 0,000 | 0,000 | 0,000 | 0,000 | 0,313 | 0,000 | 0,0 |
| | N | 502 | 502 | 502 | 502 | 502 | 502 | 502 | 502 | 502 | 502 | 502 | 502 | 502 | 502 | 502 | 502 | 502 | 502 | 5 |

| | | | | | | | | | | | | | | | | | | | | |
|---|---|---|---|---|---|---|---|---|---|---|---|---|---|---|---|---|---|---|---|---|
| [49] | Correlación de Pearson | -,262** | -,213** | 0,073 | 0,010 | ,120** | ,098* | 0,074 | -0,052 | ,097* | -,149** | ,208** | -,213** | -,232** | ,116** | ,104* | 0,052 | 0,031 | -0,019 | 0,0 |
| | Sig. (bilateral) | 0,000 | 0,000 | 0,102 | 0,826 | 0,007 | 0,029 | 0,096 | 0,241 | 0,030 | 0,001 | 0,000 | 0,000 | 0,000 | 0,009 | 0,020 | 0,243 | 0,485 | 0,669 | 0,3 |
| | N | 502 | 502 | 502 | 502 | 502 | 502 | 502 | 502 | 502 | 502 | 502 | 502 | 502 | 502 | 502 | 502 | 502 | 502 | 5 |
| [50] | Correlación de Pearson | ,332** | ,407** | ,350** | ,349** | ,335** | ,441** | ,389** | ,342** | ,352** | ,284** | ,153** | ,410** | ,372** | ,389** | ,349** | ,493** | ,234** | ,407** | ,23 |
| | Sig. (bilateral) | 0,000 | 0,000 | 0,000 | 0,000 | 0,000 | 0,000 | 0,000 | 0,000 | 0,000 | 0,000 | 0,001 | 0,000 | 0,000 | 0,000 | 0,000 | 0,000 | 0,000 | 0,000 | 0,0 |
| | N | 502 | 502 | 502 | 502 | 502 | 502 | 502 | 502 | 502 | 502 | 502 | 502 | 502 | 502 | 502 | 502 | 502 | 502 | 5 |
| [51] | Correlación de Pearson | ,091* | 0,080 | ,292** | ,157** | ,350** | ,289** | ,402** | ,292** | ,359** | 0,030 | ,329** | ,095* | ,089* | ,434** | ,213** | ,342** | 0,058 | ,339** | ,25 |
| | Sig. (bilateral) | 0,042 | 0,072 | 0,000 | 0,000 | 0,000 | 0,000 | 0,000 | 0,000 | 0,000 | 0,506 | 0,000 | 0,033 | 0,047 | 0,000 | 0,000 | 0,000 | 0,196 | 0,000 | 0,0 |
| | N | 502 | 502 | 502 | 502 | 502 | 502 | 502 | 502 | 502 | 502 | 502 | 502 | 502 | 502 | 502 | 502 | 502 | 502 | 5 |
| [52] | Correlación de Pearson | 0,082 | ,122** | ,414** | ,335** | ,295** | ,527** | ,469** | ,492** | ,506** | ,193** | ,184** | ,165** | ,138** | ,490** | ,417** | ,614** | ,103* | ,370** | ,32 |
| | Sig. (bilateral) | 0,066 | 0,006 | 0,000 | 0,000 | 0,000 | 0,000 | 0,000 | 0,000 | 0,000 | 0,000 | 0,000 | 0,000 | 0,002 | 0,000 | 0,000 | 0,000 | 0,021 | 0,000 | 0,0 |
| | N | 502 | 502 | 502 | 502 | 502 | 502 | 502 | 502 | 502 | 502 | 502 | 502 | 502 | 502 | 502 | 502 | 502 | 502 | 5 |
| [53] | Correlación de Pearson | 0,046 | 0,077 | ,393** | ,344** | ,238** | ,669** | ,499** | ,377** | ,477** | ,125** | ,264** | ,115** | 0,059 | ,551** | ,610** | ,683** | 0,002 | ,317** | ,26 |
| | Sig. (bilateral) | 0,303 | 0,085 | 0,000 | 0,000 | 0,000 | 0,000 | 0,000 | 0,000 | 0,000 | 0,005 | 0,000 | 0,010 | 0,185 | 0,000 | 0,000 | 0,000 | 0,957 | 0,000 | 0,0 |
| | N | 502 | 502 | 502 | 502 | 502 | 502 | 502 | 502 | 502 | 502 | 502 | 502 | 502 | 502 | 502 | 502 | 502 | 502 | 5 |
| [54] | Correlación de Pearson | 0,036 | 0,041 | ,363** | ,179** | ,337** | ,478** | ,570** | ,379** | ,479** | -0,006 | ,373** | ,091* | 0,080 | ,426** | ,344** | ,517** | -,095* | ,380** | ,32 |
| | Sig. (bilateral) | 0,419 | 0,359 | 0,000 | 0,000 | 0,000 | 0,000 | 0,000 | 0,000 | 0,000 | 0,894 | 0,000 | 0,041 | 0,074 | 0,000 | 0,000 | 0,000 | 0,033 | 0,000 | 0,0 |
| | N | 502 | 502 | 502 | 502 | 502 | 502 | 502 | 502 | 502 | 502 | 502 | 502 | 502 | 502 | 502 | 502 | 502 | 502 | 5 |
| [55] | Correlación de Pearson | ,108* | ,103* | ,326** | ,250** | ,275** | ,297** | ,423** | ,445** | ,340** | ,174** | ,254** | ,158** | ,210** | ,375** | ,222** | ,340** | ,172** | ,432** | ,21 |
| | Sig. (bilateral) | 0,016 | 0,021 | 0,000 | 0,000 | 0,000 | 0,000 | 0,000 | 0,000 | 0,000 | 0,000 | 0,000 | 0,000 | 0,000 | 0,000 | 0,000 | 0,000 | 0,000 | 0,000 | 0,0 |
| | N | 502 | 502 | 502 | 502 | 502 | 502 | 502 | 502 | 502 | 502 | 502 | 502 | 502 | 502 | 502 | 502 | 502 | 502 | 5 |
| [56] | Correlación de Pearson | 0,032 | 0,065 | 0,067 | 0,046 | ,223** | ,255** | ,316** | ,234** | ,274** | ,135** | ,150** | 0,085 | ,127** | ,145** | ,090* | ,248** | ,161** | ,287** | ,26 |
| | Sig. (bilateral) | 0,477 | 0,145 | 0,133 | 0,309 | 0,000 | 0,000 | 0,000 | 0,000 | 0,000 | 0,002 | 0,001 | 0,057 | 0,004 | 0,001 | 0,044 | 0,000 | 0,000 | 0,000 | 0,0 |
| | N | 502 | 502 | 502 | 502 | 502 | 502 | 502 | 502 | 502 | 502 | 502 | 502 | 502 | 502 | 502 | 502 | 502 | 502 | 5 |
| [57] | Correlación de Pearson | ,167** | ,245** | 0,066 | 0,081 | ,101* | ,230** | ,132** | ,133** | ,237** | ,464** | -,160** | ,189** | ,223** | 0,058 | 0,022 | ,208** | ,197** | 0,013 | ,14 |
| | Sig. (bilateral) | 0,000 | 0,000 | 0,140 | 0,071 | 0,023 | 0,000 | 0,003 | 0,003 | 0,000 | 0,000 | 0,000 | 0,000 | 0,000 | 0,195 | 0,617 | 0,000 | 0,000 | 0,774 | 0,0 |
| | N | 502 | 502 | 502 | 502 | 502 | 502 | 502 | 502 | 502 | 502 | 502 | 502 | 502 | 502 | 502 | 502 | 502 | 502 | 5 |
| [58] | Correlación de Pearson | ,122** | ,244** | 0,047 | 0,010 | 0,030 | 0,020 | -,139** | -0,026 | 0,032 | ,439** | -,239** | ,144** | ,177** | -0,061 | -,124** | -0,012 | ,247** | -,261** | -0, |
| | | [1] | [2] | [3] | [4] | [5] | [6] | [7] | [8] | [9] | [10] | [11] | [12] | [13] | [14] | [15] | [16] | [17] | [18] | [1 |
| | Sig. (bilateral) | 0,006 | 0,000 | 0,298 | 0,826 | 0,499 | 0,650 | 0,002 | 0,558 | 0,481 | 0,000 | 0,000 | 0,001 | 0,000 | 0,173 | 0,005 | 0,790 | 0,000 | 0,000 | 0,0 |
| | N | 502 | 502 | 502 | 502 | 502 | 502 | 502 | 502 | 502 | 502 | 502 | 502 | 502 | 502 | 502 | 502 | 502 | 502 | 5 |

| | | | | | | | | | | | | | | | | | | | | |
|---|---|---|---|---|---|---|---|---|---|---|---|---|---|---|---|---|---|---|---|---|
| [59] | Correlación de Pearson | 0,030 | 0,062 | -0,015 | 0,014 | -,123** | -0,041 | -,146** | -0,012 | -,107* | ,375** | -,183** | -0,020 | -0,011 | -,115** | -0,042 | -,097* | -0,033 | -,111* | -,1 |
| | Sig. (bilateral) | 0,496 | 0,165 | 0,730 | 0,757 | 0,006 | 0,359 | 0,001 | 0,790 | 0,017 | 0,000 | 0,000 | 0,651 | 0,801 | 0,010 | 0,344 | 0,030 | 0,462 | 0,013 | 0,0 |
| | N | 502 | 502 | 502 | 502 | 502 | 502 | 502 | 502 | 502 | 502 | 502 | 502 | 502 | 502 | 502 | 502 | 502 | 502 | 5 |
| [60] | Correlación de Pearson | ,095* | 0,067 | 0,001 | 0,072 | -0,027 | -0,035 | -,126** | -0,082 | -0,042 | ,359** | -,115* | 0,066 | 0,008 | -,126** | -0,061 | -0,057 | -0,005 | -,095* | -0, |
| | Sig. (bilateral) | 0,034 | 0,133 | 0,981 | 0,106 | 0,540 | 0,435 | 0,005 | 0,066 | 0,351 | 0,000 | 0,010 | 0,141 | 0,852 | 0,005 | 0,171 | 0,203 | 0,906 | 0,034 | 0,0 |
| | N | 502 | 502 | 502 | 502 | 502 | 502 | 502 | 502 | 502 | 502 | 502 | 502 | 502 | 502 | 502 | 502 | 502 | 502 | 5 |
| [61] | Correlación de Pearson | 0,038 | 0,076 | ,109* | -0,026 | ,358** | ,149** | ,259** | ,191** | ,234** | -0,045 | ,346** | 0,074 | 0,062 | ,160** | 0,048 | ,118** | 0,003 | ,222** | ,16 |
| | Sig. (bilateral) | 0,394 | 0,089 | 0,015 | 0,558 | 0,000 | 0,001 | 0,000 | 0,000 | 0,000 | 0,313 | 0,000 | 0,099 | 0,163 | 0,000 | 0,284 | 0,008 | 0,955 | 0,000 | 0,0 |
| | N | 502 | 502 | 502 | 502 | 502 | 502 | 502 | 502 | 502 | 502 | 502 | 502 | 502 | 502 | 502 | 502 | 502 | 502 | 5 |
| [62] | Correlación de Pearson | 0,023 | 0,068 | 0,002 | -,112* | ,195** | 0,087 | ,175** | ,090* | ,130** | -0,031 | ,237** | 0,080 | 0,080 | 0,087 | 0,020 | ,096* | 0,002 | ,188** | ,11 |
| | Sig. (bilateral) | 0,603 | 0,128 | 0,966 | 0,012 | 0,000 | 0,050 | 0,000 | 0,043 | 0,003 | 0,484 | 0,000 | 0,073 | 0,074 | 0,050 | 0,663 | 0,031 | 0,957 | 0,000 | 0,0 |
| | N | 502 | 502 | 502 | 502 | 502 | 502 | 502 | 502 | 502 | 502 | 502 | 502 | 502 | 502 | 502 | 502 | 502 | 502 | 5 |
| [63] | Correlación de Pearson | -,106* | -0,052 | ,203** | -0,024 | ,361** | ,250** | ,304** | ,223** | ,221** | -0,050 | ,442** | -0,026 | 0,023 | ,301** | ,139** | ,267** | -0,027 | ,239** | ,16 |
| | Sig. (bilateral) | 0,018 | 0,249 | 0,000 | 0,586 | 0,000 | 0,000 | 0,000 | 0,000 | 0,000 | 0,261 | 0,000 | 0,568 | 0,600 | 0,000 | 0,002 | 0,000 | 0,546 | 0,000 | 0,0 |
| | N | 502 | 502 | 502 | 502 | 502 | 502 | 502 | 502 | 502 | 502 | 502 | 502 | 502 | 502 | 502 | 502 | 502 | 502 | 5 |
| [64] | Correlación de Pearson | -0,040 | -0,040 | ,146** | -0,008 | ,416** | ,234** | ,367** | ,125** | ,278** | -,245** | ,493** | 0,046 | 0,011 | ,286** | ,192** | ,277** | -0,061 | ,269** | ,26 |
| | Sig. (bilateral) | 0,366 | 0,370 | 0,001 | 0,860 | 0,000 | 0,000 | 0,000 | 0,005 | 0,000 | 0,000 | 0,000 | 0,299 | 0,799 | 0,000 | 0,000 | 0,000 | 0,171 | 0,000 | 0,0 |
| | N | 502 | 502 | 502 | 502 | 502 | 502 | 502 | 502 | 502 | 502 | 502 | 502 | 502 | 502 | 502 | 502 | 502 | 502 | 5 |
| [65] | Correlación de Pearson | -0,058 | -0,081 | ,159** | 0,013 | ,442** | ,251** | ,342** | ,225** | ,306** | -,101* | ,513** | 0,059 | 0,037 | ,322** | ,150** | ,280** | -0,057 | ,275** | ,22 |
| | Sig. (bilateral) | 0,196 | 0,071 | 0,000 | 0,766 | 0,000 | 0,000 | 0,000 | 0,000 | 0,000 | 0,024 | 0,000 | 0,184 | 0,413 | 0,000 | 0,001 | 0,000 | 0,203 | 0,000 | 0,0 |
| | N | 502 | 502 | 502 | 502 | 502 | 502 | 502 | 502 | 502 | 502 | 502 | 502 | 502 | 502 | 502 | 502 | 502 | 502 | 5 |
| [66] | Correlación de Pearson | -0,064 | -0,007 | ,179** | 0,028 | ,368** | ,323** | ,343** | ,181** | ,374** | 0,042 | ,402** | ,111* | 0,030 | ,300** | ,158** | ,329** | -0,013 | ,209** | ,25 |
| | Sig. (bilateral) | 0,153 | 0,877 | 0,000 | 0,532 | 0,000 | 0,000 | 0,000 | 0,000 | 0,000 | 0,347 | 0,000 | 0,013 | 0,503 | 0,000 | 0,000 | 0,000 | 0,768 | 0,000 | 0,0 |
| | N | 502 | 502 | 502 | 502 | 502 | 502 | 502 | 502 | 502 | 502 | 502 | 502 | 502 | 502 | 502 | 502 | 502 | 502 | 5 |
| [67] | Correlación de Pearson | -,105* | -,128** | ,122** | -0,044 | ,316** | ,242** | ,317** | ,135** | ,262** | -,171** | ,482** | -0,019 | -0,036 | ,263** | ,178** | ,260** | -,123** | ,263** | ,18 |
| | Sig. (bilateral) | 0,019 | 0,004 | 0,006 | 0,326 | 0,000 | 0,000 | 0,000 | 0,002 | 0,000 | 0,000 | 0,000 | 0,676 | 0,422 | 0,000 | 0,000 | 0,000 | 0,006 | 0,000 | 0,0 |
| | N | 502 | 502 | 502 | 502 | 502 | 502 | 502 | 502 | 502 | 502 | 502 | 502 | 502 | 502 | 502 | 502 | 502 | 502 | 5 |
| [68] | Correlación de Pearson | 0,025 | 0,000 | ,103* | 0,066 | ,164** | 0,053 | ,147** | ,196** | 0,060 | -,099* | ,174** | 0,033 | -0,021 | ,150** | 0,050 | 0,039 | -0,077 | ,125** | 0,0 |
| | | [1] | [2] | [3] | [4] | [5] | [6] | [7] | [8] | [9] | [10] | [11] | [12] | [13] | [14] | [15] | [16] | [17] | [18] | [1 |
| | Sig. (bilateral) | 0,580 | 0,998 | 0,021 | 0,139 | 0,000 | 0,236 | 0,001 | 0,000 | 0,179 | 0,027 | 0,000 | 0,462 | 0,636 | 0,001 | 0,260 | 0,380 | 0,085 | 0,005 | 0, |
| | N | 502 | 502 | 502 | 502 | 502 | 502 | 502 | 502 | 502 | 502 | 502 | 502 | 502 | 502 | 502 | 502 | 502 | 502 | 5 |

| | | | | | | | | | | | | | | | | | | | | | |
|---|---|---|---|---|---|---|---|---|---|---|---|---|---|---|---|---|---|---|---|---|---|
| [69] | Correlación de Pearson | -0,079 | -0,051 | ,168** | 0,016 | ,482** | ,258** | ,393** | ,198** | ,292** | -,152** | ,588** | 0,015 | 0,013 | ,292** | ,175** | ,267** | -0,084 | ,233** | ,22 |
| | Sig. (bilateral) | 0,078 | 0,255 | 0,000 | 0,726 | 0,000 | 0,000 | 0,000 | 0,000 | 0,000 | 0,001 | 0,000 | 0,736 | 0,770 | 0,000 | 0,000 | 0,000 | 0,059 | 0,000 | 0,( |
| | N | 502 | 502 | 502 | 502 | 502 | 502 | 502 | 502 | 502 | 502 | 502 | 502 | 502 | 502 | 502 | 502 | 502 | 502 | 5 |

**. La correlación es significativa en el nivel 0,01 (bilateral).

*. La correlación es significativa en el nivel 0,05 (bilateral).

## Correlaciones

| | | [22] | [23] | [24] | [25] | [26] | [27] | [28] | [29] | 30] | [31] | [32] | [33] | [34] | [35] | [36] | [37] | [38] | [39] | [40] | [41] | [42] |
|---|---|---|---|---|---|---|---|---|---|---|---|---|---|---|---|---|---|---|---|---|---|---|
| [1] | Correlación de Pearson | ,489** | 0,002 | 0,029 | 0,067 | -0,035 | -0,024 | 0,038 | ,121** | -0,052 | ,327** | -,272** | -0,020 | -0,007 | -0,004 | ,194** | ,091* | 0,047 | -0,006 | -,251** | ,298** | -0,025 |
| | Sig. (bilateral) | 0,000 | 0,961 | 0,523 | 0,135 | 0,438 | 0,596 | 0,397 | 0,007 | 0,245 | 0,000 | 0,000 | 0,653 | 0,880 | 0,921 | 0,000 | 0,042 | 0,289 | 0,897 | 0,000 | 0,000 | 0,580 |
| | N | 502 | 502 | 502 | 502 | 502 | 502 | 502 | 502 | 502 | 502 | 502 | 502 | 502 | 502 | 502 | 502 | 502 | 502 | 502 | 502 | 502 |
| [2] | Correlación de Pearson | ,431** | -0,015 | 0,063 | -0,039 | 0,075 | -0,016 | -0,003 | ,120** | -0,043 | ,310** | -,235** | -0,044 | 0,027 | 0,080 | ,184** | 0,063 | ,142** | -0,009 | -,175** | ,296** | 0,020 |
| | Sig. (bilateral) | 0,000 | 0,737 | 0,162 | 0,378 | 0,094 | 0,716 | 0,946 | 0,007 | 0,336 | 0,000 | 0,000 | 0,322 | 0,544 | 0,073 | 0,000 | 0,161 | 0,001 | 0,844 | 0,000 | 0,000 | 0,660 |
| | N | 502 | 502 | 502 | 502 | 502 | 502 | 502 | 502 | 502 | 502 | 502 | 502 | 502 | 502 | 502 | 502 | 502 | 502 | 502 | 502 | 502 |
| [3] | Correlación de Pearson | ,114* | 0,037 | ,454** | -0,046 | ,431** | ,180** | ,171** | ,207** | ,218** | ,119** | 0,073 | ,445** | 0,002 | ,445** | 0,055 | ,127** | ,224** | ,184** | ,163** | 0,026 | ,213** |
| | Sig. (bilateral) | 0,010 | 0,407 | 0,000 | 0,305 | 0,000 | 0,000 | 0,000 | 0,000 | 0,000 | 0,008 | 0,103 | 0,000 | 0,965 | 0,000 | 0,216 | 0,004 | 0,000 | 0,000 | 0,000 | 0,564 | 0,000 |
| | N | 502 | 502 | 502 | 502 | 502 | 502 | 502 | 502 | 502 | 502 | 502 | 502 | 502 | 502 | 502 | 502 | 502 | 502 | 502 | 502 | 502 |
| [4] | Correlación de Pearson | ,200** | 0,045 | ,390** | -,143** | ,492** | ,146** | 0,033 | ,191** | 0,002 | ,164** | 0,025 | ,398** | 0,016 | ,457** | ,142** | ,097* | ,128** | 0,074 | 0,043 | 0,032 | 0,023 |
| | Sig. (bilateral) | 0,000 | 0,312 | 0,000 | 0,001 | 0,000 | 0,001 | 0,462 | 0,000 | 0,960 | 0,000 | 0,573 | 0,000 | 0,721 | 0,000 | 0,001 | 0,029 | 0,004 | 0,097 | 0,340 | 0,473 | 0,608 |
| | N | 502 | 502 | 502 | 502 | 502 | 502 | 502 | 502 | 502 | 502 | 502 | 502 | 502 | 502 | 502 | 502 | 502 | 502 | 502 | 502 | 502 |
| [5] | Correlación de Pearson | ,152** | -0,072 | ,301** | ,116** | ,246** | ,100* | ,162** | ,223** | ,596** | ,107* | ,159** | ,216** | -0,067 | ,246** | -0,033 | -0,026 | ,283** | ,458** | ,278** | ,101* | ,585** |
| | Sig. (bilateral) | 0,001 | 0,106 | 0,000 | 0,010 | 0,000 | 0,024 | 0,000 | 0,000 | 0,000 | 0,016 | 0,000 | 0,000 | 0,134 | 0,000 | 0,458 | 0,563 | 0,000 | 0,000 | 0,000 | 0,024 | 0,000 |
| | N | 502 | 502 | 502 | 502 | 502 | 502 | 502 | 502 | 502 | 502 | 502 | 502 | 502 | 502 | 502 | 502 | 502 | 502 | 502 | 502 | 502 |
| [6] | Correlación de Pearson | ,131** | -0,072 | ,476** | -0,036 | ,675** | ,093* | 0,044 | ,318** | ,347** | ,132** | ,089* | ,420** | -0,047 | ,693** | 0,086 | 0,008 | ,430** | ,277** | ,172** | ,105* | ,317** |
| | Sig. (bilateral) | 0,003 | 0,108 | 0,000 | 0,417 | 0,000 | 0,038 | 0,323 | 0,000 | 0,000 | 0,003 | 0,047 | 0,000 | 0,290 | 0,000 | 0,054 | 0,864 | 0,000 | 0,000 | 0,000 | 0,019 | 0,000 |
| | N | 502 | 502 | 502 | 502 | 502 | 502 | 502 | 502 | 502 | 502 | 502 | 502 | 502 | 502 | 502 | 502 | 502 | 502 | 502 | 502 | 502 |
| [7] | Correlación de Pearson | ,246** | 0,016 | ,364** | 0,034 | ,466** | ,240** | ,161** | ,307** | ,485** | ,262** | 0,078 | ,319** | 0,001 | ,503** | 0,005 | -0,036 | ,487** | ,444** | ,266** | ,224** | ,419** |
| | Sig. (bilateral) | 0,000 | 0,723 | 0,000 | 0,441 | 0,000 | 0,000 | 0,000 | 0,000 | 0,000 | 0,000 | 0,080 | 0,000 | 0,974 | 0,000 | 0,919 | 0,418 | 0,000 | 0,000 | 0,000 | 0,000 | 0,000 |
| | | [22] | [23] | [24] | [25] | [26] | [27] | [28] | [29] | 30] | [31] | [32] | [33] | [34] | [35] | [36] | [37] | [38] | [39] | [40] | [41] | [42] |
| | N | 502 | 502 | 502 | 502 | 502 | 502 | 502 | 502 | 502 | 502 | 502 | 502 | 502 | 502 | 502 | 502 | 502 | 502 | 502 | 502 | 502 |
| [8] | Correlación de Pearson | ,291** | 0,005 | ,352** | -0,024 | ,349** | ,144** | 0,071 | ,293** | ,251** | ,293** | 0,021 | ,260** | 0,078 | ,389** | 0,081 | -0,003 | ,389** | ,317** | ,134** | ,243** | ,226** |

| | | | | | | | | | | | | | | | | | | | | | | |
|---|---|---|---|---|---|---|---|---|---|---|---|---|---|---|---|---|---|---|---|---|---|---|
| | Sig. (bilateral) | 0,000 | 0,918 | 0,000 | 0,584 | 0,000 | 0,001 | 0,111 | 0,000 | 0,000 | 0,000 | 0,643 | 0,000 | 0,082 | 0,000 | 0,071 | 0,944 | 0,000 | 0,000 | 0,003 | 0,000 | 0,000 |
| | N | 502 | 502 | 502 | 502 | 502 | 502 | 502 | 502 | 502 | 502 | 502 | 502 | 502 | 502 | 502 | 502 | 502 | 502 | 502 | 502 | 502 |
| [9] | Correlación de Pearson | ,201** | 0,003 | ,395** | 0,018 | ,477** | ,148** | 0,078 | ,348** | ,409** | ,157** | ,118** | ,301** | -0,046 | ,512** | 0,035 | -0,030 | ,609** | ,369** | ,203** | ,170** | ,337** |
| | Sig. (bilateral) | 0,000 | 0,950 | 0,000 | 0,691 | 0,000 | 0,001 | 0,079 | 0,000 | 0,000 | 0,000 | 0,008 | 0,000 | 0,307 | 0,000 | 0,437 | 0,497 | 0,000 | 0,000 | 0,000 | 0,000 | 0,000 |
| | N | 502 | 502 | 502 | 502 | 502 | 502 | 502 | 502 | 502 | 502 | 502 | 502 | 502 | 502 | 502 | 502 | 502 | 502 | 502 | 502 | 502 |
| [10] | Correlación de Pearson | ,294** | 0,005 | ,152** | 0,081 | ,106* | -0,040 | -,106* | ,149** | -,130** | ,173** | -,118** | 0,009 | -0,007 | ,173** | ,297** | ,118** | ,255** | -0,079 | -,163** | ,182** | -,129** |
| | Sig. (bilateral) | 0,000 | 0,918 | 0,001 | 0,069 | 0,018 | 0,366 | 0,017 | 0,001 | 0,004 | 0,000 | 0,008 | 0,838 | 0,868 | 0,000 | 0,000 | 0,008 | 0,000 | 0,077 | 0,000 | 0,000 | 0,004 |
| | N | 502 | 502 | 502 | 502 | 502 | 502 | 502 | 502 | 502 | 502 | 502 | 502 | 502 | 502 | 502 | 502 | 502 | 502 | 502 | 502 | 502 |
| [11] | Correlación de Pearson | 0,081 | ,099* | ,280** | ,194** | ,264** | ,198** | ,260** | ,168** | ,661** | ,108* | ,228** | ,270** | 0,035 | ,243** | -,160** | -0,015 | ,170** | ,630** | ,429** | ,113* | ,716** |
| | Sig. (bilateral) | 0,071 | 0,026 | 0,000 | 0,000 | 0,000 | 0,000 | 0,000 | 0,000 | 0,000 | 0,015 | 0,000 | 0,000 | 0,439 | 0,000 | 0,000 | 0,744 | 0,000 | 0,000 | 0,000 | 0,012 | 0,000 |
| | N | 502 | 502 | 502 | 502 | 502 | 502 | 502 | 502 | 502 | 502 | 502 | 502 | 502 | 502 | 502 | 502 | 502 | 502 | 502 | 502 | 502 |
| [12] | Correlación de Pearson | ,446** | -,107* | ,118** | 0,070 | 0,078 | -0,015 | 0,040 | ,170** | 0,016 | ,317** | -,233** | 0,031 | 0,053 | ,093* | ,225** | ,134** | ,129** | ,098* | -,138** | ,280** | 0,042 |
| | Sig. (bilateral) | 0,000 | 0,016 | 0,008 | 0,118 | 0,081 | 0,729 | 0,365 | 0,000 | 0,725 | 0,000 | 0,000 | 0,490 | 0,239 | 0,037 | 0,000 | 0,003 | 0,004 | 0,027 | 0,002 | 0,000 | 0,350 |
| | N | 502 | 502 | 502 | 502 | 502 | 502 | 502 | 502 | 502 | 502 | 502 | 502 | 502 | 502 | 502 | 502 | 502 | 502 | 502 | 502 | 502 |
| [13] | Correlación de Pearson | ,507** | -,089* | ,117** | ,141** | 0,055 | -0,075 | -0,003 | ,173** | 0,086 | ,348** | -,246** | -0,030 | -0,003 | 0,086 | ,229** | ,113* | ,152** | 0,070 | -,136** | ,409** | ,096* |
| | Sig. (bilateral) | 0,000 | 0,047 | 0,009 | 0,002 | 0,221 | 0,095 | 0,944 | 0,000 | 0,055 | 0,000 | 0,000 | 0,497 | 0,950 | 0,053 | 0,000 | 0,011 | 0,001 | 0,119 | 0,002 | 0,000 | 0,032 |
| | N | 502 | 502 | 502 | 502 | 502 | 502 | 502 | 502 | 502 | 502 | 502 | 502 | 502 | 502 | 502 | 502 | 502 | 502 | 502 | 502 | 502 |
| [14] | Correlación de Pearson | ,122** | -0,001 | ,545** | -0,012 | ,557** | ,181** | ,162** | ,266** | ,376** | ,196** | ,127** | ,546** | 0,000 | ,598** | ,120** | ,115* | ,279** | ,327** | ,268** | ,148** | ,363** |
| | Sig. (bilateral) | 0,006 | 0,978 | 0,000 | 0,780 | 0,000 | 0,000 | 0,000 | 0,000 | 0,000 | 0,000 | 0,004 | 0,000 | 0,994 | 0,000 | 0,007 | 0,010 | 0,000 | 0,000 | 0,000 | 0,001 | 0,000 |
| | N | 502 | 502 | 502 | 502 | 502 | 502 | 502 | 502 | 502 | 502 | 502 | 502 | 502 | 502 | 502 | 502 | 502 | 502 | 502 | 502 | 502 |
| [15] | Correlación de Pearson | ,130** | 0,030 | ,467** | -0,041 | ,519** | ,123** | ,130** | ,220** | ,211** | ,125** | 0,062 | ,674** | -0,057 | ,559** | 0,087 | 0,019 | ,169** | ,202** | ,224** | ,099* | ,209** |
| | Sig. (bilateral) | 0,003 | 0,501 | 0,000 | 0,360 | 0,000 | 0,006 | 0,004 | 0,000 | 0,000 | 0,005 | 0,164 | 0,000 | 0,204 | 0,000 | 0,052 | 0,665 | 0,000 | 0,000 | 0,000 | 0,026 | 0,000 |
| | N | 502 | 502 | 502 | 502 | 502 | 502 | 502 | 502 | 502 | 502 | 502 | 502 | 502 | 502 | 502 | 502 | 502 | 502 | 502 | 502 | 502 |
| [16] | Correlación de Pearson | ,202** | -0,068 | ,519** | -0,047 | ,708** | ,103* | 0,077 | ,334** | ,339** | ,160** | ,104* | ,503** | -0,086 | ,714** | ,106* | 0,002 | ,411** | ,306** | ,195** | ,192** | ,320** |
| | Sig. (bilateral) | 0,000 | 0,130 | 0,000 | 0,296 | 0,000 | 0,021 | 0,085 | 0,000 | 0,000 | 0,000 | 0,020 | 0,000 | 0,053 | 0,000 | 0,018 | 0,956 | 0,000 | 0,000 | 0,000 | 0,000 | 0,000 |
| | N | 502 | 502 | 502 | 502 | 502 | 502 | 502 | 502 | 502 | 502 | 502 | 502 | 502 | 502 | 502 | 502 | 502 | 502 | 502 | 502 | 502 |
| [17] | Correlación de Pearson | ,141** | -0,078 | ,106* | 0,027 | 0,025 | -,293** | -,195** | ,096* | -0,045 | ,110* | 0,062 | -0,082 | -0,012 | 0,027 | ,347** | ,175** | ,144** | -0,053 | 0,001 | ,138** | -0,043 |
| | Sig. (bilateral) | 0,001 | 0,082 | 0,017 | 0,540 | 0,569 | 0,000 | 0,000 | 0,032 | 0,310 | 0,014 | 0,163 | 0,068 | 0,796 | 0,552 | 0,000 | 0,000 | 0,001 | 0,237 | 0,990 | 0,002 | 0,336 |
| | | [22] | [23] | [24] | [25] | [26] | [27] | [28] | [29] | 30] | [31] | [32] | [33] | [34] | [35] | [36] | [37] | [38] | [39] | [40] | [41] | [42] |
| | N | 502 | 502 | 502 | 502 | 502 | 502 | 502 | 502 | 502 | 502 | 502 | 502 | 502 | 502 | 502 | 502 | 502 | 502 | 502 | 502 | 502 |
| [18] | Correlación de Pearson | ,274** | ,106* | ,389** | -0,045 | ,350** | ,254** | ,133** | ,254** | ,314** | ,299** | 0,033 | ,269** | 0,072 | ,402** | 0,024 | -,089* | ,339** | ,383** | ,278** | ,339** | ,331** |

| | | | | | | | | | | | | | | | | | | | | | | | |
|---|---|---|---|---|---|---|---|---|---|---|---|---|---|---|---|---|---|---|---|---|---|---|---|
| | Sig. (bilateral) | 0,000 | 0,018 | 0,000 | 0,319 | 0,000 | 0,000 | 0,003 | 0,000 | 0,000 | 0,000 | 0,466 | 0,000 | 0,109 | 0,000 | 0,596 | 0,046 | 0,000 | 0,000 | 0,000 | 0,000 | 0,000 |
| | N | 502 | 502 | 502 | 502 | 502 | 502 | 502 | 502 | 502 | 502 | 502 | 502 | 502 | 502 | 502 | 502 | 502 | 502 | 502 | 502 | 502 |
| [19] | Correlación de Pearson | ,215** | 0,009 | ,178** | ,135** | ,217** | ,121** | ,166** | ,244** | ,290** | ,181** | 0,070 | ,150** | -0,005 | ,243** | -0,002 | -,099* | ,344** | ,264** | ,135** | ,201** | ,260** |
| | Sig. (bilateral) | 0,000 | 0,839 | 0,000 | 0,002 | 0,000 | 0,007 | 0,000 | 0,000 | 0,000 | 0,000 | 0,115 | 0,001 | 0,912 | 0,000 | 0,961 | 0,027 | 0,000 | 0,000 | 0,002 | 0,000 | 0,000 |
| | N | 502 | 502 | 502 | 502 | 502 | 502 | 502 | 502 | 502 | 502 | 502 | 502 | 502 | 502 | 502 | 502 | 502 | 502 | 502 | 502 | 502 |
| [20] | Correlación de Pearson | ,272** | 0,003 | ,233** | ,088* | ,201** | -0,010 | -0,003 | ,254** | 0,071 | ,271** | -0,005 | ,124** | 0,009 | ,228** | ,244** | ,097* | ,158** | 0,060 | -0,023 | ,286** | ,088* |
| | Sig. (bilateral) | 0,000 | 0,944 | 0,000 | 0,049 | 0,000 | 0,831 | 0,944 | 0,000 | 0,113 | 0,000 | 0,904 | 0,005 | 0,845 | 0,000 | 0,000 | 0,030 | 0,000 | 0,180 | 0,614 | 0,000 | 0,048 |
| | N | 502 | 502 | 502 | 502 | 502 | 502 | 502 | 502 | 502 | 502 | 502 | 502 | 502 | 502 | 502 | 502 | 502 | 502 | 502 | 502 | 502 |
| [21] | Correlación de Pearson | ,285** | 0,018 | ,313** | ,184** | ,265** | ,094* | ,202** | ,176** | ,524** | ,243** | ,129** | ,200** | -0,058 | ,199** | 0,013 | 0,008 | ,296** | ,445** | ,291** | ,168** | ,521** |
| | Sig. (bilateral) | 0,000 | 0,693 | 0,000 | 0,000 | 0,000 | 0,035 | 0,000 | 0,000 | 0,000 | 0,000 | 0,004 | 0,000 | 0,192 | 0,000 | 0,775 | 0,863 | 0,000 | 0,000 | 0,000 | 0,000 | 0,000 |
| | N | 502 | 502 | 502 | 502 | 502 | 502 | 502 | 502 | 502 | 502 | 502 | 502 | 502 | 502 | 502 | 502 | 502 | 502 | 502 | 502 | 502 |
| [22] | Correlación de Pearson | 1 | 0,057 | ,158** | 0,021 | ,097* | ,101* | ,119** | ,229** | ,143** | ,474** | -,248** | ,089* | 0,075 | ,156** | ,190** | ,110* | ,236** | ,228** | -,109* | ,392** | ,173** |
| | Sig. (bilateral) | | 0,204 | 0,000 | 0,631 | 0,030 | 0,024 | 0,007 | 0,000 | 0,001 | 0,000 | 0,000 | 0,046 | 0,091 | 0,000 | 0,000 | 0,014 | 0,000 | 0,000 | 0,014 | 0,000 | 0,000 |
| | N | 502 | 502 | 502 | 502 | 502 | 502 | 502 | 502 | 502 | 502 | 502 | 502 | 502 | 502 | 502 | 502 | 502 | 502 | 502 | 502 | 502 |
| [23] | Correlación de Pearson | 0,057 | 1 | ,125** | 0,058 | 0,005 | ,165** | ,113* | 0,036 | ,088* | 0,061 | 0,075 | 0,050 | 0,071 | -0,027 | 0,029 | ,138** | 0,064 | ,126** | ,099* | -0,030 | 0,049 |
| | Sig. (bilateral) | 0,204 | | 0,005 | 0,191 | 0,919 | 0,000 | 0,011 | 0,424 | 0,049 | 0,169 | 0,091 | 0,262 | 0,112 | 0,541 | 0,524 | 0,002 | 0,151 | 0,005 | 0,026 | 0,496 | 0,271 |
| | N | 502 | 502 | 502 | 502 | 502 | 502 | 502 | 502 | 502 | 502 | 502 | 502 | 502 | 502 | 502 | 502 | 502 | 502 | 502 | 502 | 502 |
| [24] | Correlación de Pearson | ,158** | ,125** | 1 | 0,041 | ,574** | ,135** | ,131** | ,295** | ,323** | ,187** | ,112* | ,581** | -,093* | ,544** | ,124** | ,135** | ,295** | ,319** | ,274** | ,189** | ,352** |
| | Sig. (bilateral) | 0,000 | 0,005 | | 0,358 | 0,000 | 0,003 | 0,003 | 0,000 | 0,000 | 0,000 | 0,012 | 0,000 | 0,038 | 0,000 | 0,006 | 0,002 | 0,000 | 0,000 | 0,000 | 0,000 | 0,000 |
| | N | 502 | 502 | 502 | 502 | 502 | 502 | 502 | 502 | 502 | 502 | 502 | 502 | 502 | 502 | 502 | 502 | 502 | 502 | 502 | 502 | 502 |
| [25] | Correlación de Pearson | 0,021 | 0,058 | 0,041 | 1 | -0,007 | 0,067 | ,191** | 0,024 | ,153** | ,190** | ,196** | -0,023 | ,106* | -0,017 | ,157** | ,157** | 0,052 | ,160** | ,208** | ,109* | ,189** |
| | Sig. (bilateral) | 0,631 | 0,191 | 0,358 | | 0,872 | 0,135 | 0,000 | 0,595 | 0,001 | 0,000 | 0,000 | 0,604 | 0,017 | 0,710 | 0,000 | 0,000 | 0,248 | 0,000 | 0,000 | 0,015 | 0,000 |
| | N | 502 | 502 | 502 | 502 | 502 | 502 | 502 | 502 | 502 | 502 | 502 | 502 | 502 | 502 | 502 | 502 | 502 | 502 | 502 | 502 | 502 |
| [26] | Correlación de Pearson | ,097* | 0,005 | ,574** | -0,007 | 1 | ,172** | ,159** | ,282** | ,300** | ,129** | ,192** | ,545** | 0,011 | ,767** | ,124** | 0,076 | ,341** | ,309** | ,247** | ,113* | ,293** |
| | Sig. (bilateral) | 0,030 | 0,919 | 0,000 | 0,872 | | 0,000 | 0,000 | 0,000 | 0,000 | 0,004 | 0,000 | 0,000 | 0,801 | 0,000 | 0,006 | 0,087 | 0,000 | 0,000 | 0,000 | 0,012 | 0,000 |
| | N | 502 | 502 | 502 | 502 | 502 | 502 | 502 | 502 | 502 | 502 | 502 | 502 | 502 | 502 | 502 | 502 | 502 | 502 | 502 | 502 | 502 |
| [27] | Correlación de Pearson | ,101* | ,165** | ,135** | 0,067 | ,172** | 1 | ,440** | ,117** | ,204** | ,145** | ,093* | ,222** | 0,086 | ,160** | -,114* | -0,016 | ,154** | ,228** | ,206** | 0,082 | ,188** |
| | Sig. (bilateral) | 0,024 | 0,000 | 0,003 | 0,135 | 0,000 | | 0,000 | 0,009 | 0,000 | 0,001 | 0,038 | 0,000 | 0,054 | 0,000 | 0,010 | 0,727 | 0,001 | 0,000 | 0,000 | 0,065 | 0,000 |
| | | [22] | [23] | [24] | [25] | [26] | [27] | [28] | [29] | 30] | [31] | [32] | [33] | [34] | [35] | [36] | [37] | [38] | [39] | [40] | [41] | [42] |
| | N | 502 | 502 | 502 | 502 | 502 | 502 | 502 | 502 | 502 | 502 | 502 | 502 | 502 | 502 | 502 | 502 | 502 | 502 | 502 | 502 | 502 |
| [28] | Correlación de Pearson | ,119** | ,113* | ,131** | ,191** | ,159** | ,440** | 1 | 0,065 | ,253** | ,181** | ,104* | ,222** | ,181** | ,133** | -0,066 | 0,078 | 0,053 | ,235** | ,193** | 0,040 | ,258** |

| | | | | | | | | | | | | | | | | | | | | | | |
|---|---|---|---|---|---|---|---|---|---|---|---|---|---|---|---|---|---|---|---|---|---|---|
| | Sig. (bilateral) | 0,007 | 0,011 | 0,003 | 0,000 | 0,000 | 0,000 | | 0,146 | 0,000 | 0,000 | 0,020 | 0,000 | 0,000 | 0,003 | 0,138 | 0,080 | 0,235 | 0,000 | 0,000 | 0,365 | 0,000 |
| | N | 502 | 502 | 502 | 502 | 502 | 502 | 502 | 502 | 502 | 502 | 502 | 502 | 502 | 502 | 502 | 502 | 502 | 502 | 502 | 502 | 502 |
| [29] | Correlación de Pearson | ,229** | 0,036 | ,295** | 0,024 | ,282** | ,117** | 0,065 | 1 | ,242** | ,172** | 0,071 | ,175** | -0,050 | ,349** | ,142** | 0,063 | ,397** | ,133** | ,105* | ,130** | ,156** |
| | Sig. (bilateral) | 0,000 | 0,424 | 0,000 | 0,595 | 0,000 | 0,009 | 0,146 | | 0,000 | 0,000 | 0,113 | 0,000 | 0,263 | 0,000 | 0,001 | 0,160 | 0,000 | 0,003 | 0,019 | 0,003 | 0,000 |
| | N | 502 | 502 | 502 | 502 | 502 | 502 | 502 | 502 | 502 | 502 | 502 | 502 | 502 | 502 | 502 | 502 | 502 | 502 | 502 | 502 | 502 |
| 30] | Correlación de Pearson | ,143** | ,088* | ,323** | ,153** | ,300** | ,204** | ,253** | ,242** | 1 | ,206** | ,211** | ,268** | -0,015 | ,280** | -,138** | -0,045 | ,295** | ,636** | ,421** | ,170** | ,769** |
| | Sig. (bilateral) | 0,001 | 0,049 | 0,000 | 0,001 | 0,000 | 0,000 | 0,000 | 0,000 | | 0,000 | 0,000 | 0,000 | 0,737 | 0,000 | 0,002 | 0,311 | 0,000 | 0,000 | 0,000 | 0,000 | 0,000 |
| | N | 502 | 502 | 502 | 502 | 502 | 502 | 502 | 502 | 502 | 502 | 502 | 502 | 502 | 502 | 502 | 502 | 502 | 502 | 502 | 502 | 502 |
| [31] | Correlación de Pearson | ,474** | 0,061 | ,187** | ,190** | ,129** | ,145** | ,181** | ,172** | ,206** | 1 | -,095* | ,098* | ,118** | ,217** | ,241** | ,116** | ,186** | ,244** | 0,050 | ,400** | ,233** |
| | Sig. (bilateral) | 0,000 | 0,169 | 0,000 | 0,000 | 0,004 | 0,001 | 0,000 | 0,000 | 0,000 | | 0,034 | 0,028 | 0,008 | 0,000 | 0,000 | 0,010 | 0,000 | 0,000 | 0,264 | 0,000 | 0,000 |
| | N | 502 | 502 | 502 | 502 | 502 | 502 | 502 | 502 | 502 | 502 | 502 | 502 | 502 | 502 | 502 | 502 | 502 | 502 | 502 | 502 | 502 |
| [32] | Correlación de Pearson | -,248** | 0,075 | ,112* | ,196** | ,192** | ,093* | ,104* | 0,071 | ,211** | -,095* | 1 | ,147** | 0,025 | ,116** | 0,053 | ,146** | 0,047 | ,115** | ,292** | -,145** | ,197** |
| | Sig. (bilateral) | 0,000 | 0,091 | 0,012 | 0,000 | 0,000 | 0,038 | 0,020 | 0,113 | 0,000 | 0,034 | | 0,001 | 0,583 | 0,009 | 0,237 | 0,001 | 0,291 | 0,010 | 0,000 | 0,001 | 0,000 |
| | N | 502 | 502 | 502 | 502 | 502 | 502 | 502 | 502 | 502 | 502 | 502 | 502 | 502 | 502 | 502 | 502 | 502 | 502 | 502 | 502 | 502 |
| [33] | Correlación de Pearson | ,089* | 0,050 | ,581** | -0,023 | ,545** | ,222** | ,222** | ,175** | ,268** | ,098* | ,147** | 1 | 0,082 | ,559** | 0,035 | 0,031 | ,147** | ,283** | ,295** | 0,076 | ,287** |
| | Sig. (bilateral) | 0,046 | 0,262 | 0,000 | 0,604 | 0,000 | 0,000 | 0,000 | 0,000 | 0,000 | 0,028 | 0,001 | | 0,067 | 0,000 | 0,434 | 0,486 | 0,001 | 0,000 | 0,000 | 0,091 | 0,000 |
| | N | 502 | 502 | 502 | 502 | 502 | 502 | 502 | 502 | 502 | 502 | 502 | 502 | 502 | 502 | 502 | 502 | 502 | 502 | 502 | 502 | 502 |
| [34] | Correlación de Pearson | 0,075 | 0,071 | -,093* | ,106* | 0,011 | 0,086 | ,181** | -0,050 | -0,015 | ,118** | 0,025 | 0,082 | 1 | 0,031 | ,134** | 0,076 | 0,012 | 0,083 | 0,011 | 0,070 | 0,049 |
| | Sig. (bilateral) | 0,091 | 0,112 | 0,038 | 0,017 | 0,801 | 0,054 | 0,000 | 0,263 | 0,737 | 0,008 | 0,583 | 0,067 | | 0,492 | 0,003 | 0,088 | 0,783 | 0,064 | 0,811 | 0,117 | 0,275 |
| | N | 502 | 502 | 502 | 502 | 502 | 502 | 502 | 502 | 502 | 502 | 502 | 502 | 502 | 502 | 502 | 502 | 502 | 502 | 502 | 502 | 502 |
| [35] | Correlación de Pearson | ,156** | -0,027 | ,544** | -0,017 | ,767** | ,160** | ,133** | ,349** | ,280** | ,217** | ,116** | ,559** | 0,031 | 1 | ,144** | 0,073 | ,397** | ,289** | ,196** | ,154** | ,296** |
| | Sig. (bilateral) | 0,000 | 0,541 | 0,000 | 0,710 | 0,000 | 0,000 | 0,003 | 0,000 | 0,000 | 0,000 | 0,009 | 0,000 | 0,492 | | 0,001 | 0,101 | 0,000 | 0,000 | 0,000 | 0,001 | 0,000 |
| | N | 502 | 502 | 502 | 502 | 502 | 502 | 502 | 502 | 502 | 502 | 502 | 502 | 502 | 502 | 502 | 502 | 502 | 502 | 502 | 502 | 502 |
| [36] | Correlación de Pearson | ,190** | 0,029 | ,124** | ,157** | ,124** | -,114* | -0,066 | ,142** | -,138** | ,241** | 0,053 | 0,035 | ,134** | ,144** | 1 | ,334** | 0,083 | -,094* | -,146** | ,149** | -,171** |
| | Sig. (bilateral) | 0,000 | 0,524 | 0,006 | 0,000 | 0,006 | 0,010 | 0,138 | 0,001 | 0,002 | 0,000 | 0,237 | 0,434 | 0,003 | 0,001 | | 0,000 | 0,062 | 0,035 | 0,001 | 0,001 | 0,000 |
| | N | 502 | 502 | 502 | 502 | 502 | 502 | 502 | 502 | 502 | 502 | 502 | 502 | 502 | 502 | 502 | 502 | 502 | 502 | 502 | 502 | 502 |
| [37] | Correlación de Pearson | ,110* | ,138** | ,135** | ,157** | 0,076 | -0,016 | 0,078 | 0,063 | -0,045 | ,116** | ,146** | 0,031 | 0,076 | 0,073 | ,334** | 1 | 0,018 | -0,028 | 0,035 | 0,002 | -0,023 |
| | Sig. (bilateral) | 0,014 | 0,002 | 0,002 | 0,000 | 0,087 | 0,727 | 0,080 | 0,160 | 0,311 | 0,010 | 0,001 | 0,486 | 0,088 | 0,101 | 0,000 | | 0,684 | 0,533 | 0,439 | 0,961 | 0,602 |
| | | [22] | [23] | [24] | [25] | [26] | [27] | [28] | [29] | 30] | [31] | [32] | [33] | [34] | [35] | [36] | [37] | [38] | [39] | [40] | [41] | [42] |
| | N | 502 | 502 | 502 | 502 | 502 | 502 | 502 | 502 | 502 | 502 | 502 | 502 | 502 | 502 | 502 | 502 | 502 | 502 | 502 | 502 | 502 |
| [38] | Correlación de Pearson | ,236** | 0,064 | ,295** | 0,052 | ,341** | ,154** | 0,053 | ,397** | ,295** | ,186** | 0,047 | ,147** | 0,012 | ,397** | 0,083 | 0,018 | 1 | ,327** | ,100* | ,163** | ,237** |

| | | | | | | | | | | | | | | | | | | | | | | | |
|---|---|---|---|---|---|---|---|---|---|---|---|---|---|---|---|---|---|---|---|---|---|---|---|
| | Sig. (bilateral) | 0,000 | 0,151 | 0,000 | 0,248 | 0,000 | 0,001 | 0,235 | 0,000 | 0,000 | 0,000 | 0,291 | 0,001 | 0,783 | 0,000 | 0,062 | 0,684 | | 0,000 | 0,026 | 0,000 | 0,000 |
| | N | 502 | 502 | 502 | 502 | 502 | 502 | 502 | 502 | 502 | 502 | 502 | 502 | 502 | 502 | 502 | 502 | 502 | 502 | 502 | 502 | 502 |
| [39] | Correlación de Pearson | ,228** | ,126** | ,319** | ,160** | ,309** | ,228** | ,235** | ,133** | ,636** | ,244** | ,115** | ,283** | 0,083 | ,289** | -,094* | -0,028 | ,327** | 1 | ,433** | ,207** | ,717** |
| | Sig. (bilateral) | 0,000 | 0,005 | 0,000 | 0,000 | 0,000 | 0,000 | 0,000 | 0,003 | 0,000 | 0,000 | 0,010 | 0,000 | 0,064 | 0,000 | 0,035 | 0,533 | 0,000 | | 0,000 | 0,000 | 0,000 |
| | N | 502 | 502 | 502 | 502 | 502 | 502 | 502 | 502 | 502 | 502 | 502 | 502 | 502 | 502 | 502 | 502 | 502 | 502 | 502 | 502 | 502 |
| [40] | Correlación de Pearson | -,109* | ,099* | ,274** | ,208** | ,247** | ,206** | ,193** | ,105* | ,421** | 0,050 | ,292** | ,295** | 0,011 | ,196** | -,146** | 0,035 | ,100* | ,433** | 1 | 0,052 | ,456** |
| | Sig. (bilateral) | 0,014 | 0,026 | 0,000 | 0,000 | 0,000 | 0,000 | 0,000 | 0,019 | 0,000 | 0,264 | 0,000 | 0,000 | 0,811 | 0,000 | 0,001 | 0,439 | 0,026 | 0,000 | | 0,246 | 0,000 |
| | N | 502 | 502 | 502 | 502 | 502 | 502 | 502 | 502 | 502 | 502 | 502 | 502 | 502 | 502 | 502 | 502 | 502 | 502 | 502 | 502 | 502 |
| [41] | Correlación de Pearson | ,392** | -0,030 | ,189** | ,109* | ,113* | 0,082 | 0,040 | ,130** | ,170** | ,400** | -,145** | 0,076 | 0,070 | ,154** | ,149** | 0,002 | ,163** | ,207** | 0,052 | 1 | ,224** |
| | Sig. (bilateral) | 0,000 | 0,496 | 0,000 | 0,015 | 0,012 | 0,065 | 0,365 | 0,003 | 0,000 | 0,000 | 0,001 | 0,091 | 0,117 | 0,001 | 0,001 | 0,961 | 0,000 | 0,000 | 0,246 | | 0,000 |
| | N | 502 | 502 | 502 | 502 | 502 | 502 | 502 | 502 | 502 | 502 | 502 | 502 | 502 | 502 | 502 | 502 | 502 | 502 | 502 | 502 | 502 |
| [42] | Correlación de Pearson | ,173** | 0,049 | ,352** | ,189** | ,293** | ,188** | ,258** | ,156** | ,769** | ,233** | ,197** | ,287** | 0,049 | ,296** | -,171** | -0,023 | ,237** | ,717** | ,456** | ,224** | 1 |
| | Sig. (bilateral) | 0,000 | 0,271 | 0,000 | 0,000 | 0,000 | 0,000 | 0,000 | 0,000 | 0,000 | 0,000 | 0,000 | 0,000 | 0,275 | 0,000 | 0,000 | 0,602 | 0,000 | 0,000 | 0,000 | 0,000 | |
| | N | 502 | 502 | 502 | 502 | 502 | 502 | 502 | 502 | 502 | 502 | 502 | 502 | 502 | 502 | 502 | 502 | 502 | 502 | 502 | 502 | 502 |
| [43] | Correlación de Pearson | ,250** | 0,036 | ,583** | -0,080 | ,590** | ,154** | 0,077 | ,293** | ,251** | ,230** | 0,078 | ,534** | -0,016 | ,661** | ,116** | 0,059 | ,300** | ,357** | ,234** | ,204** | ,327** |
| | Sig. (bilateral) | 0,000 | 0,421 | 0,000 | 0,073 | 0,000 | 0,001 | 0,084 | 0,000 | 0,000 | 0,000 | 0,082 | 0,000 | 0,729 | 0,000 | 0,010 | 0,189 | 0,000 | 0,000 | 0,000 | 0,000 | 0,000 |
| | N | 502 | 502 | 502 | 502 | 502 | 502 | 502 | 502 | 502 | 502 | 502 | 502 | 502 | 502 | 502 | 502 | 502 | 502 | 502 | 502 | 502 |
| [44] | Correlación de Pearson | ,192** | -0,023 | ,560** | -0,034 | ,656** | ,118** | ,120** | ,305** | ,313** | ,225** | 0,079 | ,481** | -0,011 | ,676** | ,159** | 0,037 | ,367** | ,365** | ,204** | ,184** | ,328** |
| | Sig. (bilateral) | 0,000 | 0,606 | 0,000 | 0,453 | 0,000 | 0,008 | 0,007 | 0,000 | 0,000 | 0,000 | 0,076 | 0,000 | 0,798 | 0,000 | 0,000 | 0,404 | 0,000 | 0,000 | 0,000 | 0,000 | 0,000 |
| | N | 502 | 502 | 502 | 502 | 502 | 502 | 502 | 502 | 502 | 502 | 502 | 502 | 502 | 502 | 502 | 502 | 502 | 502 | 502 | 502 | 502 |
| [45] | Correlación de Pearson | ,177** | 0,017 | ,106* | 0,075 | 0,018 | -,235** | -,192** | ,091* | -0,006 | ,106* | 0,066 | -0,014 | 0,033 | 0,042 | ,351** | ,245** | 0,078 | 0,022 | -0,002 | ,158** | -0,006 |
| | Sig. (bilateral) | 0,000 | 0,698 | 0,018 | 0,092 | 0,681 | 0,000 | 0,000 | 0,041 | 0,893 | 0,018 | 0,142 | 0,760 | 0,466 | 0,345 | 0,000 | 0,000 | 0,081 | 0,618 | 0,971 | 0,000 | 0,891 |
| | N | 502 | 502 | 502 | 502 | 502 | 502 | 502 | 502 | 502 | 502 | 502 | 502 | 502 | 502 | 502 | 502 | 502 | 502 | 502 | 502 | 502 |
| [46] | Correlación de Pearson | ,222** | 0,021 | ,232** | 0,083 | ,217** | ,114* | -0,023 | ,237** | ,209** | ,319** | -0,027 | ,115* | ,100* | ,299** | ,110* | -,183** | ,213** | ,224** | ,132** | ,327** | ,239** |
| | Sig. (bilateral) | 0,000 | 0,638 | 0,000 | 0,062 | 0,000 | 0,010 | 0,611 | 0,000 | 0,000 | 0,000 | 0,553 | 0,010 | 0,025 | 0,000 | 0,014 | 0,000 | 0,000 | 0,000 | 0,003 | 0,000 | 0,000 |
| | N | 502 | 502 | 502 | 502 | 502 | 502 | 502 | 502 | 502 | 502 | 502 | 502 | 502 | 502 | 502 | 502 | 502 | 502 | 502 | 502 | 502 |
| [47] | Correlación de Pearson | 0,044 | 0,084 | ,157** | 0,050 | ,128** | ,090* | ,111* | -0,008 | -0,027 | 0,047 | ,169** | ,145** | 0,072 | ,129** | ,196** | ,375** | -0,021 | 0,042 | ,106* | -0,058 | 0,012 |
| | Sig. (bilateral) | 0,322 | 0,059 | 0,000 | 0,261 | 0,004 | 0,043 | 0,013 | 0,861 | 0,548 | 0,294 | 0,000 | 0,001 | 0,105 | 0,004 | 0,000 | 0,000 | 0,641 | 0,347 | 0,018 | 0,193 | 0,786 |
| | | [22] | [23] | [24] | [25] | [26] | [27] | [28] | [29] | 30] | [31] | [32] | [33] | [34] | [35] | [36] | [37] | [38] | [39] | [40] | [41] | [42] |
| | N | 502 | 502 | 502 | 502 | 502 | 502 | 502 | 502 | 502 | 502 | 502 | 502 | 502 | 502 | 502 | 502 | 502 | 502 | 502 | 502 | 502 |
| [48] | Correlación de Pearson | ,257** | 0,024 | ,409** | ,181** | ,330** | ,134** | ,202** | ,229** | ,679** | ,254** | ,138** | ,282** | 0,012 | ,314** | -0,033 | 0,012 | ,343** | ,606** | ,404** | ,206** | ,722** |

| | | | | | | | | | | | | | | | | | | | | | | | |
|---|---|---|---|---|---|---|---|---|---|---|---|---|---|---|---|---|---|---|---|---|---|---|---|
| | Sig. (bilateral) | 0,000 | 0,592 | 0,000 | 0,000 | 0,000 | 0,003 | 0,000 | 0,000 | 0,000 | 0,000 | 0,002 | 0,000 | 0,783 | 0,000 | 0,467 | 0,793 | 0,000 | 0,000 | 0,000 | 0,000 | 0,000 |
| | N | 502 | 502 | 502 | 502 | 502 | 502 | 502 | 502 | 502 | 502 | 502 | 502 | 502 | 502 | 502 | 502 | 502 | 502 | 502 | 502 | 502 |
| [49] | Correlación de Pearson | -,284** | ,089* | ,093* | ,226** | ,135** | 0,061 | ,099* | 0,041 | ,179** | -,113* | ,406** | ,120** | -0,037 | 0,086 | -0,026 | ,158** | 0,008 | 0,079 | ,353** | -,159** | ,162** |
| | Sig. (bilateral) | 0,000 | 0,046 | 0,038 | 0,000 | 0,002 | 0,173 | 0,026 | 0,355 | 0,000 | 0,011 | 0,000 | 0,007 | 0,413 | 0,055 | 0,568 | 0,000 | 0,855 | 0,075 | 0,000 | 0,000 | 0,000 |
| | N | 502 | 502 | 502 | 502 | 502 | 502 | 502 | 502 | 502 | 502 | 502 | 502 | 502 | 502 | 502 | 502 | 502 | 502 | 502 | 502 | 502 |
| [50] | Correlación de Pearson | ,482** | -0,043 | ,447** | 0,015 | ,449** | 0,082 | 0,031 | ,334** | ,225** | ,393** | -0,057 | ,276** | -0,015 | ,494** | ,230** | ,116** | ,334** | ,264** | 0,058 | ,356** | ,253** |
| | Sig. (bilateral) | 0,000 | 0,335 | 0,000 | 0,732 | 0,000 | 0,065 | 0,485 | 0,000 | 0,000 | 0,000 | 0,204 | 0,000 | 0,739 | 0,000 | 0,000 | 0,009 | 0,000 | 0,000 | 0,193 | 0,000 | 0,000 |
| | N | 502 | 502 | 502 | 502 | 502 | 502 | 502 | 502 | 502 | 502 | 502 | 502 | 502 | 502 | 502 | 502 | 502 | 502 | 502 | 502 | 502 |
| [51] | Correlación de Pearson | ,240** | -0,002 | ,436** | ,145** | ,345** | ,242** | ,224** | ,248** | ,407** | ,271** | ,117** | ,328** | 0,018 | ,373** | 0,070 | 0,076 | ,306** | ,402** | ,276** | ,258** | ,431** |
| | Sig. (bilateral) | 0,000 | 0,965 | 0,000 | 0,001 | 0,000 | 0,000 | 0,000 | 0,000 | 0,000 | 0,000 | 0,009 | 0,000 | 0,684 | 0,000 | 0,115 | 0,090 | 0,000 | 0,000 | 0,000 | 0,000 | 0,000 |
| | N | 502 | 502 | 502 | 502 | 502 | 502 | 502 | 502 | 502 | 502 | 502 | 502 | 502 | 502 | 502 | 502 | 502 | 502 | 502 | 502 | 502 |
| [52] | Correlación de Pearson | ,267** | 0,014 | ,504** | -0,008 | ,553** | ,151** | ,127** | ,453** | ,274** | ,151** | ,112* | ,422** | -0,012 | ,567** | ,127** | 0,028 | ,444** | ,304** | ,214** | ,225** | ,265** |
| | Sig. (bilateral) | 0,000 | 0,746 | 0,000 | 0,862 | 0,000 | 0,001 | 0,004 | 0,000 | 0,000 | 0,001 | 0,012 | 0,000 | 0,792 | 0,000 | 0,004 | 0,534 | 0,000 | 0,000 | 0,000 | 0,000 | 0,000 |
| | N | 502 | 502 | 502 | 502 | 502 | 502 | 502 | 502 | 502 | 502 | 502 | 502 | 502 | 502 | 502 | 502 | 502 | 502 | 502 | 502 | 502 |
| [53] | Correlación de Pearson | ,153** | -0,033 | ,446** | -0,047 | ,616** | ,145** | 0,081 | ,321** | ,281** | ,164** | 0,070 | ,590** | -0,009 | ,645** | 0,050 | -0,054 | ,291** | ,262** | ,222** | ,149** | ,243** |
| | Sig. (bilateral) | 0,001 | 0,458 | 0,000 | 0,294 | 0,000 | 0,001 | 0,070 | 0,000 | 0,000 | 0,000 | 0,115 | 0,000 | 0,842 | 0,000 | 0,260 | 0,229 | 0,000 | 0,000 | 0,000 | 0,001 | 0,000 |
| | N | 502 | 502 | 502 | 502 | 502 | 502 | 502 | 502 | 502 | 502 | 502 | 502 | 502 | 502 | 502 | 502 | 502 | 502 | 502 | 502 | 502 |
| [54] | Correlación de Pearson | ,245** | -0,021 | ,378** | ,095* | ,458** | ,289** | ,303** | ,253** | ,482** | ,204** | ,169** | ,386** | 0,016 | ,484** | -0,046 | -0,022 | ,370** | ,479** | ,312** | ,175** | ,463** |
| | Sig. (bilateral) | 0,000 | 0,640 | 0,000 | 0,034 | 0,000 | 0,000 | 0,000 | 0,000 | 0,000 | 0,000 | 0,000 | 0,000 | 0,719 | 0,000 | 0,300 | 0,627 | 0,000 | 0,000 | 0,000 | 0,000 | 0,000 |
| | N | 502 | 502 | 502 | 502 | 502 | 502 | 502 | 502 | 502 | 502 | 502 | 502 | 502 | 502 | 502 | 502 | 502 | 502 | 502 | 502 | 502 |
| [55] | Correlación de Pearson | ,214** | 0,052 | ,317** | 0,072 | ,322** | ,147** | ,118** | ,324** | ,306** | ,310** | 0,082 | ,252** | 0,038 | ,396** | ,161** | 0,006 | ,335** | ,317** | ,197** | ,236** | ,276** |
| | Sig. (bilateral) | 0,000 | 0,245 | 0,000 | 0,106 | 0,000 | 0,001 | 0,008 | 0,000 | 0,000 | 0,000 | 0,066 | 0,000 | 0,396 | 0,000 | 0,000 | 0,886 | 0,000 | 0,000 | 0,000 | 0,000 | 0,000 |
| | N | 502 | 502 | 502 | 502 | 502 | 502 | 502 | 502 | 502 | 502 | 502 | 502 | 502 | 502 | 502 | 502 | 502 | 502 | 502 | 502 | 502 |
| [56] | Correlación de Pearson | ,140** | -0,057 | ,128** | ,112* | ,169** | 0,049 | -0,007 | ,276** | ,267** | ,184** | ,097* | 0,079 | 0,077 | ,213** | 0,039 | -,110* | ,294** | ,227** | ,185** | ,230** | ,244** |
| | Sig. (bilateral) | 0,002 | 0,203 | 0,004 | 0,012 | 0,000 | 0,278 | 0,879 | 0,000 | 0,000 | 0,000 | 0,029 | 0,076 | 0,086 | 0,000 | 0,382 | 0,014 | 0,000 | 0,000 | 0,000 | 0,000 | 0,000 |
| | N | 502 | 502 | 502 | 502 | 502 | 502 | 502 | 502 | 502 | 502 | 502 | 502 | 502 | 502 | 502 | 502 | 502 | 502 | 502 | 502 | 502 |
| [57] | Correlación de Pearson | ,160** | -0,058 | ,140** | -0,030 | ,108* | -0,072 | -,165** | ,251** | -0,079 | 0,058 | -0,023 | -0,042 | -,153** | ,173** | ,147** | ,096* | ,326** | -,096* | -,118** | ,136** | -,102* |
| | Sig. (bilateral) | 0,000 | 0,194 | 0,002 | 0,503 | 0,015 | 0,107 | 0,000 | 0,000 | 0,078 | 0,198 | 0,604 | 0,345 | 0,001 | 0,000 | 0,001 | 0,031 | 0,000 | 0,032 | 0,008 | 0,002 | 0,022 |
| | | [22] | [23] | [24] | [25] | [26] | [27] | [28] | [29] | 30] | [31] | [32] | [33] | [34] | [35] | [36] | [37] | [38] | [39] | [40] | [41] | [42] |
| | N | 502 | 502 | 502 | 502 | 502 | 502 | 502 | 502 | 502 | 502 | 502 | 502 | 502 | 502 | 502 | 502 | 502 | 502 | 502 | 502 | 502 |
| [58] | Correlación de Pearson | 0,017 | -0,060 | 0,017 | 0,017 | -0,084 | -,264** | -,155** | 0,072 | -,190** | -0,062 | -0,062 | -,130** | -,133** | -0,057 | ,141** | ,153** | ,119** | -,261** | -,204** | -0,024 | -,190** |

| | | | | | | | | | | | | | | | | | | | | | | | |
|---|---|---|---|---|---|---|---|---|---|---|---|---|---|---|---|---|---|---|---|---|---|---|---|
| | Sig. (bilateral) | 0,701 | 0,176 | 0,704 | 0,707 | 0,061 | 0,000 | 0,001 | 0,107 | 0,000 | 0,165 | 0,167 | 0,004 | 0,003 | 0,203 | 0,002 | 0,001 | 0,008 | 0,000 | 0,000 | 0,599 | 0,000 |
| | N | 502 | 502 | 502 | 502 | 502 | 502 | 502 | 502 | 502 | 502 | 502 | 502 | 502 | 502 | 502 | 502 | 502 | 502 | 502 | 502 | 502 |
| [59] | Correlación de Pearson | -0,008 | -0,002 | -0,081 | -,103* | -0,070 | 0,014 | -0,048 | 0,000 | -,230** | -0,087 | -0,070 | -0,060 | -0,011 | -0,039 | 0,019 | 0,000 | -0,047 | -,213** | -0,065 | -0,050 | -,190** |
| | Sig. (bilateral) | 0,864 | 0,963 | 0,068 | 0,021 | 0,116 | 0,755 | 0,280 | 0,992 | 0,000 | 0,050 | 0,117 | 0,180 | 0,799 | 0,386 | 0,673 | 0,997 | 0,291 | 0,000 | 0,148 | 0,260 | 0,000 |
| | N | 502 | 502 | 502 | 502 | 502 | 502 | 502 | 502 | 502 | 502 | 502 | 502 | 502 | 502 | 502 | 502 | 502 | 502 | 502 | 502 | 502 |
| [60] | Correlación de Pearson | -0,023 | 0,013 | -,090* | -0,074 | -0,028 | -0,001 | -0,051 | -0,019 | -,154** | -,089* | -0,034 | -0,069 | 0,038 | -0,041 | -0,009 | 0,007 | -0,016 | -,147** | -0,058 | -0,074 | -,153** |
| | Sig. (bilateral) | 0,602 | 0,775 | 0,044 | 0,096 | 0,526 | 0,988 | 0,250 | 0,668 | 0,001 | 0,046 | 0,445 | 0,124 | 0,393 | 0,357 | 0,843 | 0,878 | 0,712 | 0,001 | 0,197 | 0,099 | 0,001 |
| | N | 502 | 502 | 502 | 502 | 502 | 502 | 502 | 502 | 502 | 502 | 502 | 502 | 502 | 502 | 502 | 502 | 502 | 502 | 502 | 502 | 502 |
| [61] | Correlación de Pearson | ,109* | 0,072 | ,179** | -0,060 | ,113* | ,144** | ,161** | 0,064 | ,353** | 0,086 | 0,016 | ,112* | -0,008 | ,111* | -,156** | -0,086 | ,155** | ,345** | ,261** | ,131** | ,438** |
| | Sig. (bilateral) | 0,014 | 0,109 | 0,000 | 0,183 | 0,011 | 0,001 | 0,000 | 0,153 | 0,000 | 0,053 | 0,726 | 0,012 | 0,855 | 0,012 | 0,000 | 0,054 | 0,000 | 0,000 | 0,000 | 0,003 | 0,000 |
| | N | 502 | 502 | 502 | 502 | 502 | 502 | 502 | 502 | 502 | 502 | 502 | 502 | 502 | 502 | 502 | 502 | 502 | 502 | 502 | 502 | 502 |
| [62] | Correlación de Pearson | ,132** | 0,054 | ,176** | 0,022 | 0,040 | ,134** | 0,087 | -0,003 | ,286** | ,140** | -0,046 | 0,074 | 0,035 | 0,047 | -0,014 | -,153** | 0,051 | ,282** | ,167** | ,278** | ,314** |
| | Sig. (bilateral) | 0,003 | 0,229 | 0,000 | 0,619 | 0,370 | 0,003 | 0,053 | 0,953 | 0,000 | 0,002 | 0,304 | 0,099 | 0,439 | 0,289 | 0,759 | 0,001 | 0,252 | 0,000 | 0,000 | 0,000 | 0,000 |
| | N | 502 | 502 | 502 | 502 | 502 | 502 | 502 | 502 | 502 | 502 | 502 | 502 | 502 | 502 | 502 | 502 | 502 | 502 | 502 | 502 | 502 |
| [63] | Correlación de Pearson | 0,071 | 0,057 | ,322** | 0,018 | ,224** | ,167** | ,128** | ,158** | ,492** | ,165** | ,123** | ,271** | 0,058 | ,223** | -0,073 | -0,059 | ,204** | ,475** | ,308** | ,162** | ,540** |
| | Sig. (bilateral) | 0,111 | 0,200 | 0,000 | 0,680 | 0,000 | 0,000 | 0,004 | 0,000 | 0,000 | 0,000 | 0,006 | 0,000 | 0,192 | 0,000 | 0,104 | 0,184 | 0,000 | 0,000 | 0,000 | 0,000 | 0,000 |
| | N | 502 | 502 | 502 | 502 | 502 | 502 | 502 | 502 | 502 | 502 | 502 | 502 | 502 | 502 | 502 | 502 | 502 | 502 | 502 | 502 | 502 |
| [64] | Correlación de Pearson | 0,034 | 0,034 | ,227** | ,130** | ,214** | ,126** | ,124** | ,096* | ,594** | ,118** | ,139** | ,206** | -0,043 | ,200** | -,105* | -0,057 | ,170** | ,497** | ,312** | ,148** | ,582** |
| | Sig. (bilateral) | 0,442 | 0,449 | 0,000 | 0,004 | 0,000 | 0,005 | 0,005 | 0,032 | 0,000 | 0,008 | 0,002 | 0,000 | 0,341 | 0,000 | 0,019 | 0,205 | 0,000 | 0,000 | 0,000 | 0,001 | 0,000 |
| | N | 502 | 502 | 502 | 502 | 502 | 502 | 502 | 502 | 502 | 502 | 502 | 502 | 502 | 502 | 502 | 502 | 502 | 502 | 502 | 502 | 502 |
| [65] | Correlación de Pearson | 0,077 | -0,030 | ,230** | ,107* | ,254** | ,110* | ,143** | ,130** | ,568** | ,175** | ,127** | ,219** | 0,004 | ,242** | -,103* | -0,061 | ,265** | ,555** | ,357** | ,129** | ,595** |
| | Sig. (bilateral) | 0,085 | 0,506 | 0,000 | 0,017 | 0,000 | 0,014 | 0,001 | 0,004 | 0,000 | 0,000 | 0,004 | 0,000 | 0,923 | 0,000 | 0,021 | 0,174 | 0,000 | 0,000 | 0,000 | 0,004 | 0,000 |
| | N | 502 | 502 | 502 | 502 | 502 | 502 | 502 | 502 | 502 | 502 | 502 | 502 | 502 | 502 | 502 | 502 | 502 | 502 | 502 | 502 | 502 |
| [66] | Correlación de Pearson | ,096* | -0,014 | ,260** | 0,051 | ,258** | 0,031 | 0,073 | ,129** | ,411** | 0,060 | ,116** | ,200** | -0,042 | ,211** | -,120** | -0,029 | ,272** | ,433** | ,312** | ,095* | ,467** |
| | Sig. (bilateral) | 0,031 | 0,759 | 0,000 | 0,257 | 0,000 | 0,491 | 0,102 | 0,004 | 0,000 | 0,181 | 0,009 | 0,000 | 0,346 | 0,000 | 0,007 | 0,516 | 0,000 | 0,000 | 0,000 | 0,032 | 0,000 |
| | N | 502 | 502 | 502 | 502 | 502 | 502 | 502 | 502 | 502 | 502 | 502 | 502 | 502 | 502 | 502 | 502 | 502 | 502 | 502 | 502 | 502 |
| [67] | Correlación de Pearson | 0,078 | -0,001 | ,200** | ,099* | ,211** | ,124** | ,154** | 0,045 | ,527** | ,142** | ,107* | ,186** | 0,019 | ,210** | -,192** | -,117** | ,207** | ,568** | ,311** | ,125** | ,570** |
| | Sig. (bilateral) | 0,080 | 0,987 | 0,000 | 0,027 | 0,000 | 0,006 | 0,001 | 0,315 | 0,000 | 0,001 | 0,016 | 0,000 | 0,665 | 0,000 | 0,000 | 0,009 | 0,000 | 0,000 | 0,000 | 0,005 | 0,000 |
| | | [22] | [23] | [24] | [25] | [26] | [27] | [28] | [29] | 30] | [31] | [32] | [33] | [34] | [35] | [36] | [37] | [38] | [39] | [40] | [41] | [42] |
| | N | 502 | 502 | 502 | 502 | 502 | 502 | 502 | 502 | 502 | 502 | 502 | 502 | 502 | 502 | 502 | 502 | 502 | 502 | 502 | 502 | 502 |
| [68] | Correlación de Pearson | 0,080 | 0,061 | ,099* | 0,023 | 0,068 | ,204** | ,127** | 0,004 | ,217** | ,101* | 0,007 | ,135** | ,106* | 0,060 | 0,000 | 0,003 | 0,019 | ,311** | ,148** | 0,051 | ,203** |

| | | | | | | | | | | | | | | | | | | | | | | |
|---|---|---|---|---|---|---|---|---|---|---|---|---|---|---|---|---|---|---|---|---|---|---|
| | Sig. (bilateral) | 0,073 | 0,173 | 0,026 | 0,615 | 0,127 | 0,000 | 0,005 | 0,922 | 0,000 | 0,024 | 0,879 | 0,002 | 0,017 | 0,176 | 0,994 | 0,946 | 0,668 | 0,000 | 0,001 | 0,258 | 0,000 |
| | N | 502 | 502 | 502 | 502 | 502 | 502 | 502 | 502 | 502 | 502 | 502 | 502 | 502 | 502 | 502 | 502 | 502 | 502 | 502 | 502 | 502 |
| [69] | Correlación de Pearson | ,109* | 0,078 | ,278** | 0,055 | ,271** | ,209** | ,233** | ,110* | ,670** | ,132** | ,147** | ,257** | 0,007 | ,231** | -,187** | -0,076 | ,198** | ,606** | ,422** | 0,076 | ,678** |
| | Sig. (bilateral) | 0,014 | 0,079 | 0,000 | 0,222 | 0,000 | 0,000 | 0,000 | 0,014 | 0,000 | 0,003 | 0,001 | 0,000 | 0,883 | 0,000 | 0,000 | 0,089 | 0,000 | 0,000 | 0,000 | 0,087 | 0,000 |
| | N | 502 | 502 | 502 | 502 | 502 | 502 | 502 | 502 | 502 | 502 | 502 | 502 | 502 | 502 | 502 | 502 | 502 | 502 | 502 | 502 | 502 |

**. La correlación es significativa en el nivel 0,01 (bilateral).

*. La correlación es significativa en el nivel 0,05 (bilateral).

## Correlaciones

| | | [43] | [44] | [45] | [46] | [47] | [48] | [49] | [50] | [51] | [52] | [53] | [54] | [55] | [56] | [57] | [58] | [59] | [60] | [61] | [62] | [63] |
|---|---|---|---|---|---|---|---|---|---|---|---|---|---|---|---|---|---|---|---|---|---|---|
| [1] | Correlación de Pearson | 0,047 | 0,078 | ,143** | ,153** | -0,065 | 0,017 | -,262** | ,332** | ,091* | 0,082 | 0,046 | 0,036 | ,108* | 0,032 | ,167** | ,122** | 0,030 | ,095* | 0,038 | 0,023 | -,106* |
| | Sig. (bilateral) | 0,289 | 0,080 | 0,001 | 0,001 | 0,149 | 0,703 | 0,000 | 0,000 | 0,042 | 0,066 | 0,303 | 0,419 | 0,016 | 0,477 | 0,000 | 0,006 | 0,496 | 0,034 | 0,394 | 0,603 | 0,018 |
| | N | 502 | 502 | 502 | 502 | 502 | 502 | 502 | 502 | 502 | 502 | 502 | 502 | 502 | 502 | 502 | 502 | 502 | 502 | 502 | 502 | 502 |
| [2] | Correlación de Pearson | ,133** | ,154** | ,186** | ,175** | 0,006 | ,102* | -,213** | ,407** | 0,080 | ,122** | 0,077 | 0,041 | ,103* | 0,065 | ,245** | ,244** | 0,062 | 0,067 | 0,076 | 0,068 | -0,052 |
| | Sig. (bilateral) | 0,003 | 0,001 | 0,000 | 0,000 | 0,889 | 0,022 | 0,000 | 0,000 | 0,072 | 0,006 | 0,085 | 0,359 | 0,021 | 0,145 | 0,000 | 0,000 | 0,165 | 0,133 | 0,089 | 0,128 | 0,249 |
| | N | 502 | 502 | 502 | 502 | 502 | 502 | 502 | 502 | 502 | 502 | 502 | 502 | 502 | 502 | 502 | 502 | 502 | 502 | 502 | 502 | 502 |
| [3] | Correlación de Pearson | ,430** | ,426** | 0,035 | ,127** | ,116** | ,265** | 0,073 | ,350** | ,292** | ,414** | ,393** | ,363** | ,326** | 0,067 | 0,066 | 0,047 | -0,015 | 0,001 | ,109* | 0,002 | ,203** |
| | Sig. (bilateral) | 0,000 | 0,000 | 0,433 | 0,004 | 0,009 | 0,000 | 0,102 | 0,000 | 0,000 | 0,000 | 0,000 | 0,000 | 0,000 | 0,133 | 0,140 | 0,298 | 0,730 | 0,981 | 0,015 | 0,966 | 0,000 |
| | N | 502 | 502 | 502 | 502 | 502 | 502 | 502 | 502 | 502 | 502 | 502 | 502 | 502 | 502 | 502 | 502 | 502 | 502 | 502 | 502 | 502 |
| [4] | Correlación de Pearson | ,507** | ,396** | ,130** | ,184** | 0,070 | 0,083 | 0,010 | ,349** | ,157** | ,335** | ,344** | ,179** | ,250** | 0,046 | 0,081 | 0,010 | 0,014 | 0,072 | -0,026 | -,112* | -0,024 |
| | Sig. (bilateral) | 0,000 | 0,000 | 0,003 | 0,000 | 0,118 | 0,063 | 0,826 | 0,000 | 0,000 | 0,000 | 0,000 | 0,000 | 0,000 | 0,309 | 0,071 | 0,826 | 0,757 | 0,106 | 0,558 | 0,012 | 0,586 |
| | N | 502 | 502 | 502 | 502 | 502 | 502 | 502 | 502 | 502 | 502 | 502 | 502 | 502 | 502 | 502 | 502 | 502 | 502 | 502 | 502 | 502 |
| [5] | Correlación de Pearson | ,219** | ,270** | ,089* | ,099* | -0,006 | ,730** | ,120** | ,335** | ,350** | ,295** | ,238** | ,337** | ,275** | ,223** | ,101* | 0,030 | -,123** | -0,027 | ,358** | ,195** | ,361** |
| | Sig. (bilateral) | 0,000 | 0,000 | 0,046 | 0,026 | 0,888 | 0,000 | 0,007 | 0,000 | 0,000 | 0,000 | 0,000 | 0,000 | 0,000 | 0,000 | 0,023 | 0,499 | 0,006 | 0,540 | 0,000 | 0,000 | 0,000 |
| | N | 502 | 502 | 502 | 502 | 502 | 502 | 502 | 502 | 502 | 502 | 502 | 502 | 502 | 502 | 502 | 502 | 502 | 502 | 502 | 502 | 502 |
| [6] | Correlación de Pearson | ,524** | ,679** | 0,027 | ,215** | 0,041 | ,380** | ,098* | ,441** | ,289** | ,527** | ,669** | ,478** | ,297** | ,255** | ,230** | 0,020 | -0,041 | -0,035 | ,149** | 0,087 | ,250** |
| | Sig. (bilateral) | 0,000 | 0,000 | 0,543 | 0,000 | 0,364 | 0,000 | 0,029 | 0,000 | 0,000 | 0,000 | 0,000 | 0,000 | 0,000 | 0,000 | 0,000 | 0,650 | 0,359 | 0,435 | 0,001 | 0,050 | 0,000 |
| | N | 502 | 502 | 502 | 502 | 502 | 502 | 502 | 502 | 502 | 502 | 502 | 502 | 502 | 502 | 502 | 502 | 502 | 502 | 502 | 502 | 502 |
| [7] | Correlación de Pearson | ,383** | ,506** | -0,013 | ,319** | 0,041 | ,460** | 0,074 | ,389** | ,402** | ,469** | ,499** | ,570** | ,423** | ,316** | ,132** | -,139** | -,146** | -,126** | ,259** | ,175** | ,304** |
| | [43] | [44] | [45] | [46] | [47] | [48] | [49] | [50] | [51] | [52] | [53] | [54] | [55] | [56] | [57] | [58] | [59] | [60] | [61] | [62] | [63] | |
| | Sig. (bilateral) | 0,000 | 0,000 | 0,769 | 0,000 | 0,354 | 0,000 | 0,096 | 0,000 | 0,000 | 0,000 | 0,000 | 0,000 | 0,000 | 0,000 | 0,003 | 0,002 | 0,001 | 0,005 | 0,000 | 0,000 | 0,000 |
| | N | 502 | 502 | 502 | 502 | 502 | 502 | 502 | 502 | 502 | 502 | 502 | 502 | 502 | 502 | 502 | 502 | 502 | 502 | 502 | 502 | 502 |
| [8] | Correlación de | ,401** | ,380** | 0,065 | ,308** | 0,059 | ,272** | -0,052 | ,342** | ,292** | ,492** | ,377** | ,379** | ,445** | ,234** | ,133** | -0,026 | -0,012 | -0,082 | ,191** | ,090* | ,223** |

| | | | | | | | | | | | | | | | | | | | | | | | |
|---|---|---|---|---|---|---|---|---|---|---|---|---|---|---|---|---|---|---|---|---|---|---|---|
| | Pearson | | | | | | | | | | | | | | | | | | | | | | |
| | Sig. (bilateral) | 0,000 | 0,000 | 0,149 | 0,000 | 0,184 | 0,000 | 0,241 | 0,000 | 0,000 | 0,000 | 0,000 | 0,000 | 0,000 | 0,000 | 0,003 | 0,558 | 0,790 | 0,066 | 0,000 | 0,043 | 0,000 |
| | N | 502 | 502 | 502 | 502 | 502 | 502 | 502 | 502 | 502 | 502 | 502 | 502 | 502 | 502 | 502 | 502 | 502 | 502 | 502 | 502 | 502 |
| [9] | Correlación de Pearson | ,387** | ,483** | 0,046 | ,266** | 0,009 | ,402** | ,097* | ,352** | ,359** | ,506** | ,477** | ,479** | ,340** | ,274** | ,237** | 0,032 | -,107* | -0,042 | ,234** | ,130** | ,221** |
| | Sig. (bilateral) | 0,000 | 0,000 | 0,304 | 0,000 | 0,839 | 0,000 | 0,030 | 0,000 | 0,000 | 0,000 | 0,000 | 0,000 | 0,000 | 0,000 | 0,000 | 0,481 | 0,017 | 0,351 | 0,000 | 0,003 | 0,000 |
| | N | 502 | 502 | 502 | 502 | 502 | 502 | 502 | 502 | 502 | 502 | 502 | 502 | 502 | 502 | 502 | 502 | 502 | 502 | 502 | 502 | 502 |
| [10] | Correlación de Pearson | ,135** | ,181** | ,240** | ,124** | 0,084 | 0,062 | -,149** | ,284** | 0,030 | ,193** | ,125** | -0,006 | ,174** | ,135** | ,464** | ,439** | ,375** | ,359** | -0,045 | -0,031 | -0,050 |
| | Sig. (bilateral) | 0,002 | 0,000 | 0,000 | 0,005 | 0,059 | 0,167 | 0,001 | 0,000 | 0,506 | 0,000 | 0,005 | 0,894 | 0,000 | 0,002 | 0,000 | 0,000 | 0,000 | 0,000 | 0,313 | 0,484 | 0,261 |
| | N | 502 | 502 | 502 | 502 | 502 | 502 | 502 | 502 | 502 | 502 | 502 | 502 | 502 | 502 | 502 | 502 | 502 | 502 | 502 | 502 | 502 |
| [11] | Correlación de Pearson | ,230** | ,256** | -0,037 | ,172** | 0,001 | ,576** | ,208** | ,153** | ,329** | ,184** | ,264** | ,373** | ,254** | ,150** | -,160** | -,239** | -,183** | -,115* | ,346** | ,237** | ,442** |
| | Sig. (bilateral) | 0,000 | 0,000 | 0,413 | 0,000 | 0,975 | 0,000 | 0,000 | 0,001 | 0,000 | 0,000 | 0,000 | 0,000 | 0,000 | 0,001 | 0,000 | 0,000 | 0,000 | 0,010 | 0,000 | 0,000 | 0,000 |
| | N | 502 | 502 | 502 | 502 | 502 | 502 | 502 | 502 | 502 | 502 | 502 | 502 | 502 | 502 | 502 | 502 | 502 | 502 | 502 | 502 | 502 |
| [12] | Correlación de Pearson | ,106* | ,178** | ,200** | ,127** | 0,056 | ,165** | -,213** | ,410** | ,095* | ,165** | ,115** | ,091* | ,158** | 0,085 | ,189** | ,144** | -0,020 | 0,066 | 0,074 | 0,080 | -0,026 |
| | Sig. (bilateral) | 0,018 | 0,000 | 0,000 | 0,004 | 0,212 | 0,000 | 0,000 | 0,000 | 0,033 | 0,000 | 0,010 | 0,041 | 0,000 | 0,057 | 0,000 | 0,001 | 0,651 | 0,141 | 0,099 | 0,073 | 0,568 |
| | N | 502 | 502 | 502 | 502 | 502 | 502 | 502 | 502 | 502 | 502 | 502 | 502 | 502 | 502 | 502 | 502 | 502 | 502 | 502 | 502 | 502 |
| [13] | Correlación de Pearson | ,095* | ,128** | ,210** | ,184** | -0,022 | ,226** | -,232** | ,372** | ,089* | ,138** | 0,059 | 0,080 | ,210** | ,127** | ,223** | ,177** | -0,011 | 0,008 | 0,062 | 0,080 | 0,023 |
| | Sig. (bilateral) | 0,034 | 0,004 | 0,000 | 0,000 | 0,627 | 0,000 | 0,000 | 0,000 | 0,047 | 0,002 | 0,185 | 0,074 | 0,000 | 0,004 | 0,000 | 0,000 | 0,801 | 0,852 | 0,163 | 0,074 | 0,600 |
| | N | 502 | 502 | 502 | 502 | 502 | 502 | 502 | 502 | 502 | 502 | 502 | 502 | 502 | 502 | 502 | 502 | 502 | 502 | 502 | 502 | 502 |
| [14] | Correlación de Pearson | ,503** | ,581** | 0,018 | ,248** | ,150** | ,368** | ,116** | ,389** | ,434** | ,490** | ,551** | ,426** | ,375** | ,145** | 0,058 | -0,061 | -,115** | -,126** | ,160** | 0,087 | ,301** |
| | Sig. (bilateral) | 0,000 | 0,000 | 0,690 | 0,000 | 0,001 | 0,000 | 0,009 | 0,000 | 0,000 | 0,000 | 0,000 | 0,000 | 0,000 | 0,001 | 0,195 | 0,173 | 0,010 | 0,005 | 0,000 | 0,050 | 0,000 |
| | N | 502 | 502 | 502 | 502 | 502 | 502 | 502 | 502 | 502 | 502 | 502 | 502 | 502 | 502 | 502 | 502 | 502 | 502 | 502 | 502 | 502 |
| [15] | Correlación de Pearson | ,523** | ,493** | 0,005 | ,188** | ,106* | ,209** | ,104* | ,349** | ,213** | ,417** | ,610** | ,344** | ,222** | ,090* | 0,022 | -,124** | -0,042 | -0,061 | 0,048 | 0,020 | ,139** |
| | Sig. (bilateral) | 0,000 | 0,000 | 0,918 | 0,000 | 0,018 | 0,000 | 0,020 | 0,000 | 0,000 | 0,000 | 0,000 | 0,000 | 0,000 | 0,044 | 0,617 | 0,005 | 0,344 | 0,171 | 0,284 | 0,663 | 0,002 |
| | N | 502 | 502 | 502 | 502 | 502 | 502 | 502 | 502 | 502 | 502 | 502 | 502 | 502 | 502 | 502 | 502 | 502 | 502 | 502 | 502 | 502 |
| [16] | Correlación de Pearson | ,609** | ,720** | 0,072 | ,252** | 0,060 | ,360** | 0,052 | ,493** | ,342** | ,614** | ,683** | ,517** | ,340** | ,248** | ,208** | -0,012 | -,097* | -0,057 | ,118** | ,096* | ,267** |
| | Sig. (bilateral) | 0,000 | 0,000 | 0,106 | 0,000 | 0,180 | 0,000 | 0,243 | 0,000 | 0,000 | 0,000 | 0,000 | 0,000 | 0,000 | 0,000 | 0,000 | 0,790 | 0,030 | 0,203 | 0,008 | 0,031 | 0,000 |
| | N | 502 | 502 | 502 | 502 | 502 | 502 | 502 | 502 | 502 | 502 | 502 | 502 | 502 | 502 | 502 | 502 | 502 | 502 | 502 | 502 | 502 |
| [17] | Correlación de Pearson | ,132** | ,111* | ,532** | ,164** | ,116** | 0,045 | 0,031 | ,234** | 0,058 | ,103* | 0,002 | -,095* | ,172** | ,161** | ,197** | ,247** | -0,033 | -0,005 | 0,003 | 0,002 | -0,027 |
| | | [43] | [44] | [45] | [46] | [47] | [48] | [49] | [50] | [51] | [52] | [53] | [54] | [55] | [56] | [57] | [58] | [59] | [60] | [61] | [62] | [63] |
| | Sig. (bilateral) | 0,003 | 0,013 | 0,000 | 0,000 | 0,009 | 0,313 | 0,485 | 0,000 | 0,196 | 0,021 | 0,957 | 0,033 | 0,000 | 0,000 | 0,000 | 0,000 | 0,462 | 0,906 | 0,955 | 0,957 | 0,546 |
| | N | 502 | 502 | 502 | 502 | 502 | 502 | 502 | 502 | 502 | 502 | 502 | 502 | 502 | 502 | 502 | 502 | 502 | 502 | 502 | 502 | 502 |

| | | | | | | | | | | | | | | | | | | | | | | | |
|---|---|---|---|---|---|---|---|---|---|---|---|---|---|---|---|---|---|---|---|---|---|---|---|
| [18] | Correlación de Pearson | ,471** | ,425** | ,089* | ,409** | -0,016 | ,319** | -0,019 | ,407** | ,339** | ,370** | ,317** | ,380** | ,432** | ,287** | 0,013 | -,261** | -,111* | -,095* | ,222** | ,188** | ,239** |
| | Sig. (bilateral) | 0,000 | 0,000 | 0,046 | 0,000 | 0,717 | 0,000 | 0,669 | 0,000 | 0,000 | 0,000 | 0,000 | 0,000 | 0,000 | 0,000 | 0,774 | 0,000 | 0,013 | 0,034 | 0,000 | 0,000 | 0,000 |
| | N | 502 | 502 | 502 | 502 | 502 | 502 | 502 | 502 | 502 | 502 | 502 | 502 | 502 | 502 | 502 | 502 | 502 | 502 | 502 | 502 | 502 |
| [19] | Correlación de Pearson | ,205** | ,247** | 0,072 | ,224** | -0,078 | ,293** | 0,046 | ,237** | ,253** | ,323** | ,261** | ,326** | ,217** | ,265** | ,148** | -0,084 | -,122** | -0,085 | ,166** | ,116** | ,164** |
| | Sig. (bilateral) | 0,000 | 0,000 | 0,106 | 0,000 | 0,081 | 0,000 | 0,307 | 0,000 | 0,000 | 0,000 | 0,000 | 0,000 | 0,000 | 0,000 | 0,001 | 0,061 | 0,006 | 0,058 | 0,000 | 0,009 | 0,000 |
| | N | 502 | 502 | 502 | 502 | 502 | 502 | 502 | 502 | 502 | 502 | 502 | 502 | 502 | 502 | 502 | 502 | 502 | 502 | 502 | 502 | 502 |
| [20] | Correlación de Pearson | ,174** | ,231** | ,227** | ,263** | 0,047 | ,125** | -0,078 | ,320** | ,231** | ,335** | ,220** | ,136** | ,449** | ,189** | ,277** | ,226** | ,133** | 0,037 | 0,025 | 0,077 | 0,087 |
| | Sig. (bilateral) | 0,000 | 0,000 | 0,000 | 0,000 | 0,297 | 0,005 | 0,082 | 0,000 | 0,000 | 0,000 | 0,000 | 0,002 | 0,000 | 0,000 | 0,000 | 0,000 | 0,003 | 0,414 | 0,581 | 0,087 | 0,051 |
| | N | 502 | 502 | 502 | 502 | 502 | 502 | 502 | 502 | 502 | 502 | 502 | 502 | 502 | 502 | 502 | 502 | 502 | 502 | 502 | 502 | 502 |
| [21] | Correlación de Pearson | ,210** | ,243** | ,108* | ,182** | -0,006 | ,727** | 0,084 | ,319** | ,366** | ,341** | ,201** | ,362** | ,232** | ,227** | 0,085 | -0,011 | -,140** | -0,069 | ,423** | ,259** | ,346** |
| | Sig. (bilateral) | 0,000 | 0,000 | 0,016 | 0,000 | 0,897 | 0,000 | 0,060 | 0,000 | 0,000 | 0,000 | 0,000 | 0,000 | 0,000 | 0,000 | 0,056 | 0,800 | 0,002 | 0,124 | 0,000 | 0,000 | 0,000 |
| | N | 502 | 502 | 502 | 502 | 502 | 502 | 502 | 502 | 502 | 502 | 502 | 502 | 502 | 502 | 502 | 502 | 502 | 502 | 502 | 502 | 502 |
| [22] | Correlación de Pearson | ,250** | ,192** | ,177** | ,222** | 0,044 | ,257** | -,284** | ,482** | ,240** | ,267** | ,153** | ,245** | ,214** | ,140** | ,160** | 0,017 | -0,008 | -0,023 | ,109* | ,132** | 0,071 |
| | Sig. (bilateral) | 0,000 | 0,000 | 0,000 | 0,000 | 0,322 | 0,000 | 0,000 | 0,000 | 0,000 | 0,000 | 0,001 | 0,000 | 0,000 | 0,002 | 0,000 | 0,701 | 0,864 | 0,602 | 0,014 | 0,003 | 0,111 |
| | N | 502 | 502 | 502 | 502 | 502 | 502 | 502 | 502 | 502 | 502 | 502 | 502 | 502 | 502 | 502 | 502 | 502 | 502 | 502 | 502 | 502 |
| [23] | Correlación de Pearson | 0,036 | -0,023 | 0,017 | 0,021 | 0,084 | 0,024 | ,089* | -0,043 | -0,002 | 0,014 | -0,033 | -0,021 | 0,052 | -0,057 | -0,058 | -0,060 | -0,002 | 0,013 | 0,072 | 0,054 | 0,057 |
| | Sig. (bilateral) | 0,421 | 0,606 | 0,698 | 0,638 | 0,059 | 0,592 | 0,046 | 0,335 | 0,965 | 0,746 | 0,458 | 0,640 | 0,245 | 0,203 | 0,194 | 0,176 | 0,963 | 0,775 | 0,109 | 0,229 | 0,200 |
| | N | 502 | 502 | 502 | 502 | 502 | 502 | 502 | 502 | 502 | 502 | 502 | 502 | 502 | 502 | 502 | 502 | 502 | 502 | 502 | 502 | 502 |
| [24] | Correlación de Pearson | ,583** | ,560** | ,106* | ,232** | ,157** | ,409** | ,093* | ,447** | ,436** | ,504** | ,446** | ,378** | ,317** | ,128** | ,140** | 0,017 | -0,081 | -,090* | ,179** | ,176** | ,322** |
| | Sig. (bilateral) | 0,000 | 0,000 | 0,018 | 0,000 | 0,000 | 0,000 | 0,038 | 0,000 | 0,000 | 0,000 | 0,000 | 0,000 | 0,000 | 0,004 | 0,002 | 0,704 | 0,068 | 0,044 | 0,000 | 0,000 | 0,000 |
| | N | 502 | 502 | 502 | 502 | 502 | 502 | 502 | 502 | 502 | 502 | 502 | 502 | 502 | 502 | 502 | 502 | 502 | 502 | 502 | 502 | 502 |
| [25] | Correlación de Pearson | -0,080 | -0,034 | 0,075 | 0,083 | 0,050 | ,181** | ,226** | 0,015 | ,145** | -0,008 | -0,047 | ,095* | 0,072 | ,112* | -0,030 | 0,017 | -,103* | -0,074 | -0,060 | 0,022 | 0,018 |
| | Sig. (bilateral) | 0,073 | 0,453 | 0,092 | 0,062 | 0,261 | 0,000 | 0,000 | 0,732 | 0,001 | 0,862 | 0,294 | 0,034 | 0,106 | 0,012 | 0,503 | 0,707 | 0,021 | 0,096 | 0,183 | 0,619 | 0,680 |
| | N | 502 | 502 | 502 | 502 | 502 | 502 | 502 | 502 | 502 | 502 | 502 | 502 | 502 | 502 | 502 | 502 | 502 | 502 | 502 | 502 | 502 |
| [26] | Correlación de Pearson | ,590** | ,656** | 0,018 | ,217** | ,128** | ,330** | ,135** | ,449** | ,345** | ,553** | ,616** | ,458** | ,322** | ,169** | ,108* | -0,084 | -0,070 | -0,028 | ,113* | 0,040 | ,224** |
| | Sig. (bilateral) | 0,000 | 0,000 | 0,681 | 0,000 | 0,004 | 0,000 | 0,002 | 0,000 | 0,000 | 0,000 | 0,000 | 0,000 | 0,000 | 0,000 | 0,015 | 0,061 | 0,116 | 0,526 | 0,011 | 0,370 | 0,000 |
| | N | 502 | 502 | 502 | 502 | 502 | 502 | 502 | 502 | 502 | 502 | 502 | 502 | 502 | 502 | 502 | 502 | 502 | 502 | 502 | 502 | 502 |
| [27] | Correlación de Pearson | ,154** | ,118** | -,235** | ,114* | ,090* | ,134** | 0,061 | 0,082 | ,242** | ,151** | ,145** | ,289** | ,147** | 0,049 | -0,072 | -,264** | 0,014 | -0,001 | ,144** | ,134** | ,167** |
| | | [43] | [44] | [45] | [46] | [47] | [48] | [49] | [50] | [51] | [52] | [53] | [54] | [55] | [56] | [57] | [58] | [59] | [60] | [61] | [62] | [63] |
| | Sig. (bilateral) | 0,001 | 0,008 | 0,000 | 0,010 | 0,043 | 0,003 | 0,173 | 0,065 | 0,000 | 0,001 | 0,001 | 0,000 | 0,001 | 0,278 | 0,107 | 0,000 | 0,755 | 0,988 | 0,001 | 0,003 | 0,000 |
| | N | 502 | 502 | 502 | 502 | 502 | 502 | 502 | 502 | 502 | 502 | 502 | 502 | 502 | 502 | 502 | 502 | 502 | 502 | 502 | 502 | 502 |

| | | | | | | | | | | | | | | | | | | | | | | |
|---|---|---|---|---|---|---|---|---|---|---|---|---|---|---|---|---|---|---|---|---|---|---|
| [28] | Correlación de Pearson | 0,077 | ,120** | -,192** | -0,023 | ,111* | ,202** | ,099* | 0,031 | ,224** | ,127** | 0,081 | ,303** | ,118** | -0,007 | -,165** | -,155** | -0,048 | -0,051 | ,161** | 0,087 | ,128** |
| | Sig. (bilateral) | 0,084 | 0,007 | 0,000 | 0,611 | 0,013 | 0,000 | 0,026 | 0,485 | 0,000 | 0,004 | 0,070 | 0,000 | 0,008 | 0,879 | 0,000 | 0,001 | 0,280 | 0,250 | 0,000 | 0,053 | 0,004 |
| | N | 502 | 502 | 502 | 502 | 502 | 502 | 502 | 502 | 502 | 502 | 502 | 502 | 502 | 502 | 502 | 502 | 502 | 502 | 502 | 502 | 502 |
| [29] | Correlación de Pearson | ,293** | ,305** | ,091* | ,237** | -0,008 | ,229** | 0,041 | ,334** | ,248** | ,453** | ,321** | ,253** | ,324** | ,276** | ,251** | 0,072 | 0,000 | -0,019 | 0,064 | -0,003 | ,158** |
| | Sig. (bilateral) | 0,000 | 0,000 | 0,041 | 0,000 | 0,861 | 0,000 | 0,355 | 0,000 | 0,000 | 0,000 | 0,000 | 0,000 | 0,000 | 0,000 | 0,000 | 0,107 | 0,992 | 0,668 | 0,153 | 0,953 | 0,000 |
| | N | 502 | 502 | 502 | 502 | 502 | 502 | 502 | 502 | 502 | 502 | 502 | 502 | 502 | 502 | 502 | 502 | 502 | 502 | 502 | 502 | 502 |
| 30] | Correlación de Pearson | ,251** | ,313** | -0,006 | ,209** | -0,027 | ,679** | ,179** | ,225** | ,407** | ,274** | ,281** | ,482** | ,306** | ,267** | -0,079 | -,190** | -,230** | -,154** | ,353** | ,286** | ,492** |
| | Sig. (bilateral) | 0,000 | 0,000 | 0,893 | 0,000 | 0,548 | 0,000 | 0,000 | 0,000 | 0,000 | 0,000 | 0,000 | 0,000 | 0,000 | 0,000 | 0,078 | 0,000 | 0,000 | 0,001 | 0,000 | 0,000 | 0,000 |
| | N | 502 | 502 | 502 | 502 | 502 | 502 | 502 | 502 | 502 | 502 | 502 | 502 | 502 | 502 | 502 | 502 | 502 | 502 | 502 | 502 | 502 |
| [31] | Correlación de Pearson | ,230** | ,225** | ,106* | ,319** | 0,047 | ,254** | -,113* | ,393** | ,271** | ,151** | ,164** | ,204** | ,310** | ,184** | 0,058 | -0,062 | -0,087 | -,089* | 0,086 | ,140** | ,165** |
| | Sig. (bilateral) | 0,000 | 0,000 | 0,018 | 0,000 | 0,294 | 0,000 | 0,011 | 0,000 | 0,000 | 0,001 | 0,000 | 0,000 | 0,000 | 0,000 | 0,198 | 0,165 | 0,050 | 0,046 | 0,053 | 0,002 | 0,000 |
| | N | 502 | 502 | 502 | 502 | 502 | 502 | 502 | 502 | 502 | 502 | 502 | 502 | 502 | 502 | 502 | 502 | 502 | 502 | 502 | 502 | 502 |
| [32] | Correlación de Pearson | 0,078 | 0,079 | 0,066 | -0,027 | ,169** | ,138** | ,406** | -0,057 | ,117** | ,112* | 0,070 | ,169** | 0,082 | ,097* | -0,023 | -0,062 | -0,070 | -0,034 | 0,016 | -0,046 | ,123** |
| | Sig. (bilateral) | 0,082 | 0,076 | 0,142 | 0,553 | 0,000 | 0,002 | 0,000 | 0,204 | 0,009 | 0,012 | 0,115 | 0,000 | 0,066 | 0,029 | 0,604 | 0,167 | 0,117 | 0,445 | 0,726 | 0,304 | 0,006 |
| | N | 502 | 502 | 502 | 502 | 502 | 502 | 502 | 502 | 502 | 502 | 502 | 502 | 502 | 502 | 502 | 502 | 502 | 502 | 502 | 502 | 502 |
| [33] | Correlación de Pearson | ,534** | ,481** | -0,014 | ,115* | ,145** | ,282** | ,120** | ,276** | ,328** | ,422** | ,590** | ,386** | ,252** | 0,079 | -0,042 | -,130** | -0,060 | -0,069 | ,112* | 0,074 | ,271** |
| | Sig. (bilateral) | 0,000 | 0,000 | 0,760 | 0,010 | 0,001 | 0,000 | 0,007 | 0,000 | 0,000 | 0,000 | 0,000 | 0,000 | 0,000 | 0,076 | 0,345 | 0,004 | 0,180 | 0,124 | 0,012 | 0,099 | 0,000 |
| | N | 502 | 502 | 502 | 502 | 502 | 502 | 502 | 502 | 502 | 502 | 502 | 502 | 502 | 502 | 502 | 502 | 502 | 502 | 502 | 502 | 502 |
| [34] | Correlación de Pearson | -0,016 | -0,011 | 0,033 | ,100* | 0,072 | 0,012 | -0,037 | -0,015 | 0,018 | -0,012 | -0,009 | 0,016 | 0,038 | 0,077 | -,153** | -,133** | -0,011 | 0,038 | -0,008 | 0,035 | 0,058 |
| | Sig. (bilateral) | 0,729 | 0,798 | 0,466 | 0,025 | 0,105 | 0,783 | 0,413 | 0,739 | 0,684 | 0,792 | 0,842 | 0,719 | 0,396 | 0,086 | 0,001 | 0,003 | 0,799 | 0,393 | 0,855 | 0,439 | 0,192 |
| | N | 502 | 502 | 502 | 502 | 502 | 502 | 502 | 502 | 502 | 502 | 502 | 502 | 502 | 502 | 502 | 502 | 502 | 502 | 502 | 502 | 502 |
| [35] | Correlación de Pearson | ,661** | ,676** | 0,042 | ,299** | ,129** | ,314** | 0,086 | ,494** | ,373** | ,567** | ,645** | ,484** | ,396** | ,213** | ,173** | -0,057 | -0,039 | -0,041 | ,111* | 0,047 | ,223** |
| | Sig. (bilateral) | 0,000 | 0,000 | 0,345 | 0,000 | 0,004 | 0,000 | 0,055 | 0,000 | 0,000 | 0,000 | 0,000 | 0,000 | 0,000 | 0,000 | 0,000 | 0,203 | 0,386 | 0,357 | 0,012 | 0,289 | 0,000 |
| | N | 502 | 502 | 502 | 502 | 502 | 502 | 502 | 502 | 502 | 502 | 502 | 502 | 502 | 502 | 502 | 502 | 502 | 502 | 502 | 502 | 502 |
| [36] | Correlación de Pearson | ,116** | ,159** | ,351** | ,110* | ,196** | -0,033 | -0,026 | ,230** | 0,070 | ,127** | 0,050 | -0,046 | ,161** | 0,039 | ,147** | ,141** | 0,019 | -0,009 | -,156** | -0,014 | -0,073 |
| | Sig. (bilateral) | 0,010 | 0,000 | 0,000 | 0,014 | 0,000 | 0,467 | 0,568 | 0,000 | 0,115 | 0,004 | 0,260 | 0,300 | 0,000 | 0,382 | 0,001 | 0,002 | 0,673 | 0,843 | 0,000 | 0,759 | 0,104 |
| | N | 502 | 502 | 502 | 502 | 502 | 502 | 502 | 502 | 502 | 502 | 502 | 502 | 502 | 502 | 502 | 502 | 502 | 502 | 502 | 502 | 502 |
| [37] | Correlación de Pearson | 0,059 | 0,037 | ,245** | -,183** | ,375** | 0,012 | ,158** | ,116** | 0,076 | 0,028 | -0,054 | -0,022 | 0,006 | -,110* | ,096* | ,153** | 0,000 | 0,007 | -0,086 | -,153** | -0,059 |
| | | [43] | [44] | [45] | [46] | [47] | [48] | [49] | [50] | [51] | [52] | [53] | [54] | [55] | [56] | [57] | [58] | [59] | [60] | [61] | [62] | [63] |
| | Sig. (bilateral) | 0,189 | 0,404 | 0,000 | 0,000 | 0,000 | 0,793 | 0,000 | 0,009 | 0,090 | 0,534 | 0,229 | 0,627 | 0,886 | 0,014 | 0,031 | 0,001 | 0,997 | 0,878 | 0,054 | 0,001 | 0,184 |
| | N | 502 | 502 | 502 | 502 | 502 | 502 | 502 | 502 | 502 | 502 | 502 | 502 | 502 | 502 | 502 | 502 | 502 | 502 | 502 | 502 | 502 |

| | | | | | | | | | | | | | | | | | | | | | | | |
|---|---|---|---|---|---|---|---|---|---|---|---|---|---|---|---|---|---|---|---|---|---|---|---|
| [38] | Correlación de Pearson | ,300** | ,367** | 0,078 | ,213** | -0,021 | ,343** | 0,008 | ,334** | ,306** | ,444** | ,291** | ,370** | ,335** | ,294** | ,326** | ,119** | -0,047 | -0,016 | ,155** | 0,051 | ,204** |
| | Sig. (bilateral) | 0,000 | 0,000 | 0,081 | 0,000 | 0,641 | 0,000 | 0,855 | 0,000 | 0,000 | 0,000 | 0,000 | 0,000 | 0,000 | 0,000 | 0,000 | 0,008 | 0,291 | 0,712 | 0,000 | 0,252 | 0,000 |
| | N | 502 | 502 | 502 | 502 | 502 | 502 | 502 | 502 | 502 | 502 | 502 | 502 | 502 | 502 | 502 | 502 | 502 | 502 | 502 | 502 | 502 |
| [39] | Correlación de Pearson | ,357** | ,365** | 0,022 | ,224** | 0,042 | ,606** | 0,079 | ,264** | ,402** | ,304** | ,262** | ,479** | ,317** | ,227** | -,096* | -,261** | -,213** | -,147** | ,345** | ,282** | ,475** |
| | Sig. (bilateral) | 0,000 | 0,000 | 0,618 | 0,000 | 0,347 | 0,000 | 0,075 | 0,000 | 0,000 | 0,000 | 0,000 | 0,000 | 0,000 | 0,000 | 0,032 | 0,000 | 0,000 | 0,001 | 0,000 | 0,000 | 0,000 |
| | N | 502 | 502 | 502 | 502 | 502 | 502 | 502 | 502 | 502 | 502 | 502 | 502 | 502 | 502 | 502 | 502 | 502 | 502 | 502 | 502 | 502 |
| [40] | Correlación de Pearson | ,234** | ,204** | -0,002 | ,132** | ,106* | ,404** | ,353** | 0,058 | ,276** | ,214** | ,222** | ,312** | ,197** | ,185** | -,118** | -,204** | -0,065 | -0,058 | ,261** | ,167** | ,308** |
| | Sig. (bilateral) | 0,000 | 0,000 | 0,971 | 0,003 | 0,018 | 0,000 | 0,000 | 0,193 | 0,000 | 0,000 | 0,000 | 0,000 | 0,000 | 0,000 | 0,008 | 0,000 | 0,148 | 0,197 | 0,000 | 0,000 | 0,000 |
| | N | 502 | 502 | 502 | 502 | 502 | 502 | 502 | 502 | 502 | 502 | 502 | 502 | 502 | 502 | 502 | 502 | 502 | 502 | 502 | 502 | 502 |
| [41] | Correlación de Pearson | ,204** | ,184** | ,158** | ,327** | -0,058 | ,206** | -,159** | ,356** | ,258** | ,225** | ,149** | ,175** | ,236** | ,230** | ,136** | -0,024 | -0,050 | -0,074 | ,131** | ,278** | ,162** |
| | Sig. (bilateral) | 0,000 | 0,000 | 0,000 | 0,000 | 0,193 | 0,000 | 0,000 | 0,000 | 0,000 | 0,000 | 0,001 | 0,000 | 0,000 | 0,000 | 0,002 | 0,599 | 0,260 | 0,099 | 0,003 | 0,000 | 0,000 |
| | N | 502 | 502 | 502 | 502 | 502 | 502 | 502 | 502 | 502 | 502 | 502 | 502 | 502 | 502 | 502 | 502 | 502 | 502 | 502 | 502 | 502 |
| [42] | Correlación de Pearson | ,327** | ,328** | -0,006 | ,239** | 0,012 | ,722** | ,162** | ,253** | ,431** | ,265** | ,243** | ,463** | ,276** | ,244** | -,102* | -,190** | -,190** | -,153** | ,438** | ,314** | ,540** |
| | Sig. (bilateral) | 0,000 | 0,000 | 0,891 | 0,000 | 0,786 | 0,000 | 0,000 | 0,000 | 0,000 | 0,000 | 0,000 | 0,000 | 0,000 | 0,000 | 0,022 | 0,000 | 0,000 | 0,001 | 0,000 | 0,000 | 0,000 |
| | N | 502 | 502 | 502 | 502 | 502 | 502 | 502 | 502 | 502 | 502 | 502 | 502 | 502 | 502 | 502 | 502 | 502 | 502 | 502 | 502 | 502 |
| [43] | Correlación de Pearson | 1 | ,640** | ,154** | ,307** | ,147** | ,317** | 0,037 | ,482** | ,359** | ,521** | ,543** | ,400** | ,348** | ,166** | ,112* | -,099* | -0,082 | -0,071 | ,096* | ,092* | ,258** |
| | Sig. (bilateral) | | 0,000 | 0,001 | 0,000 | 0,001 | 0,000 | 0,414 | 0,000 | 0,000 | 0,000 | 0,000 | 0,000 | 0,000 | 0,000 | 0,012 | 0,026 | 0,068 | 0,113 | 0,031 | 0,039 | 0,000 |
| | N | 502 | 502 | 502 | 502 | 502 | 502 | 502 | 502 | 502 | 502 | 502 | 502 | 502 | 502 | 502 | 502 | 502 | 502 | 502 | 502 | 502 |
| [44] | Correlación de Pearson | ,640** | 1 | ,154** | ,249** | ,151** | ,333** | 0,077 | ,528** | ,349** | ,570** | ,606** | ,482** | ,335** | ,189** | ,138** | -0,030 | -,103* | -0,074 | ,128** | ,135** | ,267** |
| | Sig. (bilateral) | 0,000 | | 0,001 | 0,000 | 0,001 | 0,000 | 0,085 | 0,000 | 0,000 | 0,000 | 0,000 | 0,000 | 0,000 | 0,000 | 0,002 | 0,501 | 0,021 | 0,096 | 0,004 | 0,002 | 0,000 |
| | N | 502 | 502 | 502 | 502 | 502 | 502 | 502 | 502 | 502 | 502 | 502 | 502 | 502 | 502 | 502 | 502 | 502 | 502 | 502 | 502 | 502 |
| [45] | Correlación de Pearson | ,154** | ,154** | 1 | ,269** | ,137** | 0,077 | ,109* | ,190** | -0,001 | ,088* | -0,006 | -0,074 | ,151** | ,179** | ,206** | ,207** | -0,054 | 0,014 | -0,071 | 0,013 | -0,052 |
| | Sig. (bilateral) | 0,001 | 0,001 | | 0,000 | 0,002 | 0,083 | 0,015 | 0,000 | 0,974 | 0,048 | 0,893 | 0,097 | 0,001 | 0,000 | 0,000 | 0,000 | 0,229 | 0,760 | 0,112 | 0,775 | 0,244 |
| | N | 502 | 502 | 502 | 502 | 502 | 502 | 502 | 502 | 502 | 502 | 502 | 502 | 502 | 502 | 502 | 502 | 502 | 502 | 502 | 502 | 502 |
| [46] | Correlación de Pearson | ,307** | ,249** | ,269** | 1 | -,116** | ,225** | 0,027 | ,365** | ,238** | ,268** | ,274** | ,244** | ,450** | ,422** | 0,069 | -,111* | -0,058 | -0,064 | ,147** | ,181** | ,171** |
| | Sig. (bilateral) | 0,000 | 0,000 | 0,000 | | 0,009 | 0,000 | 0,546 | 0,000 | 0,000 | 0,000 | 0,000 | 0,000 | 0,000 | 0,000 | 0,124 | 0,013 | 0,193 | 0,153 | 0,001 | 0,000 | 0,000 |
| | N | 502 | 502 | 502 | 502 | 502 | 502 | 502 | 502 | 502 | 502 | 502 | 502 | 502 | 502 | 502 | 502 | 502 | 502 | 502 | 502 | 502 |
| [47] | Correlación de Pearson | ,147** | ,151** | ,137** | -,116** | 1 | -0,012 | ,115** | 0,084 | 0,086 | ,131** | 0,058 | 0,062 | 0,064 | -,171** | 0,077 | 0,085 | 0,049 | -0,003 | -,114* | -0,063 | 0,027 |
| | | [43] | [44] | [45] | [46] | [47] | [48] | [49] | [50] | [51] | [52] | [53] | [54] | [55] | [56] | [57] | [58] | [59] | [60] | [61] | [62] | [63] |
| | Sig. (bilateral) | 0,001 | 0,001 | 0,002 | 0,009 | | 0,793 | 0,010 | 0,060 | 0,055 | 0,003 | 0,196 | 0,164 | 0,153 | 0,000 | 0,083 | 0,057 | 0,269 | 0,938 | 0,010 | 0,157 | 0,544 |
| | N | 502 | 502 | 502 | 502 | 502 | 502 | 502 | 502 | 502 | 502 | 502 | 502 | 502 | 502 | 502 | 502 | 502 | 502 | 502 | 502 | 502 |

| | | | | | | | | | | | | | | | | | | | | | | |
|---|---|---|---|---|---|---|---|---|---|---|---|---|---|---|---|---|---|---|---|---|---|---|
| [48] | Correlación de Pearson | ,317** | ,333** | 0,077 | ,225** | -0,012 | 1 | 0,080 | ,389** | ,456** | ,376** | ,260** | ,460** | ,328** | ,285** | 0,067 | -0,065 | -,196** | -,104* | ,471** | ,251** | ,441** |
| | Sig. (bilateral) | 0,000 | 0,000 | 0,083 | 0,000 | 0,793 | | 0,073 | 0,000 | 0,000 | 0,000 | 0,000 | 0,000 | 0,000 | 0,000 | 0,131 | 0,149 | 0,000 | 0,020 | 0,000 | 0,000 | 0,000 |
| | N | 502 | 502 | 502 | 502 | 502 | 502 | 502 | 502 | 502 | 502 | 502 | 502 | 502 | 502 | 502 | 502 | 502 | 502 | 502 | 502 | 502 |
| [49] | Correlación de Pearson | 0,037 | 0,077 | ,109* | 0,027 | ,115** | 0,080 | 1 | -,136** | 0,052 | 0,036 | ,112* | 0,051 | -0,026 | ,130** | -0,038 | -0,016 | -0,044 | 0,038 | 0,068 | -0,050 | 0,029 |
| | Sig. (bilateral) | 0,414 | 0,085 | 0,015 | 0,546 | 0,010 | 0,073 | | 0,002 | 0,247 | 0,423 | 0,012 | 0,252 | 0,568 | 0,004 | 0,392 | 0,719 | 0,328 | 0,393 | 0,129 | 0,265 | 0,512 |
| | N | 502 | 502 | 502 | 502 | 502 | 502 | 502 | 502 | 502 | 502 | 502 | 502 | 502 | 502 | 502 | 502 | 502 | 502 | 502 | 502 | 502 |
| [50] | Correlación de Pearson | ,482** | ,528** | ,190** | ,365** | 0,084 | ,389** | -,136** | 1 | ,389** | ,494** | ,399** | ,390** | ,383** | ,212** | ,243** | 0,027 | -,100* | -0,058 | 0,079 | ,100* | ,170** |
| | Sig. (bilateral) | 0,000 | 0,000 | 0,000 | 0,000 | 0,060 | 0,000 | 0,002 | | 0,000 | 0,000 | 0,000 | 0,000 | 0,000 | 0,000 | 0,000 | 0,541 | 0,025 | 0,191 | 0,077 | 0,025 | 0,000 |
| | N | 502 | 502 | 502 | 502 | 502 | 502 | 502 | 502 | 502 | 502 | 502 | 502 | 502 | 502 | 502 | 502 | 502 | 502 | 502 | 502 | 502 |
| [51] | Correlación de Pearson | ,359** | ,349** | -0,001 | ,238** | 0,086 | ,456** | 0,052 | ,389** | 1 | ,513** | ,290** | ,456** | ,369** | ,186** | 0,046 | -,103* | -,132** | -,180** | ,250** | ,199** | ,360** |
| | Sig. (bilateral) | 0,000 | 0,000 | 0,974 | 0,000 | 0,055 | 0,000 | 0,247 | 0,000 | | 0,000 | 0,000 | 0,000 | 0,000 | 0,000 | 0,302 | 0,021 | 0,003 | 0,000 | 0,000 | 0,000 | 0,000 |
| | N | 502 | 502 | 502 | 502 | 502 | 502 | 502 | 502 | 502 | 502 | 502 | 502 | 502 | 502 | 502 | 502 | 502 | 502 | 502 | 502 | 502 |
| [52] | Correlación de Pearson | ,521** | ,570** | ,088* | ,268** | ,131** | ,376** | 0,036 | ,494** | ,513** | 1 | ,549** | ,526** | ,461** | ,242** | ,237** | 0,021 | -0,033 | -0,070 | ,151** | 0,070 | ,234** |
| | Sig. (bilateral) | 0,000 | 0,000 | 0,048 | 0,000 | 0,003 | 0,000 | 0,423 | 0,000 | 0,000 | | 0,000 | 0,000 | 0,000 | 0,000 | 0,000 | 0,641 | 0,464 | 0,117 | 0,001 | 0,119 | 0,000 |
| | N | 502 | 502 | 502 | 502 | 502 | 502 | 502 | 502 | 502 | 502 | 502 | 502 | 502 | 502 | 502 | 502 | 502 | 502 | 502 | 502 | 502 |
| [53] | Correlación de Pearson | ,543** | ,606** | -0,006 | ,274** | 0,058 | ,260** | ,112* | ,399** | ,290** | ,549** | 1 | ,472** | ,382** | ,246** | ,094* | -,107* | -0,028 | -0,031 | ,090* | 0,032 | ,223** |
| | Sig. (bilateral) | 0,000 | 0,000 | 0,893 | 0,000 | 0,196 | 0,000 | 0,012 | 0,000 | 0,000 | 0,000 | | 0,000 | 0,000 | 0,000 | 0,034 | 0,016 | 0,529 | 0,490 | 0,044 | 0,472 | 0,000 |
| | N | 502 | 502 | 502 | 502 | 502 | 502 | 502 | 502 | 502 | 502 | 502 | 502 | 502 | 502 | 502 | 502 | 502 | 502 | 502 | 502 | 502 |
| [54] | Correlación de Pearson | ,400** | ,482** | -0,074 | ,244** | 0,062 | ,460** | 0,051 | ,390** | ,456** | ,526** | ,472** | 1 | ,464** | ,216** | 0,026 | -,115** | -,194** | -,192** | ,259** | ,168** | ,353** |
| | Sig. (bilateral) | 0,000 | 0,000 | 0,097 | 0,000 | 0,164 | 0,000 | 0,252 | 0,000 | 0,000 | 0,000 | 0,000 | | 0,000 | 0,000 | 0,567 | 0,010 | 0,000 | 0,000 | 0,000 | 0,000 | 0,000 |
| | N | 502 | 502 | 502 | 502 | 502 | 502 | 502 | 502 | 502 | 502 | 502 | 502 | 502 | 502 | 502 | 502 | 502 | 502 | 502 | 502 | 502 |
| [55] | Correlación de Pearson | ,348** | ,335** | ,151** | ,450** | 0,064 | ,328** | -0,026 | ,383** | ,369** | ,461** | ,382** | ,464** | 1 | ,303** | ,136** | -0,034 | -0,022 | -0,069 | ,168** | ,143** | ,247** |
| | Sig. (bilateral) | 0,000 | 0,000 | 0,001 | 0,000 | 0,153 | 0,000 | 0,568 | 0,000 | 0,000 | 0,000 | 0,000 | 0,000 | | 0,000 | 0,002 | 0,444 | 0,617 | 0,120 | 0,000 | 0,001 | 0,000 |
| | N | 502 | 502 | 502 | 502 | 502 | 502 | 502 | 502 | 502 | 502 | 502 | 502 | 502 | 502 | 502 | 502 | 502 | 502 | 502 | 502 | 502 |
| [56] | Correlación de Pearson | ,166** | ,189** | ,179** | ,422** | -,171** | ,285** | ,130** | ,212** | ,186** | ,242** | ,246** | ,216** | ,303** | 1 | ,196** | -0,011 | -0,040 | -0,062 | ,122** | ,102* | ,172** |
| | Sig. (bilateral) | 0,000 | 0,000 | 0,000 | 0,000 | 0,000 | 0,000 | 0,004 | 0,000 | 0,000 | 0,000 | 0,000 | 0,000 | 0,000 | | 0,000 | 0,809 | 0,372 | 0,164 | 0,006 | 0,022 | 0,000 |
| | N | 502 | 502 | 502 | 502 | 502 | 502 | 502 | 502 | 502 | 502 | 502 | 502 | 502 | 502 | 502 | 502 | 502 | 502 | 502 | 502 | 502 |
| [57] | Correlación de Pearson | ,112* | ,138** | ,206** | 0,069 | 0,077 | 0,067 | -0,038 | ,243** | 0,046 | ,237** | ,094* | 0,026 | ,136** | ,196** | 1 | ,518** | ,336** | ,290** | 0,021 | -0,009 | -0,010 |
| | | [43] | [44] | [45] | [46] | [47] | [48] | [49] | [50] | [51] | [52] | [53] | [54] | [55] | [56] | [57] | [58] | [59] | [60] | [61] | [62] | [63] |
| | Sig. (bilateral) | 0,012 | 0,002 | 0,000 | 0,124 | 0,083 | 0,131 | 0,392 | 0,000 | 0,302 | 0,000 | 0,034 | 0,567 | 0,002 | 0,000 | | 0,000 | 0,000 | 0,000 | 0,644 | 0,834 | 0,830 |
| | N | 502 | 502 | 502 | 502 | 502 | 502 | 502 | 502 | 502 | 502 | 502 | 502 | 502 | 502 | 502 | 502 | 502 | 502 | 502 | 502 | 502 |

| | | | | | | | | | | | | | | | | | | | | | | |
|---|---|---|---|---|---|---|---|---|---|---|---|---|---|---|---|---|---|---|---|---|---|---|
| [58] | Correlación de Pearson | -,099* | -0,030 | ,207** | -,111* | 0,085 | -0,065 | -0,016 | 0,027 | -,103* | 0,021 | -,107* | -,115** | -0,034 | -0,011 | ,518** | 1 | ,358** | ,310** | -0,008 | -0,061 | -,132** |
| | Sig. (bilateral) | 0,026 | 0,501 | 0,000 | 0,013 | 0,057 | 0,149 | 0,719 | 0,541 | 0,021 | 0,641 | 0,016 | 0,010 | 0,444 | 0,809 | 0,000 | | 0,000 | 0,000 | 0,855 | 0,172 | 0,003 |
| | N | 502 | 502 | 502 | 502 | 502 | 502 | 502 | 502 | 502 | 502 | 502 | 502 | 502 | 502 | 502 | 502 | 502 | 502 | 502 | 502 | 502 |
| [59] | Correlación de Pearson | -0,082 | -,103* | -0,054 | -0,058 | 0,049 | -,196** | -0,044 | -,100* | -,132** | -0,033 | -0,028 | -,194** | -0,022 | -0,040 | ,336** | ,358** | 1 | ,671** | 0,024 | -0,039 | -0,015 |
| | Sig. (bilateral) | 0,068 | 0,021 | 0,229 | 0,193 | 0,269 | 0,000 | 0,328 | 0,025 | 0,003 | 0,464 | 0,529 | 0,000 | 0,617 | 0,372 | 0,000 | 0,000 | | 0,000 | 0,593 | 0,385 | 0,736 |
| | N | 502 | 502 | 502 | 502 | 502 | 502 | 502 | 502 | 502 | 502 | 502 | 502 | 502 | 502 | 502 | 502 | 502 | 502 | 502 | 502 | 502 |
| [60] | Correlación de Pearson | -0,071 | -0,074 | 0,014 | -0,064 | -0,003 | -,104* | 0,038 | -0,058 | -,180** | -0,070 | -0,031 | -,192** | -0,069 | -0,062 | ,290** | ,310** | ,671** | 1 | ,096* | 0,005 | -0,009 |
| | Sig. (bilateral) | 0,113 | 0,096 | 0,760 | 0,153 | 0,938 | 0,020 | 0,393 | 0,191 | 0,000 | 0,117 | 0,490 | 0,000 | 0,120 | 0,164 | 0,000 | 0,000 | 0,000 | | 0,031 | 0,916 | 0,848 |
| | N | 502 | 502 | 502 | 502 | 502 | 502 | 502 | 502 | 502 | 502 | 502 | 502 | 502 | 502 | 502 | 502 | 502 | 502 | 502 | 502 | 502 |
| [61] | Correlación de Pearson | ,096* | ,128** | -0,071 | ,147** | -,114* | ,471** | 0,068 | 0,079 | ,250** | ,151** | ,090* | ,259** | ,168** | ,122** | 0,021 | -0,008 | 0,024 | ,096* | 1 | ,502** | ,383** |
| | Sig. (bilateral) | 0,031 | 0,004 | 0,112 | 0,001 | 0,010 | 0,000 | 0,129 | 0,077 | 0,000 | 0,001 | 0,044 | 0,000 | 0,000 | 0,006 | 0,644 | 0,855 | 0,593 | 0,031 | | 0,000 | 0,000 |
| | N | 502 | 502 | 502 | 502 | 502 | 502 | 502 | 502 | 502 | 502 | 502 | 502 | 502 | 502 | 502 | 502 | 502 | 502 | 502 | 502 | 502 |
| [62] | Correlación de Pearson | ,092* | ,135** | 0,013 | ,181** | -0,063 | ,251** | -0,050 | ,100* | ,199** | 0,070 | 0,032 | ,168** | ,143** | ,102* | -0,009 | -0,061 | -0,039 | 0,005 | ,502** | 1 | ,371** |
| | Sig. (bilateral) | 0,039 | 0,002 | 0,775 | 0,000 | 0,157 | 0,000 | 0,265 | 0,025 | 0,000 | 0,119 | 0,472 | 0,000 | 0,001 | 0,022 | 0,834 | 0,172 | 0,385 | 0,916 | 0,000 | | 0,000 |
| | N | 502 | 502 | 502 | 502 | 502 | 502 | 502 | 502 | 502 | 502 | 502 | 502 | 502 | 502 | 502 | 502 | 502 | 502 | 502 | 502 | 502 |
| [63] | Correlación de Pearson | ,258** | ,267** | -0,052 | ,171** | 0,027 | ,441** | 0,029 | ,170** | ,360** | ,234** | ,223** | ,353** | ,247** | ,172** | -0,010 | -,132** | -0,015 | -0,009 | ,383** | ,371** | 1 |
| | Sig. (bilateral) | 0,000 | 0,000 | 0,244 | 0,000 | 0,544 | 0,000 | 0,512 | 0,000 | 0,000 | 0,000 | 0,000 | 0,000 | 0,000 | 0,000 | 0,830 | 0,003 | 0,736 | 0,848 | 0,000 | 0,000 | |
| | N | 502 | 502 | 502 | 502 | 502 | 502 | 502 | 502 | 502 | 502 | 502 | 502 | 502 | 502 | 502 | 502 | 502 | 502 | 502 | 502 | 502 |
| [64] | Correlación de Pearson | ,205** | ,257** | -0,020 | ,120** | -0,050 | ,472** | 0,059 | ,188** | ,290** | ,229** | ,197** | ,387** | ,168** | ,151** | -,172** | -,294** | -,434** | -,352** | ,280** | ,278** | ,420** |
| | Sig. (bilateral) | 0,000 | 0,000 | 0,658 | 0,007 | 0,261 | 0,000 | 0,184 | 0,000 | 0,000 | 0,000 | 0,000 | 0,000 | 0,000 | 0,001 | 0,000 | 0,000 | 0,000 | 0,000 | 0,000 | 0,000 | 0,000 |
| | N | 502 | 502 | 502 | 502 | 502 | 502 | 502 | 502 | 502 | 502 | 502 | 502 | 502 | 502 | 502 | 502 | 502 | 502 | 502 | 502 | 502 |
| [65] | Correlación de Pearson | ,228** | ,251** | -0,055 | ,129** | 0,019 | ,537** | 0,043 | ,195** | ,314** | ,266** | ,219** | ,418** | ,303** | ,166** | -0,065 | -,141** | -,131** | -0,053 | ,384** | ,256** | ,519** |
| | Sig. (bilateral) | 0,000 | 0,000 | 0,215 | 0,004 | 0,665 | 0,000 | 0,338 | 0,000 | 0,000 | 0,000 | 0,000 | 0,000 | 0,000 | 0,000 | 0,145 | 0,001 | 0,003 | 0,235 | 0,000 | 0,000 | 0,000 |
| | N | 502 | 502 | 502 | 502 | 502 | 502 | 502 | 502 | 502 | 502 | 502 | 502 | 502 | 502 | 502 | 502 | 502 | 502 | 502 | 502 | 502 |
| [66] | Correlación de Pearson | ,177** | ,251** | 0,051 | ,100* | -0,025 | ,427** | 0,074 | ,176** | ,253** | ,240** | ,234** | ,300** | ,174** | ,191** | 0,071 | 0,009 | 0,014 | 0,062 | ,304** | ,226** | ,430** |
| | Sig. (bilateral) | 0,000 | 0,000 | 0,253 | 0,025 | 0,573 | 0,000 | 0,097 | 0,000 | 0,000 | 0,000 | 0,000 | 0,000 | 0,000 | 0,000 | 0,113 | 0,840 | 0,762 | 0,165 | 0,000 | 0,000 | 0,000 |
| | N | 502 | 502 | 502 | 502 | 502 | 502 | 502 | 502 | 502 | 502 | 502 | 502 | 502 | 502 | 502 | 502 | 502 | 502 | 502 | 502 | 502 |
| [67] | Correlación de Pearson | ,206** | ,195** | -0,041 | ,180** | -0,037 | ,446** | 0,029 | ,103* | ,280** | ,187** | ,221** | ,404** | ,210** | ,192** | -,201** | -,284** | -,224** | -,202** | ,208** | ,227** | ,460** |
| | | [43] | [44] | [45] | [46] | [47] | [48] | [49] | [50] | [51] | [52] | [53] | [54] | [55] | [56] | [57] | [58] | [59] | [60] | [61] | [62] | [63] |
| | Sig. (bilateral) | 0,000 | 0,000 | 0,361 | 0,000 | 0,402 | 0,000 | 0,512 | 0,021 | 0,000 | 0,000 | 0,000 | 0,000 | 0,000 | 0,000 | 0,000 | 0,000 | 0,000 | 0,000 | 0,000 | 0,000 | 0,000 |
| | N | 502 | 502 | 502 | 502 | 502 | 502 | 502 | 502 | 502 | 502 | 502 | 502 | 502 | 502 | 502 | 502 | 502 | 502 | 502 | 502 | 502 |

| | | | | | | | | | | | | | | | | | | | | | | |
|---|---|---|---|---|---|---|---|---|---|---|---|---|---|---|---|---|---|---|---|---|---|---|
| [68] | Correlación de Pearson | ,101* | 0,048 | -0,070 | ,116** | 0,017 | ,241** | -0,046 | 0,075 | ,154** | 0,086 | ,102* | ,194** | ,170** | 0,066 | -,109* | -,170** | -0,057 | -0,067 | ,272** | ,150** | ,196** |
| | Sig. (bilateral) | 0,023 | 0,279 | 0,119 | 0,009 | 0,704 | 0,000 | 0,304 | 0,093 | 0,001 | 0,054 | 0,023 | 0,000 | 0,000 | 0,137 | 0,014 | 0,000 | 0,199 | 0,133 | 0,000 | 0,001 | 0,000 |
| | N | 502 | 502 | 502 | 502 | 502 | 502 | 502 | 502 | 502 | 502 | 502 | 502 | 502 | 502 | 502 | 502 | 502 | 502 | 502 | 502 | 502 |
| [69] | Correlación de Pearson | ,230** | ,244** | -0,078 | ,137** | -0,049 | ,615** | 0,056 | ,129** | ,361** | ,204** | ,240** | ,430** | ,241** | ,168** | -,125** | -,218** | -,163** | -0,084 | ,569** | ,380** | ,551** |
| | Sig. (bilateral) | 0,000 | 0,000 | 0,080 | 0,002 | 0,268 | 0,000 | 0,208 | 0,004 | 0,000 | 0,000 | 0,000 | 0,000 | 0,000 | 0,000 | 0,005 | 0,000 | 0,000 | 0,061 | 0,000 | 0,000 | 0,000 |
| | N | 502 | 502 | 502 | 502 | 502 | 502 | 502 | 502 | 502 | 502 | 502 | 502 | 502 | 502 | 502 | 502 | 502 | 502 | 502 | 502 | 502 |

**. La correlación es significativa en el nivel 0,01 (bilateral).

*. La correlación es significativa en el nivel 0,05 (bilateral).

Correlaciones

| | | [64] | [65] | [66] | [67] | [68] | [69] |
|---|---|---|---|---|---|---|---|
| [1] | Correlación de Pearson | -0,040 | -0,058 | -0,064 | -,105* | 0,025 | -0,079 |
| | Sig. (bilateral) | 0,366 | 0,196 | 0,153 | 0,019 | 0,580 | 0,078 |
| | N | 502 | 502 | 502 | 502 | 502 | 502 |
| [2] | Correlación de Pearson | -0,040 | -0,081 | -0,007 | -,128** | 0,000 | -0,051 |
| | Sig. (bilateral) | 0,370 | 0,071 | 0,877 | 0,004 | 0,998 | 0,255 |
| | N | 502 | 502 | 502 | 502 | 502 | 502 |
| [3] | Correlación de Pearson | ,146** | ,159** | ,179** | ,122** | ,103* | ,168** |
| | Sig. (bilateral) | 0,001 | 0,000 | 0,000 | 0,006 | 0,021 | 0,000 |
| | N | 502 | 502 | 502 | 502 | 502 | 502 |
| [4] | Correlación de Pearson | -0,008 | 0,013 | 0,028 | -0,044 | 0,066 | 0,016 |
| | Sig. (bilateral) | 0,860 | 0,766 | 0,532 | 0,326 | 0,139 | 0,726 |
| | N | 502 | 502 | 502 | 502 | 502 | 502 |
| [5] | Correlación de Pearson | ,416** | ,442** | ,368** | ,316** | ,164** | ,482** |
| | Sig. (bilateral) | 0,000 | 0,000 | 0,000 | 0,000 | 0,000 | 0,000 |
| | N | 502 | 502 | 502 | 502 | 502 | 502 |
| [6] | Correlación de Pearson | ,234** | ,251** | ,323** | ,242** | 0,053 | ,258** |
| | Sig. (bilateral) | 0,000 | 0,000 | 0,000 | 0,000 | 0,236 | 0,000 |
| | | [64] | [65] | [66] | [67] | [68] | [69] |
| | N | 502 | 502 | 502 | 502 | 502 | 502 |
| [7] | Correlación de Pearson | ,367** | ,342** | ,343** | ,317** | ,147** | ,393** |
| | Sig. (bilateral) | 0,000 | 0,000 | 0,000 | 0,000 | 0,001 | 0,000 |
| | N | 502 | 502 | 502 | 502 | 502 | 502 |
| [8] | Correlación de Pearson | ,125** | ,225** | ,181** | ,135** | ,196** | ,198** |
| | Sig. (bilateral) | 0,005 | 0,000 | 0,000 | 0,002 | 0,000 | 0,000 |
| | N | 502 | 502 | 502 | 502 | 502 | 502 |
| [9] | Correlación de Pearson | ,278** | ,306** | ,374** | ,262** | 0,060 | ,292** |
| | Sig. (bilateral) | 0,000 | 0,000 | 0,000 | 0,000 | 0,179 | 0,000 |
| | N | 502 | 502 | 502 | 502 | 502 | 502 |
| [10] | Correlación de Pearson | -,245** | -,101* | 0,042 | -,171** | -,099* | -,152** |
| | Sig. (bilateral) | 0,000 | 0,024 | 0,347 | 0,000 | 0,027 | 0,001 |
| | N | 502 | 502 | 502 | 502 | 502 | 502 |
| [11] | Correlación de Pearson | ,493** | ,513** | ,402** | ,482** | ,174** | ,588** |
| | Sig. (bilateral) | 0,000 | 0,000 | 0,000 | 0,000 | 0,000 | 0,000 |
| | N | 502 | 502 | 502 | 502 | 502 | 502 |
| [12] | Correlación de Pearson | 0,046 | 0,059 | ,111* | -0,019 | 0,033 | 0,015 |
| | Sig. (bilateral) | 0,299 | 0,184 | 0,013 | 0,676 | 0,462 | 0,736 |
| | | [64] | [65] | [66] | [67] | [68] | [69] |
| | N | 502 | 502 | 502 | 502 | 502 | 502 |
| [13] | Correlación de Pearson | 0,011 | 0,037 | 0,030 | -0,036 | -0,021 | 0,013 |
| | Sig. (bilateral) | 0,799 | 0,413 | 0,503 | 0,422 | 0,636 | 0,770 |
| | N | 502 | 502 | 502 | 502 | 502 | 502 |

| | | | | | | | |
|---|---|---|---|---|---|---|---|
| [14] | Correlación de Pearson | ,286** | ,322** | ,300** | ,263** | ,150** | ,292** |
| | Sig. (bilateral) | 0,000 | 0,000 | 0,000 | 0,000 | 0,001 | 0,000 |
| | N | 502 | 502 | 502 | 502 | 502 | 502 |
| [15] | Correlación de Pearson | ,192** | ,150** | ,158** | ,178** | 0,050 | ,175** |
| | Sig. (bilateral) | 0,000 | 0,001 | 0,000 | 0,000 | 0,260 | 0,000 |
| | N | 502 | 502 | 502 | 502 | 502 | 502 |
| [16] | Correlación de Pearson | ,277** | ,280** | ,329** | ,260** | 0,039 | ,267** |
| | Sig. (bilateral) | 0,000 | 0,000 | 0,000 | 0,000 | 0,380 | 0,000 |
| | N | 502 | 502 | 502 | 502 | 502 | 502 |
| [17] | Correlación de Pearson | -0,061 | -0,057 | -0,013 | -,123** | -0,077 | -0,084 |
| | Sig. (bilateral) | 0,171 | 0,203 | 0,768 | 0,006 | 0,085 | 0,059 |
| | N | 502 | 502 | 502 | 502 | 502 | 502 |
| [18] | Correlación de Pearson | ,269** | ,275** | ,209** | ,263** | ,125** | ,233** |
| | Sig. (bilateral) | 0,000 | 0,000 | 0,000 | 0,000 | 0,005 | 0,000 |
| | N | 502 | 502 | 502 | 502 | 502 | 502 |
| [19] | Correlación de Pearson | ,260** | ,220** | ,251** | ,187** | 0,068 | ,227** |
| | Sig. (bilateral) | 0,000 | 0,000 | 0,000 | 0,000 | 0,127 | 0,000 |
| | N | 502 | 502 | 502 | 502 | 502 | 502 |
| [20] | Correlación de Pearson | -0,006 | 0,048 | 0,053 | -0,060 | -0,005 | 0,028 |
| | Sig. (bilateral) | 0,892 | 0,285 | 0,239 | 0,178 | 0,912 | 0,527 |
| | N | 502 | 502 | 502 | 502 | 502 | 502 |
| [21] | Correlación de Pearson | ,349** | ,427** | ,365** | ,300** | ,153** | ,474** |
| | Sig. (bilateral) | 0,000 | 0,000 | 0,000 | 0,000 | 0,001 | 0,000 |
| | N | 502 | 502 | 502 | 502 | 502 | 502 |
| [22] | Correlación de Pearson | 0,034 | 0,077 | ,096* | 0,078 | 0,080 | ,109* |
| | Sig. (bilateral) | 0,442 | 0,085 | 0,031 | 0,080 | 0,073 | 0,014 |
| | | [64] | [65] | [66] | [67] | [68] | [69] |
| | N | 502 | 502 | 502 | 502 | 502 | 502 |
| [23] | Correlación de Pearson | 0,034 | -0,030 | -0,014 | -0,001 | 0,061 | 0,078 |
| | Sig. (bilateral) | 0,449 | 0,506 | 0,759 | 0,987 | 0,173 | 0,079 |
| | N | 502 | 502 | 502 | 502 | 502 | 502 |

| | | | | | | | |
|---|---|---|---|---|---|---|---|
| [24] | Correlación de Pearson | ,227** | ,230** | ,260** | ,200** | ,099* | ,278** |
| | Sig. (bilateral) | 0,000 | 0,000 | 0,000 | 0,000 | 0,026 | 0,000 |
| | N | 502 | 502 | 502 | 502 | 502 | 502 |
| [25] | Correlación de Pearson | ,130** | ,107* | 0,051 | ,099* | 0,023 | 0,055 |
| | Sig. (bilateral) | 0,004 | 0,017 | 0,257 | 0,027 | 0,615 | 0,222 |
| | N | 502 | 502 | 502 | 502 | 502 | 502 |
| [26] | Correlación de Pearson | ,214** | ,254** | ,258** | ,211** | 0,068 | ,271** |
| | Sig. (bilateral) | 0,000 | 0,000 | 0,000 | 0,000 | 0,127 | 0,000 |
| | N | 502 | 502 | 502 | 502 | 502 | 502 |
| [27] | Correlación de Pearson | ,126** | ,110* | 0,031 | ,124** | ,204** | ,209** |
| | Sig. (bilateral) | 0,005 | 0,014 | 0,491 | 0,006 | 0,000 | 0,000 |
| | N | 502 | 502 | 502 | 502 | 502 | 502 |
| [28] | Correlación de Pearson | ,124** | ,143** | 0,073 | ,154** | ,127** | ,233** |
| | Sig. (bilateral) | 0,005 | 0,001 | 0,102 | 0,001 | 0,005 | 0,000 |
| | N | 502 | 502 | 502 | 502 | 502 | 502 |
| [29] | Correlación de Pearson | ,096* | ,130** | ,129** | 0,045 | 0,004 | ,110* |
| | Sig. (bilateral) | 0,032 | 0,004 | 0,004 | 0,315 | 0,922 | 0,014 |
| | N | 502 | 502 | 502 | 502 | 502 | 502 |
| 30] | Correlación de Pearson | ,594** | ,568** | ,411** | ,527** | ,217** | ,670** |
| | Sig. (bilateral) | 0,000 | 0,000 | 0,000 | 0,000 | 0,000 | 0,000 |
| | N | 502 | 502 | 502 | 502 | 502 | 502 |
| [31] | Correlación de Pearson | ,118** | ,175** | 0,060 | ,142** | ,101* | ,132** |
| | Sig. (bilateral) | 0,008 | 0,000 | 0,181 | 0,001 | 0,024 | 0,003 |
| | N | 502 | 502 | 502 | 502 | 502 | 502 |
| [32] | Correlación de Pearson | ,139** | ,127** | ,116** | ,107* | 0,007 | ,147** |
| | Sig. (bilateral) | 0,002 | 0,004 | 0,009 | 0,016 | 0,879 | 0,001 |
| | | [64] | [65] | [66] | [67] | [68] | [69] |
| | N | 502 | 502 | 502 | 502 | 502 | 502 |
| [33] | Correlación de Pearson | ,206** | ,219** | ,200** | ,186** | ,135** | ,257** |
| | Sig. (bilateral) | 0,000 | 0,000 | 0,000 | 0,000 | 0,002 | 0,000 |
| | N | 502 | 502 | 502 | 502 | 502 | 502 |

| | | | | | | | |
|---|---|---|---|---|---|---|---|
| [34] | Correlación de Pearson | -0,043 | 0,004 | -0,042 | 0,019 | ,106* | 0,007 |
| | Sig. (bilateral) | 0,341 | 0,923 | 0,346 | 0,665 | 0,017 | 0,883 |
| | N | 502 | 502 | 502 | 502 | 502 | 502 |
| [35] | Correlación de Pearson | ,200** | ,242** | ,211** | ,210** | 0,060 | ,231** |
| | Sig. (bilateral) | 0,000 | 0,000 | 0,000 | 0,000 | 0,176 | 0,000 |
| | N | 502 | 502 | 502 | 502 | 502 | 502 |
| [36] | Correlación de Pearson | -,105* | -,103* | -,120** | -,192** | 0,000 | -,187** |
| | Sig. (bilateral) | 0,019 | 0,021 | 0,007 | 0,000 | 0,994 | 0,000 |
| | N | 502 | 502 | 502 | 502 | 502 | 502 |
| [37] | Correlación de Pearson | -0,057 | -0,061 | -0,029 | -,117** | 0,003 | -0,076 |
| | Sig. (bilateral) | 0,205 | 0,174 | 0,516 | 0,009 | 0,946 | 0,089 |
| | N | 502 | 502 | 502 | 502 | 502 | 502 |
| [38] | Correlación de Pearson | ,170** | ,265** | ,272** | ,207** | 0,019 | ,198** |
| | Sig. (bilateral) | 0,000 | 0,000 | 0,000 | 0,000 | 0,668 | 0,000 |
| | N | 502 | 502 | 502 | 502 | 502 | 502 |
| [39] | Correlación de Pearson | ,497** | ,555** | ,433** | ,568** | ,311** | ,606** |
| | Sig. (bilateral) | 0,000 | 0,000 | 0,000 | 0,000 | 0,000 | 0,000 |
| | N | 502 | 502 | 502 | 502 | 502 | 502 |
| [40] | Correlación de Pearson | ,312** | ,357** | ,312** | ,311** | ,148** | ,422** |
| | Sig. (bilateral) | 0,000 | 0,000 | 0,000 | 0,000 | 0,001 | 0,000 |
| | N | 502 | 502 | 502 | 502 | 502 | 502 |
| [41] | Correlación de Pearson | ,148** | ,129** | ,095* | ,125** | 0,051 | 0,076 |
| | Sig. (bilateral) | 0,001 | 0,004 | 0,032 | 0,005 | 0,258 | 0,087 |
| | N | 502 | 502 | 502 | 502 | 502 | 502 |
| [42] | Correlación de Pearson | ,582** | ,595** | ,467** | ,570** | ,203** | ,678** |
| | Sig. (bilateral) | 0,000 | 0,000 | 0,000 | 0,000 | 0,000 | 0,000 |
| | | [64] | [65] | [66] | [67] | [68] | [69] |
| | N | 502 | 502 | 502 | 502 | 502 | 502 |
| [43] | Correlación de Pearson | ,205** | ,228** | ,177** | ,206** | ,101* | ,230** |
| | Sig. (bilateral) | 0,000 | 0,000 | 0,000 | 0,000 | 0,023 | 0,000 |
| | N | 502 | 502 | 502 | 502 | 502 | 502 |

| | | | | | | | |
|---|---|---|---|---|---|---|---|
| [44] | Correlación de Pearson | ,257** | ,251** | ,251** | ,195** | 0,048 | ,244** |
| | Sig. (bilateral) | 0,000 | 0,000 | 0,000 | 0,000 | 0,279 | 0,000 |
| | N | 502 | 502 | 502 | 502 | 502 | 502 |
| [45] | Correlación de Pearson | -0,020 | -0,055 | 0,051 | -0,041 | -0,070 | -0,078 |
| | Sig. (bilateral) | 0,658 | 0,215 | 0,253 | 0,361 | 0,119 | 0,080 |
| | N | 502 | 502 | 502 | 502 | 502 | 502 |
| [46] | Correlación de Pearson | ,120** | ,129** | ,100* | ,180** | ,116** | ,137** |
| | Sig. (bilateral) | 0,007 | 0,004 | 0,025 | 0,000 | 0,009 | 0,002 |
| | N | 502 | 502 | 502 | 502 | 502 | 502 |
| [47] | Correlación de Pearson | -0,050 | 0,019 | -0,025 | -0,037 | 0,017 | -0,049 |
| | Sig. (bilateral) | 0,261 | 0,665 | 0,573 | 0,402 | 0,704 | 0,268 |
| | N | 502 | 502 | 502 | 502 | 502 | 502 |
| [48] | Correlación de Pearson | ,472** | ,537** | ,427** | ,446** | ,241** | ,615** |
| | Sig. (bilateral) | 0,000 | 0,000 | 0,000 | 0,000 | 0,000 | 0,000 |
| | N | 502 | 502 | 502 | 502 | 502 | 502 |
| [49] | Correlación de Pearson | 0,059 | 0,043 | 0,074 | 0,029 | -0,046 | 0,056 |
| | Sig. (bilateral) | 0,184 | 0,338 | 0,097 | 0,512 | 0,304 | 0,208 |
| | N | 502 | 502 | 502 | 502 | 502 | 502 |
| [50] | Correlación de Pearson | ,188** | ,195** | ,176** | ,103* | 0,075 | ,129** |
| | Sig. (bilateral) | 0,000 | 0,000 | 0,000 | 0,021 | 0,093 | 0,004 |
| | N | 502 | 502 | 502 | 502 | 502 | 502 |
| [51] | Correlación de Pearson | ,290** | ,314** | ,253** | ,280** | ,154** | ,361** |
| | Sig. (bilateral) | 0,000 | 0,000 | 0,000 | 0,000 | 0,001 | 0,000 |
| | N | 502 | 502 | 502 | 502 | 502 | 502 |
| [52] | Correlación de Pearson | ,229** | ,266** | ,240** | ,187** | 0,086 | ,204** |
| | Sig. (bilateral) | 0,000 | 0,000 | 0,000 | 0,000 | 0,054 | 0,000 |
| | | [64] | [65] | [66] | [67] | [68] | [69] |
| | N | 502 | 502 | 502 | 502 | 502 | 502 |
| [53] | Correlación de Pearson | ,197** | ,219** | ,234** | ,221** | ,102* | ,240** |
| | Sig. (bilateral) | 0,000 | 0,000 | 0,000 | 0,000 | 0,023 | 0,000 |
| | N | 502 | 502 | 502 | 502 | 502 | 502 |

| | | | | | | | |
|---|---|---|---|---|---|---|---|
| [54] | Correlación de Pearson | ,387** | ,418** | ,300** | ,404** | ,194** | ,430** |
| | Sig. (bilateral) | 0,000 | 0,000 | 0,000 | 0,000 | 0,000 | 0,000 |
| | N | 502 | 502 | 502 | 502 | 502 | 502 |
| [55] | Correlación de Pearson | ,168** | ,303** | ,174** | ,210** | ,170** | ,241** |
| | Sig. (bilateral) | 0,000 | 0,000 | 0,000 | 0,000 | 0,000 | 0,000 |
| | N | 502 | 502 | 502 | 502 | 502 | 502 |
| [56] | Correlación de Pearson | ,151** | ,166** | ,191** | ,192** | 0,066 | ,168** |
| | Sig. (bilateral) | 0,001 | 0,000 | 0,000 | 0,000 | 0,137 | 0,000 |
| | N | 502 | 502 | 502 | 502 | 502 | 502 |
| [57] | Correlación de Pearson | -,172** | -0,065 | 0,071 | -,201** | -,109* | -,125** |
| | Sig. (bilateral) | 0,000 | 0,145 | 0,113 | 0,000 | 0,014 | 0,005 |
| | N | 502 | 502 | 502 | 502 | 502 | 502 |
| [58] | Correlación de Pearson | -,294** | -,141** | 0,009 | -,284** | -,170** | -,218** |
| | Sig. (bilateral) | 0,000 | 0,001 | 0,840 | 0,000 | 0,000 | 0,000 |
| | N | 502 | 502 | 502 | 502 | 502 | 502 |
| [59] | Correlación de Pearson | -,434** | -,131** | 0,014 | -,224** | -0,057 | -,163** |
| | Sig. (bilateral) | 0,000 | 0,003 | 0,762 | 0,000 | 0,199 | 0,000 |
| | N | 502 | 502 | 502 | 502 | 502 | 502 |
| [60] | Correlación de Pearson | -,352** | -0,053 | 0,062 | -,202** | -0,067 | -0,084 |
| | Sig. (bilateral) | 0,000 | 0,235 | 0,165 | 0,000 | 0,133 | 0,061 |
| | N | 502 | 502 | 502 | 502 | 502 | 502 |
| [61] | Correlación de Pearson | ,280** | ,384** | ,304** | ,208** | ,272** | ,569** |
| | Sig. (bilateral) | 0,000 | 0,000 | 0,000 | 0,000 | 0,000 | 0,000 |
| | N | 502 | 502 | 502 | 502 | 502 | 502 |
| [62] | Correlación de Pearson | ,278** | ,256** | ,226** | ,227** | ,150** | ,380** |
| | | [64] | [65] | [66] | [67] | [68] | [69] |
| | Sig. (bilateral) | 0,000 | 0,000 | 0,000 | 0,000 | 0,001 | 0,000 |
| | N | 502 | 502 | 502 | 502 | 502 | 502 |
| [63] | Correlación de Pearson | ,420** | ,519** | ,430** | ,460** | ,196** | ,551** |
| | Sig. (bilateral) | 0,000 | 0,000 | 0,000 | 0,000 | 0,000 | 0,000 |
| | N | 502 | 502 | 502 | 502 | 502 | 502 |
| [64] | Correlación de Pearson | 1 | ,568** | ,436** | ,560** | ,209** | ,554** |
| | Sig. (bilateral) | | 0,000 | 0,000 | 0,000 | 0,000 | 0,000 |
| | N | 502 | 502 | 502 | 502 | 502 | 502 |
| [65] | Correlación de Pearson | ,568** | 1 | ,604** | ,575** | ,267** | ,598** |
| | Sig. (bilateral) | 0,000 | | 0,000 | 0,000 | 0,000 | 0,000 |
| | N | 502 | 502 | 502 | 502 | 502 | 502 |
| [66] | Correlación de Pearson | ,436** | ,604** | 1 | ,518** | ,159** | ,511** |
| | Sig. (bilateral) | 0,000 | 0,000 | | 0,000 | 0,000 | 0,000 |
| | N | 502 | 502 | 502 | 502 | 502 | 502 |
| [67] | Correlación de Pearson | ,560** | ,575** | ,518** | 1 | ,260** | ,600** |
| | Sig. (bilateral) | 0,000 | 0,000 | 0,000 | | 0,000 | 0,000 |
| | N | 502 | 502 | 502 | 502 | 502 | 502 |
| [68] | Correlación de Pearson | ,209** | ,267** | ,159** | ,260** | 1 | ,424** |
| | Sig. (bilateral) | 0,000 | 0,000 | 0,000 | 0,000 | | 0,000 |
| | N | 502 | 502 | 502 | 502 | 502 | 502 |
| [69] | Correlación de Pearson | ,554** | ,598** | ,511** | ,600** | ,424** | 1 |
| | Sig. (bilateral) | 0,000 | 0,000 | 0,000 | 0,000 | 0,000 | |
| | N | 502 | 502 | 502 | 502 | 502 | 502 |

**. La correlación es significativa en el nivel 0,01 (bilateral).

*. La correlación es significativa en el nivel 0,05 (bilateral).

***OBCS***

Correlaciones

| | | [1] | [2] | [3] | [4] | [5] | [6] | [7] | [8] | [9] | [10] | [11] | [12] | [13] | [14] | [15] | [16] | [17] | [18] | [19] | [20] | [21] | [22] | [23] | [24] |
|---|---|---|---|---|---|---|---|---|---|---|---|---|---|---|---|---|---|---|---|---|---|---|---|---|---|
| [1] | Correlación de Pearson | 1 | ,190** | ,297** | ,248** | 0,015 | ,191** | ,130** | 0,028 | ,294** | 0,085 | ,138** | ,160** | 0,069 | -0,017 | ,138** | -0,016 | ,181** | ,229** | ,115* | ,240** | ,221** | ,118** | ,105* | -0,005 |
| | Sig. (bilateral) | | 0,000 | 0,000 | 0,000 | 0,736 | 0,000 | 0,004 | 0,534 | 0,000 | 0,057 | 0,002 | 0,000 | 0,124 | 0,706 | 0,002 | 0,717 | 0,000 | 0,000 | 0,010 | 0,000 | 0,000 | 0,008 | 0,019 | 0,906 |
| | N | 502 | 502 | 502 | 502 | 502 | 502 | 502 | 502 | 502 | 502 | 502 | 502 | 502 | 502 | 502 | 502 | 502 | 502 | 502 | 502 | 502 | 502 | 502 | 502 |
| [2] | Correlación de Pearson | ,190** | 1 | ,186** | 0,087 | ,378** | ,288** | ,205** | ,500** | 0,044 | 0,055 | ,453** | ,375** | -0,015 | ,392** | ,117** | ,318** | ,430** | 0,058 | ,225** | ,134** | ,286** | ,517** | ,114* | ,105* |
| | Sig. (bilateral) | 0,000 | | 0,000 | 0,053 | 0,000 | 0,000 | 0,000 | 0,000 | 0,322 | 0,215 | 0,000 | 0,000 | 0,741 | 0,000 | 0,009 | 0,000 | 0,000 | 0,195 | 0,000 | 0,003 | 0,000 | 0,000 | 0,010 | 0,019 |
| | N | 502 | 502 | 502 | 502 | 502 | 502 | 502 | 502 | 502 | 502 | 502 | 502 | 502 | 502 | 502 | 502 | 502 | 502 | 502 | 502 | 502 | 502 | 502 | 502 |
| [3] | Correlación de Pearson | ,297** | ,186** | 1 | ,296** | -0,021 | ,179** | ,291** | -0,045 | ,321** | ,115* | ,090* | ,173** | ,124** | -0,067 | ,205** | -,116** | 0,085 | ,258** | 0,076 | ,296** | ,114* | 0,051 | 0,070 | -0,026 |
| | Sig. (bilateral) | 0,000 | 0,000 | | 0,000 | 0,639 | 0,000 | 0,000 | 0,310 | 0,000 | 0,010 | 0,044 | 0,000 | 0,006 | 0,132 | 0,000 | 0,009 | 0,056 | 0,000 | 0,088 | 0,000 | 0,010 | 0,252 | 0,119 | 0,563 |
| | N | 502 | 502 | 502 | 502 | 502 | 502 | 502 | 502 | 502 | 502 | 502 | 502 | 502 | 502 | 502 | 502 | 502 | 502 | 502 | 502 | 502 | 502 | 502 | 502 |
| [4] | Correlación de Pearson | ,248** | 0,087 | ,296** | 1 | ,097* | ,259** | ,211** | 0,029 | ,172** | -0,077 | ,129** | ,157** | 0,027 | 0,020 | ,126** | -0,057 | ,130** | ,110* | ,327** | ,176** | ,276** | ,115* | -,129** | ,263** |
| | Sig. (bilateral) | 0,000 | 0,053 | 0,000 | | 0,030 | 0,000 | 0,000 | 0,519 | 0,000 | 0,086 | 0,004 | 0,000 | 0,545 | 0,661 | 0,005 | 0,206 | 0,004 | 0,014 | 0,000 | 0,000 | 0,000 | 0,010 | 0,004 | 0,000 |
| | N | 502 | 502 | 502 | 502 | 502 | 502 | 502 | 502 | 502 | 502 | 502 | 502 | 502 | 502 | 502 | 502 | 502 | 502 | 502 | 502 | 502 | 502 | 502 | 502 |
| [5] | Correlación de Pearson | 0,015 | ,378** | -0,021 | ,097* | 1 | ,345** | ,257** | ,585** | -0,026 | -0,049 | ,422** | ,378** | -,119** | ,458** | 0,049 | ,345** | ,467** | -0,036 | ,224** | 0,027 | ,282** | ,501** | -0,020 | ,234** |
| | Sig. (bilateral) | 0,736 | 0,000 | 0,639 | 0,030 | | 0,000 | 0,000 | 0,000 | 0,556 | 0,274 | 0,000 | 0,000 | 0,007 | 0,000 | 0,271 | 0,000 | 0,000 | 0,420 | 0,000 | 0,542 | 0,000 | 0,000 | 0,662 | 0,000 |
| | N | 502 | 502 | 502 | 502 | 502 | 502 | 502 | 502 | 502 | 502 | 502 | 502 | 502 | 502 | 502 | 502 | 502 | 502 | 502 | 502 | 502 | 502 | 502 | 502 |
| [6] | Correlación de Pearson | ,191** | ,288** | ,179** | ,259** | ,345** | 1 | ,324** | ,340** | ,120** | 0,011 | ,239** | ,242** | 0,049 | ,209** | ,259** | ,203** | ,294** | ,100* | ,484** | ,174** | ,298** | ,221** | 0,002 | ,368** |
| | Sig. (bilateral) | 0,000 | 0,000 | 0,000 | 0,000 | 0,000 | | 0,000 | 0,000 | 0,007 | 0,806 | 0,000 | 0,000 | 0,273 | 0,000 | 0,000 | 0,000 | 0,000 | 0,025 | 0,000 | 0,000 | 0,000 | 0,000 | 0,971 | 0,000 |
| | N | 502 | 502 | 502 | 502 | 502 | 502 | 502 | 502 | 502 | 502 | 502 | 502 | 502 | 502 | 502 | 502 | 502 | 502 | 502 | 502 | 502 | 502 | 502 | 502 |
| [7] | Correlación de Pearson | ,130** | ,205** | ,291** | ,211** | ,257** | ,324** | 1 | ,291** | ,215** | ,173** | ,126** | ,149** | ,205** | ,131** | ,262** | ,094* | ,199** | ,163** | ,171** | ,413** | ,167** | ,140** | ,171** | ,106* |
| | Sig. (bilateral) | 0,004 | 0,000 | 0,000 | 0,000 | 0,000 | 0,000 | | 0,000 | 0,000 | 0,000 | 0,005 | 0,001 | 0,000 | 0,003 | 0,000 | 0,035 | 0,000 | 0,000 | 0,000 | 0,000 | 0,000 | 0,002 | 0,000 | 0,017 |
| | N | 502 | 502 | 502 | 502 | 502 | 502 | 502 | 502 | 502 | 502 | 502 | 502 | 502 | 502 | 502 | 502 | 502 | 502 | 502 | 502 | 502 | 502 | 502 | 502 |
| [8] | Correlación de Pearson | 0,028 | ,500** | -0,045 | 0,029 | ,585** | ,340** | ,291** | 1 | 0,022 | 0,068 | ,430** | ,378** | -0,044 | ,601** | ,106* | ,486** | ,470** | -0,037 | ,249** | 0,062 | ,356** | ,519** | 0,039 | ,262** |
| | Sig. (bilateral) | 0,534 | 0,000 | 0,310 | 0,519 | 0,000 | 0,000 | 0,000 | | 0,624 | 0,130 | 0,000 | 0,000 | 0,330 | 0,000 | 0,018 | 0,000 | 0,000 | 0,408 | 0,000 | 0,162 | 0,000 | 0,000 | 0,389 | 0,000 |
| | N | 502 | 502 | 502 | 502 | 502 | 502 | 502 | 502 | 502 | 502 | 502 | 502 | 502 | 502 | 502 | 502 | 502 | 502 | 502 | 502 | 502 | 502 | 502 | 502 |
| [9] | Correlación de Pearson | ,294** | 0,044 | ,321** | ,172** | -0,026 | ,120** | ,215** | 0,022 | 1 | ,240** | 0,013 | 0,085 | ,206** | -0,045 | ,197** | -0,037 | ,112* | ,362** | 0,086 | ,200** | ,088* | 0,018 | ,141** | 0,083 |
| | | [1] | [2] | [3] | [4] | [5] | [6] | [7] | [8] | [9] | [10] | [11] | [12] | [13] | [14] | [15] | [16] | [17] | [18] | [19] | [20] | [21] | [22] | [23] | [24] |
| | Sig. (bilateral) | 0,000 | 0,322 | 0,000 | 0,000 | 0,556 | 0,007 | 0,000 | 0,624 | | 0,000 | 0,772 | 0,058 | 0,000 | 0,315 | 0,000 | 0,411 | 0,012 | 0,000 | 0,054 | 0,000 | 0,048 | 0,686 | 0,002 | 0,064 |
| | N | 502 | 502 | 502 | 502 | 502 | 502 | 502 | 502 | 502 | 502 | 502 | 502 | 502 | 502 | 502 | 502 | 502 | 502 | 502 | 502 | 502 | 502 | 502 | 502 |
| [10] | Correlación de Pearson | 0,085 | 0,055 | ,115* | -0,077 | -0,049 | 0,011 | ,173** | 0,068 | ,240** | 1 | -0,036 | -0,034 | ,248** | 0,038 | ,111* | ,174** | -0,085 | ,129** | -,127** | ,110* | -0,078 | -0,036 | ,420** | -,125** |
| | Sig. (bilateral) | 0,057 | 0,215 | 0,010 | 0,086 | 0,274 | 0,806 | 0,000 | 0,130 | 0,000 | | 0,425 | 0,442 | 0,000 | 0,400 | 0,013 | 0,000 | 0,056 | 0,004 | 0,004 | 0,013 | 0,083 | 0,420 | 0,000 | 0,005 |
| | N | 502 | 502 | 502 | 502 | 502 | 502 | 502 | 502 | 502 | 502 | 502 | 502 | 502 | 502 | 502 | 502 | 502 | 502 | 502 | 502 | 502 | 502 | 502 | 502 |

| | | | | | | | | | | | | | | | | | | | | | | | | | | |
|---|---|---|---|---|---|---|---|---|---|---|---|---|---|---|---|---|---|---|---|---|---|---|---|---|---|---|
| [11] | Correlación de Pearson | ,138** | ,453** | ,090* | ,129** | ,422** | ,239** | ,126** | ,430** | 0,013 | -0,036 | 1 | ,536** | -,179** | ,412** | 0,020 | ,342** | ,513** | ,101* | ,243** | 0,015 | ,439** | ,608** | -,159** | ,184** |
| | Sig. (bilateral) | 0,002 | 0,000 | 0,044 | 0,004 | 0,000 | 0,000 | 0,005 | 0,000 | 0,772 | 0,425 | | 0,000 | 0,000 | 0,000 | 0,663 | 0,000 | 0,000 | 0,023 | 0,000 | 0,740 | 0,000 | 0,000 | 0,000 | 0,000 |
| | N | 502 | 502 | 502 | 502 | 502 | 502 | 502 | 502 | 502 | 502 | 502 | 502 | 502 | 502 | 502 | 502 | 502 | 502 | 502 | 502 | 502 | 502 | 502 | 502 |
| [12] | Correlación de Pearson | ,160** | ,375** | ,173** | ,157** | ,378** | ,242** | ,149** | ,378** | 0,085 | -0,034 | ,536** | 1 | -0,051 | ,367** | 0,078 | ,315** | ,502** | ,119** | ,307** | ,127** | ,540** | ,481** | -,186** | ,221** |
| | Sig. (bilateral) | 0,000 | 0,000 | 0,000 | 0,000 | 0,000 | 0,000 | 0,001 | 0,000 | 0,058 | 0,442 | 0,000 | | 0,256 | 0,000 | 0,080 | 0,000 | 0,000 | 0,008 | 0,000 | 0,004 | 0,000 | 0,000 | 0,000 | 0,000 |
| | N | 502 | 502 | 502 | 502 | 502 | 502 | 502 | 502 | 502 | 502 | 502 | 502 | 502 | 502 | 502 | 502 | 502 | 502 | 502 | 502 | 502 | 502 | 502 | 502 |
| [13] | Correlación de Pearson | 0,069 | -0,015 | ,124** | 0,027 | -,119** | 0,049 | ,205** | -0,044 | ,206** | ,248** | -,179** | -0,051 | 1 | 0,000 | ,296** | 0,045 | -,170** | ,118** | -0,013 | ,252** | -0,055 | -,133** | ,174** | -0,058 |
| | Sig. (bilateral) | 0,124 | 0,741 | 0,006 | 0,545 | 0,007 | 0,273 | 0,000 | 0,330 | 0,000 | 0,000 | 0,000 | 0,256 | | 0,999 | 0,000 | 0,314 | 0,000 | 0,008 | 0,772 | 0,000 | 0,218 | 0,003 | 0,000 | 0,196 |
| | N | 502 | 502 | 502 | 502 | 502 | 502 | 502 | 502 | 502 | 502 | 502 | 502 | 502 | 502 | 502 | 502 | 502 | 502 | 502 | 502 | 502 | 502 | 502 | 502 |
| [14] | Correlación de Pearson | -0,017 | ,392** | -0,067 | 0,020 | ,458** | ,209** | ,131** | ,601** | -0,045 | 0,038 | ,412** | ,367** | 0,000 | 1 | ,093* | ,540** | ,483** | 0,024 | ,245** | 0,005 | ,388** | ,480** | -0,004 | ,186** |
| | Sig. (bilateral) | 0,706 | 0,000 | 0,132 | 0,661 | 0,000 | 0,000 | 0,003 | 0,000 | 0,315 | 0,400 | 0,000 | 0,000 | 0,999 | | 0,037 | 0,000 | 0,000 | 0,588 | 0,000 | 0,906 | 0,000 | 0,000 | 0,924 | 0,000 |
| | N | 502 | 502 | 502 | 502 | 502 | 502 | 502 | 502 | 502 | 502 | 502 | 502 | 502 | 502 | 502 | 502 | 502 | 502 | 502 | 502 | 502 | 502 | 502 | 502 |
| [15] | Correlación de Pearson | ,138** | ,117** | ,205** | ,126** | 0,049 | ,259** | ,262** | ,106* | ,197** | ,111* | 0,020 | 0,078 | ,296** | ,093* | 1 | ,172** | ,129** | ,226** | ,169** | ,270** | 0,078 | 0,065 | ,092* | 0,036 |
| | Sig. (bilateral) | 0,002 | 0,009 | 0,000 | 0,005 | 0,271 | 0,000 | 0,000 | 0,018 | 0,000 | 0,013 | 0,663 | 0,080 | 0,000 | 0,037 | | 0,000 | 0,004 | 0,000 | 0,000 | 0,000 | 0,082 | 0,148 | 0,039 | 0,421 |
| | N | 502 | 502 | 502 | 502 | 502 | 502 | 502 | 502 | 502 | 502 | 502 | 502 | 502 | 502 | 502 | 502 | 502 | 502 | 502 | 502 | 502 | 502 | 502 | 502 |
| [16] | Correlación de Pearson | -0,016 | ,318** | -,116** | -0,057 | ,345** | ,203** | ,094* | ,486** | -0,037 | ,174** | ,342** | ,315** | 0,045 | ,540** | ,172** | 1 | ,351** | -0,022 | ,199** | 0,006 | ,298** | ,439** | 0,053 | ,182** |
| | Sig. (bilateral) | 0,717 | 0,000 | 0,009 | 0,206 | 0,000 | 0,000 | 0,035 | 0,000 | 0,411 | 0,000 | 0,000 | 0,000 | 0,314 | 0,000 | 0,000 | | 0,000 | 0,626 | 0,000 | 0,895 | 0,000 | 0,000 | 0,237 | 0,000 |
| | N | 502 | 502 | 502 | 502 | 502 | 502 | 502 | 502 | 502 | 502 | 502 | 502 | 502 | 502 | 502 | 502 | 502 | 502 | 502 | 502 | 502 | 502 | 502 | 502 |
| [17] | Correlación de Pearson | ,181** | ,430** | 0,085 | ,130** | ,467** | ,294** | ,199** | ,470** | ,112* | -0,085 | ,513** | ,502** | -,170** | ,483** | ,129** | ,351** | 1 | ,170** | ,341** | ,146** | ,380** | ,511** | 0,017 | ,187** |
| | Sig. (bilateral) | 0,000 | 0,000 | 0,056 | 0,004 | 0,000 | 0,000 | 0,000 | 0,000 | 0,012 | 0,056 | 0,000 | 0,000 | 0,000 | 0,000 | 0,004 | 0,000 | | 0,000 | 0,000 | 0,001 | 0,000 | 0,000 | 0,708 | 0,000 |
| | N | 502 | 502 | 502 | 502 | 502 | 502 | 502 | 502 | 502 | 502 | 502 | 502 | 502 | 502 | 502 | 502 | 502 | 502 | 502 | 502 | 502 | 502 | 502 | 502 |
| [18] | Correlación de Pearson | ,229** | 0,058 | ,258** | ,110* | -0,036 | ,100* | ,163** | -0,037 | ,362** | ,129** | ,101* | ,119** | ,118** | 0,024 | ,226** | -0,022 | ,170** | 1 | ,218** | ,313** | ,159** | 0,087 | ,122** | ,120** |
| | | [1] | [2] | [3] | [4] | [5] | [6] | [7] | [8] | [9] | [10] | [11] | [12] | [13] | [14] | [15] | [16] | [17] | [18] | [19] | [20] | [21] | [22] | [23] | [24] |
| | Sig. (bilateral) | 0,000 | 0,195 | 0,000 | 0,014 | 0,420 | 0,025 | 0,000 | 0,408 | 0,000 | 0,004 | 0,023 | 0,008 | 0,008 | 0,588 | 0,000 | 0,626 | 0,000 | | 0,000 | 0,000 | 0,000 | 0,053 | 0,006 | 0,007 |
| | N | 502 | 502 | 502 | 502 | 502 | 502 | 502 | 502 | 502 | 502 | 502 | 502 | 502 | 502 | 502 | 502 | 502 | 502 | 502 | 502 | 502 | 502 | 502 | 502 |
| [19] | Correlación de Pearson | ,115* | ,225** | 0,076 | ,327** | ,224** | ,484** | ,171** | ,249** | 0,086 | -,127** | ,243** | ,307** | -0,013 | ,245** | ,169** | ,199** | ,341** | ,218** | 1 | ,246** | ,380** | ,250** | -,103* | ,671** |
| | Sig. (bilateral) | 0,010 | 0,000 | 0,088 | 0,000 | 0,000 | 0,000 | 0,000 | 0,000 | 0,054 | 0,004 | 0,000 | 0,000 | 0,772 | 0,000 | 0,000 | 0,000 | 0,000 | 0,000 | | 0,000 | 0,000 | 0,000 | 0,021 | 0,000 |
| | N | 502 | 502 | 502 | 502 | 502 | 502 | 502 | 502 | 502 | 502 | 502 | 502 | 502 | 502 | 502 | 502 | 502 | 502 | 502 | 502 | 502 | 502 | 502 | 502 |
| [20] | Correlación de Pearson | ,240** | ,134** | ,296** | ,176** | 0,027 | ,174** | ,413** | 0,062 | ,200** | ,110* | 0,015 | ,127** | ,252** | 0,005 | ,270** | 0,006 | ,146** | ,313** | ,246** | 1 | ,144** | 0,074 | ,191** | ,139** |
| | Sig. (bilateral) | 0,000 | 0,003 | 0,000 | 0,000 | 0,542 | 0,000 | 0,000 | 0,162 | 0,000 | 0,013 | 0,740 | 0,004 | 0,000 | 0,906 | 0,000 | 0,895 | 0,001 | 0,000 | 0,000 | | 0,001 | 0,097 | 0,000 | 0,002 |
| | N | 502 | 502 | 502 | 502 | 502 | 502 | 502 | 502 | 502 | 502 | 502 | 502 | 502 | 502 | 502 | 502 | 502 | 502 | 502 | 502 | 502 | 502 | 502 | 502 |
| [21] | Correlación de Pearson | ,221** | ,286** | ,114* | ,276** | ,282** | ,298** | ,167** | ,356** | ,088* | -0,078 | ,439** | ,540** | -0,055 | ,388** | 0,078 | ,298** | ,380** | ,159** | ,380** | ,144** | 1 | ,466** | -,264** | ,307** |
| | Sig. (bilateral) | 0,000 | 0,000 | 0,010 | 0,000 | 0,000 | 0,000 | 0,000 | 0,000 | 0,048 | 0,083 | 0,000 | 0,000 | 0,218 | 0,000 | 0,082 | 0,000 | 0,000 | 0,000 | 0,000 | 0,001 | | 0,000 | 0,000 | 0,000 |
| | N | 502 | 502 | 502 | 502 | 502 | 502 | 502 | 502 | 502 | 502 | 502 | 502 | 502 | 502 | 502 | 502 | 502 | 502 | 502 | 502 | 502 | 502 | 502 | 502 |
| [22] | Correlación de | ,118** | ,517** | 0,051 | ,115* | ,501** | ,221** | ,140** | ,519** | 0,018 | -0,036 | ,608** | ,481** | -,133** | ,480** | 0,065 | ,439** | ,511** | 0,087 | ,250** | 0,074 | ,466** | 1 | -0,052 | ,193** |

| | | | | | | | | | | | | | | | | | | | | | | | | | | |
|---|---|---|---|---|---|---|---|---|---|---|---|---|---|---|---|---|---|---|---|---|---|---|---|---|---|---|
| | Pearson | | | | | | | | | | | | | | | | | | | | | | | | | |
| | Sig. (bilateral) | 0,008 | 0,000 | 0,252 | 0,010 | 0,000 | 0,000 | 0,002 | 0,000 | 0,686 | 0,420 | 0,000 | 0,000 | 0,003 | 0,000 | 0,148 | 0,000 | 0,000 | 0,053 | 0,000 | 0,097 | 0,000 | | 0,247 | 0,000 |
| | N | 502 | 502 | 502 | 502 | 502 | 502 | 502 | 502 | 502 | 502 | 502 | 502 | 502 | 502 | 502 | 502 | 502 | 502 | 502 | 502 | 502 | 502 | 502 | 502 |
| [23] | Correlación de Pearson | ,105* | ,114* | 0,070 | -,129** | -0,020 | 0,002 | ,171** | 0,039 | ,141** | ,420** | -,159** | -,186** | ,174** | -0,004 | ,092* | 0,053 | 0,017 | ,122** | -,103* | ,191** | -,264** | -0,052 | 1 | -,114* |
| | Sig. (bilateral) | 0,019 | 0,010 | 0,119 | 0,004 | 0,662 | 0,971 | 0,000 | 0,389 | 0,002 | 0,000 | 0,000 | 0,000 | 0,000 | 0,924 | 0,039 | 0,237 | 0,708 | 0,006 | 0,021 | 0,000 | 0,000 | 0,247 | | 0,010 |
| | N | 502 | 502 | 502 | 502 | 502 | 502 | 502 | 502 | 502 | 502 | 502 | 502 | 502 | 502 | 502 | 502 | 502 | 502 | 502 | 502 | 502 | 502 | 502 | 502 |
| [24] | Correlación de Pearson | -0,005 | ,105* | -0,026 | ,263** | ,234** | ,368** | ,106* | ,262** | 0,083 | -,125** | ,184** | ,221** | -0,058 | ,186** | 0,036 | ,182** | ,187** | ,120** | ,671** | ,139** | ,307** | ,193** | -,114* | 1 |
| | Sig. (bilateral) | 0,906 | 0,019 | 0,563 | 0,000 | 0,000 | 0,000 | 0,017 | 0,000 | 0,064 | 0,005 | 0,000 | 0,000 | 0,196 | 0,000 | 0,421 | 0,000 | 0,000 | 0,007 | 0,000 | 0,002 | 0,000 | 0,000 | 0,010 | |
| | N | 502 | 502 | 502 | 502 | 502 | 502 | 502 | 502 | 502 | 502 | 502 | 502 | 502 | 502 | 502 | 502 | 502 | 502 | 502 | 502 | 502 | 502 | 502 | 502 |

**. La correlación es significativa en el nivel 0,01 (bilateral).

*. La correlación es significativa en el nivel 0,05 (bilateral).

***BICSI***

Correlaciones

| | | [1] | [2] | [3] | [4] | [5] | [6] | [7] | [8] | [9] | [10] | [11] |
|---|---|---|---|---|---|---|---|---|---|---|---|---|
| [1] | Correlación de Pearson | 1 | ,494** | ,667** | ,282** | ,255** | ,328** | ,244** | ,316** | ,283** | ,211** | ,319** |
| | Sig. (bilateral) | | 0,000 | 0,000 | 0,000 | 0,000 | 0,000 | 0,000 | 0,000 | 0,000 | 0,000 | 0,000 |
| | N | 502 | 502 | 502 | 502 | 502 | 502 | 502 | 502 | 502 | 502 | 502 |
| [2] | Correlación de Pearson | ,494** | 1 | ,578** | ,317** | ,147** | ,275** | ,205** | ,472** | ,325** | ,133** | ,218** |
| | Sig. (bilateral) | 0,000 | | 0,000 | 0,000 | 0,001 | 0,000 | 0,000 | 0,000 | 0,000 | 0,003 | 0,000 |
| | N | 502 | 502 | 502 | 502 | 502 | 502 | 502 | 502 | 502 | 502 | 502 |
| [3] | Correlación de Pearson | ,667** | ,578** | 1 | ,342** | ,276** | ,360** | ,248** | ,344** | ,265** | ,245** | ,343** |
| | Sig. (bilateral) | 0,000 | 0,000 | | 0,000 | 0,000 | 0,000 | 0,000 | 0,000 | 0,000 | 0,000 | 0,000 |
| | N | 502 | 502 | 502 | 502 | 502 | 502 | 502 | 502 | 502 | 502 | 502 |
| [4] | Correlación de Pearson | ,282** | ,317** | ,342** | 1 | ,453** | ,277** | ,324** | ,293** | ,339** | ,321** | ,350** |
| | Sig. (bilateral) | 0,000 | 0,000 | 0,000 | | 0,000 | 0,000 | 0,000 | 0,000 | 0,000 | 0,000 | 0,000 |
| | N | 502 | 502 | 502 | 502 | 502 | 502 | 502 | 502 | 502 | 502 | 502 |
| [5] | Correlación de Pearson | ,255** | ,147** | ,276** | ,453** | 1 | ,310** | ,469** | ,171** | ,271** | ,389** | ,439** |
| | Sig. (bilateral) | 0,000 | 0,001 | 0,000 | 0,000 | | 0,000 | 0,000 | 0,000 | 0,000 | 0,000 | 0,000 |
| | N | 502 | 502 | 502 | 502 | 502 | 502 | 502 | 502 | 502 | 502 | 502 |
| [6] | Correlación de Pearson | ,328** | ,275** | ,360** | ,277** | ,310** | 1 | ,315** | ,231** | ,256** | ,263** | ,387** |
| | Sig. (bilateral) | 0,000 | 0,000 | 0,000 | 0,000 | 0,000 | | 0,000 | 0,000 | 0,000 | 0,000 | 0,000 |
| | N | 502 | 502 | 502 | 502 | 502 | 502 | 502 | 502 | 502 | 502 | 502 |
| [7] | Correlación de Pearson | ,244** | ,205** | ,248** | ,324** | ,469** | ,315** | 1 | ,276** | ,342** | ,339** | ,310** |
| | Sig. (bilateral) | 0,000 | 0,000 | 0,000 | 0,000 | 0,000 | 0,000 | | 0,000 | 0,000 | 0,000 | 0,000 |
| | N | 502 | 502 | 502 | 502 | 502 | 502 | 502 | 502 | 502 | 502 | 502 |
| [8] | Correlación de Pearson | ,316** | ,472** | ,344** | ,293** | ,171** | ,231** | ,276** | 1 | ,456** | ,094* | ,187** |
| | Sig. (bilateral) | 0,000 | 0,000 | 0,000 | 0,000 | 0,000 | 0,000 | 0,000 | | 0,000 | 0,035 | 0,000 |
| | N | 502 | 502 | 502 | 502 | 502 | 502 | 502 | 502 | 502 | 502 | 502 |
| [9] | Correlación de Pearson | ,283** | ,325** | ,265** | ,339** | ,271** | ,256** | ,342** | ,456** | 1 | ,364** | ,230** |
| | Sig. (bilateral) | 0,000 | 0,000 | 0,000 | 0,000 | 0,000 | 0,000 | 0,000 | 0,000 | | 0,000 | 0,000 |
| | N | 502 | 502 | 502 | 502 | 502 | 502 | 502 | 502 | 502 | 502 | 502 |
| [10] | Correlación de Pearson | ,211** | ,133** | ,245** | ,321** | ,389** | ,263** | ,339** | ,094* | ,364** | 1 | ,414** |
| | Sig. (bilateral) | 0,000 | 0,003 | 0,000 | 0,000 | 0,000 | 0,000 | 0,000 | 0,035 | 0,000 | | 0,000 |
| | N | 502 | 502 | 502 | 502 | 502 | 502 | 502 | 502 | 502 | 502 | 502 |
| [11] | Correlación de Pearson | ,319** | ,218** | ,343** | ,350** | ,439** | ,387** | ,310** | ,187** | ,230** | ,414** | 1 |
| | Sig. (bilateral) | 0,000 | 0,000 | 0,000 | 0,000 | 0,000 | 0,000 | 0,000 | 0,000 | 0,000 | 0,000 | |
| | N | 502 | 502 | 502 | 502 | 502 | 502 | 502 | 502 | 502 | 502 | 502 |

**. La correlación es significativa en el nivel 0,01 (bilateral).

*. La correlación es significativa en el nivel 0,05 (bilateral).

***ISBIS***

Correlaciones

| | | [1] | [2] | [3] | [4] | [5] | [6] | [7] | [9] | [10] |
|---|---|---|---|---|---|---|---|---|---|---|
| [1] | Correlación de Pearson | 1 | ,559** | ,291** | ,335** | ,298** | ,582** | ,703** | ,372** | ,494** |
| | Sig. (bilateral) | | 0,000 | 0,000 | 0,000 | 0,000 | 0,000 | 0,000 | 0,000 | 0,000 |
| | N | 502 | 502 | 502 | 502 | 502 | 502 | 502 | 502 | 502 |
| [2] | Correlación de Pearson | ,559** | 1 | 0,026 | ,170** | ,096* | ,394** | ,553** | ,225** | ,548** |
| | Sig. (bilateral) | 0,000 | | 0,568 | 0,000 | 0,031 | 0,000 | 0,000 | 0,000 | 0,000 |
| | N | 502 | 502 | 502 | 502 | 502 | 502 | 502 | 502 | 502 |
| [3] | Correlación de Pearson | ,291** | 0,026 | 1 | ,683** | ,749** | ,354** | ,384** | ,571** | ,220** |
| | Sig. (bilateral) | 0,000 | 0,568 | | 0,000 | 0,000 | 0,000 | 0,000 | 0,000 | 0,000 |
| | N | 502 | 502 | 502 | 502 | 502 | 502 | 502 | 502 | 502 |
| [4] | Correlación de Pearson | ,335** | ,170** | ,683** | 1 | ,688** | ,355** | ,444** | ,698** | ,273** |
| | Sig. (bilateral) | 0,000 | 0,000 | 0,000 | | 0,000 | 0,000 | 0,000 | 0,000 | 0,000 |
| | N | 502 | 502 | 502 | 502 | 502 | 502 | 502 | 502 | 502 |
| [5] | Correlación de Pearson | ,298** | ,096* | ,749** | ,688** | 1 | ,388** | ,463** | ,705** | ,214** |
| | Sig. (bilateral) | 0,000 | 0,031 | 0,000 | 0,000 | | 0,000 | 0,000 | 0,000 | 0,000 |
| | N | 502 | 502 | 502 | 502 | 502 | 502 | 502 | 502 | 502 |
| [6] | Correlación de Pearson | ,582** | ,394** | ,354** | ,355** | ,388** | 1 | ,680** | ,469** | ,698** |
| | Sig. (bilateral) | 0,000 | 0,000 | 0,000 | 0,000 | 0,000 | | 0,000 | 0,000 | 0,000 |
| | N | 502 | 502 | 502 | 502 | 502 | 502 | 502 | 502 | 502 |
| [7] | Correlación de Pearson | ,703** | ,553** | ,384** | ,444** | ,463** | ,680** | 1 | ,530** | ,562** |
| | Sig. (bilateral) | 0,000 | 0,000 | 0,000 | 0,000 | 0,000 | 0,000 | | 0,000 | 0,000 |
| | N | 502 | 502 | 502 | 502 | 502 | 502 | 502 | 502 | 502 |
| [9] | Correlación de Pearson | ,372** | ,225** | ,571** | ,698** | ,705** | ,469** | ,530** | 1 | ,388** |
| | Sig. (bilateral) | 0,000 | 0,000 | 0,000 | 0,000 | 0,000 | 0,000 | 0,000 | | 0,000 |
| | N | 502 | 502 | 502 | 502 | 502 | 502 | 502 | 502 | 502 |
| [10] | Correlación de Pearson | ,494** | ,548** | ,220** | ,273** | ,214** | ,698** | ,562** | ,388** | 1 |
| | Sig. (bilateral) | 0,000 | 0,000 | 0,000 | 0,000 | 0,000 | 0,000 | 0,000 | 0,000 | |
| | N | 502 | 502 | 502 | 502 | 502 | 502 | 502 | 502 | 502 |

**. La correlación es significativa en el nivel 0,01 (bilateral).

*. La correlación es significativa en el nivel 0,05 (bilateral).

***BAOS***

Correlaciones

| | | [1] | [2] | [3] | [4] | [5] | [6] | [7] | [8] | [9] | [10] |
|---|---|---|---|---|---|---|---|---|---|---|---|
| [1] | Correlación de Pearson | 1 | ,649** | ,478** | ,452** | ,495** | ,475** | ,247** | ,213** | ,398** | ,265** |
| | Sig. (bilateral) | | 0,000 | 0,000 | 0,000 | 0,000 | 0,000 | 0,000 | 0,000 | 0,000 | 0,000 |
| | N | 502 | 502 | 502 | 502 | 502 | 502 | 502 | 502 | 502 | 502 |
| [2] | Correlación de Pearson | ,649** | 1 | ,379** | ,523** | ,497** | ,551** | ,245** | ,239** | ,406** | ,251** |
| | Sig. (bilateral) | 0,000 | | 0,000 | 0,000 | 0,000 | 0,000 | 0,000 | 0,000 | 0,000 | 0,000 |
| | N | 502 | 502 | 502 | 502 | 502 | 502 | 502 | 502 | 502 | 502 |
| [3] | Correlación de Pearson | ,478** | ,379** | 1 | ,838** | ,361** | ,385** | ,246** | ,184** | ,348** | ,287** |
| | Sig. (bilateral) | 0,000 | 0,000 | | 0,000 | 0,000 | 0,000 | 0,000 | 0,000 | 0,000 | 0,000 |
| | N | 502 | 502 | 502 | 502 | 502 | 502 | 502 | 502 | 502 | 502 |
| [4] | Correlación de Pearson | ,452** | ,523** | ,838** | 1 | ,391** | ,434** | ,286** | ,223** | ,371** | ,328** |
| | Sig. (bilateral) | 0,000 | 0,000 | 0,000 | | 0,000 | 0,000 | 0,000 | 0,000 | 0,000 | 0,000 |
| | N | 502 | 502 | 502 | 502 | 502 | 502 | 502 | 502 | 502 | 502 |
| [5] | Correlación de Pearson | ,495** | ,497** | ,361** | ,391** | 1 | ,878** | ,226** | ,186** | ,416** | ,237** |
| | Sig. (bilateral) | 0,000 | 0,000 | 0,000 | 0,000 | | 0,000 | 0,000 | 0,000 | 0,000 | 0,000 |
| | N | 502 | 502 | 502 | 502 | 502 | 502 | 502 | 502 | 502 | 502 |
| [6] | Correlación de Pearson | ,475** | ,551** | ,385** | ,434** | ,878** | 1 | ,254** | ,221** | ,389** | ,260** |
| | Sig. (bilateral) | 0,000 | 0,000 | 0,000 | 0,000 | 0,000 | | 0,000 | 0,000 | 0,000 | 0,000 |
| | N | 502 | 502 | 502 | 502 | 502 | 502 | 502 | 502 | 502 | 502 |
| [7] | Correlación de Pearson | ,247** | ,245** | ,246** | ,286** | ,226** | ,254** | 1 | ,798** | ,454** | ,606** |
| | Sig. (bilateral) | 0,000 | 0,000 | 0,000 | 0,000 | 0,000 | 0,000 | | 0,000 | 0,000 | 0,000 |
| | N | 502 | 502 | 502 | 502 | 502 | 502 | 502 | 502 | 502 | 502 |
| [8] | Correlación de Pearson | ,213** | ,239** | ,184** | ,223** | ,186** | ,221** | ,798** | 1 | ,443** | ,633** |
| | Sig. (bilateral) | 0,000 | 0,000 | 0,000 | 0,000 | 0,000 | 0,000 | 0,000 | | 0,000 | 0,000 |
| | N | 502 | 502 | 502 | 502 | 502 | 502 | 502 | 502 | 502 | 502 |
| [9] | Correlación de Pearson | ,398** | ,406** | ,348** | ,371** | ,416** | ,389** | ,454** | ,443** | 1 | ,604** |
| | Sig. (bilateral) | 0,000 | 0,000 | 0,000 | 0,000 | 0,000 | 0,000 | 0,000 | 0,000 | | 0,000 |
| | N | 502 | 502 | 502 | 502 | 502 | 502 | 502 | 502 | 502 | 502 |
| [10] | Correlación de Pearson | ,265** | ,251** | ,287** | ,328** | ,237** | ,260** | ,606** | ,633** | ,604** | 1 |
| | Sig. (bilateral) | 0,000 | 0,000 | 0,000 | 0,000 | 0,000 | 0,000 | 0,000 | 0,000 | 0,000 | |
| | N | 502 | 502 | 502 | 502 | 502 | 502 | 502 | 502 | 502 | 502 |

**. La correlación es significativa en el nivel 0,01 (bilateral).

***Anexo 25.*** Análisis factorial exploratorio MBSRQ (Modelo B)

*Confiabilidad MBRSQ*

Estadísticas de confiabilidad de la escala frecuente

| Estimar | Cronbach's α |
|---|---|
| Estimación por punto | 0.933 |
| IC del 95% límite inferior | 0.924 |
| IC del 95% límite superior | 0.941 |

Nota. Los siguientes ítems se correlacionan negativamente con la escala: MBRSQ58, MBRSQ59, MBRSQ60.

Estadísticas de confiabilidad de ítems individuales frecuentes

| | si se elimina el ítem | |
|---|---|---|
| Ítem | Cronbach's α | Correlación del elemento con el resto |
| MBRSQ1 | 0.933 | 0.167 |
| MBRSQ2 | 0.933 | 0.230 |
| MBRSQ3 | 0.931 | 0.504 |
| MBRSQ4 | 0.932 | 0.364 |
| MBRSQ5 | 0.931 | 0.541 |
| MBRSQ6 | 0.930 | 0.646 |
| MBRSQ7 | 0.930 | 0.665 |
| MBRSQ8 | 0.931 | 0.540 |
| MBRSQ9 | 0.930 | 0.631 |
| MBRSQ10 | 0.933 | 0.233 |
| MBRSQ11 | 0.931 | 0.486 |
| MBRSQ12 | 0.932 | 0.287 |
| MBRSQ13 | 0.933 | 0.287 |
| MBRSQ14 | 0.930 | 0.642 |
| MBRSQ15 | 0.931 | 0.481 |
| MBRSQ16 | 0.930 | 0.687 |
| MBRSQ17 | 0.933 | 0.157 |
| MBRSQ18 | 0.931 | 0.547 |
| MBRSQ19 | 0.932 | 0.410 |
| MBRSQ20 | 0.932 | 0.365 |
| MBRSQ21 | 0.931 | 0.537 |
| MBRSQ22 | 0.932 | 0.396 |
| MBRSQ23 | 0.934 | 0.050 |
| MBRSQ24 | 0.930 | 0.631 |
| MBRSQ25 | 0.933 | 0.135 |
| MBRSQ26 | 0.930 | 0.634 |
| MBRSQ27 | 0.933 | 0.234 |
| MBRSQ28 | 0.933 | 0.229 |
| MBRSQ29 | 0.932 | 0.429 |
| MBRSQ30 | 0.931 | 0.578 |
| MBRSQ31 | 0.932 | 0.404 |
| MBRSQ32 | 0.933 | 0.142 |
| MBRSQ33 | 0.931 | 0.514 |
| MBRSQ34 | 0.934 | 0.036 |
| MBRSQ35 | 0.930 | 0.666 |

Estadísticas de confiabilidad de ítems individuales frecuentes

| | si se elimina el ítem | |
|---|---|---|
| Ítem | Cronbach's α | Correlación del elemento con el resto |
| MBRSQ36 | 0.933 | 0.162 |
| MBRSQ37 | 0.934 | 0.101 |
| MBRSQ38 | 0.931 | 0.518 |
| MBRSQ39 | 0.931 | 0.581 |
| MBRSQ40 | 0.932 | 0.361 |
| MBRSQ41 | 0.932 | 0.355 |
| MBRSQ42 | 0.931 | 0.596 |
| MBRSQ43 | 0.930 | 0.623 |
| MBRSQ44 | 0.930 | 0.671 |
| MBRSQ45 | 0.933 | 0.181 |
| MBRSQ46 | 0.932 | 0.414 |
| MBRSQ47 | 0.933 | 0.120 |
| MBRSQ48 | 0.930 | 0.655 |
| MBRSQ49 | 0.933 | 0.089 |
| MBRSQ50 | 0.931 | 0.619 |
| MBRSQ51 | 0.931 | 0.561 |
| MBRSQ52 | 0.930 | 0.665 |
| MBRSQ53 | 0.931 | 0.597 |
| MBRSQ54 | 0.931 | 0.624 |
| MBRSQ55 | 0.931 | 0.565 |
| MBRSQ56 | 0.932 | 0.363 |
| MBRSQ57 | 0.933 | 0.204 |
| MBRSQ58 | 0.934 | -0.033 |
| MBRSQ59 | 0.934 | -0.095 |
| MBRSQ60 | 0.933 | -0.057 |
| MBRSQ61 | 0.932 | 0.336 |
| MBRSQ62 | 0.933 | 0.249 |
| MBRSQ63 | 0.932 | 0.450 |
| MBRSQ64 | 0.932 | 0.402 |
| MBRSQ65 | 0.931 | 0.480 |
| MBRSQ66 | 0.932 | 0.445 |
| MBRSQ67 | 0.932 | 0.377 |
| MBRSQ68 | 0.933 | 0.200 |

Prueba de Kaiser-Meyer-Olkin

| | MSA |
|---|---|
| MSA General | 0.920 |

Contraste de Bartlett

| $X^2$ | gl | p |
|---|---|---|
| 19968.220 | 2346.000 | < .001 |

*Cargas de los Factores Solución inicial 8 factores*

| | Factor 1 | Factor 2 | Factor 3 | Factor 4 | Factor 5 | Factor 6 | Factor 7 | Factor 8 | Unicidad |
|---|---|---|---|---|---|---|---|---|---|

*Cargas de los Factores Solución inicial 8 factores*

| | Factor 1 | Factor 2 | Factor 3 | Factor 4 | Factor 5 | Factor 6 | Factor 7 | Factor 8 | Unicidad |
|---|---|---|---|---|---|---|---|---|---|
| MBRSQ1 | | | 0.698 | | | | | | 0.506 |
| MBRSQ2 | | | 0.632 | | | | | | 0.568 |
| MBRSQ3 | 0.582 | | | | | | | | 0.602 |
| MBRSQ4 | 0.584 | | | | | | | | 0.598 |
| MBRSQ5 | | 0.630 | | | | | | | 0.444 |
| MBRSQ6 | 0.710 | | | 0.347 | | | | | 0.291 |
| MBRSQ7 | 0.439 | 0.348 | | 0.529 | | | | | 0.360 |
| MBRSQ8 | 0.400 | | | 0.321 | | | | | 0.594 |
| MBRSQ9 | 0.460 | | | 0.584 | | | | | 0.365 |
| MBRSQ10 | | | 0.376 | | 0.501 | | | | 0.484 |
| MBRSQ11 | | 0.683 | | | | | | | 0.441 |
| MBRSQ12 | | | 0.642 | | | | | | 0.551 |
| MBRSQ13 | | | 0.688 | | | | | | 0.478 |
| MBRSQ14 | 0.689 | | | | | | | | 0.430 |
| MBRSQ15 | 0.713 | | | | | | | | 0.476 |
| MBRSQ16 | 0.790 | | | | | | | | 0.231 |
| MBRSQ17 | | | | | | 0.375 | 0.360 | -0.390 | 0.539 |
| MBRSQ18 | 0.389 | | | | | 0.438 | | | 0.492 |
| MBRSQ19 | | | | 0.417 | | | | | 0.709 |
| MBRSQ20 | | | | | | | | | 0.688 |
| MBRSQ21 | | 0.603 | | | | | | | 0.485 |
| MBRSQ22 | | | 0.694 | | | | | | 0.435 |
| MBRSQ23 | | | | | | | | | 0.906 |
| MBRSQ24 | 0.645 | | | | | | | | 0.467 |
| MBRSQ25 | | | | | | | 0.381 | | 0.749 |
| MBRSQ26 | 0.783 | | | | | | | | 0.332 |
| MBRSQ27 | | | | | | | | 0.611 | 0.560 |
| MBRSQ28 | | | | | | | | 0.551 | 0.590 |
| MBRSQ29 | 0.303 | | | 0.368 | | | | | 0.723 |
| MBRSQ30 | | 0.752 | | | | | | | 0.307 |
| MBRSQ31 | | | 0.479 | | | | | | 0.573 |
| MBRSQ32 | | | -0.431 | | | | 0.384 | | 0.613 |
| MBRSQ33 | 0.708 | | | | | | | | 0.408 |
| MBRSQ34 | | | | | | | | | 0.898 |
| MBRSQ35 | 0.806 | | | | | | | | 0.287 |
| MBRSQ36 | | | | | | | 0.420 | | 0.637 |
| MBRSQ37 | | | | | | | 0.595 | | 0.598 |
| MBRSQ38 | | | | 0.574 | | | | | 0.522 |
| MBRSQ39 | | 0.693 | | | | | | | 0.383 |
| MBRSQ40 | | 0.465 | -0.319 | | | | | | 0.562 |
| MBRSQ41 | | | 0.443 | | | 0.350 | | | 0.632 |
| MBRSQ42 | | 0.821 | | | | | | | 0.245 |
| MBRSQ43 | 0.734 | | | | | | | | 0.376 |
| MBRSQ44 | 0.746 | | | | | | | | 0.357 |
| MBRSQ45 | | | | | | 0.408 | 0.438 | -0.353 | 0.484 |
| MBRSQ46 | | | | | | 0.600 | | | 0.509 |

*Cargas de los Factores Solución inicial 8 factores*

| | Factor 1 | Factor 2 | Factor 3 | Factor 4 | Factor 5 | Factor 6 | Factor 7 | Factor 8 | Unicidad |
|---|---|---|---|---|---|---|---|---|---|
| MBRSQ47 | | | | | | 0.411 | | | 0.762 |
| MBRSQ48 | | 0.755 | | | | | | | 0.279 |
| MBRSQ49 | | | -0.449 | | | 0.363 | | | 0.637 |
| MBRSQ50 | 0.494 | | 0.495 | | | | | | 0.415 |
| MBRSQ51 | 0.332 | 0.368 | | | | | | | 0.617 |
| MBRSQ52 | 0.609 | | | 0.360 | | | | | 0.435 |
| MBRSQ53 | 0.735 | | | | | | | | 0.392 |
| MBRSQ54 | 0.452 | 0.391 | | 0.344 | | | | | 0.455 |
| MBRSQ55 | 0.339 | | | | | 0.402 | | | 0.561 |
| MBRSQ56 | | | | 0.367 | | 0.388 | | | 0.661 |
| MBRSQ57 | | | | 0.355 | 0.493 | | | | 0.491 |
| MBRSQ58 | | | | | 0.530 | | | -0.336 | 0.466 |
| MBRSQ59 | | | | | 0.806 | | | | 0.309 |
| MBRSQ60 | | | | | 0.730 | | | | 0.451 |
| MBRSQ61 | | 0.582 | | | | | | | 0.598 |
| MBRSQ62 | | 0.439 | | | | | | | 0.730 |
| MBRSQ63 | | 0.621 | | | | | | | 0.548 |
| MBRSQ64 | | 0.627 | | | -0.400 | | | | 0.416 |
| MBRSQ65 | | 0.713 | | | | | | | 0.453 |
| MBRSQ66 | | 0.599 | | | | | | | 0.560 |
| MBRSQ67 | | 0.631 | | | | | | | 0.494 |
| MBRSQ68 | | 0.314 | | | | | | | 0.834 |
| MBRSQ69 | | 0.821 | | | | | | | 0.281 |

*Nota.* El método de rotación aplicado es varimax.

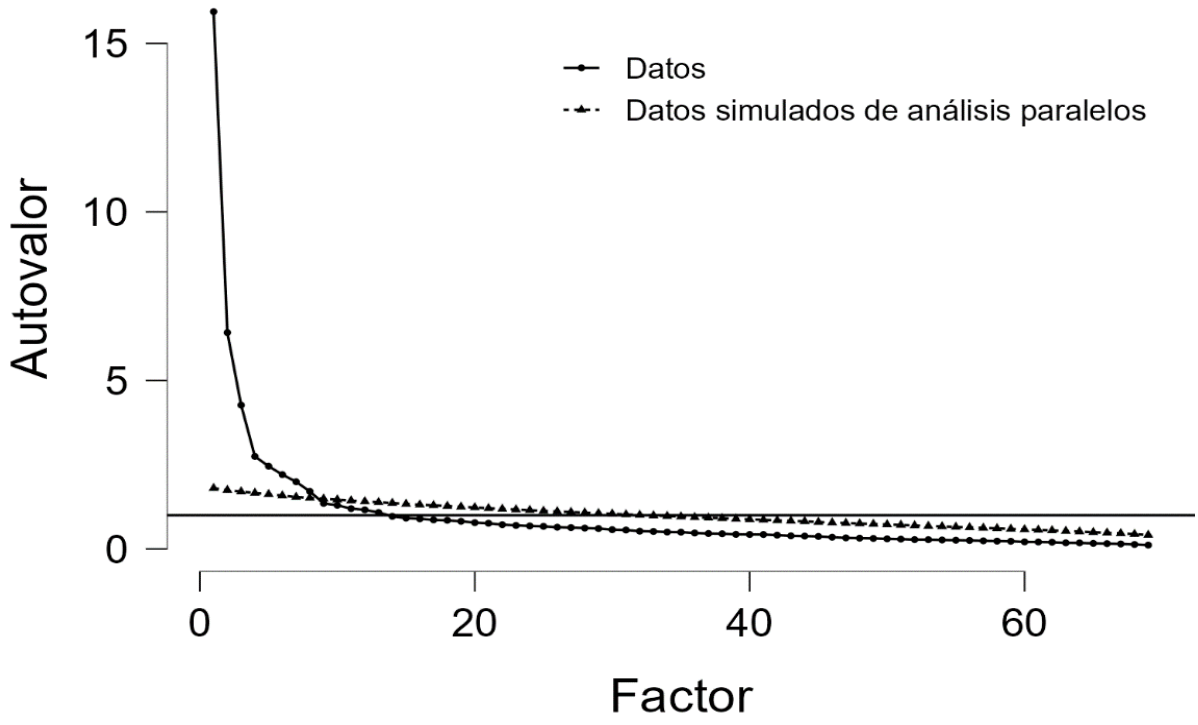
Características de los Factores

| | Solución no rotada | | | Solución rotada | | |
|---|---|---|---|---|---|---|
| | Sumas de cargas al cuadrado | Proporción var. | Acumulativo | Sumas de cargas al cuadrado | Proporción var. | Acumulativo |
| Factor 1 | 15.509 | 0.225 | 0.225 | 9.298 | 0.135 | 0.135 |
| Factor 2 | 5.943 | 0.086 | 0.311 | 8.605 | 0.125 | 0.259 |
| Factor 3 | 3.792 | 0.055 | 0.366 | 4.226 | 0.061 | 0.321 |
| Factor 4 | 2.252 | 0.033 | 0.398 | 3.014 | 0.044 | 0.364 |
| Factor 5 | 1.876 | 0.027 | 0.426 | 2.508 | 0.036 | 0.401 |
| Factor 6 | 1.668 | 0.024 | 0.450 | 2.050 | 0.030 | 0.430 |
| Factor 7 | 1.451 | 0.021 | 0.471 | 2.023 | 0.029 | 0.460 |
| Factor 8 | 1.176 | 0.017 | 0.488 | 1.941 | 0.028 | 0.488 |

Índices de ajuste adicionales

| RMSEA | RMSEA 90% confianza | TLI | BIC |
|---|---|---|---|
| 0.049 | 0.047 - 0.051 | 0.837 | -7304.018 |

Scree plot




*Cargas de los Factores solución manual 7 factores*

| | Factor 1 | Factor 2 | Factor 3 | Factor 4 | Factor 5 | Factor 6 | Factor 7 | Unicidad |
|---|---|---|---|---|---|---|---|---|
| MBRSQ1 | | | 0.689 | | | | | 0.516 |
| MBRSQ2 | | | 0.624 | | | | | 0.569 |
| MBRSQ3 | 0.593 | | | | | | | 0.604 |
| MBRSQ4 | 0.570 | | | | | | | 0.617 |
| MBRSQ5 | | 0.663 | | | | | | 0.458 |
| MBRSQ6 | 0.730 | | | | | | | 0.304 |
| MBRSQ7 | 0.462 | 0.384 | | 0.464 | | | | 0.412 |
| MBRSQ8 | 0.398 | | | 0.436 | | | | 0.591 |
| MBRSQ9 | 0.489 | 0.320 | | 0.443 | | | | 0.435 |
| MBRSQ10 | | | 0.354 | | 0.521 | | | 0.482 |
| MBRSQ11 | | 0.687 | | | | | | 0.440 |
| MBRSQ12 | | | 0.626 | | | | | 0.556 |
| MBRSQ13 | | | 0.672 | | | | | 0.481 |
| MBRSQ14 | 0.695 | | | | | | | 0.429 |

*Cargas de los Factores solución manual 7 factores*

| | Factor 1 | Factor 2 | Factor 3 | Factor 4 | Factor 5 | Factor 6 | Factor 7 | Unicidad |
|---|---|---|---|---|---|---|---|---|
| MBRSQ15 | 0.702 | | | | | | | 0.491 |
| MBRSQ16 | 0.799 | | | | | | | 0.228 |
| MBRSQ17 | | | | | | 0.477 | | 0.618 |
| MBRSQ18 | 0.366 | | | 0.458 | | | | 0.523 |
| MBRSQ19 | | | | 0.391 | | | | 0.739 |
| MBRSQ20 | | | | 0.314 | | | | 0.691 |
| MBRSQ21 | | 0.634 | | | | | | 0.504 |
| MBRSQ22 | | | 0.684 | | | | | 0.439 |
| MBRSQ23 | | | | | | | | 0.903 |
| MBRSQ24 | 0.639 | | | | | | | 0.480 |
| MBRSQ25 | | | | | | 0.346 | | 0.795 |
| MBRSQ26 | 0.790 | | | | | | | 0.331 |
| MBRSQ27 | | | | | | | 0.530 | 0.625 |
| MBRSQ28 | | | | | | | 0.463 | 0.707 |
| MBRSQ29 | 0.318 | | | 0.349 | | | | 0.739 |
| MBRSQ30 | | 0.769 | | | | | | 0.311 |
| MBRSQ31 | | | 0.472 | | | | | 0.570 |
| MBRSQ32 | | | -0.465 | | | 0.339 | | 0.618 |
| MBRSQ33 | 0.701 | | | | | | | 0.421 |
| MBRSQ34 | | | | | | | | 0.898 |
| MBRSQ35 | 0.809 | | | | | | | 0.286 |
| MBRSQ36 | | | | | | 0.479 | | 0.635 |
| MBRSQ37 | | | | | | 0.552 | | 0.618 |
| MBRSQ38 | 0.313 | | | 0.471 | | | | 0.589 |
| MBRSQ39 | | 0.688 | | | | | | 0.384 |
| MBRSQ40 | | 0.451 | -0.326 | | | | | 0.573 |
| MBRSQ41 | | | 0.450 | 0.328 | | | | 0.648 |
| MBRSQ42 | | 0.820 | | | | | | 0.247 |
| MBRSQ43 | 0.710 | | | | | | | 0.428 |
| MBRSQ44 | 0.745 | | | | | | | 0.359 |
| MBRSQ45 | | | | | | 0.541 | | 0.599 |
| MBRSQ46 | | | | 0.543 | | | | 0.610 |
| MBRSQ47 | | | | | | 0.365 | | 0.761 |
| MBRSQ48 | | 0.778 | | | | | | 0.282 |
| MBRSQ49 | | | -0.480 | | | 0.319 | | 0.641 |
| MBRSQ50 | 0.494 | | 0.483 | | | | | 0.414 |
| MBRSQ51 | 0.342 | 0.380 | | | | | | 0.622 |
| MBRSQ52 | 0.622 | | | 0.345 | | | | 0.442 |
| MBRSQ53 | 0.736 | | | | | | | 0.391 |
| MBRSQ54 | 0.473 | 0.420 | | | | | | 0.494 |
| MBRSQ55 | 0.326 | | | 0.467 | | | | 0.567 |
| MBRSQ56 | | | | 0.536 | | | | 0.661 |
| MBRSQ57 | | | | | 0.532 | | | 0.498 |

*Cargas de los Factores solución manual 7 factores*

| | Factor 1 | Factor 2 | Factor 3 | Factor 4 | Factor 5 | Factor 6 | Factor 7 | Unicidad |
|---|---|---|---|---|---|---|---|---|
| MBRSQ58 | | | | | 0.564 | | -0.335 | 0.466 |
| MBRSQ59 | | | | | 0.768 | | | 0.359 |
| MBRSQ60 | | | | | 0.706 | | | 0.481 |
| MBRSQ61 | | 0.566 | | | | | | 0.616 |
| MBRSQ62 | | 0.402 | | | | | | 0.785 |
| MBRSQ63 | | 0.591 | | | | | | 0.593 |
| MBRSQ64 | | 0.629 | | | -0.400 | | | 0.413 |
| MBRSQ65 | | 0.705 | | | | | | 0.464 |
| MBRSQ66 | | 0.597 | | | | | | 0.569 |
| MBRSQ67 | | 0.615 | | | | | | 0.506 |
| MBRSQ68 | | | | | | | | 0.843 |
| MBRSQ69 | | 0.805 | | | | | | 0.298 |

*Nota.* El método de rotación aplicado es varimax.

*Características de los Factores*

| | Solución no rotada | | | Solución rotada | | |
|---|---|---|---|---|---|---|
| | Sumas de cargas al cuadrado | Proporción var. | Acumulativo | Sumas de cargas al cuadrado | Proporción var. | Acumulativo |
| Factor 1 | 15.493 | 0.225 | 0.225 | 9.414 | 0.136 | 0.136 |
| Factor 2 | 5.930 | 0.086 | 0.310 | 8.713 | 0.126 | 0.263 |
| Factor 3 | 3.780 | 0.055 | 0.365 | 4.077 | 0.059 | 0.322 |
| Factor 4 | 2.232 | 0.032 | 0.398 | 3.516 | 0.051 | 0.373 |
| Factor 5 | 1.843 | 0.027 | 0.424 | 2.545 | 0.037 | 0.410 |
| Factor 6 | 1.629 | 0.024 | 0.448 | 2.205 | 0.032 | 0.442 |
| Factor 7 | 1.425 | 0.021 | 0.469 | 1.862 | 0.027 | 0.469 |

Índices de ajuste adicionales

| RMSEA | RMSEA 90% confianza | TLI | BIC |
|---|---|---|---|
| 0.053 | 0.051 - 0.055 | 0.812 | -7193.846 |

*Cargas de los Factores Solución manual 6 factores*

| | Factor 1 | Factor 2 | Factor 3 | Factor 4 | Factor 5 | Factor 6 | Unicidad |
|---|---|---|---|---|---|---|---|
| MBRSQ1 | | | 0.665 | | | | 0.540 |
| MBRSQ2 | | | 0.607 | | | | 0.592 |
| MBRSQ3 | 0.577 | | | | | | 0.611 |
| MBRSQ4 | 0.557 | | | | | | 0.615 |
| MBRSQ5 | | 0.636 | | | | | 0.505 |
| MBRSQ6 | 0.748 | | | | | | 0.344 |
| MBRSQ7 | 0.556 | 0.429 | | | | | 0.432 |
| MBRSQ8 | 0.487 | | | | | | 0.643 |
| MBRSQ9 | 0.577 | 0.350 | | | | -0.319 | 0.435 |

*Cargas de los Factores Solución manual 6 factores*

| | Factor 1 | Factor 2 | Factor 3 | Factor 4 | Factor 5 | Factor 6 | Unicidad |
|---|---|---|---|---|---|---|---|
| MBRSQ10 | | | 0.386 | 0.506 | | | 0.487 |
| MBRSQ11 | | 0.696 | | | | | 0.439 |
| MBRSQ12 | | | 0.595 | | | | 0.603 |
| MBRSQ13 | | | 0.659 | | | | 0.517 |
| MBRSQ14 | 0.693 | | | | | | 0.440 |
| MBRSQ15 | 0.680 | | | | | | 0.504 |
| MBRSQ16 | 0.816 | | | | | | 0.271 |
| MBRSQ17 | | | | | 0.533 | | 0.619 |
| MBRSQ18 | 0.461 | | | | | | 0.608 |
| MBRSQ19 | | | | | | | 0.754 |
| MBRSQ20 | | | 0.346 | | | | 0.716 |
| MBRSQ21 | | 0.627 | | | | | 0.518 |
| MBRSQ22 | | | 0.717 | | | | 0.435 |
| MBRSQ23 | | | | | | | 0.944 |
| MBRSQ24 | 0.639 | | | | | | 0.485 |
| MBRSQ25 | | | | | 0.335 | | 0.816 |
| MBRSQ26 | 0.795 | | | | | | 0.337 |
| MBRSQ27 | | | | | | | 0.776 |
| MBRSQ28 | | | | | | 0.390 | 0.752 |
| MBRSQ29 | 0.389 | | | | | | 0.756 |
| MBRSQ30 | | 0.780 | | | | | 0.311 |
| MBRSQ31 | | | 0.539 | | | | 0.596 |
| MBRSQ32 | | | -0.425 | | 0.338 | | 0.645 |
| MBRSQ33 | 0.667 | | | | | 0.314 | 0.422 |
| MBRSQ34 | | | | | | | 0.945 |
| MBRSQ35 | 0.836 | | | | | | 0.285 |
| MBRSQ36 | | | | | 0.469 | | 0.633 |
| MBRSQ37 | | | | | 0.481 | 0.351 | 0.623 |
| MBRSQ38 | 0.411 | | | | | -0.322 | 0.608 |
| MBRSQ39 | | 0.710 | | | | | 0.385 |
| MBRSQ40 | | 0.480 | | | | | 0.603 |
| MBRSQ41 | | | 0.519 | | | | 0.661 |
| MBRSQ42 | | 0.823 | | | | | 0.251 |
| MBRSQ43 | 0.727 | | | | | | 0.428 |
| MBRSQ44 | 0.762 | | | | | | 0.375 |
| MBRSQ45 | | | | | 0.583 | | 0.599 |
| MBRSQ46 | | | 0.304 | | | | 0.718 |
| MBRSQ47 | | | | | 0.300 | 0.331 | 0.760 |
| MBRSQ48 | | 0.769 | | | | | 0.303 |
| MBRSQ49 | | | -0.448 | | 0.319 | | 0.663 |
| MBRSQ50 | 0.526 | | 0.498 | | | | 0.426 |
| MBRSQ51 | 0.386 | 0.407 | | | | | 0.631 |
| MBRSQ52 | 0.684 | | | | | | 0.447 |
| MBRSQ53 | 0.763 | | | | | | 0.391 |
| MBRSQ54 | 0.522 | 0.445 | | | | | 0.499 |
| MBRSQ55 | 0.426 | | | | | | 0.655 |

*Cargas de los Factores Solución manual 6 factores*

| | Factor 1 | Factor 2 | Factor 3 | Factor 4 | Factor 5 | Factor 6 | Unicidad |
|---|---|---|---|---|---|---|---|
| MBRSQ56 | | | | | | -0.337 | 0.734 |
| MBRSQ57 | | | | 0.523 | | -0.329 | 0.495 |
| MBRSQ58 | | | | 0.607 | | | 0.480 |
| MBRSQ59 | | | | 0.705 | | | 0.468 |
| MBRSQ60 | | | | 0.690 | | | 0.507 |
| MBRSQ61 | | 0.578 | | | | | 0.613 |
| MBRSQ62 | | 0.420 | | | | | 0.786 |
| MBRSQ63 | | 0.603 | | | | | 0.592 |
| MBRSQ64 | | 0.608 | | -0.367 | | | 0.470 |
| MBRSQ65 | | 0.701 | | | | | 0.474 |
| MBRSQ66 | | 0.583 | | | | | 0.590 |
| MBRSQ67 | | 0.617 | | | | | 0.513 |
| MBRSQ68 | | 0.308 | | | | | 0.846 |
| MBRSQ69 | | 0.802 | | | | | 0.304 |

*Nota.* El método de rotación aplicado es varimax.

*Características de los Factores*

| | Solución no rotada | | | Solución rotada | | |
|---|---|---|---|---|---|---|
| | Sumas de cargas al cuadrado | Proporción var. | Acumulativo | Sumas de cargas al cuadrado | Proporción var. | Acumulativo |
| Factor 1 | 15.474 | 0.224 | 0.224 | 10.561 | 0.153 | 0.153 |
| Factor 2 | 5.914 | 0.086 | 0.310 | 9.068 | 0.131 | 0.284 |
| Factor 3 | 3.764 | 0.055 | 0.365 | 4.484 | 0.065 | 0.349 |
| Factor 4 | 2.202 | 0.032 | 0.396 | 2.569 | 0.037 | 0.387 |
| Factor 5 | 1.826 | 0.026 | 0.423 | 2.277 | 0.033 | 0.420 |
| Factor 6 | 1.590 | 0.023 | 0.446 | 1.810 | 0.026 | 0.446 |

Índices de ajuste adicionales

| RMSEA | RMSEA 90% confianza | TLI | BIC |
|---|---|---|---|
| 0.057 | 0.055 - 0.059 | 0.780 | -6973.491 |

*Cargas de los Factores Solución Manual 5 factores*

| | Factor 1 | Factor 2 | Factor 3 | Factor 4 | Factor 5 | Unicidad |
|---|---|---|---|---|---|---|
| MBRSQ1 | | | 0.643 | | | 0.579 |
| MBRSQ2 | | | 0.603 | | | 0.607 |
| MBRSQ3 | 0.573 | | | | | 0.648 |
| MBRSQ4 | 0.553 | | | | | 0.648 |
| MBRSQ5 | | 0.645 | | | | 0.501 |
| MBRSQ6 | 0.746 | | | | | 0.353 |
| MBRSQ7 | 0.550 | 0.449 | | | | 0.463 |

*Cargas de los Factores Solución Manual 5 factores*

| | Factor 1 | Factor 2 | Factor 3 | Factor 4 | Factor 5 | Unicidad |
|---|---|---|---|---|---|---|
| MBRSQ8 | 0.481 | | | | | 0.650 |
| MBRSQ9 | 0.570 | 0.381 | | | | 0.487 |
| MBRSQ10 | | | 0.399 | 0.521 | | 0.506 |
| MBRSQ11 | | 0.684 | | | | 0.444 |
| MBRSQ12 | | | 0.596 | | | 0.618 |
| MBRSQ13 | | | 0.674 | | | 0.518 |
| MBRSQ14 | 0.690 | | | | | 0.446 |
| MBRSQ15 | 0.680 | | | | | 0.518 |
| MBRSQ16 | 0.813 | | | | | 0.283 |
| MBRSQ17 | | | | | 0.419 | 0.709 |
| MBRSQ18 | 0.456 | | | | | 0.615 |
| MBRSQ19 | | 0.318 | | | | 0.796 |
| MBRSQ20 | | | 0.376 | | | 0.715 |
| MBRSQ21 | | 0.633 | | | | 0.516 |
| MBRSQ22 | | | 0.706 | | | 0.461 |
| MBRSQ23 | | | | | | 0.970 |
| MBRSQ24 | 0.633 | | | | | 0.503 |
| MBRSQ25 | | | | | 0.359 | 0.806 |
| MBRSQ26 | 0.794 | | | | | 0.338 |
| MBRSQ27 | | | | | | 0.863 |
| MBRSQ28 | | | | | | 0.868 |
| MBRSQ29 | 0.382 | | | | | 0.769 |
| MBRSQ30 | | 0.782 | | | | 0.311 |
| MBRSQ31 | | | 0.544 | | | 0.598 |
| MBRSQ32 | | | -0.390 | | 0.390 | 0.643 |
| MBRSQ33 | 0.663 | | | | | 0.497 |
| MBRSQ34 | | | | | | 0.954 |
| MBRSQ35 | 0.836 | | | | | 0.283 |
| MBRSQ36 | | | 0.312 | | 0.459 | 0.628 |
| MBRSQ37 | | | | | 0.541 | 0.691 |
| MBRSQ38 | 0.403 | 0.307 | | | | 0.655 |
| MBRSQ39 | | 0.699 | | | | 0.386 |
| MBRSQ40 | | 0.470 | | | | 0.603 |
| MBRSQ41 | | | 0.534 | | | 0.661 |
| MBRSQ42 | | 0.813 | | | | 0.256 |
| MBRSQ43 | 0.724 | | | | | 0.429 |
| MBRSQ44 | 0.758 | | | | | 0.375 |
| MBRSQ45 | | | | | 0.493 | 0.663 |
| MBRSQ46 | | | 0.338 | | | 0.765 |
| MBRSQ47 | | | | | 0.379 | 0.822 |
| MBRSQ48 | | 0.771 | | | | 0.303 |
| MBRSQ49 | | | -0.416 | | 0.371 | 0.660 |
| MBRSQ50 | 0.515 | | 0.521 | | | 0.426 |
| MBRSQ51 | 0.379 | 0.400 | | | | 0.633 |
| MBRSQ52 | 0.678 | | | | | 0.450 |
| MBRSQ53 | 0.765 | | | | | 0.390 |
| MBRSQ54 | 0.520 | 0.445 | | | | 0.499 |

*Cargas de los Factores Solución Manual 5 factores*

| | Factor 1 | Factor 2 | Factor 3 | Factor 4 | Factor 5 | Unicidad |
|---|---|---|---|---|---|---|
| MBRSQ55 | 0.417 | | | | | 0.658 |
| MBRSQ56 | | | | | | 0.836 |
| MBRSQ57 | | | | 0.645 | | 0.485 |
| MBRSQ58 | | | | 0.672 | | 0.468 |
| MBRSQ59 | | | | 0.531 | | 0.689 |
| MBRSQ60 | | | | 0.521 | | 0.718 |
| MBRSQ61 | | 0.566 | | | | 0.649 |
| MBRSQ62 | | 0.413 | | | | 0.793 |
| MBRSQ63 | | 0.594 | | | | 0.606 |
| MBRSQ64 | | 0.611 | | -0.321 | | 0.499 |
| MBRSQ65 | | 0.700 | | | | 0.473 |
| MBRSQ66 | | 0.593 | | | | 0.587 |
| MBRSQ67 | | 0.617 | | | | 0.517 |
| MBRSQ68 | | | | | | 0.874 |
| MBRSQ69 | | 0.786 | | | | 0.328 |

*Nota.* El método de rotación aplicado es varimax.

Características de los Factores

| | Solución no rotada | | | Solución rotada | | |
|---|---|---|---|---|---|---|
| | Sumas de cargas al cuadrado | Proporción var. | Acumulativo | Sumas de cargas al cuadrado | Proporción var. | Acumulativo |
| Factor 1 | 15.460 | 0.224 | 0.224 | 10.382 | 0.150 | 0.150 |
| Factor 2 | 5.896 | 0.085 | 0.310 | 9.057 | 0.131 | 0.282 |
| Factor 3 | 3.749 | 0.054 | 0.364 | 4.737 | 0.069 | 0.350 |
| Factor 4 | 2.157 | 0.031 | 0.395 | 2.829 | 0.041 | 0.391 |
| Factor 5 | 1.782 | 0.026 | 0.421 | 2.039 | 0.030 | 0.421 |

Índices de ajuste adicionales

| RMSEA | RMSEA 90% confianza | TLI | BIC |
|---|---|---|---|
| 0.061 | 0.059 - 0.063 | 0.750 | -6754.541 |

*Cargas de los Factores Solución Manual de 4 factores (cargas > 0.30)*

| | Factor 1 | Factor 2 | Factor 3 | Factor 4 | Unicidad |
|---|---|---|---|---|---|
| MBRSQ1 | | | 0.643 | | 0.580 |

*Cargas de los Factores Solución Manual de 4 factores (cargas > 0.30)*

| | Factor 1 | Factor 2 | Factor 3 | Factor 4 | Unicidad |
|---|---|---|---|---|---|
| MBRSQ2 | | | 0.593 | | 0.609 |
| MBRSQ3 | 0.578 | | | | 0.648 |
| MBRSQ4 | 0.558 | | | | 0.648 |
| MBRSQ5 | | 0.659 | | | 0.501 |
| MBRSQ6 | 0.736 | | | | 0.384 |
| MBRSQ7 | 0.541 | 0.445 | | | 0.487 |
| MBRSQ8 | 0.478 | | | | 0.658 |
| MBRSQ9 | 0.561 | 0.383 | | | 0.514 |
| MBRSQ10 | | | 0.368 | 0.569 | 0.506 |
| MBRSQ11 | | 0.675 | | | 0.454 |
| MBRSQ12 | | | 0.589 | | 0.616 |
| MBRSQ13 | | | 0.665 | | 0.516 |
| MBRSQ14 | 0.698 | | | | 0.450 |
| MBRSQ15 | 0.682 | | | | 0.517 |
| MBRSQ16 | 0.806 | | | | 0.302 |
| MBRSQ17 | | | | 0.319 | 0.819 |
| MBRSQ18 | 0.453 | | | | 0.616 |
| MBRSQ19 | | 0.321 | | | 0.802 |
| MBRSQ20 | | | 0.366 | | 0.723 |
| MBRSQ21 | | 0.647 | | | 0.521 |
| MBRSQ22 | | | 0.705 | | 0.459 |
| MBRSQ23 | | | | | 0.991 |
| MBRSQ24 | 0.647 | | | | 0.520 |
| MBRSQ25 | | | | | 0.945 |
| MBRSQ26 | 0.799 | | | | 0.337 |
| MBRSQ27 | | | | | 0.865 |
| MBRSQ28 | | | | | 0.876 |
| MBRSQ29 | 0.385 | | | | 0.769 |
| MBRSQ30 | | 0.777 | | | 0.314 |
| MBRSQ31 | | | 0.555 | | 0.614 |
| MBRSQ32 | | | -0.362 | | 0.807 |
| MBRSQ33 | 0.668 | | | | 0.499 |
| MBRSQ34 | | | | | 0.969 |
| MBRSQ35 | 0.837 | | | | 0.284 |
| MBRSQ36 | | | 0.322 | | 0.801 |
| MBRSQ37 | | | | | 0.959 |
| MBRSQ38 | 0.400 | 0.319 | | | 0.668 |
| MBRSQ39 | | 0.693 | | | 0.389 |
| MBRSQ40 | | 0.460 | | | 0.652 |
| MBRSQ41 | | | 0.534 | | 0.659 |
| MBRSQ42 | | 0.809 | | | 0.265 |
| MBRSQ43 | 0.730 | | | | 0.429 |
| MBRSQ44 | 0.762 | | | | 0.374 |
| MBRSQ45 | | | | | 0.839 |
| MBRSQ46 | | | 0.337 | | 0.764 |
| MBRSQ47 | | | | | 0.957 |
| MBRSQ48 | | 0.782 | | | 0.309 |

*Cargas de los Factores Solución Manual de 4 factores (cargas > 0.30)*

| | Factor 1 | Factor 2 | Factor 3 | Factor 4 | Unicidad |
|---|---|---|---|---|---|
| MBRSQ49 | | | -0.390 | | 0.806 |
| MBRSQ50 | 0.521 | | 0.518 | | 0.426 |
| MBRSQ51 | 0.390 | 0.406 | | | 0.644 |
| MBRSQ52 | 0.681 | | | | 0.450 |
| MBRSQ53 | 0.754 | | | | 0.413 |
| MBRSQ54 | 0.516 | 0.437 | | | 0.504 |
| MBRSQ55 | 0.425 | | | | 0.661 |
| MBRSQ56 | | | | | 0.837 |
| MBRSQ57 | | | | 0.658 | 0.501 |
| MBRSQ58 | | | | 0.724 | 0.459 |
| MBRSQ59 | | | | 0.475 | 0.749 |
| MBRSQ60 | | | | 0.470 | 0.767 |
| MBRSQ61 | | 0.559 | | | 0.686 |
| MBRSQ62 | | 0.409 | | | 0.809 |
| MBRSQ63 | | 0.587 | | | 0.610 |
| MBRSQ64 | | 0.598 | | -0.342 | 0.501 |
| MBRSQ65 | | 0.693 | | | 0.476 |
| MBRSQ66 | | 0.590 | | | 0.602 |
| MBRSQ67 | | 0.598 | | -0.311 | 0.521 |
| MBRSQ68 | | | | | 0.874 |
| MBRSQ69 | | 0.771 | | | 0.335 |

*Nota.* El método de rotación aplicado es varimax.

Características de los Factores

| | Solución no rotada | | | Solución rotada | | |
|---|---|---|---|---|---|---|
| | Sumas de cargas al cuadrado | Proporción var. | Acumulativo | Sumas de cargas al cuadrado | Proporción var. | Acumulativo |
| Factor 1 | 15.452 | 0.224 | 0.224 | 10.486 | 0.152 | 0.152 |
| Factor 2 | 5.874 | 0.085 | 0.309 | 8.984 | 0.130 | 0.282 |
| Factor 3 | 3.733 | 0.054 | 0.363 | 4.551 | 0.066 | 0.348 |
| Factor 4 | 2.129 | 0.031 | 0.394 | 3.168 | 0.046 | 0.394 |

Índices de ajuste adicionales

| RMSEA | RMSEA 90% confianza | TLI | BIC |
|---|---|---|---|
| 0.064 | 0.062 - 0.066 | 0.724 | -6559.148 |

*Cargas de los Factores Solución manual 4 factores (cargas > 0.40)*

| | Factor 1 | Factor 2 | Factor 3 | Factor 4 | Unicidad |
|---|---|---|---|---|---|
| MBRSQ1 | | | 0.643 | | 0.580 |
| MBRSQ2 | | | 0.593 | | 0.609 |
| MBRSQ3 | 0.578 | | | | 0.648 |
| MBRSQ4 | 0.558 | | | | 0.648 |
| MBRSQ5 | | 0.659 | | | 0.501 |
| MBRSQ6 | 0.736 | | | | 0.384 |
| MBRSQ7 | 0.541 | 0.445 | | | 0.487 |
| MBRSQ8 | 0.478 | | | | 0.658 |
| MBRSQ9 | 0.561 | | | | 0.514 |
| MBRSQ10 | | | | 0.569 | 0.506 |
| MBRSQ11 | | 0.675 | | | 0.454 |
| MBRSQ12 | | | 0.589 | | 0.616 |
| MBRSQ13 | | | 0.665 | | 0.516 |
| MBRSQ14 | 0.698 | | | | 0.450 |
| MBRSQ15 | 0.682 | | | | 0.517 |
| MBRSQ16 | 0.806 | | | | 0.302 |
| MBRSQ17 | | | | | 0.819 |
| MBRSQ18 | 0.453 | | | | 0.616 |
| MBRSQ19 | | | | | 0.802 |
| MBRSQ20 | | | | | 0.723 |
| MBRSQ21 | | 0.647 | | | 0.521 |
| MBRSQ22 | | | 0.705 | | 0.459 |
| MBRSQ23 | | | | | 0.991 |
| MBRSQ24 | 0.647 | | | | 0.520 |
| MBRSQ25 | | | | | 0.945 |
| MBRSQ26 | 0.799 | | | | 0.337 |
| MBRSQ27 | | | | | 0.865 |
| MBRSQ28 | | | | | 0.876 |
| MBRSQ29 | | | | | 0.769 |
| MBRSQ30 | | 0.777 | | | 0.314 |
| MBRSQ31 | | | 0.555 | | 0.614 |
| MBRSQ32 | | | | | 0.807 |
| MBRSQ33 | 0.668 | | | | 0.499 |
| MBRSQ34 | | | | | 0.969 |
| MBRSQ35 | 0.837 | | | | 0.284 |
| MBRSQ36 | | | | | 0.801 |
| MBRSQ37 | | | | | 0.959 |
| MBRSQ38 | | | | | 0.668 |
| MBRSQ39 | | 0.693 | | | 0.389 |
| MBRSQ40 | | 0.460 | | | 0.652 |
| MBRSQ41 | | | 0.534 | | 0.659 |
| MBRSQ42 | | 0.809 | | | 0.265 |
| MBRSQ43 | 0.730 | | | | 0.429 |
| MBRSQ44 | 0.762 | | | | 0.374 |
| MBRSQ45 | | | | | 0.839 |
| MBRSQ46 | | | | | 0.764 |
| MBRSQ47 | | | | | 0.957 |

*Cargas de los Factores Solución manual 4 factores (cargas > 0.40)*

| | Factor 1 | Factor 2 | Factor 3 | Factor 4 | Unicidad |
|---|---|---|---|---|---|
| MBRSQ48 | | 0.782 | | | 0.309 |
| MBRSQ49 | | | | | 0.806 |
| MBRSQ50 | 0.521 | | 0.518 | | 0.426 |
| MBRSQ51 | | 0.406 | | | 0.644 |
| MBRSQ52 | 0.681 | | | | 0.450 |
| MBRSQ53 | 0.754 | | | | 0.413 |
| MBRSQ54 | 0.516 | 0.437 | | | 0.504 |
| MBRSQ55 | 0.425 | | | | 0.661 |
| MBRSQ56 | | | | | 0.837 |
| MBRSQ57 | | | | 0.658 | 0.501 |
| MBRSQ58 | | | | 0.724 | 0.459 |
| MBRSQ59 | | | | 0.475 | 0.749 |
| MBRSQ60 | | | | 0.470 | 0.767 |
| MBRSQ61 | | 0.559 | | | 0.686 |
| MBRSQ62 | | 0.409 | | | 0.809 |
| MBRSQ63 | | 0.587 | | | 0.610 |
| MBRSQ64 | | 0.598 | | | 0.501 |
| MBRSQ65 | | 0.693 | | | 0.476 |
| MBRSQ66 | | 0.590 | | | 0.602 |
| MBRSQ67 | | 0.598 | | | 0.521 |
| MBRSQ68 | | | | | 0.874 |
| MBRSQ69 | | 0.771 | | | 0.335 |

*Nota.* El método de rotación aplicado es varimax.

***Anexo 26.*** Alfa de Cronbach y las correlaciones ítems-total del MBSRQ (Modelo B)

*Confiabilidad factor 1 MBRSQ (OEEFS)*

Estadísticas de confiabilidad de la escala frecuente

| Estimar | Cronbach's α |
|---|---|
| Estimación por punto | 0.946 |
| IC del 95% límite inferior | 0.939 |
| IC del 95% límite superior | 0.952 |

Estadísticas de confiabilidad de ítems individuales frecuentes

| | si se elimina el ítem | |
|---|---|---|
| Ítem | Cronbach's α | Correlación del elemento con el resto |
| MBRSQ3 | 0.945 | 0.586 |
| MBRSQ4 | 0.946 | 0.493 |
| MBRSQ6 | 0.942 | 0.750 |
| MBRSQ7 | 0.944 | 0.644 |
| MBRSQ8 | 0.945 | 0.543 |
| MBRSQ9 | 0.944 | 0.630 |
| MBRSQ14 | 0.943 | 0.718 |
| MBRSQ15 | 0.944 | 0.636 |
| MBRSQ16 | 0.941 | 0.812 |

Estadísticas de confiabilidad de ítems individuales frecuentes

| | si se elimina el ítem | |
|---|---|---|
| Ítem | Cronbach's α | Correlación del elemento con el resto |
| MBRSQ18 | 0.945 | 0.521 |
| MBRSQ24 | 0.943 | 0.665 |
| MBRSQ26 | 0.942 | 0.770 |
| MBRSQ33 | 0.944 | 0.642 |
| MBRSQ35 | 0.941 | 0.806 |
| MBRSQ43 | 0.942 | 0.722 |
| MBRSQ44 | 0.942 | 0.766 |
| MBRSQ52 | 0.943 | 0.699 |
| MBRSQ53 | 0.942 | 0.743 |
| MBRSQ54 | 0.944 | 0.607 |
| MBRSQ55 | 0.946 | 0.491 |

*Confiabilidad factor 2 MBRSQ (SA)*

Estadísticas de confiabilidad de la escala frecuente

| Estimar | Cronbach's α |
|---|---|
| Estimación por punto | 0.931 |
| IC del 95% límite inferior | 0.922 |
| IC del 95% límite superior | 0.939 |

Estadísticas de confiabilidad de ítems individuales frecuentes

| | si se elimina el ítem | |
|---|---|---|
| Ítem | Cronbach's α | Correlación del elemento con el resto |
| MBRSQ5 | 0.927 | 0.635 |
| MBRSQ11 | 0.926 | 0.703 |
| MBRSQ21 | 0.928 | 0.617 |
| MBRSQ30 | 0.923 | 0.787 |
| MBRSQ39 | 0.925 | 0.738 |
| MBRSQ40 | 0.931 | 0.484 |
| MBRSQ42 | 0.922 | 0.837 |
| MBRSQ48 | 0.924 | 0.783 |
| MBRSQ51 | 0.931 | 0.475 |
| MBRSQ61 | 0.930 | 0.519 |
| MBRSQ62 | 0.933 | 0.388 |
| MBRSQ63 | 0.928 | 0.620 |
| MBRSQ64 | 0.927 | 0.643 |
| MBRSQ65 | 0.926 | 0.709 |
| MBRSQ66 | 0.929 | 0.582 |
| MBRSQ67 | 0.928 | 0.627 |
| MBRSQ69 | 0.925 | 0.791 |

*Confiabilidad factor 3 MBRSQ (OA)*

Estadísticas de confiabilidad de la escala frecuente

| Estimar | Cronbach's α |
|---|---|
| Estimación por punto | 0.842 |

Estadísticas de confiabilidad de la escala frecuente

| Estimar | Cronbach's α |
|---|---|
| IC del 95% límite inferior | 0.820 |
| IC del 95% límite superior | 0.862 |

Estadísticas de confiabilidad de ítems individuales frecuentes

| | si se elimina el ítem | |
|---|---|---|
| Ítem | Cronbach's α | Correlación del elemento con el resto |
| MBRSQ1 | 0.821 | 0.595 |
| MBRSQ2 | 0.824 | 0.576 |
| MBRSQ12 | 0.822 | 0.583 |
| MBRSQ13 | 0.815 | 0.639 |
| MBRSQ22 | 0.814 | 0.668 |
| MBRSQ31 | 0.830 | 0.519 |
| MBRSQ41 | 0.835 | 0.490 |
| MBRSQ50 | 0.826 | 0.557 |

*Confiabilidad factor 4 MBRSQ (PAP)*

Estadísticas de confiabilidad de la escala frecuente

| Estimar | Cronbach's α |
|---|---|
| Estimación por punto | 0.747 |
| IC del 95% límite inferior | 0.714 |
| IC del 95% límite superior | 0.777 |

Estadísticas de confiabilidad de ítems individuales frecuentes

| | si se elimina el ítem | |
|---|---|---|
| Ítem | Cronbach's α | Correlación del elemento con el resto |
| MBRSQ10 | 0.695 | 0.559 |
| MBRSQ57 | 0.685 | 0.567 |
| MBRSQ58 | 0.680 | 0.570 |
| MBRSQ59 | 0.714 | 0.529 |
| MBRSQ60 | 0.727 | 0.491 |

***Anexo 27.*** Análisis factorial exploratorio OBCS (Modelo B)

*Confiabilidad OBCS*

Estadísticas de confiabilidad de la escala frecuente

| Estimar | Cronbach's α |
|---|---|
| Estimación por punto | 0.841 |
| IC del 95% límite inferior | 0.820 |
| IC del 95% límite superior | 0.859 |

*Nota.* Los siguientes ítems se correlacionan negativamente con la escala: OBCS13, OBCS23.

Estadísticas de confiabilidad de ítems individuales frecuentes

| | si se elimina el ítem | |
|---|---|---|
| Ítem | Cronbach's α | Correlación del elemento con el resto |
| OBCS1 | 0.838 | 0.294 |
| OBCS2 | 0.829 | 0.531 |
| OBCS3 | 0.839 | 0.273 |
| OBCS4 | 0.839 | 0.285 |
| OBCS5 | 0.831 | 0.471 |
| OBCS6 | 0.831 | 0.500 |
| OBCS7 | 0.833 | 0.428 |
| OBCS8 | 0.828 | 0.559 |
| OBCS9 | 0.840 | 0.261 |
| OBCS10 | 0.843 | 0.113 |
| OBCS11 | 0.830 | 0.505 |
| OBCS12 | 0.829 | 0.538 |
| OBCS13 | 0.845 | 0.076 |
| OBCS14 | 0.831 | 0.482 |
| OBCS15 | 0.838 | 0.299 |
| OBCS16 | 0.834 | 0.416 |
| OBCS17 | 0.827 | 0.581 |
| OBCS18 | 0.839 | 0.284 |
| OBCS19 | 0.831 | 0.485 |
| OBCS20 | 0.836 | 0.345 |
| OBCS21 | 0.829 | 0.521 |
| OBCS22 | 0.827 | 0.560 |
| OBCS23 | 0.846 | 0.047 |
| OBCS24 | 0.837 | 0.337 |

Prueba de Kaiser-Meyer-Olkin

| | MSA |
|---|---|
| MSA General | 0.853 |

Contraste de Bartlett

| $X^2$ | gl | p |
|---|---|---|
| 4142.012 | 276.000 | < .001 |

Cargas de los Factores

| | Factor 1 | Factor 2 | Factor 3 | Unicidad |
|---|---|---|---|---|

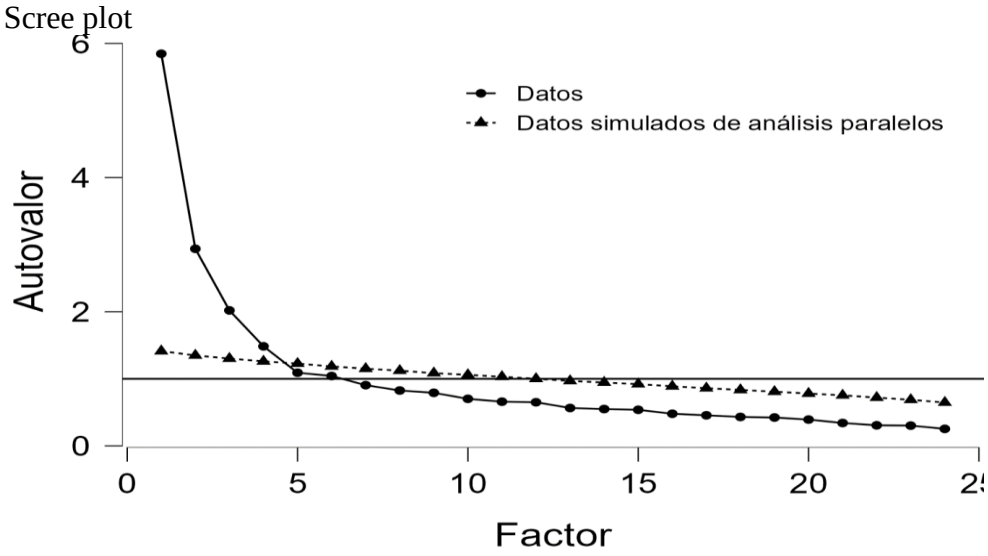
Cargas de los Factores

| | Factor 1 | Factor 2 | Factor 3 | Unicidad |
|---|---|---|---|---|
| OBCS1 | | 0.424 | | 0.806 |
| OBCS2 | 0.605 | | | 0.601 |
| OBCS3 | | 0.533 | | 0.709 |
| OBCS4 | | | 0.416 | 0.700 |
| OBCS5 | 0.657 | | | 0.557 |
| OBCS6 | | | | 0.681 |
| OBCS7 | | 0.506 | | 0.687 |
| OBCS8 | 0.782 | | | 0.387 |
| OBCS9 | | 0.525 | | 0.724 |
| OBCS10 | | | -0.481 | 0.667 |
| OBCS11 | 0.645 | | | 0.524 |
| OBCS12 | 0.563 | | | 0.570 |
| OBCS13 | | | | 0.787 |
| OBCS14 | 0.723 | | | 0.476 |
| OBCS15 | | 0.435 | | 0.795 |
| OBCS16 | 0.628 | | | 0.593 |
| OBCS17 | 0.649 | | | 0.520 |
| OBCS18 | | 0.478 | | 0.765 |
| OBCS19 | | | 0.545 | 0.520 |
| OBCS20 | | 0.581 | | 0.659 |
| OBCS21 | 0.485 | | 0.433 | 0.547 |
| OBCS22 | 0.731 | | | 0.442 |
| OBCS23 | | | -0.513 | 0.649 |
| OBCS24 | | | 0.475 | 0.692 |

*Nota.* El método de rotación aplicado es varimax.

Características de los Factores

| | Solución no rotada | | | Solución rotada | | |
|---|---|---|---|---|---|---|
| | Sumas de cargas al cuadrado | Proporción var. | Acumulativo | Sumas de cargas al cuadrado | Proporción var. | Acumulativo |
| Factor 1 | 5.299 | 0.221 | 0.221 | 4.608 | 0.192 | 0.192 |
| Factor 2 | 2.246 | 0.094 | 0.314 | 2.555 | 0.106 | 0.298 |
| Factor 3 | 1.397 | 0.058 | 0.373 | 1.779 | 0.074 | 0.373 |




***Anexo 28.*** Alfa de Cronbach y las correlaciones ítems-total del OBCS (Modelo B)

## *Confiabilidad factor 1 OBCS (Verg)*

Estadísticas de confiabilidad de la escala frecuente

| Estimar | Cronbach's α |
|---|---|
| Estimación por punto | 0.882 |
| IC del 95% límite inferior | 0.865 |
| IC del 95% límite superior | 0.896 |

Estadísticas de confiabilidad de ítems individuales frecuentes

| Ítem | si se elimina el ítem Cronbach's α | Correlación del elemento con el resto |
|---|---|---|
| OBCS2 | 0.873 | 0.580 |
| OBCS5 | 0.870 | 0.610 |
| OBCS8 | 0.863 | 0.694 |
| OBCS11 | 0.867 | 0.648 |
| OBCS12 | 0.873 | 0.575 |
| OBCS14 | 0.867 | 0.644 |
| OBCS16 | 0.876 | 0.535 |
| OBCS17 | 0.867 | 0.649 |
| OBCS22 | 0.861 | 0.714 |

## *Confiabilidad factor 2 OBCS (vIG)*

Estadísticas de confiabilidad de la escala frecuente

| Estimar | Cronbach's α |
|---|---|
| Estimación por punto | 0.702 |

Estadísticas de confiabilidad de la escala frecuente

| Estimar | Cronbach's α |
|---|---|
| IC del 95% límite inferior | 0.660 |
| IC del 95% límite superior | 0.740 |

Estadísticas de confiabilidad de ítems individuales frecuentes

| | si se elimina el ítem | |
|---|---|---|
| Ítem | Cronbach's α | Correlación del elemento con el resto |
| OBCS1 | 0.683 | 0.356 |
| OBCS3 | 0.657 | 0.458 |
| OBCS7 | 0.673 | 0.393 |
| OBCS9 | 0.662 | 0.436 |
| OBCS15 | 0.686 | 0.344 |
| OBCS18 | 0.665 | 0.423 |
| OBCS20 | 0.654 | 0.474 |

## *Confiabilidad factor 3 OBCS (CCA)*

Estadísticas de confiabilidad de la escala frecuente

| Estimar | McDonald's ω | Cronbach's α | Average interitem correlation |
|---|---|---|---|
| Estimación por punto | 0.669 | 0.666 | 0.244 |
| IC del 95% límite inferior | 0.626 | 0.619 | 0.206 |
| IC del 95% límite superior | 0.713 | 0.708 | 0.286 |

Estadísticas de confiabilidad de ítems individuales frecuentes

| | si se elimina el ítem | | |
|---|---|---|---|
| Ítem | McDonald's ω | Cronbach's α | Correlación del elemento con el resto |
| OBCS4 | 0.656 | 0.642 | 0.348 |
| OBCS10 | 0.680 | 0.669 | 0.240 |
| OBCS19 | 0.573 | 0.564 | 0.559 |
| OBCS21 | 0.642 | 0.613 | 0.429 |
| OBCS23 | 0.689 | 0.655 | 0.301 |
| OBCS24 | 0.600 | 0.585 | 0.498 |

*Nota.* Los siguientes ítems fueron escalados en forma inversa: OBCS4, OBCS19, OBCS21, OBCS24.

***Anexo 29.*** Análisis factorial exploratorio BICSI-PRA (Modelo B)

*Confiabilidad BICSI-PRA*

Estadísticas de confiabilidad de la escala frecuente

| Estimar | Cronbach's α |
|---|---|
| Estimación por punto | 0.835 |
| IC del 95% límite inferior | 0.813 |
| IC del 95% límite superior | 0.856 |

Estadísticas de confiabilidad de ítems individuales frecuentes

| | si se elimina el ítem | |
|---|---|---|
| Ítem | Cronbach's α | Correlación del elemento con el resto |
| BICSI.PRA1 | 0.818 | 0.555 |
| BICSI.PRA2 | 0.821 | 0.517 |
| BICSI.PRA3 | 0.813 | 0.608 |
| BICSI.PRA4 | 0.820 | 0.531 |
| BICSI.PRA5 | 0.822 | 0.508 |
| BICSI.PRA6 | 0.824 | 0.481 |
| BICSI.PRA7 | 0.823 | 0.491 |
| BICSI.PRA8 | 0.826 | 0.458 |
| BICSI.PRA9 | 0.822 | 0.505 |
| BICSI.PRA10 | 0.828 | 0.438 |
| BICSI.PRA11 | 0.822 | 0.514 |

Prueba de Kaiser-Meyer-Olkin

| | MSA |
|---|---|
| MSA General | 0.845 |

Contraste de Bartlett

| $X^2$ | gl | p |
|---|---|---|
| 1683.050 | 55.000 | < .001 |

Características de los Factores

| | Solución no rotada | | | Solución rotada | | |
|---|---|---|---|---|---|---|
| | Sumas de cargas al cuadrado | Proporción var. | Acumulativo | Sumas de cargas al cuadrado | Proporción var. | Acumulativo |
| Factor 1 | 3.603 | 0.328 | 0.328 | 2.288 | 0.208 | 0.208 |
| Factor 2 | 0.944 | 0.086 | 0.413 | 2.260 | 0.205 | 0.413 |

Correlaciones de factores

| | Factor 1 | Factor 2 |
|---|---|---|
| Factor 1 | 1.000 | 0.611 |
| Factor 2 | 0.611 | 1.000 |

| Correlaciones de factores | | |
|---|---|---|
| | Factor 1 | Factor 2 |

***Anexo 30.*** Alfa de Cronbach y las correlaciones ítems-total del BICSI-PRA (Modelo B)

## *Confiabilidad factor 1 BICSI-PRA (EAAA)*

| Estadísticas de confiabilidad de la escala frecuente | |
|---|---|
| Estimar | Cronbach's α |
| Estimación por punto | 0.782 |
| IC del 95% límite inferior | 0.751 |
| IC del 95% límite superior | 0.810 |

Estadísticas de confiabilidad de ítems individuales frecuentes

| | si se elimina el ítem | |
|---|---|---|
| Ítem | Cronbach's α | Correlación del elemento con el resto |
| BICSI.PRA4 | 0.754 | 0.512 |
| BICSI.PRA5 | 0.739 | 0.588 |
| BICSI.PRA7 | 0.752 | 0.522 |
| BICSI.PRA10 | 0.752 | 0.519 |
| BICSI.PRA11 | 0.750 | 0.532 |
| BICSI.PRA6 | 0.768 | 0.441 |
| BICSI.PRA9 | 0.768 | 0.442 |

## *Confiabilidad factor 2 BICSI-PRA (EAAD)*

| Estadísticas de confiabilidad de la escala frecuente | |
|---|---|
| Estimar | Cronbach's α |
| Estimación por punto | 0.786 |
| IC del 95% límite inferior | 0.753 |
| IC del 95% límite superior | 0.815 |

Estadísticas de confiabilidad de ítems individuales frecuentes

| | si se elimina el ítem | |
|---|---|---|
| Ítem | Cronbach's α | Correlación del elemento con el resto |
| BICSI.PRA1 | 0.723 | 0.613 |
| BICSI.PRA2 | 0.705 | 0.648 |
| BICSI.PRA3 | 0.691 | 0.678 |
| BICSI.PRA8 | 0.804 | 0.444 |

***Anexo 31.*** Análisis factorial exploratorio ISBIS (Modelo B)

## *Confiabilidad ISBIS*

Estadísticas de confiabilidad de la escala frecuente

| Estimar | Cronbach's α |
|---|---|
| Estimación por punto | 0.880 |
| IC del 95% límite inferior | 0.863 |
| IC del 95% límite superior | 0.896 |

Estadísticas de confiabilidad de ítems individuales frecuentes

| | si se elimina el ítem | |
|---|---|---|
| Ítem | Cronbach's α | Correlación del elemento con el resto |
| ISBIS1 | 0.868 | 0.624 |
| ISBIS2 | 0.884 | 0.419 |
| ISBIS3 | 0.872 | 0.579 |
| ISBIS4 | 0.865 | 0.649 |
| ISBIS5 | 0.866 | 0.642 |
| ISBIS6 | 0.863 | 0.678 |
| ISBIS7 | 0.855 | 0.758 |
| ISBIS9 | 0.860 | 0.706 |
| ISBIS10 | 0.871 | 0.576 |

## *Análisis factorial exploratorio ISBIS*

Prueba de Kaiser-Meyer-Olkin

| | MSA |
|---|---|
| MSA General | 0.833 |

Contraste de Bartlett

| $X^2$ | gl | p |
|---|---|---|
| 2811.240 | 36.000 | < .001 |

Cargas de los Factores

| | Factor 1 | Factor 2 | Unicidad |
|---|---|---|---|
| ISBIS5 | 0.925 | | 0.207 |
| ISBIS3 | 0.862 | | 0.328 |
| ISBIS4 | 0.811 | | 0.332 |
| ISBIS9 | 0.710 | | 0.355 |
| ISBIS2 | | 0.780 | 0.504 |
| ISBIS10 | | 0.773 | 0.428 |
| ISBIS7 | | 0.749 | 0.258 |
| ISBIS1 | | 0.740 | 0.418 |
| ISBIS6 | | 0.703 | 0.384 |

*Nota.* El método de rotación aplicado es promax.

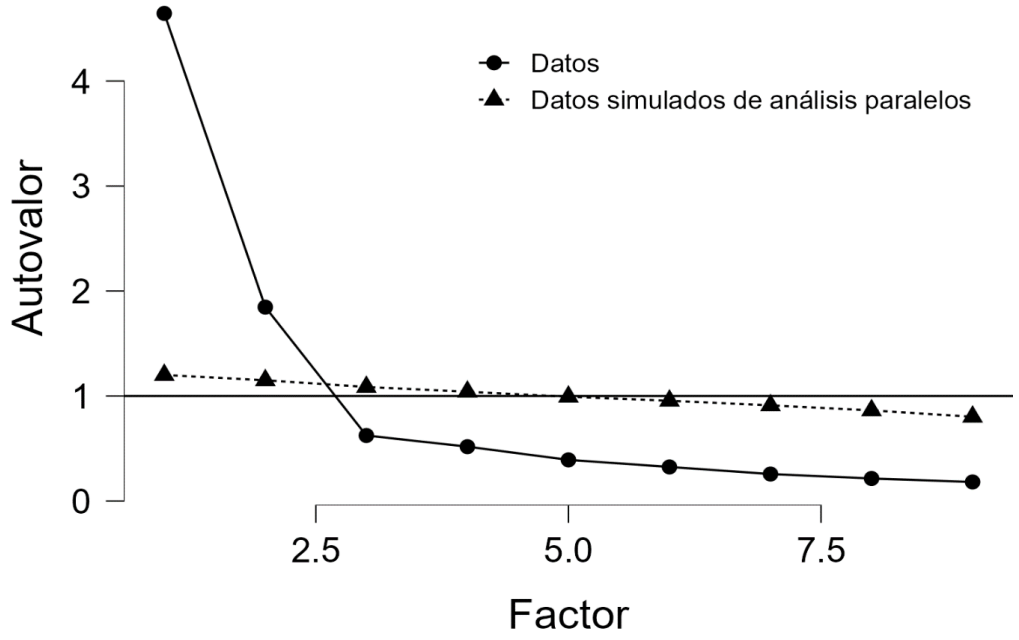
Características de los Factores

| | Solución no rotada | | | Solución rotada | | |
|---|---|---|---|---|---|---|
| | Sumas de cargas al cuadrado | Proporción var. | Acumulativo | Sumas de cargas al cuadrado | Proporción var. | Acumulativo |
| Factor 1 | 4.301 | 0.478 | 0.478 | 2.903 | 0.323 | 0.323 |
| Factor 2 | 1.484 | 0.165 | 0.643 | 2.882 | 0.320 | 0.643 |

Correlaciones de factores

| | Factor 1 | Factor 2 |
|---|---|---|
| Factor 1 | 1.000 | 0.470 |
| Factor 2 | 0.470 | 1.000 |

Scree plot




***Anexo 32.*** Alfa de Cronbach y las correlaciones ítems-total del ISBIS (Modelo B)

## *Confiabilidad ISBIS factor 1 (ICD)*

Estadísticas de confiabilidad de la escala frecuente

| Estimar | Cronbach's α |
|---|---|
| Estimación por punto | 0.896 |
| IC del 95% límite inferior | 0.880 |
| IC del 95% límite superior | 0.910 |

Estadísticas de confiabilidad de ítems individuales frecuentes

| Ítem | si se elimina el ítem<br>Cronbach's α | Correlación del elemento con el resto |
|---|---|---|
| ISBIS3 | 0.873 | 0.748 |
| ISBIS4 | 0.862 | 0.779 |
| ISBIS5 | 0.848 | 0.816 |
| ISBIS9 | 0.878 | 0.733 |

## *Confiabilidad ISBIS factor 2 (ICMA)*

Estadísticas de confiabilidad de la escala frecuente

| Estimar | Cronbach's α |
|---|---|
| Estimación por punto | 0.872 |
| IC del 95% límite inferior | 0.853 |
| IC del 95% límite superior | 0.889 |

Estadísticas de confiabilidad de ítems individuales frecuentes

| Ítem | si se elimina el ítem<br>Cronbach's α | Correlación del elemento con el resto |
|---|---|---|
| ISBIS1 | 0.842 | 0.712 |
| ISBIS2 | 0.867 | 0.605 |
| ISBIS6 | 0.841 | 0.716 |
| ISBIS7 | 0.827 | 0.770 |
| ISBIS10 | 0.846 | 0.697 |

***Anexo 33.*** Análisis factorial exploratorio BAOS (Modelo B)

## *Confiabilidad BAOS*

| Estimar | Cronbach's α |
|---|---|
| Estimación por punto | 0.865 |
| IC del 95% límite inferior | 0.846 |
| IC del 95% límite superior | 0.882 |

| Ítem | Cronbach's α | Correlación del elemento con el resto |
|---|---|---|
| BAOS1 | 0.854 | 0.582 |
| BAOS2 | 0.852 | 0.588 |
| BAOS3 | 0.854 | 0.565 |
| BAOS4 | 0.849 | 0.622 |
| BAOS5 | 0.853 | 0.576 |
| BAOS6 | 0.850 | 0.606 |
| BAOS7 | 0.854 | 0.568 |
| BAOS8 | 0.858 | 0.526 |
| BAOS9 | 0.849 | 0.632 |
| BAOS10 | 0.853 | 0.580 |

## *Análisis factorial exploratorio BAOS*

Prueba de Kaiser-Meyer-Olkin

| | MSA |
|---|---|
| MSA General | 0.750 |

Contraste de Bartlett

| $X^2$ | gl | p |
|---|---|---|
| 3273.633 | 45.000 | < .001 |

Cargas de los Factores

| | Factor 1 | Factor 2 | Unicidad |
|---|---|---|---|
| BAOS1 | 0.705 | | 0.506 |
| BAOS2 | 0.726 | | 0.479 |
| BAOS3 | 0.641 | | 0.573 |
| BAOS4 | 0.688 | | 0.494 |
| BAOS5 | 0.793 | | 0.427 |
| BAOS6 | 0.810 | | 0.392 |
| BAOS7 | | 0.876 | 0.282 |
| BAOS8 | | 0.939 | 0.228 |
| BAOS9 | | 0.450 | 0.539 |
| BAOS10 | | 0.743 | 0.412 |

*Nota.* El método de rotación aplicado es promax.

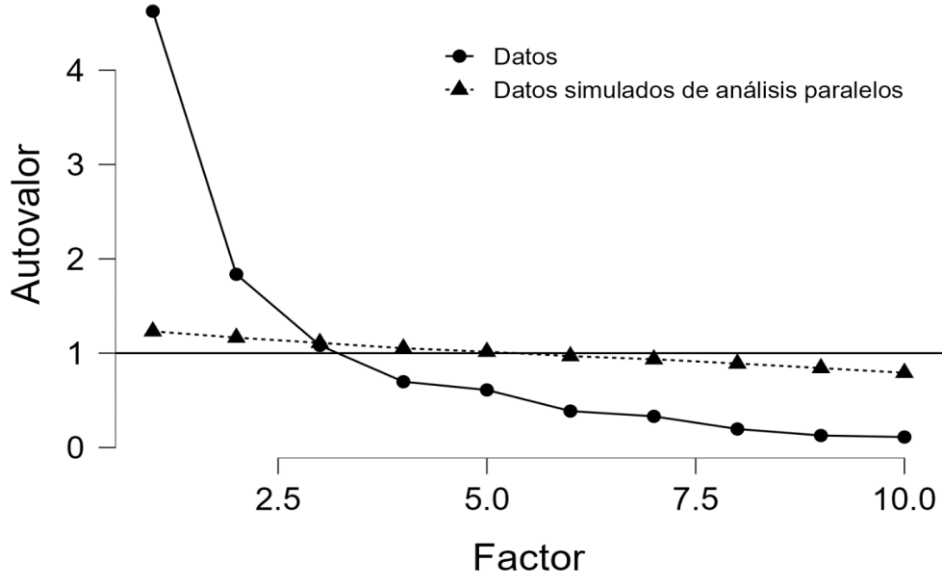
Características de los Factores

| | Solución no rotada | | | Solución rotada | | |
|---|---|---|---|---|---|---|
| | Sumas de cargas al cuadrado | Proporción var. | Acumulativo | Sumas de cargas al cuadrado | Proporción var. | Acumulativo |
| Factor 1 | 4.184 | 0.418 | 0.418 | 3.293 | 0.329 | 0.329 |
| Factor 2 | 1.483 | 0.148 | 0.567 | 2.375 | 0.237 | 0.567 |

Correlaciones de factores

| | Factor 1 | Factor 2 |
|---|---|---|
| Factor 1 | 1.000 | 0.479 |
| Factor 2 | 0.479 | 1.000 |

Scree plot



***Anexo 34.*** Alfa de Cronbach y las correlaciones ítems-total del BAOS (Modelo B)

## *Confiabilidad BAOS factor 1 (PAAFP)*

Estadísticas de confiabilidad de la escala frecuente

| Estimar | Cronbach's α |
|---|---|
| Estimación por punto | 0.862 |
| IC del 95% límite inferior | 0.842 |
| IC del 95% límite superior | 0.880 |

Estadísticas de confiabilidad de ítems individuales frecuentes

| | si se elimina el ítem | |
|---|---|---|
| Ítem | Cronbach's α | Correlación del elemento con el resto |
| BAOS1 | 0.844 | 0.641 |
| BAOS2 | 0.840 | 0.649 |
| BAOS3 | 0.844 | 0.637 |
| BAOS4 | 0.834 | 0.692 |
| BAOS5 | 0.839 | 0.657 |
| BAOS6 | 0.833 | 0.688 |

## *Confiabilidad BAOS factor 2 (PAMCRS)*

Estadísticas de confiabilidad de la escala frecuente

| Estimar | Cronbach's α |
|---|---|
| Estimación por punto | 0.853 |
| IC del 95% límite inferior | 0.832 |
| IC del 95% límite superior | 0.873 |

Estadísticas de confiabilidad de ítems individuales frecuentes

| | si se elimina el ítem | |
|---|---|---|
| Ítem | Cronbach's α | Correlación del elemento con el resto |
| BAOS7 | 0.789 | 0.750 |
| BAOS8 | 0.786 | 0.758 |
| BAOS9 | 0.864 | 0.565 |
| BAOS10 | 0.802 | 0.723 |

***Anexo 35.*** Análisis descriptivo de las variables de estudio (Modelo B)

*MBSRQ-Imagen corporal*

| | | | Estadístico | Desv. Error |
|---|---|---|---|---|
| OEEFS | Media | | 3.2388 | 0.04123 |
| | 95% de intervalo de confianza para la media | Límite inferior | 3.1578 | |
| | | Límite superior | 3.3199 | |
| | Media recortada al 5% | | 3.2476 | |
| | Mediana | | 3.2000 | |
| | Varianza | | 0.854 | |
| | Desv. Desviación | | 0.92386 | |
| | Mínimo | | 1.10 | |
| | Máximo | | 5.00 | |
| | Rango | | 3.90 | |
| | Rango intercuartil | | 1.40 | |
| | Asimetría | | -0.055 | 0.109 |
| | Curtosis | | -0.799 | 0.218 |
| SA | Media | | 3.3384 | 0.03823 |
| | 95% de intervalo de confianza para la media | Límite inferior | 3.2633 | |
| | | Límite superior | 3.4135 | |
| | Media recortada al 5% | | 3.3589 | |
| | Mediana | | 3.4118 | |
| | Varianza | | 0.734 | |
| | Desv. Desviación | | 0.85651 | |
| | Mínimo | | 1.18 | |
| | Máximo | | 5.00 | |
| | Rango | | 3.82 | |
| | Rango intercuartil | | 1.24 | |
| | Asimetría | | -0.320 | 0.109 |
| | Curtosis | | -0.564 | 0.218 |
| OA | Media | | 3.7801 | 0.03702 |
| | 95% de intervalo de confianza para la media | Límite inferior | 3.7074 | |
| | | Límite superior | 3.8529 | |

| | | | | |
|---|---|---|---|---|
| | Media recortada al 5% | | 3.8215 | |
| | Mediana | | 3.8750 | |
| | Varianza | | 0.688 | |
| | Desv. Desviación | | 0.82938 | |
| | Mínimo | | 1.13 | |
| | Máximo | | 5.00 | |
| | Rango | | 3.88 | |
| | Rango intercuartil | | 1.13 | |
| | Asimetría | | -0.649 | 0.109 |
| | Curtosis | | -0.080 | 0.218 |
| PAP | Media | | 2.6661 | 0.03728 |
| | 95% de intervalo de confianza para la media | Límite inferior | 2.5929 | |
| | | Límite superior | 2.7394 | |
| | Media recortada al 5% | | 2.6491 | |
| | Mediana | | 2.6000 | |
| | Varianza | | 0.698 | |
| | Desv. Desviación | | 0.83521 | |
| | Mínimo | | 1.00 | |
| | Máximo | | 4.60 | |
| | Rango | | 3.60 | |
| | Rango intercuartil | | 1.40 | |
| | Asimetría | | 0.258 | 0.109 |
| | Curtosis | | -0.786 | 0.218 |

**Estadísticos Descriptivos**

| | **OEEFS** | **SA** | **OA** | **PAP** |
|---|---|---|---|---|
| Válido | 502 | 502 | 502 | 502 |
| Ausente | 0 | 0 | 0 | 0 |
| Media | 3.239 | 3.338 | 3.78 | 2.666 |
| DE | 0.924 | 0.857 | 0.829 | 0.835 |
| CV | 0.285 | 0.257 | 0.219 | 0.313 |

*BICSI-Estrategias de afrontamiento de aceptación racional positiva*

| | | Estadístico | Desv. Error |
|---|---|---|---|
| EAAA | Media | 2.9633 | 0.03007 |

| | | | | |
|---|---|---|---|---|
| | 95% de intervalo de confianza para la media | Límite inferior | 2.9042 | |
| | | Límite superior | 3.0224 | |
| | Media recortada al 5% | | 2.9950 | |
| | Mediana | | 3.0000 | |
| | Varianza | | 0.454 | |
| | Desv. Desviación | | 0.67369 | |
| | Mínimo | | 1.00 | |
| | Máximo | | 4.00 | |
| | Rango | | 3.00 | |
| | Rango intercuartil | | 1.00 | |
| | Asimetría | | -0.625 | 0.109 |
| | Curtosis | | 0.029 | 0.218 |
| EAED | Media | | 2.7291 | 0.03751 |
| | 95% de intervalo de confianza para la media | Límite inferior | 2.6554 | |
| | | Límite superior | 2.8028 | |
| | Media recortada al 5% | | 2.7545 | |
| | Mediana | | 2.7500 | |
| | Varianza | | 0.706 | |
| | Desv. Desviación | | 0.84033 | |
| | Mínimo | | 1.00 | |
| | Máximo | | 4.00 | |
| | Rango | | 3.00 | |
| | Rango intercuartil | | 1.25 | |
| | Asimetría | | -0.331 | 0.109 |
| | Curtosis | | -0.693 | 0.218 |

**Estadísticos Descriptivos**

| | EAAA | EAED |
|---|---|---|
| Válido | 502 | 502 |
| Ausente | 0 | 0 |
| Media | 2.963 | 2.729 |
| DE | 0.674 | 0.84 |
| CV | 0.227 | 0.308 |

*OBCS-Autoobjetivación*

| | | | Estadístico | Desv. Error |
|---|---|---|---|---|
| Verg | Media | | 3.5421 | 0.06569 |
| | 95% de intervalo de confianza para la media | Límite inferior | 3.4130 | |
| | | Límite superior | 3.6711 | |
| | Media recortada al 5% | | 3.5041 | |
| | Mediana | | 3.3333 | |
| | Varianza | | 2.166 | |
| | Desv. Desviación | | 1.47183 | |
| | Mínimo | | 1.00 | |
| | Máximo | | 7.00 | |
| | Rango | | 6.00 | |
| | Rango intercuartil | | 2.14 | |
| | Asimetría | | 0.389 | 0.109 |
| | Curtosis | | -0.663 | 0.218 |
| Vigi | Media | | 3.8916 | 0.05291 |
| | 95% de intervalo de confianza para la media | Límite inferior | 3.7876 | |
| | | Límite superior | 3.9955 | |
| | Media recortada al 5% | | 3.8570 | |
| | Mediana | | 3.7143 | |
| | Varianza | | 1.405 | |
| | Desv. Desviación | | 1.18537 | |
| | Mínimo | | 1.57 | |
| | Máximo | | 7.00 | |
| | Rango | | 5.43 | |
| | Rango intercuartil | | 1.57 | |
| | Asimetría | | 0.429 | 0.109 |
| | Curtosis | | -0.221 | 0.218 |
| CCA | Media | | 5.1411 | 0.05033 |
| | 95% de intervalo de confianza para la media | Límite inferior | 5.0422 | |
| | | Límite superior | 5.2400 | |
| | Media recortada al 5% | | 5.1730 | |
| | Mediana | | 5.1667 | |
| | Varianza | | 1.271 | |

| | | | |
|---|---|---|---|
| | Desv. Desviación | 1.12757 | |
| | Mínimo | 1.50 | |
| | Máximo | 7.00 | |
| | Rango | 5.50 | |
| | Rango intercuartil | 1.67 | |
| | Asimetría | -0.402 | 0.109 |
| | Curtosis | -0.400 | 0.218 |

**Estadísticos Descriptivos**

| | Verg | Vig | CCA |
|---|---|---|---|
| Media | 3.542 | 3.892 | 5.141 |
| DE | 1.472 | 1.185 | 1.128 |
| CV | 0.416 | 0.305 | 0.219 |

*ISBIS-Ideal corporal idealizado*

| | | | Estadístico | Desv. Error |
|---|---|---|---|---|
| ICD | Media | | 2.8870 | 0.05515 |
| | 95% de intervalo de confianza para la media | Límite inferior | 2.7786 | |
| | | Límite superior | 2.9953 | |
| | Media recortada al 5% | | 2.8744 | |
| | Mediana | | 3.0000 | |
| | Varianza | | 1.527 | |
| | Desv. Desviación | | 1.23561 | |
| | Mínimo | | 1.00 | |
| | Máximo | | 5.00 | |
| | Rango | | 4.00 | |
| | Rango intercuartil | | 2.00 | |
| | Asimetría | | 0.102 | 0.109 |
| | Curtosis | | -1.101 | 0.218 |
| ICMA | Media | | 2.5717 | 0.04661 |
| | 95% de intervalo de confianza para la media | Límite inferior | 2.4801 | |

| | | | | |
|---|---|---|---|---|
| | | Límite superior | 2.6633 | |
| | Media recortada al 5% | | 2.5398 | |
| | Mediana | | 2.4000 | |
| | Varianza | | 1.091 | |
| | Desv. Desviación | | 1.04429 | |
| | Mínimo | | 1.00 | |
| | Máximo | | 5.00 | |
| | Rango | | 4.00 | |
| | Rango intercuartil | | 1.60 | |
| | Asimetría | | 0.324 | 0.109 |
| | Curtosis | | -0.776 | 0.218 |

**Estadísticos Descriptivos**

| | ICD | ICMA |
|---|---|---|
| Válido | 502 | 502 |
| Ausente | 0 | 0 |
| Media | 2.887 | 2.572 |
| DE | 1.236 | 1.044 |
| CV | 0.428 | 0.406 |

*BAOS-Percepción de aceptación del cuerpo por otros*

| | | | Estadístico | Desv. Error |
|---|---|---|---|---|
| PAFAP | Media | | 4.1384 | 0.03609 |
| | 95% de intervalo de confianza para la media | Límite inferior | 4.0675 | |
| | | Límite superior | 4.2093 | |
| | Media recortada al 5% | | 4.2059 | |
| | Mediana | | 4.3333 | |
| | Varianza | | 0.654 | |
| | Desv. Desviación | | 0.80853 | |
| | Mínimo | | 1.00 | |
| | Máximo | | 5.00 | |
| | Rango | | 4.00 | |
| | Rango intercuartil | | 1.17 | |
| | Asimetría | | -1.024 | 0.109 |

| | | | | |
|---|---|---|---|---|
| | Curtosis | | 0.616 | 0.218 |
| PAMRS | Media | | 3.6215 | 0.04432 |
| | 95% de intervalo de confianza para la media | Límite inferior | 3.5344 | |
| | | Límite superior | 3.7086 | |
| | Media recortada al 5% | | 3.6571 | |
| | Mediana | | 3.5000 | |
| | Varianza | | 0.986 | |
| | Desv. Desviación | | 0.99308 | |
| | Mínimo | | 1.00 | |
| | Máximo | | 5.00 | |
| | Rango | | 4.00 | |
| | Rango intercuartil | | 1.50 | |
| | Asimetría | | -0.285 | 0.109 |
| | Curtosis | | -0.740 | 0.218 |

**Estadísticos Descriptivos**

| | PAFAP | PAMRS |
|---|---|---|
| Válido | 502 | 502 |
| Ausente | 0 | 0 |
| Media | 4.138 | 3.622 |
| DE | 0.809 | 0.993 |
| CV | 0.195 | 0.274 |

***Anexo 36.*** Análisis de normalidad multivariada Modelo B

| Variable | min | max | skew | c.r. | kurtosis | c.r. |
|---|---|---|---|---|---|---|
| Sex | 1.000 | 2.000 | .298 | 2.726 | -1.911 | -8.741 |
| PAMRS | 1.000 | 5.000 | -.284 | -2.595 | -.745 | -3.406 |
| PAFAP | 1.000 | 5.000 | -1.021 | -9.337 | .598 | 2.736 |
| ICMA | 1.000 | 5.000 | .323 | 2.957 | -.780 | -3.568 |
| ICD | 1.000 | 5.000 | .102 | .934 | -1.102 | -5.038 |
| CCA | 1.500 | 7.000 | -.400 | -3.663 | -.408 | -1.867 |
| Vig | 1.571 | 7.000 | .428 | 3.912 | -.231 | -1.055 |
| Verg | 1.000 | 7.000 | .388 | 3.545 | -.668 | -3.055 |
| EAED | 1.000 | 4.000 | -.330 | -3.021 | -.698 | -3.191 |
| EAAA | 1.000 | 4.000 | -.623 | -5.703 | .017 | .079 |
| PAP | 1.000 | 4.600 | .257 | 2.353 | -.790 | -3.612 |
| OA | 1.125 | 5.000 | -.648 | -5.923 | -.091 | -.416 |
| SA | 1.176 | 5.000 | -.319 | -2.917 | -.571 | -2.610 |
| OEEFS | 1.100 | 5.000 | -.055 | -.502 | -.803 | -3.674 |
| Multivariate | | | | | 7.822 | 4.140 |

***Anexo 37.*** Correlaciones entre las variables de estudio (Modelo B)

*MBSRQ-Imagen corporal*

| | | OEEFS | SA | OA | PAP |
|---|---|---|---|---|---|
| OEEFS | Correlación de Pearson | 1 | ,506** | ,341** | 0.068 |
| | Sig. (bilateral) | | 0.000 | 0.000 | 0.130 |
| | N | 502 | 502 | 502 | 502 |
| SA | Correlación de Pearson | ,506** | 1 | ,198** | -,179** |
| | Sig. (bilateral) | 0.000 | | 0.000 | 0.000 |
| | N | 502 | 502 | 502 | 502 |
| OA | Correlación de Pearson | ,341** | ,198** | 1 | ,260** |
| | Sig. (bilateral) | 0.000 | 0.000 | | 0.000 |
| | N | 502 | 502 | 502 | 502 |
| PAP | Correlación de Pearson | 0.068 | -,179** | ,260** | 1 |
| | Sig. (bilateral) | 0.130 | 0.000 | 0.000 | |
| | N | 502 | 502 | 502 | 502 |

**. La correlación es significativa en el nivel 0,01 (bilateral).

*BICSI-Estrategias de afrontamiento de aceptación racional positiva*

| | | EAAA | EAED |
|---|---|---|---|
| EAAA | Correlación de Pearson | 1 | ,511** |
| | Sig. (bilateral) | | 0.000 |
| | N | 502 | 502 |
| EAED | Correlación de Pearson | ,511** | 1 |
| | Sig. (bilateral) | 0.000 | |
| | N | 502 | 502 |

**. La correlación es significativa en el nivel 0,01 (bilateral).

*OBCS-Autoobjetivación*

| | | Verg | Vigi | CCA |
|---|---|---|---|---|
| Verg | Correlación de Pearson | 1 | ,176** | -,379** |
| | Sig. (bilateral) | | 0.000 | 0.000 |
| | N | 502 | 502 | 502 |
| Vigi | Correlación de Pearson | ,176** | 1 | -,161** |
| | Sig. (bilateral) | 0.000 | | 0.000 |
| | N | 502 | 502 | 502 |
| CCA | Correlación de Pearson | -,379** | -,161** | 1 |
| | Sig. (bilateral) | 0.000 | 0.000 | |
| | N | 502 | 502 | 502 |

**. La correlación es significativa en el nivel 0,01 (bilateral).

*ISBIS-Ideal corporal idealizado*

| | | ICD | ICMA |
|---|---|---|---|
| ICD | Correlación de Pearson | 1 | ,447** |
| | Sig. (bilateral) | | 0.000 |
| | N | 502 | 502 |
| ICMA | Correlación de Pearson | ,447** | 1 |
| | Sig. (bilateral) | 0.000 | |
| | N | 502 | 502 |

**. La correlación es significativa en el nivel 0,01 (bilateral).

*BAOS-Percepción de aceptación del cuerpo por otros*

| | | PAFAP | PAMRS |
|---|---|---|---|
| PAFAP | Correlación de Pearson | 1 | ,423** |
| | Sig. (bilateral) | | 0.000 |
| | N | 502 | 502 |
| PAMRS | Correlación de Pearson | ,423** | 1 |
| | Sig. (bilateral) | 0.000 | |
| | N | 502 | 502 |

**. La correlación es significativa en el nivel 0,01 (bilateral).

***Anexo 38.*** Modelo de ecuaciones estructurales (Modelo B)

**Notes for Group (Group number 1)**

The model is recursive.
Sample size = 502

**Variable Summary (Group number 1)**

**Your model contains the following variables (Group number 1)**

Observed, endogenous variables
OEEFS
SA
OA
PAP
EAAA
EAED
Verg
Vig
CCA
ICD
ICMA
PAFAP
PAMRS
Observed, exogenous variables
Sex
Unobserved, endogenous variables
IC
EAAP
AO
ICI
PAOP
Unobserved, exogenous variables
e1
e2
e3
e4
e5
e6
e7
e8
e9
e10
e11
e13
e12
e14
e15
e16
e17
e18

**Variable counts (Group number 1)**

| | |
|---|---|
| Number of variables in your model: | 37 |
| Number of observed variables: | 14 |
| Number of unobserved variables: | 23 |
| Number of exogenous variables: | 19 |
| Number of endogenous variables: | 18 |

**Parameter Summary (Group number 1)**

| | Weights | Covariances | Variances | Means | Intercepts | Total |
|---|---|---|---|---|---|---|
| Fixed | 23 | 0 | 0 | 0 | 0 | 23 |
| Labeled | 0 | 0 | 0 | 0 | 0 | 0 |
| Unlabeled | 22 | 0 | 19 | 0 | 0 | 41 |
| Total | 45 | 0 | 19 | 0 | 0 | 64 |

**Assessment of normality (Group number 1)**

| Variable | min | max | skew | c.r. | kurtosis | c.r. |
|---|---|---|---|---|---|---|
| Sex | 1.000 | 2.000 | .298 | 2.726 | -1.911 | -8.741 |
| PAMRS | 1.000 | 5.000 | -.284 | -2.595 | -.745 | -3.406 |
| PAFAP | 1.000 | 5.000 | -1.021 | -9.337 | .598 | 2.736 |
| ICMA | 1.000 | 5.000 | .323 | 2.957 | -.780 | -3.568 |
| ICD | 1.000 | 5.000 | .102 | .934 | -1.102 | -5.038 |
| CCA | 1.500 | 7.000 | -.400 | -3.663 | -.408 | -1.867 |
| Vig | 1.571 | 7.000 | .428 | 3.912 | -.231 | -1.055 |
| Verg | 1.000 | 7.000 | .388 | 3.545 | -.668 | -3.055 |
| EAED | 1.000 | 4.000 | -.330 | -3.021 | -.698 | -3.191 |
| EAAA | 1.000 | 4.000 | -.623 | -5.703 | .017 | .079 |
| PAP | 1.000 | 4.600 | .257 | 2.353 | -.790 | -3.612 |
| OA | 1.125 | 5.000 | -.648 | -5.923 | -.091 | -.416 |
| SA | 1.176 | 5.000 | -.319 | -2.917 | -.571 | -2.610 |
| OEEFS | 1.100 | 5.000 | -.055 | -.502 | -.803 | -3.674 |
| Multivariate | | | | | 7.822 | 4.140 |

**Notes for Model (Default model)**

**Computation of degrees of freedom (Default model)**

| | |
|---|---|
| Number of distinct sample moments: | 105 |
| Number of distinct parameters to be estimated: | 41 |
| Degrees of freedom (105 - 41): | 64 |

**Result (Default model)**

Minimum was achieved
Chi-square = 1221.169
Degrees of freedom = 64
Probability level = .000

**Estimates (Group number 1 - Default model)**

**Scalar Estimates (Group number 1 - Default model)**

**Maximum Likelihood Estimates**

**Regression Weights: (Group number 1 - Default model)**

| | | | Estimate | S.E. | C.R. | P | Label |
|---|---|---|---|---|---|---|---|
| PAOP | <--- | Sex | .209 | .077 | 2.710 | .007 | |
| ICI | <--- | Sex | -.414 | .111 | -3.710 | *** | |
| ICI | <--- | PAOP | -.226 | .106 | -2.141 | .032 | |
| AO | <--- | Sex | -.067 | .111 | -.606 | .544 | |
| AO | <--- | PAOP | -.583 | .113 | -5.175 | *** | |
| AO | <--- | ICI | .589 | .090 | 6.578 | *** | |
| EAAP | <--- | PAOP | .457 | .066 | 6.880 | *** | |
| EAAP | <--- | AO | -.012 | .009 | -1.333 | .183 | |
| EAAP | <--- | Sex | -.116 | .054 | -2.130 | .033 | |
| IC | <--- | Sex | -.330 | .069 | -4.812 | *** | |
| IC | <--- | PAOP | 1.004 | .102 | 9.827 | *** | |
| IC | <--- | ICI | -.048 | .026 | -1.829 | .067 | |
| IC | <--- | AO | -.046 | .019 | -2.460 | .014 | |
| IC | <--- | EAAP | .006 | .012 | .446 | .656 | |
| OEEFS | <--- | IC | .433 | .054 | 8.076 | *** | |
| SA | <--- | IC | 1.000 | | | | |
| OA | <--- | IC | .169 | .037 | 4.544 | *** | |
| PAP | <--- | IC | -.118 | .036 | -3.308 | *** | |
| EAAA | <--- | EAAP | 1.000 | | | | |
| EAED | <--- | EAAP | .140 | .128 | 1.096 | .273 | |
| Verg | <--- | AO | 1.000 | | | | |
| Vig | <--- | AO | .086 | .031 | 2.800 | .005 | |
| CCA | <--- | AO | -.121 | .040 | -3.050 | .002 | |
| ICD | <--- | ICI | 1.000 | | | | |
| ICMA | <--- | ICI | .348 | .056 | 6.238 | *** | |
| PAFAP | <--- | PAOP | .777 | .069 | 11.191 | *** | |
| PAMRS | <--- | PAOP | 1.000 | | | | |

**Standardized Regression Weights: (Group number 1 - Default model)**

| | | | Estimate |
|---|---|---|---|
| PAOP | <--- | Sex | .157 |
| ICI | <--- | Sex | -.159 |
| ICI | <--- | PAOP | -.116 |
| AO | <--- | Sex | -.016 |
| AO | <--- | PAOP | -.179 |
| AO | <--- | ICI | .353 |
| EAAP | <--- | PAOP | .210 |
| EAAP | <--- | AO | -.018 |
| EAAP | <--- | Sex | -.040 |

| | | | Estimate |
|---|---|---|---|
| IC | <--- | Sex | -.171 |
| IC | <--- | PAOP | .692 |
| IC | <--- | ICI | -.064 |
| IC | <--- | AO | -.102 |
| IC | <--- | EAAP | .008 |
| OEEFS | <--- | IC | .448 |
| SA | <--- | IC | 1.117 |
| OA | <--- | IC | .195 |
| PAP | <--- | IC | -.135 |
| EAAA | <--- | EAAP | 2.131 |
| EAED | <--- | EAAP | .240 |
| Verg | <--- | AO | 1.458 |
| Vig | <--- | AO | .156 |
| CCA | <--- | AO | -.230 |
| ICD | <--- | ICI | 1.041 |
| ICMA | <--- | ICI | .429 |
| PAFAP | <--- | PAOP | .634 |
| PAMRS | <--- | PAOP | .664 |

**Variances: (Group number 1 - Default model)**

| | Estimate | S.E. | C.R. | P | Label |
|---|---|---|---|---|---|
| Sex | .245 | .015 | 15.827 | *** | |
| e18 | .423 | .061 | 6.949 | *** | |
| e17 | 1.578 | .231 | 6.844 | *** | |
| e16 | 3.780 | 1.203 | 3.141 | .002 | |
| e15 | 1.964 | 1.817 | 1.080 | .280 | |
| e14 | .429 | .090 | 4.780 | *** | |
| e1 | .681 | .045 | 15.180 | *** | |
| e2 | -.182 | .076 | -2.377 | .017 | |
| e3 | .660 | .041 | 15.933 | *** | |
| e4 | .683 | .043 | 15.889 | *** | |
| e5 | -1.603 | 1.815 | -.883 | .377 | |
| e6 | .664 | .055 | 12.049 | *** | |
| e7 | -2.434 | 1.194 | -2.038 | .042 | |
| e8 | 1.368 | .086 | 15.909 | *** | |
| e9 | 1.202 | .077 | 15.586 | *** | |
| e10 | -.128 | .211 | -.605 | .545 | |
| e11 | .888 | .062 | 14.396 | *** | |
| e13 | .390 | .032 | 12.113 | *** | |
| e12 | .550 | .049 | 11.270 | *** | |

**Squared Multiple Correlations: (Group number 1 - Default model)**

| | Estimate |
|---|---|
| PAOP | .025 |
| ICI | .045 |
| AO | .178 |

| | Estimate |
|---|---|
| EAAP | .045 |
| IC | .530 |
| PAMRS | .441 |
| PAFAP | .402 |
| ICMA | .184 |
| ICD | 1.084 |
| CCA | .053 |
| Vig | .024 |
| Verg | 2.126 |
| EAED | .058 |
| EAAA | 4.539 |
| PAP | .018 |
| OA | .038 |
| SA | 1.248 |
| OEEFS | .201 |

**Indirect Effects (Group number 1 - Default model)**

| | Sex | PAOP | ICI | AO | EAAP | IC |
|---|---|---|---|---|---|---|
| PAOP | .000 | .000 | .000 | .000 | .000 | .000 |
| ICI | -.047 | .000 | .000 | .000 | .000 | .000 |
| AO | -.393 | -.133 | .000 | .000 | .000 | .000 |
| EAAP | .101 | .008 | -.007 | .000 | .000 | .000 |
| IC | .253 | .046 | -.027 | .000 | .000 | .000 |
| PAMRS | .209 | .000 | .000 | .000 | .000 | .000 |
| PAFAP | .163 | .000 | .000 | .000 | .000 | .000 |
| ICMA | -.161 | -.079 | .000 | .000 | .000 | .000 |
| ICD | -.461 | -.226 | .000 | .000 | .000 | .000 |
| CCA | .056 | .087 | -.071 | .000 | .000 | .000 |
| Vig | -.040 | -.062 | .051 | .000 | .000 | .000 |
| Verg | -.461 | -.716 | .589 | .000 | .000 | .000 |
| EAED | -.002 | .065 | -.001 | -.002 | .000 | .000 |
| EAAA | -.015 | .466 | -.007 | -.012 | .000 | .000 |
| PAP | .009 | -.124 | .009 | .005 | -.001 | .000 |
| OA | -.013 | .178 | -.013 | -.008 | .001 | .000 |
| SA | -.078 | 1.050 | -.075 | -.046 | .006 | .000 |
| OEEFS | -.034 | .454 | -.032 | -.020 | .002 | .000 |

**Standardized Indirect Effects (Group number 1 - Default model)**

| | Sex | PAOP | ICI | AO | EAAP | IC |
|---|---|---|---|---|---|---|
| PAOP | .000 | .000 | .000 | .000 | .000 | .000 |
| ICI | -.018 | .000 | .000 | .000 | .000 | .000 |
| AO | -.091 | -.041 | .000 | .000 | .000 | .000 |
| EAAP | .035 | .004 | -.006 | .000 | .000 | .000 |
| IC | .131 | .032 | -.036 | .000 | .000 | .000 |
| PAMRS | .104 | .000 | .000 | .000 | .000 | .000 |
| PAFAP | .100 | .000 | .000 | .000 | .000 | .000 |

| | Sex | PAOP | ICI | AO | EAAP | IC |
|---|---|---|---|---|---|---|
| ICMA | -.076 | -.050 | .000 | .000 | .000 | .000 |
| ICD | -.185 | -.121 | .000 | .000 | .000 | .000 |
| CCA | .024 | .051 | -.081 | .000 | .000 | .000 |
| Vig | -.017 | -.034 | .055 | .000 | .000 | .000 |
| Verg | -.155 | -.321 | .515 | .000 | .000 | .000 |
| EAED | -.001 | .051 | -.001 | -.004 | .000 | .000 |
| EAAA | -.011 | .456 | -.013 | -.038 | .000 | .000 |
| PAP | .005 | -.098 | .014 | .014 | -.001 | .000 |
| OA | -.008 | .141 | -.020 | -.020 | .002 | .000 |
| SA | -.045 | .808 | -.112 | -.114 | .009 | .000 |
| OEEFS | -.018 | .324 | -.045 | -.046 | .004 | .000 |

**Residual Covariances (Group number 1 - Default model)**

| | Sex | PAMRS | PAFAP | ICMA | ICD | CCA | Vig | Verg | EAED | EAAA | PAP | OA | SA | OEEFS |
|---|---|---|---|---|---|---|---|---|---|---|---|---|---|---|
| Sex | .000 | | | | | | | | | | | | | |
| PAMRS | .017 | .000 | | | | | | | | | | | | |
| PAFAP | -.015 | .001 | .000 | | | | | | | | | | | |
| ICMA | .190 | .214 | .093 | .000 | | | | | | | | | | |
| ICD | .010 | .077 | -.014 | .000 | .000 | | | | | | | | | |
| CCA | -.032 | .039 | .107 | -.064 | -.027 | .000 | | | | | | | | |
| Vig | .070 | .407 | .208 | .251 | .038 | -.167 | .000 | | | | | | | |
| Verg | .019 | .108 | -.027 | .109 | .020 | -.072 | -.088 | .000 | | | | | | |
| EAED | -.014 | .096 | .024 | .157 | .193 | -.142 | .180 | .371 | .000 | | | | | |
| EAAA | -.005 | .008 | .029 | .056 | .018 | -.029 | .283 | .135 | .000 | .000 | | | | |
| PAP | -.071 | -.031 | -.084 | .186 | .644 | -.025 | .000 | .590 | .119 | .022 | .000 | | | |
| OA | -.070 | -.026 | .039 | .208 | .374 | -.005 | -.084 | .562 | .137 | .031 | .198 | .000 | | |
| SA | .006 | .000 | .016 | .141 | .020 | .123 | .309 | .045 | -.014 | .000 | -.020 | -.014 | .000 | |
| OEEFS | .062 | .033 | .096 | .526 | .181 | .185 | .211 | .160 | .034 | .033 | .099 | .193 | .004 | .000 |

**Standardized Residual Covariances (Group number 1 - Default model)**

| | Sex | PAMRS | PAFAP | ICMA | ICD | CCA | Vig | Verg | EAED | EAAA | PAP | OA | SA | OEEFS |
|---|---|---|---|---|---|---|---|---|---|---|---|---|---|---|
| Sex | .000 | | | | | | | | | | | | | |
| PAMRS | .752 | .000 | | | | | | | | | | | | |
| PAFAP | -.843 | .034 | .000 | | | | | | | | | | | |
| ICMA | 8.201 | 4.620 | 2.477 | .000 | | | | | | | | | | |
| ICD | .343 | 1.394 | -.321 | .000 | .000 | | | | | | | | | |
| CCA | -1.284 | .776 | 2.631 | -1.211 | -.430 | .000 | | | | | | | | |
| Vig | 2.691 | 7.759 | 4.873 | 4.546 | .587 | -2.806 | .000 | | | | | | | |
| Verg | .566 | 1.612 | -.493 | 1.546 | .217 | -.918 | -1.104 | .000 | | | | | | |
| EAED | -.781 | 2.572 | .791 | 4.008 | 4.178 | -3.356 | 4.058 | 6.726 | .000 | | | | | |
| EAAA | -.330 | .255 | 1.153 | 1.786 | .483 | -.852 | 7.934 | 2.989 | .000 | .000 | | | | |
| PAP | -3.855 | -.831 | -2.795 | 4.775 | 13.984 | -.585 | .000 | 10.756 | 3.802 | .878 | .000 | | | |
| OA | -3.845 | -.715 | 1.290 | 5.378 | 8.169 | -.124 | -1.908 | 10.293 | 4.405 | 1.222 | 6.405 | .000 | | |
| SA | .322 | .011 | .471 | 3.519 | .420 | 2.848 | 6.828 | .726 | -.422 | .007 | -.626 | -.441 | .004 | |
| OEEFS | 3.030 | .793 | 2.822 | 12.216 | 3.552 | 3.992 | 4.321 | 2.594 | .974 | 1.189 | 2.865 | 5.642 | .096 | .001 |

**Factor Score Weights (Group number 1 - Default model)**

| Iteration | | Negative eigenvalues | Condition # | Smallest eigenvalue | Diameter | F | NTries | Ratio |
|---|---|---|---|---|---|---|---|---|
| 0 | e | 11 | | -.162 | 9999.000 | 2987.840 | 0 | 9999.000 |
| 1 | e* | 4 | | -.126 | 2.602 | 1612.918 | 21 | .693 |
| 2 | e | 1 | | -.009 | .577 | 1330.064 | 6 | .850 |
| 3 | e | 0 | 372.065 | | .786 | 1257.369 | 7 | .681 |
| 4 | e | 0 | 229.534 | | .534 | 1240.689 | 2 | .000 |
| 5 | e | 0 | 2907.749 | | .501 | 1228.139 | 1 | 1.101 |
| 6 | e | 0 | 888.442 | | .559 | 1226.157 | 3 | .000 |
| 7 | e | 0 | 12849.644 | | .419 | 1223.165 | 1 | 1.115 |
| 8 | e | 0 | 5440.745 | | .434 | 1222.516 | 3 | .000 |
| 9 | e | 0 | 16477.465 | | .398 | 1221.792 | 1 | 1.267 |
| 10 | e | 0 | 15235.401 | | .530 | 1221.539 | 1 | .973 |
| 11 | e | 0 | 90373.595 | | .244 | 1221.347 | 1 | 1.139 |
| 12 | e | 0 | 53398.446 | | .383 | 1221.288 | 2 | .000 |
| 13 | e | 0 | 157969.756 | | .248 | 1221.233 | 1 | 1.270 |
| 14 | e | 0 | 100590.014 | | .457 | 1221.216 | 1 | .598 |
| 15 | e | 0 | 591840.543 | | .141 | 1221.185 | 1 | 1.083 |
| 16 | e | 0 | 361047.473 | | .261 | 1221.178 | 2 | .000 |
| 17 | e | 0 | 739777.660 | | .172 | 1221.172 | 1 | 1.276 |
| 18 | e | 0 | 784042.484 | | .201 | 1221.170 | 1 | 1.120 |
| 19 | e | 0 | 1481764.005 | | .082 | 1221.169 | 1 | 1.171 |
| 20 | e | 0 | 1599858.421 | | .072 | 1221.169 | 1 | 1.078 |
| 21 | e | 0 | 1868652.944 | | .011 | 1221.169 | 1 | 1.032 |
| 22 | e | 0 | 1882670.644 | | .001 | 1221.169 | 1 | 1.000 |
| 23 | e | 0 | 1862704.630 | | .000 | 1221.169 | 4 | .000 |

| | Sex | PAMRS | PAFAP | ICMA | ICD | CCA | Vig | Verg | EAED | EAAA | PAP | OA | SA | OEEFS |
|---|---|---|---|---|---|---|---|---|---|---|---|---|---|---|
| PAOP | .188 | .169 | .185 | .000 | .009 | .004 | -.003 | .017 | -.049 | .145 | .013 | -.020 | .424 | -.049 |
| ICI | .029 | -.002 | -.002 | -.058 | 1.155 | -.018 | .011 | -.075 | .003 | -.010 | .000 | .000 | -.010 | .001 |
| AO | .592 | -.075 | -.082 | .071 | -1.421 | .863 | -.539 | 3.521 | -.085 | .251 | .048 | -.071 | 1.528 | -.177 |
| EAAP | .175 | -.421 | -.462 | .006 | -.120 | .040 | -.025 | .165 | -2.380 | 7.021 | -.039 | .058 | -1.252 | .145 |
| IC | .139 | -.140 | -.154 | .001 | -.014 | .028 | -.017 | .114 | .048 | -.142 | .052 | -.077 | 1.654 | -.191 |

**Notes for Group/Model (Group number 1 - Default model)**

**The following variances are negative. (Group number 1 - Default model)**

| e2 | e5 | e7 | e10 |
|---|---|---|---|
| -.182 | -1.603 | -2.434 | -.128 |

This solution is not admissible.

**Minimization History (Default model)**

**Ajustar tabla**

**Model Fit Summary**

**CMIN**

| Model | NPAR | CMIN | DF | P | CMIN/DF |
|---|---|---|---|---|---|
| Default model | 41 | 1221.169 | 64 | .000 | 19.081 |
| Saturated model | 105 | .000 | 0 | | |

| Model | NPAR | CMIN | DF | P | CMIN/DF |
|---|---|---|---|---|---|
| Independence model | 14 | 2581.031 | 91 | .000 | 28.363 |

**RMR, GFI**

| Model | RMR | GFI | AGFI | PGFI |
|---|---|---|---|---|
| Default model | .164 | .758 | .603 | .462 |
| Saturated model | .000 | 1.000 | | |
| Independence model | .245 | .549 | .480 | .476 |

**Baseline Comparisons**

| Model | NFI Delta1 | RFI rho1 | IFI Delta2 | TLI rho2 | CFI |
|---|---|---|---|---|---|
| Default model | .527 | .327 | .540 | .339 | .535 |
| Saturated model | 1.000 | | 1.000 | | 1.000 |
| Independence model | .000 | .000 | .000 | .000 | .000 |

**Parsimony-Adjusted Measures**

| Model | PRATIO | PNFI | PCFI |
|---|---|---|---|
| Default model | .703 | .371 | .376 |
| Saturated model | .000 | .000 | .000 |
| Independence model | 1.000 | .000 | .000 |

**NCP**

| Model | NCP | LO 90 | HI 90 |
|---|---|---|---|
| Default model | 1157.169 | 1047.386 | 1274.354 |
| Saturated model | .000 | .000 | .000 |
| Independence model | 2490.031 | 2327.993 | 2659.407 |

**FMIN**

| Model | FMIN | F0 | LO 90 | HI 90 |
|---|---|---|---|---|
| Default model | 2.437 | 2.310 | 2.091 | 2.544 |
| Saturated model | .000 | .000 | .000 | .000 |
| Independence model | 5.152 | 4.970 | 4.647 | 5.308 |

**RMSEA**

| Model | RMSEA | LO 90 | HI 90 | PCLOSE |
|---|---|---|---|---|
| Default model | .190 | .181 | .199 | .000 |
| Independence model | .234 | .226 | .242 | .000 |

**AIC**

| Model | AIC | BCC | BIC | CAIC |
|---|---|---|---|---|
| Default model | 1303.169 | 1305.700 | 1476.132 | 1517.132 |
| Saturated model | 210.000 | 216.481 | 652.953 | 757.953 |
| Independence model | 2609.031 | 2609.895 | 2668.092 | 2682.092 |

**ECVI**

| Model | ECVI | LO 90 | HI 90 | MECVI |
|---|---|---|---|---|
| Default model | 2.601 | 2.382 | 2.835 | 2.606 |
| Saturated model | .419 | .419 | .419 | .432 |
| Independence model | 5.208 | 4.884 | 5.546 | 5.209 |

**HOELTER**

| Model | HOELTER .05 | HOELTER .01 |
|---|---|---|
| Default model | 35 | 39 |
| Independence model | 23 | 25 |

***Anexo 39.*** Modelo de ecuaciones estructurales (Modelo C)

**Notes for Group (Group number 1)**

The model is recursive.
Sample size = 502

**Variable Summary (Group number 1)**

**Your model contains the following variables (Group number 1)**

Observed, endogenous variables
OEEFS
SA
EAAA
Verg
ICD
ICMA
PAFAP
PAMRS
Unobserved, endogenous variables
IC
ICI
PAOP
Unobserved, exogenous variables
e1
e2
e5
e7
e10
e11
e13
e12
e14
e17
e18

**Variable counts (Group number 1)**

| | |
|---|---|
| Number of variables in your model: | 22 |
| Number of observed variables: | 8 |
| Number of unobserved variables: | 14 |
| Number of exogenous variables: | 11 |
| Number of endogenous variables: | 11 |

**Assessment of normality (Group number 1)**

| Variable | min | max | skew | c.r. | kurtosis | c.r. |
|---|---|---|---|---|---|---|
| PAMRS | 1.000 | 5.000 | -.284 | -2.595 | -.745 | -3.406 |
| PAFAP | 1.000 | 5.000 | -1.021 | -9.337 | .598 | 2.736 |
| ICMA | 1.000 | 5.000 | .323 | 2.957 | -.780 | -3.568 |

| Variable | min | max | skew | c.r. | kurtosis | c.r. |
|---|---|---|---|---|---|---|
| ICD | 1.000 | 5.000 | .102 | .934 | -1.102 | -5.038 |
| Verg | 1.000 | 7.000 | .388 | 3.545 | -.668 | -3.055 |
| EAAA | 1.000 | 4.000 | -.623 | -5.703 | .017 | .079 |
| SA | 1.176 | 5.000 | -.319 | -2.917 | -.571 | -2.610 |
| OEEFS | 1.100 | 5.000 | -.055 | -.502 | -.803 | -3.674 |
| Multivariate | | | | | 3.884 | 3.440 |

**Notes for Model (Default model)**

**Computation of degrees of freedom (Default model)**

| | |
|---|---|
| Number of distinct sample moments: | 36 |
| Number of distinct parameters to be estimated: | 17 |
| Degrees of freedom (36 - 17): | 19 |

**Result (Default model)**

Minimum was achieved
Chi-square = 337.065
Degrees of freedom = 19
Probability level = .000

**Estimates (Group number 1 - Default model)**

**Scalar Estimates (Group number 1 - Default model)**

**Maximum Likelihood Estimates**

**Regression Weights: (Group number 1 - Default model)**

| | | | Estimate | S.E. | C.R. | P | Label |
|---|---|---|---|---|---|---|---|
| IC | <--- | PAOP | 1.061 | .092 | 11.567 | *** | par_4 |
| OEEFS | <--- | IC | .594 | .065 | 9.079 | *** | par_1 |
| SA | <--- | IC | 1.000 | | | | |
| ICD | <--- | ICI | 1.000 | | | | |
| ICMA | <--- | ICI | .444 | .058 | 7.714 | *** | par_2 |
| PAFAP | <--- | PAOP | .832 | .075 | 11.150 | *** | par_3 |
| PAMRS | <--- | PAOP | 1.000 | | | | |
| EAAA | <--- | PAOP | .511 | .058 | 8.841 | *** | par_5 |
| Verg | <--- | ICI | .825 | .097 | 8.508 | *** | par_6 |

**Standardized Regression Weights: (Group number 1 - Default model)**

| | | | Estimate |
|---|---|---|---|
| IC | <--- | PAOP | .829 |
| OEEFS | <--- | IC | .528 |
| SA | <--- | IC | .958 |
| ICD | <--- | ICI | .923 |

| | | | Estimate |
|---|---|---|---|
| ICMA | <--- | ICI | .484 |
| PAFAP | <--- | PAOP | .659 |
| PAMRS | <--- | PAOP | .646 |
| EAAA | <--- | PAOP | .487 |
| Verg | <--- | ICI | .639 |

**Variances: (Group number 1 - Default model)**

| | Estimate | S.E. | C.R. | P | Label |
|---|---|---|---|---|---|
| e18 | .410 | .059 | 6.992 | *** | par_7 |
| e14 | .211 | .065 | 3.231 | .001 | par_8 |
| e17 | 1.297 | .166 | 7.793 | *** | par_9 |
| e1 | .615 | .044 | 14.041 | *** | par_10 |
| e2 | .060 | .057 | 1.047 | .295 | par_11 |
| e5 | .346 | .024 | 14.367 | *** | par_12 |
| e7 | 1.279 | .123 | 10.387 | *** | par_13 |
| e10 | .227 | .137 | 1.650 | .099 | par_14 |
| e11 | .833 | .059 | 14.096 | *** | par_15 |
| e13 | .369 | .031 | 11.903 | *** | par_16 |
| e12 | .574 | .047 | 12.224 | *** | par_17 |

**Squared Multiple Correlations: (Group number 1 - Default model)**

| | Estimate |
|---|---|
| PAOP | .000 |
| ICI | .000 |
| IC | .686 |
| PAMRS | .417 |
| PAFAP | .435 |
| ICMA | .235 |
| ICD | .851 |
| Verg | .408 |
| EAAA | .237 |
| SA | .918 |
| OEEFS | .279 |

**Matrices (Group number 1 - Default model)**

**Residual Covariances (Group number 1 - Default model)**

| | PAMRS | PAFAP | ICMA | ICD | Verg | EAAA | SA | OEEFS |
|---|---|---|---|---|---|---|---|---|
| PAMRS | .000 | | | | | | | |
| PAFAP | -.002 | .000 | | | | | | |
| ICMA | .172 | .061 | .000 | | | | | |
| ICD | -.043 | -.107 | .000 | .000 | | | | |
| Verg | -.219 | -.281 | .000 | .000 | .000 | | | |
| EAAA | -.006 | .007 | .037 | -.036 | -.056 | .000 | | |
| SA | .006 | -.003 | .068 | -.189 | -.506 | -.002 | .000 | |

| | PAMRS | PAFAP | ICMA | ICD | Verg | EAAA | SA | OEEFS |
|---|---|---|---|---|---|---|---|---|
| OEEFS | -.035 | .029 | .494 | .091 | -.079 | -.003 | .000 | .000 |

**Standardized Residual Covariances (Group number 1 - Default model)**

| | PAMRS | PAFAP | ICMA | ICD | Verg | EAAA | SA | OEEFS |
|---|---|---|---|---|---|---|---|---|
| PAMRS | .000 | | | | | | | |
| PAFAP | -.064 | .000 | | | | | | |
| ICMA | 3.725 | 1.621 | .000 | | | | | |
| ICD | -.780 | -2.405 | .000 | .000 | | | | |
| Verg | -3.359 | -5.289 | .000 | .000 | .000 | | | |
| EAAA | -.178 | .283 | 1.188 | -.967 | -1.264 | .000 | | |
| SA | .132 | -.096 | 1.701 | -4.009 | -9.007 | -.056 | .000 | |
| OEEFS | -.818 | .836 | 11.488 | 1.782 | -1.299 | -.114 | .000 | .000 |

**Factor Score Weights (Group number 1 - Default model)**

| | PAMRS | PAFAP | ICMA | ICD | Verg | EAAA | SA | OEEFS |
|---|---|---|---|---|---|---|---|---|
| PAOP | .158 | .205 | .000 | .000 | .000 | .134 | .347 | .020 |
| ICI | .000 | .000 | .089 | .741 | .108 | .000 | .000 | .000 |
| IC | .036 | .047 | .000 | .000 | .000 | .031 | .837 | .049 |

**Model Fit Summary**

**CMIN**

| Model | NPAR | CMIN | DF | P | CMIN/DF |
|---|---|---|---|---|---|
| Default model | 17 | 337.065 | 19 | .000 | 17.740 |
| Saturated model | 36 | .000 | 0 | | |
| Independence model | 8 | 1250.021 | 28 | .000 | 44.644 |

**RMR, GFI**

| Model | RMR | GFI | AGFI | PGFI |
|---|---|---|---|---|
| Default model | .143 | .878 | .769 | .463 |
| Saturated model | .000 | 1.000 | | |
| Independence model | .302 | .590 | .472 | .459 |

**Baseline Comparisons**

| Model | NFI Delta1 | RFI rho1 | IFI Delta2 | TLI rho2 | CFI |
|---|---|---|---|---|---|
| Default model | .730 | .603 | .742 | .616 | .740 |
| Saturated model | 1.000 | | 1.000 | | 1.000 |
| Independence model | .000 | .000 | .000 | .000 | .000 |

**Parsimony-Adjusted Measures**

| Model | PRATIO | PNFI | PCFI |
|---|---|---|---|

| Model | PRATIO | PNFI | PCFI |
|---|---|---|---|
| Default model | .679 | .496 | .502 |
| Saturated model | .000 | .000 | .000 |
| Independence model | 1.000 | .000 | .000 |

**NCP**

| Model | NCP | LO 90 | HI 90 |
|---|---|---|---|
| Default model | 318.065 | 262.195 | 381.370 |
| Saturated model | .000 | .000 | .000 |
| Independence model | 1222.021 | 1110.013 | 1341.410 |

**FMIN**

| Model | FMIN | F0 | LO 90 | HI 90 |
|---|---|---|---|---|
| Default model | .673 | .635 | .523 | .761 |
| Saturated model | .000 | .000 | .000 | .000 |
| Independence model | 2.495 | 2.439 | 2.216 | 2.677 |

**RMSEA**

| Model | RMSEA | LO 90 | HI 90 | PCLOSE |
|---|---|---|---|---|
| Default model | .183 | .166 | .200 | .000 |
| Independence model | .295 | .281 | .309 | .000 |

**AIC**

| Model | AIC | BCC | BIC | CAIC |
|---|---|---|---|---|
| Default model | 371.065 | 371.687 | 442.781 | 459.781 |
| Saturated model | 72.000 | 73.317 | 223.870 | 259.870 |
| Independence model | 1266.021 | 1266.313 | 1299.770 | 1307.770 |

**ECVI**

| Model | ECVI | LO 90 | HI 90 | MECVI |
|---|---|---|---|---|
| Default model | .741 | .629 | .867 | .742 |
| Saturated model | .144 | .144 | .144 | .146 |
| Independence model | 2.527 | 2.303 | 2.765 | 2.528 |

**HOELTER**

| Model | HOELTER .05 | HOELTER .01 |
|---|---|---|
| Default model | 45 | 54 |
| Independence model | 17 | 20 |

***Anexo 40.*** *Modelo de ecuaciones estructurales (Modelo D)*

The model is recursive.
Sample size = 502

**Variable Summary (Group number 1)**

**Your model contains the following variables (Group number 1)**

Observed, endogenous variables
OEEFS
SA
EAAA
PAFAP
PAMRS
Unobserved, endogenous variables
IC
PAOP
Unobserved, exogenous variables
e1
e2
e5
e13
e12
e14
e18

**Variable counts (Group number 1)**

| | |
|---|---|
| Number of variables in your model: | 14 |
| Number of observed variables: | 5 |
| Number of unobserved variables: | 9 |
| Number of exogenous variables: | 7 |
| Number of endogenous variables: | 7 |

**Parameter Summary (Group number 1)**

| | Weights | Covariances | Variances | Means | Intercepts | Total |
|---|---|---|---|---|---|---|
| Fixed | 9 | 0 | 0 | 0 | 0 | 9 |
| Labeled | 0 | 0 | 0 | 0 | 0 | 0 |
| Unlabeled | 4 | 0 | 7 | 0 | 0 | 11 |
| Total | 13 | 0 | 7 | 0 | 0 | 20 |

**Assessment of normality (Group number 1)**

| Variable | min | max | skew | c.r. | kurtosis | c.r. |
|---|---|---|---|---|---|---|
| PAMRS | 1.000 | 5.000 | -.284 | -2.595 | -.745 | -3.406 |
| PAFAP | 1.000 | 5.000 | -1.021 | -9.337 | .598 | 2.736 |
| EAAA | 1.000 | 4.000 | -.623 | -5.703 | .017 | .079 |
| SA | 1.176 | 5.000 | -.319 | -2.917 | -.571 | -2.610 |

| Variable | min | max | skew | c.r. | kurtosis | c.r. |
|---|---|---|---|---|---|---|
| OEEFS | 1.100 | 5.000 | -.055 | -.502 | -.803 | -3.674 |
| Multivariate | | | | | 3.863 | 5.172 |

**Notes for Model (Default model)**

**Computation of degrees of freedom (Default model)**

| | |
|---|---|
| Number of distinct sample moments: | 15 |
| Number of distinct parameters to be estimated: | 11 |
| Degrees of freedom (15 - 11): | 4 |

**Result (Default model)**

Minimum was achieved
Chi-square = 4.430
Degrees of freedom = 4
Probability level = .351

**Estimates (Group number 1 - Default model)**

**Scalar Estimates (Group number 1 - Default model)**

**Maximum Likelihood Estimates**

**Regression Weights: (Group number 1 - Default model)**

| | | | Estimate | S.E. | C.R. | P | Label |
|---|---|---|---|---|---|---|---|
| IC | <--- | PAOP | 1.061 | .092 | 11.567 | *** | |
| OEEFS | <--- | IC | .594 | .065 | 9.079 | *** | |
| SA | <--- | IC | 1.000 | | | | |
| PAFAP | <--- | PAOP | .832 | .075 | 11.150 | *** | |
| PAMRS | <--- | PAOP | 1.000 | | | | |
| EAAA | <--- | PAOP | .511 | .058 | 8.841 | *** | |

**Standardized Regression Weights: (Group number 1 - Default model)**

| | | | Estimate |
|---|---|---|---|
| IC | <--- | PAOP | .829 |
| OEEFS | <--- | IC | .528 |
| SA | <--- | IC | .958 |
| PAFAP | <--- | PAOP | .659 |
| PAMRS | <--- | PAOP | .646 |
| EAAA | <--- | PAOP | .487 |

**Variances: (Group number 1 - Default model)**

| | Estimate | S.E. | C.R. | P | Label |
|---|---|---|---|---|---|
| e18 | .410 | .059 | 6.992 | *** | |

| | Estimate | S.E. | C.R. | P | Label |
|---|---|---|---|---|---|
| e14 | .211 | .065 | 3.231 | .001 | |
| e1 | .615 | .044 | 14.041 | *** | |
| e2 | .060 | .057 | 1.047 | .295 | |
| e5 | .346 | .024 | 14.367 | *** | |
| e13 | .369 | .031 | 11.903 | *** | |
| e12 | .574 | .047 | 12.224 | *** | |

**Squared Multiple Correlations: (Group number 1 - Default model)**

| | Estimate |
|---|---|
| PAOP | .000 |
| IC | .686 |
| PAMRS | .417 |
| PAFAP | .435 |
| EAAA | .237 |
| SA | .918 |
| OEEFS | .279 |

**Matrices (Group number 1 - Default model)**

**Residual Covariances (Group number 1 - Default model)**

| | PAMRS | PAFAP | EAAA | SA | OEEFS |
|---|---|---|---|---|---|
| PAMRS | .000 | | | | |
| PAFAP | -.002 | .000 | | | |
| EAAA | -.006 | .007 | .000 | | |
| SA | .006 | -.003 | -.002 | .000 | |
| OEEFS | -.035 | .029 | -.003 | .000 | .000 |

**Standardized Residual Covariances (Group number 1 - Default model)**

| | PAMRS | PAFAP | EAAA | SA | OEEFS |
|---|---|---|---|---|---|
| PAMRS | .000 | | | | |
| PAFAP | -.064 | .000 | | | |
| EAAA | -.178 | .283 | .000 | | |
| SA | .132 | -.096 | -.056 | .000 | |
| OEEFS | -.818 | .836 | -.114 | .000 | .000 |

**Factor Score Weights (Group number 1 - Default model)**

| | PAMRS | PAFAP | EAAA | SA | OEEFS |
|---|---|---|---|---|---|
| PAOP | .158 | .205 | .134 | .347 | .020 |
| IC | .036 | .047 | .031 | .837 | .049 |

**Model Fit Summary**

**CMIN**

| Model | NPAR | CMIN | DF | P | CMIN/DF |
|---|---|---|---|---|---|
| Default model | 11 | 4.430 | 4 | .351 | 1.107 |
| Saturated model | 15 | .000 | 0 | | |
| Independence model | 5 | 589.759 | 10 | .000 | 58.976 |

**RMR, GFI**

| Model | RMR | GFI | AGFI | PGFI |
|---|---|---|---|---|
| Default model | .012 | .996 | .987 | .266 |
| Saturated model | .000 | 1.000 | | |
| Independence model | .238 | .620 | .429 | .413 |

**Baseline Comparisons**

| Model | NFI Delta1 | RFI rho1 | IFI Delta2 | TLI rho2 | CFI |
|---|---|---|---|---|---|
| Default model | .992 | .981 | .999 | .998 | .999 |
| Saturated model | 1.000 | | 1.000 | | 1.000 |
| Independence model | .000 | .000 | .000 | .000 | .000 |

**Parsimony-Adjusted Measures**

| Model | PRATIO | PNFI | PCFI |
|---|---|---|---|
| Default model | .400 | .397 | .400 |
| Saturated model | .000 | .000 | .000 |
| Independence model | 1.000 | .000 | .000 |

**NCP**

| Model | NCP | LO 90 | HI 90 |
|---|---|---|---|
| Default model | .430 | .000 | 9.951 |
| Saturated model | .000 | .000 | .000 |
| Independence model | 579.759 | 503.870 | 663.053 |

**FMIN**

| Model | FMIN | F0 | LO 90 | HI 90 |
|---|---|---|---|---|
| Default model | .009 | .001 | .000 | .020 |
| Saturated model | .000 | .000 | .000 | .000 |
| Independence model | 1.177 | 1.157 | 1.006 | 1.323 |

**RMSEA**

| Model | RMSEA | LO 90 | HI 90 | PCLOSE |
|---|---|---|---|---|
| Default model | .015 | .000 | .070 | .802 |

| Model | RMSEA | LO 90 | HI 90 | PCLOSE |
|---|---|---|---|---|
| Independence model | .340 | .317 | .364 | .000 |

**AIC**

| Model | AIC | BCC | BIC | CAIC |
|---|---|---|---|---|
| Default model | 26.430 | 26.696 | 72.834 | 83.834 |
| Saturated model | 30.000 | 30.364 | 93.279 | 108.279 |
| Independence model | 599.759 | 599.880 | 620.852 | 625.852 |

**ECVI**

| Model | ECVI | LO 90 | HI 90 | MECVI |
|---|---|---|---|---|
| Default model | .053 | .052 | .072 | .053 |
| Saturated model | .060 | .060 | .060 | .061 |
| Independence model | 1.197 | 1.046 | 1.363 | 1.197 |

**HOELTER**

| Model | HOELTER .05 | HOELTER .01 |
|---|---|---|
| Default model | 1074 | 1502 |
| Independence model | 16 | 20 |